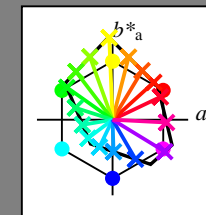


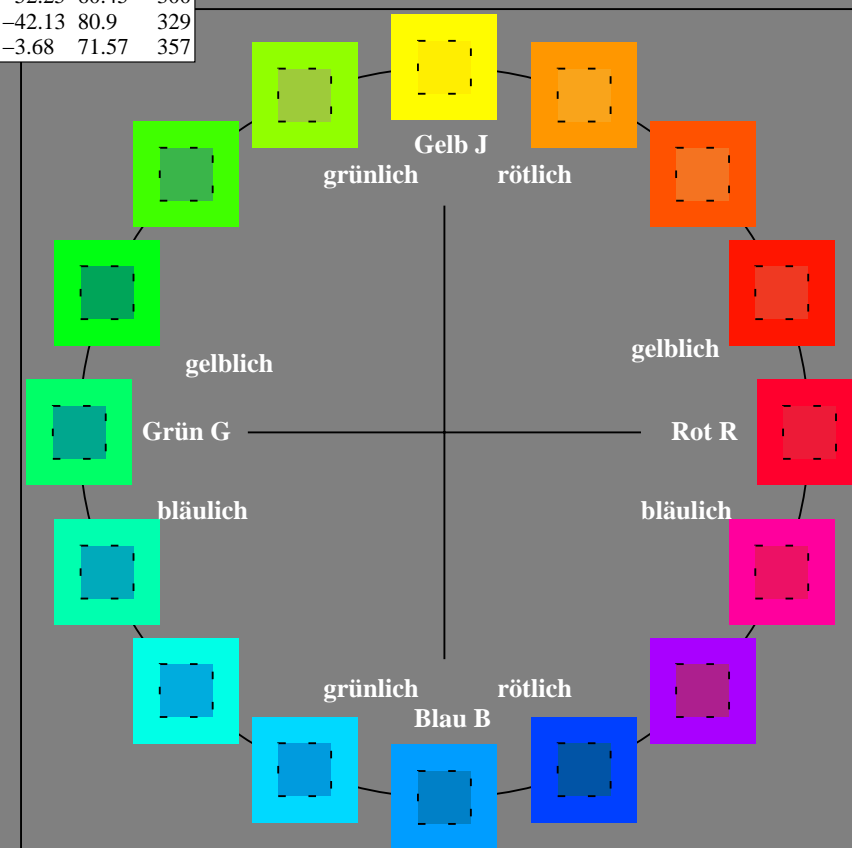
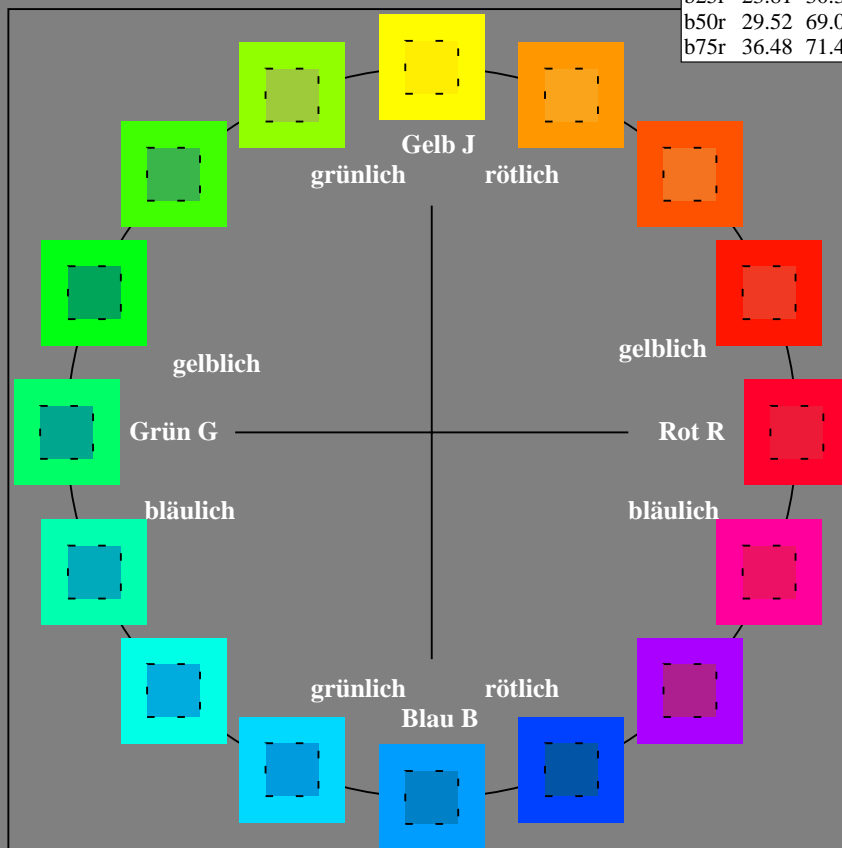
Ein und Ausgabe:  
Farbmetrisches Drucker-Reflektiv-System FRS09\_92a  
Daten für jede Farbe:  
 $lab^{*}ch^{*}$  und  $lab^{*}icu^{*}$   
Elementar-Bunttoncontext:  
 $u^{*} = 16$  Bunttöne  $r00j$ ,  $r25j$ , ...,  $b75r$   
Kontrastreduzierungsfaktor:  
 $c_R = 1.0$

FRS09_92a; adaptierte CIELAB-Daten					
	$L^{*}_{a}$	$a^{*}_{a}$	$b^{*}_{a}$	$C^{*}_{ab,a}$	$h^{*}_{ab,a}$
r00j	35.47	63.32	30.17	70.15	25
r25j	39.12	54.56	49.45	73.64	42
r50j	50.64	39.15	64.89	75.79	59
r75j	64.01	21.26	82.83	85.52	76
j00g	83.18	-4.37	108.53	108.62	92
j25g	66.73	-29.88	83.06	88.28	110
j50g	54.03	-48.3	63.49	79.78	127
j75g	44.73	-60.32	42.64	73.88	145
g00b	47.59	-49.07	15.74	51.54	162
g25b	49.97	-39.69	-6.71	40.27	190
g50b	51.85	-32.32	-24.34	40.48	217
g75b	46.92	-17.28	-36.01	39.96	244
b00r	37.91	1.28	-42.34	42.37	272
b25r	23.81	30.38	-52.25	60.45	300
b50r	29.52	69.06	-42.13	80.9	329
b75r	36.48	71.47	-3.68	71.57	357



%Umfang  
 $u^{*}_{rel} = 109$   
%Regularität  
 $g^{*}_{H,rel} = 31$   
 $g^{*}_{C,rel} = 40$

FRS09_92a; adaptierte CIELAB-Daten					
	$L^{*}_{a}$	$a^{*}_{a}$	$b^{*}_{a}$	$C^{*}_{ab,a}$	$h^{*}_{ab,a}$
OMa	35.06	60.0	44.0	74.4	36
YMa	83.77	-5.16	109.32	109.44	93
LMa	44.13	-62.66	48.24	79.09	142
CMa	52.66	-29.13	-31.98	43.27	228
VMa	14.15	50.3	-59.03	77.57	310
MMa	37.37	78.64	-33.49	85.48	337
NMa	8.58	0.0	0.0	0.0	0
WMa	92.02	0.0	0.0	0.0	0
RCIE	39.92	58.74	27.99	65.07	25
JCIE	81.26	-2.88	71.56	71.62	92
GCIE	52.23	-42.41	13.6	44.55	162
BCIE	30.57	1.41	-46.46	46.49	272



Ein und Ausgabe: Farbmetrisches Drucker-Reflektiv-System FRS09\_92a für relativen CIELAB-Buntton  $h^* = lab^*h^* = h_{ab}/360 = 25/360 = 0.071$   $u^* = r00j$

Daten für jede Farbe:

$lab^*ch^*$  und  $lab^*icu^*$

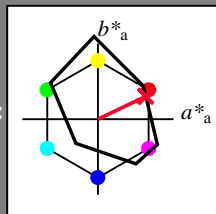
Elementar-Bunttontext:

$u^* = r00j$

Kontrastreduzierungsfaktor:

$c_R = 1.0$

Dreiecks-Helligkeit  $i^*$



FRS09\_92a; adaptierte CIELAB-Daten

	$L^*=L_a^*$	$a_a^*$	$b_a^*$	$C_{ab,a}^*$	$h_{ab,a}^*$
O <sub>Ma</sub>	35.06	60.0	44.0	74.4	36
Y <sub>Ma</sub>	83.77	-5.16	109.32	109.44	93
L <sub>Ma</sub>	44.13	-62.66	48.24	79.09	142
C <sub>Ma</sub>	52.66	-29.13	-31.98	43.27	228
V <sub>Ma</sub>	14.15	50.3	-59.03	77.57	310
M <sub>Ma</sub>	37.37	78.64	-33.49	85.48	337
N <sub>Ma</sub>	8.58	0.0	0.0	0.0	0
W <sub>Ma</sub>	92.02	0.0	0.0	0.0	0
R <sub>CIE</sub>	39.92	58.74	27.99	65.07	25
J <sub>CIE</sub>	81.26	-2.88	71.56	71.62	92
G <sub>CIE</sub>	52.23	-42.41	13.6	44.55	162
B <sub>CIE</sub>	30.57	1.41	-46.46	46.49	272

Daten für Maximalfarbe (Ma):

$LAB^*LAB^*_{Ma}$ : 35 63 30

$LAB^*LCH^*_{Ma}$ : 35 70 25

$lab^*rgb^*_{Ma}$ : 1.0 0.0 0.0

$lab^*olv^*_{Ma}$ : 1.0 0.0 0.18

Dreiecks-Helligkeit  $i^*$

%Umfang

$u^*_{rel} = 109$

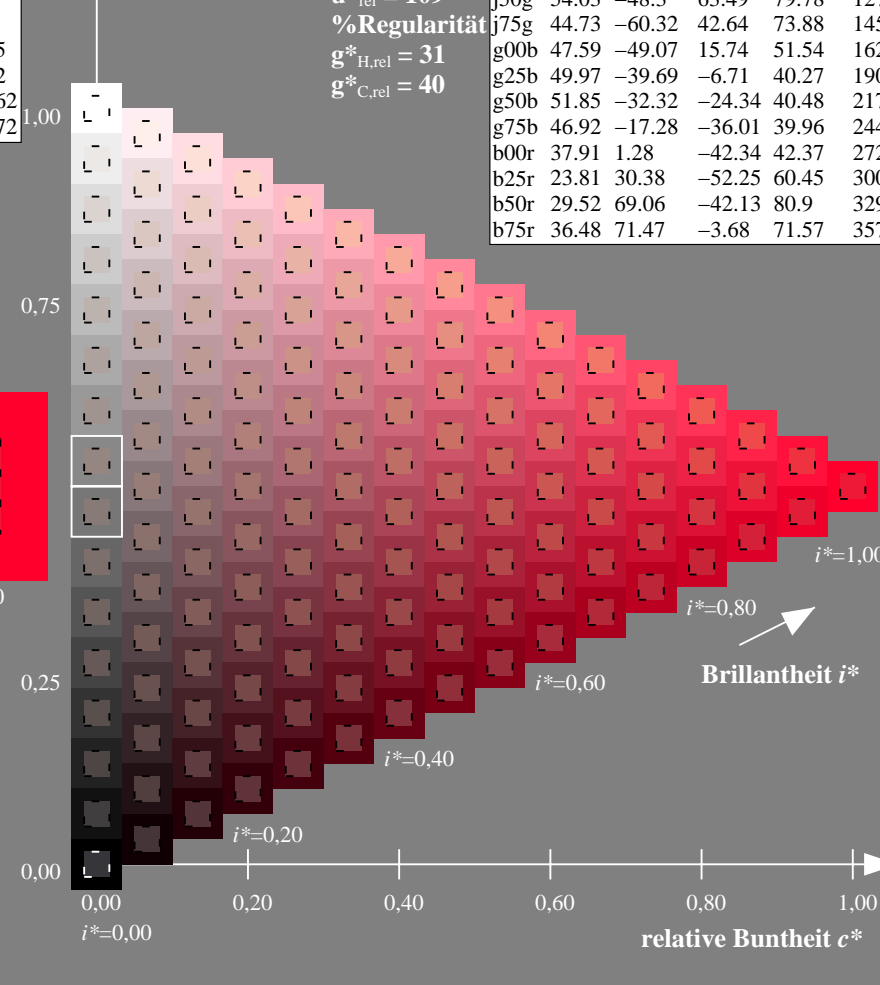
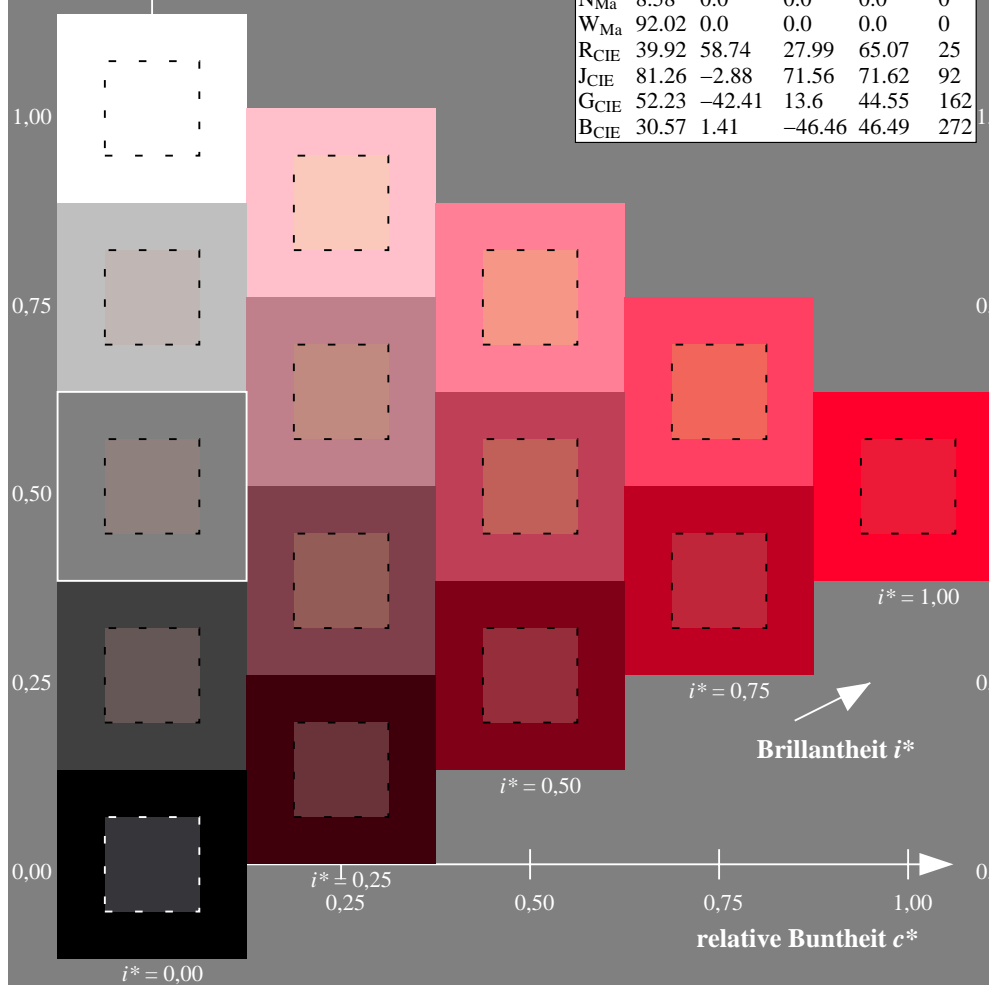
%Regularität

$g^*_{H,rel} = 31$

$g^*_{C,rel} = 40$

FRS09\_92a; adaptierte CIELAB-Daten

	$L^*=L_a^*$	$a_a^*$	$b_a^*$	$C_{ab,a}^*$	$h_{ab,a}^*$
r00j	35.47	63.32	30.17	70.15	25
r25j	39.12	54.56	49.45	73.64	42
r50j	50.64	39.15	64.89	75.79	59
r75j	64.01	21.26	82.83	85.52	76
j00g	83.18	-4.37	108.53	108.62	92
j25g	66.73	-29.88	83.06	88.28	110
j50g	54.03	-48.3	63.49	79.78	127
j75g	44.73	-60.32	42.64	73.88	145
g00b	47.59	-49.07	15.74	51.54	162
g25b	49.97	-39.69	-6.71	40.27	190
g50b	51.85	-32.32	-24.34	40.48	217
g75b	46.92	-17.28	-36.01	39.96	244
b00r	37.91	1.28	-42.34	42.37	272
b25r	23.81	30.38	-52.25	60.45	300
b50r	29.52	69.06	-42.13	80.9	329
b75r	36.48	71.47	-3.68	71.57	357



Ein und Ausgabe: Farbmetrisches Drucker-Reflektiv-System FRS09\_92a für relativen CIELAB-Buntton  $h^* = lab^*h^* = h_{ab}/360 = 42/360 = 0.117$   $u^* = r25j$

Daten für jede Farbe:

$lab^*ch^*$  und  $lab^*icu^*$

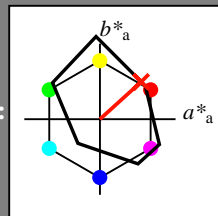
Elementar-Bunttontext:

$u^* = r25j$

Kontrastreduzierungsfaktor:

$c_R = 1.0$

Dreiecks-Helligkeit  $t^*$



FRS09\_92a; adaptierte CIELAB-Daten

	$L^*=L_a^*$	$a_a^*$	$b_a^*$	$C_{ab,a}^*$	$h_{ab,a}^*$
O <sub>Ma</sub>	35.06	60.0	44.0	74.4	36
Y <sub>Ma</sub>	83.77	-5.16	109.32	109.44	93
L <sub>Ma</sub>	44.13	-62.66	48.24	79.09	142
C <sub>Ma</sub>	52.66	-29.13	-31.98	43.27	228
V <sub>Ma</sub>	14.15	50.3	-59.03	77.57	310
M <sub>Ma</sub>	37.37	78.64	-33.49	85.48	337
N <sub>Ma</sub>	8.58	0.0	0.0	0.0	0
W <sub>Ma</sub>	92.02	0.0	0.0	0.0	0
R <sub>CIE</sub>	39.92	58.74	27.99	65.07	25
J <sub>CIE</sub>	81.26	-2.88	71.56	71.62	92
G <sub>CIE</sub>	52.23	-42.41	13.6	44.55	162
B <sub>CIE</sub>	30.57	1.41	-46.46	46.49	272

Daten für Maximalfarbe (Ma):

$LAB^*LAB^*_{Ma}$ : 39 55 49

$LAB^*LCH^*_{Ma}$ : 39 74 42

$lab^*rgb^*_{Ma}$ : 1.0 0.25 0.0

$lab^*olv^*_{Ma}$ : 1.0 0.08 0.0

Dreiecks-Helligkeit  $t^*$

%Umfang

$u^*_{rel} = 109$

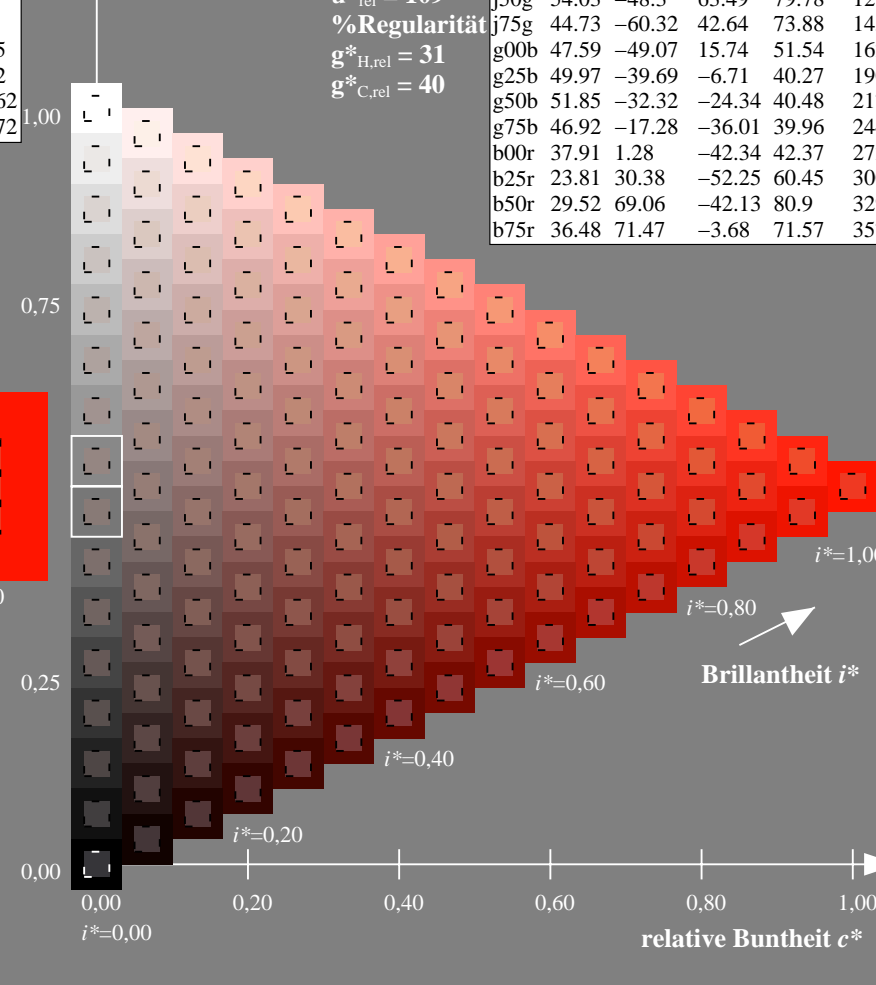
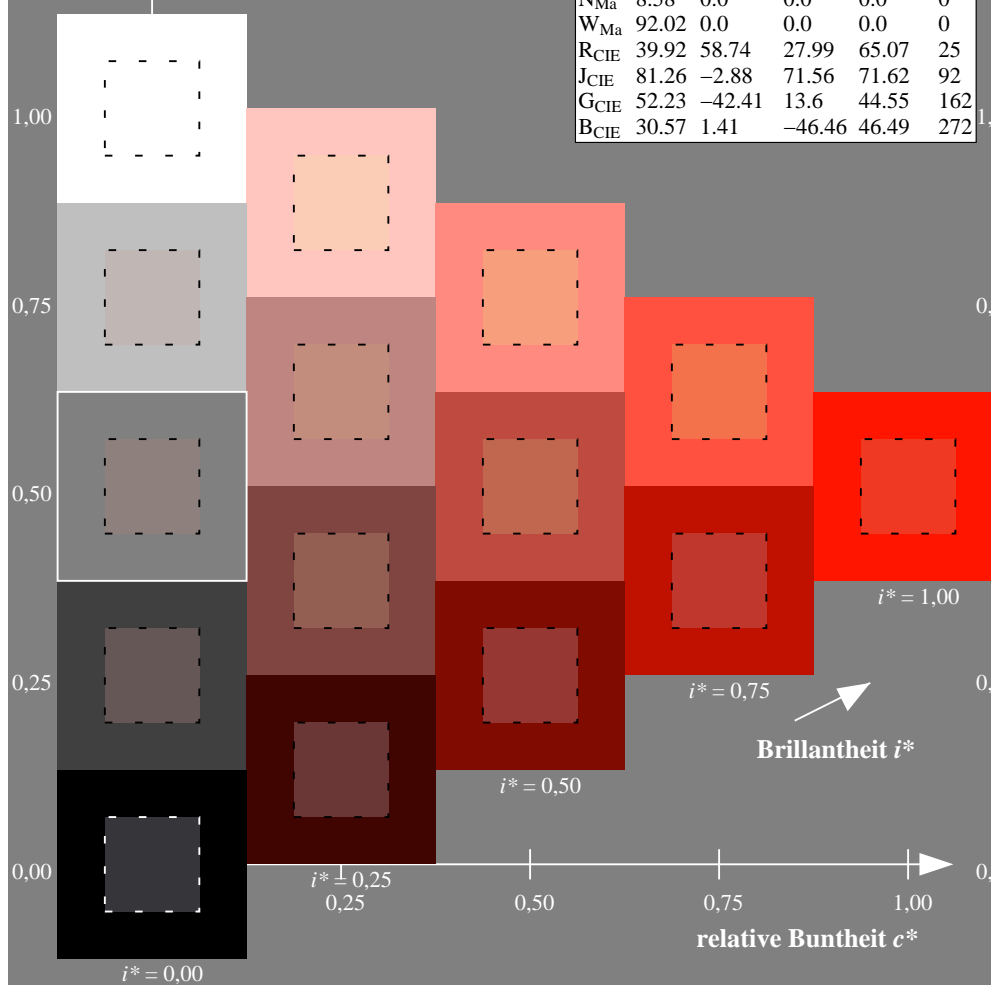
%Regularität

$g^*_{H,rel} = 31$

$g^*_{C,rel} = 40$

FRS09\_92a; adaptierte CIELAB-Daten

	$L^*=L_a^*$	$a_a^*$	$b_a^*$	$C_{ab,a}^*$	$h_{ab,a}^*$
r00j	35.47	63.32	30.17	70.15	25
r25j	39.12	54.56	49.45	73.64	42
r50j	50.64	39.15	64.89	75.79	59
r75j	64.01	21.26	82.83	85.52	76
j00g	83.18	-4.37	108.53	108.62	92
j25g	66.73	-29.88	83.06	88.28	110
j50g	54.03	-48.3	63.49	79.78	127
j75g	44.73	-60.32	42.64	73.88	145
g00b	47.59	-49.07	15.74	51.54	162
g25b	49.97	-39.69	-6.71	40.27	190
g50b	51.85	-32.32	-24.34	40.48	217
g75b	46.92	-17.28	-36.01	39.96	244
b00r	37.91	1.28	-42.34	42.37	272
b25r	23.81	30.38	-52.25	60.45	300
b50r	29.52	69.06	-42.13	80.9	329
b75r	36.48	71.47	-3.68	71.57	357



Ein und Ausgabe: Farbmetrisches Drucker-Reflektiv-System FRS09\_92a für relativen CIELAB-Buntton  $h^* = lab^*h^* = h_{ab}/360 = 59/360 = 0.164$   $u^* = r50j$

Daten für jede Farbe:

$lab^*ch^*$  und  $lab^*icu^*$

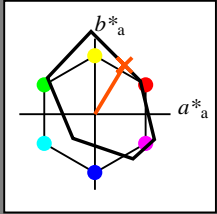
Elementar-Bunttontext:

$u^* = r50j$

Kontrastreduzierungsfaktor:

$c_R = 1.0$

Dreiecks-Helligkeit  $t^*$



FRS09\_92a; adaptierte CIELAB-Daten

	$L^*=L_a^*$	$a_a^*$	$b_a^*$	$C_{ab,a}^*$	$h_{ab,a}^*$
O <sub>Ma</sub>	35.06	60.0	44.0	74.4	36
Y <sub>Ma</sub>	83.77	-5.16	109.32	109.44	93
L <sub>Ma</sub>	44.13	-62.66	48.24	79.09	142
C <sub>Ma</sub>	52.66	-29.13	-31.98	43.27	228
V <sub>Ma</sub>	14.15	50.3	-59.03	77.57	310
M <sub>Ma</sub>	37.37	78.64	-33.49	85.48	337
N <sub>Ma</sub>	8.58	0.0	0.0	0.0	0
W <sub>Ma</sub>	92.02	0.0	0.0	0.0	0
R <sub>CIE</sub>	39.92	58.74	27.99	65.07	25
J <sub>CIE</sub>	81.26	-2.88	71.56	71.62	92
G <sub>CIE</sub>	52.23	-42.41	13.6	44.55	162
B <sub>CIE</sub>	30.57	1.41	-46.46	46.49	272

Daten für Maximalfarbe (Ma):

$LAB^*LAB^*_{Ma}$ : 51 39 65

$LAB^*LCH^*_{Ma}$ : 51 76 59

$lab^*rgb^*_{Ma}$ : 1.0 0.5 0.0

$lab^*olv^*_{Ma}$ : 1.0 0.32 0.0

Dreiecks-Helligkeit  $t^*$

%Umfang

$u^*_{rel} = 109$

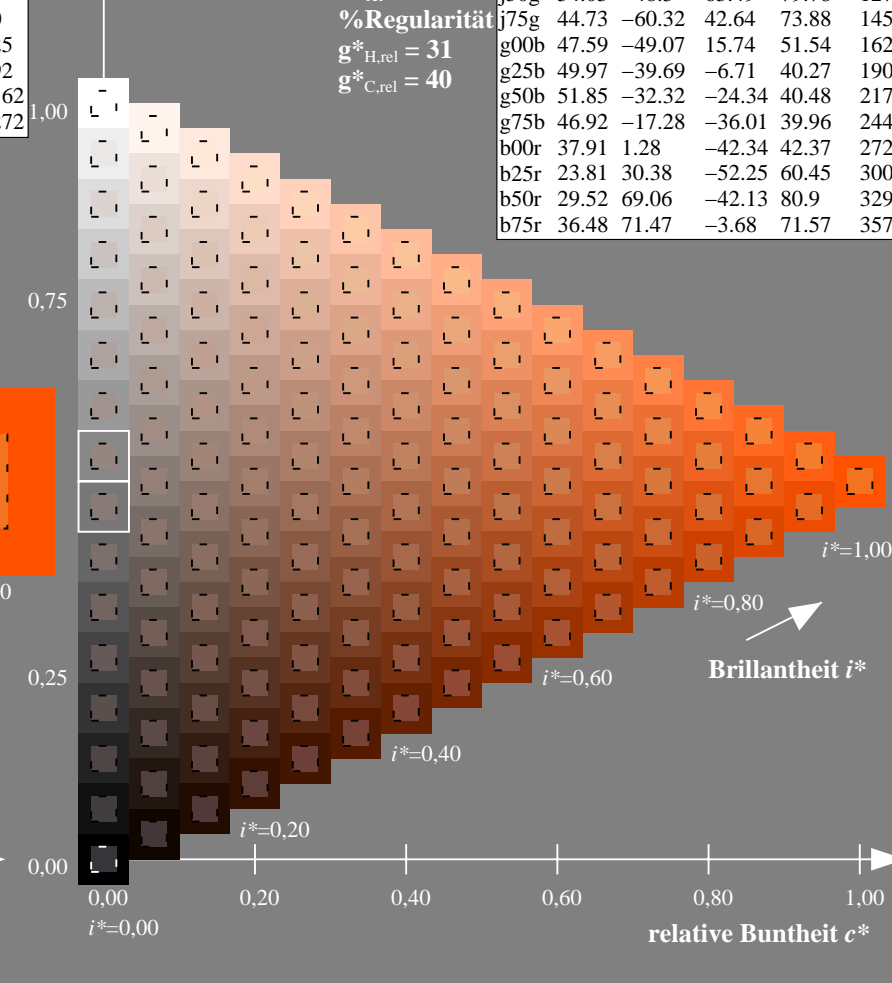
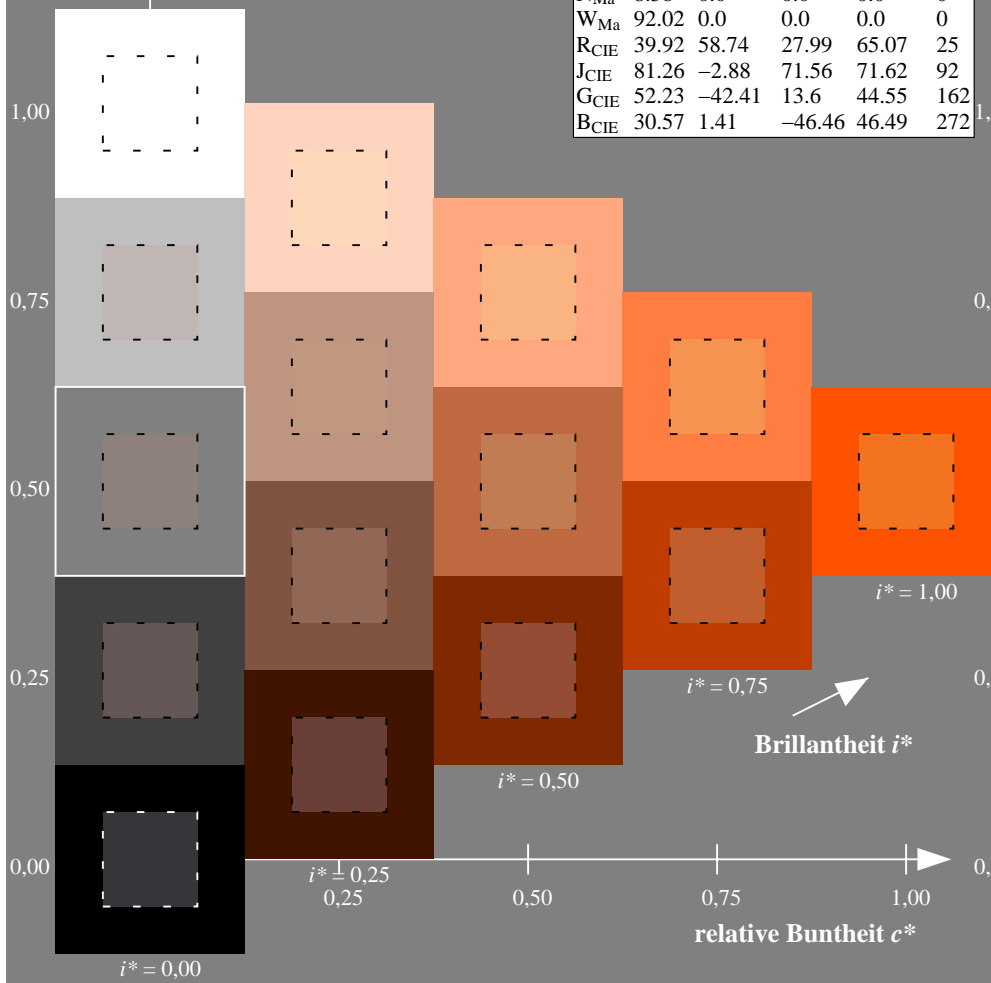
%Regularität

$g^*_{H,rel} = 31$

$g^*_{C,rel} = 40$

FRS09\_92a; adaptierte CIELAB-Daten

	$L^*=L_a^*$	$a_a^*$	$b_a^*$	$C_{ab,a}^*$	$h_{ab,a}^*$
r00j	35.47	63.32	30.17	70.15	25
r25j	39.12	54.56	49.45	73.64	42
r50j	50.64	39.15	64.89	75.79	59
r75j	64.01	21.26	82.83	85.52	76
j00g	83.18	-4.37	108.53	108.62	92
j25g	66.73	-29.88	83.06	88.28	110
j50g	54.03	-48.3	63.49	79.78	127
j75g	44.73	-60.32	42.64	73.88	145
g00b	47.59	-49.07	15.74	51.54	162
g25b	49.97	-39.69	-6.71	40.27	190
g50b	51.85	-32.32	-24.34	40.48	217
g75b	46.92	-17.28	-36.01	39.96	244
b00r	37.91	1.28	-42.34	42.37	272
b25r	23.81	30.38	-52.25	60.45	300
b50r	29.52	69.06	-42.13	80.9	329
b75r	36.48	71.47	-3.68	71.57	357





Ein und Ausgabe: Farbmetrisches Drucker-Reflektiv-System FRS09\_92a für relativen CIELAB-Buntton  $h^* = lab^*h^* = h_{ab}/360 = 76/360 = 0.21$   $u^* = r75j$

Daten für jede Farbe:

$lab^*ch^*$  und  $lab^*icu^*$

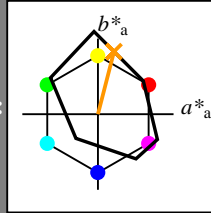
Elementar-Bunttontext:

$u^* = r75j$

Kontrastreduzierungsfaktor:

$c_R = 1.0$

Dreiecks-Helligkeit  $i^*$



FRS09\_92a; adaptierte CIELAB-Daten

	$L^*=L_a^*$	$a_a^*$	$b_a^*$	$C_{ab,a}^*$	$h_{ab,a}^*$
O <sub>Ma</sub>	35.06	60.0	44.0	74.4	36
Y <sub>Ma</sub>	83.77	-5.16	109.32	109.44	93
L <sub>Ma</sub>	44.13	-62.66	48.24	79.09	142
C <sub>Ma</sub>	52.66	-29.13	-31.98	43.27	228
V <sub>Ma</sub>	14.15	50.3	-59.03	77.57	310
M <sub>Ma</sub>	37.37	78.64	-33.49	85.48	337
N <sub>Ma</sub>	8.58	0.0	0.0	0.0	0
W <sub>Ma</sub>	92.02	0.0	0.0	0.0	0
R <sub>CIE</sub>	39.92	58.74	27.99	65.07	25
J <sub>CIE</sub>	81.26	-2.88	71.56	71.62	92
G <sub>CIE</sub>	52.23	-42.41	13.6	44.55	162
B <sub>CIE</sub>	30.57	1.41	-46.46	46.49	272

Daten für Maximalfarbe (Ma):

$LAB^*LAB^*_{Ma}$ : 64 21 83

$LAB^*LCH^*_{Ma}$ : 64 86 76

$lab^*rgb^*_{Ma}$ : 1.0 0.75 0.0

$lab^*olv^*_{Ma}$ : 1.0 0.59 0.0

Dreiecks-Helligkeit  $i^*$

%Umfang

$u^*_{rel} = 109$

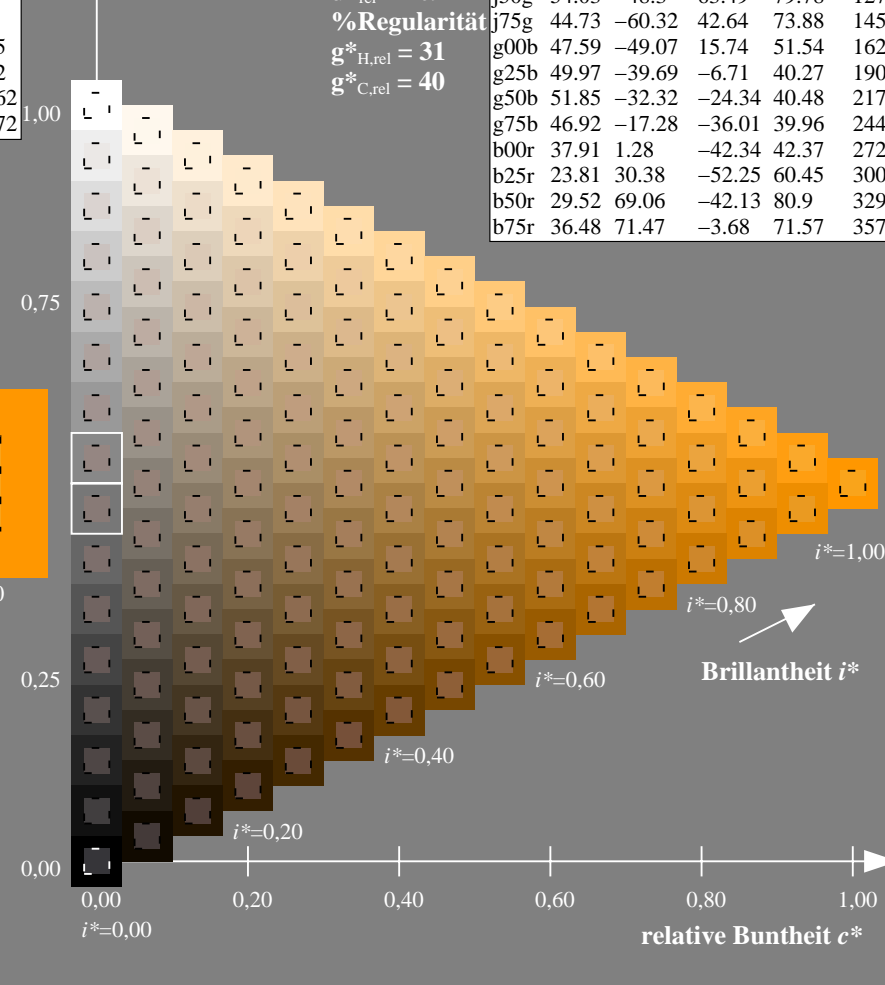
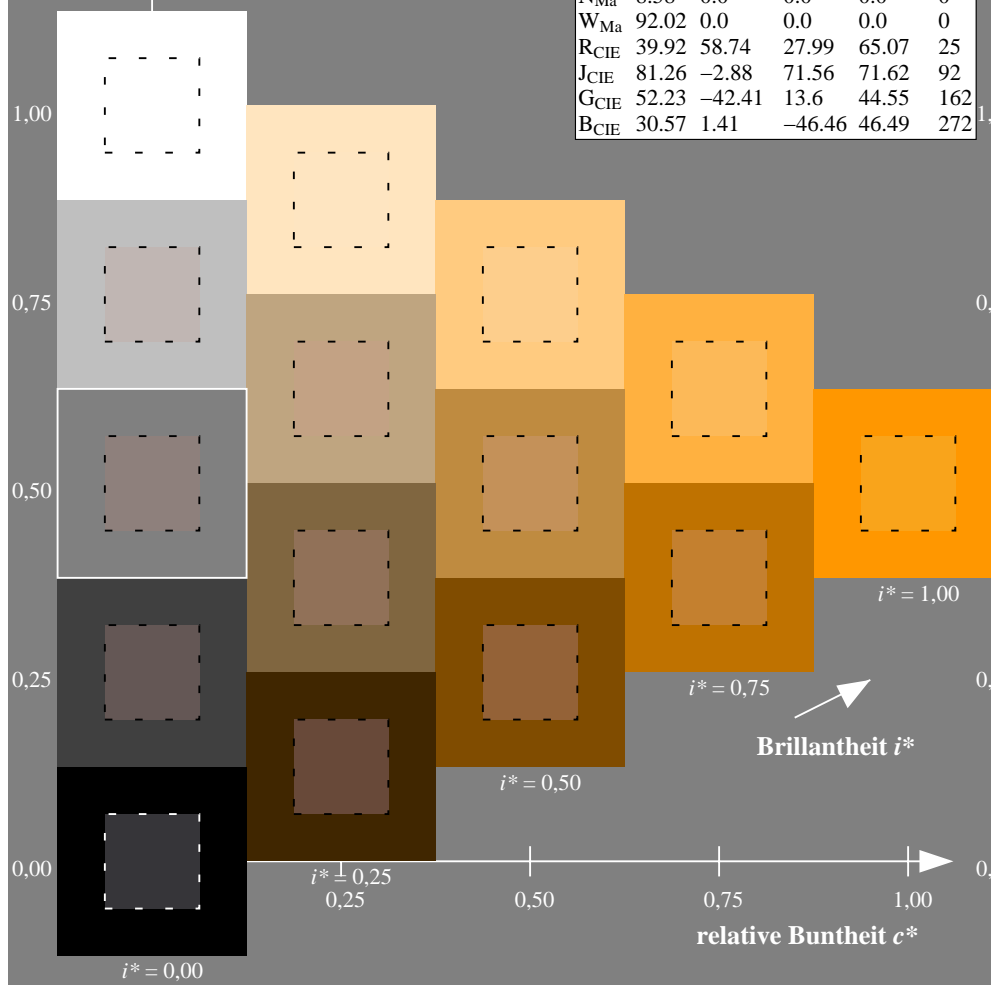
%Regularität

$g^*_{H,rel} = 31$

$g^*_{C,rel} = 40$

FRS09\_92a; adaptierte CIELAB-Daten

	$L^*=L_a^*$	$a_a^*$	$b_a^*$	$C_{ab,a}^*$	$h_{ab,a}^*$
r00j	35.47	63.32	30.17	70.15	25
r25j	39.12	54.56	49.45	73.64	42
r50j	50.64	39.15	64.89	75.79	59
r75j	64.01	21.26	82.83	85.52	76
j00g	83.18	-4.37	108.53	108.62	92
j25g	66.73	-29.88	83.06	88.28	110
j50g	54.03	-48.3	63.49	79.78	127
j75g	44.73	-60.32	42.64	73.88	145
g00b	47.59	-49.07	15.74	51.54	162
g25b	49.97	-39.69	-6.71	40.27	190
g50b	51.85	-32.32	-24.34	40.48	217
g75b	46.92	-17.28	-36.01	39.96	244
b00r	37.91	1.28	-42.34	42.37	272
b25r	23.81	30.38	-52.25	60.45	300
b50r	29.52	69.06	-42.13	80.9	329
b75r	36.48	71.47	-3.68	71.57	357



Ein und Ausgabe: Farbmetrisches Drucker-Reflektiv-System FRS09\_92a für relativen CIELAB-Buntton  $h^* = lab^*h^* = h_{ab}/360 = 92/360 = 0.256$   $u^* = j00g$

Daten für jede Farbe:

$lab^*ch^*$  und  $lab^*icu^*$

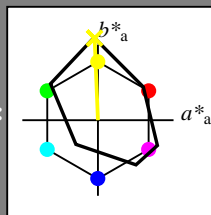
Elementar-Bunttontext:

$u^* = j00g$

Kontrastreduzierungsfaktor:

$c_R = 1.0$

Dreiecks-Helligkeit  $i^*$



FRS09\_92a; adaptierte CIELAB-Daten

	$L^*=L_a^*$	$a_a^*$	$b_a^*$	$C_{ab,a}^*$	$h_{ab,a}^*$
O <sub>Ma</sub>	35.06	60.0	44.0	74.4	36
Y <sub>Ma</sub>	83.77	-5.16	109.32	109.44	93
L <sub>Ma</sub>	44.13	-62.66	48.24	79.09	142
C <sub>Ma</sub>	52.66	-29.13	-31.98	43.27	228
V <sub>Ma</sub>	14.15	50.3	-59.03	77.57	310
M <sub>Ma</sub>	37.37	78.64	-33.49	85.48	337
N <sub>Ma</sub>	8.58	0.0	0.0	0.0	0
W <sub>Ma</sub>	92.02	0.0	0.0	0.0	0
R <sub>CIE</sub>	39.92	58.74	27.99	65.07	25
J <sub>CIE</sub>	81.26	-2.88	71.56	71.62	92
G <sub>CIE</sub>	52.23	-42.41	13.6	44.55	162
B <sub>CIE</sub>	30.57	1.41	-46.46	46.49	272

Daten für Maximalfarbe (Ma):

$LAB^*LAB^*_{Ma}$ : 83 -3 109

$LAB^*LCH^*_{Ma}$ : 83 109 92

$lab^*rgb^*_{Ma}$ : 1.0 1.0 0.0

$lab^*olv^*_{Ma}$ : 1.0 0.99 0.0

Dreiecks-Helligkeit  $i^*$

%Umfang

$u^*_{rel} = 109$

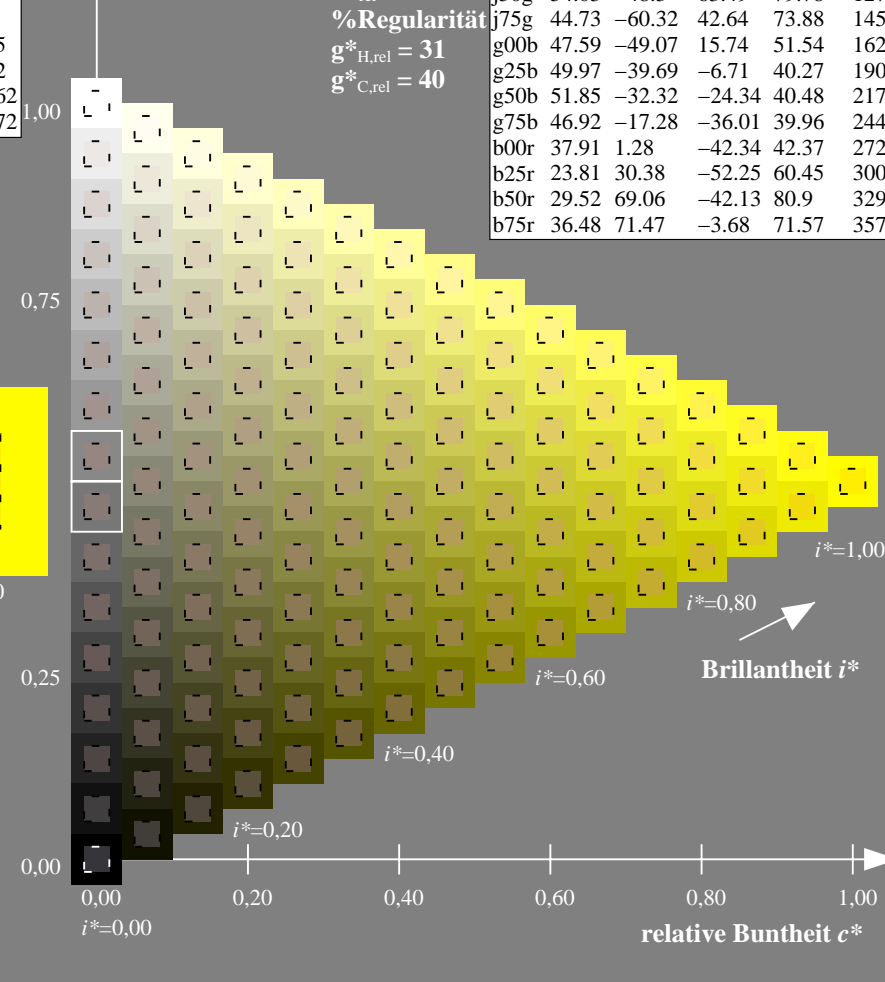
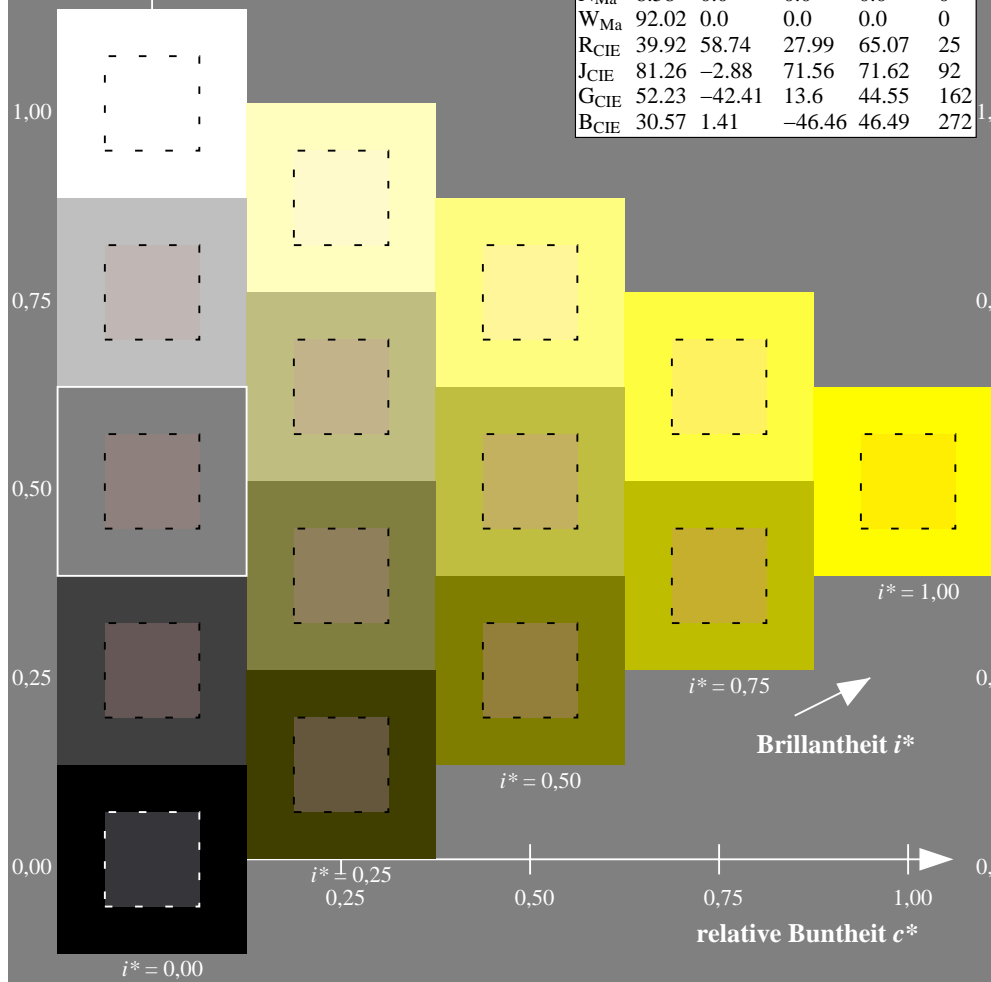
%Regularität

$g^*_{H,rel} = 31$

$g^*_{C,rel} = 40$

FRS09\_92a; adaptierte CIELAB-Daten

	$L^*=L_a^*$	$a_a^*$	$b_a^*$	$C_{ab,a}^*$	$h_{ab,a}^*$
r00j	35.47	63.32	30.17	70.15	25
r25j	39.12	54.56	49.45	73.64	42
r50j	50.64	39.15	64.89	75.79	59
r75j	64.01	21.26	82.83	85.52	76
j00g	83.18	-4.37	108.53	108.62	92
j25g	66.73	-29.88	83.06	88.28	110
j50g	54.03	-48.3	63.49	79.78	127
j75g	44.73	-60.32	42.64	73.88	145
g00b	47.59	-49.07	15.74	51.54	162
g25b	49.97	-39.69	-6.71	40.27	190
g50b	51.85	-32.32	-24.34	40.48	217
g75b	46.92	-17.28	-36.01	39.96	244
b00r	37.91	1.28	-42.34	42.37	272
b25r	23.81	30.38	-52.25	60.45	300
b50r	29.52	69.06	-42.13	80.9	329
b75r	36.48	71.47	-3.68	71.57	357



Ein und Ausgabe: Farbmetrisches Drucker-Reflektiv-System FRS09\_92a für relativen CIELAB-Buntton  $h^* = lab^*h^* = h_{ab}/360 = 110/360 = 0.305$   $u^* = j25g$

Daten für jede Farbe:

$lab^*ch^*$  und  $lab^*icu^*$

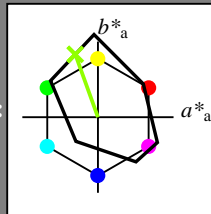
Elementar-Bunttontext:

$u^* = j25g$

Kontrastreduzierungsfaktor:

$c_R = 1.0$

Dreiecks-Helligkeit  $i^*$



FRS09\_92a; adaptierte CIELAB-Daten

	$L^*=L^*_a$	$a^*_a$	$b^*_a$	$C^*_{ab,a}$	$h^*_{ab,a}$
O <sub>Ma</sub>	35.06	60.0	44.0	74.4	36
Y <sub>Ma</sub>	83.77	-5.16	109.32	109.44	93
L <sub>Ma</sub>	44.13	-62.66	48.24	79.09	142
C <sub>Ma</sub>	52.66	-29.13	-31.98	43.27	228
V <sub>Ma</sub>	14.15	50.3	-59.03	77.57	310
M <sub>Ma</sub>	37.37	78.64	-33.49	85.48	337
N <sub>Ma</sub>	8.58	0.0	0.0	0.0	0
W <sub>Ma</sub>	92.02	0.0	0.0	0.0	0
R <sub>CIE</sub>	39.92	58.74	27.99	65.07	25
J <sub>CIE</sub>	81.26	-2.88	71.56	71.62	92
G <sub>CIE</sub>	52.23	-42.41	13.6	44.55	162
B <sub>CIE</sub>	30.57	1.41	-46.46	46.49	272

Daten für Maximalfarbe (Ma):

$LAB^*LAB^*_{Ma}$ : 67 -29 83

$LAB^*LCH^*_{Ma}$ : 67 88 110

$lab^*rgb^*_{Ma}$ : 0.75 1.0 0.0

$lab^*olv^*_{Ma}$ : 0.57 1.0 0.0

Dreiecks-Helligkeit  $i^*$

%Umfang

$u^*_{rel} = 109$

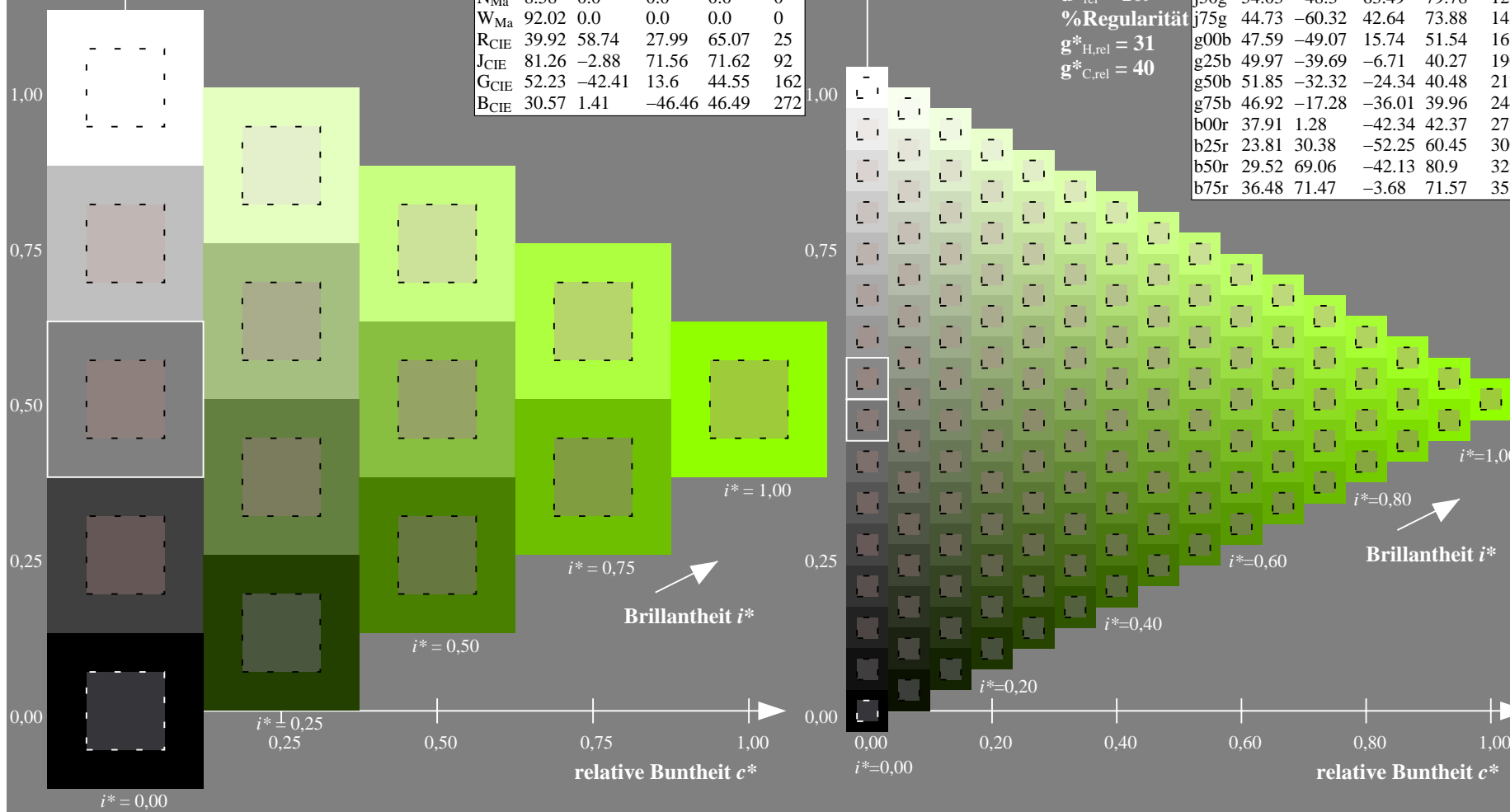
%Regularität

$g^*_{H,rel} = 31$

$g^*_{C,rel} = 40$

FRS09\_92a; adaptierte CIELAB-Daten

	$L^*=L^*_a$	$a^*_a$	$b^*_a$	$C^*_{ab,a}$	$h^*_{ab,a}$
r00j	35.47	63.32	30.17	70.15	25
r25j	39.12	54.56	49.45	73.64	42
r50j	50.64	39.15	64.89	75.79	59
r75j	64.01	21.26	82.83	85.52	76
j00g	83.18	-4.37	108.53	108.62	92
j25g	66.73	-29.88	83.06	88.28	110
j50g	54.03	-48.3	63.49	79.78	127
j75g	44.73	-60.32	42.64	73.88	145
g00b	47.59	-49.07	15.74	51.54	162
g25b	49.97	-39.69	-6.71	40.27	190
g50b	51.85	-32.32	-24.34	40.48	217
g75b	46.92	-17.28	-36.01	39.96	244
b00r	37.91	1.28	-42.34	42.37	272
b25r	23.81	30.38	-52.25	60.45	300
b50r	29.52	69.06	-42.13	80.9	329
b75r	36.48	71.47	-3.68	71.57	357



Ein und Ausgabe: Farbmetrisches Drucker-Reflektiv-System FRS09\_92a für relativen CIELAB-Buntton  $h^* = lab^*h^* = h_{ab}/360 = 127/360 = 0.354$   $u^* = j50g$

Daten für jede Farbe:

$lab^*ch^*$  und  $lab^*icu^*$

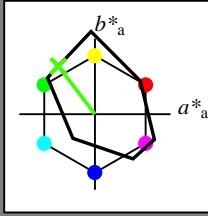
Elementar-Bunttontext:

$u^* = j50g$

Kontrastreduzierungsfaktor:

$c_R = 1.0$

Dreiecks-Helligkeit  $i^*$



FRS09\_92a; adaptierte CIELAB-Daten

	$L^*=L^*_a$	$a^*_a$	$b^*_a$	$C^*_{ab,a}$	$h^*_{ab,a}$
O <sub>Ma</sub>	35.06	60.0	44.0	74.4	36
Y <sub>Ma</sub>	83.77	-5.16	109.32	109.44	93
L <sub>Ma</sub>	44.13	-62.66	48.24	79.09	142
C <sub>Ma</sub>	52.66	-29.13	-31.98	43.27	228
V <sub>Ma</sub>	14.15	50.3	-59.03	77.57	310
M <sub>Ma</sub>	37.37	78.64	-33.49	85.48	337
N <sub>Ma</sub>	8.58	0.0	0.0	0.0	0
W <sub>Ma</sub>	92.02	0.0	0.0	0.0	0
R <sub>CIE</sub>	39.92	58.74	27.99	65.07	25
J <sub>CIE</sub>	81.26	-2.88	71.56	71.62	92
G <sub>CIE</sub>	52.23	-42.41	13.6	44.55	162
B <sub>CIE</sub>	30.57	1.41	-46.46	46.49	272

Daten für Maximalfarbe (Ma):

$LAB^*LAB^*_{Ma}$ : 54 -47 63

$LAB^*LCH^*_{Ma}$ : 54 80 127

$lab^*rgb^*_{Ma}$ : 0.5 1.0 0.0

$lab^*olv^*_{Ma}$ : 0.25 1.0 0.0

Dreiecks-Helligkeit  $i^*$

%Umfang

$u^*_{rel} = 109$

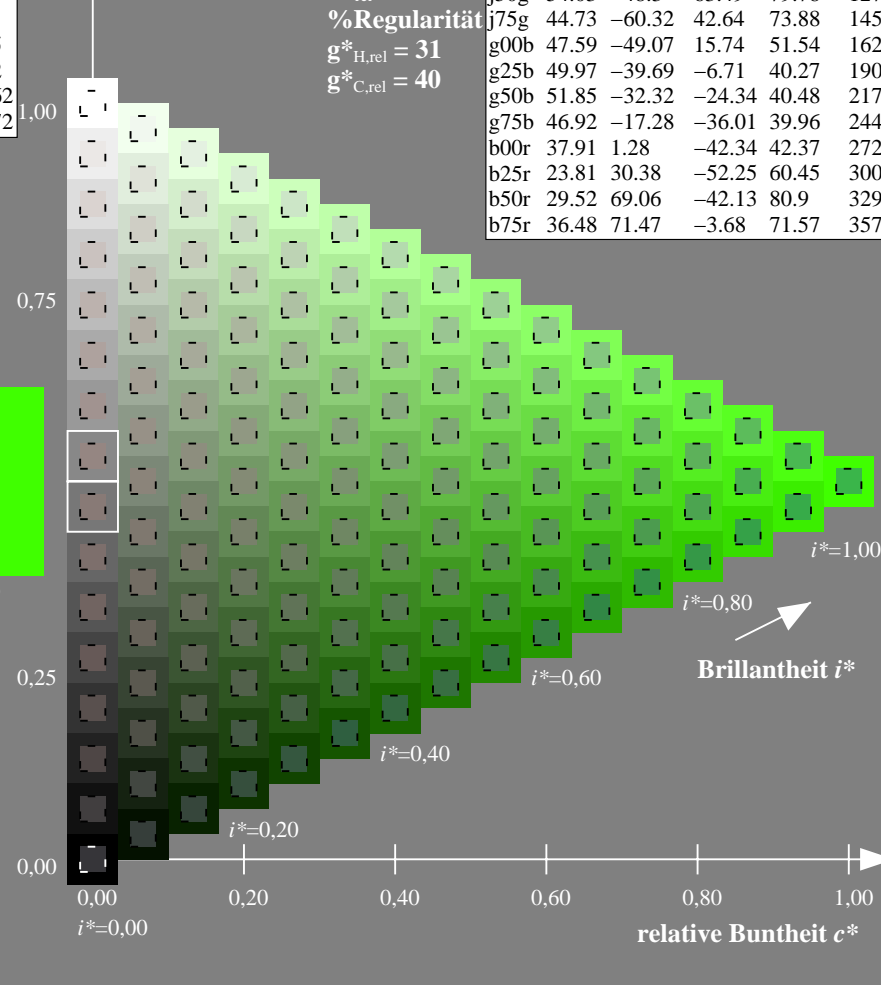
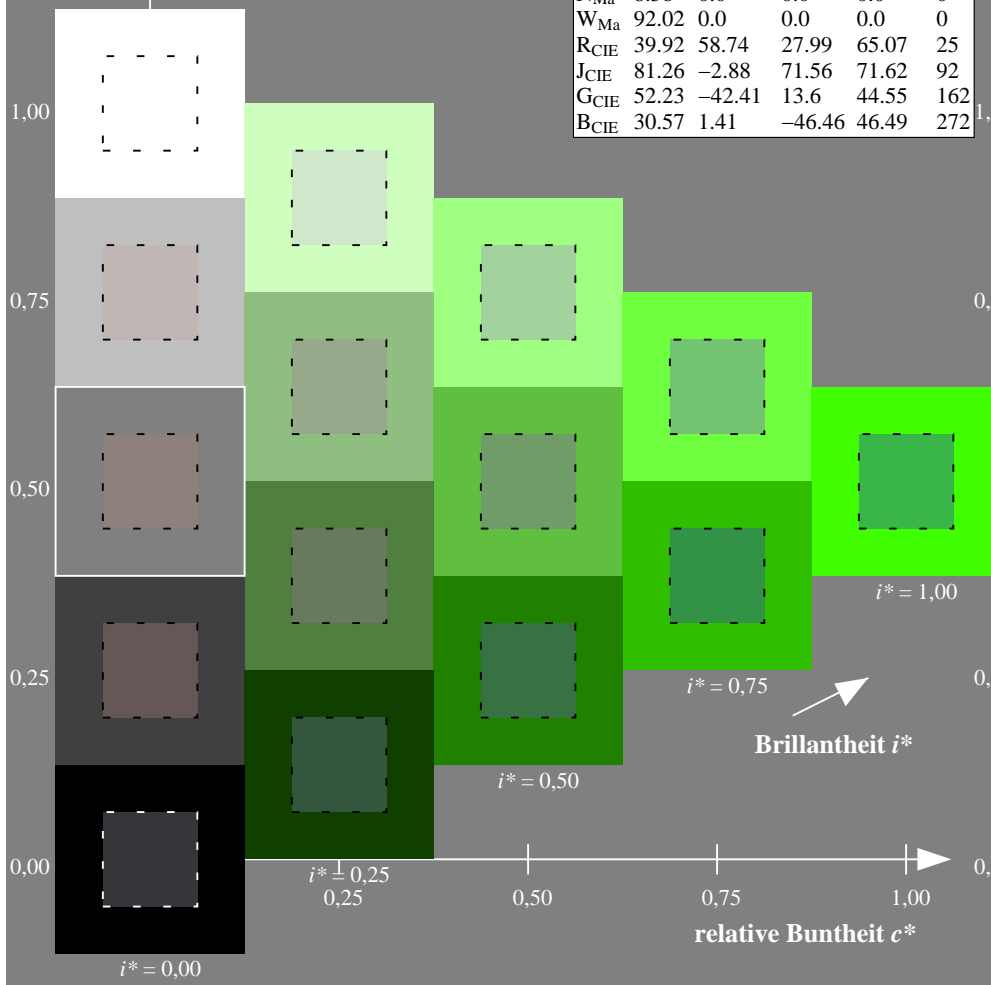
%Regularität

$g^*_{H,rel} = 31$

$g^*_{C,rel} = 40$

FRS09\_92a; adaptierte CIELAB-Daten

	$L^*=L^*_a$	$a^*_a$	$b^*_a$	$C^*_{ab,a}$	$h^*_{ab,a}$
r00j	35.47	63.32	30.17	70.15	25
r25j	39.12	54.56	49.45	73.64	42
r50j	50.64	39.15	64.89	75.79	59
r75j	64.01	21.26	82.83	85.52	76
j00g	83.18	-4.37	108.53	108.62	92
j25g	66.73	-29.88	83.06	88.28	110
j50g	54.03	-48.3	63.49	79.78	127
j75g	44.73	-60.32	42.64	73.88	145
g00b	47.59	-49.07	15.74	51.54	162
g25b	49.97	-39.69	-6.71	40.27	190
g50b	51.85	-32.32	-24.34	40.48	217
g75b	46.92	-17.28	-36.01	39.96	244
b00r	37.91	1.28	-42.34	42.37	272
b25r	23.81	30.38	-52.25	60.45	300
b50r	29.52	69.06	-42.13	80.9	329
b75r	36.48	71.47	-3.68	71.57	357



Ein und Ausgabe: Farbmetrisches Drucker-Reflektiv-System FRS09\_92a für relativen CIELAB-Buntton  $h^* = lab^*h^* = h_{ab}/360 = 145/360 = 0.402$   $u^* = j75g$

Daten für jede Farbe:

$lab^*ch^*$  und  $lab^*icu^*$

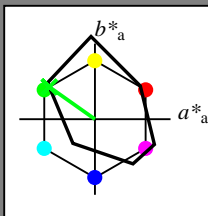
Elementar-Bunttontext:

$u^* = j75g$

Kontrastreduzierungsfaktor:

$c_R = 1.0$

Dreiecks-Helligkeit  $i^*$



FRS09\_92a; adaptierte CIELAB-Daten

	$L^* = L^*_a$	$a^*_a$	$b^*_a$	$C^*_{ab,a}$	$h^*_{ab,a}$
O <sub>Ma</sub>	35.06	60.0	44.0	74.4	36
Y <sub>Ma</sub>	83.77	-5.16	109.32	109.44	93
L <sub>Ma</sub>	44.13	-62.66	48.24	79.09	142
C <sub>Ma</sub>	52.66	-29.13	-31.98	43.27	228
V <sub>Ma</sub>	14.15	50.3	-59.03	77.57	310
M <sub>Ma</sub>	37.37	78.64	-33.49	85.48	337
N <sub>Ma</sub>	8.58	0.0	0.0	0.0	0
W <sub>Ma</sub>	92.02	0.0	0.0	0.0	0
R <sub>CIE</sub>	39.92	58.74	27.99	65.07	25
J <sub>CIE</sub>	81.26	-2.88	71.56	71.62	92
G <sub>CIE</sub>	52.23	-42.41	13.6	44.55	162
B <sub>CIE</sub>	30.57	1.41	-46.46	46.49	272

Daten für Maximalfarbe (Ma):

$LAB^*LAB^*_{Ma}$ : 45 -59 43

$LAB^*LCH^*_{Ma}$ : 45 74 145

$lab^*rgb^*_{Ma}$ : 0.25 1.0 0.0

$lab^*olv^*_{Ma}$ : 0.0 1.0 0.07

Dreiecks-Helligkeit  $i^*$

%Umfang

$u^*_{rel} = 109$

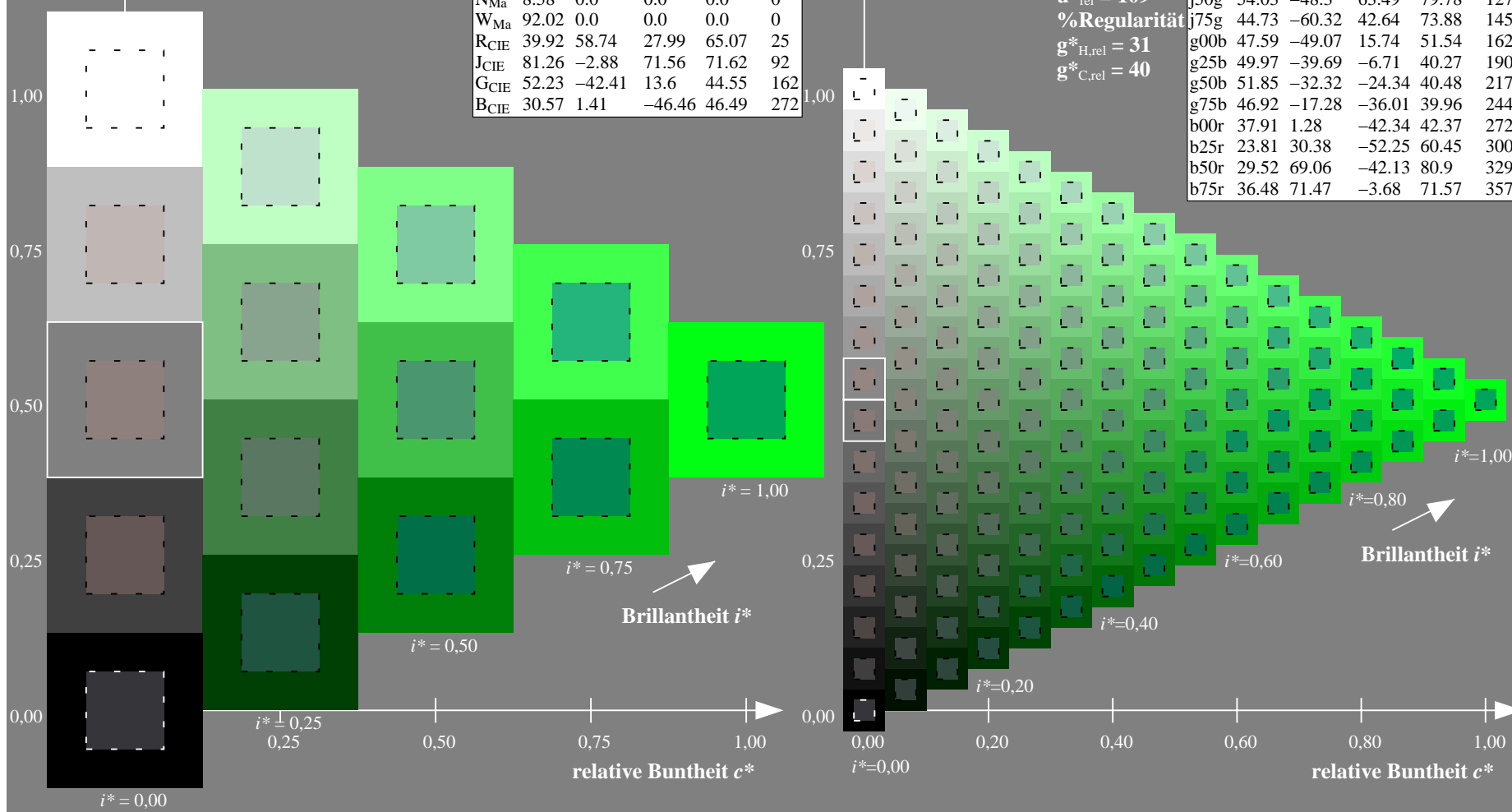
%Regularität

$g^*_{H,rel} = 31$

$g^*_{C,rel} = 40$

FRS09\_92a; adaptierte CIELAB-Daten

	$L^* = L^*_a$	$a^*_a$	$b^*_a$	$C^*_{ab,a}$	$h^*_{ab,a}$
r00j	35.47	63.32	30.17	70.15	25
r25j	39.12	54.56	49.45	73.64	42
r50j	50.64	39.15	64.89	75.79	59
r75j	64.01	21.26	82.83	85.52	76
j00g	83.18	-4.37	108.53	108.62	92
j25g	66.73	-29.88	83.06	88.28	110
j50g	54.03	-48.3	63.49	79.78	127
j75g	44.73	-60.32	42.64	73.88	145
g00b	47.59	-49.07	15.74	51.54	162
g25b	49.97	-39.69	-6.71	40.27	190
g50b	51.85	-32.32	-24.34	40.48	217
g75b	46.92	-17.28	-36.01	39.96	244
b00r	37.91	1.28	-42.34	42.37	272
b25r	23.81	30.38	-52.25	60.45	300
b50r	29.52	69.06	-42.13	80.9	329
b75r	36.48	71.47	-3.68	71.57	357



Ein und Ausgabe: Farbmetrisches Drucker-Reflektiv-System FRS09\_92a für relativen CIELAB-Buntton  $h^* = lab^*h^* = h_{ab}/360 = 162/360 = 0.451$   $u^* = g00b$

Daten für jede Farbe:

$lab^*ch^*$  und  $lab^*icu^*$

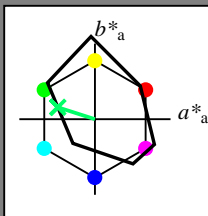
Elementar-Bunttontext:

$u^* = g00b$

Kontrastreduzierungsfaktor:

$c_R = 1.0$

Dreiecks-Helligkeit  $i^*$



FRS09\_92a; adaptierte CIELAB-Daten

	$L^*=L^*_a$	$a^*_a$	$b^*_a$	$C^*_{ab,a}$	$h^*_{ab,a}$
O <sub>Ma</sub>	35.06	60.0	44.0	74.4	36
Y <sub>Ma</sub>	83.77	-5.16	109.32	109.44	93
L <sub>Ma</sub>	44.13	-62.66	48.24	79.09	142
C <sub>Ma</sub>	52.66	-29.13	-31.98	43.27	228
V <sub>Ma</sub>	14.15	50.3	-59.03	77.57	310
M <sub>Ma</sub>	37.37	78.64	-33.49	85.48	337
N <sub>Ma</sub>	8.58	0.0	0.0	0.0	0
W <sub>Ma</sub>	92.02	0.0	0.0	0.0	0
R <sub>CIE</sub>	39.92	58.74	27.99	65.07	25
J <sub>CIE</sub>	81.26	-2.88	71.56	71.62	92
G <sub>CIE</sub>	52.23	-42.41	13.6	44.55	162
B <sub>CIE</sub>	30.57	1.41	-46.46	46.49	272

Daten für Maximalfarbe (Ma):

$LAB^*LAB^*_{Ma}$ : 48 -48 16

$LAB^*LCH^*_{Ma}$ : 48 52 162

$lab^*rgb^*_{Ma}$ : 0.0 1.0 0.0

$lab^*olv^*_{Ma}$ : 0.0 1.0 0.41

Dreiecks-Helligkeit  $i^*$

%Umfang

$u^*_{rel} = 109$

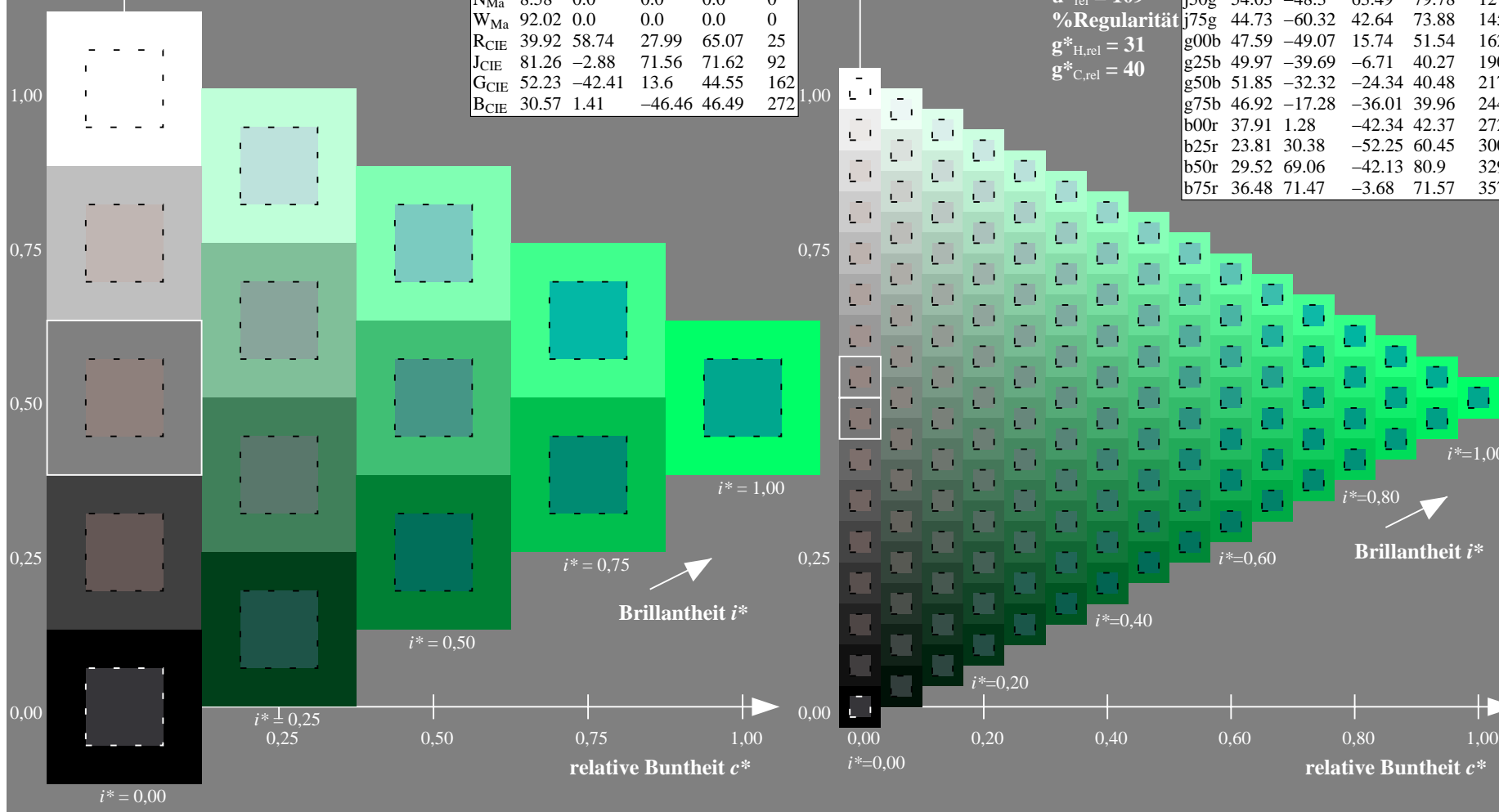
%Regularität

$g^*_{H,rel} = 31$

$g^*_{C,rel} = 40$

FRS09\_92a; adaptierte CIELAB-Daten

	$L^*=L^*_a$	$a^*_a$	$b^*_a$	$C^*_{ab,a}$	$h^*_{ab,a}$
r00j	35.47	63.32	30.17	70.15	25
r25j	39.12	54.56	49.45	73.64	42
r50j	50.64	39.15	64.89	75.79	59
r75j	64.01	21.26	82.83	85.52	76
j00g	83.18	-4.37	108.53	108.62	92
j25g	66.73	-29.88	83.06	88.28	110
j50g	54.03	-48.3	63.49	79.78	127
j75g	44.73	-60.32	42.64	73.88	145
g00b	47.59	-49.07	15.74	51.54	162
g25b	49.97	-39.69	-6.71	40.27	190
g50b	51.85	-32.32	-24.34	40.48	217
g75b	46.92	-17.28	-36.01	39.96	244
b00r	37.91	1.28	-42.34	42.37	272
b25r	23.81	30.38	-52.25	60.45	300
b50r	29.52	69.06	-42.13	80.9	329
b75r	36.48	71.47	-3.68	71.57	357





Ein und Ausgabe: Farbmetrisches Drucker-Reflektiv-System FRS09\_92a für relativen CIELAB-Buntton  $h^* = lab^*h^* = h_{ab}/360 = 190/360 = 0.527$   $u^* = g25b$

Daten für jede Farbe:

$lab^*ch^*$  und  $lab^*icu^*$

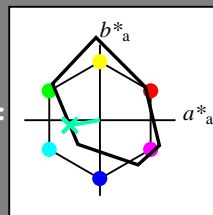
Elementar-Bunttontext:

$u^* = g25b$

Kontrastreduzierungsfaktor:

$c_R = 1.0$

Dreiecks-Helligkeit  $i^*$



FRS09\_92a; adaptierte CIELAB-Daten

	$L^*=L^*_a$	$a^*_a$	$b^*_a$	$C^*_{ab,a}$	$h^*_{ab,a}$
O <sub>Ma</sub>	35.06	60.0	44.0	74.4	36
Y <sub>Ma</sub>	83.77	-5.16	109.32	109.44	93
L <sub>Ma</sub>	44.13	-62.66	48.24	79.09	142
C <sub>Ma</sub>	52.66	-29.13	-31.98	43.27	228
V <sub>Ma</sub>	14.15	50.3	-59.03	77.57	310
M <sub>Ma</sub>	37.37	78.64	-33.49	85.48	337
N <sub>Ma</sub>	8.58	0.0	0.0	0.0	0
W <sub>Ma</sub>	92.02	0.0	0.0	0.0	0
R <sub>CIE</sub>	39.92	58.74	27.99	65.07	25
J <sub>CIE</sub>	81.26	-2.88	71.56	71.62	92
G <sub>CIE</sub>	52.23	-42.41	13.6	44.55	162
B <sub>CIE</sub>	30.57	1.41	-46.46	46.49	272

Daten für Maximalfarbe (Ma):

$LAB^*LAB^*_{Ma}$ : 50 -39 -6

$LAB^*LCH^*_{Ma}$ : 50 40 190

$lab^*rgb^*_{Ma}$ : 0.0 1.0 0.5

$lab^*olv^*_{Ma}$ : 0.0 1.0 0.69

Dreiecks-Helligkeit  $i^*$

%Umfang

$u^*_{rel} = 109$

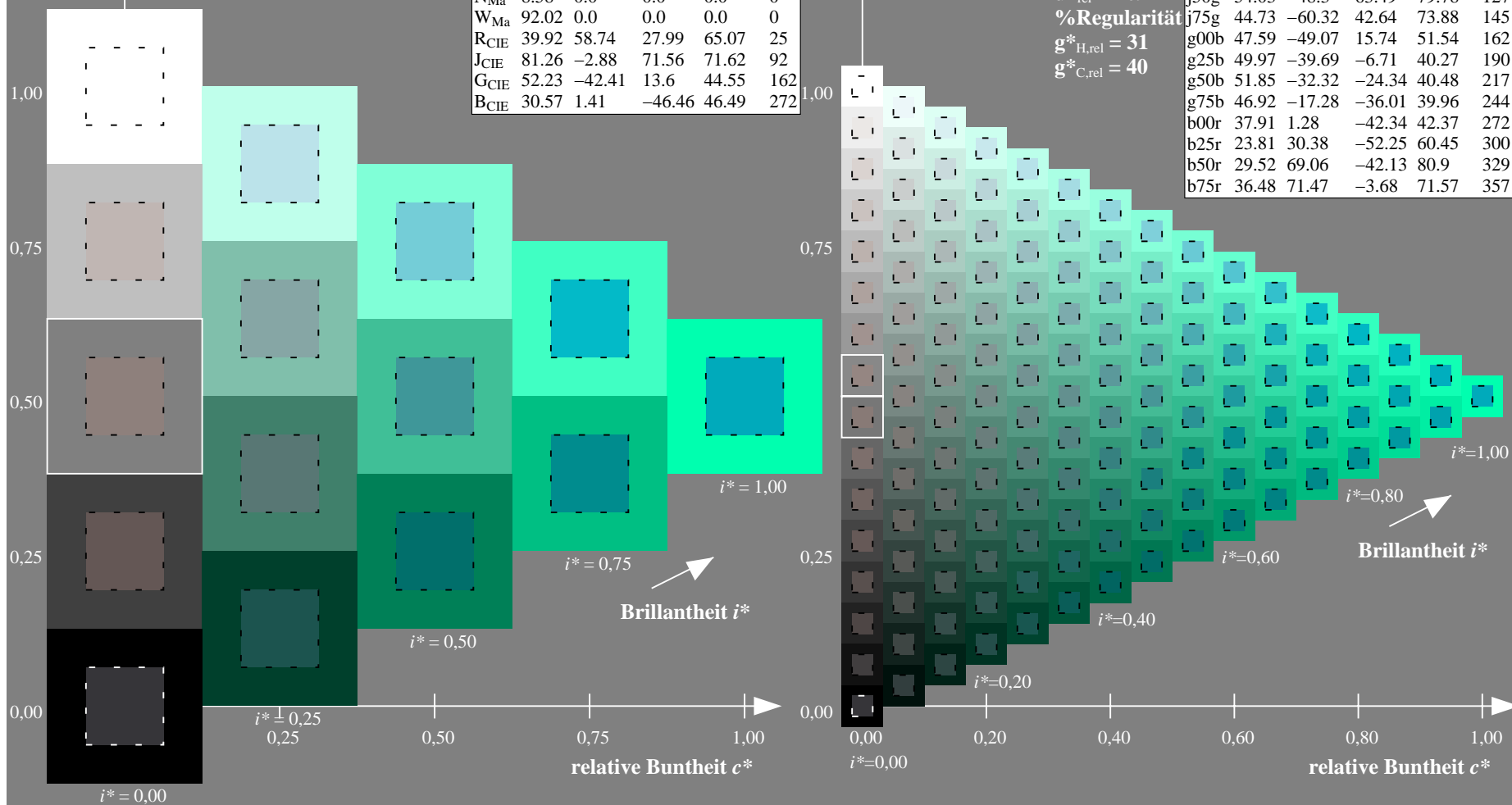
%Regularität

$g^*_{H,rel} = 31$

$g^*_{C,rel} = 40$

FRS09\_92a; adaptierte CIELAB-Daten

	$L^*=L^*_a$	$a^*_a$	$b^*_a$	$C^*_{ab,a}$	$h^*_{ab,a}$
r00j	35.47	63.32	30.17	70.15	25
r25j	39.12	54.56	49.45	73.64	42
r50j	50.64	39.15	64.89	75.79	59
r75j	64.01	21.26	82.83	85.52	76
j00g	83.18	-4.37	108.53	108.62	92
j25g	66.73	-29.88	83.06	88.28	110
j50g	54.03	-48.3	63.49	79.78	127
j75g	44.73	-60.32	42.64	73.88	145
g00b	47.59	-49.07	15.74	51.54	162
g25b	49.97	-39.69	-6.71	40.27	190
g50b	51.85	-32.32	-24.34	40.48	217
g75b	46.92	-17.28	-36.01	39.96	244
b00r	37.91	1.28	-42.34	42.37	272
b25r	23.81	30.38	-52.25	60.45	300
b50r	29.52	69.06	-42.13	80.9	329
b75r	36.48	71.47	-3.68	71.57	357



Ein und Ausgabe: Farbmetrisches Drucker-Reflektiv-System FRS09\_92a für relativen CIELAB-Buntton  $h^* = lab^*h^* = h_{ab}/360 = 217/360 = 0.603$   $u^* = g50b$

Daten für jede Farbe:

$lab^*ch^*$  und  $lab^*icu^*$

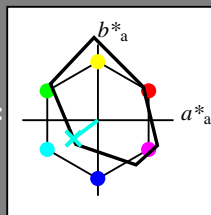
Elementar-Bunttontext:

$u^* = g50b$

Kontrastreduzierungsfaktor:

$c_R = 1.0$

Dreiecks-Helligkeit  $i^*$



FRS09\_92a; adaptierte CIELAB-Daten

	$L^*=L^*_a$	$a^*_a$	$b^*_a$	$C^*_{ab,a}$	$h^*_{ab,a}$
O <sub>Ma</sub>	35.06	60.0	44.0	74.4	36
Y <sub>Ma</sub>	83.77	-5.16	109.32	109.44	93
L <sub>Ma</sub>	44.13	-62.66	48.24	79.09	142
C <sub>Ma</sub>	52.66	-29.13	-31.98	43.27	228
V <sub>Ma</sub>	14.15	50.3	-59.03	77.57	310
M <sub>Ma</sub>	37.37	78.64	-33.49	85.48	337
N <sub>Ma</sub>	8.58	0.0	0.0	0.0	0
W <sub>Ma</sub>	92.02	0.0	0.0	0.0	0
R <sub>CIE</sub>	39.92	58.74	27.99	65.07	25
J <sub>CIE</sub>	81.26	-2.88	71.56	71.62	92
G <sub>CIE</sub>	52.23	-42.41	13.6	44.55	162
B <sub>CIE</sub>	30.57	1.41	-46.46	46.49	272

Daten für Maximalfarbe (Ma):

$LAB^*LAB^*_{Ma}$ : 52 -31 -23

$LAB^*LCH^*_{Ma}$ : 52 40 217

$lab^*rgb^*_{Ma}$ : 0.0 1.0 1.0

$lab^*olv^*_{Ma}$ : 0.0 1.0 0.9

Dreiecks-Helligkeit  $i^*$

%Umfang

$u^*_{rel} = 109$

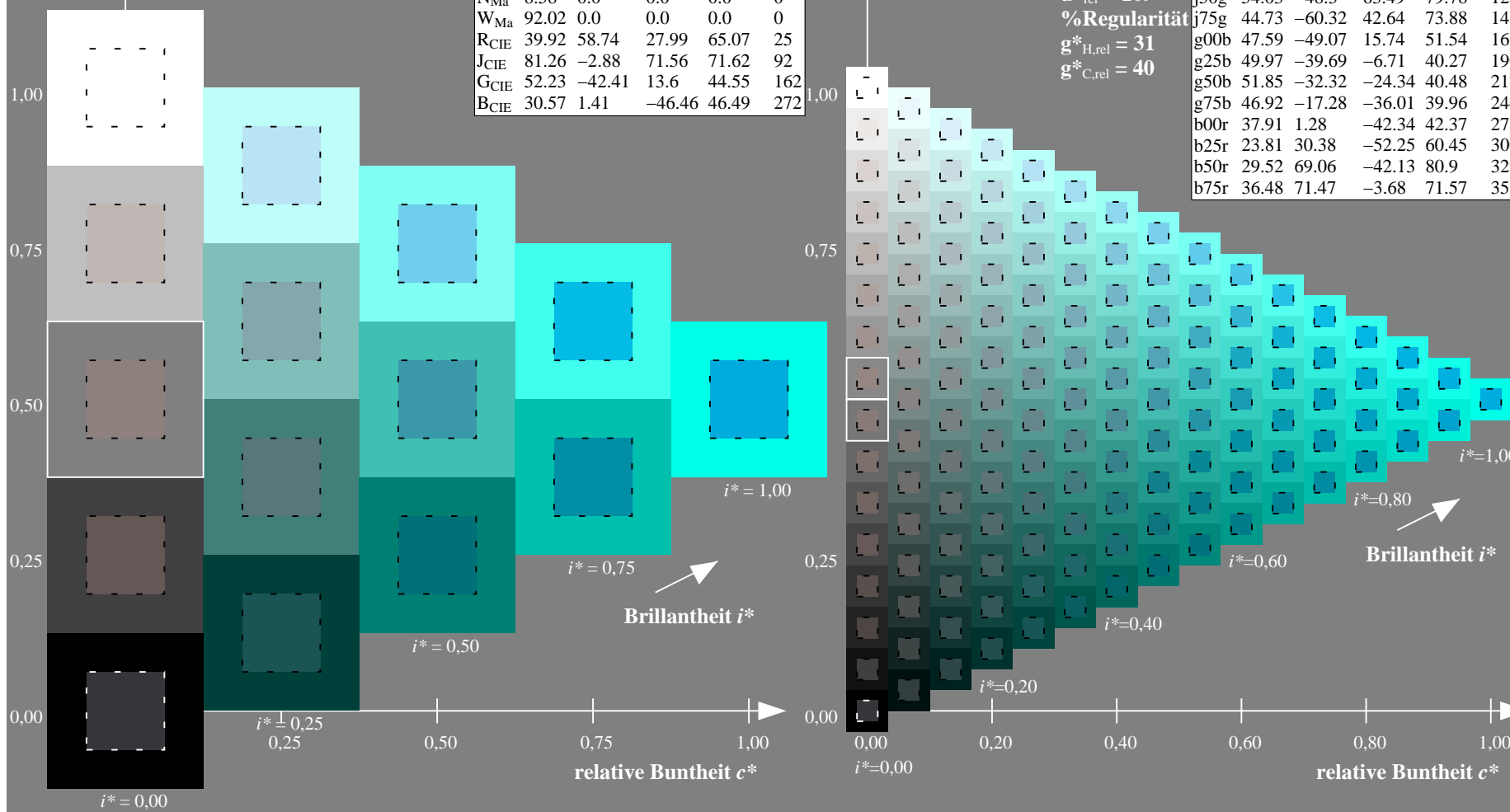
%Regularität

$g^*_{H,rel} = 31$

$g^*_{C,rel} = 40$

FRS09\_92a; adaptierte CIELAB-Daten

	$L^*=L^*_a$	$a^*_a$	$b^*_a$	$C^*_{ab,a}$	$h^*_{ab,a}$
r00j	35.47	63.32	30.17	70.15	25
r25j	39.12	54.56	49.45	73.64	42
r50j	50.64	39.15	64.89	75.79	59
r75j	64.01	21.26	82.83	85.52	76
j00g	83.18	-4.37	108.53	108.62	92
j25g	66.73	-29.88	83.06	88.28	110
j50g	54.03	-48.3	63.49	79.78	127
j75g	44.73	-60.32	42.64	73.88	145
g00b	47.59	-49.07	15.74	51.54	162
g25b	49.97	-39.69	-6.71	40.27	190
g50b	51.85	-32.32	-24.34	40.48	217
g75b	46.92	-17.28	-36.01	39.96	244
b00r	37.91	1.28	-42.34	42.37	272
b25r	23.81	30.38	-52.25	60.45	300
b50r	29.52	69.06	-42.13	80.9	329
b75r	36.48	71.47	-3.68	71.57	357



Ein und Ausgabe: Farbmetrisches Drucker-Reflektiv-System FRS09\_92a für relativen CIELAB-Buntton  $h^* = lab^*h^* = h_{ab}/360 = 244/360 = 0.679$   $u^* = g75b$

Daten für jede Farbe:

$lab^*ch^*$  und  $lab^*icu^*$

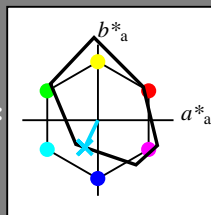
Elementar-Bunttontext:

$u^* = g75b$

Kontrastreduzierungsfaktor:

$c_R = 1.0$

Dreiecks-Helligkeit  $i^*$



FRS09\_92a; adaptierte CIELAB-Daten

	$L^*=L^*_a$	$a^*_a$	$b^*_a$	$C^*_{ab,a}$	$h^*_{ab,a}$
O <sub>Ma</sub>	35.06	60.0	44.0	74.4	36
Y <sub>Ma</sub>	83.77	-5.16	109.32	109.44	93
L <sub>Ma</sub>	44.13	-62.66	48.24	79.09	142
C <sub>Ma</sub>	52.66	-29.13	-31.98	43.27	228
V <sub>Ma</sub>	14.15	50.3	-59.03	77.57	310
M <sub>Ma</sub>	37.37	78.64	-33.49	85.48	337
N <sub>Ma</sub>	8.58	0.0	0.0	0.0	0
W <sub>Ma</sub>	92.02	0.0	0.0	0.0	0
R <sub>CIE</sub>	39.92	58.74	27.99	65.07	25
J <sub>CIE</sub>	81.26	-2.88	71.56	71.62	92
G <sub>CIE</sub>	52.23	-42.41	13.6	44.55	162
B <sub>CIE</sub>	30.57	1.41	-46.46	46.49	272

Daten für Maximalfarbe (Ma):

$LAB^*LAB^*_{Ma}$ : 47 -16 -35

$LAB^*LCH^*_{Ma}$ : 47 40 244

$lab^*rgb^*_{Ma}$ : 0.0 0.5 1.0

$lab^*olv^*_{Ma}$ : 0.0 0.85 1.0

Dreiecks-Helligkeit  $i^*$

%Umfang

$u^*_{rel} = 109$

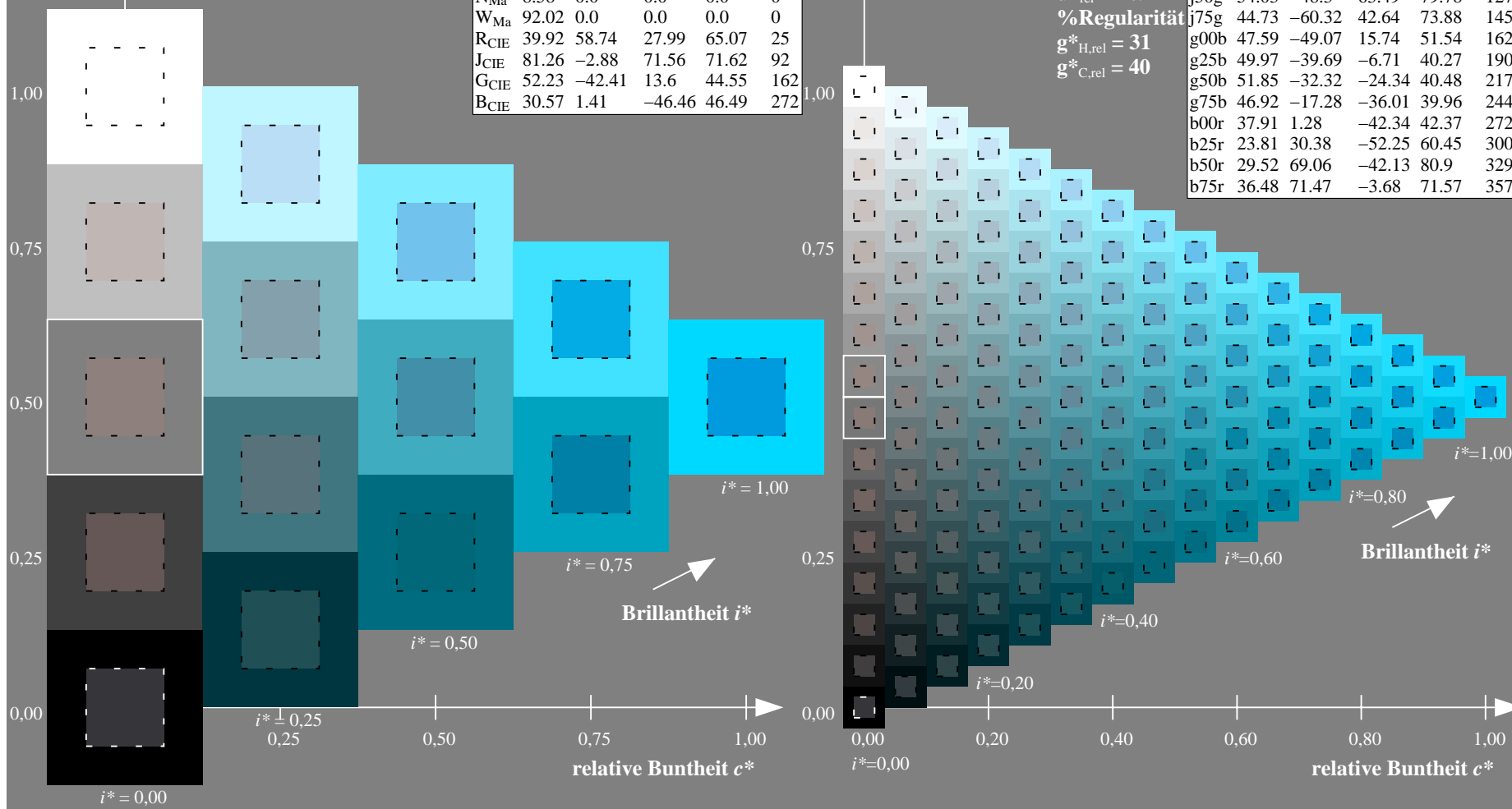
%Regularität

$g^*_{H,rel} = 31$

$g^*_{C,rel} = 40$

FRS09\_92a; adaptierte CIELAB-Daten

	$L^*=L^*_a$	$a^*_a$	$b^*_a$	$C^*_{ab,a}$	$h^*_{ab,a}$
r00j	35.47	63.32	30.17	70.15	25
r25j	39.12	54.56	49.45	73.64	42
r50j	50.64	39.15	64.89	75.79	59
r75j	64.01	21.26	82.83	85.52	76
j00g	83.18	-4.37	108.53	108.62	92
j25g	66.73	-29.88	83.06	88.28	110
j50g	54.03	-48.3	63.49	79.78	127
j75g	44.73	-60.32	42.64	73.88	145
g00b	47.59	-49.07	15.74	51.54	162
g25b	49.97	-39.69	-6.71	40.27	190
g50b	51.85	-32.32	-24.34	40.48	217
g75b	46.92	-17.28	-36.01	39.96	244
b00r	37.91	1.28	-42.34	42.37	272
b25r	23.81	30.38	-52.25	60.45	300
b50r	29.52	69.06	-42.13	80.9	329
b75r	36.48	71.47	-3.68	71.57	357



Ein und Ausgabe: Farbmetrisches Drucker-Reflektiv-System FRS09\_92a für relativen CIELAB-Buntton  $h^* = lab^*h^* = h_{ab}/360 = 272/360 = 0.755$   $u^* = b00r$

Daten für jede Farbe:

$lab^*ch^*$  und  $lab^*icu^*$

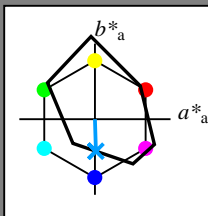
Elementar-Bunttontext:

$u^* = b00r$

Kontrastreduzierungsfaktor:

$c_R = 1.0$

Dreiecks-Helligkeit  $i^*$



FRS09\_92a; adaptierte CIELAB-Daten

	$L^*=L^*_a$	$a^*_a$	$b^*_a$	$C^*_{ab,a}$	$h^*_{ab,a}$
O <sub>Ma</sub>	35.06	60.0	44.0	74.4	36
Y <sub>Ma</sub>	83.77	-5.16	109.32	109.44	93
L <sub>Ma</sub>	44.13	-62.66	48.24	79.09	142
C <sub>Ma</sub>	52.66	-29.13	-31.98	43.27	228
V <sub>Ma</sub>	14.15	50.3	-59.03	77.57	310
M <sub>Ma</sub>	37.37	78.64	-33.49	85.48	337
N <sub>Ma</sub>	8.58	0.0	0.0	0.0	0
W <sub>Ma</sub>	92.02	0.0	0.0	0.0	0
R <sub>CIE</sub>	39.92	58.74	27.99	65.07	25
J <sub>CIE</sub>	81.26	-2.88	71.56	71.62	92
G <sub>CIE</sub>	52.23	-42.41	13.6	44.55	162
B <sub>CIE</sub>	30.57	1.41	-46.46	46.49	272

Daten für Maximalfarbe (Ma):

$LAB^*LAB^*_{Ma}$ : 38 1 -41

$LAB^*LCH^*_{Ma}$ : 38 42 272

$lab^*rgb^*_{Ma}$ : 0.0 0.0 1.0

$lab^*olv^*_{Ma}$ : 0.0 0.62 1.0

Dreiecks-Helligkeit  $i^*$

%Umfang

$u^*_{rel} = 109$

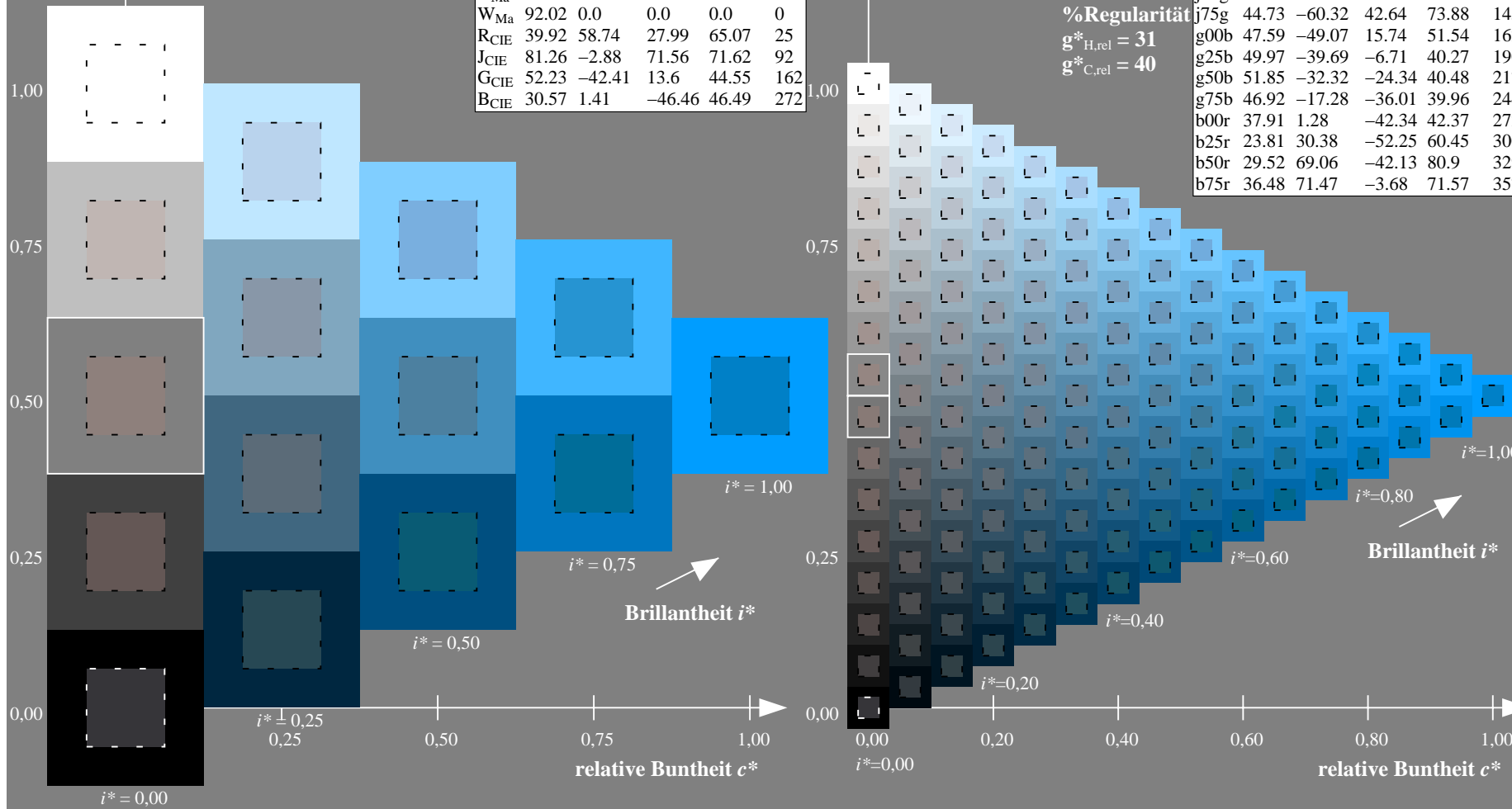
%Regularität

$g^*_{H,rel} = 31$

$g^*_{C,rel} = 40$

FRS09\_92a; adaptierte CIELAB-Daten

	$L^*=L^*_a$	$a^*_a$	$b^*_a$	$C^*_{ab,a}$	$h^*_{ab,a}$
r00j	35.47	63.32	30.17	70.15	25
r25j	39.12	54.56	49.45	73.64	42
r50j	50.64	39.15	64.89	75.79	59
r75j	64.01	21.26	82.83	85.52	76
j00g	83.18	-4.37	108.53	108.62	92
j25g	66.73	-29.88	83.06	88.28	110
j50g	54.03	-48.3	63.49	79.78	127
j75g	44.73	-60.32	42.64	73.88	145
g00b	47.59	-49.07	15.74	51.54	162
g25b	49.97	-39.69	-6.71	40.27	190
g50b	51.85	-32.32	-24.34	40.48	217
g75b	46.92	-17.28	-36.01	39.96	244
b00r	37.91	1.28	-42.34	42.37	272
b25r	23.81	30.38	-52.25	60.45	300
b50r	29.52	69.06	-42.13	80.9	329
b75r	36.48	71.47	-3.68	71.57	357



Ein und Ausgabe: Farbmetrisches Drucker-Reflektiv-System FRS09\_92a für relativen CIELAB-Buntton  $h^* = lab^*h^* = h_{ab}/360 = 300/360 = 0.834$   $u^* = b25r$

Daten für jede Farbe:

$lab^*ch^*$  und  $lab^*icu^*$

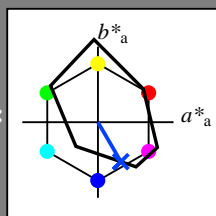
Elementar-Bunttontext:

$u^* = b25r$

Kontrastreduzierungsfaktor:

$c_R = 1.0$

Dreiecks-Helligkeit  $i^*$



FRS09\_92a; adaptierte CIELAB-Daten

	$L^*=L_a^*$	$a_a^*$	$b_a^*$	$C_{ab,a}^*$	$h_{ab,a}^*$
O <sub>Ma</sub>	35.06	60.0	44.0	74.4	36
Y <sub>Ma</sub>	83.77	-5.16	109.32	109.44	93
L <sub>Ma</sub>	44.13	-62.66	48.24	79.09	142
C <sub>Ma</sub>	52.66	-29.13	-31.98	43.27	228
V <sub>Ma</sub>	14.15	50.3	-59.03	77.57	310
M <sub>Ma</sub>	37.37	78.64	-33.49	85.48	337
N <sub>Ma</sub>	8.58	0.0	0.0	0.0	0
W <sub>Ma</sub>	92.02	0.0	0.0	0.0	0
R <sub>CIE</sub>	39.92	58.74	27.99	65.07	25
J <sub>CIE</sub>	81.26	-2.88	71.56	71.62	92
G <sub>CIE</sub>	52.23	-42.41	13.6	44.55	162
B <sub>CIE</sub>	30.57	1.41	-46.46	46.49	272

Daten für Maximalfarbe (Ma):

$LAB^*LAB^*_{Ma}$ : 24 30 -51

$LAB^*LCH^*_{Ma}$ : 24 60 300

$lab^*rgb^*_{Ma}$ : 0.5 0.0 1.0

$lab^*olv^*_{Ma}$ : 0.0 0.25 1.0

Dreiecks-Helligkeit  $i^*$

%Umfang

$u^*_{rel} = 109$

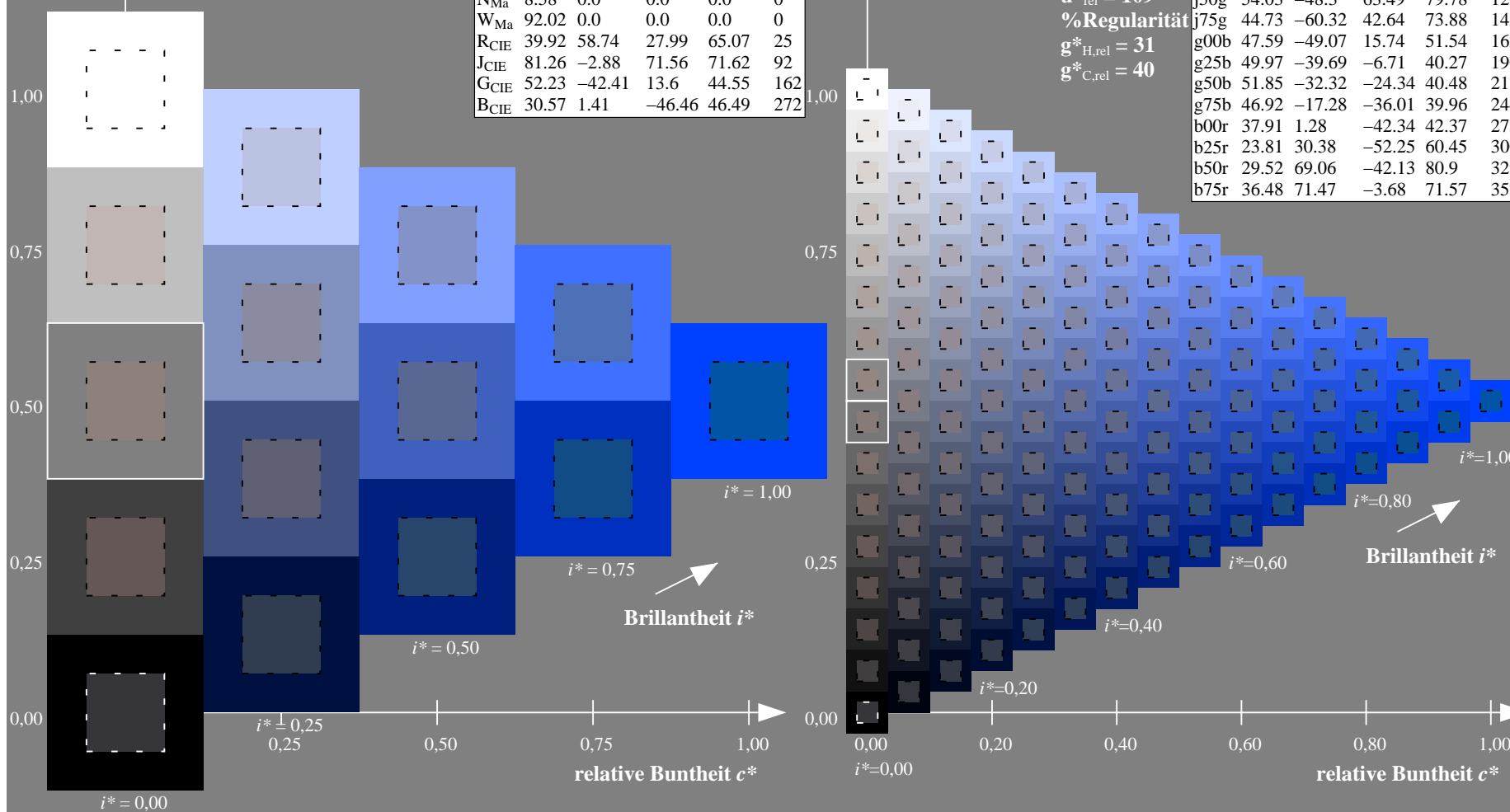
%Regularität

$g^*_{H,rel} = 31$

$g^*_{C,rel} = 40$

FRS09\_92a; adaptierte CIELAB-Daten

	$L^*=L_a^*$	$a_a^*$	$b_a^*$	$C_{ab,a}^*$	$h_{ab,a}^*$
r00j	35.47	63.32	30.17	70.15	25
r25j	39.12	54.56	49.45	73.64	42
r50j	50.64	39.15	64.89	75.79	59
r75j	64.01	21.26	82.83	85.52	76
j00g	83.18	-4.37	108.53	108.62	92
j25g	66.73	-29.88	83.06	88.28	110
j50g	54.03	-48.3	63.49	79.78	127
j75g	44.73	-60.32	42.64	73.88	145
g00b	47.59	-49.07	15.74	51.54	162
g25b	49.97	-39.69	-6.71	40.27	190
g50b	51.85	-32.32	-24.34	40.48	217
g75b	46.92	-17.28	-36.01	39.96	244
b00r	37.91	1.28	-42.34	42.37	272
b25r	23.81	30.38	-52.25	60.45	300
b50r	29.52	69.06	-42.13	80.9	329
b75r	36.48	71.47	-3.68	71.57	357



Ein und Ausgabe: Farbmimetrisches Drucker-Reflektiv-System FRS09\_92a für relativen CIELAB-Buntton  $h^* = lab^*h^* = h_{ab}/360 = 329/360 = 0.913$   $u^* = b50r$

Daten für jede Farbe:

$lab^*ch^*$  und  $lab^*icu^*$

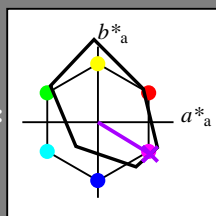
Elementar-Bunttontext:

$u^* = b50r$

Kontrastreduzierungsfaktor:

$c_R = 1.0$

Dreiecks-Helligkeit  $t^*$



FRS09\_92a; adaptierte CIELAB-Daten

	$L^*=L_a^*$	$a_a^*$	$b_a^*$	$C_{ab,a}^*$	$h_{ab,a}^*$
O <sub>Ma</sub>	35.06	60.0	44.0	74.4	36
Y <sub>Ma</sub>	83.77	-5.16	109.32	109.44	93
L <sub>Ma</sub>	44.13	-62.66	48.24	79.09	142
C <sub>Ma</sub>	52.66	-29.13	-31.98	43.27	228
V <sub>Ma</sub>	14.15	50.3	-59.03	77.57	310
M <sub>Ma</sub>	37.37	78.64	-33.49	85.48	337
N <sub>Ma</sub>	8.58	0.0	0.0	0.0	0
W <sub>Ma</sub>	92.02	0.0	0.0	0.0	0
R <sub>CIE</sub>	39.92	58.74	27.99	65.07	25
J <sub>CIE</sub>	81.26	-2.88	71.56	71.62	92
G <sub>CIE</sub>	52.23	-42.41	13.6	44.55	162
B <sub>CIE</sub>	30.57	1.41	-46.46	46.49	272

Daten für Maximalfarbe (Ma):

$LAB^*LAB^*_{Ma}$ : 30 69 -41

$LAB^*LCH^*_{Ma}$ : 30 81 329

$lab^*rgb^*_{Ma}$ : 1.0 0.0 1.0

$lab^*olv^*_{Ma}$ : 0.66 0.0 1.0

Dreiecks-Helligkeit  $t^*$

%Umfang

$u^*_{rel} = 109$

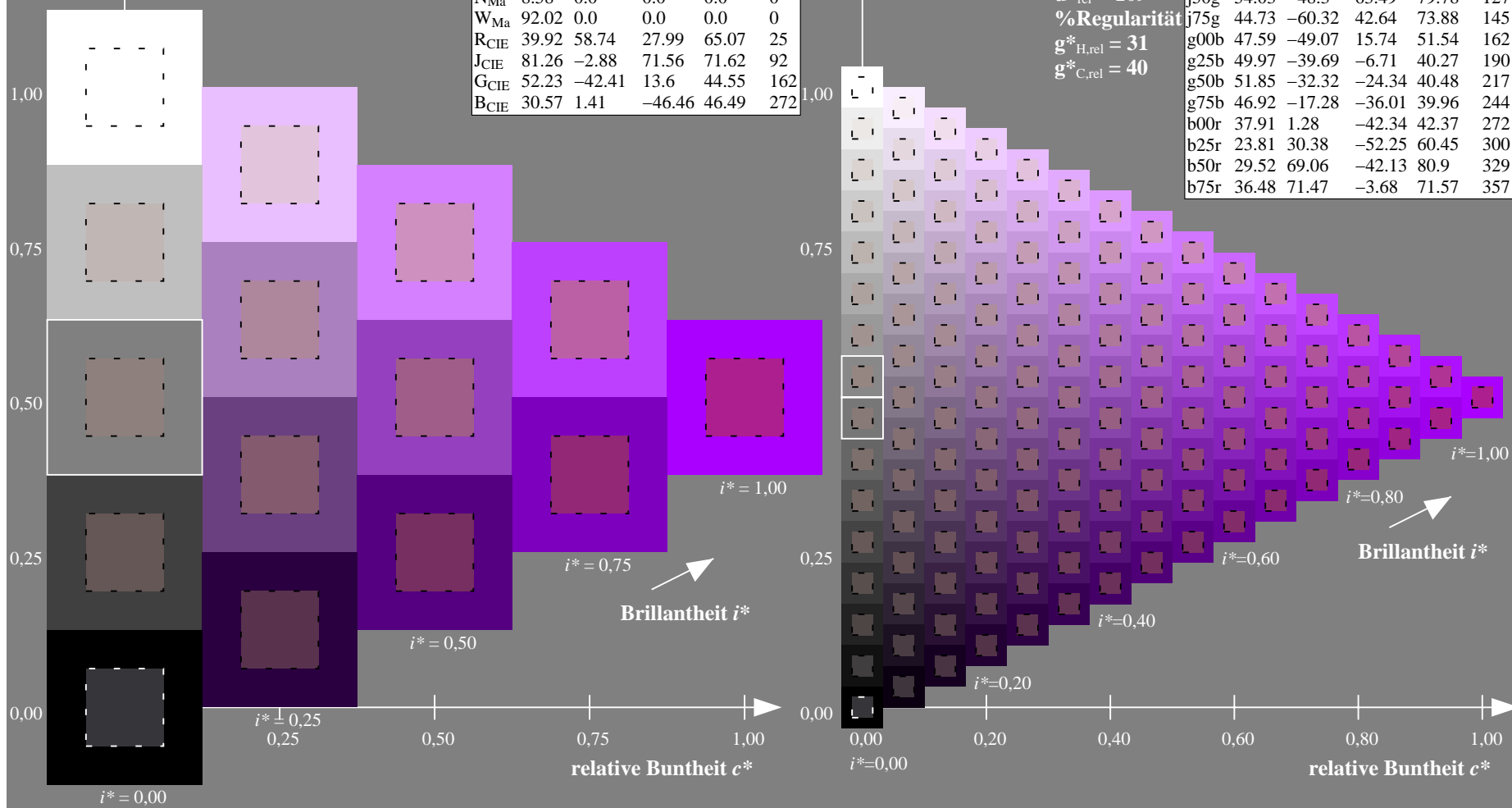
%Regularität

$g^*_{H,rel} = 31$

$g^*_{C,rel} = 40$

FRS09\_92a; adaptierte CIELAB-Daten

	$L^*=L_a^*$	$a_a^*$	$b_a^*$	$C_{ab,a}^*$	$h_{ab,a}^*$
r00j	35.47	63.32	30.17	70.15	25
r25j	39.12	54.56	49.45	73.64	42
r50j	50.64	39.15	64.89	75.79	59
r75j	64.01	21.26	82.83	85.52	76
j00g	83.18	-4.37	108.53	108.62	92
j25g	66.73	-29.88	83.06	88.28	110
j50g	54.03	-48.3	63.49	79.78	127
j75g	44.73	-60.32	42.64	73.88	145
g00b	47.59	-49.07	15.74	51.54	162
g25b	49.97	-39.69	-6.71	40.27	190
g50b	51.85	-32.32	-24.34	40.48	217
g75b	46.92	-17.28	-36.01	39.96	244
b00r	37.91	1.28	-42.34	42.37	272
b25r	23.81	30.38	-52.25	60.45	300
b50r	29.52	69.06	-42.13	80.9	329
b75r	36.48	71.47	-3.68	71.57	357





Ein und Ausgabe: Farbmetrisches Drucker-Reflektiv-System FRS09\_92a für relativen CIELAB-Buntton  $h^* = lab^*h^* = h_{ab}/360 = 357/360 = 0.992$   $u^* = b75r$

Daten für jede Farbe:

$lab^*ch^*$  und  $lab^*icu^*$

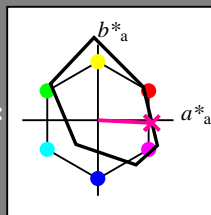
Elementar-Bunttontext:

$u^* = b75r$

Kontrastreduzierungsfaktor:

$c_R = 1.0$

Dreiecks-Helligkeit  $i^*$



FRS09\_92a; adaptierte CIELAB-Daten

	$L^*=L_a^*$	$a_a^*$	$b_a^*$	$C^*_{ab,a}$	$h^*_{ab,a}$
O <sub>Ma</sub>	35.06	60.0	44.0	74.4	36
Y <sub>Ma</sub>	83.77	-5.16	109.32	109.44	93
L <sub>Ma</sub>	44.13	-62.66	48.24	79.09	142
C <sub>Ma</sub>	52.66	-29.13	-31.98	43.27	228
V <sub>Ma</sub>	14.15	50.3	-59.03	77.57	310
M <sub>Ma</sub>	37.37	78.64	-33.49	85.48	337
N <sub>Ma</sub>	8.58	0.0	0.0	0.0	0
W <sub>Ma</sub>	92.02	0.0	0.0	0.0	0
R <sub>CIE</sub>	39.92	58.74	27.99	65.07	25
J <sub>CIE</sub>	81.26	-2.88	71.56	71.62	92
G <sub>CIE</sub>	52.23	-42.41	13.6	44.55	162
B <sub>CIE</sub>	30.57	1.41	-46.46	46.49	272

Daten für Maximalfarbe (Ma):

$LAB^*LAB^*_{Ma}$ : 36 71 -3

$LAB^*LCH^*_{Ma}$ : 36 72 357

$lab^*rgb^*_{Ma}$ : 1.0 0.0 0.5

$lab^*olv^*_{Ma}$ : 1.0 0.0 0.62

Dreiecks-Helligkeit  $i^*$

%Umfang

$u^*_{rel} = 109$

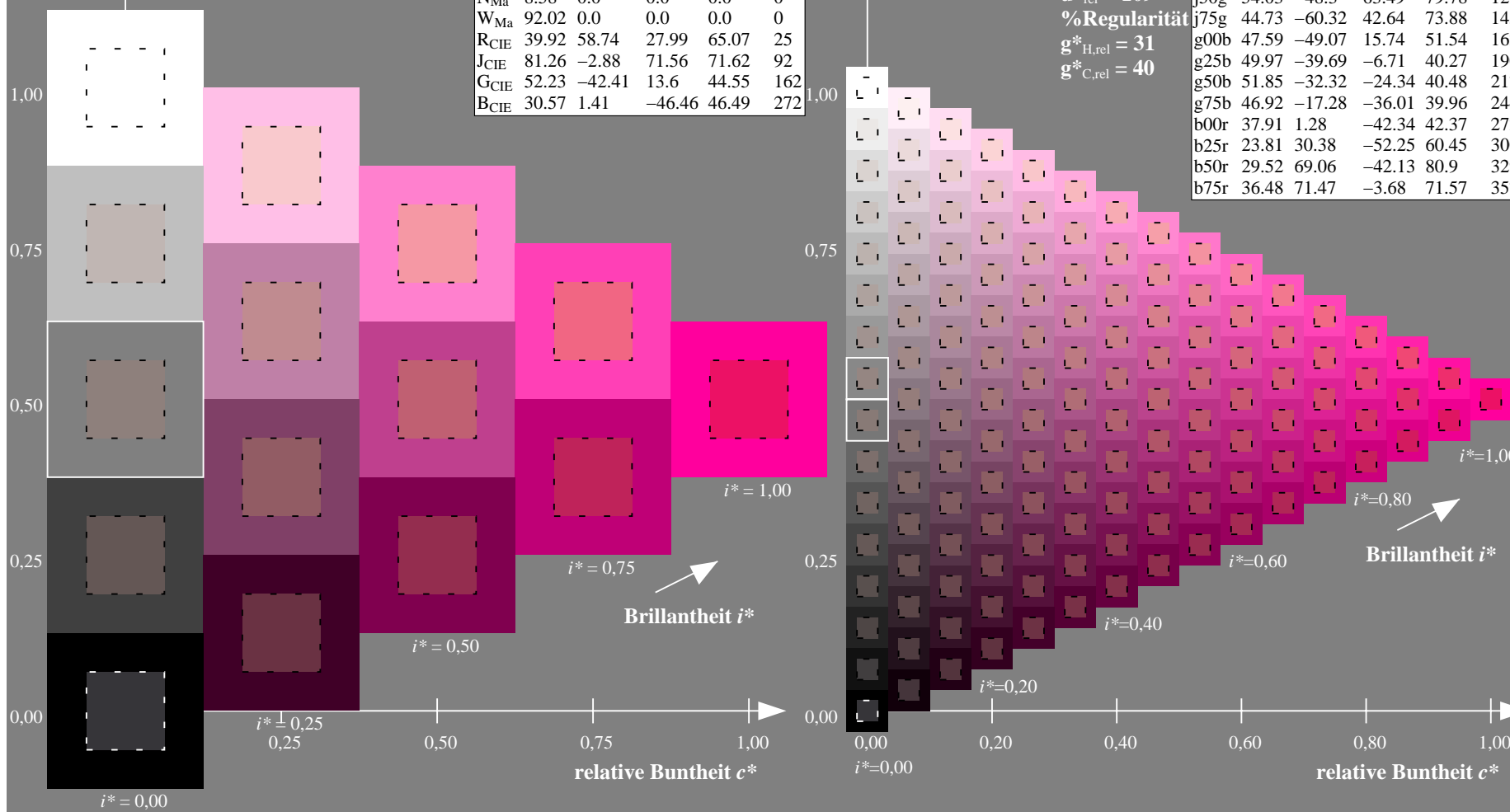
%Regularität

$g^*_{H,rel} = 31$

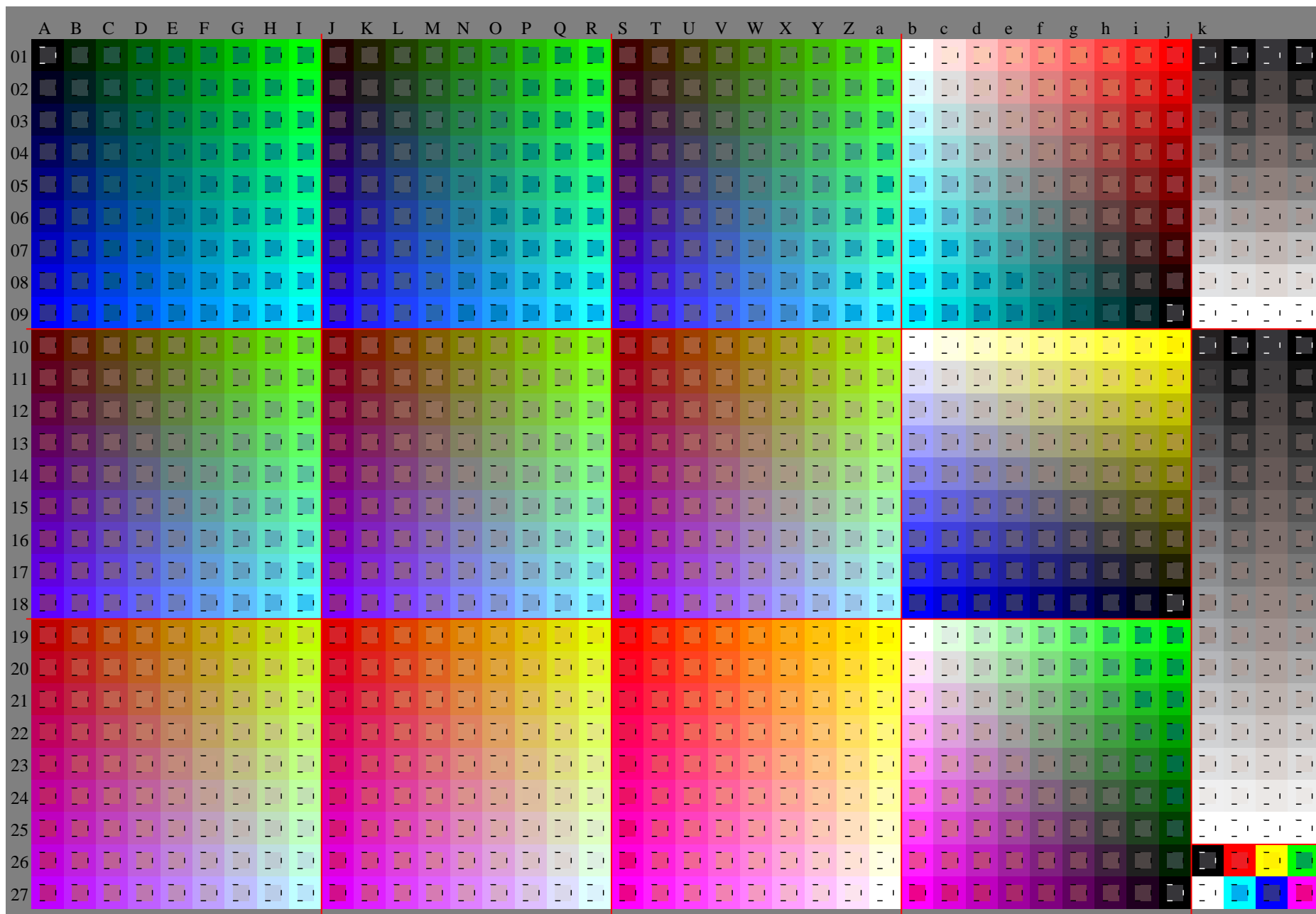
$g^*_{C,rel} = 40$

FRS09\_92a; adaptierte CIELAB-Daten

	$L^*=L_a^*$	$a_a^*$	$b_a^*$	$C^*_{ab,a}$	$h^*_{ab,a}$
r00j	35.47	63.32	30.17	70.15	25
r25j	39.12	54.56	49.45	73.64	42
r50j	50.64	39.15	64.89	75.79	59
r75j	64.01	21.26	82.83	85.52	76
j00g	83.18	-4.37	108.53	108.62	92
j25g	66.73	-29.88	83.06	88.28	110
j50g	54.03	-48.3	63.49	79.78	127
j75g	44.73	-60.32	42.64	73.88	145
g00b	47.59	-49.07	15.74	51.54	162
g25b	49.97	-39.69	-6.71	40.27	190
g50b	51.85	-32.32	-24.34	40.48	217
g75b	46.92	-17.28	-36.01	39.96	244
b00r	37.91	1.28	-42.34	42.37	272
b25r	23.81	30.38	-52.25	60.45	300
b50r	29.52	69.06	-42.13	80.9	329
b75r	36.48	71.47	-3.68	71.57	357

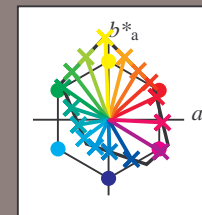


Siehe ähnliche Dateien: <http://www.ps.bam.de/Dg96/>; [www.ps.bam.de/Dg96/HTM](http://www.ps.bam.de/Dg96/HTM)  
Technische Information: <http://www.ps.bam.de> Version 2.1, io=1,1, ColSpx=0



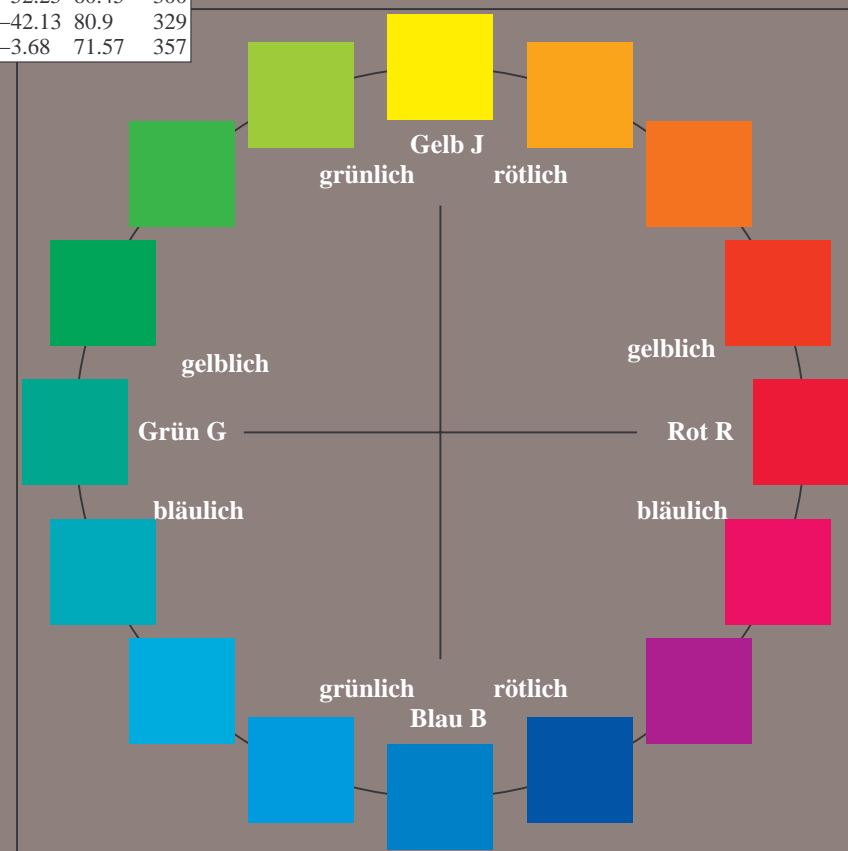
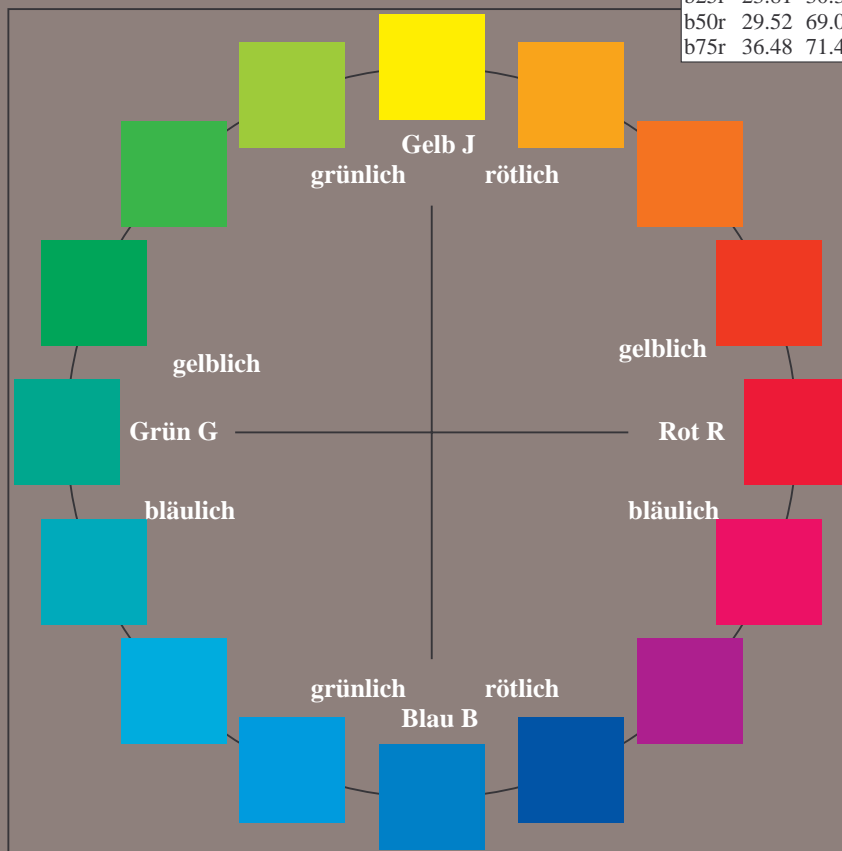
Ein und Ausgabe:  
Farbmetrisches Drucker-Reflektiv-System FRS09\_92a  
Daten für jede Farbe:  
 $lab^{*}ch^{*}$  und  $lab^{*}icu^{*}$   
Elementar-Bunttontext:  
 $u^{*} = 16$  Bunttöne  $r00j$ ,  $r25j$ , ...,  $b75r$   
Kontrastreduzierungsfaktor:  
 $c_R = 1.0$

FRS09_92a; adaptierte CIELAB-Daten					
	$L^{*}=L^{*}_a$	$a^{*}_a$	$b^{*}_a$	$C^{*}_{ab,a}$	$h^{*}_{ab,a}$
r00j	35.47	63.32	30.17	70.15	25
r25j	39.12	54.56	49.45	73.64	42
r50j	50.64	39.15	64.89	75.79	59
r75j	64.01	21.26	82.83	85.52	76
j00g	83.18	-4.37	108.53	108.62	92
j25g	66.73	-29.88	83.06	88.28	110
j50g	54.03	-48.3	63.49	79.78	127
j75g	44.73	-60.32	42.64	73.88	145
g00b	47.59	-49.07	15.74	51.54	162
g25b	49.97	-39.69	-6.71	40.27	190
g50b	51.85	-32.32	-24.34	40.48	217
g75b	46.92	-17.28	-36.01	39.96	244
b00r	37.91	1.28	-42.34	42.37	272
b25r	23.81	30.38	-52.25	60.45	300
b50r	29.52	69.06	-42.13	80.9	329
b75r	36.48	71.47	-3.68	71.57	357



%Umfang  
 $u^{*}_{rel} = 109$   
%Regularität  
 $g^{*}_{H,rel} = 31$   
 $g^{*}_{C,rel} = 40$

FRS09_92a; adaptierte CIELAB-Daten					
	$L^{*}=L^{*}_a$	$a^{*}_a$	$b^{*}_a$	$C^{*}_{ab,a}$	$h^{*}_{ab,a}$
OMa	35.06	60.0	44.0	74.4	36
YMa	83.77	-5.16	109.32	109.44	93
LMa	44.13	-62.66	48.24	79.09	142
CMa	52.66	-29.13	-31.98	43.27	228
VMa	14.15	50.3	-59.03	77.57	310
MMa	37.37	78.64	-33.49	85.48	337
NMa	8.58	0.0	0.0	0.0	0
WMa	92.02	0.0	0.0	0.0	0
RCIE	39.92	58.74	27.99	65.07	25
JCIE	81.26	-2.88	71.56	71.62	92
GCIE	52.23	-42.41	13.6	44.55	162
BCIE	30.57	1.41	-46.46	46.49	272



Ein und Ausgabe: Farbmetrisches Drucker-Reflektiv-System FRS09\_92a für relativen CIELAB-Buntton  $h^* = lab^*h^* = h_{ab}/360 = 25/360 = 0.071$   $u^* = r00j$

Daten für jede Farbe:

$lab^*tch^*$  und  $lab^*icu^*$

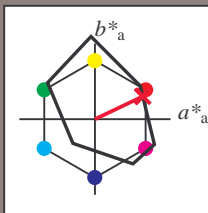
Elementar-Bunttontext:

$u^* = r00j$

Kontrastreduzierungsfaktor:

$c_R = 1.0$

Dreiecks-Helligkeit  $t^*$



FRS09\_92a; adaptierte CIELAB-Daten

	$L^*=L_a^*$	$a_a^*$	$b_a^*$	$C_{ab,a}^*$	$h_{ab,a}^*$
O <sub>Ma</sub>	35.06	60.0	44.0	74.4	36
Y <sub>Ma</sub>	83.77	-5.16	109.32	109.44	93
L <sub>Ma</sub>	44.13	-62.66	48.24	79.09	142
C <sub>Ma</sub>	52.66	-29.13	-31.98	43.27	228
V <sub>Ma</sub>	14.15	50.3	-59.03	77.57	310
M <sub>Ma</sub>	37.37	78.64	-33.49	85.48	337
N <sub>Ma</sub>	8.58	0.0	0.0	0.0	0
W <sub>Ma</sub>	92.02	0.0	0.0	0.0	0
R <sub>CIE</sub>	39.92	58.74	27.99	65.07	25
J <sub>CIE</sub>	81.26	-2.88	71.56	71.62	92
G <sub>CIE</sub>	52.23	-42.41	13.6	44.55	162
B <sub>CIE</sub>	30.57	1.41	-46.46	46.49	272

Daten für Maximalfarbe (Ma):

$LAB^*LAB^*Ma$ : 35 63 30

$LAB^*LCH^*Ma$ : 35 70 25

$lab^*rgb^*Ma$ : 1.0 0.0 0.0

$lab^*olv^*Ma$ : 1.0 0.0 0.18

Dreiecks-Helligkeit  $t^*$

%Umfang

$u^*_{rel} = 109$

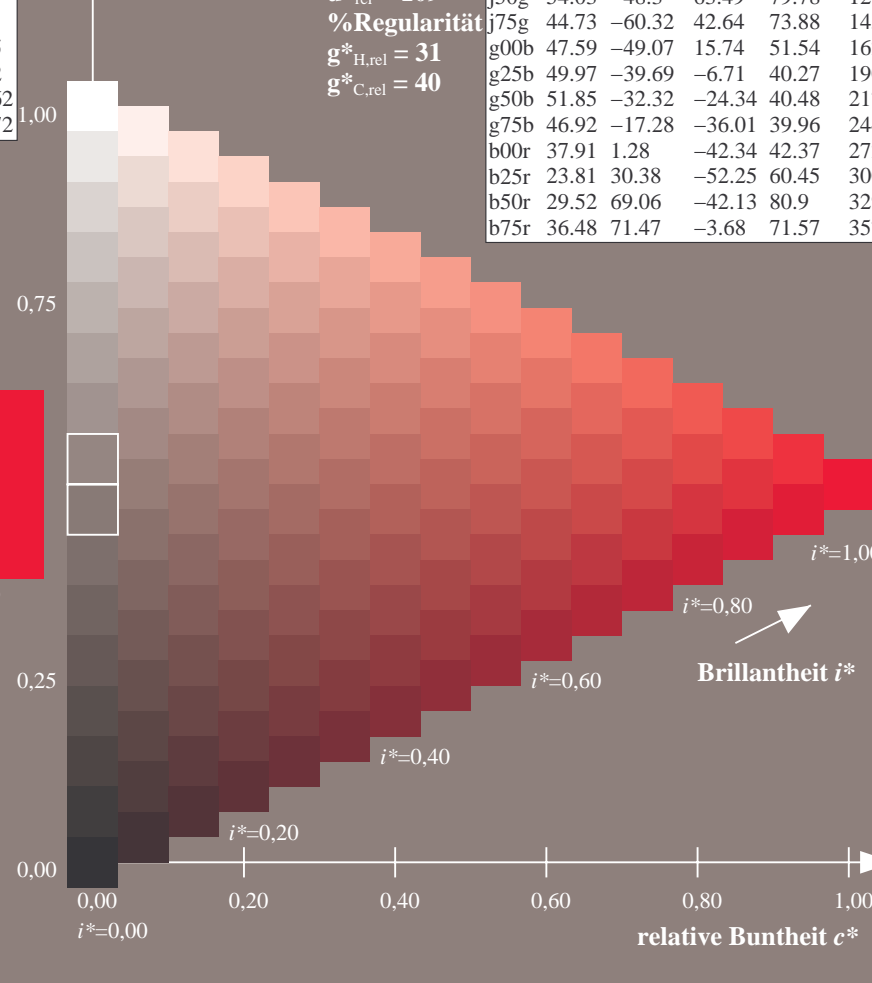
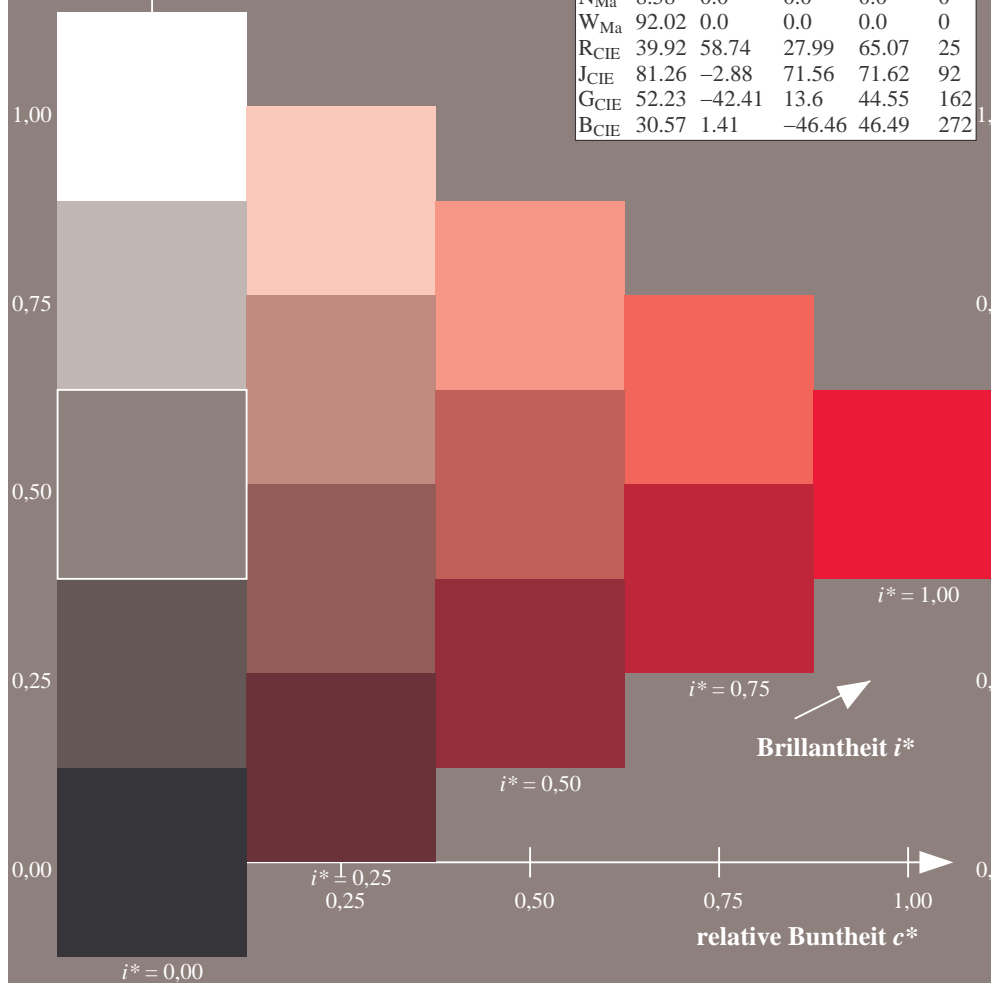
%Regularität

$g^*_{H,rel} = 31$

$g^*_{C,rel} = 40$

FRS09\_92a; adaptierte CIELAB-Daten

	$L^*=L_a^*$	$a_a^*$	$b_a^*$	$C_{ab,a}^*$	$h_{ab,a}^*$
r00j	35.47	63.32	30.17	70.15	25
r25j	39.12	54.56	49.45	73.64	42
r50j	50.64	39.15	64.89	75.79	59
r75j	64.01	21.26	82.83	85.52	76
j00g	83.18	-4.37	108.53	108.62	92
j25g	66.73	-29.88	83.06	88.28	110
j50g	54.03	-48.3	63.49	79.78	127
j75g	44.73	-60.32	42.64	73.88	145
g00b	47.59	-49.07	15.74	51.54	162
g25b	49.97	-39.69	-6.71	40.27	190
g50b	51.85	-32.32	-24.34	40.48	217
g75b	46.92	-17.28	-36.01	39.96	244
b00r	37.91	1.28	-42.34	42.37	272
b25r	23.81	30.38	-52.25	60.45	300
b50r	29.52	69.06	-42.13	80.9	329
b75r	36.48	71.47	-3.68	71.57	357



Ein und Ausgabe: Farbmetrisches Drucker-Reflektiv-System FRS09\_92a für relativen CIELAB-Buntton  $h^* = lab^*h^* = h_{ab}/360 = 42/360 = 0.117$   $u^* = r25j$

Daten für jede Farbe:

$lab^*tch^*$  und  $lab^*icu^*$

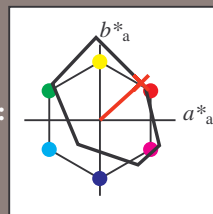
Elementar-Bunttontext:

$u^* = r25j$

Kontrastreduzierungsfaktor:

$c_R = 1.0$

Dreiecks-Helligkeit  $t^*$



FRS09\_92a; adaptierte CIELAB-Daten

	$L^*=L_a^*$	$a_a^*$	$b_a^*$	$C_{ab,a}^*$	$h_{ab,a}^*$
O <sub>Ma</sub>	35.06	60.0	44.0	74.4	36
Y <sub>Ma</sub>	83.77	-5.16	109.32	109.44	93
L <sub>Ma</sub>	44.13	-62.66	48.24	79.09	142
C <sub>Ma</sub>	52.66	-29.13	-31.98	43.27	228
V <sub>Ma</sub>	14.15	50.3	-59.03	77.57	310
M <sub>Ma</sub>	37.37	78.64	-33.49	85.48	337
N <sub>Ma</sub>	8.58	0.0	0.0	0.0	0
W <sub>Ma</sub>	92.02	0.0	0.0	0.0	0
R <sub>CIE</sub>	39.92	58.74	27.99	65.07	25
J <sub>CIE</sub>	81.26	-2.88	71.56	71.62	92
G <sub>CIE</sub>	52.23	-42.41	13.6	44.55	162
B <sub>CIE</sub>	30.57	1.41	-46.46	46.49	272

Daten für Maximalfarbe (Ma):

$LAB^*LAB^*Ma$ : 39 55 49

$LAB^*LCH^*Ma$ : 39 74 42

$lab^*rgb^*Ma$ : 1.0 0.25 0.0

$lab^*olv^*Ma$ : 1.0 0.08 0.0

Dreiecks-Helligkeit  $t^*$

%Umfang

$u^*_{rel} = 109$

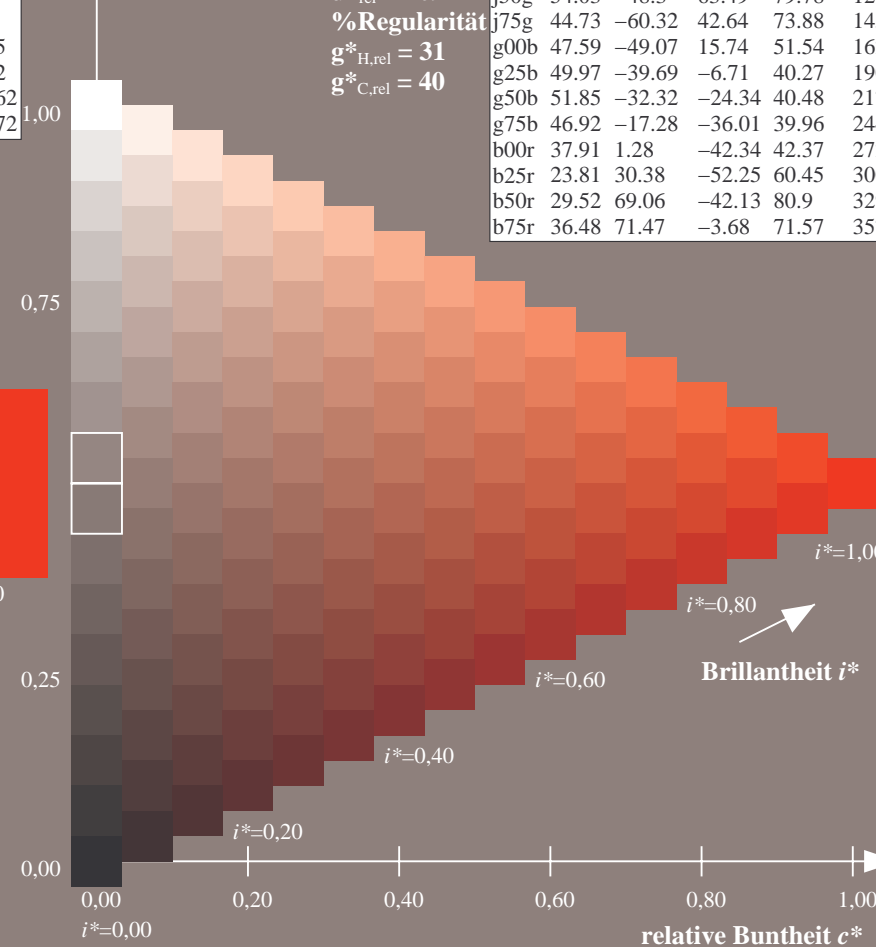
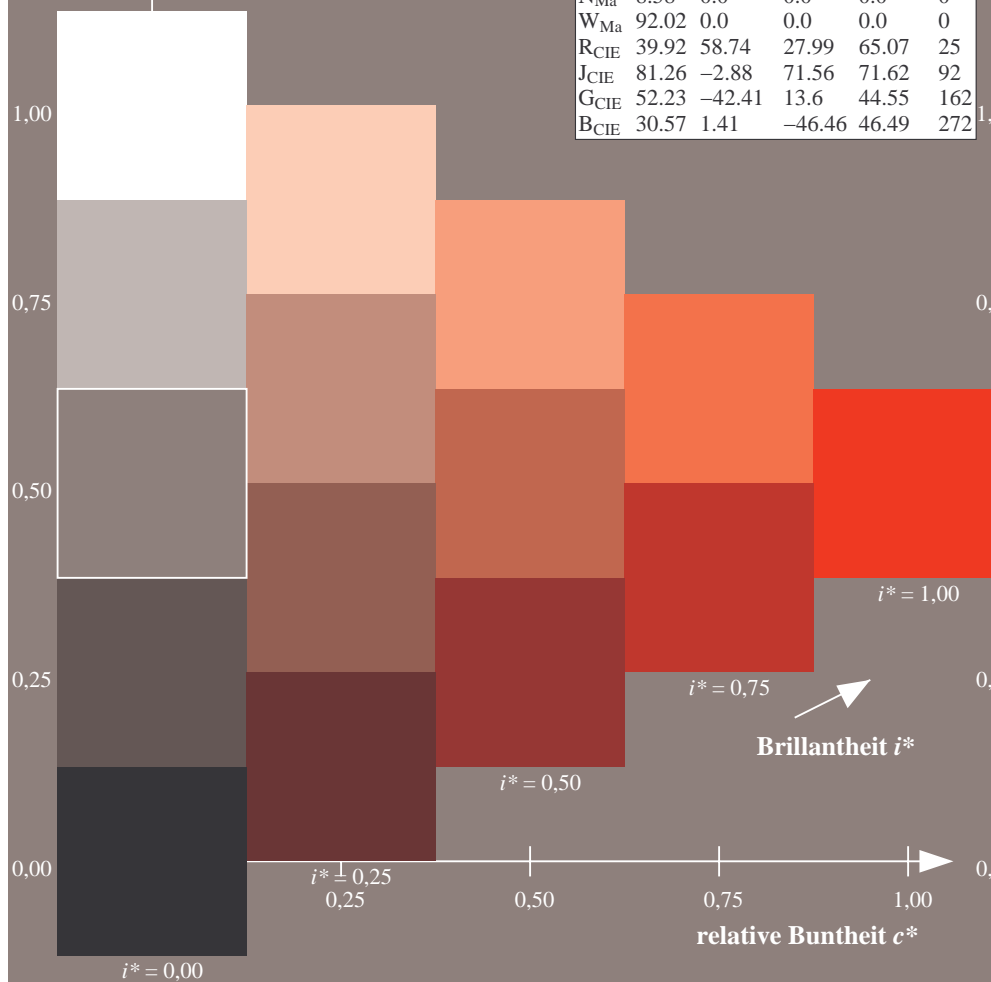
%Regularität

$g^*_{H,rel} = 31$

$g^*_{C,rel} = 40$

FRS09\_92a; adaptierte CIELAB-Daten

	$L^*=L_a^*$	$a_a^*$	$b_a^*$	$C_{ab,a}^*$	$h_{ab,a}^*$
r00j	35.47	63.32	30.17	70.15	25
r25j	39.12	54.56	49.45	73.64	42
r50j	50.64	39.15	64.89	75.79	59
r75j	64.01	21.26	82.83	85.52	76
j00g	83.18	-4.37	108.53	108.62	92
j25g	66.73	-29.88	83.06	88.28	110
j50g	54.03	-48.3	63.49	79.78	127
j75g	44.73	-60.32	42.64	73.88	145
g00b	47.59	-49.07	15.74	51.54	162
g25b	49.97	-39.69	-6.71	40.27	190
g50b	51.85	-32.32	-24.34	40.48	217
g75b	46.92	-17.28	-36.01	39.96	244
b00r	37.91	1.28	-42.34	42.37	272
b25r	23.81	30.38	-52.25	60.45	300
b50r	29.52	69.06	-42.13	80.9	329
b75r	36.48	71.47	-3.68	71.57	357



Ein und Ausgabe: Farbmetrisches Drucker-Reflektiv-System FRS09\_92a für relativen CIELAB-Buntton  $h^* = lab^*h^* = h_{ab}/360 = 59/360 = 0.164$   $u^* = r50j$

Daten für jede Farbe:

$lab^*tch^*$  und  $lab^*icu^*$

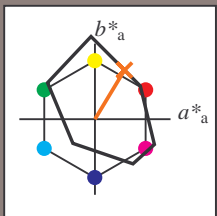
Elementar-Bunttontext:

$u^* = r50j$

Kontrastreduzierungsfaktor:

$c_R = 1.0$

Dreiecks-Helligkeit  $t^*$



FRS09\_92a; adaptierte CIELAB-Daten

	$L^*=L_a^*$	$a_a^*$	$b_a^*$	$C_{ab,a}^*$	$h_{ab,a}^*$
O <sub>Ma</sub>	35.06	60.0	44.0	74.4	36
Y <sub>Ma</sub>	83.77	-5.16	109.32	109.44	93
L <sub>Ma</sub>	44.13	-62.66	48.24	79.09	142
C <sub>Ma</sub>	52.66	-29.13	-31.98	43.27	228
V <sub>Ma</sub>	14.15	50.3	-59.03	77.57	310
M <sub>Ma</sub>	37.37	78.64	-33.49	85.48	337
N <sub>Ma</sub>	8.58	0.0	0.0	0.0	0
W <sub>Ma</sub>	92.02	0.0	0.0	0.0	0
R <sub>CIE</sub>	39.92	58.74	27.99	65.07	25
J <sub>CIE</sub>	81.26	-2.88	71.56	71.62	92
G <sub>CIE</sub>	52.23	-42.41	13.6	44.55	162
B <sub>CIE</sub>	30.57	1.41	-46.46	46.49	272

Daten für Maximalfarbe (Ma):

$LAB^*LAB^*_{Ma}$ : 51 39 65

$LAB^*LCH^*_{Ma}$ : 51 76 59

$lab^*rgb^*_{Ma}$ : 1.0 0.5 0.0

$lab^*olv^*_{Ma}$ : 1.0 0.32 0.0

Dreiecks-Helligkeit  $t^*$

%Umfang

$u^*_{rel} = 109$

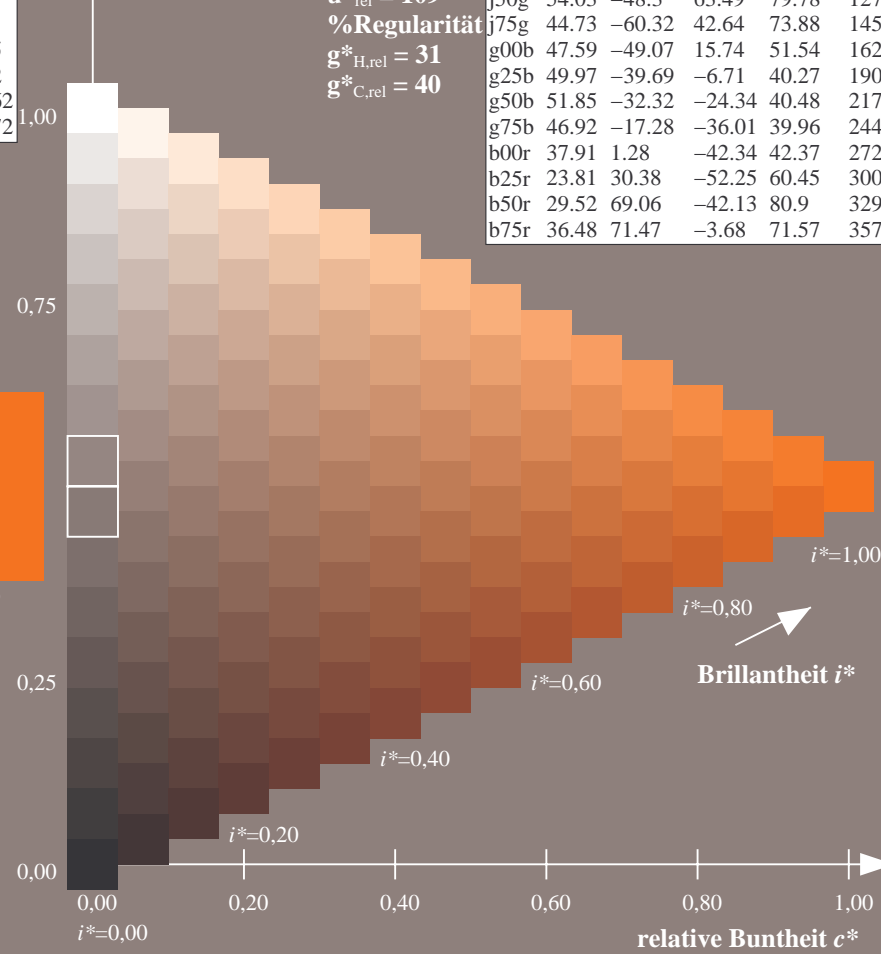
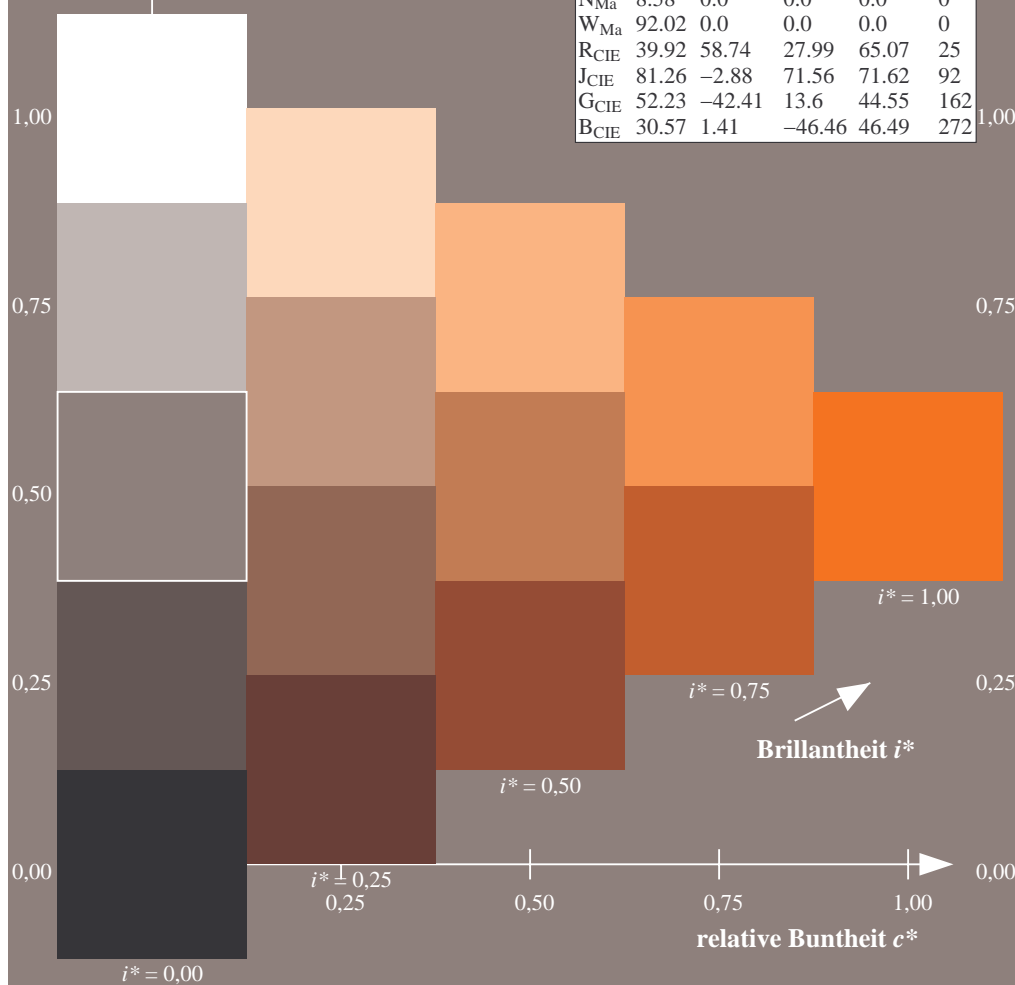
%Regularität

$g^*_{H,rel} = 31$

$g^*_{C,rel} = 40$

FRS09\_92a; adaptierte CIELAB-Daten

	$L^*=L_a^*$	$a_a^*$	$b_a^*$	$C_{ab,a}^*$	$h_{ab,a}^*$
r00j	35.47	63.32	30.17	70.15	25
r25j	39.12	54.56	49.45	73.64	42
r50j	50.64	39.15	64.89	75.79	59
r75j	64.01	21.26	82.83	85.52	76
j00g	83.18	-4.37	108.53	108.62	92
j25g	66.73	-29.88	83.06	88.28	110
j50g	54.03	-48.3	63.49	79.78	127
j75g	44.73	-60.32	42.64	73.88	145
g00b	47.59	-49.07	15.74	51.54	162
g25b	49.97	-39.69	-6.71	40.27	190
g50b	51.85	-32.32	-24.34	40.48	217
g75b	46.92	-17.28	-36.01	39.96	244
b00r	37.91	1.28	-42.34	42.37	272
b25r	23.81	30.38	-52.25	60.45	300
b50r	29.52	69.06	-42.13	80.9	329
b75r	36.48	71.47	-3.68	71.57	357





Ein und Ausgabe: Farbmetrisches Drucker-Reflektiv-System FRS09\_92a für relativen CIELAB-Buntton  $h^* = lab^*h^* = h_{ab}/360 = 76/360 = 0.21$   $u^* = r75j$

Daten für jede Farbe:

$lab^*ch^*$  und  $lab^*icu^*$

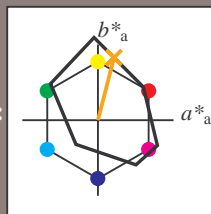
Elementar-Bunttontext:

$u^* = r75j$

Kontrastreduzierungsfaktor:

$c_R = 1.0$

Dreiecks-Helligkeit  $i^*$



FRS09\_92a; adaptierte CIELAB-Daten

	$L^*=L_a^*$	$a_a^*$	$b_a^*$	$C_{ab,a}^*$	$h_{ab,a}^*$
O <sub>Ma</sub>	35.06	60.0	44.0	74.4	36
Y <sub>Ma</sub>	83.77	-5.16	109.32	109.44	93
L <sub>Ma</sub>	44.13	-62.66	48.24	79.09	142
C <sub>Ma</sub>	52.66	-29.13	-31.98	43.27	228
V <sub>Ma</sub>	14.15	50.3	-59.03	77.57	310
M <sub>Ma</sub>	37.37	78.64	-33.49	85.48	337
N <sub>Ma</sub>	8.58	0.0	0.0	0.0	0
W <sub>Ma</sub>	92.02	0.0	0.0	0.0	0
R <sub>CIE</sub>	39.92	58.74	27.99	65.07	25
J <sub>CIE</sub>	81.26	-2.88	71.56	71.62	92
G <sub>CIE</sub>	52.23	-42.41	13.6	44.55	162
B <sub>CIE</sub>	30.57	1.41	-46.46	46.49	272

Daten für Maximalfarbe (Ma):

$LAB^*LAB^*_{Ma}$ : 64 21 83

$LAB^*LCH^*_{Ma}$ : 64 86 76

$lab^*rgb^*_{Ma}$ : 1.0 0.75 0.0

$lab^*olv^*_{Ma}$ : 1.0 0.59 0.0

Dreiecks-Helligkeit  $i^*$

%Umfang

$u^*_{rel} = 109$

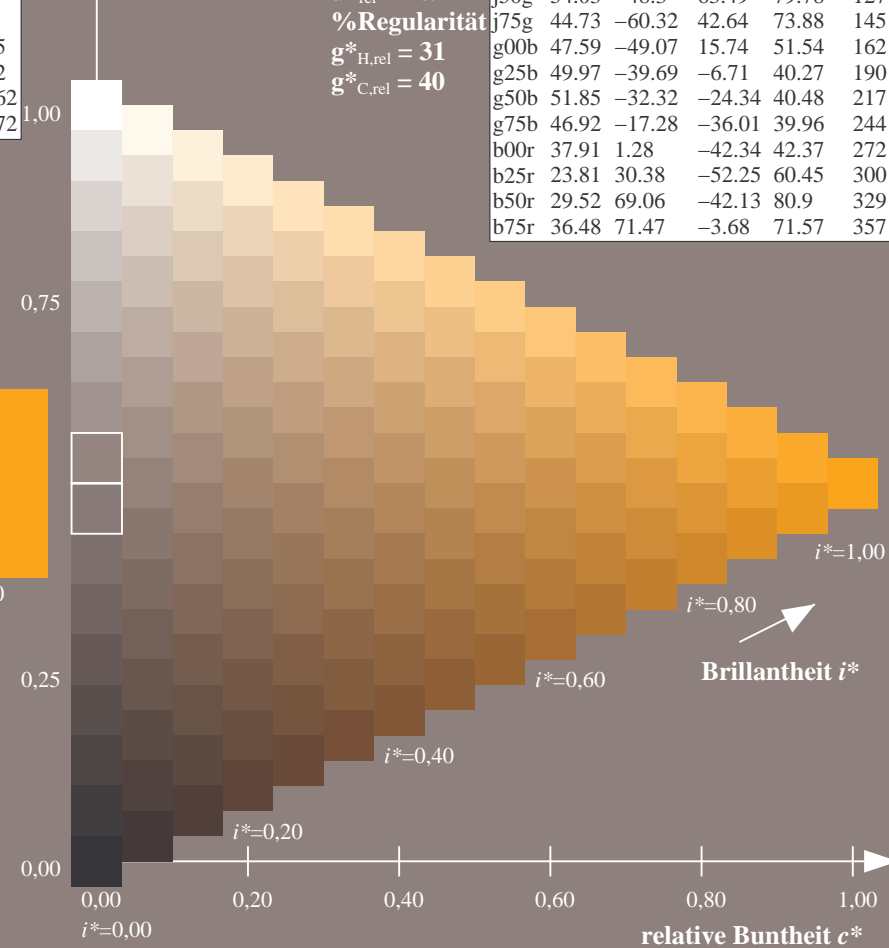
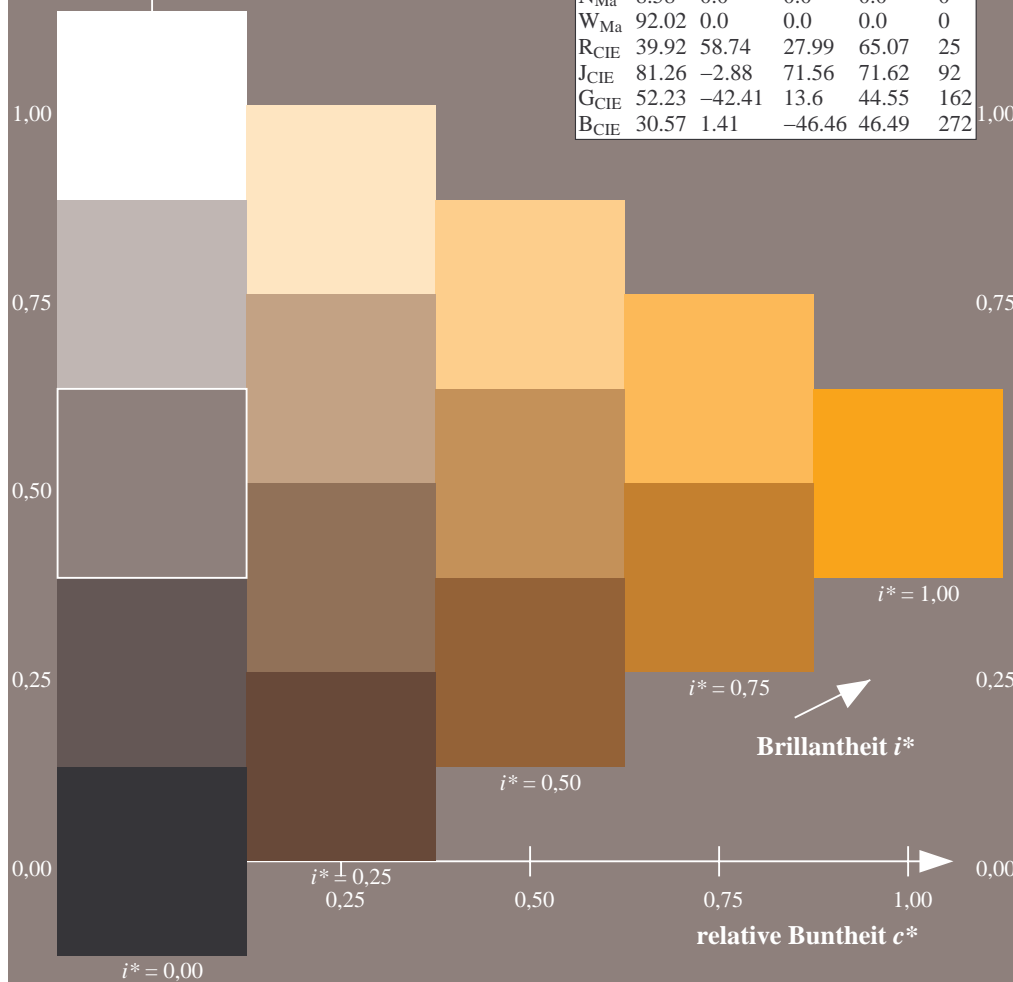
%Regularität

$g^*_{H,rel} = 31$

$g^*_{C,rel} = 40$

FRS09\_92a; adaptierte CIELAB-Daten

	$L^*=L_a^*$	$a_a^*$	$b_a^*$	$C_{ab,a}^*$	$h_{ab,a}^*$
r00j	35.47	63.32	30.17	70.15	25
r25j	39.12	54.56	49.45	73.64	42
r50j	50.64	39.15	64.89	75.79	59
r75j	64.01	21.26	82.83	85.52	76
j00g	83.18	-4.37	108.53	108.62	92
j25g	66.73	-29.88	83.06	88.28	110
j50g	54.03	-48.3	63.49	79.78	127
j75g	44.73	-60.32	42.64	73.88	145
g00b	47.59	-49.07	15.74	51.54	162
g25b	49.97	-39.69	-6.71	40.27	190
g50b	51.85	-32.32	-24.34	40.48	217
g75b	46.92	-17.28	-36.01	39.96	244
b00r	37.91	1.28	-42.34	42.37	272
b25r	23.81	30.38	-52.25	60.45	300
b50r	29.52	69.06	-42.13	80.9	329
b75r	36.48	71.47	-3.68	71.57	357



Ein und Ausgabe: Farbmetrisches Drucker-Reflektiv-System FRS09\_92a für relativen CIELAB-Buntton  $h^* = lab^*h^* = h_{ab}/360 = 92/360 = 0.256$   $u^* = j00g$

Daten für jede Farbe:

$lab^*ch^*$  und  $lab^*icu^*$

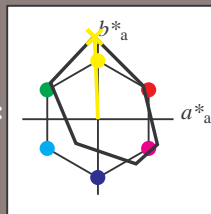
Elementar-Bunttontext:

$u^* = j00g$

Kontrastreduzierungsfaktor:

$c_R = 1.0$

Dreiecks-Helligkeit  $i^*$



FRS09\_92a; adaptierte CIELAB-Daten

	$L^*=L^*_a$	$a^*_a$	$b^*_a$	$C^*_{ab,a}$	$h^*_{ab,a}$
O <sub>Ma</sub>	35.06	60.0	44.0	74.4	36
Y <sub>Ma</sub>	83.77	-5.16	109.32	109.44	93
L <sub>Ma</sub>	44.13	-62.66	48.24	79.09	142
C <sub>Ma</sub>	52.66	-29.13	-31.98	43.27	228
V <sub>Ma</sub>	14.15	50.3	-59.03	77.57	310
M <sub>Ma</sub>	37.37	78.64	-33.49	85.48	337
N <sub>Ma</sub>	8.58	0.0	0.0	0.0	0
W <sub>Ma</sub>	92.02	0.0	0.0	0.0	0
R <sub>CIE</sub>	39.92	58.74	27.99	65.07	25
J <sub>CIE</sub>	81.26	-2.88	71.56	71.62	92
G <sub>CIE</sub>	52.23	-42.41	13.6	44.55	162
B <sub>CIE</sub>	30.57	1.41	-46.46	46.49	272

Daten für Maximalfarbe (Ma):

$LAB^*LAB^*_{Ma}$ : 83 -3 109

$LAB^*LCH^*_{Ma}$ : 83 109 92

$lab^*rgb^*_{Ma}$ : 1.0 1.0 0.0

$lab^*olv^*_{Ma}$ : 1.0 0.99 0.0

Dreiecks-Helligkeit  $i^*$

%Umfang

$u^*_{rel} = 109$

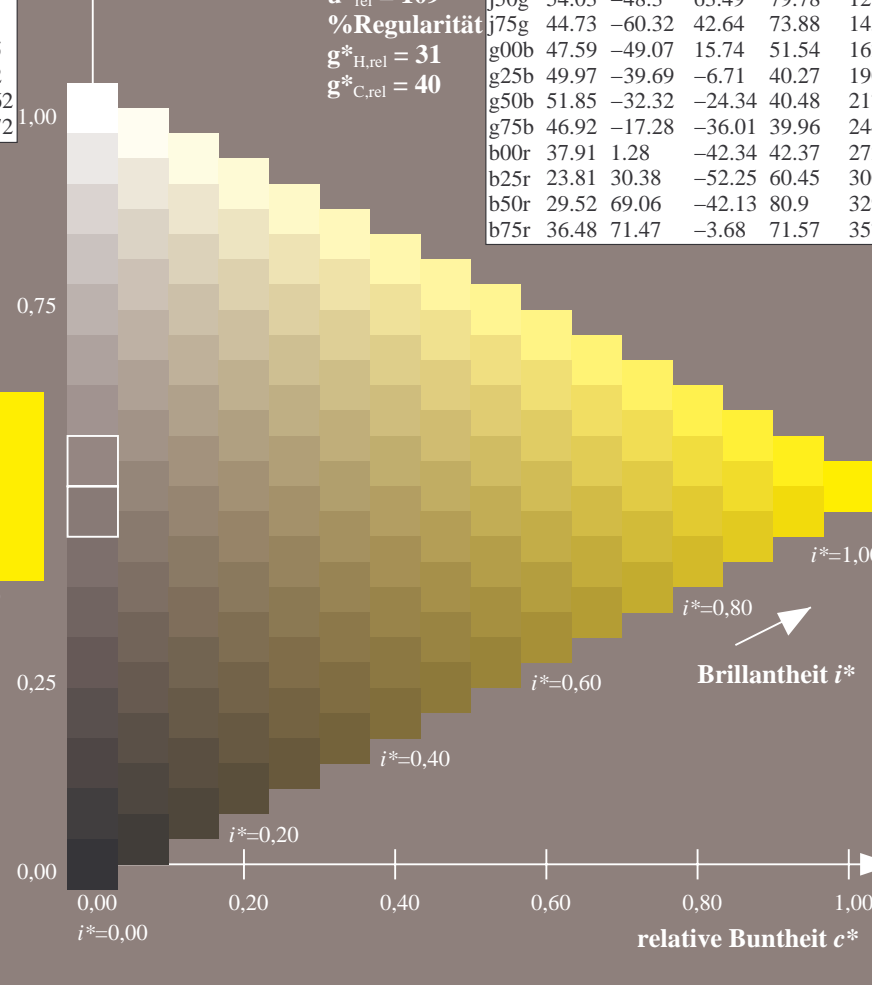
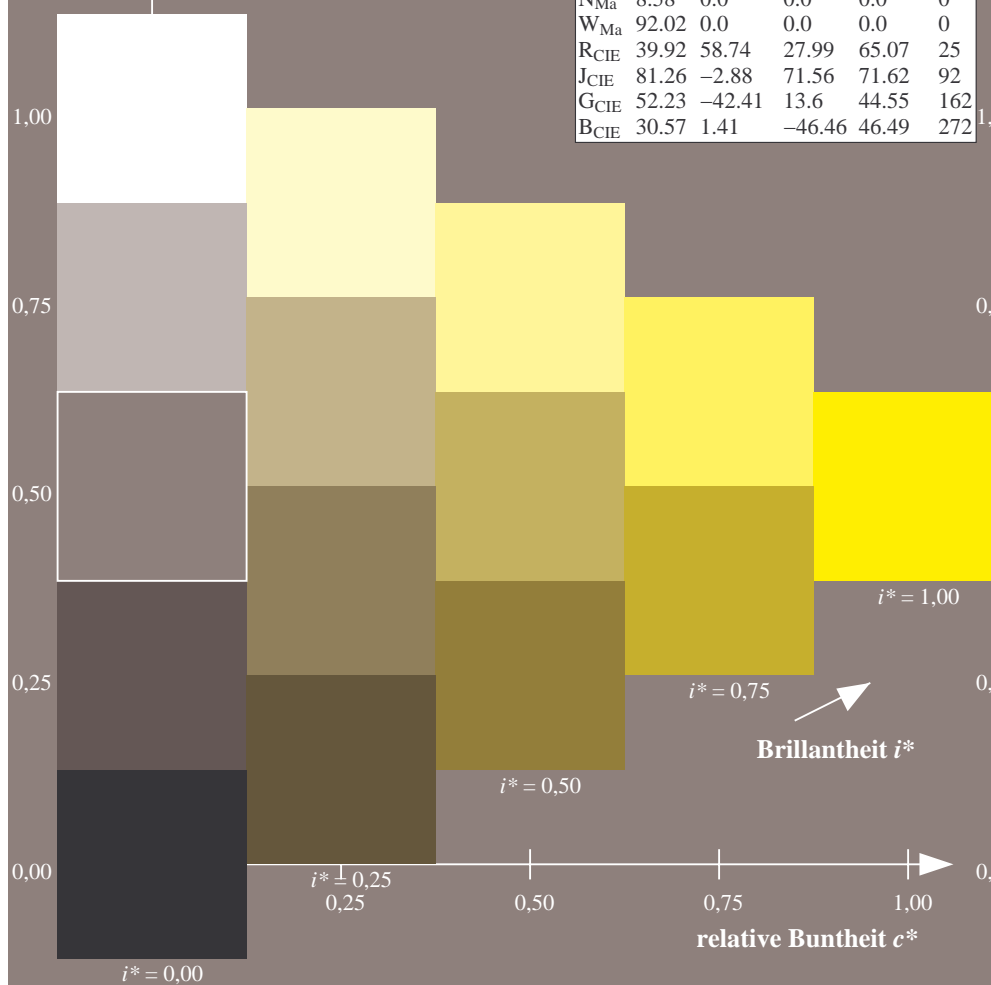
%Regularität

$g^*_{H,rel} = 31$

$g^*_{C,rel} = 40$

FRS09\_92a; adaptierte CIELAB-Daten

	$L^*=L^*_a$	$a^*_a$	$b^*_a$	$C^*_{ab,a}$	$h^*_{ab,a}$
r00j	35.47	63.32	30.17	70.15	25
r25j	39.12	54.56	49.45	73.64	42
r50j	50.64	39.15	64.89	75.79	59
r75j	64.01	21.26	82.83	85.52	76
j00g	83.18	-4.37	108.53	108.62	92
j25g	66.73	-29.88	83.06	88.28	110
j50g	54.03	-48.3	63.49	79.78	127
j75g	44.73	-60.32	42.64	73.88	145
g00b	47.59	-49.07	15.74	51.54	162
g25b	49.97	-39.69	-6.71	40.27	190
g50b	51.85	-32.32	-24.34	40.48	217
g75b	46.92	-17.28	-36.01	39.96	244
b00r	37.91	1.28	-42.34	42.37	272
b25r	23.81	30.38	-52.25	60.45	300
b50r	29.52	69.06	-42.13	80.9	329
b75r	36.48	71.47	-3.68	71.57	357



Ein und Ausgabe: Farbmetrisches Drucker-Reflektiv-System FRS09\_92a für relativen CIELAB-Buntton  $h^* = lab^*h^* = h_{ab}/360 = 110/360 = 0.305$   $u^* = j25g$

Daten für jede Farbe:

$lab^*ch^*$  und  $lab^*icu^*$

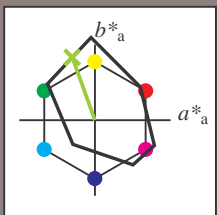
Elementar-Bunttontext:

$u^* = j25g$

Kontrastreduzierungsfaktor:

$c_R = 1.0$

Dreiecks-Helligkeit  $i^*$



FRS09\_92a; adaptierte CIELAB-Daten

	$L^*=L_a^*$	$a_a^*$	$b_a^*$	$C_{ab,a}^*$	$h_{ab,a}^*$
O <sub>Ma</sub>	35.06	60.0	44.0	74.4	36
Y <sub>Ma</sub>	83.77	-5.16	109.32	109.44	93
L <sub>Ma</sub>	44.13	-62.66	48.24	79.09	142
C <sub>Ma</sub>	52.66	-29.13	-31.98	43.27	228
V <sub>Ma</sub>	14.15	50.3	-59.03	77.57	310
M <sub>Ma</sub>	37.37	78.64	-33.49	85.48	337
N <sub>Ma</sub>	8.58	0.0	0.0	0.0	0
W <sub>Ma</sub>	92.02	0.0	0.0	0.0	0
R <sub>CIE</sub>	39.92	58.74	27.99	65.07	25
J <sub>CIE</sub>	81.26	-2.88	71.56	71.62	92
G <sub>CIE</sub>	52.23	-42.41	13.6	44.55	162
B <sub>CIE</sub>	30.57	1.41	-46.46	46.49	272

Daten für Maximalfarbe (Ma):

$LAB^*LAB^*Ma$ : 67 -29 83

$LAB^*LCH^*Ma$ : 67 88 110

$lab^*rgb^*Ma$ : 0.75 1.0 0.0

$lab^*olv^*Ma$ : 0.57 1.0 0.0

Dreiecks-Helligkeit  $i^*$

%Umfang

$u^*_{rel} = 109$

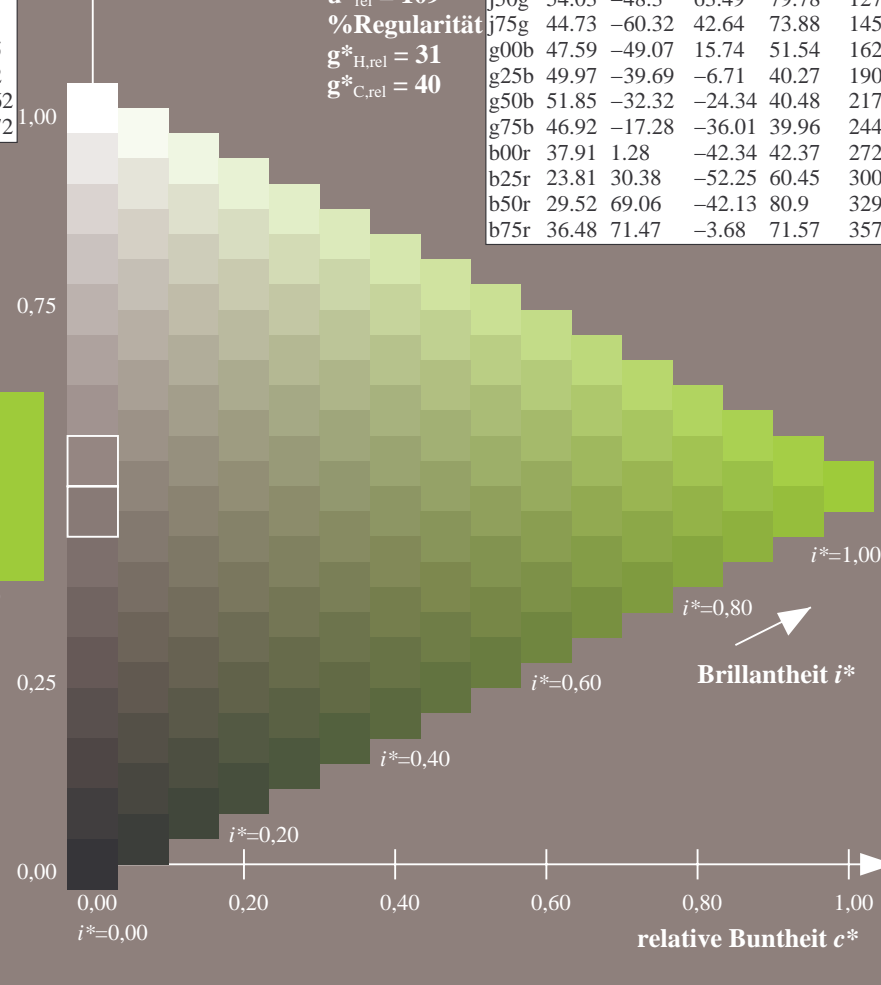
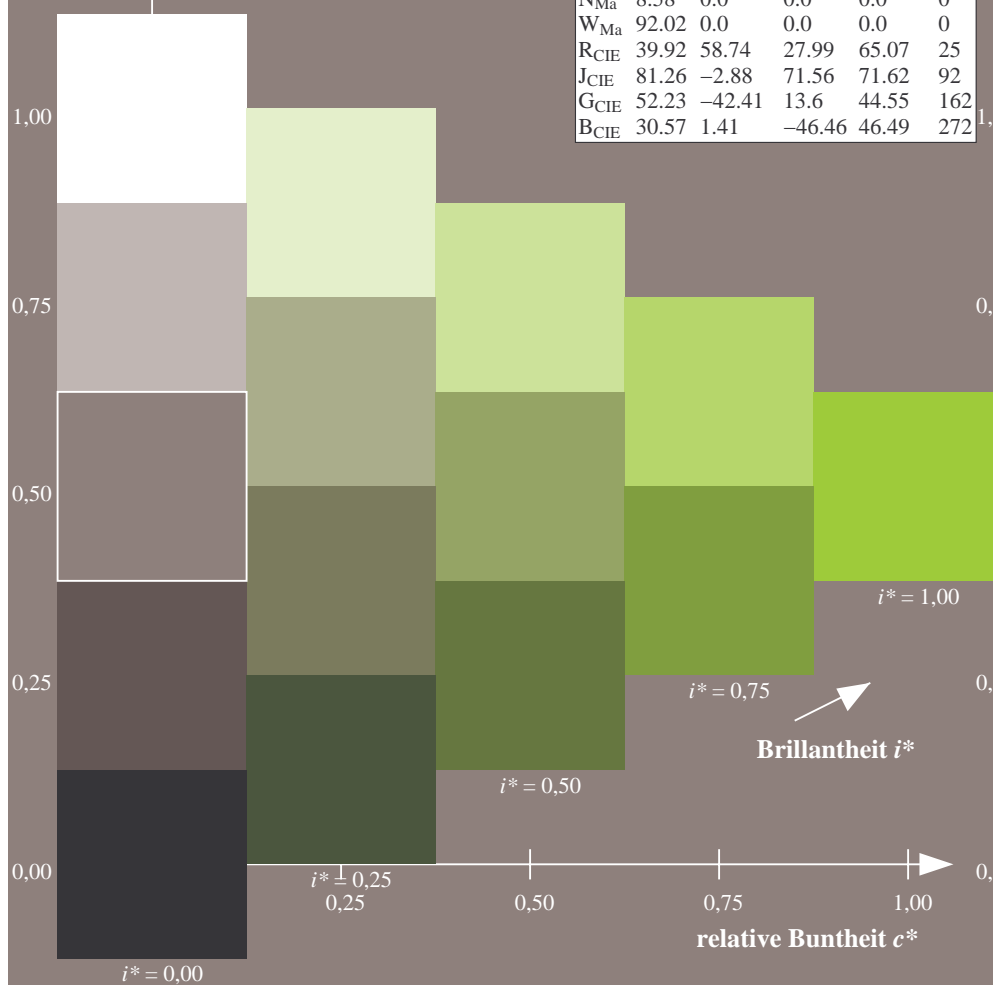
%Regularität

$g^*_{H,rel} = 31$

$g^*_{C,rel} = 40$

FRS09\_92a; adaptierte CIELAB-Daten

	$L^*=L_a^*$	$a_a^*$	$b_a^*$	$C_{ab,a}^*$	$h_{ab,a}^*$
r00j	35.47	63.32	30.17	70.15	25
r25j	39.12	54.56	49.45	73.64	42
r50j	50.64	39.15	64.89	75.79	59
r75j	64.01	21.26	82.83	85.52	76
j00g	83.18	-4.37	108.53	108.62	92
j25g	66.73	-29.88	83.06	88.28	110
j50g	54.03	-48.3	63.49	79.78	127
j75g	44.73	-60.32	42.64	73.88	145
g00b	47.59	-49.07	15.74	51.54	162
g25b	49.97	-39.69	-6.71	40.27	190
g50b	51.85	-32.32	-24.34	40.48	217
g75b	46.92	-17.28	-36.01	39.96	244
b00r	37.91	1.28	-42.34	42.37	272
b25r	23.81	30.38	-52.25	60.45	300
b50r	29.52	69.06	-42.13	80.9	329
b75r	36.48	71.47	-3.68	71.57	357



Ein und Ausgabe: Farbmetrisches Drucker-Reflektiv-System FRS09\_92a für relativen CIELAB-Buntton  $h^* = lab^*h^* = h_{ab}/360 = 127/360 = 0.354$   $u^* = j50g$

Daten für jede Farbe:

$lab^*ch^*$  und  $lab^*icu^*$

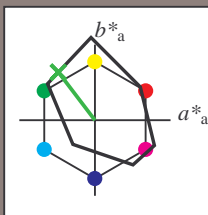
Elementar-Bunttontext:

$u^* = j50g$

Kontrastreduzierungsfaktor:

$c_R = 1.0$

Dreiecks-Helligkeit  $i^*$



FRS09\_92a; adaptierte CIELAB-Daten

	$L^*=L_a^*$	$a_a^*$	$b_a^*$	$C_{ab,a}^*$	$h_{ab,a}^*$
O <sub>Ma</sub>	35.06	60.0	44.0	74.4	36
Y <sub>Ma</sub>	83.77	-5.16	109.32	109.44	93
L <sub>Ma</sub>	44.13	-62.66	48.24	79.09	142
C <sub>Ma</sub>	52.66	-29.13	-31.98	43.27	228
V <sub>Ma</sub>	14.15	50.3	-59.03	77.57	310
M <sub>Ma</sub>	37.37	78.64	-33.49	85.48	337
N <sub>Ma</sub>	8.58	0.0	0.0	0.0	0
W <sub>Ma</sub>	92.02	0.0	0.0	0.0	0
R <sub>CIE</sub>	39.92	58.74	27.99	65.07	25
J <sub>CIE</sub>	81.26	-2.88	71.56	71.62	92
G <sub>CIE</sub>	52.23	-42.41	13.6	44.55	162
B <sub>CIE</sub>	30.57	1.41	-46.46	46.49	272

Daten für Maximalfarbe (Ma):

$LAB^*LAB^*_{Ma}$ : 54 -47 63

$LAB^*LCH^*_{Ma}$ : 54 80 127

$lab^*rgb^*_{Ma}$ : 0.5 1.0 0.0

$lab^*olv^*_{Ma}$ : 0.25 1.0 0.0

Dreiecks-Helligkeit  $i^*$

%Umfang

$u^*_{rel} = 109$

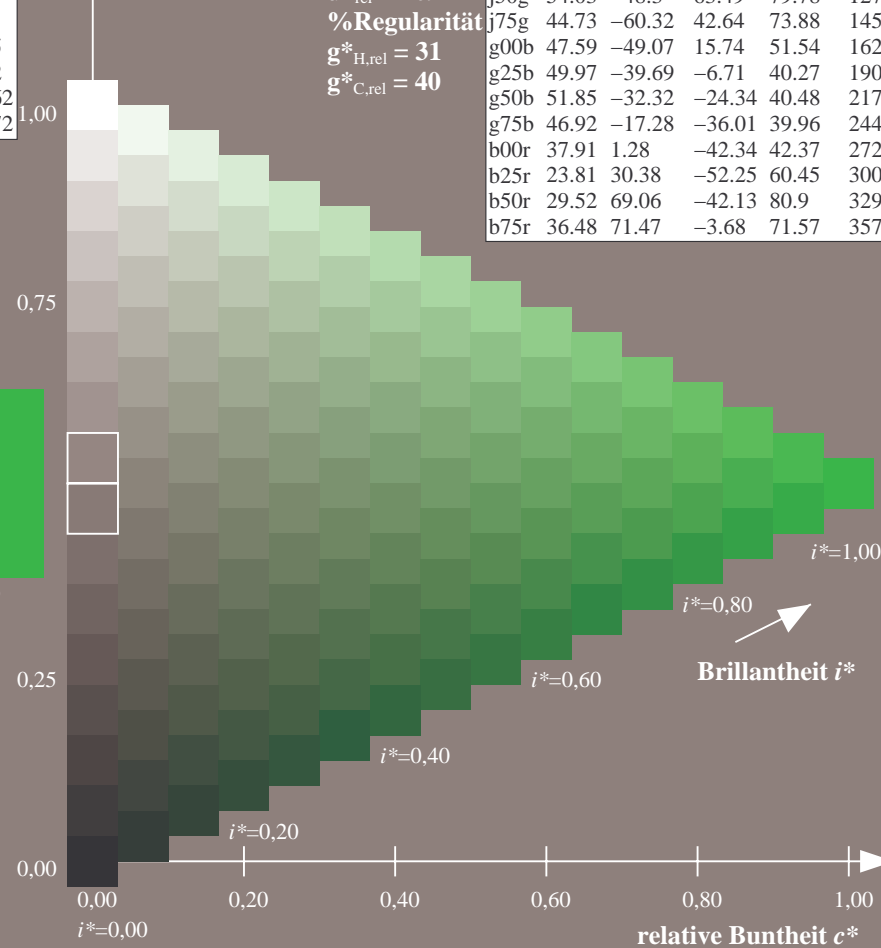
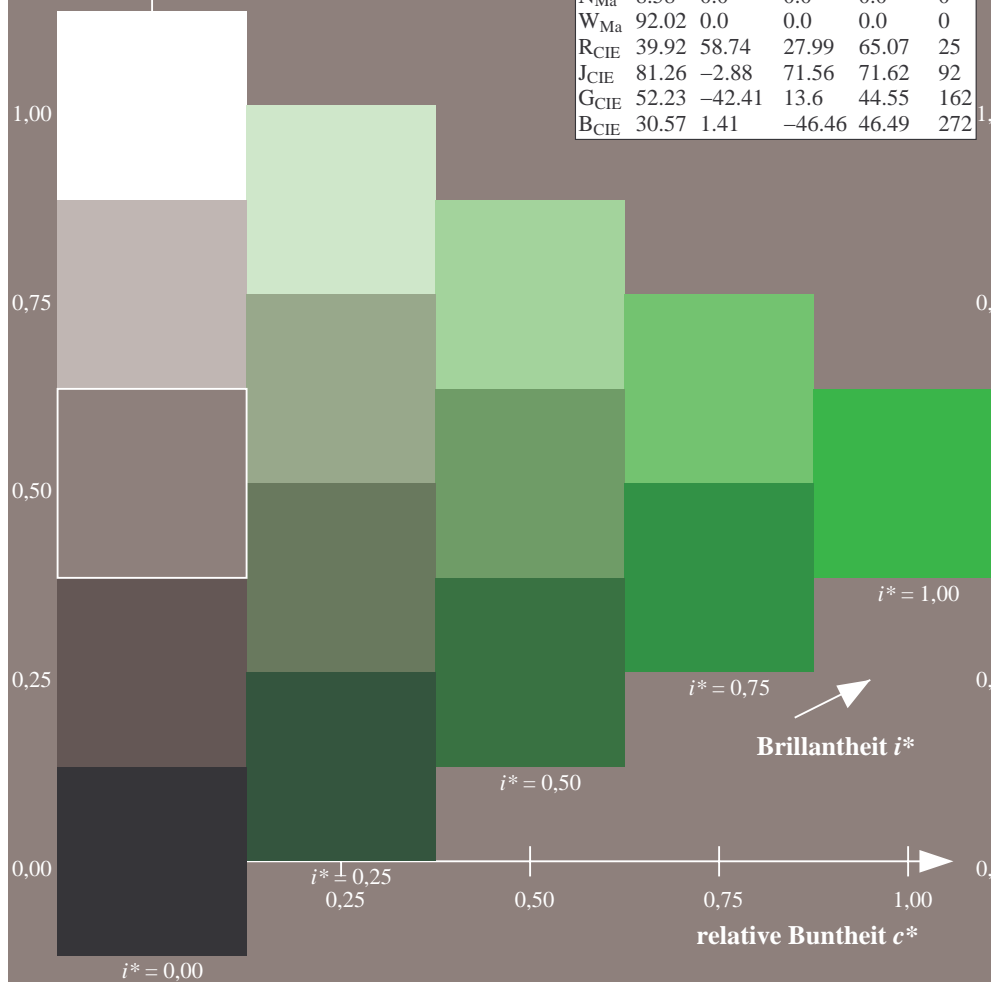
%Regularität

$g^*_{H,rel} = 31$

$g^*_{C,rel} = 40$

FRS09\_92a; adaptierte CIELAB-Daten

	$L^*=L_a^*$	$a_a^*$	$b_a^*$	$C_{ab,a}^*$	$h_{ab,a}^*$
r00j	35.47	63.32	30.17	70.15	25
r25j	39.12	54.56	49.45	73.64	42
r50j	50.64	39.15	64.89	75.79	59
r75j	64.01	21.26	82.83	85.52	76
j00g	83.18	-4.37	108.53	108.62	92
j25g	66.73	-29.88	83.06	88.28	110
j50g	54.03	-48.3	63.49	79.78	127
j75g	44.73	-60.32	42.64	73.88	145
g00b	47.59	-49.07	15.74	51.54	162
g25b	49.97	-39.69	-6.71	40.27	190
g50b	51.85	-32.32	-24.34	40.48	217
g75b	46.92	-17.28	-36.01	39.96	244
b00r	37.91	1.28	-42.34	42.37	272
b25r	23.81	30.38	-52.25	60.45	300
b50r	29.52	69.06	-42.13	80.9	329
b75r	36.48	71.47	-3.68	71.57	357



Ein und Ausgabe: Farbmetrisches Drucker-Reflektiv-System FRS09\_92a für relativen CIELAB-Buntton  $h^* = lab^*h^* = h_{ab}/360 = 145/360 = 0.402$   $u^* = j75g$

Daten für jede Farbe:

$lab^*ch^*$  und  $lab^*icu^*$

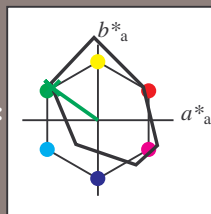
Elementar-Bunttontext:

$u^* = j75g$

Kontrastreduzierungsfaktor:

$c_R = 1.0$

Dreiecks-Helligkeit  $i^*$



FRS09\_92a; adaptierte CIELAB-Daten

	$L^*=L_a^*$	$a_a^*$	$b_a^*$	$C_{ab,a}^*$	$h_{ab,a}^*$
O <sub>Ma</sub>	35.06	60.0	44.0	74.4	36
Y <sub>Ma</sub>	83.77	-5.16	109.32	109.44	93
L <sub>Ma</sub>	44.13	-62.66	48.24	79.09	142
C <sub>Ma</sub>	52.66	-29.13	-31.98	43.27	228
V <sub>Ma</sub>	14.15	50.3	-59.03	77.57	310
M <sub>Ma</sub>	37.37	78.64	-33.49	85.48	337
N <sub>Ma</sub>	8.58	0.0	0.0	0.0	0
W <sub>Ma</sub>	92.02	0.0	0.0	0.0	0
R <sub>CIE</sub>	39.92	58.74	27.99	65.07	25
J <sub>CIE</sub>	81.26	-2.88	71.56	71.62	92
G <sub>CIE</sub>	52.23	-42.41	13.6	44.55	162
B <sub>CIE</sub>	30.57	1.41	-46.46	46.49	272

Daten für Maximalfarbe (Ma):

$LAB^*LAB^*_{Ma}$ : 45 -59 43

$LAB^*LCH^*_{Ma}$ : 45 74 145

$lab^*rgb^*_{Ma}$ : 0.25 1.0 0.0

$lab^*olv^*_{Ma}$ : 0.0 1.0 0.07

Dreiecks-Helligkeit  $i^*$

%Umfang

$u^*_{rel} = 109$

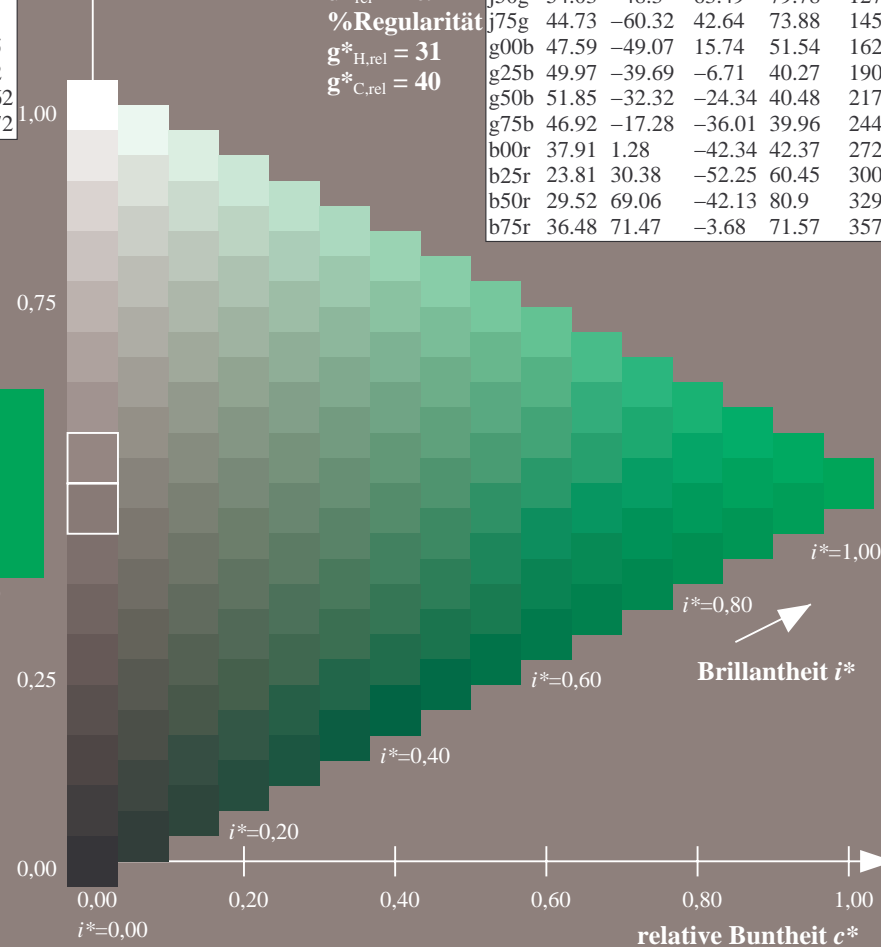
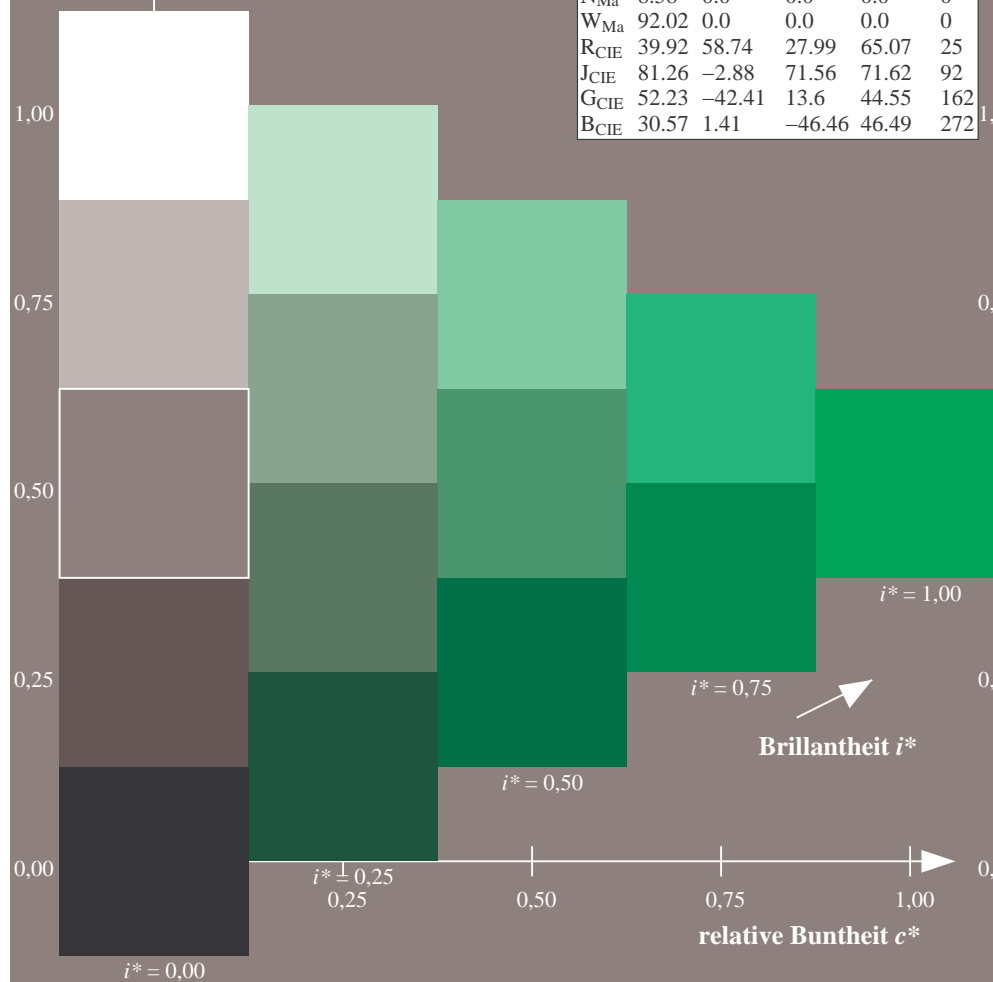
%Regularität

$g^*_{H,rel} = 31$

$g^*_{C,rel} = 40$

FRS09\_92a; adaptierte CIELAB-Daten

	$L^*=L_a^*$	$a_a^*$	$b_a^*$	$C_{ab,a}^*$	$h_{ab,a}^*$
r00j	35.47	63.32	30.17	70.15	25
r25j	39.12	54.56	49.45	73.64	42
r50j	50.64	39.15	64.89	75.79	59
r75j	64.01	21.26	82.83	85.52	76
j00g	83.18	-4.37	108.53	108.62	92
j25g	66.73	-29.88	83.06	88.28	110
j50g	54.03	-48.3	63.49	79.78	127
j75g	44.73	-60.32	42.64	73.88	145
g00b	47.59	-49.07	15.74	51.54	162
g25b	49.97	-39.69	-6.71	40.27	190
g50b	51.85	-32.32	-24.34	40.48	217
g75b	46.92	-17.28	-36.01	39.96	244
b00r	37.91	1.28	-42.34	42.37	272
b25r	23.81	30.38	-52.25	60.45	300
b50r	29.52	69.06	-42.13	80.9	329
b75r	36.48	71.47	-3.68	71.57	357



Ein und Ausgabe: Farbmetrisches Drucker-Reflektiv-System FRS09\_92a für relativen CIELAB-Buntton  $h^* = lab^*h^* = h_{ab}/360 = 162/360 = 0.451$   $u^* = g00b$

Daten für jede Farbe:

$lab^*ch^*$  und  $lab^*icu^*$

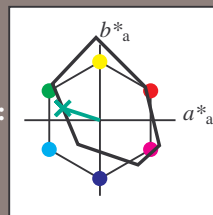
Elementar-Bunttontext:

$u^* = g00b$

Kontrastreduzierungsfaktor:

$c_R = 1.0$

Dreiecks-Helligkeit  $i^*$



FRS09\_92a; adaptierte CIELAB-Daten

	$L^*=L_a^*$	$a_a^*$	$b_a^*$	$C_{ab,a}^*$	$h_{ab,a}^*$
O <sub>Ma</sub>	35.06	60.0	44.0	74.4	36
Y <sub>Ma</sub>	83.77	-5.16	109.32	109.44	93
L <sub>Ma</sub>	44.13	-62.66	48.24	79.09	142
C <sub>Ma</sub>	52.66	-29.13	-31.98	43.27	228
V <sub>Ma</sub>	14.15	50.3	-59.03	77.57	310
M <sub>Ma</sub>	37.37	78.64	-33.49	85.48	337
N <sub>Ma</sub>	8.58	0.0	0.0	0.0	0
W <sub>Ma</sub>	92.02	0.0	0.0	0.0	0
R <sub>CIE</sub>	39.92	58.74	27.99	65.07	25
J <sub>CIE</sub>	81.26	-2.88	71.56	71.62	92
G <sub>CIE</sub>	52.23	-42.41	13.6	44.55	162
B <sub>CIE</sub>	30.57	1.41	-46.46	46.49	272

Daten für Maximalfarbe (Ma):

$LAB^*LAB^*_{Ma}$ : 48 -48 16

$LAB^*LCH^*_{Ma}$ : 48 52 162

$lab^*rgb^*_{Ma}$ : 0.0 1.0 0.0

$lab^*olv^*_{Ma}$ : 0.0 1.0 0.41

Dreiecks-Helligkeit  $i^*$

%Umfang

$u^*_{rel} = 109$

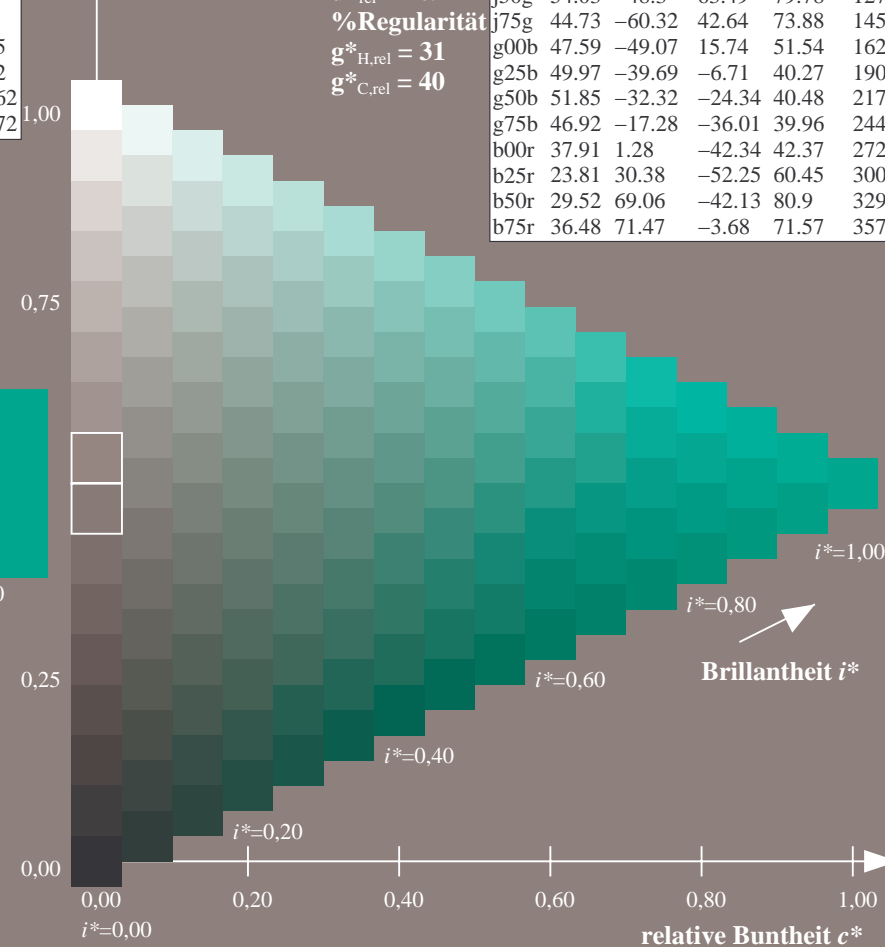
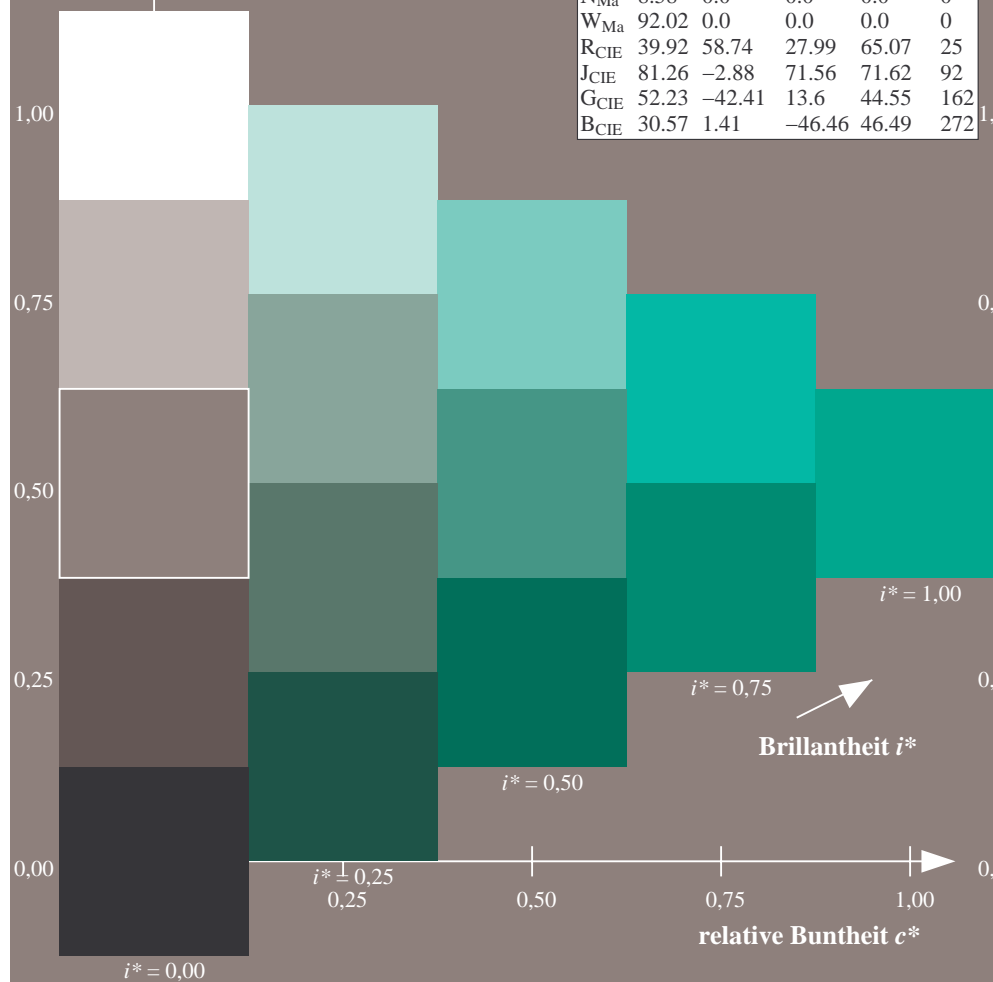
%Regularität

$g^*_{H,rel} = 31$

$g^*_{C,rel} = 40$

FRS09\_92a; adaptierte CIELAB-Daten

	$L^*=L_a^*$	$a_a^*$	$b_a^*$	$C_{ab,a}^*$	$h_{ab,a}^*$
r00j	35.47	63.32	30.17	70.15	25
r25j	39.12	54.56	49.45	73.64	42
r50j	50.64	39.15	64.89	75.79	59
r75j	64.01	21.26	82.83	85.52	76
j00g	83.18	-4.37	108.53	108.62	92
j25g	66.73	-29.88	83.06	88.28	110
j50g	54.03	-48.3	63.49	79.78	127
j75g	44.73	-60.32	42.64	73.88	145
g00b	47.59	-49.07	15.74	51.54	162
g25b	49.97	-39.69	-6.71	40.27	190
g50b	51.85	-32.32	-24.34	40.48	217
g75b	46.92	-17.28	-36.01	39.96	244
b00r	37.91	1.28	-42.34	42.37	272
b25r	23.81	30.38	-52.25	60.45	300
b50r	29.52	69.06	-42.13	80.9	329
b75r	36.48	71.47	-3.68	71.57	357





Ein und Ausgabe: Farbmetrisches Drucker-Reflektiv-System FRS09\_92a für relativen CIELAB-Buntton  $h^* = lab^*h^* = h_{ab}/360 = 190/360 = 0.527$   $u^* = g25b$

Daten für jede Farbe:

$lab^*ch^*$  und  $lab^*icu^*$

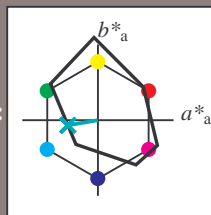
Elementar-Bunttontext:

$u^* = g25b$

Kontrastreduzierungsfaktor:

$c_R = 1.0$

Dreiecks-Helligkeit  $i^*$



FRS09\_92a; adaptierte CIELAB-Daten

	$L^*=L_a^*$	$a_a^*$	$b_a^*$	$C_{ab,a}^*$	$h_{ab,a}^*$
O <sub>Ma</sub>	35.06	60.0	44.0	74.4	36
Y <sub>Ma</sub>	83.77	-5.16	109.32	109.44	93
L <sub>Ma</sub>	44.13	-62.66	48.24	79.09	142
C <sub>Ma</sub>	52.66	-29.13	-31.98	43.27	228
V <sub>Ma</sub>	14.15	50.3	-59.03	77.57	310
M <sub>Ma</sub>	37.37	78.64	-33.49	85.48	337
N <sub>Ma</sub>	8.58	0.0	0.0	0.0	0
W <sub>Ma</sub>	92.02	0.0	0.0	0.0	0
R <sub>CIE</sub>	39.92	58.74	27.99	65.07	25
J <sub>CIE</sub>	81.26	-2.88	71.56	71.62	92
G <sub>CIE</sub>	52.23	-42.41	13.6	44.55	162
B <sub>CIE</sub>	30.57	1.41	-46.46	46.49	272

Daten für Maximalfarbe (Ma):

$LAB^*LAB^*_{Ma}$ : 50 -39 -6

$LAB^*LCH^*_{Ma}$ : 50 40 190

$lab^*rgb^*_{Ma}$ : 0.0 1.0 0.5

$lab^*olv^*_{Ma}$ : 0.0 1.0 0.69

Dreiecks-Helligkeit  $i^*$

%Umfang

$u^*_{rel} = 109$

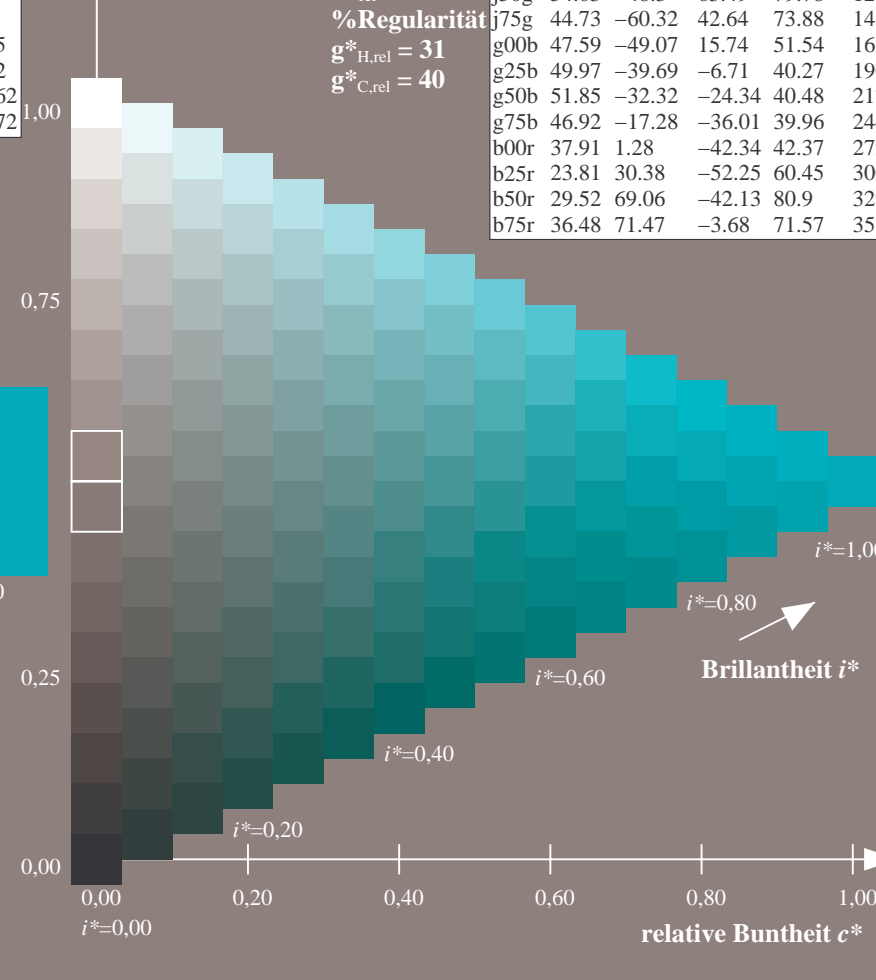
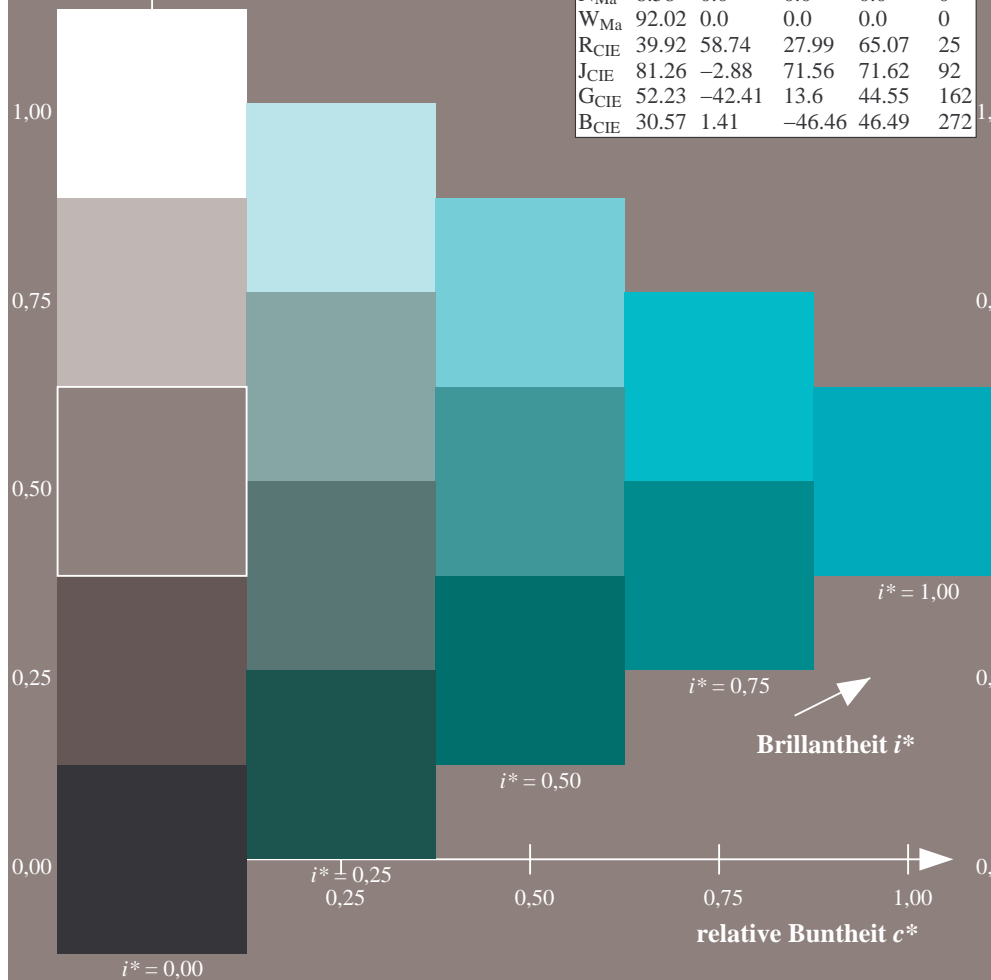
%Regularität

$g^*_{H,rel} = 31$

$g^*_{C,rel} = 40$

FRS09\_92a; adaptierte CIELAB-Daten

	$L^*=L_a^*$	$a_a^*$	$b_a^*$	$C_{ab,a}^*$	$h_{ab,a}^*$
r00j	35.47	63.32	30.17	70.15	25
r25j	39.12	54.56	49.45	73.64	42
r50j	50.64	39.15	64.89	75.79	59
r75j	64.01	21.26	82.83	85.52	76
j00g	83.18	-4.37	108.53	108.62	92
j25g	66.73	-29.88	83.06	88.28	110
j50g	54.03	-48.3	63.49	79.78	127
j75g	44.73	-60.32	42.64	73.88	145
g00b	47.59	-49.07	15.74	51.54	162
g25b	49.97	-39.69	-6.71	40.27	190
g50b	51.85	-32.32	-24.34	40.48	217
g75b	46.92	-17.28	-36.01	39.96	244
b00r	37.91	1.28	-42.34	42.37	272
b25r	23.81	30.38	-52.25	60.45	300
b50r	29.52	69.06	-42.13	80.9	329
b75r	36.48	71.47	-3.68	71.57	357



Ein und Ausgabe: Farbmetrisches Drucker-Reflektiv-System FRS09\_92a für relativen CIELAB-Buntton  $h^* = lab^*h^* = h_{ab}/360 = 217/360 = 0.603$   $u^* = g50b$

Daten für jede Farbe:

$lab^*ch^*$  und  $lab^*icu^*$

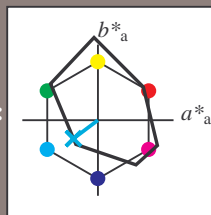
Elementar-Bunttontext:

$u^* = g50b$

Kontrastreduzierungsfaktor:

$c_R = 1.0$

Dreiecks-Helligkeit  $i^*$



FRS09\_92a; adaptierte CIELAB-Daten

	$L^*=L_a^*$	$a_a^*$	$b_a^*$	$C_{ab,a}^*$	$h_{ab,a}^*$
O <sub>Ma</sub>	35.06	60.0	44.0	74.4	36
Y <sub>Ma</sub>	83.77	-5.16	109.32	109.44	93
L <sub>Ma</sub>	44.13	-62.66	48.24	79.09	142
C <sub>Ma</sub>	52.66	-29.13	-31.98	43.27	228
V <sub>Ma</sub>	14.15	50.3	-59.03	77.57	310
M <sub>Ma</sub>	37.37	78.64	-33.49	85.48	337
N <sub>Ma</sub>	8.58	0.0	0.0	0.0	0
W <sub>Ma</sub>	92.02	0.0	0.0	0.0	0
R <sub>CIE</sub>	39.92	58.74	27.99	65.07	25
J <sub>CIE</sub>	81.26	-2.88	71.56	71.62	92
G <sub>CIE</sub>	52.23	-42.41	13.6	44.55	162
B <sub>CIE</sub>	30.57	1.41	-46.46	46.49	272

Daten für Maximalfarbe (Ma):

$LAB^*LAB^*_{Ma}$ : 52 -31 -23

$LAB^*LCH^*_{Ma}$ : 52 40 217

$lab^*rgb^*_{Ma}$ : 0.0 1.0 1.0

$lab^*olv^*_{Ma}$ : 0.0 1.0 0.9

Dreiecks-Helligkeit  $i^*$

%Umfang

$u^*_{rel} = 109$

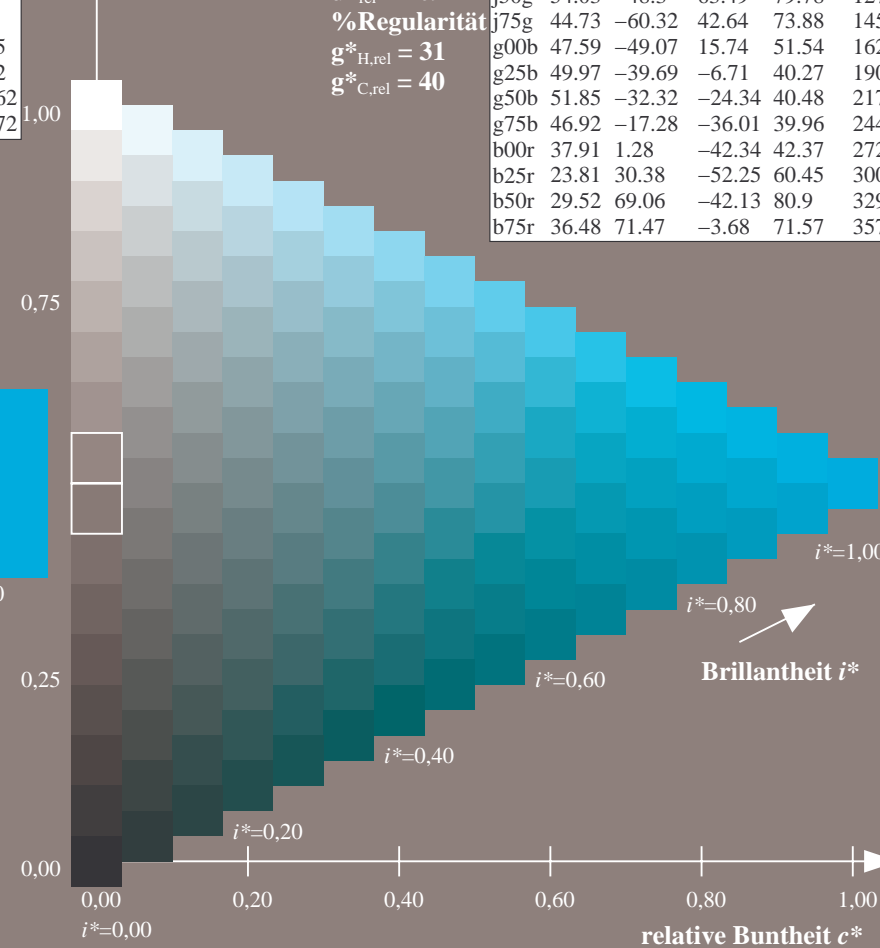
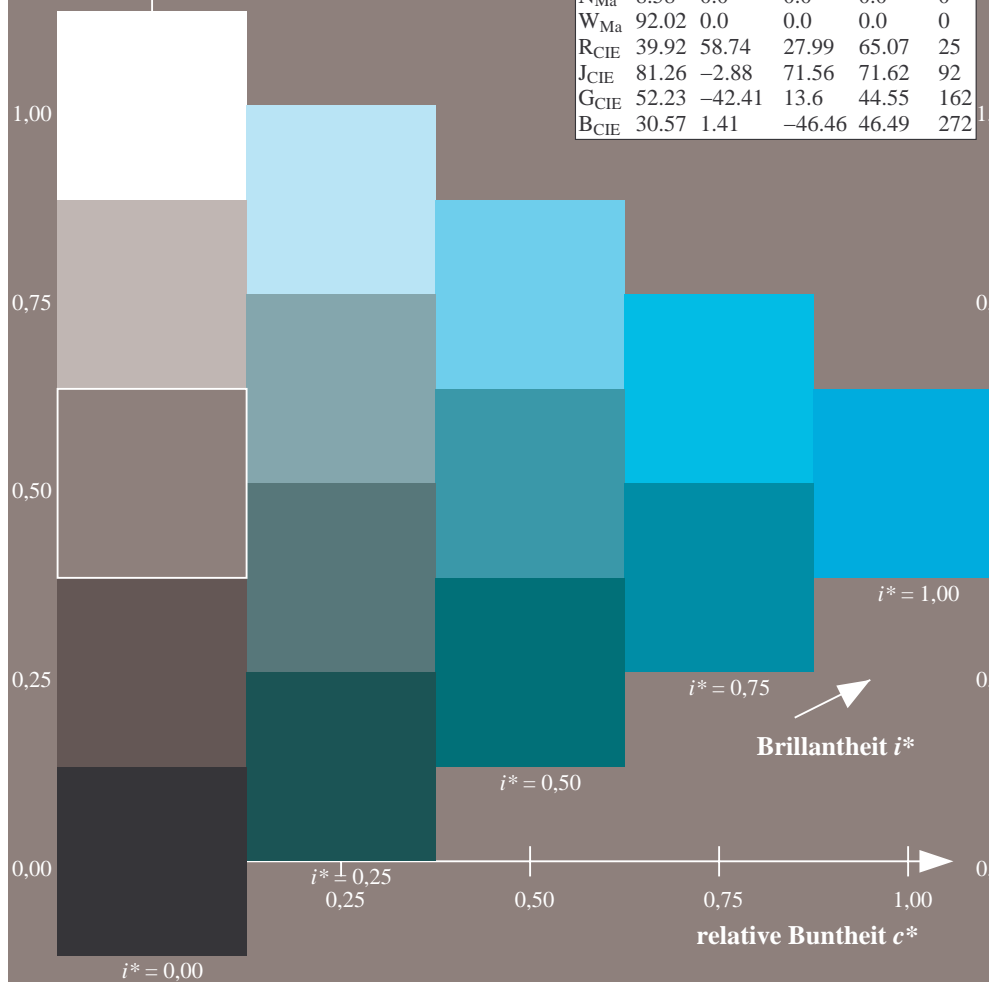
%Regularität

$g^*_{H,rel} = 31$

$g^*_{C,rel} = 40$

FRS09\_92a; adaptierte CIELAB-Daten

	$L^*=L_a^*$	$a_a^*$	$b_a^*$	$C_{ab,a}^*$	$h_{ab,a}^*$
r00j	35.47	63.32	30.17	70.15	25
r25j	39.12	54.56	49.45	73.64	42
r50j	50.64	39.15	64.89	75.79	59
r75j	64.01	21.26	82.83	85.52	76
j00g	83.18	-4.37	108.53	108.62	92
j25g	66.73	-29.88	83.06	88.28	110
j50g	54.03	-48.3	63.49	79.78	127
j75g	44.73	-60.32	42.64	73.88	145
g00b	47.59	-49.07	15.74	51.54	162
g25b	49.97	-39.69	-6.71	40.27	190
g50b	51.85	-32.32	-24.34	40.48	217
g75b	46.92	-17.28	-36.01	39.96	244
b00r	37.91	1.28	-42.34	42.37	272
b25r	23.81	30.38	-52.25	60.45	300
b50r	29.52	69.06	-42.13	80.9	329
b75r	36.48	71.47	-3.68	71.57	357



Ein und Ausgabe: Farbmetrisches Drucker-Reflektiv-System FRS09\_92a für relativen CIELAB-Buntton  $h^* = lab^*h^* = h_{ab}/360 = 244/360 = 0.679$   $u^* = g75b$

Daten für jede Farbe:

$lab^*ch^*$  und  $lab^*icu^*$

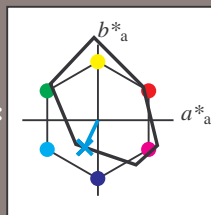
Elementar-Bunttontext:

$u^* = g75b$

Kontrastreduzierungsfaktor:

$c_R = 1.0$

Dreiecks-Helligkeit  $i^*$



FRS09\_92a; adaptierte CIELAB-Daten

	$L^*=L_a^*$	$a_a^*$	$b_a^*$	$C_{ab,a}^*$	$h_{ab,a}^*$
O <sub>Ma</sub>	35.06	60.0	44.0	74.4	36
Y <sub>Ma</sub>	83.77	-5.16	109.32	109.44	93
L <sub>Ma</sub>	44.13	-62.66	48.24	79.09	142
C <sub>Ma</sub>	52.66	-29.13	-31.98	43.27	228
V <sub>Ma</sub>	14.15	50.3	-59.03	77.57	310
M <sub>Ma</sub>	37.37	78.64	-33.49	85.48	337
N <sub>Ma</sub>	8.58	0.0	0.0	0.0	0
W <sub>Ma</sub>	92.02	0.0	0.0	0.0	0
R <sub>CIE</sub>	39.92	58.74	27.99	65.07	25
J <sub>CIE</sub>	81.26	-2.88	71.56	71.62	92
G <sub>CIE</sub>	52.23	-42.41	13.6	44.55	162
B <sub>CIE</sub>	30.57	1.41	-46.46	46.49	272

Daten für Maximalfarbe (Ma):

$LAB^*LAB^*_{Ma}$ : 47 -16 -35

$LAB^*LCH^*_{Ma}$ : 47 40 244

$lab^*rgb^*_{Ma}$ : 0.0 0.5 1.0

$lab^*olv^*_{Ma}$ : 0.0 0.85 1.0

Dreiecks-Helligkeit  $i^*$

%Umfang

$u^*_{rel} = 109$

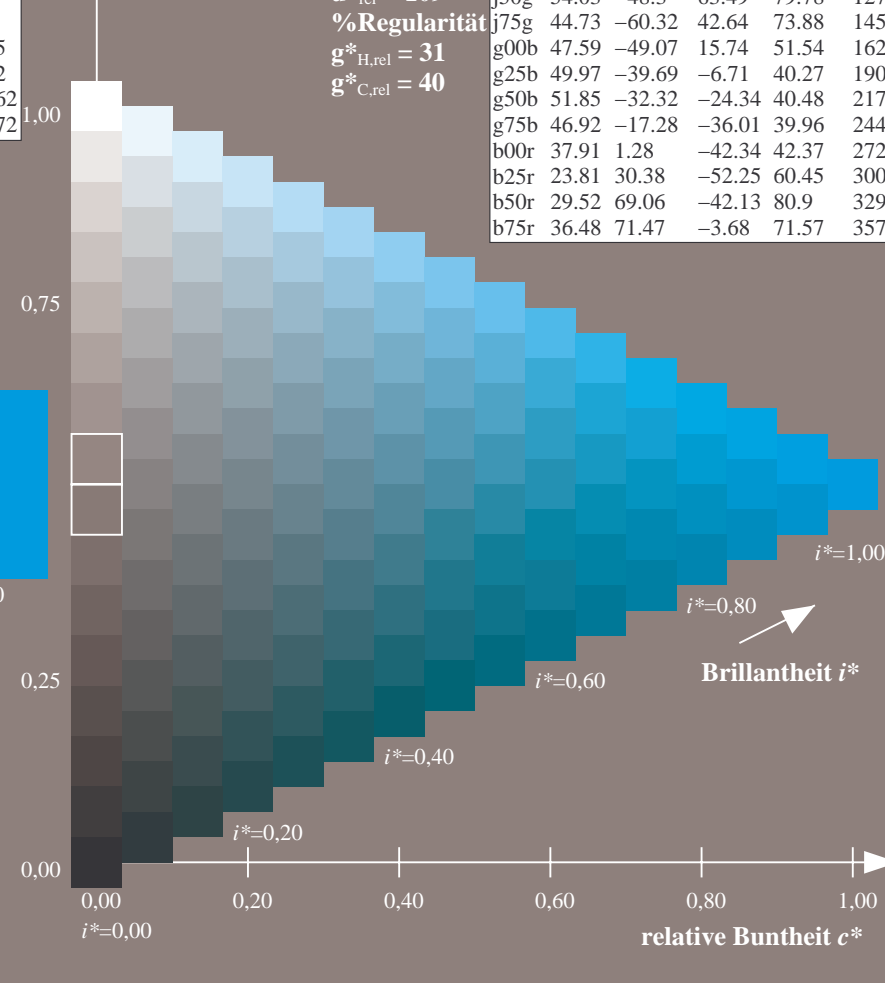
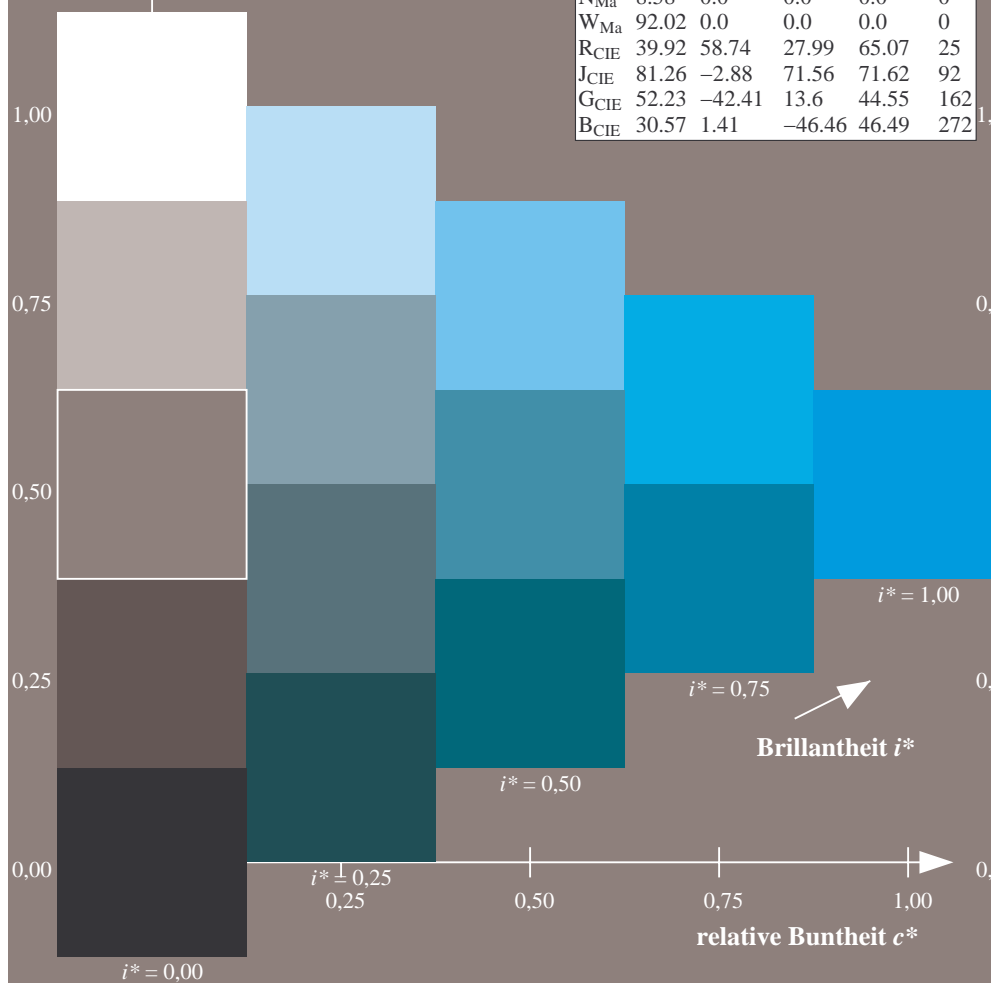
%Regularität

$g^*_{H,rel} = 31$

$g^*_{C,rel} = 40$

FRS09\_92a; adaptierte CIELAB-Daten

	$L^*=L_a^*$	$a_a^*$	$b_a^*$	$C_{ab,a}^*$	$h_{ab,a}^*$
r00j	35.47	63.32	30.17	70.15	25
r25j	39.12	54.56	49.45	73.64	42
r50j	50.64	39.15	64.89	75.79	59
r75j	64.01	21.26	82.83	85.52	76
j00g	83.18	-4.37	108.53	108.62	92
j25g	66.73	-29.88	83.06	88.28	110
j50g	54.03	-48.3	63.49	79.78	127
j75g	44.73	-60.32	42.64	73.88	145
g00b	47.59	-49.07	15.74	51.54	162
g25b	49.97	-39.69	-6.71	40.27	190
g50b	51.85	-32.32	-24.34	40.48	217
g75b	46.92	-17.28	-36.01	39.96	244
b00r	37.91	1.28	-42.34	42.37	272
b25r	23.81	30.38	-52.25	60.45	300
b50r	29.52	69.06	-42.13	80.9	329
b75r	36.48	71.47	-3.68	71.57	357



Ein und Ausgabe: Farbmetrisches Drucker-Reflektiv-System FRS09\_92a für relativen CIELAB-Buntton  $h^* = lab^*h^* = h_{ab}/360 = 272/360 = 0.755$   $u^* = b00r$

Daten für jede Farbe:

$lab^*ch^*$  und  $lab^*icu^*$

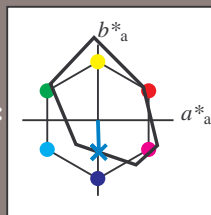
Elementar-Bunttontext:

$u^* = b00r$

Kontrastreduzierungsfaktor:

$c_R = 1.0$

Dreiecks-Helligkeit  $i^*$



FRS09\_92a; adaptierte CIELAB-Daten

	$L^*=L_a^*$	$a_a^*$	$b_a^*$	$C_{ab,a}^*$	$h_{ab,a}^*$
O <sub>Ma</sub>	35.06	60.0	44.0	74.4	36
Y <sub>Ma</sub>	83.77	-5.16	109.32	109.44	93
L <sub>Ma</sub>	44.13	-62.66	48.24	79.09	142
C <sub>Ma</sub>	52.66	-29.13	-31.98	43.27	228
V <sub>Ma</sub>	14.15	50.3	-59.03	77.57	310
M <sub>Ma</sub>	37.37	78.64	-33.49	85.48	337
N <sub>Ma</sub>	8.58	0.0	0.0	0.0	0
W <sub>Ma</sub>	92.02	0.0	0.0	0.0	0
R <sub>CIE</sub>	39.92	58.74	27.99	65.07	25
J <sub>CIE</sub>	81.26	-2.88	71.56	71.62	92
G <sub>CIE</sub>	52.23	-42.41	13.6	44.55	162
B <sub>CIE</sub>	30.57	1.41	-46.46	46.49	272

Daten für Maximalfarbe (Ma):

$LAB^*LAB^*_{Ma}$ : 38 1 -41

$LAB^*LCH^*_{Ma}$ : 38 42 272

$lab^*rgb^*_{Ma}$ : 0.0 0.0 1.0

$lab^*olv^*_{Ma}$ : 0.0 0.62 1.0

Dreiecks-Helligkeit  $i^*$

%Umfang

$u^*_{rel} = 109$

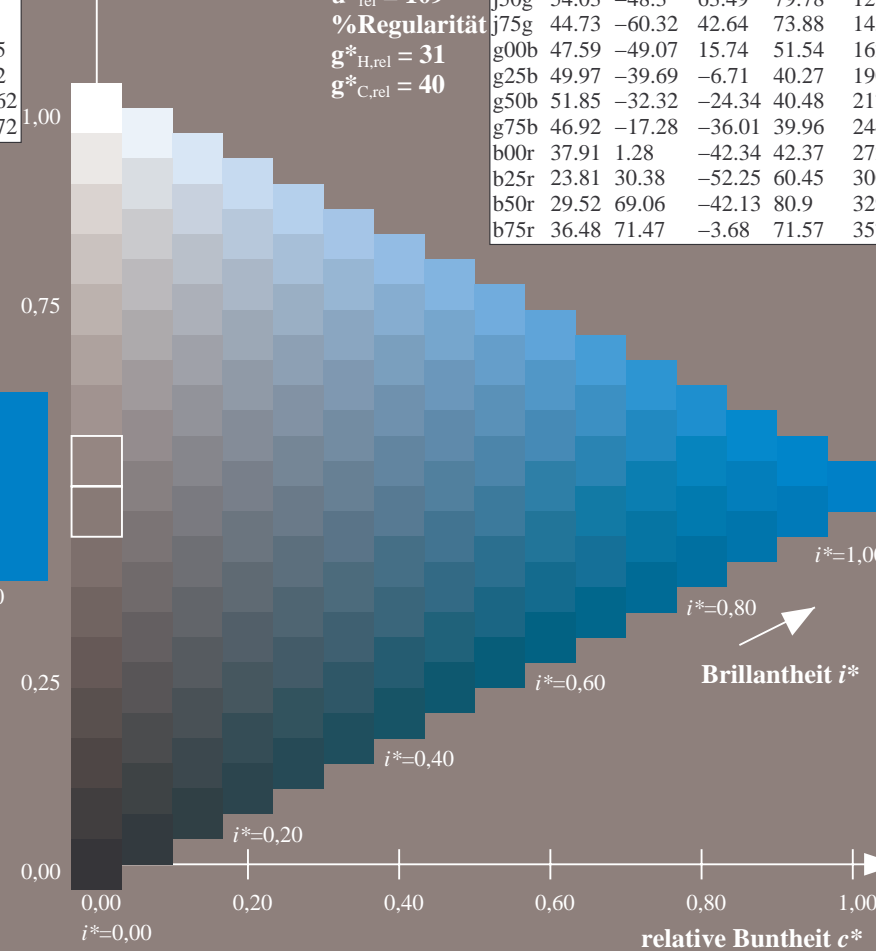
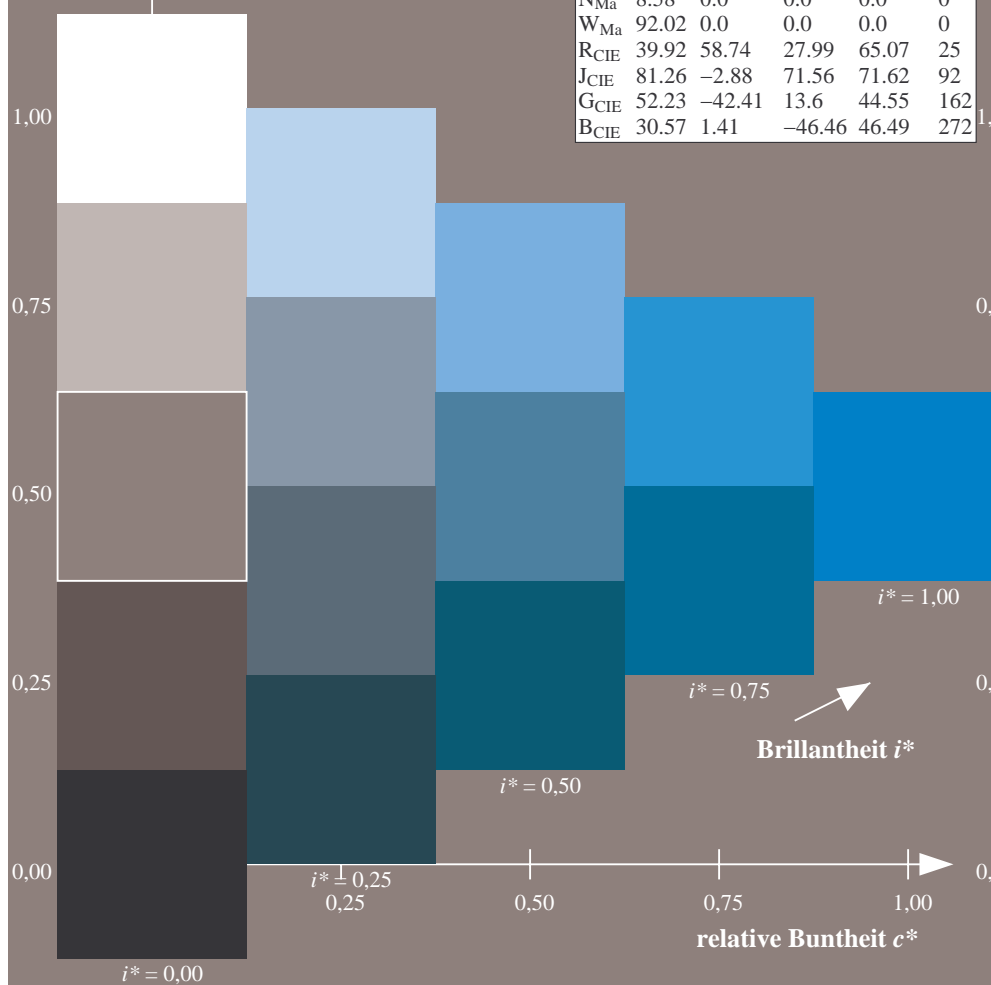
%Regularität

$g^*_{H,rel} = 31$

$g^*_{C,rel} = 40$

FRS09\_92a; adaptierte CIELAB-Daten

	$L^*=L_a^*$	$a_a^*$	$b_a^*$	$C_{ab,a}^*$	$h_{ab,a}^*$
r00j	35.47	63.32	30.17	70.15	25
r25j	39.12	54.56	49.45	73.64	42
r50j	50.64	39.15	64.89	75.79	59
r75j	64.01	21.26	82.83	85.52	76
j00g	83.18	-4.37	108.53	108.62	92
j25g	66.73	-29.88	83.06	88.28	110
j50g	54.03	-48.3	63.49	79.78	127
j75g	44.73	-60.32	42.64	73.88	145
g00b	47.59	-49.07	15.74	51.54	162
g25b	49.97	-39.69	-6.71	40.27	190
g50b	51.85	-32.32	-24.34	40.48	217
g75b	46.92	-17.28	-36.01	39.96	244
b00r	37.91	1.28	-42.34	42.37	272
b25r	23.81	30.38	-52.25	60.45	300
b50r	29.52	69.06	-42.13	80.9	329
b75r	36.48	71.47	-3.68	71.57	357



Ein und Ausgabe: Farbmetrisches Drucker-Reflektiv-System FRS09\_92a für relativen CIELAB-Buntton  $h^* = lab^*h^* = h_{ab}/360 = 300/360 = 0.834$   $u^* = b25r$

Daten für jede Farbe:

$lab^*ch^*$  und  $lab^*icu^*$

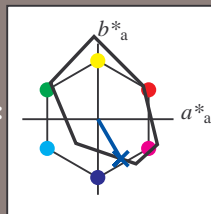
Elementar-Bunttontext:

$u^* = b25r$

Kontrastreduzierungsfaktor:

$c_R = 1.0$

Dreiecks-Helligkeit  $i^*$



FRS09\_92a; adaptierte CIELAB-Daten

	$L^*=L_a^*$	$a_a^*$	$b_a^*$	$C_{ab,a}^*$	$h_{ab,a}^*$
O <sub>Ma</sub>	35.06	60.0	44.0	74.4	36
Y <sub>Ma</sub>	83.77	-5.16	109.32	109.44	93
L <sub>Ma</sub>	44.13	-62.66	48.24	79.09	142
C <sub>Ma</sub>	52.66	-29.13	-31.98	43.27	228
V <sub>Ma</sub>	14.15	50.3	-59.03	77.57	310
M <sub>Ma</sub>	37.37	78.64	-33.49	85.48	337
N <sub>Ma</sub>	8.58	0.0	0.0	0.0	0
W <sub>Ma</sub>	92.02	0.0	0.0	0.0	0
R <sub>CIE</sub>	39.92	58.74	27.99	65.07	25
J <sub>CIE</sub>	81.26	-2.88	71.56	71.62	92
G <sub>CIE</sub>	52.23	-42.41	13.6	44.55	162
B <sub>CIE</sub>	30.57	1.41	-46.46	46.49	272

Daten für Maximalfarbe (Ma):

$LAB^*LAB^*Ma$ : 24 30 -51

$LAB^*LCH^*Ma$ : 24 60 300

$lab^*rgb^*Ma$ : 0.5 0.0 1.0

$lab^*olv^*Ma$ : 0.0 0.25 1.0

Dreiecks-Helligkeit  $i^*$

%Umfang

$u^*_{rel} = 109$

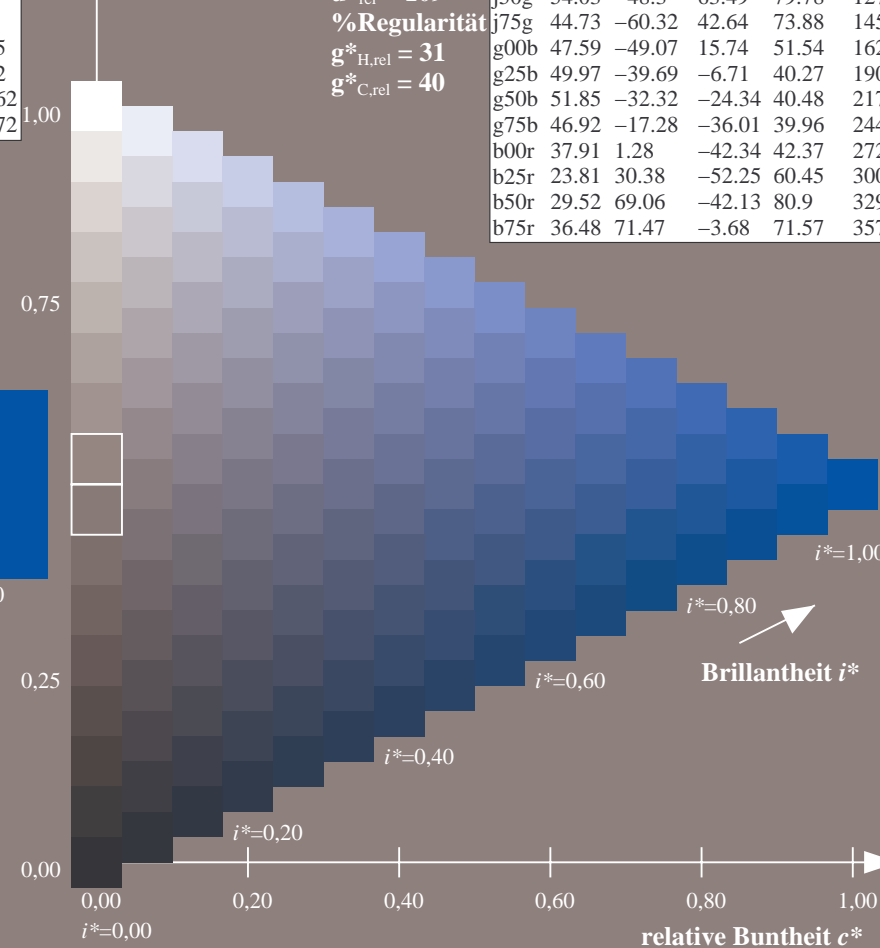
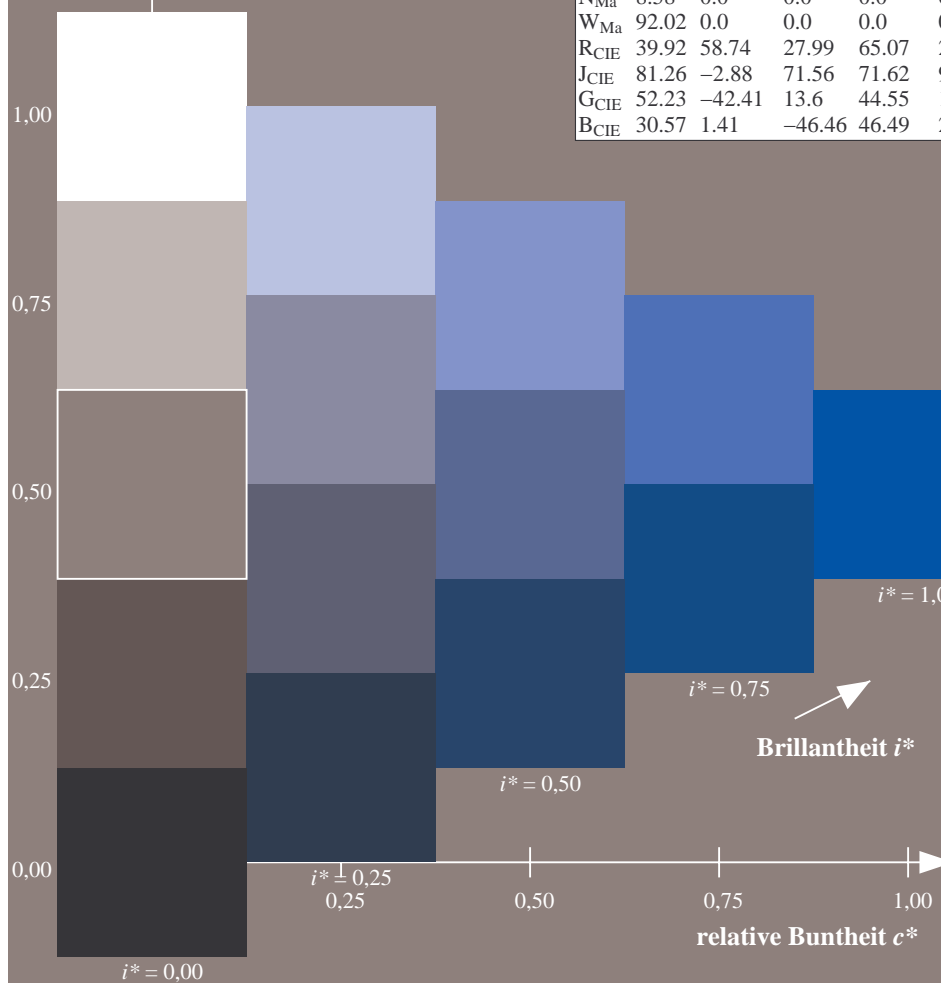
%Regularität

$g^*_{H,rel} = 31$

$g^*_{C,rel} = 40$

FRS09\_92a; adaptierte CIELAB-Daten

	$L^*=L_a^*$	$a_a^*$	$b_a^*$	$C_{ab,a}^*$	$h_{ab,a}^*$
r00j	35.47	63.32	30.17	70.15	25
r25j	39.12	54.56	49.45	73.64	42
r50j	50.64	39.15	64.89	75.79	59
r75j	64.01	21.26	82.83	85.52	76
j00g	83.18	-4.37	108.53	108.62	92
j25g	66.73	-29.88	83.06	88.28	110
j50g	54.03	-48.3	63.49	79.78	127
j75g	44.73	-60.32	42.64	73.88	145
g00b	47.59	-49.07	15.74	51.54	162
g25b	49.97	-39.69	-6.71	40.27	190
g50b	51.85	-32.32	-24.34	40.48	217
g75b	46.92	-17.28	-36.01	39.96	244
b00r	37.91	1.28	-42.34	42.37	272
b25r	23.81	30.38	-52.25	60.45	300
b50r	29.52	69.06	-42.13	80.9	329
b75r	36.48	71.47	-3.68	71.57	357



Ein und Ausgabe: Farbmetrisches Drucker-Reflektiv-System FRS09\_92a für relativen CIELAB-Buntton  $h^* = lab^*h^* = h_{ab}/360 = 329/360 = 0.913$   $u^* = b50r$

Daten für jede Farbe:

$lab^*ch^*$  und  $lab^*icu^*$

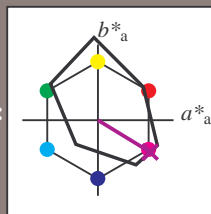
Elementar-Bunttontext:

$u^* = b50r$

Kontrastreduzierungsfaktor:

$c_R = 1.0$

Dreiecks-Helligkeit  $i^*$



FRS09\_92a; adaptierte CIELAB-Daten

	$L^*=L_a^*$	$a_a^*$	$b_a^*$	$C_{ab,a}^*$	$h_{ab,a}^*$
O <sub>Ma</sub>	35.06	60.0	44.0	74.4	36
Y <sub>Ma</sub>	83.77	-5.16	109.32	109.44	93
L <sub>Ma</sub>	44.13	-62.66	48.24	79.09	142
C <sub>Ma</sub>	52.66	-29.13	-31.98	43.27	228
V <sub>Ma</sub>	14.15	50.3	-59.03	77.57	310
M <sub>Ma</sub>	37.37	78.64	-33.49	85.48	337
N <sub>Ma</sub>	8.58	0.0	0.0	0.0	0
W <sub>Ma</sub>	92.02	0.0	0.0	0.0	0
R <sub>CIE</sub>	39.92	58.74	27.99	65.07	25
J <sub>CIE</sub>	81.26	-2.88	71.56	71.62	92
G <sub>CIE</sub>	52.23	-42.41	13.6	44.55	162
B <sub>CIE</sub>	30.57	1.41	-46.46	46.49	272

Daten für Maximalfarbe (Ma):

$LAB^*LAB^*Ma$ : 30 69 -41

$LAB^*LCH^*Ma$ : 30 81 329

$lab^*rgb^*Ma$ : 1.0 0.0 1.0

$lab^*olv^*Ma$ : 0.66 0.0 1.0

Dreiecks-Helligkeit  $i^*$

%Umfang

$u^*_{rel} = 109$

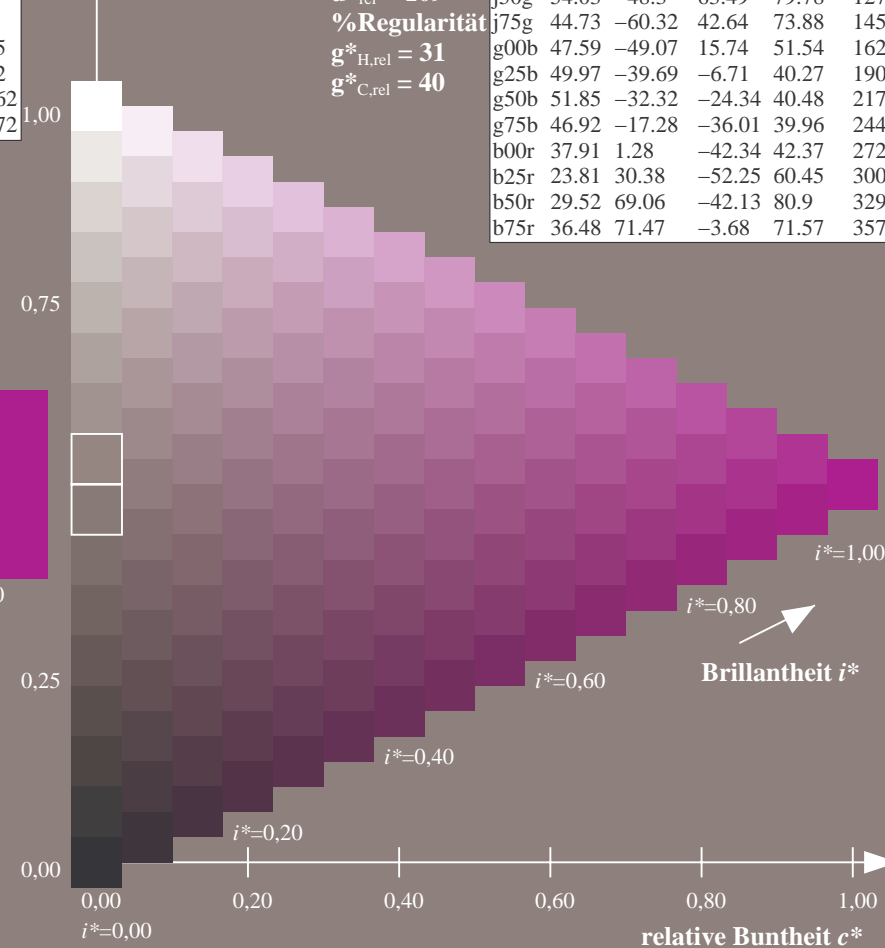
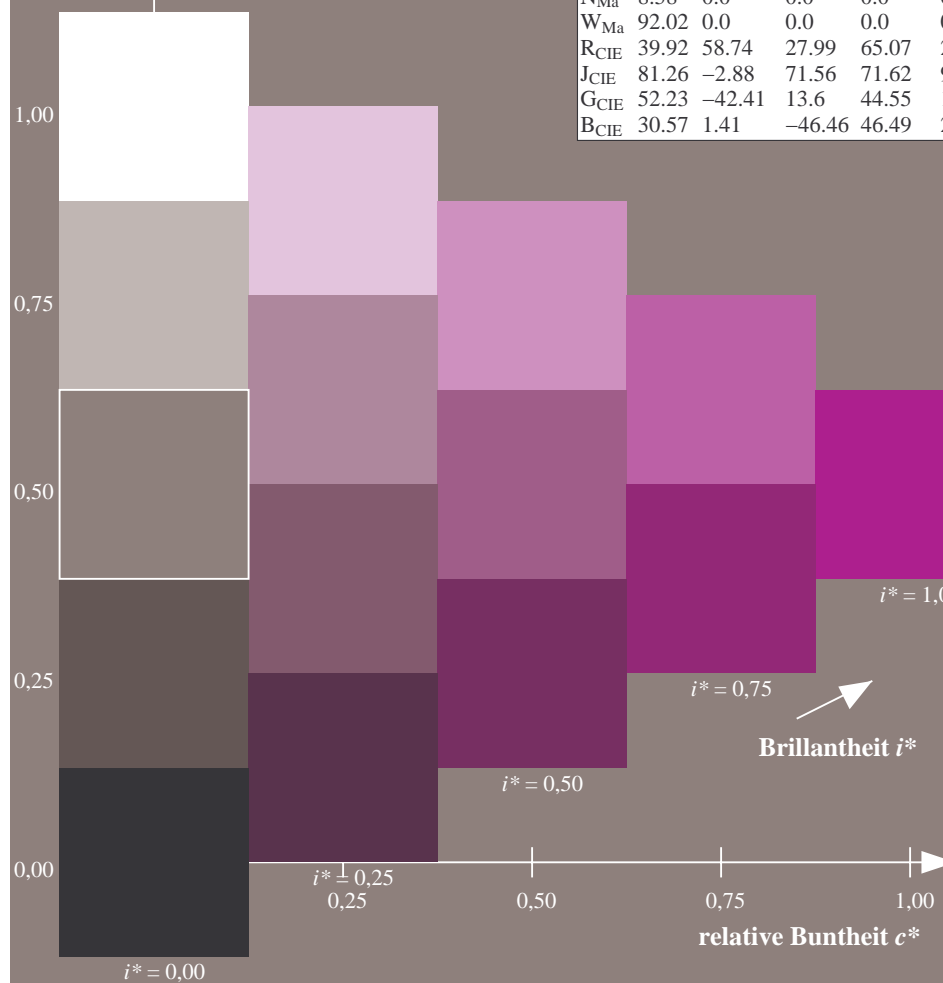
%Regularität

$g^*_{H,rel} = 31$

$g^*_{C,rel} = 40$

FRS09\_92a; adaptierte CIELAB-Daten

	$L^*=L_a^*$	$a_a^*$	$b_a^*$	$C_{ab,a}^*$	$h_{ab,a}^*$
r00j	35.47	63.32	30.17	70.15	25
r25j	39.12	54.56	49.45	73.64	42
r50j	50.64	39.15	64.89	75.79	59
r75j	64.01	21.26	82.83	85.52	76
j00g	83.18	-4.37	108.53	108.62	92
j25g	66.73	-29.88	83.06	88.28	110
j50g	54.03	-48.3	63.49	79.78	127
j75g	44.73	-60.32	42.64	73.88	145
g00b	47.59	-49.07	15.74	51.54	162
g25b	49.97	-39.69	-6.71	40.27	190
g50b	51.85	-32.32	-24.34	40.48	217
g75b	46.92	-17.28	-36.01	39.96	244
b00r	37.91	1.28	-42.34	42.37	272
b25r	23.81	30.38	-52.25	60.45	300
b50r	29.52	69.06	-42.13	80.9	329
b75r	36.48	71.47	-3.68	71.57	357





Ein und Ausgabe: Farbmetrisches Drucker-Reflektiv-System FRS09\_92a für relativen CIELAB-Buntton  $h^* = lab^*h^* = h_{ab}/360 = 357/360 = 0.992$   $u^* = b75r$

Daten für jede Farbe:

$lab^*ch^*$  und  $lab^*icu^*$

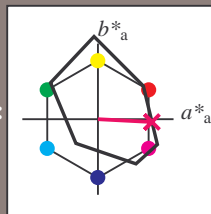
Elementar-Bunttontext:

$u^* = b75r$

Kontrastreduzierungsfaktor:

$c_R = 1.0$

Dreiecks-Helligkeit  $i^*$



FRS09\_92a; adaptierte CIELAB-Daten

	$L^*=L_a^*$	$a_a^*$	$b_a^*$	$C_{ab,a}^*$	$h_{ab,a}^*$
O <sub>Ma</sub>	35.06	60.0	44.0	74.4	36
Y <sub>Ma</sub>	83.77	-5.16	109.32	109.44	93
L <sub>Ma</sub>	44.13	-62.66	48.24	79.09	142
C <sub>Ma</sub>	52.66	-29.13	-31.98	43.27	228
V <sub>Ma</sub>	14.15	50.3	-59.03	77.57	310
M <sub>Ma</sub>	37.37	78.64	-33.49	85.48	337
N <sub>Ma</sub>	8.58	0.0	0.0	0.0	0
W <sub>Ma</sub>	92.02	0.0	0.0	0.0	0
R <sub>CIE</sub>	39.92	58.74	27.99	65.07	25
J <sub>CIE</sub>	81.26	-2.88	71.56	71.62	92
G <sub>CIE</sub>	52.23	-42.41	13.6	44.55	162
B <sub>CIE</sub>	30.57	1.41	-46.46	46.49	272

Daten für Maximalfarbe (Ma):

$LAB^*LAB^*Ma$ : 36 71 -3

$LAB^*LCH^*Ma$ : 36 72 357

$lab^*rgb^*Ma$ : 1.0 0.0 0.5

$lab^*olv^*Ma$ : 1.0 0.0 0.62

Dreiecks-Helligkeit  $i^*$

%Umfang

$u^*_{rel} = 109$

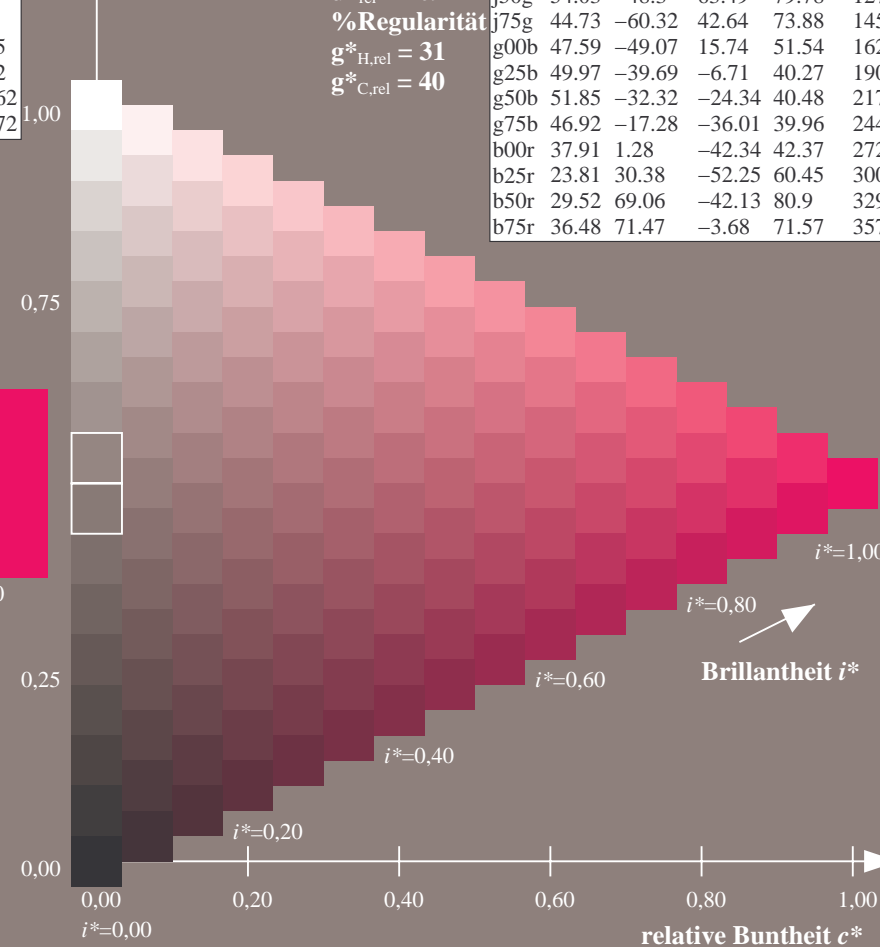
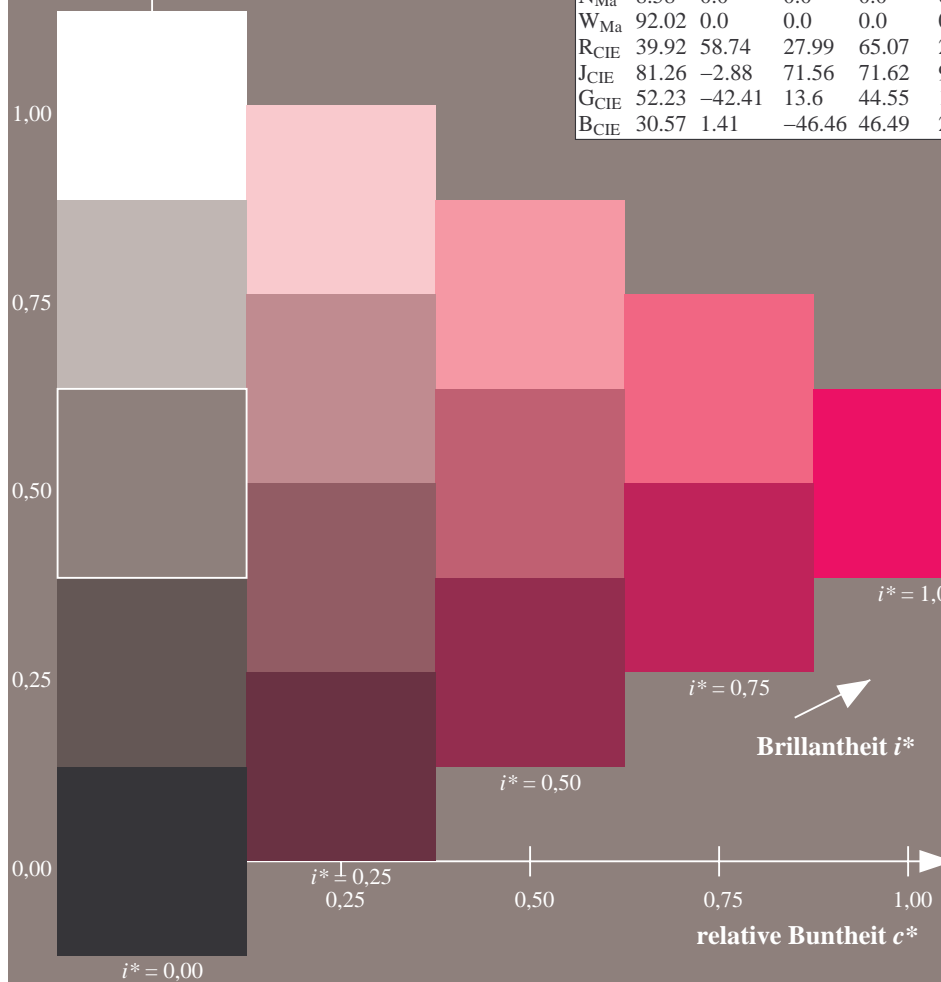
%Regularität

$g^*_{H,rel} = 31$

$g^*_{C,rel} = 40$

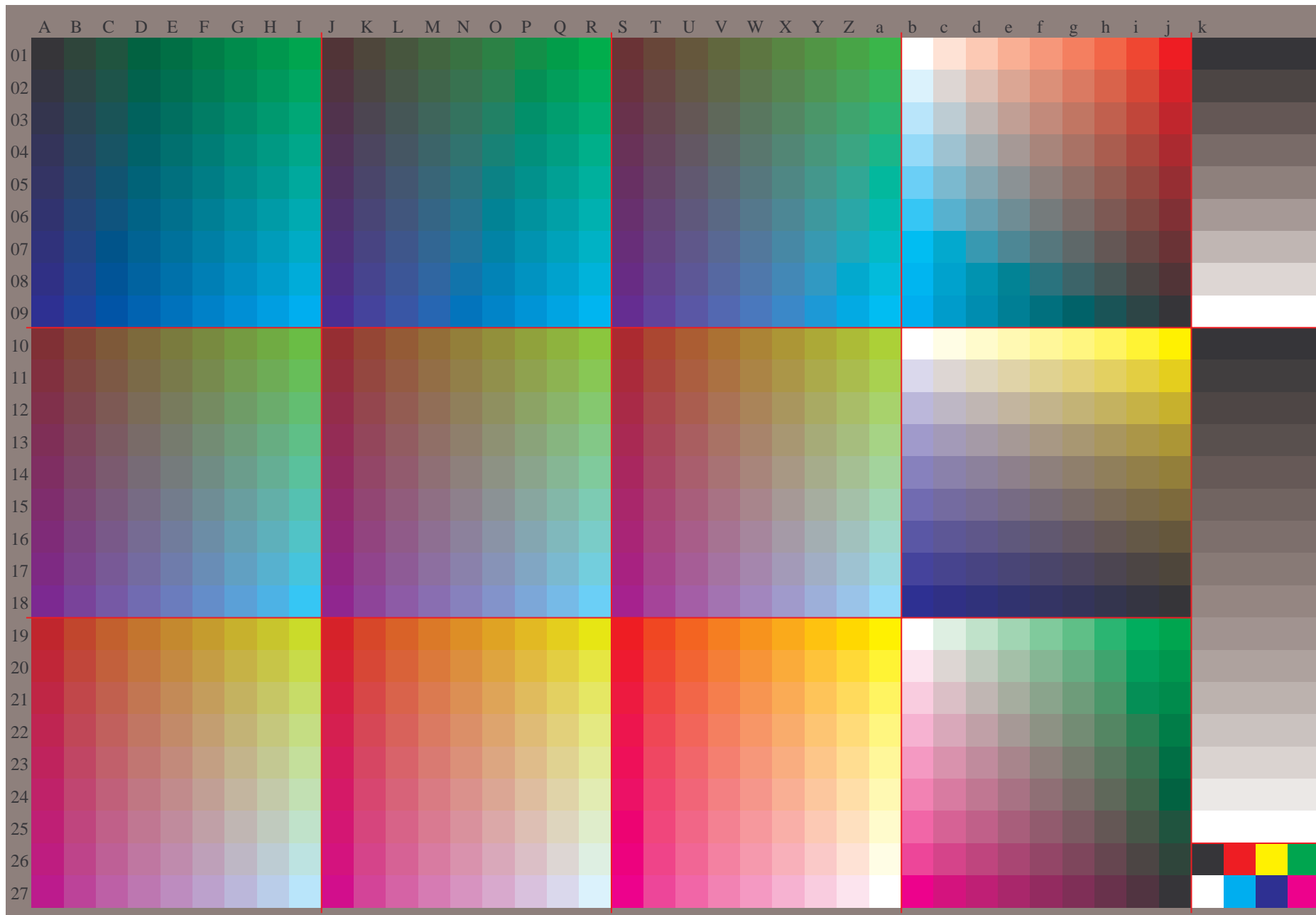
FRS09\_92a; adaptierte CIELAB-Daten

	$L^*=L_a^*$	$a_a^*$	$b_a^*$	$C_{ab,a}^*$	$h_{ab,a}^*$
r00j	35.47	63.32	30.17	70.15	25
r25j	39.12	54.56	49.45	73.64	42
r50j	50.64	39.15	64.89	75.79	59
r75j	64.01	21.26	82.83	85.52	76
j00g	83.18	-4.37	108.53	108.62	92
j25g	66.73	-29.88	83.06	88.28	110
j50g	54.03	-48.3	63.49	79.78	127
j75g	44.73	-60.32	42.64	73.88	145
g00b	47.59	-49.07	15.74	51.54	162
g25b	49.97	-39.69	-6.71	40.27	190
g50b	51.85	-32.32	-24.34	40.48	217
g75b	46.92	-17.28	-36.01	39.96	244
b00r	37.91	1.28	-42.34	42.37	272
b25r	23.81	30.38	-52.25	60.45	300
b50r	29.52	69.06	-42.13	80.9	329
b75r	36.48	71.47	-3.68	71.57	357



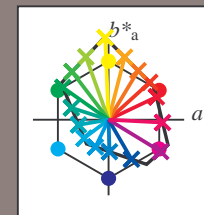
Siehe ähnliche Dateien: <http://www.ps.bam.de/Dg96/>; [www.ps.bam.de/Dg96/Version 2.1, io=1,1, ColSpx=0](http://www.ps.bam.de/Dg96/Version%202.1%20io%3D1%20ColSpx%3D0)  
Technische Information: [http://www.ps.bam.de/Version 2.1, io=1,1, ColSpx=0](http://www.ps.bam.de/Version%202.1%20io%3D1%20ColSpx%3D0)

BAM-Registrierung: 20080701-Dg96/10L/L96G00NA.PS/.TXTBAM-Material: Code=rh4ta  
Anwendung für Beurteilung und Messung von Drucker- oder Monitorsystemen



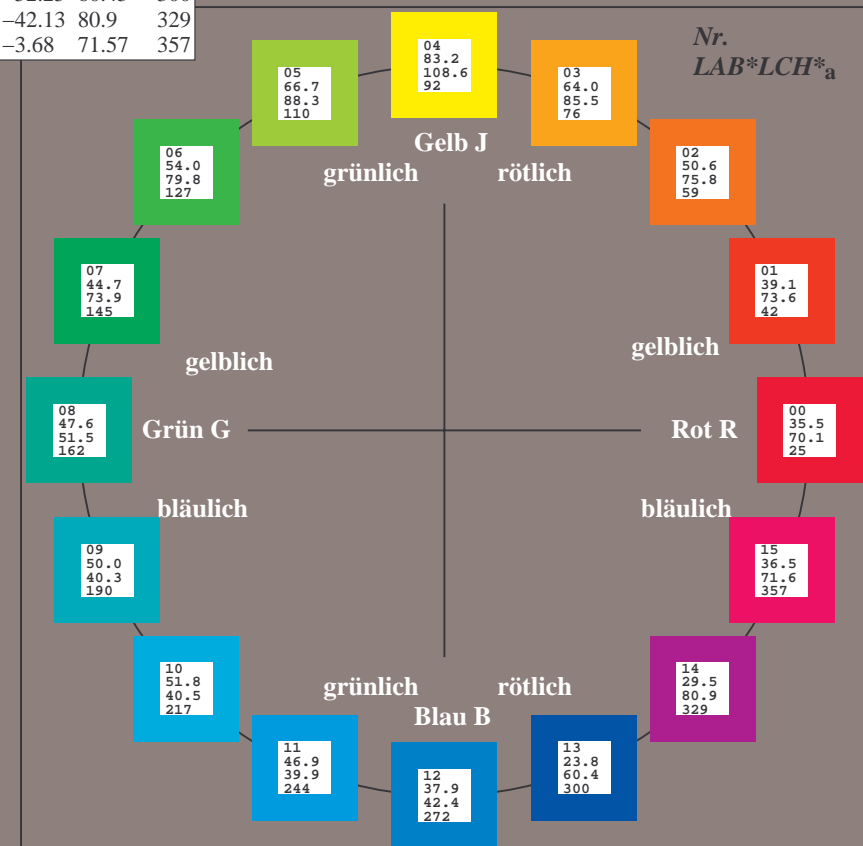
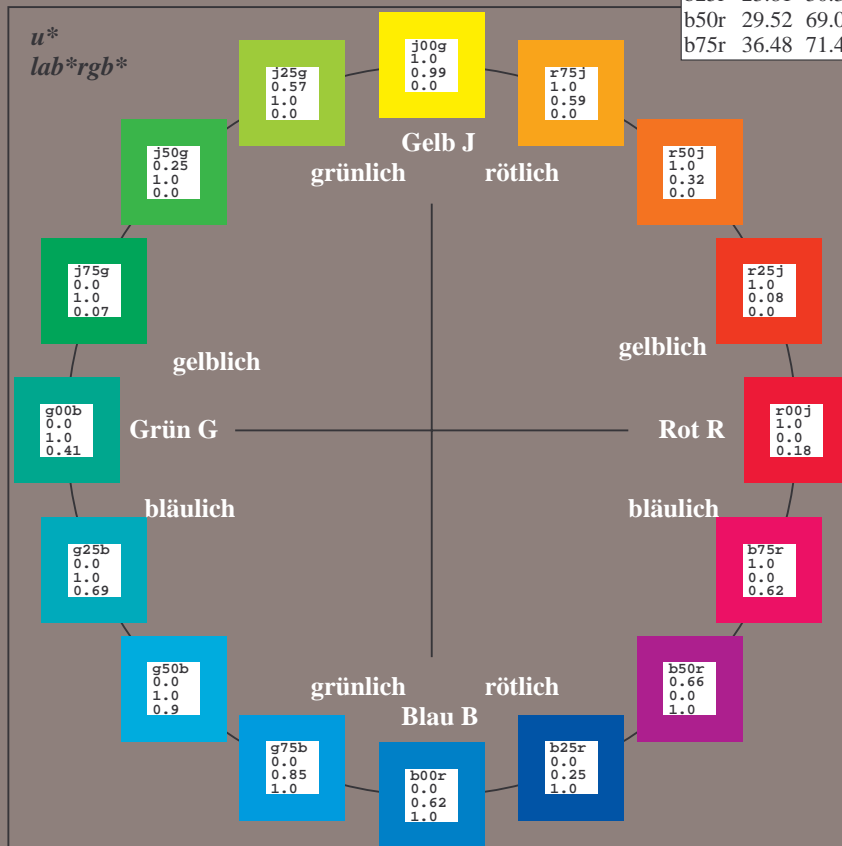
Ein und Ausgabe:  
Farbmetrisches Drucker-Reflektiv-System FRS09\_92a  
Daten für jede Farbe:  
*lab\*<sub>tch</sub>\** und *lab\*<sub>icu</sub>\**  
Elementar-Bunttontext:  
*u\** = 16 Buntttöne *r00j*, *r25j*, ..., *b75r*  
Kontrastreduzierungsfaktor:  
 $c_R = 1.0$

FRS09_92a; adaptierte CIELAB-Daten					
	$L^*=L^*_a$	$a^*_a$	$b^*_a$	$C^*_{ab,a}$	$h^*_{ab,a}$
r00j	35.47	63.32	30.17	70.15	25
r25j	39.12	54.56	49.45	73.64	42
r50j	50.64	39.15	64.89	75.79	59
r75j	64.01	21.26	82.83	85.52	76
j00g	83.18	-4.37	108.53	108.62	92
j25g	66.73	-29.88	83.06	88.28	110
j50g	54.03	-48.3	63.49	79.78	127
j75g	44.73	-60.32	42.64	73.88	145
g00b	47.59	-49.07	15.74	51.54	162
g25b	49.97	-39.69	-6.71	40.27	190
g50b	51.85	-32.32	-24.34	40.48	217
g75b	46.92	-17.28	-36.01	39.96	244
b00r	37.91	1.28	-42.34	42.37	272
b25r	23.81	30.38	-52.25	60.45	300
b50r	29.52	69.06	-42.13	80.9	329
b75r	36.48	71.47	-3.68	71.57	357



%Umfang  
 $u^*_{rel} = 109$   
%Regularität  
 $g^*_{H,rel} = 31$   
 $g^*_{C,rel} = 40$

FRS09_92a; adaptierte CIELAB-Daten					
	$L^*=L^*_a$	$a^*_a$	$b^*_a$	$C^*_{ab,a}$	$h^*_{ab,a}$
OMa	35.06	60.0	44.0	74.4	36
YMa	83.77	-5.16	109.32	109.44	93
LMa	44.13	-62.66	48.24	79.09	142
CMa	52.66	-29.13	-31.98	43.27	228
VMa	14.15	50.3	-59.03	77.57	310
MMa	37.37	78.64	-33.49	85.48	337
NMa	8.58	0.0	0.0	0.0	0
WMa	92.02	0.0	0.0	0.0	0
RCIE	39.92	58.74	27.99	65.07	25
JCIE	81.26	-2.88	71.56	71.62	92
GCIE	52.23	-42.41	13.6	44.55	162
BCIE	30.57	1.41	-46.46	46.49	272



Ein und Ausgabe: Farbmetrisches Drucker-Reflektiv-System FRS09\_92a für relativen CIELAB-Buntton  $h^* = \text{lab}^*h^* = h_{ab}/360 = 25/360 = 0.071$   $u^* = r00j$

Daten für jede Farbe:

$\text{lab}^*ch^*$  und  $\text{lab}^*icu^*$

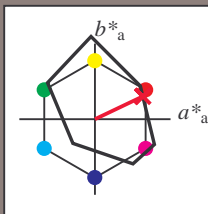
Elementar-Bunttontext:

$u^* = r00j$

Kontrastreduzierungsfaktor:

$c_R = 1.0$

Dreiecks-Helligkeit  $i^*$



FRS09\_92a; adaptierte CIELAB-Daten

	$L^*=L_a^*$	$a^*_a$	$b^*_a$	$C^*_{ab,a}$	$h^*_{ab,a}$
O <sub>Ma</sub>	35.06	60.0	44.0	74.4	36
Y <sub>Ma</sub>	83.77	-5.16	109.32	109.44	93
L <sub>Ma</sub>	44.13	-62.66	48.24	79.09	142
C <sub>Ma</sub>	52.66	-29.13	-31.98	43.27	228
V <sub>Ma</sub>	14.15	50.3	-59.03	77.57	310
M <sub>Ma</sub>	37.37	78.64	-33.49	85.48	337
N <sub>Ma</sub>	8.58	0.0	0.0	0.0	0
W <sub>Ma</sub>	92.02	0.0	0.0	0.0	0
R <sub>CIE</sub>	39.92	58.74	27.99	65.07	25
J <sub>CIE</sub>	81.26	-2.88	71.56	71.62	92
G <sub>CIE</sub>	52.23	-42.41	13.6	44.55	162
B <sub>CIE</sub>	30.57	1.41	-46.46	46.49	272

Daten für Maximalfarbe (Ma):

$\text{LAB}^*\text{LAB}^*_{\text{Ma}}$ : 35 63 30

$\text{LAB}^*\text{LCH}^*_{\text{Ma}}$ : 35 70 25

$\text{lab}^*\text{rgb}^*_{\text{Ma}}$ : 1.0 0.0 0.0

$\text{lab}^*\text{olv}^*_{\text{Ma}}$ : 1.0 0.0 0.18

Dreiecks-Helligkeit  $i^*$

%Umfang

$u^*_{\text{rel}} = 109$

%Regularität

$g^*_{H,\text{rel}} = 31$

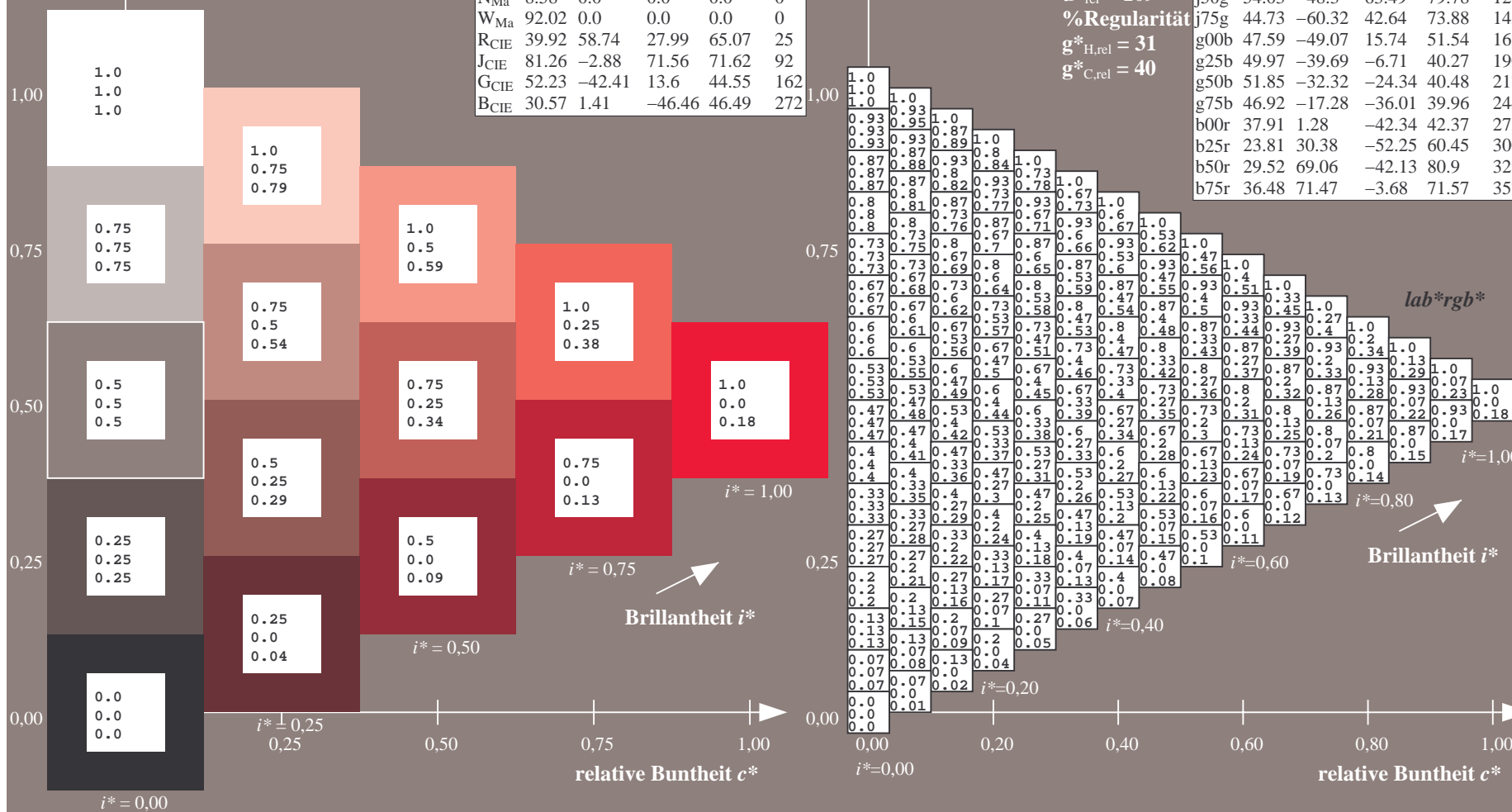
$g^*_{C,\text{rel}} = 40$

FRS09\_92a; adaptierte CIELAB-Daten

	$L^*=L_a^*$	$a^*_a$	$b^*_a$	$C^*_{ab,a}$	$h^*_{ab,a}$
r00j	35.47	63.32	30.17	70.15	25
r25j	39.12	54.56	49.45	73.64	42
r50j	50.64	39.15	64.89	75.79	59
r75j	64.01	21.26	82.83	85.52	76
j00g	83.18	-4.37	108.53	108.62	92
j25g	66.73	-29.88	83.06	88.28	110
j50g	54.03	-48.3	63.49	79.78	127
j75g	44.73	-60.32	42.64	73.88	145
g00b	47.59	-49.07	15.74	51.54	162
g25b	49.97	-39.69	-6.71	40.27	190
g50b	51.85	-32.32	-24.34	40.48	217
g75b	46.92	-17.28	-36.01	39.96	244
b00r	37.91	1.28	-42.34	42.37	272
b25r	23.81	30.38	-52.25	60.45	300
b50r	29.52	69.06	-42.13	80.9	329
b75r	36.48	71.47	-3.68	71.57	357

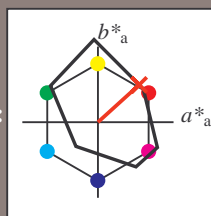
Siehe ähnliche Dateien: <http://www.ps.bam.de/Dg96/>; [www.ps.bam.de/Dg96/HTM](http://www.ps.bam.de/Dg96/HTM)  
Technische Information: <http://www.ps.bam.de> Version 2.1, io=1,1, ColSp=0

BAM-Registrierung: 20080701-Dg96/10L/L96G00NA.PS/.TXTBAM-Material: Code=rh4ta  
Anwendung für Beurteilung und Messung von Drucker- oder Monitorsystemen



Ein und Ausgabe: Farbmetrisches Drucker-Reflektiv-System FRS09\_92a für relativen CIELAB-Buntton  $h^* = \text{lab}^*h^* = h_{ab}/360 = 42/360 = 0.117$   $u^* = r25j$   
Daten für jede Farbe:  
 $\text{lab}^*ch^*$  und  $\text{lab}^*icu^*$   
Elementar-Bunttonstext:  
 $u^* = r25j$   
Kontrastreduzierungsfaktor:  
 $c_R = 1.0$   
Dreiecks-Helligkeit  $t^*$

Siehe ähnliche Dateien: <http://www.ps.bam.de/Dg96/>; [www.ps.bam.de/Dg96/HTM](http://www.ps.bam.de/Dg96/HTM)  
Technische Information: <http://www.ps.bam.de> Version 2.1, io=1,1, ColSpx=0



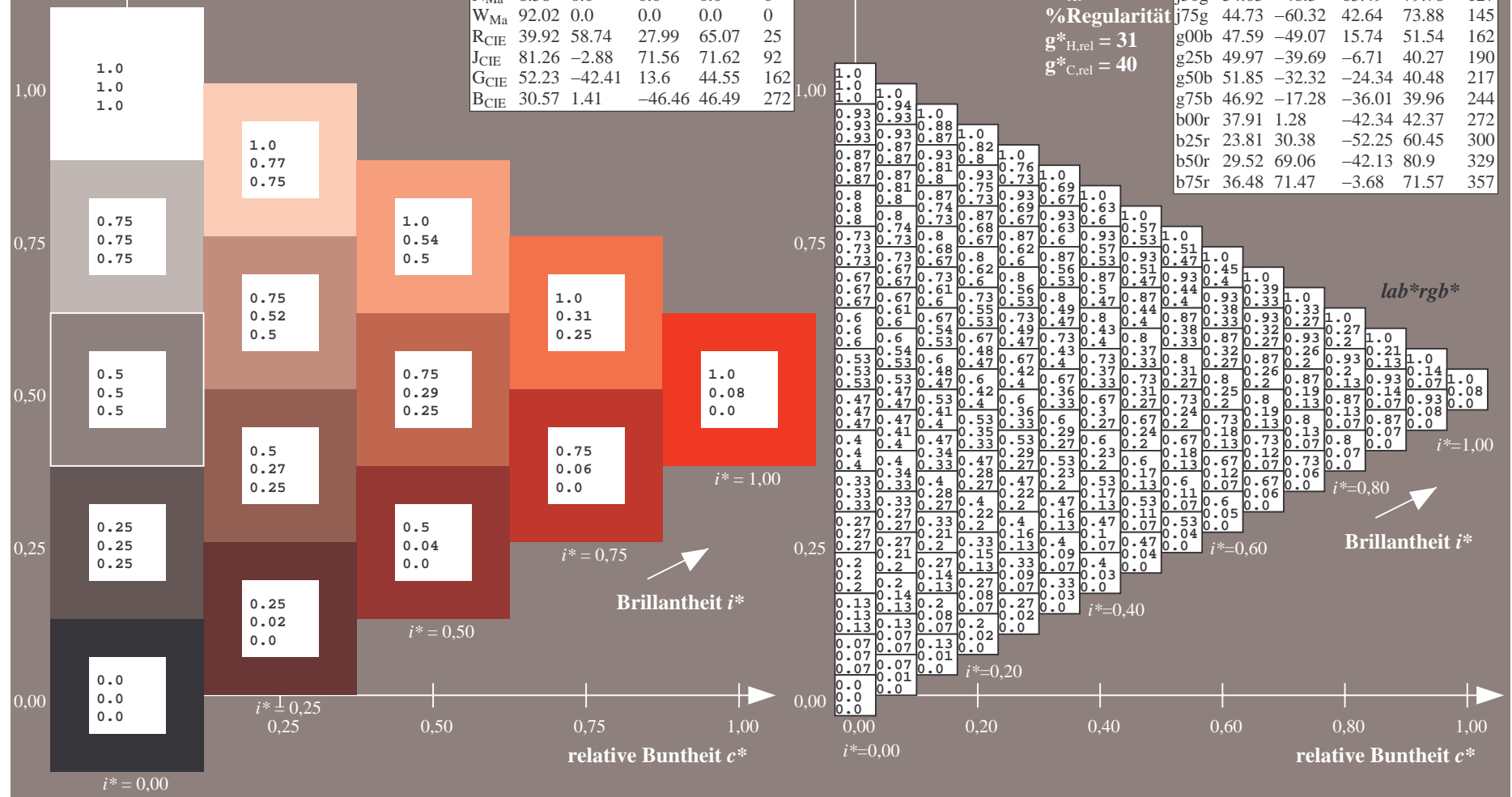
FRS09_92a; adaptierte CIELAB-Daten					
	$L^*=L_a^*$	$a_a^*$	$b_a^*$	$C^*_{ab,a}$	$h^*_{ab,a}$
O <sub>Ma</sub>	35.06	60.0	44.0	74.4	36
Y <sub>Ma</sub>	83.77	-5.16	109.32	109.44	93
L <sub>Ma</sub>	44.13	-62.66	48.24	79.09	142
C <sub>Ma</sub>	52.66	-29.13	-31.98	43.27	228
V <sub>Ma</sub>	14.15	50.3	-59.03	77.57	310
M <sub>Ma</sub>	37.37	78.64	-33.49	85.48	337
N <sub>Ma</sub>	8.58	0.0	0.0	0.0	0
W <sub>Ma</sub>	92.02	0.0	0.0	0.0	0
R <sub>CIE</sub>	39.92	58.74	27.99	65.07	25
J <sub>CIE</sub>	81.26	-2.88	71.56	71.62	92
G <sub>CIE</sub>	52.23	-42.41	13.6	44.55	162
B <sub>CIE</sub>	30.57	1.41	-46.46	46.49	272

Daten für Maximalfarbe (Ma):

$\text{LAB}^*\text{LAB}^*_{Ma}$ : 39 55 49  
 $\text{LAB}^*\text{LCH}^*_{Ma}$ : 39 74 42  
 $\text{lab}^*\text{rgb}^*_{Ma}$ : 1.0 0.25 0.0  
 $\text{lab}^*\text{olv}^*_{Ma}$ : 1.0 0.08 0.0

FRS09_92a; adaptierte CIELAB-Daten					
	$L^*=L_a^*$	$a_a^*$	$b_a^*$	$C^*_{ab,a}$	$h^*_{ab,a}$
r00j	35.47	63.32	30.17	70.15	25
r25j	39.12	54.56	49.45	73.64	42
r50j	50.64	39.15	64.89	75.79	59
r75j	64.01	21.26	82.83	85.52	76
j00g	83.18	-4.37	108.53	108.62	92
j25g	66.73	-29.88	83.06	88.28	110
j50g	54.03	-48.3	63.49	79.78	127
j75g	44.73	-60.32	42.64	73.88	145
g00b	47.59	-49.07	15.74	51.54	162
g25b	49.97	-39.69	-6.71	40.27	190
g50b	51.85	-32.32	-24.34	40.48	217
g75b	46.92	-17.28	-36.01	39.96	244
b00r	37.91	1.28	-42.34	42.37	272
b25r	23.81	30.38	-52.25	60.45	300
b50r	29.52	69.06	-42.13	80.9	329
b75r	36.48	71.47	-3.68	71.57	357

%Umfang  
 $u^*_{rel} = 109$   
%Regularität  
 $g^*_{H,rel} = 31$   
 $g^*_{C,rel} = 40$





Ein und Ausgabe: Farbmetrisches Drucker-Reflektiv-System FRS09\_92a für relativen CIELAB-Buntton  $h^* = lab^*h^* = h_{ab}/360 = 59/360 = 0.164$   $u^* = r50j$

Daten für jede Farbe:

$lab^*ch^*$  und  $lab^*icu^*$

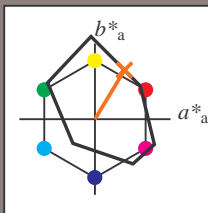
Elementar-Bunttontext:

$u^* = r50j$

Kontrastreduzierungsfaktor:

$c_R = 1.0$

Dreiecks-Helligkeit  $i^*$



FRS09\_92a; adaptierte CIELAB-Daten

	$L^*=L_a^*$	$a_a^*$	$b_a^*$	$C^*_{ab,a}$	$h^*_{ab,a}$
O <sub>Ma</sub>	35.06	60.0	44.0	74.4	36
Y <sub>Ma</sub>	83.77	-5.16	109.32	109.44	93
L <sub>Ma</sub>	44.13	-62.66	48.24	79.09	142
C <sub>Ma</sub>	52.66	-29.13	-31.98	43.27	228
V <sub>Ma</sub>	14.15	50.3	-59.03	77.57	310
M <sub>Ma</sub>	37.37	78.64	-33.49	85.48	337
N <sub>Ma</sub>	8.58	0.0	0.0	0.0	0
W <sub>Ma</sub>	92.02	0.0	0.0	0.0	0
R <sub>CIE</sub>	39.92	58.74	27.99	65.07	25
J <sub>CIE</sub>	81.26	-2.88	71.56	71.62	92
G <sub>CIE</sub>	52.23	-42.41	13.6	44.55	162
B <sub>CIE</sub>	30.57	1.41	-46.46	46.49	272

Daten für Maximalfarbe (Ma):

$LAB^*LAB^*_{Ma}$ : 51 39 65

$LAB^*LCH^*_{Ma}$ : 51 76 59

$lab^*rgb^*_{Ma}$ : 1.0 0.5 0.0

$lab^*olv^*_{Ma}$ : 1.0 0.32 0.0

Dreiecks-Helligkeit  $i^*$

%Umfang

$u^*_{rel} = 109$

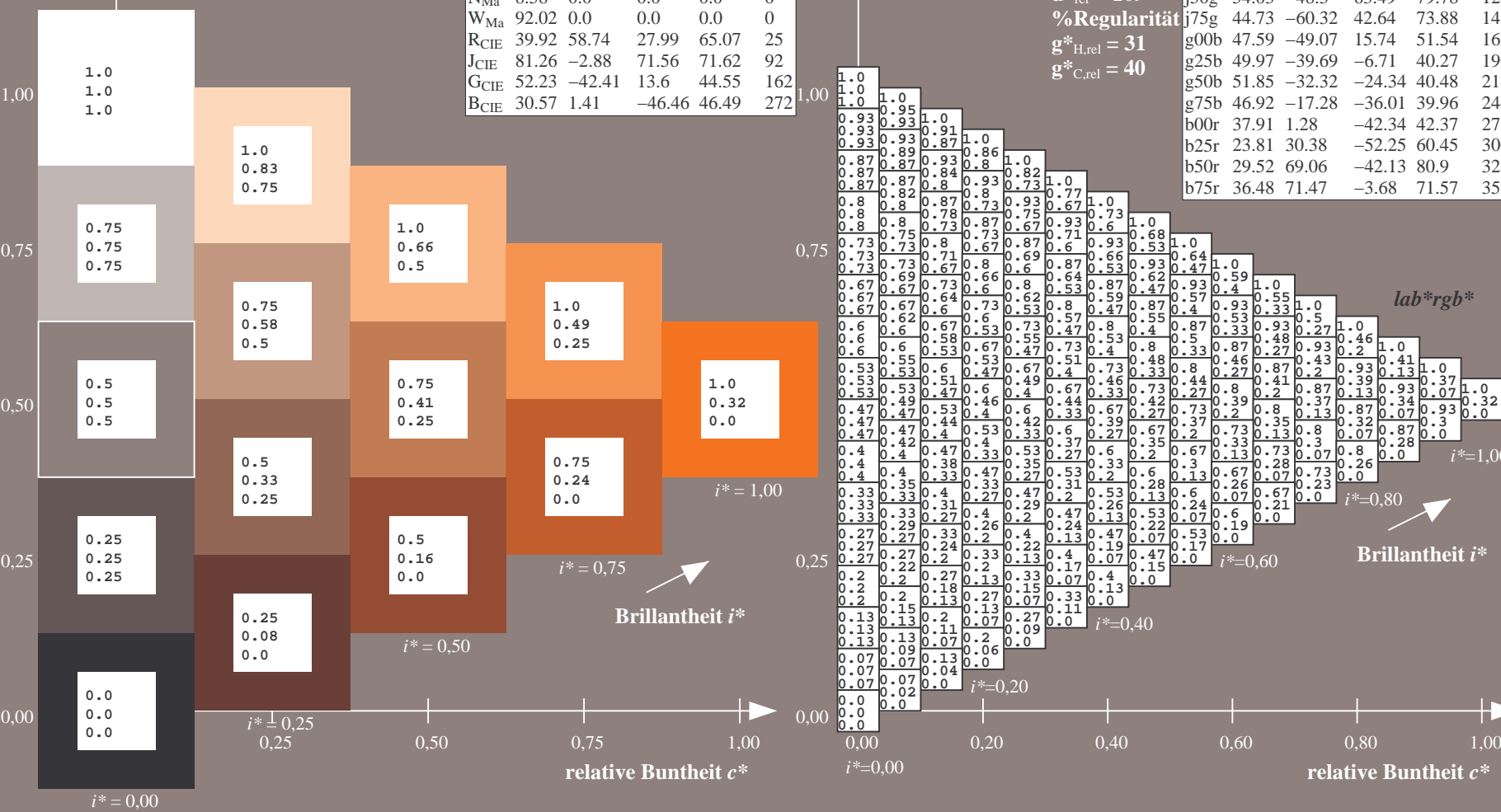
%Regularität

$g^*_{H,rel} = 31$

$g^*_{C,rel} = 40$

FRS09\_92a; adaptierte CIELAB-Daten

	$L^*=L_a^*$	$a_a^*$	$b_a^*$	$C^*_{ab,a}$	$h^*_{ab,a}$
r00j	35.47	63.32	30.17	70.15	25
r25j	39.12	54.56	49.45	73.64	42
r50j	50.64	39.15	64.89	75.79	59
r75j	64.01	21.26	82.83	85.52	76
j00g	83.18	-4.37	108.53	108.62	92
j25g	66.73	-29.88	83.06	88.28	110
j50g	54.03	-48.3	63.49	79.78	127
j75g	44.73	-60.32	42.64	73.88	145
g00b	47.59	-49.07	15.74	51.54	162
g25b	49.97	-39.69	-6.71	40.27	190
g50b	51.85	-32.32	-24.34	40.48	217
g75b	46.92	-17.28	-36.01	39.96	244
b00r	37.91	1.28	-42.34	42.37	272
b25r	23.81	30.38	-52.25	60.45	300
b50r	29.52	69.06	-42.13	80.9	329
b75r	36.48	71.47	-3.68	71.57	357





Ein und Ausgabe: Farbmetrisches Drucker-Reflektiv-System FRS09\_92a für relativen CIELAB-Buntton  $h^* = lab^*h^* = h_{ab}/360 = 76/360 = 0.21$

Daten für jede Farbe:

$lab^*ch^*$  und  $lab^*icu^*$

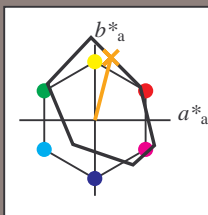
Elementar-Bunttontext:

$u^* = r75j$

Kontrastreduzierungsfaktor:

$c_R = 1.0$

Dreiecks-Helligkeit  $i^*$



FRS09\_92a; adaptierte CIELAB-Daten

	$L^*=L_a^*$	$a_a^*$	$b_a^*$	$C^*_{ab,a}$	$h^*_{ab,a}$
O <sub>Ma</sub>	35.06	60.0	44.0	74.4	36
Y <sub>Ma</sub>	83.77	-5.16	109.32	109.44	93
L <sub>Ma</sub>	44.13	-62.66	48.24	79.09	142
C <sub>Ma</sub>	52.66	-29.13	-31.98	43.27	228
V <sub>Ma</sub>	14.15	50.3	-59.03	77.57	310
M <sub>Ma</sub>	37.37	78.64	-33.49	85.48	337
N <sub>Ma</sub>	8.58	0.0	0.0	0.0	0
W <sub>Ma</sub>	92.02	0.0	0.0	0.0	0
R <sub>CIE</sub>	39.92	58.74	27.99	65.07	25
J <sub>CIE</sub>	81.26	-2.88	71.56	71.62	92
G <sub>CIE</sub>	52.23	-42.41	13.6	44.55	162
B <sub>CIE</sub>	30.57	1.41	-46.46	46.49	272

Daten für Maximalfarbe (Ma):

$LAB^*LAB^*_{Ma}$ : 64 21 83

$LAB^*LCH^*_{Ma}$ : 64 86 76

$lab^*rgb^*_{Ma}$ : 1.0 0.75 0.0

$lab^*olv^*_{Ma}$ : 1.0 0.59 0.0

Dreiecks-Helligkeit  $i^*$

%Umfang

$u^*_{rel} = 109$

%Regularität

$g^*_{H,rel} = 31$

$g^*_{C,rel} = 40$

FRS09\_92a; adaptierte CIELAB-Daten

	$L^*=L_a^*$	$a_a^*$	$b_a^*$	$C^*_{ab,a}$	$h^*_{ab,a}$
r00j	35.47	63.32	30.17	70.15	25
r25j	39.12	54.56	49.45	73.64	42
r50j	50.64	39.15	64.89	75.79	59
r75j	64.01	21.26	82.83	85.52	76
j00g	83.18	-4.37	108.53	108.62	92
j25g	66.73	-29.88	83.06	88.28	110
j50g	54.03	-48.3	63.49	79.78	127
j75g	44.73	-60.32	42.64	73.88	145
g00b	47.59	-49.07	15.74	51.54	162
g25b	49.97	-39.69	-6.71	40.27	190
g50b	51.85	-32.32	-24.34	40.48	217
g75b	46.92	-17.28	-36.01	39.96	244
b00r	37.91	1.28	-42.34	42.37	272
b25r	23.81	30.38	-52.25	60.45	300
b50r	29.52	69.06	-42.13	80.9	329
b75r	36.48	71.47	-3.68	71.57	357

$lab^*rgb^*$

$i^* = 1.00$

Brillantheit  $i^*$

$i^* = 0.80$

$i^* = 0.60$

$i^* = 0.40$

$i^* = 0.20$

$i^* = 0.00$

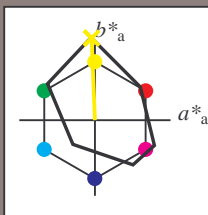
relative Buntheit  $c^*$

relative Buntheit  $c^*$

Ein und Ausgabe: Farbmetrisches Drucker-Reflektiv-System FRS09\_92a für relativen CIELAB-Buntton  $h^* = lab^*h^* = h_{ab}/360 = 92/360 = 0.256$   $u^* = j00g$   
Daten für jede Farbe:  $lab^*ch^*$  und  $lab^*icu^*$

Elementar-Bunttontext:  
 $u^* = j00g$

Kontrastreduzierungsfaktor:  
 $c_R = 1.0$   
Dreiecks-Helligkeit  $t^*$



FRS09_92a; adaptierte CIELAB-Daten					
	$L^*=L^*_a$	$a^*_a$	$b^*_a$	$C^*_{ab,a}$	$h^*_{ab,a}$
O <sub>Ma</sub>	35.06	60.0	44.0	74.4	36
Y <sub>Ma</sub>	83.77	-5.16	109.32	109.44	93
L <sub>Ma</sub>	44.13	-62.66	48.24	79.09	142
C <sub>Ma</sub>	52.66	-29.13	-31.98	43.27	228
V <sub>Ma</sub>	14.15	50.3	-59.03	77.57	310
M <sub>Ma</sub>	37.37	78.64	-33.49	85.48	337
N <sub>Ma</sub>	8.58	0.0	0.0	0.0	0
W <sub>Ma</sub>	92.02	0.0	0.0	0.0	0
R <sub>CIE</sub>	39.92	58.74	27.99	65.07	25
J <sub>CIE</sub>	81.26	-2.88	71.56	71.62	92
G <sub>CIE</sub>	52.23	-42.41	13.6	44.55	162
B <sub>CIE</sub>	30.57	1.41	-46.46	46.49	272

Daten für Maximalfarbe (Ma):

$LAB^*LAB^*_{Ma}$ : 83 -3 109

$LAB^*LCH^*_{Ma}$ : 83 109 92

$lab^*rgb^*_{Ma}$ : 1.0 1.0 0.0

$lab^*olv^*_{Ma}$ : 1.0 0.99 0.0

Dreiecks-Helligkeit  $t^*$

%Umfang

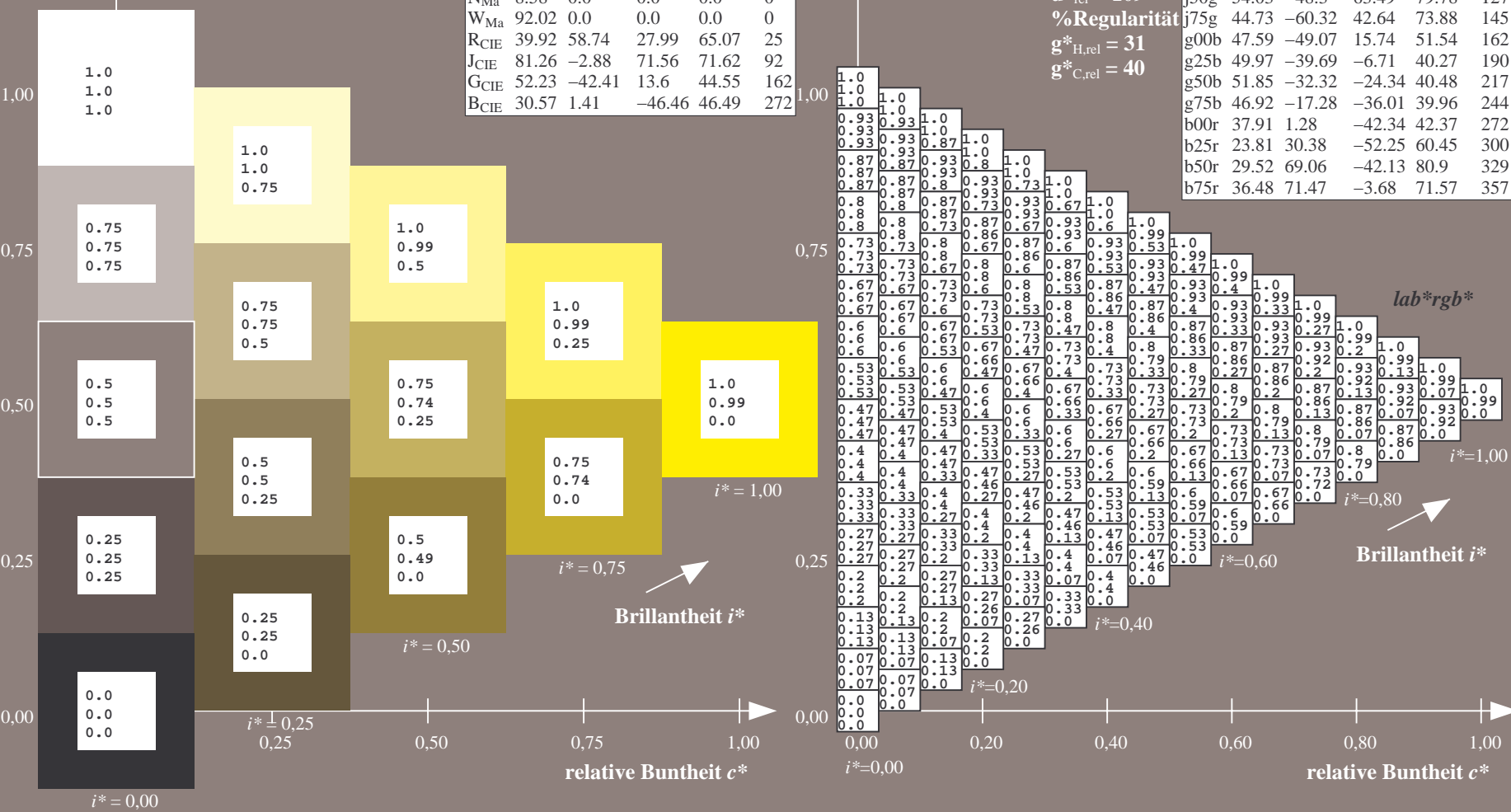
$u^*_{rel} = 109$

%Regularität

$g^*_{H,rel} = 31$

$g^*_{C,rel} = 40$

FRS09_92a; adaptierte CIELAB-Daten					
	$L^*=L^*_a$	$a^*_a$	$b^*_a$	$C^*_{ab,a}$	$h^*_{ab,a}$
r00j	35.47	63.32	30.17	70.15	25
r25j	39.12	54.56	49.45	73.64	42
r50j	50.64	39.15	64.89	75.79	59
r75j	64.01	21.26	82.83	85.52	76
j00g	83.18	-4.37	108.53	108.62	92
j25g	66.73	-29.88	83.06	88.28	110
j50g	54.03	-48.3	63.49	79.78	127
j75g	44.73	-60.32	42.64	73.88	145
g00b	47.59	-49.07	15.74	51.54	162
g25b	49.97	-39.69	-6.71	40.27	190
g50b	51.85	-32.32	-24.34	40.48	217
g75b	46.92	-17.28	-36.01	39.96	244
b00r	37.91	1.28	-42.34	42.37	272
b25r	23.81	30.38	-52.25	60.45	300
b50r	29.52	69.06	-42.13	80.9	329
b75r	36.48	71.47	-3.68	71.57	357



Ein und Ausgabe: Farbmetrisches Drucker-Reflektiv-System FRS09\_92a für relativen CIELAB-Buntton  $h^* = lab^*h^* = h_{ab}/360 = 110/360 = 0.305$   $u^* = j25g$   
Daten für jede Farbe:  $lab^*ch^*$  und  $lab^*icu^*$

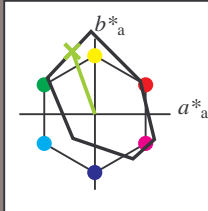
Elementar-Bunttontext:

$u^* = j25g$

Kontrastreduzierungsfaktor:

$c_R = 1.0$

Dreiecks-Helligkeit  $i^*$



FRS09_92a; adaptierte CIELAB-Daten					
	$L^*=L^*_a$	$a^*_a$	$b^*_a$	$C^*_{ab,a}$	$h^*_{ab,a}$
O <sub>Ma</sub>	35.06	60.0	44.0	74.4	36
Y <sub>Ma</sub>	83.77	-5.16	109.32	109.44	93
L <sub>Ma</sub>	44.13	-62.66	48.24	79.09	142
C <sub>Ma</sub>	52.66	-29.13	-31.98	43.27	228
V <sub>Ma</sub>	14.15	50.3	-59.03	77.57	310
M <sub>Ma</sub>	37.37	78.64	-33.49	85.48	337
N <sub>Ma</sub>	8.58	0.0	0.0	0.0	0
W <sub>Ma</sub>	92.02	0.0	0.0	0.0	0
R <sub>CIE</sub>	39.92	58.74	27.99	65.07	25
J <sub>CIE</sub>	81.26	-2.88	71.56	71.62	92
G <sub>CIE</sub>	52.23	-42.41	13.6	44.55	162
B <sub>CIE</sub>	30.57	1.41	-46.46	46.49	272

Daten für Maximalfarbe (Ma):

$LAB^*LAB^*_{Ma}$ : 67 -29 83

$LAB^*LCH^*_{Ma}$ : 67 88 110

$lab^*rgb^*_{Ma}$ : 0.75 1.0 0.0

$lab^*olv^*_{Ma}$ : 0.57 1.0 0.0

Dreiecks-Helligkeit  $i^*$

%Umfang

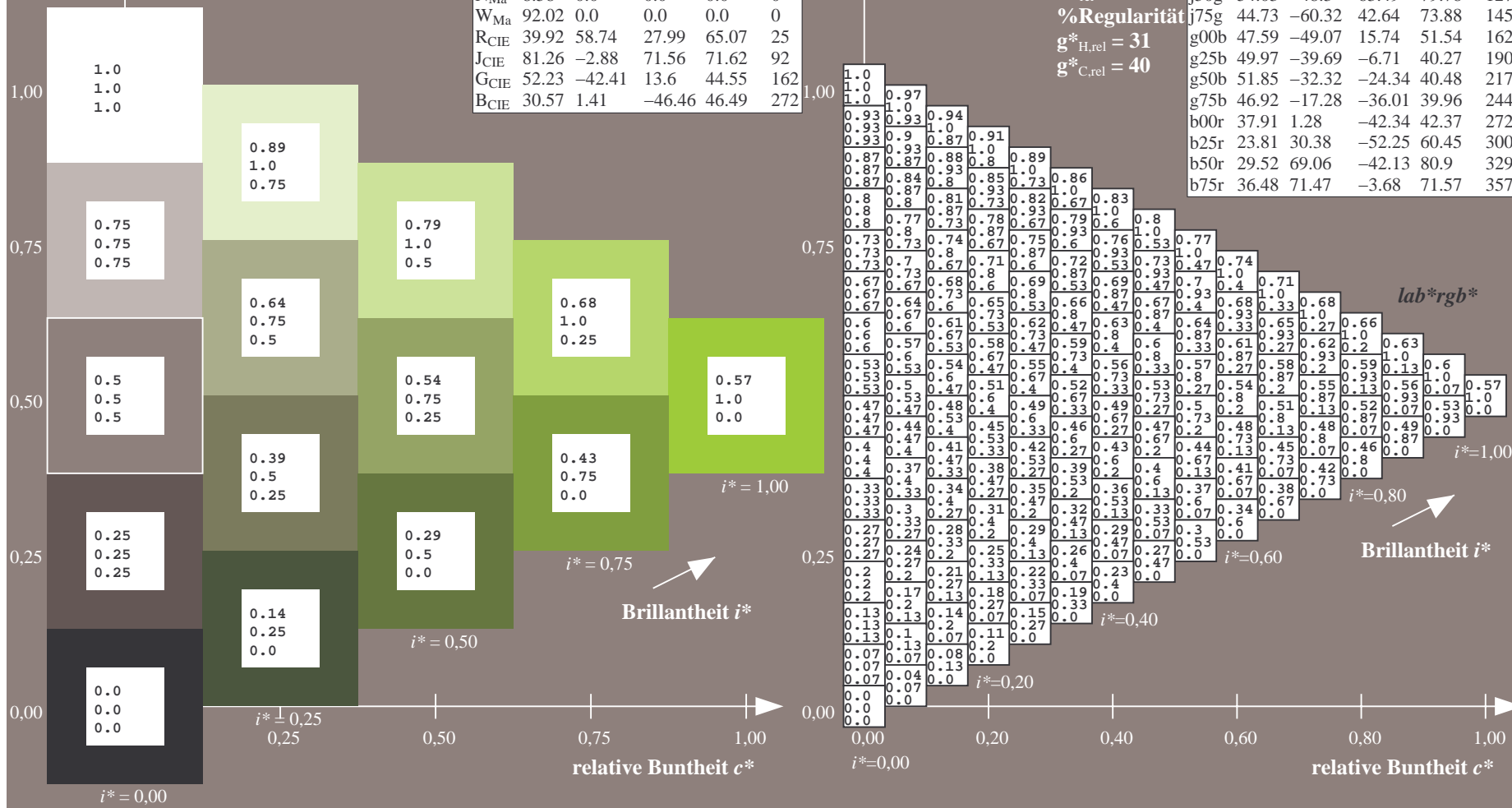
$u^*_{rel} = 109$

%Regularität

$g^*_{H,rel} = 31$

$g^*_{C,rel} = 40$

FRS09_92a; adaptierte CIELAB-Daten					
	$L^*=L^*_a$	$a^*_a$	$b^*_a$	$C^*_{ab,a}$	$h^*_{ab,a}$
r00j	35.47	63.32	30.17	70.15	25
r25j	39.12	54.56	49.45	73.64	42
r50j	50.64	39.15	64.89	75.79	59
r75j	64.01	21.26	82.83	85.52	76
j00g	83.18	-4.37	108.53	108.62	92
j25g	66.73	-29.88	83.06	88.28	110
j50g	54.03	-48.3	63.49	79.78	127
j75g	44.73	-60.32	42.64	73.88	145
g00b	47.59	-49.07	15.74	51.54	162
g25b	49.97	-39.69	-6.71	40.27	190
g50b	51.85	-32.32	-24.34	40.48	217
g75b	46.92	-17.28	-36.01	39.96	244
b00r	37.91	1.28	-42.34	42.37	272
b25r	23.81	30.38	-52.25	60.45	300
b50r	29.52	69.06	-42.13	80.9	329
b75r	36.48	71.47	-3.68	71.57	357



Ein und Ausgabe: Farbmetrisches Drucker-Reflektiv-System FRS09\_92a für relativen CIELAB-Buntton  $h^* = lab^*h^* = h_{ab}/360 = 127/360 = 0.354$   $u^* = j50g$

Daten für jede Farbe:

$lab^*ch^*$  und  $lab^*icu^*$

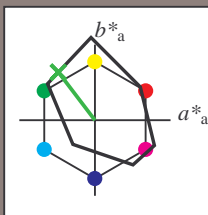
Elementar-Bunttontext:

$u^* = j50g$

Kontrastreduzierungsfaktor:

$c_R = 1.0$

Dreiecks-Helligkeit  $i^*$



FRS09\_92a; adaptierte CIELAB-Daten

	$L^*=L^*_a$	$a^*_a$	$b^*_a$	$C^*_{ab,a}$	$h^*_{ab,a}$
O <sub>Ma</sub>	35.06	60.0	44.0	74.4	36
Y <sub>Ma</sub>	83.77	-5.16	109.32	109.44	93
L <sub>Ma</sub>	44.13	-62.66	48.24	79.09	142
C <sub>Ma</sub>	52.66	-29.13	-31.98	43.27	228
V <sub>Ma</sub>	14.15	50.3	-59.03	77.57	310
M <sub>Ma</sub>	37.37	78.64	-33.49	85.48	337
N <sub>Ma</sub>	8.58	0.0	0.0	0.0	0
W <sub>Ma</sub>	92.02	0.0	0.0	0.0	0
R <sub>CIE</sub>	39.92	58.74	27.99	65.07	25
J <sub>CIE</sub>	81.26	-2.88	71.56	71.62	92
G <sub>CIE</sub>	52.23	-42.41	13.6	44.55	162
B <sub>CIE</sub>	30.57	1.41	-46.46	46.49	272

Daten für Maximalfarbe (Ma):

$LAB^*LAB^*_{Ma}$ : 54 -47 63

$LAB^*LCH^*_{Ma}$ : 54 80 127

$lab^*rgb^*_{Ma}$ : 0.5 1.0 0.0

$lab^*olv^*_{Ma}$ : 0.25 1.0 0.0

Dreiecks-Helligkeit  $i^*$

%Umfang

$u^*_{rel} = 109$

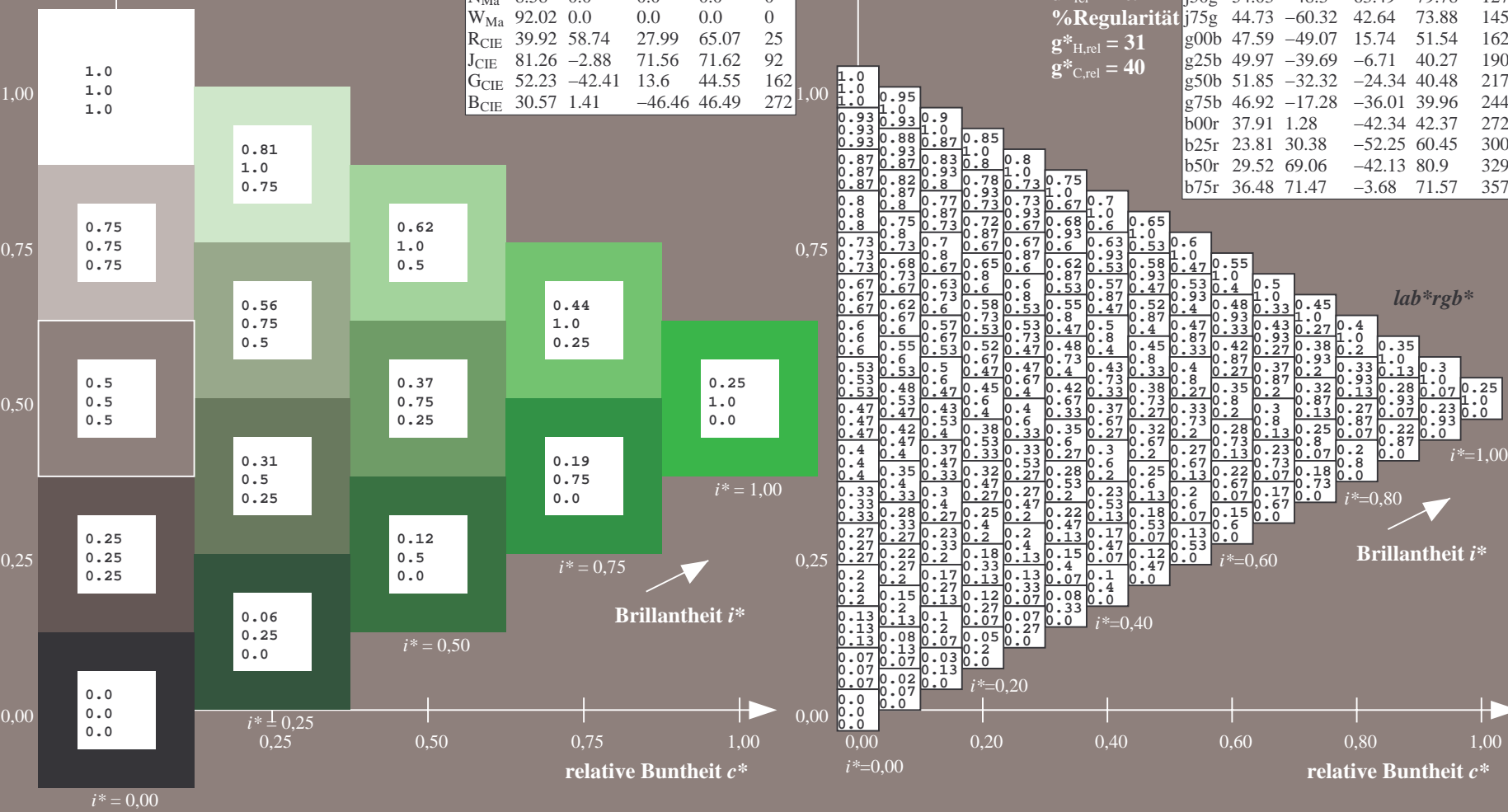
%Regularität

$g^*_{H,rel} = 31$

$g^*_{C,rel} = 40$

FRS09\_92a; adaptierte CIELAB-Daten

	$L^*=L^*_a$	$a^*_a$	$b^*_a$	$C^*_{ab,a}$	$h^*_{ab,a}$
r00j	35.47	63.32	30.17	70.15	25
r25j	39.12	54.56	49.45	73.64	42
r50j	50.64	39.15	64.89	75.79	59
r75j	64.01	21.26	82.83	85.52	76
j00g	83.18	-4.37	108.53	108.62	92
j25g	66.73	-29.88	83.06	88.28	110
j50g	54.03	-48.3	63.49	79.78	127
j75g	44.73	-60.32	42.64	73.88	145
g00b	47.59	-49.07	15.74	51.54	162
g25b	49.97	-39.69	-6.71	40.27	190
g50b	51.85	-32.32	-24.34	40.48	217
g75b	46.92	-17.28	-36.01	39.96	244
b00r	37.91	1.28	-42.34	42.37	272
b25r	23.81	30.38	-52.25	60.45	300
b50r	29.52	69.06	-42.13	80.9	329
b75r	36.48	71.47	-3.68	71.57	357

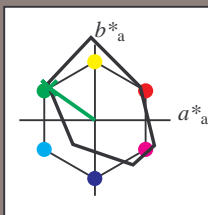




Ein und Ausgabe: Farbmetrisches Drucker-Reflektiv-System FRS09\_92a für relativen CIELAB-Buntton  $h^* = lab^*h^* = h_{ab}/360 = 145/360 = 0.402$   $u^* = j75g$   
Daten für jede Farbe:  
 $lab^*ch^*$  und  $lab^*icu^*$

Elementar-Bunttontext:  
 $u^* = j75g$

Kontrastreduzierungsfaktor:  
 $c_R = 1.0$   
Dreiecks-Helligkeit  $i^*$



FRS09_92a; adaptierte CIELAB-Daten					
	$L^*=L_a^*$	$a_a^*$	$b_a^*$	$C^*_{ab,a}$	$h^*_{ab,a}$
O <sub>Ma</sub>	35.06	60.0	44.0	74.4	36
Y <sub>Ma</sub>	83.77	-5.16	109.32	109.44	93
L <sub>Ma</sub>	44.13	-62.66	48.24	79.09	142
C <sub>Ma</sub>	52.66	-29.13	-31.98	43.27	228
V <sub>Ma</sub>	14.15	50.3	-59.03	77.57	310
M <sub>Ma</sub>	37.37	78.64	-33.49	85.48	337
N <sub>Ma</sub>	8.58	0.0	0.0	0.0	0
W <sub>Ma</sub>	92.02	0.0	0.0	0.0	0
R <sub>CIE</sub>	39.92	58.74	27.99	65.07	25
J <sub>CIE</sub>	81.26	-2.88	71.56	71.62	92
G <sub>CIE</sub>	52.23	-42.41	13.6	44.55	162
B <sub>CIE</sub>	30.57	1.41	-46.46	46.49	272

Daten für Maximalfarbe (Ma):

$LAB^*LAB^*_{Ma}$ : 45 -59 43

$LAB^*LCH^*_{Ma}$ : 45 74 145

$lab^*rgb^*_{Ma}$ : 0.25 1.0 0.0

$lab^*olv^*_{Ma}$ : 0.0 1.0 0.07

Dreiecks-Helligkeit  $i^*$

%Umfang

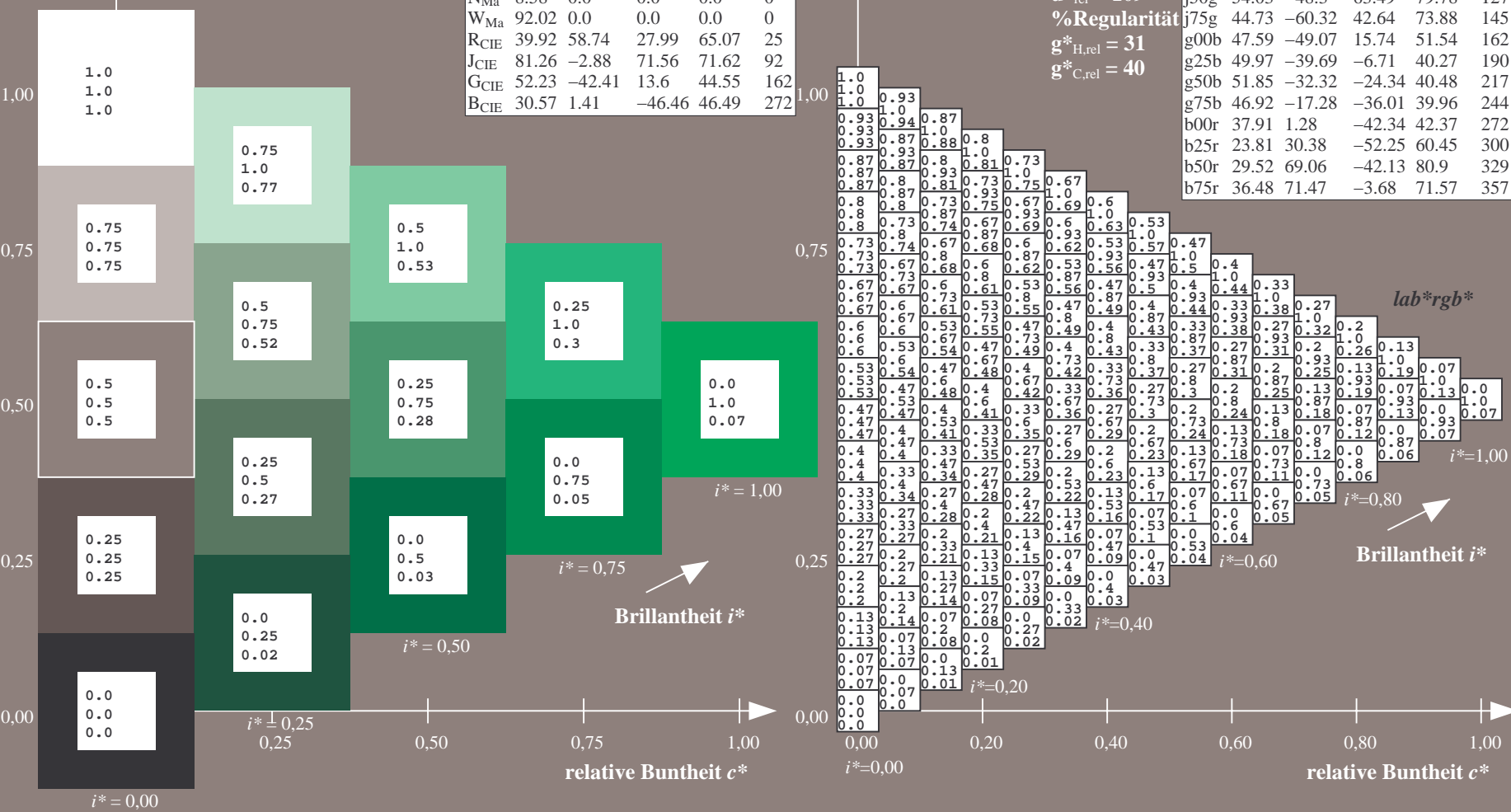
$u^*_{rel} = 109$

%Regularität

$g^*_{H,rel} = 31$

$g^*_{C,rel} = 40$

FRS09_92a; adaptierte CIELAB-Daten					
	$L^*=L_a^*$	$a_a^*$	$b_a^*$	$C^*_{ab,a}$	$h^*_{ab,a}$
r00j	35.47	63.32	30.17	70.15	25
r25j	39.12	54.56	49.45	73.64	42
r50j	50.64	39.15	64.89	75.79	59
r75j	64.01	21.26	82.83	85.52	76
j00g	83.18	-4.37	108.53	108.62	92
j25g	66.73	-29.88	83.06	88.28	110
j50g	54.03	-48.3	63.49	79.78	127
j75g	44.73	-60.32	42.64	73.88	145
g00b	47.59	-49.07	15.74	51.54	162
g25b	49.97	-39.69	-6.71	40.27	190
g50b	51.85	-32.32	-24.34	40.48	217
g75b	46.92	-17.28	-36.01	39.96	244
b00r	37.91	1.28	-42.34	42.37	272
b25r	23.81	30.38	-52.25	60.45	300
b50r	29.52	69.06	-42.13	80.9	329
b75r	36.48	71.47	-3.68	71.57	357



Ein und Ausgabe: Farbmetrisches Drucker-Reflektiv-System FRS09\_92a für relativen CIELAB-Buntton  $h^* = lab^*h^* = h_{ab}/360 = 162/360 = 0.451$   $u^* = g00b$

Daten für jede Farbe:

$lab^*ch^*$  und  $lab^*icu^*$

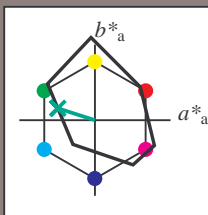
Elementar-Bunttontext:

$u^* = g00b$

Kontrastreduzierungsfaktor:

$c_R = 1.0$

Dreiecks-Helligkeit  $i^*$



FRS09_92a; adaptierte CIELAB-Daten					
	$L^*=L^*_a$	$a^*_a$	$b^*_a$	$C^*_{ab,a}$	$h^*_{ab,a}$
O <sub>Ma</sub>	35.06	60.0	44.0	74.4	36
Y <sub>Ma</sub>	83.77	-5.16	109.32	109.44	93
L <sub>Ma</sub>	44.13	-62.66	48.24	79.09	142
C <sub>Ma</sub>	52.66	-29.13	-31.98	43.27	228
V <sub>Ma</sub>	14.15	50.3	-59.03	77.57	310
M <sub>Ma</sub>	37.37	78.64	-33.49	85.48	337
N <sub>Ma</sub>	8.58	0.0	0.0	0.0	0
W <sub>Ma</sub>	92.02	0.0	0.0	0.0	0
R <sub>CIE</sub>	39.92	58.74	27.99	65.07	25
J <sub>CIE</sub>	81.26	-2.88	71.56	71.62	92
G <sub>CIE</sub>	52.23	-42.41	13.6	44.55	162
B <sub>CIE</sub>	30.57	1.41	-46.46	46.49	272

Daten für Maximalfarbe (Ma):

$LAB^*LAB^*_{Ma}$ : 48 -48 16

$LAB^*LCH^*_{Ma}$ : 48 52 162

$lab^*rgb^*_{Ma}$ : 0.0 1.0 0.0

$lab^*olv^*_{Ma}$ : 0.0 1.0 0.41

Dreiecks-Helligkeit  $i^*$

%Umfang

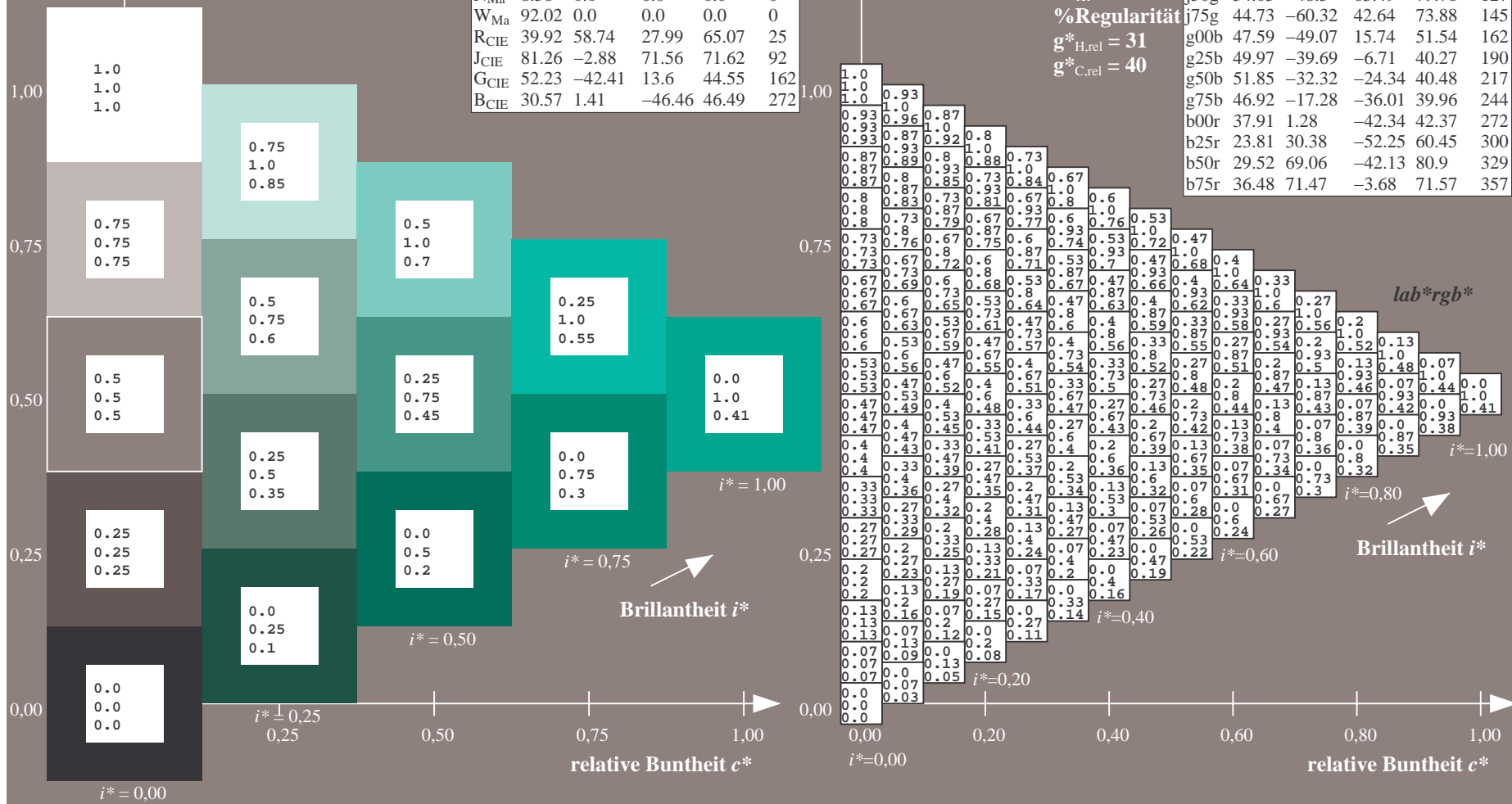
$u^*_{rel} = 109$

%Regularität

$g^*_{H,rel} = 31$

$g^*_{C,rel} = 40$

FRS09_92a; adaptierte CIELAB-Daten					
	$L^*=L^*_a$	$a^*_a$	$b^*_a$	$C^*_{ab,a}$	$h^*_{ab,a}$
r00j	35.47	63.32	30.17	70.15	25
r25j	39.12	54.56	49.45	73.64	42
r50j	50.64	39.15	64.89	75.79	59
r75j	64.01	21.26	82.83	85.52	76
j00g	83.18	-4.37	108.53	108.62	92
j25g	66.73	-29.88	83.06	88.28	110
j50g	54.03	-48.3	63.49	79.78	127
j75g	44.73	-60.32	42.64	73.88	145
g00b	47.59	-49.07	15.74	51.54	162
g25b	49.97	-39.69	-6.71	40.27	190
g50b	51.85	-32.32	-24.34	40.48	217
g75b	46.92	-17.28	-36.01	39.96	244
b00r	37.91	1.28	-42.34	42.37	272
b25r	23.81	30.38	-52.25	60.45	300
b50r	29.52	69.06	-42.13	80.9	329
b75r	36.48	71.47	-3.68	71.57	357





Ein und Ausgabe: Farbmetrisches Drucker-Reflektiv-System FRS09\_92a für relativen CIELAB-Buntton  $h^* = \text{lab}^*h^* = h_{ab}/360 = 190/360 = 0.527$   $u^* = g25b$

Daten für jede Farbe:

$\text{lab}^*ch^*$  und  $\text{lab}^*icu^*$

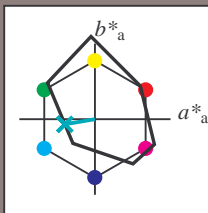
Elementar-Bunttontext:

$u^* = g25b$

Kontrastreduzierungsfaktor:

$c_R = 1.0$

Dreiecks-Helligkeit  $i^*$



FRS09\_92a; adaptierte CIELAB-Daten

	$L^*=L_a^*$	$a_a^*$	$b_a^*$	$C^*_{ab,a}$	$h^*_{ab,a}$
O <sub>Ma</sub>	35.06	60.0	44.0	74.4	36
Y <sub>Ma</sub>	83.77	-5.16	109.32	109.44	93
L <sub>Ma</sub>	44.13	-62.66	48.24	79.09	142
C <sub>Ma</sub>	52.66	-29.13	-31.98	43.27	228
V <sub>Ma</sub>	14.15	50.3	-59.03	77.57	310
M <sub>Ma</sub>	37.37	78.64	-33.49	85.48	337
N <sub>Ma</sub>	8.58	0.0	0.0	0.0	0
W <sub>Ma</sub>	92.02	0.0	0.0	0.0	0
R <sub>CIE</sub>	39.92	58.74	27.99	65.07	25
J <sub>CIE</sub>	81.26	-2.88	71.56	71.62	92
G <sub>CIE</sub>	52.23	-42.41	13.6	44.55	162
B <sub>CIE</sub>	30.57	1.41	-46.46	46.49	272

Daten für Maximalfarbe (Ma):

$\text{LAB}^*\text{LAB}^*_{Ma}$ : 50 -39 -6

$\text{LAB}^*\text{LCH}^*_{Ma}$ : 50 40 190

$\text{lab}^*\text{rgb}^*_{Ma}$ : 0.0 1.0 0.5

$\text{lab}^*\text{olv}^*_{Ma}$ : 0.0 1.0 0.69

Dreiecks-Helligkeit  $i^*$

%Umfang

$u^*_{rel} = 109$

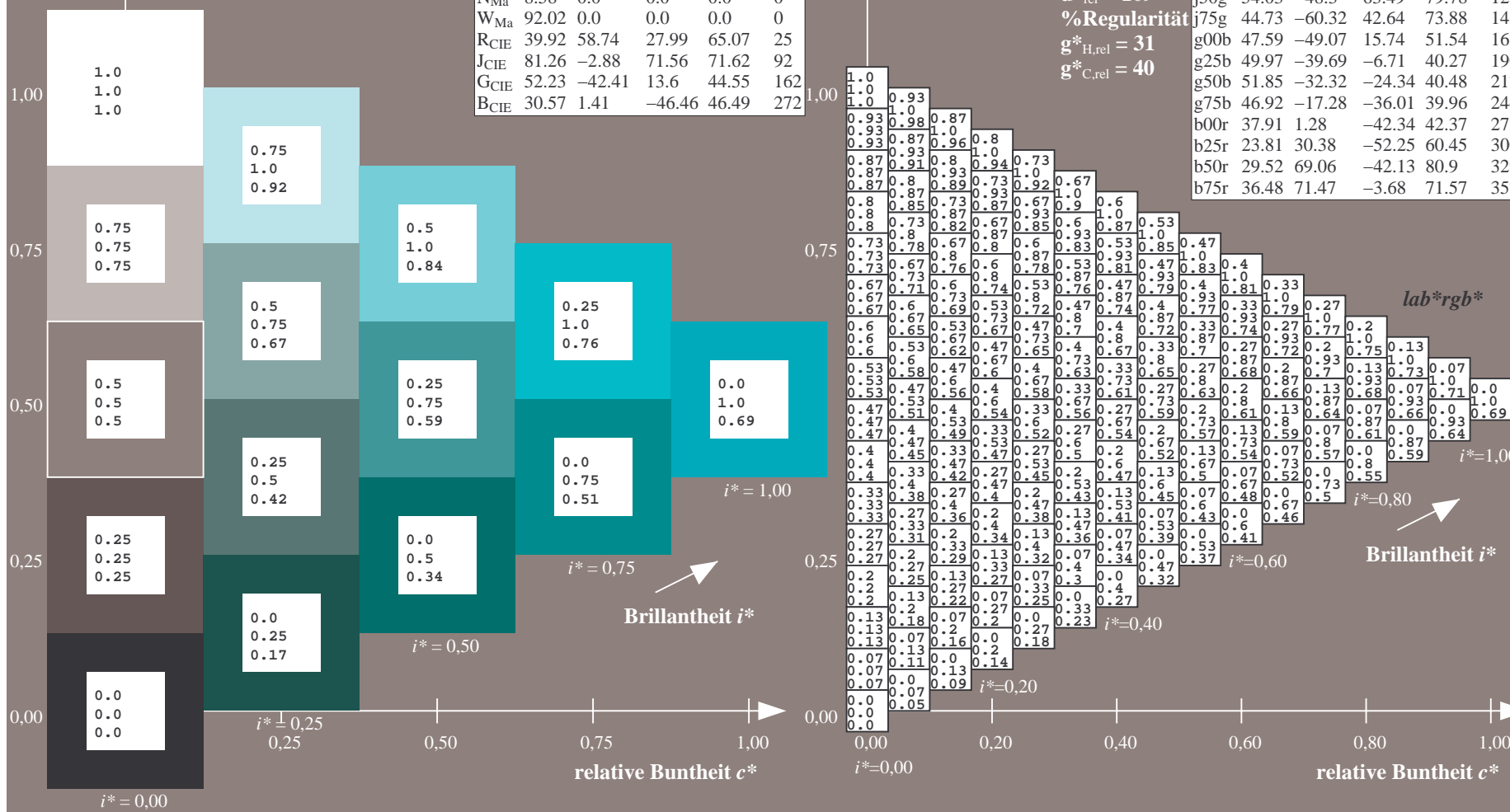
%Regularität

$g^*_{H,rel} = 31$

$g^*_{C,rel} = 40$

FRS09\_92a; adaptierte CIELAB-Daten

	$L^*=L_a^*$	$a_a^*$	$b_a^*$	$C^*_{ab,a}$	$h^*_{ab,a}$
r00j	35.47	63.32	30.17	70.15	25
r25j	39.12	54.56	49.45	73.64	42
r50j	50.64	39.15	64.89	75.79	59
r75j	64.01	21.26	82.83	85.52	76
j00g	83.18	-4.37	108.53	108.62	92
j25g	66.73	-29.88	83.06	88.28	110
j50g	54.03	-48.3	63.49	79.78	127
j75g	44.73	-60.32	42.64	73.88	145
g00b	47.59	-49.07	15.74	51.54	162
g25b	49.97	-39.69	-6.71	40.27	190
g50b	51.85	-32.32	-24.34	40.48	217
g75b	46.92	-17.28	-36.01	39.96	244
b00r	37.91	1.28	-42.34	42.37	272
b25r	23.81	30.38	-52.25	60.45	300
b50r	29.52	69.06	-42.13	80.9	329
b75r	36.48	71.47	-3.68	71.57	357



Ein und Ausgabe: Farbmetrisches Drucker-Reflektiv-System FRS09\_92a für relativen CIELAB-Buntton  $h^* = lab^*h^* = h_{ab}/360 = 217/360 = 0.603$   $u^* = g50b$

Daten für jede Farbe:

$lab^*ch^*$  und  $lab^*icu^*$

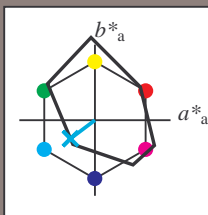
Elementar-Bunttontext:

$u^* = g50b$

Kontrastreduzierungsfaktor:

$c_R = 1.0$

Dreiecks-Helligkeit  $i^*$



FRS09\_92a; adaptierte CIELAB-Daten

	$L^*=L_a^*$	$a_a^*$	$b_a^*$	$C^*_{ab,a}$	$h^*_{ab,a}$
O <sub>Ma</sub>	35.06	60.0	44.0	74.4	36
Y <sub>Ma</sub>	83.77	-5.16	109.32	109.44	93
L <sub>Ma</sub>	44.13	-62.66	48.24	79.09	142
C <sub>Ma</sub>	52.66	-29.13	-31.98	43.27	228
V <sub>Ma</sub>	14.15	50.3	-59.03	77.57	310
M <sub>Ma</sub>	37.37	78.64	-33.49	85.48	337
N <sub>Ma</sub>	8.58	0.0	0.0	0.0	0
W <sub>Ma</sub>	92.02	0.0	0.0	0.0	0
R <sub>CIE</sub>	39.92	58.74	27.99	65.07	25
J <sub>CIE</sub>	81.26	-2.88	71.56	71.62	92
G <sub>CIE</sub>	52.23	-42.41	13.6	44.55	162
B <sub>CIE</sub>	30.57	1.41	-46.46	46.49	272

Daten für Maximalfarbe (Ma):

$LAB^*LAB^*_{Ma}$ : 52 -31 -23

$LAB^*LCH^*_{Ma}$ : 52 40 217

$lab^*rgb^*_{Ma}$ : 0.0 1.0 1.0

$lab^*olv^*_{Ma}$ : 0.0 1.0 0.9

Dreiecks-Helligkeit  $i^*$

%Umfang

$u^*_{rel} = 109$

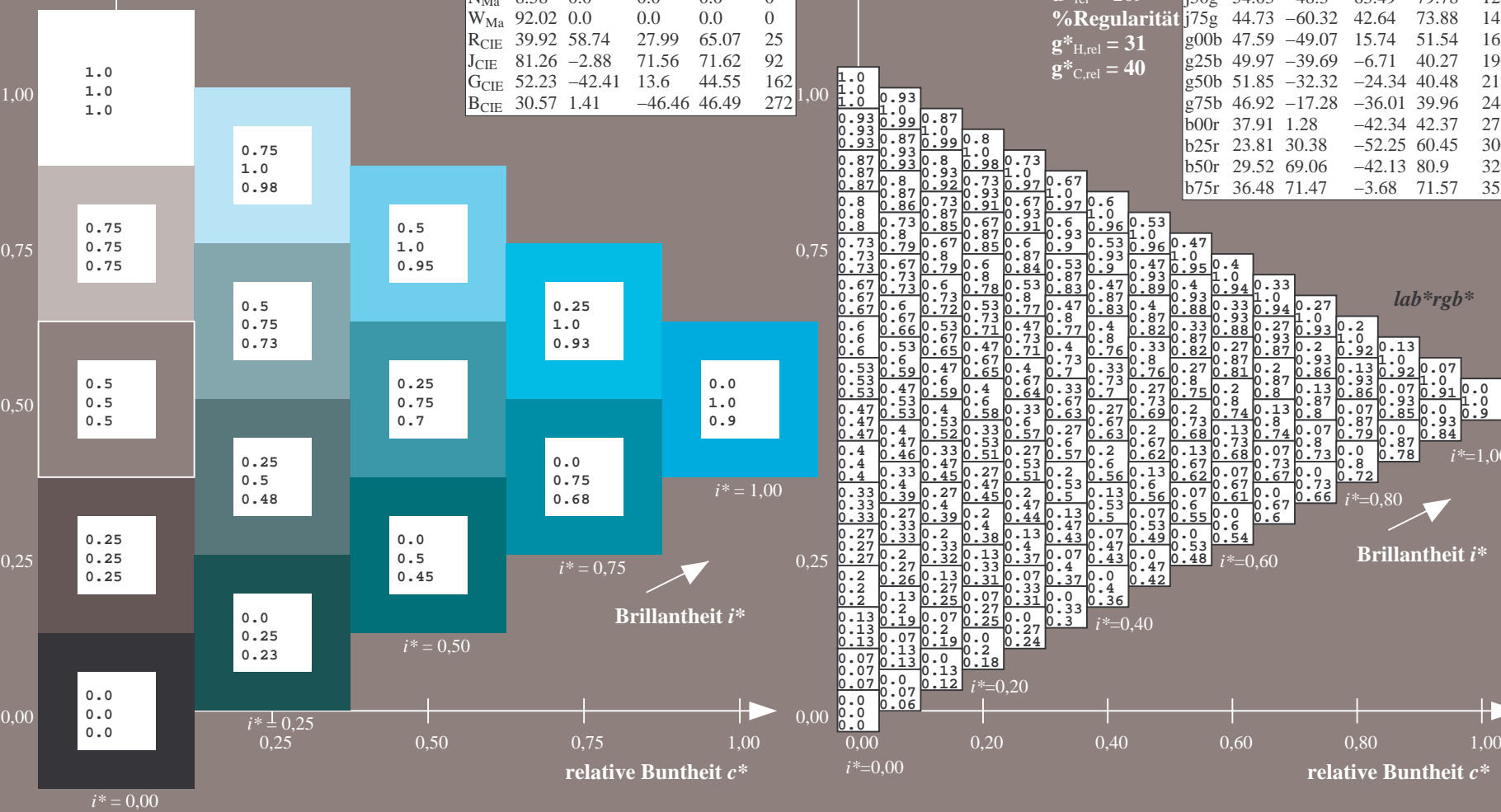
%Regularität

$g^*_{H,rel} = 31$

$g^*_{C,rel} = 40$

FRS09\_92a; adaptierte CIELAB-Daten

	$L^*=L_a^*$	$a_a^*$	$b_a^*$	$C^*_{ab,a}$	$h^*_{ab,a}$
r00j	35.47	63.32	30.17	70.15	25
r25j	39.12	54.56	49.45	73.64	42
r50j	50.64	39.15	64.89	75.79	59
r75j	64.01	21.26	82.83	85.52	76
j00g	83.18	-4.37	108.53	108.62	92
j25g	66.73	-29.88	83.06	88.28	110
j50g	54.03	-48.3	63.49	79.78	127
j75g	44.73	-60.32	42.64	73.88	145
g00b	47.59	-49.07	15.74	51.54	162
g25b	49.97	-39.69	-6.71	40.27	190
g50b	51.85	-32.32	-24.34	40.48	217
g75b	46.92	-17.28	-36.01	39.96	244
b00r	37.91	1.28	-42.34	42.37	272
b25r	23.81	30.38	-52.25	60.45	300
b50r	29.52	69.06	-42.13	80.9	329
b75r	36.48	71.47	-3.68	71.57	357



Ein und Ausgabe: Farbmetrisches Drucker-Reflektiv-System FRS09\_92a für relativen CIELAB-Buntton  $h^* = lab^*h^* = h_{ab}/360 = 244/360 = 0.679$   $u^* = g75b$

Daten für jede Farbe:

$lab^*ch^*$  und  $lab^*icu^*$

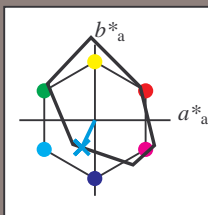
Elementar-Bunttontext:

$u^* = g75b$

Kontrastreduzierungsfaktor:

$c_R = 1.0$

Dreiecks-Helligkeit  $i^*$



FRS09\_92a; adaptierte CIELAB-Daten

	$L^*=L_a^*$	$a_a^*$	$b_a^*$	$C_{ab,a}^*$	$h_{ab,a}^*$
O <sub>Ma</sub>	35.06	60.0	44.0	74.4	36
Y <sub>Ma</sub>	83.77	-5.16	109.32	109.44	93
L <sub>Ma</sub>	44.13	-62.66	48.24	79.09	142
C <sub>Ma</sub>	52.66	-29.13	-31.98	43.27	228
V <sub>Ma</sub>	14.15	50.3	-59.03	77.57	310
M <sub>Ma</sub>	37.37	78.64	-33.49	85.48	337
N <sub>Ma</sub>	8.58	0.0	0.0	0.0	0
W <sub>Ma</sub>	92.02	0.0	0.0	0.0	0
R <sub>CIE</sub>	39.92	58.74	27.99	65.07	25
J <sub>CIE</sub>	81.26	-2.88	71.56	71.62	92
G <sub>CIE</sub>	52.23	-42.41	13.6	44.55	162
B <sub>CIE</sub>	30.57	1.41	-46.46	46.49	272

Daten für Maximalfarbe (Ma):

$LAB^*LAB^*_{Ma}$ : 47 -16 -35

$LAB^*LCH^*_{Ma}$ : 47 40 244

$lab^*rgb^*_{Ma}$ : 0.0 0.5 1.0

$lab^*olv^*_{Ma}$ : 0.0 0.85 1.0

Dreiecks-Helligkeit  $i^*$

%Umfang

$u^*_{rel} = 109$

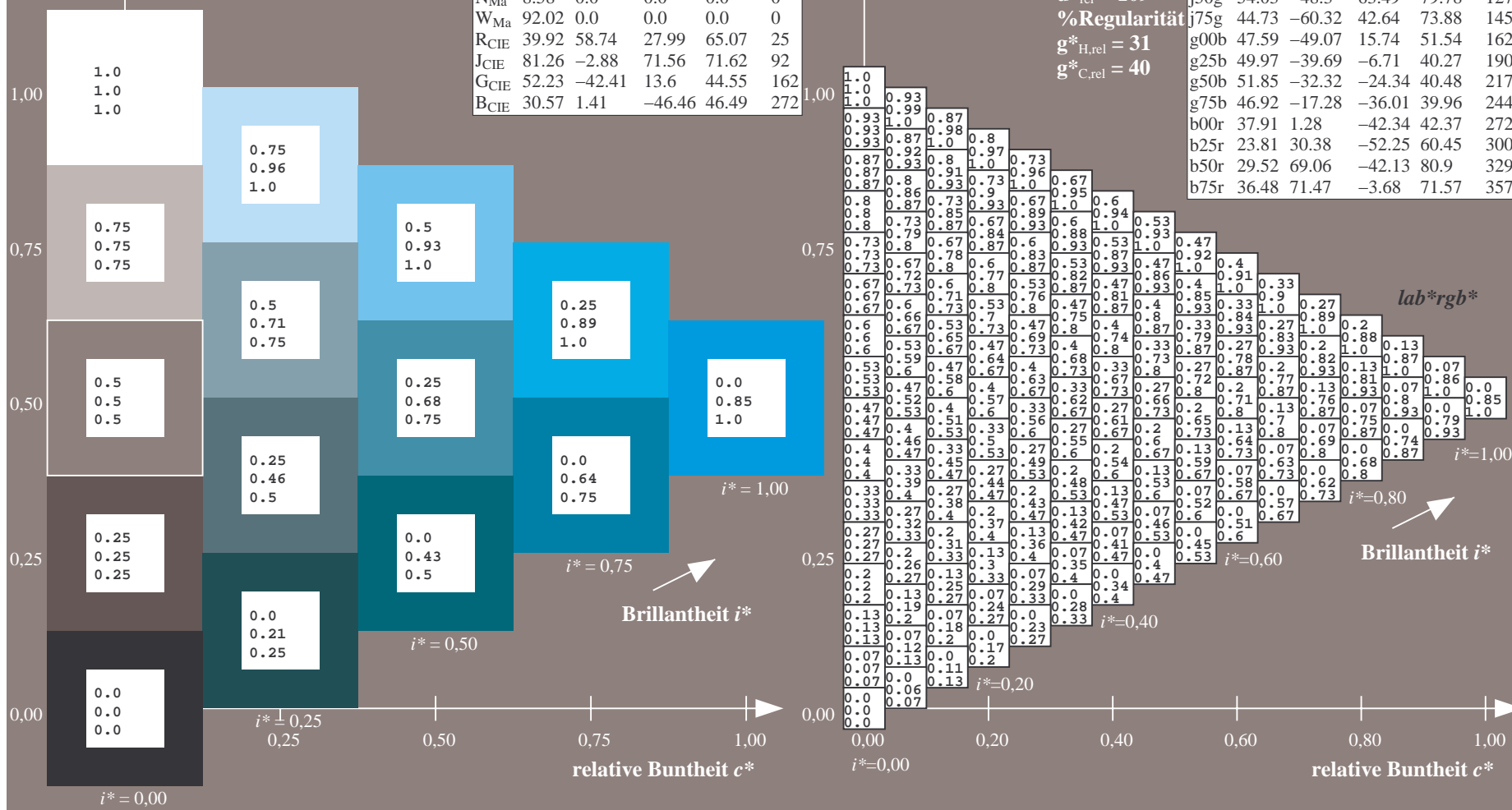
%Regularität

$g^*_{H,rel} = 31$

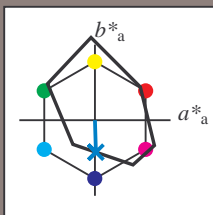
$g^*_{C,rel} = 40$

FRS09\_92a; adaptierte CIELAB-Daten

	$L^*=L_a^*$	$a_a^*$	$b_a^*$	$C_{ab,a}^*$	$h_{ab,a}^*$
r00j	35.47	63.32	30.17	70.15	25
r25j	39.12	54.56	49.45	73.64	42
r50j	50.64	39.15	64.89	75.79	59
r75j	64.01	21.26	82.83	85.52	76
j00g	83.18	-4.37	108.53	108.62	92
j25g	66.73	-29.88	83.06	88.28	110
j50g	54.03	-48.3	63.49	79.78	127
j75g	44.73	-60.32	42.64	73.88	145
g00b	47.59	-49.07	15.74	51.54	162
g25b	49.97	-39.69	-6.71	40.27	190
g50b	51.85	-32.32	-24.34	40.48	217
g75b	46.92	-17.28	-36.01	39.96	244
b00r	37.91	1.28	-42.34	42.37	272
b25r	23.81	30.38	-52.25	60.45	300
b50r	29.52	69.06	-42.13	80.9	329
b75r	36.48	71.47	-3.68	71.57	357



Ein und Ausgabe: Farbmetrisches Drucker-Reflektiv-System FRS09\_92a für relativen CIELAB-Buntton  $h^* = lab^*h^* = h_{ab}/360 = 272/360 = 0.755$   $u^* = b00r$   
Daten für jede Farbe:  $lab^*ch^*$  und  $lab^*icu^*$   
Elementar-Bunttontext:  $u^* = b00r$   
Kontrastreduzierungsfaktor:  $c_R = 1.0$   
Dreiecks-Helligkeit  $i^*$



FRS09_92a; adaptierte CIELAB-Daten					
	$L^*=L_a^*$	$a_a^*$	$b_a^*$	$C_{ab,a}^*$	$h_{ab,a}^*$
O <sub>Ma</sub>	35.06	60.0	44.0	74.4	36
Y <sub>Ma</sub>	83.77	-5.16	109.32	109.44	93
L <sub>Ma</sub>	44.13	-62.66	48.24	79.09	142
C <sub>Ma</sub>	52.66	-29.13	-31.98	43.27	228
V <sub>Ma</sub>	14.15	50.3	-59.03	77.57	310
M <sub>Ma</sub>	37.37	78.64	-33.49	85.48	337
N <sub>Ma</sub>	8.58	0.0	0.0	0.0	0
W <sub>Ma</sub>	92.02	0.0	0.0	0.0	0
R <sub>CIE</sub>	39.92	58.74	27.99	65.07	25
J <sub>CIE</sub>	81.26	-2.88	71.56	71.62	92
G <sub>CIE</sub>	52.23	-42.41	13.6	44.55	162
B <sub>CIE</sub>	30.57	1.41	-46.46	46.49	272

Daten für Maximalfarbe (Ma):

$LAB^*LAB^*_{Ma}$ : 38 1 -41

$LAB^*LCH^*_{Ma}$ : 38 42 272

$lab^*rgb^*_{Ma}$ : 0.0 0.0 1.0

$lab^*olv^*_{Ma}$ : 0.0 0.62 1.0

Dreiecks-Helligkeit  $i^*$

%Umfang

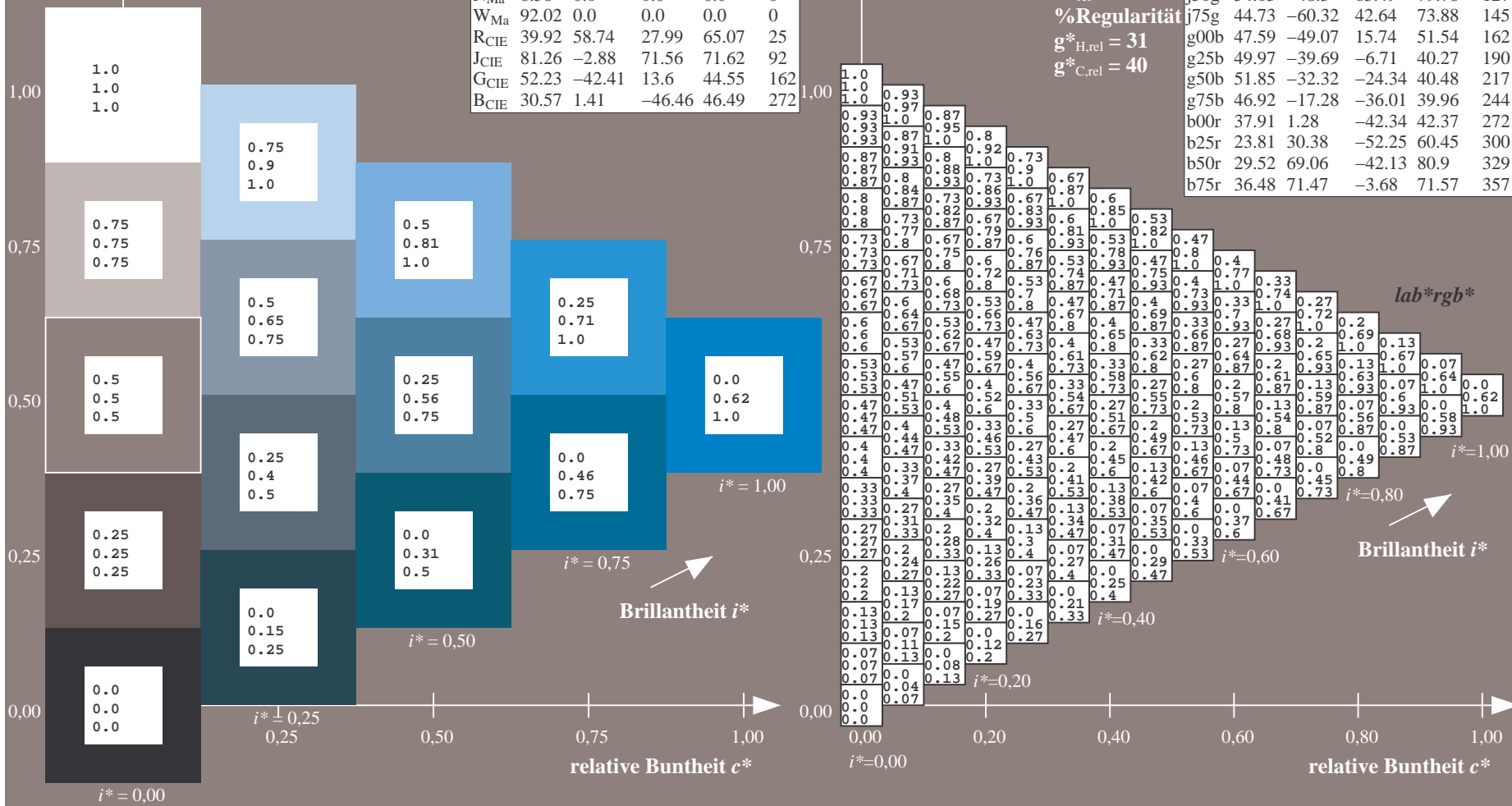
$u^*_{rel} = 109$

%Regularität

$g^*_{H,rel} = 31$

$g^*_{C,rel} = 40$

FRS09_92a; adaptierte CIELAB-Daten					
	$L^*=L_a^*$	$a_a^*$	$b_a^*$	$C_{ab,a}^*$	$h_{ab,a}^*$
r00j	35.47	63.32	30.17	70.15	25
r25j	39.12	54.56	49.45	73.64	42
r50j	50.64	39.15	64.89	75.79	59
r75j	64.01	21.26	82.83	85.52	76
j00g	83.18	-4.37	108.53	108.62	92
j25g	66.73	-29.88	83.06	88.28	110
j50g	54.03	-48.3	63.49	79.78	127
j75g	44.73	-60.32	42.64	73.88	145
g00b	47.59	-49.07	15.74	51.54	162
g25b	49.97	-39.69	-6.71	40.27	190
g50b	51.85	-32.32	-24.34	40.48	217
g75b	46.92	-17.28	-36.01	39.96	244
b00r	37.91	1.28	-42.34	42.37	272
b25r	23.81	30.38	-52.25	60.45	300
b50r	29.52	69.06	-42.13	80.9	329
b75r	36.48	71.47	-3.68	71.57	357





Ein und Ausgabe: Farbmetrisches Drucker-Reflektiv-System FRS09\_92a für relativen CIELAB-Buntton  $h^* = lab^*h^* = h_{ab}/360 = 300/360 = 0.834$   $u^* = b25r$

Daten für jede Farbe:

$lab^*ch^*$  und  $lab^*icu^*$

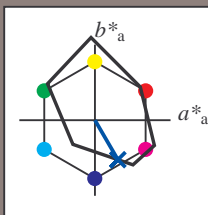
Elementar-Bunttontext:

$u^* = b25r$

Kontrastreduzierungsfaktor:

$c_R = 1.0$

Dreiecks-Helligkeit  $i^*$



FRS09\_92a; adaptierte CIELAB-Daten

	$L^*=L_a^*$	$a_a^*$	$b_a^*$	$C^*_{ab,a}$	$h^*_{ab,a}$
O <sub>Ma</sub>	35.06	60.0	44.0	74.4	36
Y <sub>Ma</sub>	83.77	-5.16	109.32	109.44	93
L <sub>Ma</sub>	44.13	-62.66	48.24	79.09	142
C <sub>Ma</sub>	52.66	-29.13	-31.98	43.27	228
V <sub>Ma</sub>	14.15	50.3	-59.03	77.57	310
M <sub>Ma</sub>	37.37	78.64	-33.49	85.48	337
N <sub>Ma</sub>	8.58	0.0	0.0	0.0	0
W <sub>Ma</sub>	92.02	0.0	0.0	0.0	0
R <sub>CIE</sub>	39.92	58.74	27.99	65.07	25
J <sub>CIE</sub>	81.26	-2.88	71.56	71.62	92
G <sub>CIE</sub>	52.23	-42.41	13.6	44.55	162
B <sub>CIE</sub>	30.57	1.41	-46.46	46.49	272

Daten für Maximalfarbe (Ma):

$LAB^*LAB^*_{Ma}$ : 24 30 -51

$LAB^*LCH^*_{Ma}$ : 24 60 300

$lab^*rgb^*_{Ma}$ : 0.5 0.0 1.0

$lab^*olv^*_{Ma}$ : 0.0 0.25 1.0

Dreiecks-Helligkeit  $i^*$

%Umfang

$u^*_{rel} = 109$

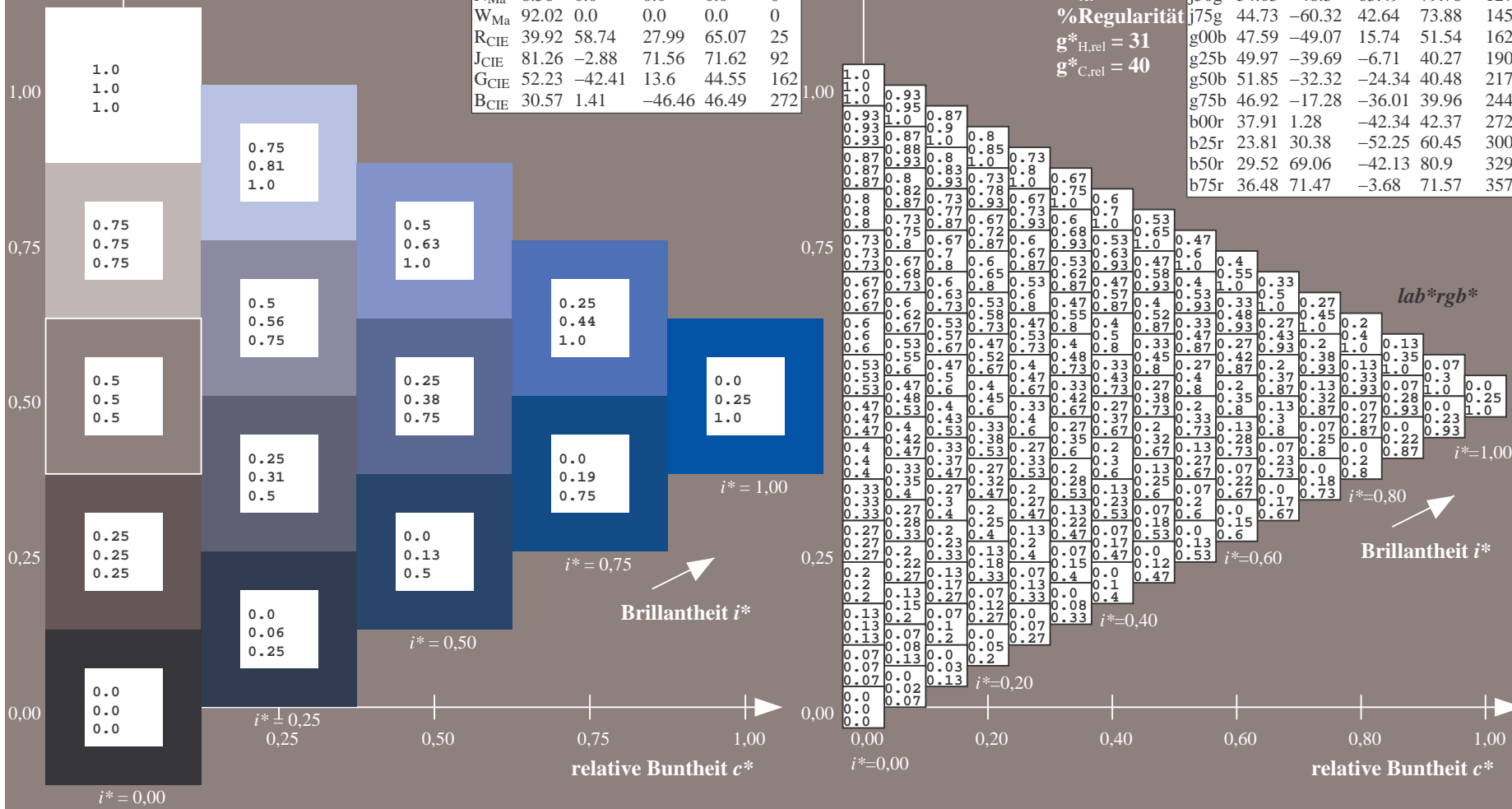
%Regularität

$g^*_{H,rel} = 31$

$g^*_{C,rel} = 40$

FRS09\_92a; adaptierte CIELAB-Daten

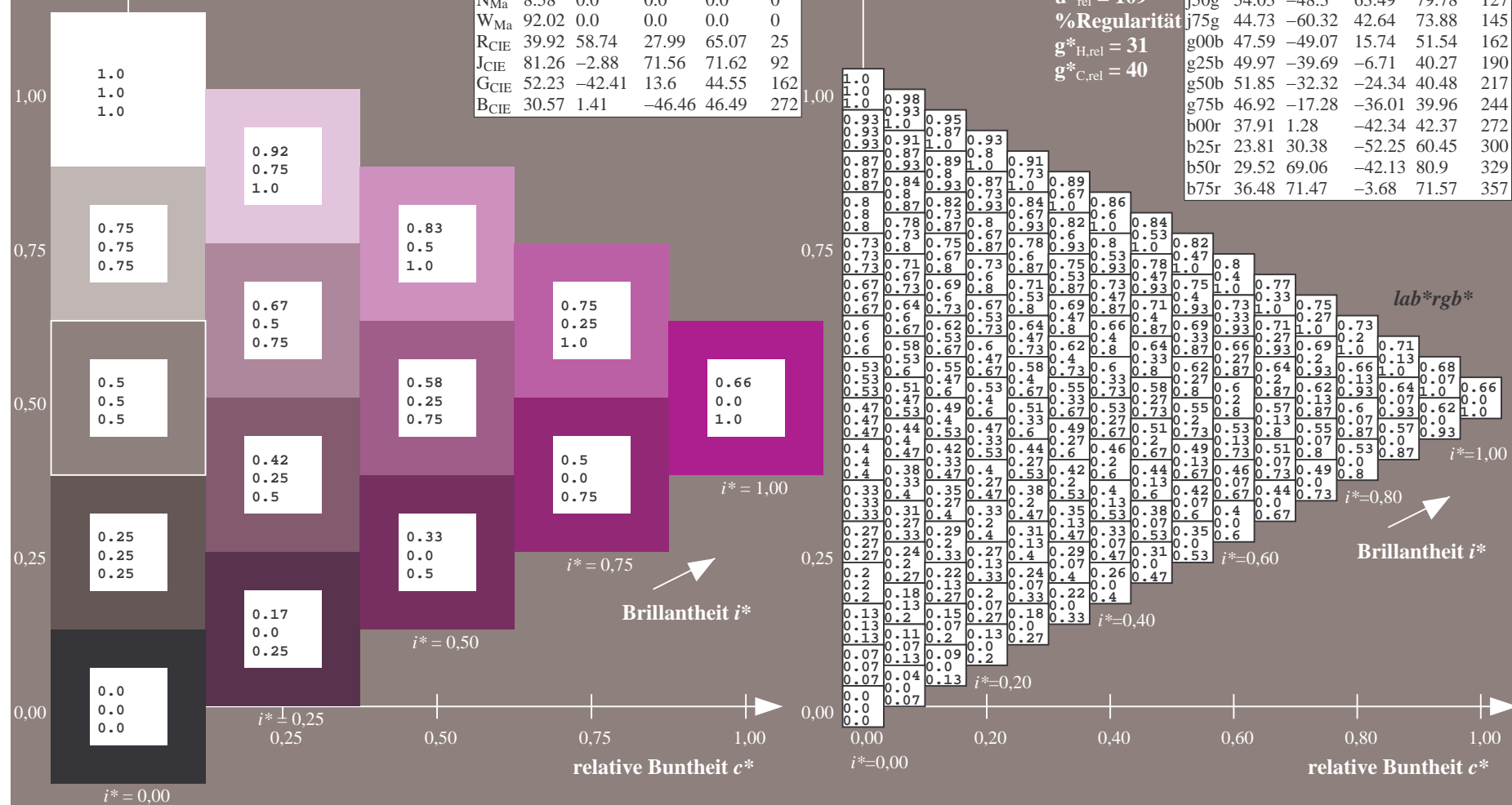
	$L^*=L_a^*$	$a_a^*$	$b_a^*$	$C^*_{ab,a}$	$h^*_{ab,a}$
r00j	35.47	63.32	30.17	70.15	25
r25j	39.12	54.56	49.45	73.64	42
r50j	50.64	39.15	64.89	75.79	59
r75j	64.01	21.26	82.83	85.52	76
j00g	83.18	-4.37	108.53	108.62	92
j25g	66.73	-29.88	83.06	88.28	110
j50g	54.03	-48.3	63.49	79.78	127
j75g	44.73	-60.32	42.64	73.88	145
g00b	47.59	-49.07	15.74	51.54	162
g25b	49.97	-39.69	-6.71	40.27	190
g50b	51.85	-32.32	-24.34	40.48	217
g75b	46.92	-17.28	-36.01	39.96	244
b00r	37.91	1.28	-42.34	42.37	272
b25r	23.81	30.38	-52.25	60.45	300
b50r	29.52	69.06	-42.13	80.9	329
b75r	36.48	71.47	-3.68	71.57	357



**Directs Strength:**



r00j	35.47	63.32	30.17	70.15	25
r25j	39.12	54.56	49.45	73.64	42
r50j	50.64	39.15	64.89	75.79	59
r75j	64.01	21.26	82.83	85.52	76
j00g	83.18	-4.37	108.53	108.62	92
j25g	66.73	-29.88	83.06	88.28	110
j50g	54.03	-48.3	63.49	79.78	127
j75g	44.73	-60.32	42.64	73.88	145
g00b	47.59	-49.07	15.74	51.54	162
g25b	49.97	-39.69	-6.71	40.27	190
g50b	51.85	-32.32	-24.34	40.48	217
g75b	46.92	-17.28	-36.01	39.96	244
b00r	37.91	1.28	-42.34	42.37	272
b25r	23.81	30.38	-52.25	60.45	300
b50r	29.52	69.06	-42.13	80.9	329
b75r	36.48	71.47	-3.68	71.57	357



Farbreihen, 8 Datentabellen für 16 Bunttöne *r00j* bis *b75r*

Ausgabe:  $\rightarrow cmyk5^*$  setcmykcolor

BAM-Registrierung: 20080701-Dg96/10L/L96G00NA.PS/.TXTBAM-Material: Code=rhata  
+ Anwendung für Beurteilung und Messung von Drucker- oder Monitorsystemen



Ein und Ausgabe: Farbmetrisches Drucker-Reflektiv-System FRS09\_92a für relativen CIELAB-Buntton  $h^* = \text{lab}^*h^* = h_{ab}/360 = 357/360 = 0.992$   $u^* = b75r$

Daten für jede Farbe:

$\text{lab}^*ch^*$  und  $\text{lab}^*icu^*$

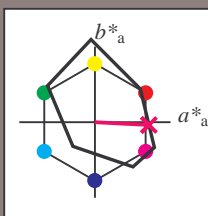
Elementar-Bunttontext:

$u^* = b75r$

Kontrastreduzierungsfaktor:

$c_R = 1.0$

Dreiecks-Helligkeit  $i^*$



FRS09_92a; adaptierte CIELAB-Daten					
	$L^*=L_a^*$	$a_a^*$	$b_a^*$	$C^*_{ab,a}$	$h^*_{ab,a}$
O <sub>Ma</sub>	35.06	60.0	44.0	74.4	36
Y <sub>Ma</sub>	83.77	-5.16	109.32	109.44	93
L <sub>Ma</sub>	44.13	-62.66	48.24	79.09	142
C <sub>Ma</sub>	52.66	-29.13	-31.98	43.27	228
V <sub>Ma</sub>	14.15	50.3	-59.03	77.57	310
M <sub>Ma</sub>	37.37	78.64	-33.49	85.48	337
N <sub>Ma</sub>	8.58	0.0	0.0	0.0	0
W <sub>Ma</sub>	92.02	0.0	0.0	0.0	0
R <sub>CIE</sub>	39.92	58.74	27.99	65.07	25
J <sub>CIE</sub>	81.26	-2.88	71.56	71.62	92
G <sub>CIE</sub>	52.23	-42.41	13.6	44.55	162
B <sub>CIE</sub>	30.57	1.41	-46.46	46.49	272

Daten für Maximalfarbe (Ma):

$\text{LAB}^*\text{LAB}^*_{Ma}$ : 36 71 -3

$\text{LAB}^*\text{LCH}^*_{Ma}$ : 36 72 357

$\text{lab}^*\text{rgb}^*_{Ma}$ : 1.0 0.0 0.5

$\text{lab}^*\text{olv}^*_{Ma}$ : 1.0 0.0 0.62

Dreiecks-Helligkeit  $i^*$

%Umfang

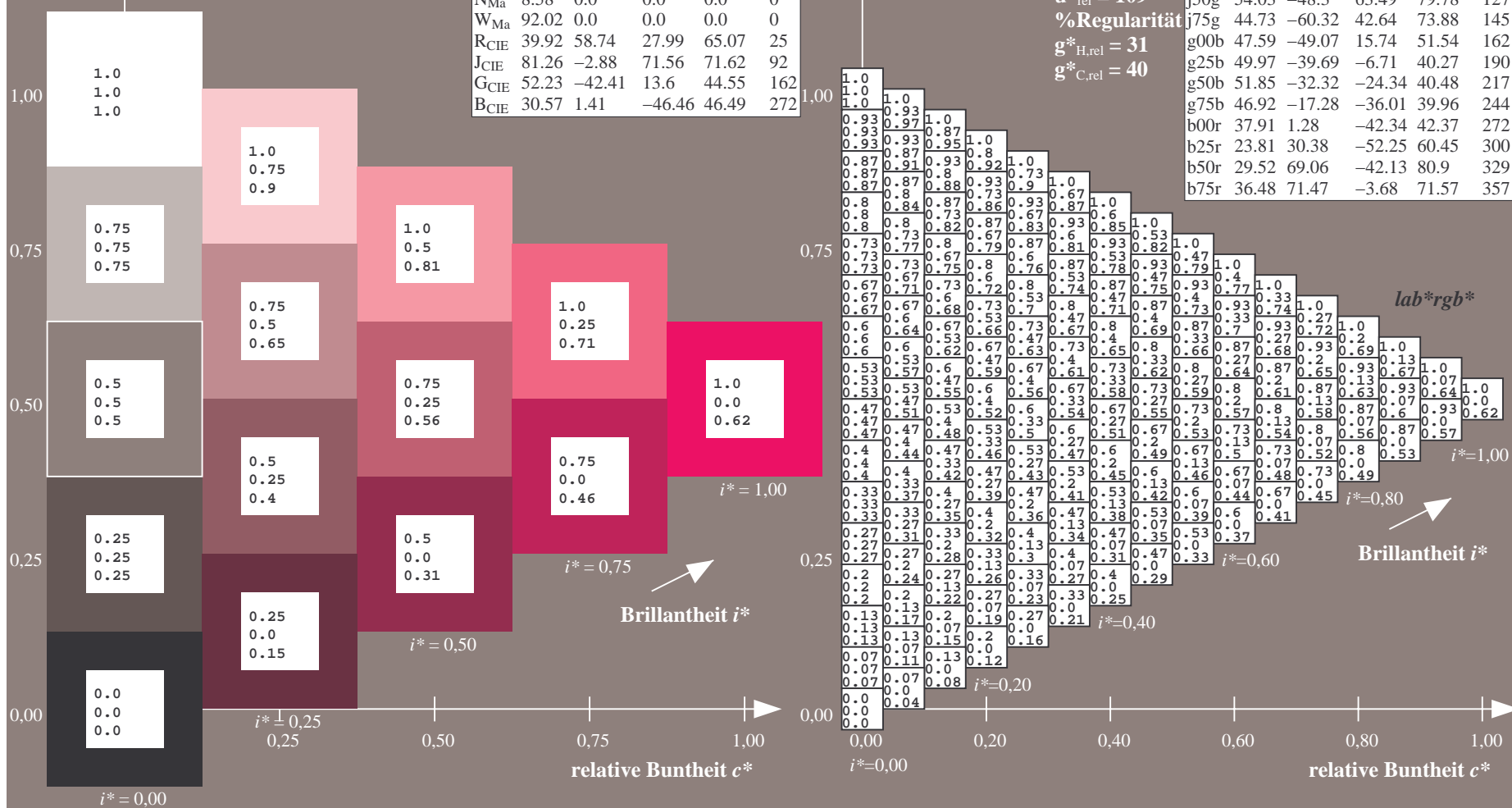
$u^*_{rel} = 109$

%Regularität

$g^*_{H,rel} = 31$

$g^*_{C,rel} = 40$

FRS09_92a; adaptierte CIELAB-Daten					
	$L^*=L_a^*$	$a_a^*$	$b_a^*$	$C^*_{ab,a}$	$h^*_{ab,a}$
r00j	35.47	63.32	30.17	70.15	25
r25j	39.12	54.56	49.45	73.64	42
r50j	50.64	39.15	64.89	75.79	59
r75j	64.01	21.26	82.83	85.52	76
j00g	83.18	-4.37	108.53	108.62	92
j25g	66.73	-29.88	83.06	88.28	110
j50g	54.03	-48.3	63.49	79.78	127
j75g	44.73	-60.32	42.64	73.88	145
g00b	47.59	-49.07	15.74	51.54	162
g25b	49.97	-39.69	-6.71	40.27	190
g50b	51.85	-32.32	-24.34	40.48	217
g75b	46.92	-17.28	-36.01	39.96	244
b00r	37.91	1.28	-42.34	42.37	272
b25r	23.81	30.38	-52.25	60.45	300
b50r	29.52	69.06	-42.13	80.9	329
b75r	36.48	71.47	-3.68	71.57	357



Siehe ähnliche Dateien: <http://www.ps.bam.de/Dg96/>; [www.ps.bam.de/Dg96/10L/L96G00NA.PS/.TXT](http://www.ps.bam.de/Dg96/10L/L96G00NA.PS/.TXT)  
Technische Information: <http://www.ps.bam.de/Version2.1,io=1.1,ColSpX=0>

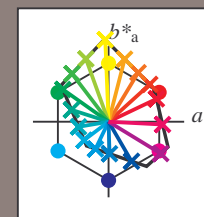
	A	B	C	D	E	F	G	H	I	J	K	L	M	N	O	P	Q	R	S	T	U	V	W	X	Y	Z	a	b	c	d	e	f	g	h	i	j	k	lab*rgb*							
01	0.0	0.0	0.0	0.0	0.0	0.0	0.0	0.0	0.0	0.0	0.13	0.13	0.13	0.13	0.13	0.13	0.13	0.13	0.13	0.13	0.25	0.25	0.25	0.25	0.25	0.25	0.25	0.25	0.25	0.25	0.25	0.25	0.25	0.25	0.25	0.25	0.25	0.25	0.25	0.25	0.25	0.25			
	0.0	0.13	0.25	0.38	0.5	0.63	0.75	0.88	1.0	0.0	0.13	0.25	0.38	0.5	0.63	0.75	0.88	1.0	0.0	0.13	0.25	0.38	0.5	0.63	0.75	0.88	1.0	0.0	0.13	0.25	0.38	0.5	0.63	0.75	0.88	1.0	0.0	0.13	0.25	0.38	0.5	0.63	0.75		
	0.0	0.0	0.0	0.0	0.0	0.0	0.0	0.0	0.0	0.0	0.0	0.0	0.0	0.0	0.0	0.0	0.0	0.0	0.0	0.0	0.0	0.0	0.0	0.0	0.0	0.0	0.0	0.0	0.0	0.0	0.0	0.0	0.0	0.0	0.0	0.0	0.0	0.0	0.0	0.0	0.0	0.0	0.0		
02	0.0	0.0	0.0	0.0	0.0	0.0	0.0	0.0	0.0	0.0	0.13	0.13	0.13	0.13	0.13	0.13	0.13	0.13	0.13	0.13	0.25	0.25	0.25	0.25	0.25	0.25	0.25	0.25	0.25	0.25	0.25	0.25	0.25	0.25	0.25	0.25	0.25	0.25	0.25	0.25	0.25	0.25	0.25	0.25	
	0.0	0.13	0.25	0.38	0.5	0.63	0.75	0.88	1.0	0.0	0.13	0.25	0.38	0.5	0.63	0.75	0.88	1.0	0.0	0.13	0.25	0.38	0.5	0.63	0.75	0.88	1.0	0.0	0.13	0.25	0.38	0.5	0.63	0.75	0.88	1.0	0.0	0.13	0.25	0.38	0.5	0.63	0.75		
	0.13	0.13	0.13	0.13	0.13	0.13	0.13	0.13	0.13	0.13	0.13	0.13	0.13	0.13	0.13	0.13	0.13	0.13	0.13	0.13	0.13	0.13	0.13	0.13	0.13	0.13	0.13	0.13	0.13	0.13	0.13	0.13	0.13	0.13	0.13	0.13	0.13	0.13	0.13	0.13	0.13	0.13	0.13	0.13	
03	0.0	0.0	0.0	0.0	0.0	0.0	0.0	0.0	0.0	0.0	0.13	0.13	0.13	0.13	0.13	0.13	0.13	0.13	0.13	0.13	0.25	0.25	0.25	0.25	0.25	0.25	0.25	0.25	0.25	0.25	0.25	0.25	0.25	0.25	0.25	0.25	0.25	0.25	0.25	0.25	0.25	0.25	0.25		
	0.0	0.13	0.25	0.38	0.5	0.63	0.75	0.88	1.0	0.0	0.13	0.25	0.38	0.5	0.63	0.75	0.88	1.0	0.0	0.13	0.25	0.38	0.5	0.63	0.75	0.88	1.0	0.0	0.13	0.25	0.38	0.5	0.63	0.75	0.88	1.0	0.0	0.13	0.25	0.38	0.5	0.63	0.75		
	0.25	0.25	0.25	0.25	0.25	0.25	0.25	0.25	0.25	0.25	0.25	0.25	0.25	0.25	0.25	0.25	0.25	0.25	0.25	0.25	0.25	0.25	0.25	0.25	0.25	0.25	0.25	0.25	0.25	0.25	0.25	0.25	0.25	0.25	0.25	0.25	0.25	0.25	0.25	0.25	0.25	0.25	0.25	0.25	
04	0.0	0.0	0.0	0.0	0.0	0.0	0.0	0.0	0.0	0.0	0.13	0.13	0.13	0.13	0.13	0.13	0.13	0.13	0.13	0.13	0.25	0.25	0.25	0.25	0.25	0.25	0.25	0.25	0.25	0.25	0.25	0.25	0.25	0.25	0.25	0.25	0.25	0.25	0.25	0.25	0.25	0.25	0.25	0.25	
	0.13	0.25	0.38	0.5	0.63	0.75	0.88	1.0	0.0	0.0	0.13	0.25	0.38	0.5	0.63	0.75	0.88	1.0	0.0	0.0	0.13	0.25	0.38	0.5	0.63	0.75	0.88	1.0	0.0	0.13	0.25	0.38	0.5	0.63	0.75	0.88	1.0	0.0	0.13	0.25	0.38	0.5	0.63	0.75	
	0.38	0.38	0.38	0.38	0.38	0.38	0.38	0.38	0.38	0.38	0.38	0.38	0.38	0.38	0.38	0.38	0.38	0.38	0.38	0.38	0.38	0.38	0.38	0.38	0.38	0.38	0.38	0.38	0.38	0.38	0.38	0.38	0.38	0.38	0.38	0.38	0.38	0.38	0.38	0.38	0.38	0.38	0.38	0.38	
05	0.0	0.0	0.0	0.0	0.0	0.0	0.0	0.0	0.0	0.0	0.13	0.13	0.13	0.13	0.13	0.13	0.13	0.13	0.13	0.13	0.25	0.25	0.25	0.25	0.25	0.25	0.25	0.25	0.25	0.25	0.25	0.25	0.25	0.25	0.25	0.25	0.25	0.25	0.25	0.25	0.25	0.25	0.25	0.25	
	0.0	0.13	0.25	0.38	0.5	0.63	0.75	0.88	1.0	0.0	0.13	0.25	0.38	0.5	0.63	0.75	0.88	1.0	0.0	0.0	0.13	0.25	0.38	0.5	0.63	0.75	0.88	1.0	0.0	0.13	0.25	0.38	0.5	0.63	0.75	0.88	1.0	0.0	0.13	0.25	0.38	0.5	0.63	0.75	
	0.5	0.5	0.5	0.5	0.5	0.5	0.5	0.5	0.5	0.5	0.5	0.5	0.5	0.5	0.5	0.5	0.5	0.5	0.5	0.5	0.5	0.5	0.5	0.5	0.5	0.5	0.5	0.5	0.5	0.5	0.5	0.5	0.5	0.5	0.5	0.5	0.5	0.5	0.5	0.5	0.5	0.5	0.5	0.5	0.5
06	0.0	0.0	0.0	0.0	0.0	0.0	0.0	0.0	0.0	0.0	0.13	0.13	0.13	0.13	0.13	0.13	0.13	0.13	0.13	0.13	0.25	0.25	0.25	0.25	0.25	0.25	0.25	0.25	0.25	0.25	0.25	0.25	0.25	0.25	0.25	0.25	0.25	0.25	0.25	0.25	0.25	0.25	0.25	0.25	
	0.0	0.13	0.25	0.38	0.5	0.63	0.75	0.88	1.0	0.0	0.13	0.25	0.38	0.5	0.63	0.75	0.88	1.0	0.0	0.0	0.13	0.25	0.38	0.5	0.63	0.75	0.88	1.0	0.0	0.13	0.25	0.38	0.5	0.63	0.75	0.88	1.0	0.0	0.13	0.25	0.38	0.5	0.63	0.75	
	0.63	0.63	0.63	0.63	0.63	0.63	0.63	0.63	0.63	0.63	0.63	0.63	0.63	0.63	0.63	0.63	0.63	0.63	0.63	0.63	0.63	0.63	0.63	0.63	0.63	0.63	0.63	0.63	0.63	0.63	0.63	0.63	0.63	0.63	0.63	0.63	0.63	0.63	0.63	0.63	0.63	0.63	0.63	0.63	
07	0.0	0.0	0.0	0.0	0.0	0.0	0.0	0.0	0.0	0.0	0.13	0.13	0.13	0.13	0.13	0.13	0.13	0.13	0.13	0.13	0.25	0.25	0.25	0.25	0.25	0.25	0.25	0.25	0.25	0.25	0.25	0.25	0.25	0.25	0.25	0.25	0.25	0.25	0.25	0.25	0.25	0.25	0.25	0.25	
	0.0	0.13	0.25	0.38	0.5	0.63	0.75	0.88	1.0	0.0	0.13	0.25	0.38	0.5	0.63	0.75	0.88	1.0	0.0	0.0	0.13	0.25	0.38	0.5	0.63	0.75	0.88	1.0	0.0	0.13	0.25	0.38	0.5	0.63	0.75	0.88	1.0	0.0	0.13	0.25	0.38	0.5	0.63	0.75	
	0.75	0.75	0.75	0.75	0.75	0.75	0.75	0.75	0.75	0.75	0.75	0.75	0.75	0.75	0.75	0.75	0.75	0.75	0.75	0.75	0.75	0.75	0.75	0.75	0.75	0.75	0.75	0.75	0.75	0.75	0.75	0.75	0.75	0.75	0.75	0.75	0.75	0.75	0.75	0.75	0.75	0.75	0.75	0.75	
08	0.0	0.0	0.0	0.0	0.0	0.0	0.0	0.0	0.0	0.0	0.13	0.13	0.13	0.13	0.13	0.13	0.13	0.13	0.13	0.13	0.25	0.25	0.25	0.25	0.25	0.25	0.25	0.25	0.25	0.25	0.25	0.25	0.25	0.25	0.25	0.25	0.25	0.25	0.25	0.25	0.25	0.25	0.25	0.25	
	0.0	0.13	0.25	0.38	0.5	0.63	0.75	0.88	1.0	0.0	0.13	0.25	0.38	0.5	0.63	0.75	0.88	1.0	0.0	0.0	0.13	0.25	0.38	0.5	0.63	0.75	0.88	1.0	0.0	0.13	0.25	0.38	0.5	0.63	0.75	0.88	1.0	0.0	0.13	0.25	0.38	0.5	0.63	0.75	
	0.88	0.88	0.88	0.88	0.88	0.88	0.88	0.88	0.88	0.88	0.88	0.88	0.88	0.88	0.88	0.88	0.88	0.88	0.88	0.88	0.88	0.88	0.88	0.88	0.88	0.88	0.88	0.88	0.88	0.88	0.88	0.88	0.88	0.88	0.88	0.88	0.88	0.88	0.88	0.88	0.88	0.88	0.88	0.88	
09	0.0	0.0	0.0	0.0	0.0	0.0	0.0	0.0	0.0	0.0	0.13	0.13	0.13	0.13	0.13	0.13	0.13	0.13	0.13	0.13	0.25	0.25	0.25	0.25	0.25	0.25	0.25	0.25	0.25	0.25	0.25	0.25	0.25	0.25	0.25	0.25	0.25	0.25	0.25	0.25	0.25	0.25	0.25	0.25	
	0.0	0.13	0.25	0.38	0.5	0.63	0.75	0.88	1.0	0.0	0.13	0.25	0.38	0.5	0.63	0.75	0.88	1.0	0.0	0.0	0.13	0.25	0.38	0.5	0.63	0.75	0.88	1.0	0.0	0.13	0.25	0.38	0.5	0.63	0.75	0.88	1.0	0.0	0.13	0.25	0.38	0.5	0.63	0.75	
	1.0	1.0	1.0	1.0	1.0	1.0	1.0	1.0	1.0	1.0	1.0	1.0	1.0	1.0	1.0	1.0	1.0	1.0	1.0	1.0	1.0	1.0	1.0	1.0	1.0	1.0	1.0	1.0	1.0	1.0	1.0	1.0	1.0	1.0	1.0	1.0	1.0	1.0	1.0	1.0	1.0	1.0	1.0	1.0	1.0
10	0.38	0.38	0.38	0.38	0.38	0.38	0.38	0.38	0.38	0.38	0.5	0.5	0.5	0.5	0.5	0.5	0.5	0.5	0.5	0.5	0.63	0.63	0.63	0.63	0.63	0.63	0.63	0.63	0.63	0.63	0.63	0.63	0.63	0.63	0.63	0.63	0.63	0.63	0.63	0.63	0.63	0.63	0.63	0.63	0.63
	0.13	0.25	0.38	0.5	0.63	0.75	0.88	1.0	0.0	0.0	0.13	0.25	0.38	0.5	0.63	0.75	0.88	1.0	0.0	0.0	0.13	0.25	0.38	0.5	0.63	0.75	0.88	1.0	0.0	0.13	0.25	0.38	0.5	0.63	0.75	0.88	1.0	0.0	0.13	0.25	0.38	0.5	0.63	0.75	
	0.0	0.0	0.0	0.0	0.0	0.0	0.0	0.0	0.0	0.0	0.0	0.0	0.0	0.0	0.0	0.0	0.0	0.0	0.0	0.0	0.0	0.0	0.0	0.0	0.0	0.0	0.0	0.0	0.0	0.0	0.0	0.0	0.0	0.0	0.0	0.0	0.0	0.0	0.0</						

BAM-Registrierung: 20080701-Dg96/10L/L96G00NA.PS/.TXT  
Anwendung für Beurteilung und Messung von Drucker- oder Monitorsystemen

BAM-Material: Code=th4ta

Ein und Ausgabe:  
Farbmetrisches Drucker-Reflektiv-System FRS09\_92a  
Daten für jede Farbe:  
*lab\*<sub>rch</sub>*\* und *lab\*<sub>icu</sub>*\*  
Elementar-Bunttontext:  
*u\** = 16 Bunttöne *r00j*, *r25j*, ..., *b75r*  
Kontrastreduzierungsfaktor:  
*c<sub>R</sub>* = 1.0

FRS09_92a; adaptierte CIELAB-Daten					
	<i>L*</i> = <i>L*</i> <sub>a</sub>	<i>a*</i> <sub>a</sub>	<i>b*</i> <sub>a</sub>	<i>C*</i> <sub>ab,a</sub>	<i>h*</i> <sub>ab,a</sub>
r00j	35.47	63.32	30.17	70.15	25
r25j	39.12	54.56	49.45	73.64	42
r50j	50.64	39.15	64.89	75.79	59
r75j	64.01	21.26	82.83	85.52	76
j00g	83.18	-4.37	108.53	108.62	92
j25g	66.73	-29.88	83.06	88.28	110
j50g	54.03	-48.3	63.49	79.78	127
j75g	44.73	-60.32	42.64	73.88	145
g00b	47.59	-49.07	15.74	51.54	162
g25b	49.97	-39.69	-6.71	40.27	190
g50b	51.85	-32.32	-24.34	40.48	217
g75b	46.92	-17.28	-36.01	39.96	244
b00r	37.91	1.28	-42.34	42.37	272
b25r	23.81	30.38	-52.25	60.45	300
b50r	29.52	69.06	-42.13	80.9	329
b75r	36.48	71.47	-3.68	71.57	357



%Umfang  
*u\**<sub>rel</sub> = 109  
%Regularität  
*g\**<sub>H,rel</sub> = 31  
*g\**<sub>C,rel</sub> = 40

FRS09_92a; adaptierte CIELAB-Daten					
	<i>L*</i> = <i>L*</i> <sub>a</sub>	<i>a*</i> <sub>a</sub>	<i>b*</i> <sub>a</sub>	<i>C*</i> <sub>ab,a</sub>	<i>h*</i> <sub>ab,a</sub>
OMa	35.06	60.0	44.0	74.4	36
YMa	83.77	-5.16	109.32	109.44	93
LMa	44.13	-62.66	48.24	79.09	142
CMa	52.66	-29.13	-31.98	43.27	228
VMa	14.15	50.3	-59.03	77.57	310
MMa	37.37	78.64	-33.49	85.48	337
NMa	8.58	0.0	0.0	0.0	0
WMa	92.02	0.0	0.0	0.0	0
RCIE	39.92	58.74	27.99	65.07	25
JCIE	81.26	-2.88	71.56	71.62	92
GCIE	52.23	-42.41	13.6	44.55	162
BCIE	30.57	1.41	-46.46	46.49	272

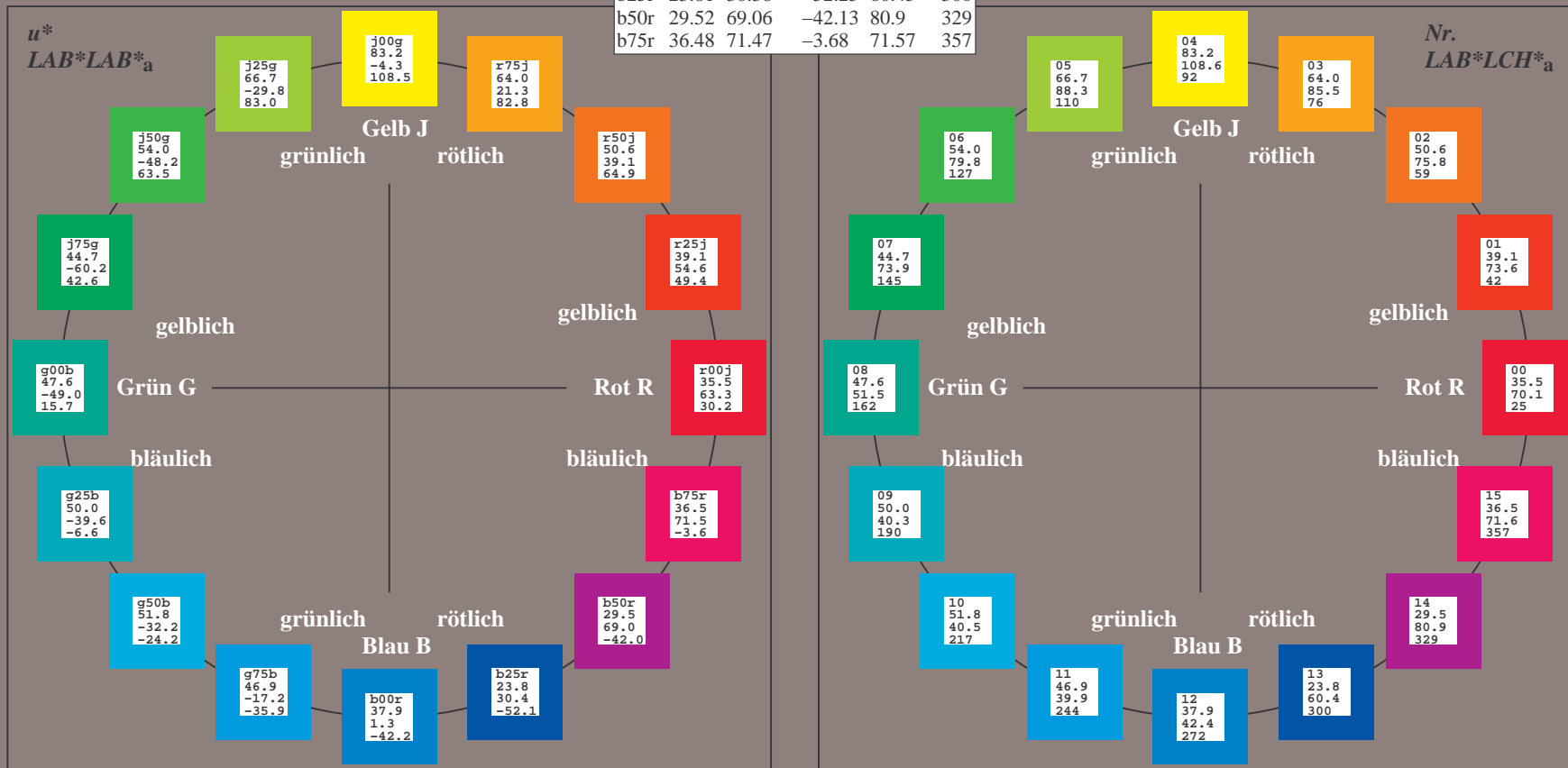
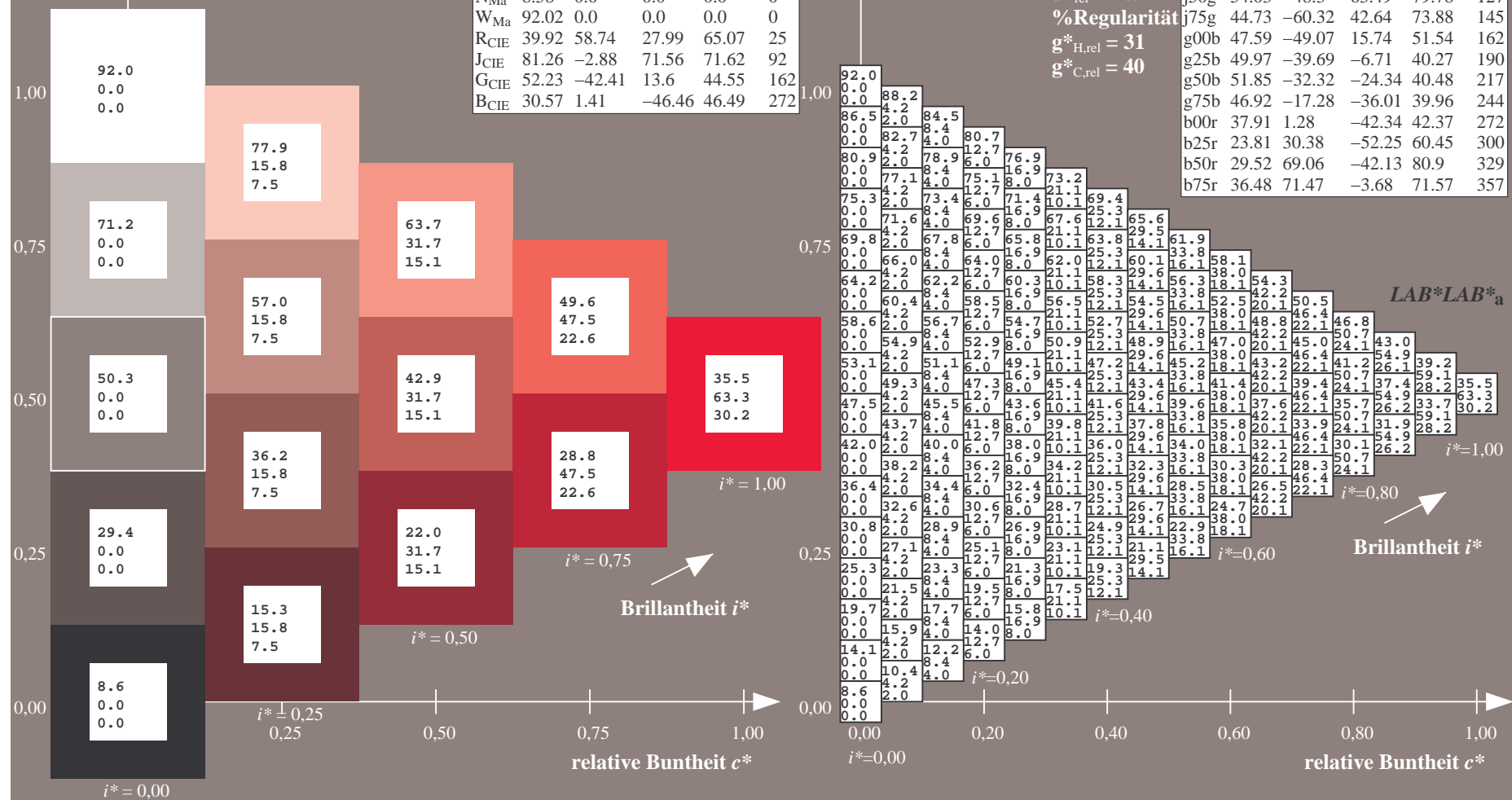


Figure 1



r00j	35.47	63.32	30.17	70.15	25
r25j	39.12	54.56	49.45	73.64	42
r50j	50.64	39.15	64.89	75.79	59
r75j	64.01	21.26	82.83	85.52	76
j00g	83.18	-4.37	108.53	108.62	92
j25g	66.73	-29.88	83.06	88.28	110
j50g	54.03	-48.3	63.49	79.78	127
j75g	44.73	-60.32	42.64	73.88	145
g00b	47.59	-49.07	15.74	51.54	162
g25b	49.97	-39.69	-6.71	40.27	190
g50b	51.85	-32.32	-24.34	40.48	217
g75b	46.92	-17.28	-36.01	39.96	244
b00r	37.91	1.28	-42.34	42.37	272
b25r	23.81	30.38	-52.25	60.45	300
b50r	29.52	69.06	-42.13	80.9	329
b75r	36.48	71.47	-3.68	71.57	357





Ein und Ausgabe: Farbmetrisches Drucker-Reflektiv-System FRS09\_92a für relativen CIELAB-Buntton  $h^* = lab^*h^* = h_{ab}/360 = 42/360 = 0.117$   $u^* = r25j$

Daten für jede Farbe:

$lab^*ch^*$  und  $lab^*icu^*$

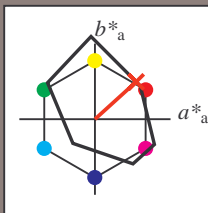
Elementar-Bunttontext:

$u^* = r25j$

Kontrastreduzierungsfaktor:

$c_R = 1.0$

Dreiecks-Helligkeit  $i^*$



FRS09\_92a; adaptierte CIELAB-Daten

	$L^*=L^*_a$	$a^*_a$	$b^*_a$	$C^*_{ab,a}$	$h^*_{ab,a}$
O <sub>Ma</sub>	35.06	60.0	44.0	74.4	36
Y <sub>Ma</sub>	83.77	-5.16	109.32	109.44	93
L <sub>Ma</sub>	44.13	-62.66	48.24	79.09	142
C <sub>Ma</sub>	52.66	-29.13	-31.98	43.27	228
V <sub>Ma</sub>	14.15	50.3	-59.03	77.57	310
M <sub>Ma</sub>	37.37	78.64	-33.49	85.48	337
N <sub>Ma</sub>	8.58	0.0	0.0	0.0	0
W <sub>Ma</sub>	92.02	0.0	0.0	0.0	0
R <sub>CIE</sub>	39.92	58.74	27.99	65.07	25
J <sub>CIE</sub>	81.26	-2.88	71.56	71.62	92
G <sub>CIE</sub>	52.23	-42.41	13.6	44.55	162
B <sub>CIE</sub>	30.57	1.41	-46.46	46.49	272

Daten für Maximalfarbe (Ma):

$LAB^*LAB^*_{Ma}$ : 39 55 49

$LAB^*LCH^*_{Ma}$ : 39 74 42

$lab^*rgb^*_{Ma}$ : 1.0 0.25 0.0

$lab^*olv^*_{Ma}$ : 1.0 0.08 0.0

Dreiecks-Helligkeit  $i^*$

%Umfang

$u^*_{rel} = 109$

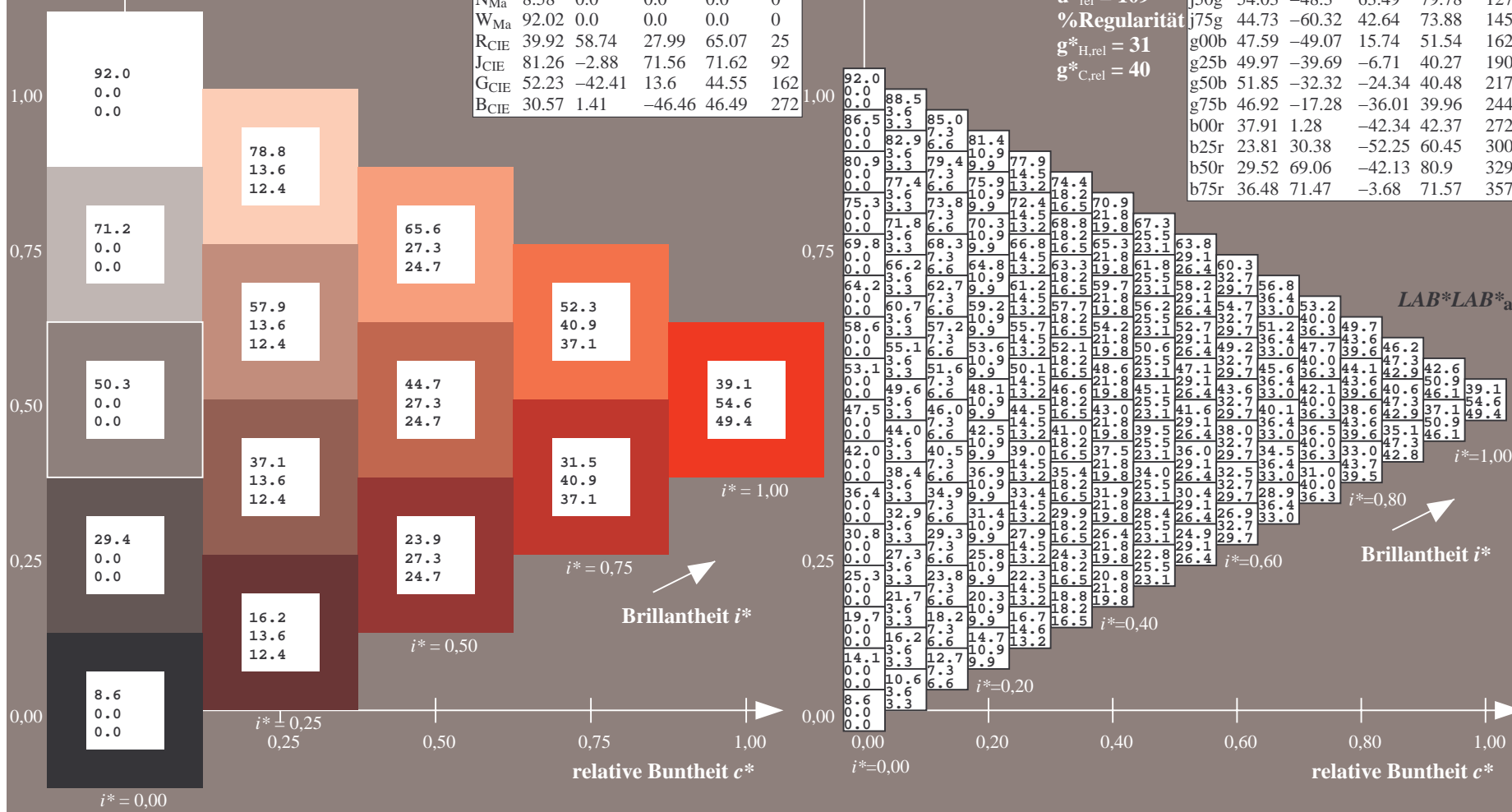
%Regularität

$g^*_{H,rel} = 31$

$g^*_{C,rel} = 40$

FRS09\_92a; adaptierte CIELAB-Daten

	$L^*=L^*_a$	$a^*_a$	$b^*_a$	$C^*_{ab,a}$	$h^*_{ab,a}$
r00j	35.47	63.32	30.17	70.15	25
r25j	39.12	54.56	49.45	73.64	42
r50j	50.64	39.15	64.89	75.79	59
r75j	64.01	21.26	82.83	85.52	76
j00g	83.18	-4.37	108.53	108.62	92
j25g	66.73	-29.88	83.06	88.28	110
j50g	54.03	-48.3	63.49	79.78	127
j75g	44.73	-60.32	42.64	73.88	145
g00b	47.59	-49.07	15.74	51.54	162
g25b	49.97	-39.69	-6.71	40.27	190
g50b	51.85	-32.32	-24.34	40.48	217
g75b	46.92	-17.28	-36.01	39.96	244
b00r	37.91	1.28	-42.34	42.37	272
b25r	23.81	30.38	-52.25	60.45	300
b50r	29.52	69.06	-42.13	80.9	329
b75r	36.48	71.47	-3.68	71.57	357



100


$$g^*_{C,rel} = 40$$

*LAB\*LAB\**<sub>a</sub>

## Brillantheit i\*

Ausgabe:  $\rightarrow cmy\mathbf{n}5^* setcmykcolor$



100



Ein und Ausgabe: Farbmetrisches Drucker-Reflektiv-System FRS09\_92a für relativen CIELAB-Buntton  $h^* = lab^*h^* = h_{ab}/360 = 92/360 = 0.256$   $u^* = j00g$

Daten für jede Farbe:

$lab^*ch^*$  und  $lab^*icu^*$

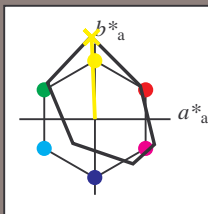
Elementar-Bunttontext:

$u^* = j00g$

Kontrastreduzierungsfaktor:

$c_R = 1.0$

Dreiecks-Helligkeit  $i^*$



FRS09\_92a; adaptierte CIELAB-Daten

	$L^*=L^*_a$	$a^*_a$	$b^*_a$	$C^*_{ab,a}$	$h^*_{ab,a}$
O <sub>Ma</sub>	35.06	60.0	44.0	74.4	36
Y <sub>Ma</sub>	83.77	-5.16	109.32	109.44	93
L <sub>Ma</sub>	44.13	-62.66	48.24	79.09	142
C <sub>Ma</sub>	52.66	-29.13	-31.98	43.27	228
V <sub>Ma</sub>	14.15	50.3	-59.03	77.57	310
M <sub>Ma</sub>	37.37	78.64	-33.49	85.48	337
N <sub>Ma</sub>	8.58	0.0	0.0	0.0	0
W <sub>Ma</sub>	92.02	0.0	0.0	0.0	0
R <sub>CIE</sub>	39.92	58.74	27.99	65.07	25
J <sub>CIE</sub>	81.26	-2.88	71.56	71.62	92
G <sub>CIE</sub>	52.23	-42.41	13.6	44.55	162
B <sub>CIE</sub>	30.57	1.41	-46.46	46.49	272

Daten für Maximalfarbe (Ma):

$LAB^*LAB^*_{Ma}$ : 83 -3 109

$LAB^*LCH^*_{Ma}$ : 83 109 92

$lab^*rgb^*_{Ma}$ : 1.0 1.0 0.0

$lab^*olv^*_{Ma}$ : 1.0 0.99 0.0

Dreiecks-Helligkeit  $i^*$

%Umfang

$u^*_{rel} = 109$

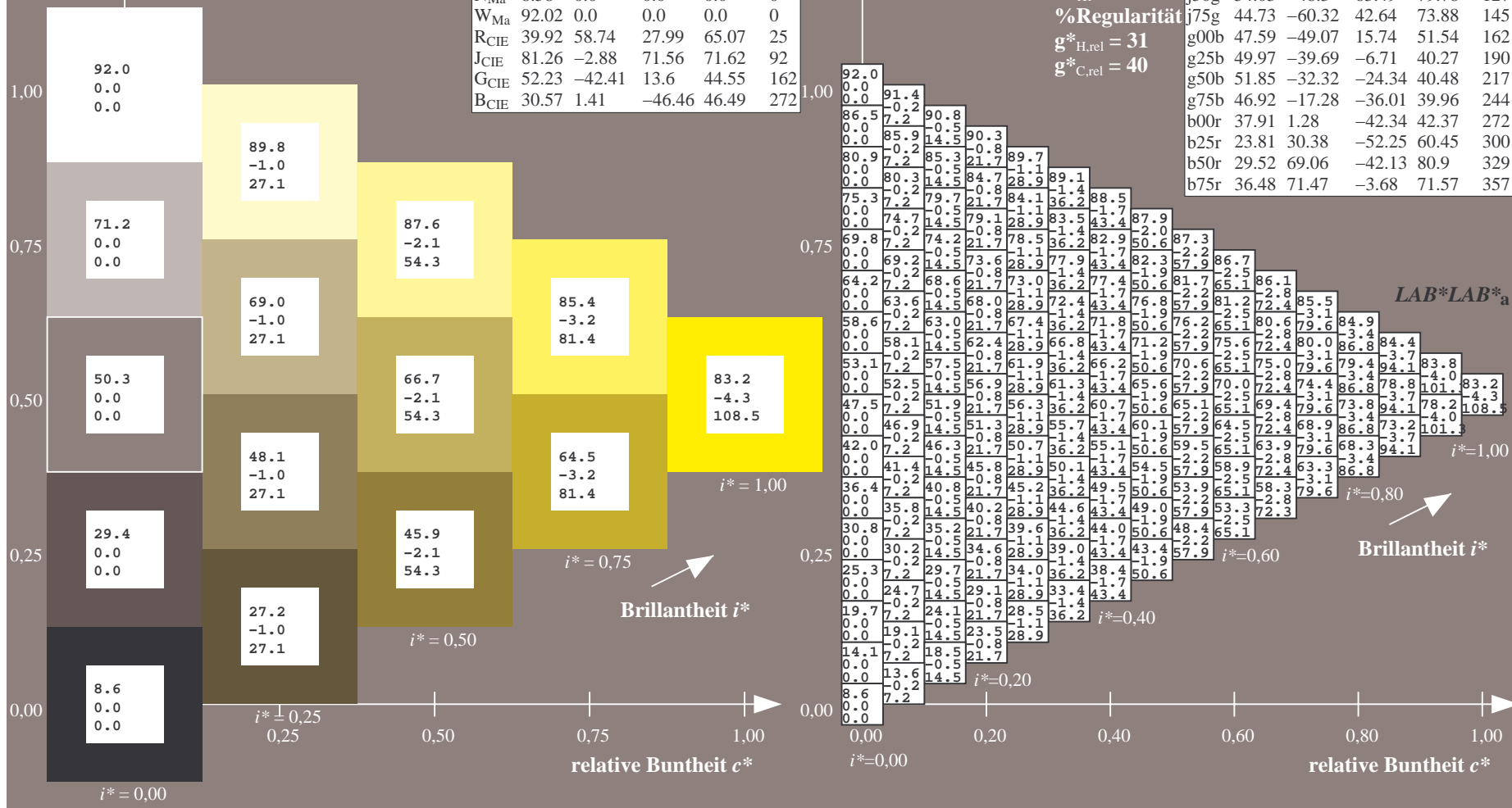
%Regularität

$g^*_{H,rel} = 31$

$g^*_{C,rel} = 40$

FRS09\_92a; adaptierte CIELAB-Daten

	$L^*=L^*_a$	$a^*_a$	$b^*_a$	$C^*_{ab,a}$	$h^*_{ab,a}$
r00j	35.47	63.32	30.17	70.15	25
r25j	39.12	54.56	49.45	73.64	42
r50j	50.64	39.15	64.89	75.79	59
r75j	64.01	21.26	82.83	85.52	76
j00g	83.18	-4.37	108.53	108.62	92
j25g	66.73	-29.88	83.06	88.28	110
j50g	54.03	-48.3	63.49	79.78	127
j75g	44.73	-60.32	42.64	73.88	145
g00b	47.59	-49.07	15.74	51.54	162
g25b	49.97	-39.69	-6.71	40.27	190
g50b	51.85	-32.32	-24.34	40.48	217
g75b	46.92	-17.28	-36.01	39.96	244
b00r	37.91	1.28	-42.34	42.37	272
b25r	23.81	30.38	-52.25	60.45	300
b50r	29.52	69.06	-42.13	80.9	329
b75r	36.48	71.47	-3.68	71.57	357



Ein und Ausgabe: Farbmetrisches Drucker-Reflektiv-System FRS09\_92a für relativen CIELAB-Buntton  $h^* = lab^*h^* = h_{ab}/360 = 110/360 = 0.305$   $u^* = j25g$

Daten für jede Farbe:

$lab^*ch^*$  und  $lab^*icu^*$

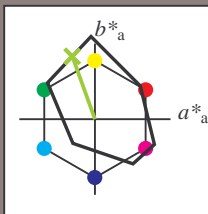
Elementar-Bunttontext:

$u^* = j25g$

Kontrastreduzierungsfaktor:

$c_R = 1.0$

Dreiecks-Helligkeit  $i^*$



FRS09\_92a; adaptierte CIELAB-Daten

	$L^*=L^*_a$	$a^*_a$	$b^*_a$	$C^*_{ab,a}$	$h^*_{ab,a}$
O <sub>Ma</sub>	35.06	60.0	44.0	74.4	36
Y <sub>Ma</sub>	83.77	-5.16	109.32	109.44	93
L <sub>Ma</sub>	44.13	-62.66	48.24	79.09	142
C <sub>Ma</sub>	52.66	-29.13	-31.98	43.27	228
V <sub>Ma</sub>	14.15	50.3	-59.03	77.57	310
M <sub>Ma</sub>	37.37	78.64	-33.49	85.48	337
N <sub>Ma</sub>	8.58	0.0	0.0	0.0	0
W <sub>Ma</sub>	92.02	0.0	0.0	0.0	0
R <sub>CIE</sub>	39.92	58.74	27.99	65.07	25
J <sub>CIE</sub>	81.26	-2.88	71.56	71.62	92
G <sub>CIE</sub>	52.23	-42.41	13.6	44.55	162
B <sub>CIE</sub>	30.57	1.41	-46.46	46.49	272

Daten für Maximalfarbe (Ma):

$LAB^*LAB^*_{Ma}$ : 67 -29 83

$LAB^*LCH^*_{Ma}$ : 67 88 110

$lab^*rgb^*_{Ma}$ : 0.75 1.0 0.0

$lab^*olv^*_{Ma}$ : 0.57 1.0 0.0

Dreiecks-Helligkeit  $i^*$

%Umfang

$u^*_{rel} = 109$

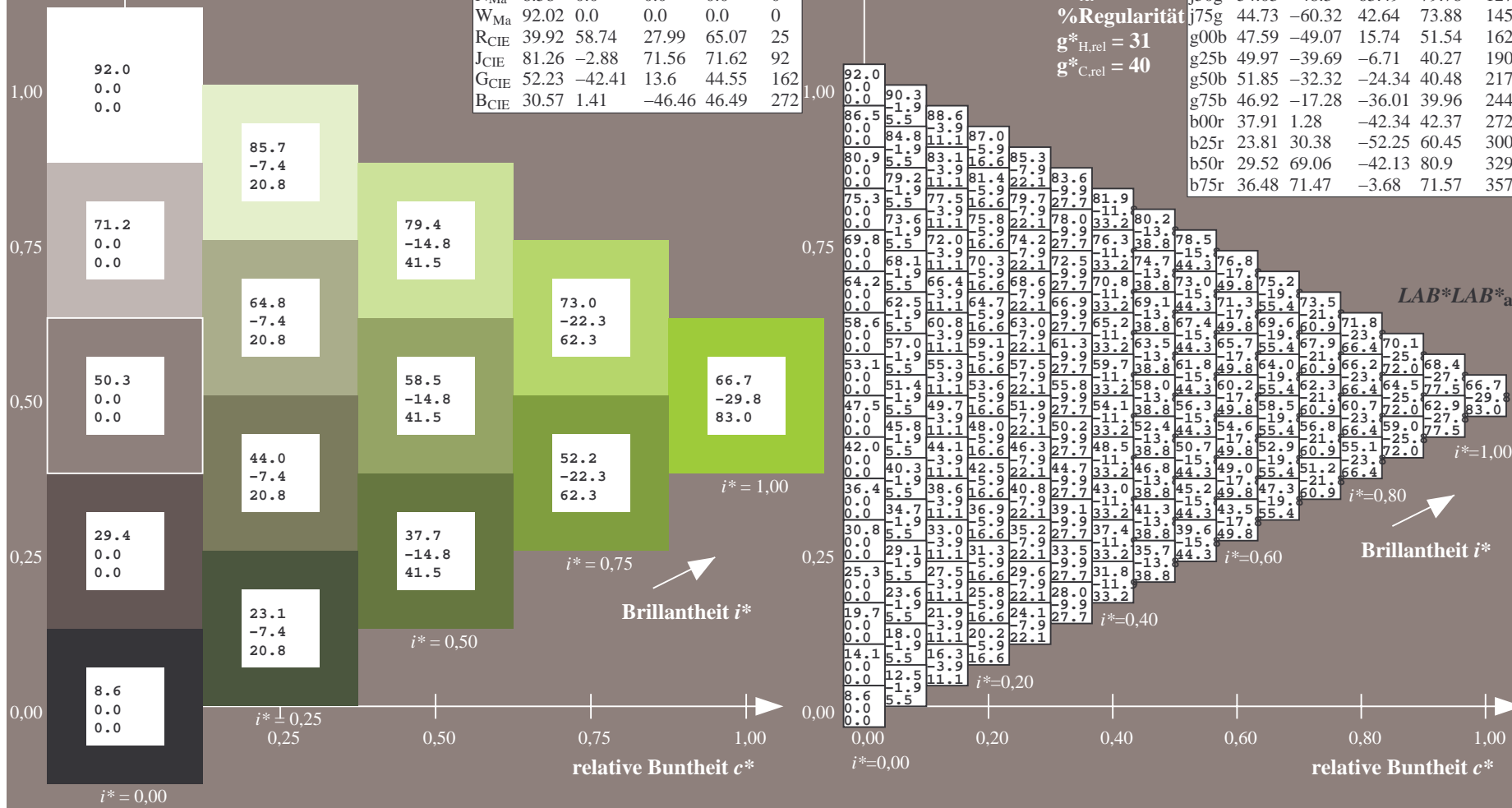
%Regularität

$g^*_{H,rel} = 31$

$g^*_{C,rel} = 40$

FRS09\_92a; adaptierte CIELAB-Daten

	$L^*=L^*_a$	$a^*_a$	$b^*_a$	$C^*_{ab,a}$	$h^*_{ab,a}$
r00j	35.47	63.32	30.17	70.15	25
r25j	39.12	54.56	49.45	73.64	42
r50j	50.64	39.15	64.89	75.79	59
r75j	64.01	21.26	82.83	85.52	76
j00g	83.18	-4.37	108.53	108.62	92
j25g	66.73	-29.88	83.06	88.28	110
j50g	54.03	-48.3	63.49	79.78	127
j75g	44.73	-60.32	42.64	73.88	145
g00b	47.59	-49.07	15.74	51.54	162
g25b	49.97	-39.69	-6.71	40.27	190
g50b	51.85	-32.32	-24.34	40.48	217
g75b	46.92	-17.28	-36.01	39.96	244
b00r	37.91	1.28	-42.34	42.37	272
b25r	23.81	30.38	-52.25	60.45	300
b50r	29.52	69.06	-42.13	80.9	329
b75r	36.48	71.47	-3.68	71.57	357



Ein und Ausgabe: Farbmetrisches Drucker-Reflektiv-System FRS09\_92a für relativen CIELAB-Buntton  $h^* = lab^*h^* = h_{ab}/360 = 127/360 = 0.354$   $u^* = j50g$

Daten für jede Farbe:

$lab^*ch^*$  und  $lab^*icu^*$

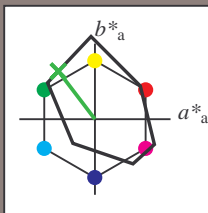
Elementar-Bunttontext:

$u^* = j50g$

Kontrastreduzierungsfaktor:

$c_R = 1.0$

Dreiecks-Helligkeit  $i^*$



FRS09\_92a; adaptierte CIELAB-Daten

	$L^*=L^*_a$	$a^*_a$	$b^*_a$	$C^*_{ab,a}$	$h^*_{ab,a}$
O <sub>Ma</sub>	35.06	60.0	44.0	74.4	36
Y <sub>Ma</sub>	83.77	-5.16	109.32	109.44	93
L <sub>Ma</sub>	44.13	-62.66	48.24	79.09	142
C <sub>Ma</sub>	52.66	-29.13	-31.98	43.27	228
V <sub>Ma</sub>	14.15	50.3	-59.03	77.57	310
M <sub>Ma</sub>	37.37	78.64	-33.49	85.48	337
N <sub>Ma</sub>	8.58	0.0	0.0	0.0	0
W <sub>Ma</sub>	92.02	0.0	0.0	0.0	0
R <sub>CIE</sub>	39.92	58.74	27.99	65.07	25
J <sub>CIE</sub>	81.26	-2.88	71.56	71.62	92
G <sub>CIE</sub>	52.23	-42.41	13.6	44.55	162
B <sub>CIE</sub>	30.57	1.41	-46.46	46.49	272

Daten für Maximalfarbe (Ma):

$LAB^*LAB^*_{Ma}$ : 54 -47 63

$LAB^*LCH^*_{Ma}$ : 54 80 127

$lab^*rgb^*_{Ma}$ : 0.5 1.0 0.0

$lab^*olv^*_{Ma}$ : 0.25 1.0 0.0

Dreiecks-Helligkeit  $i^*$

%Umfang

$u^*_{rel} = 109$

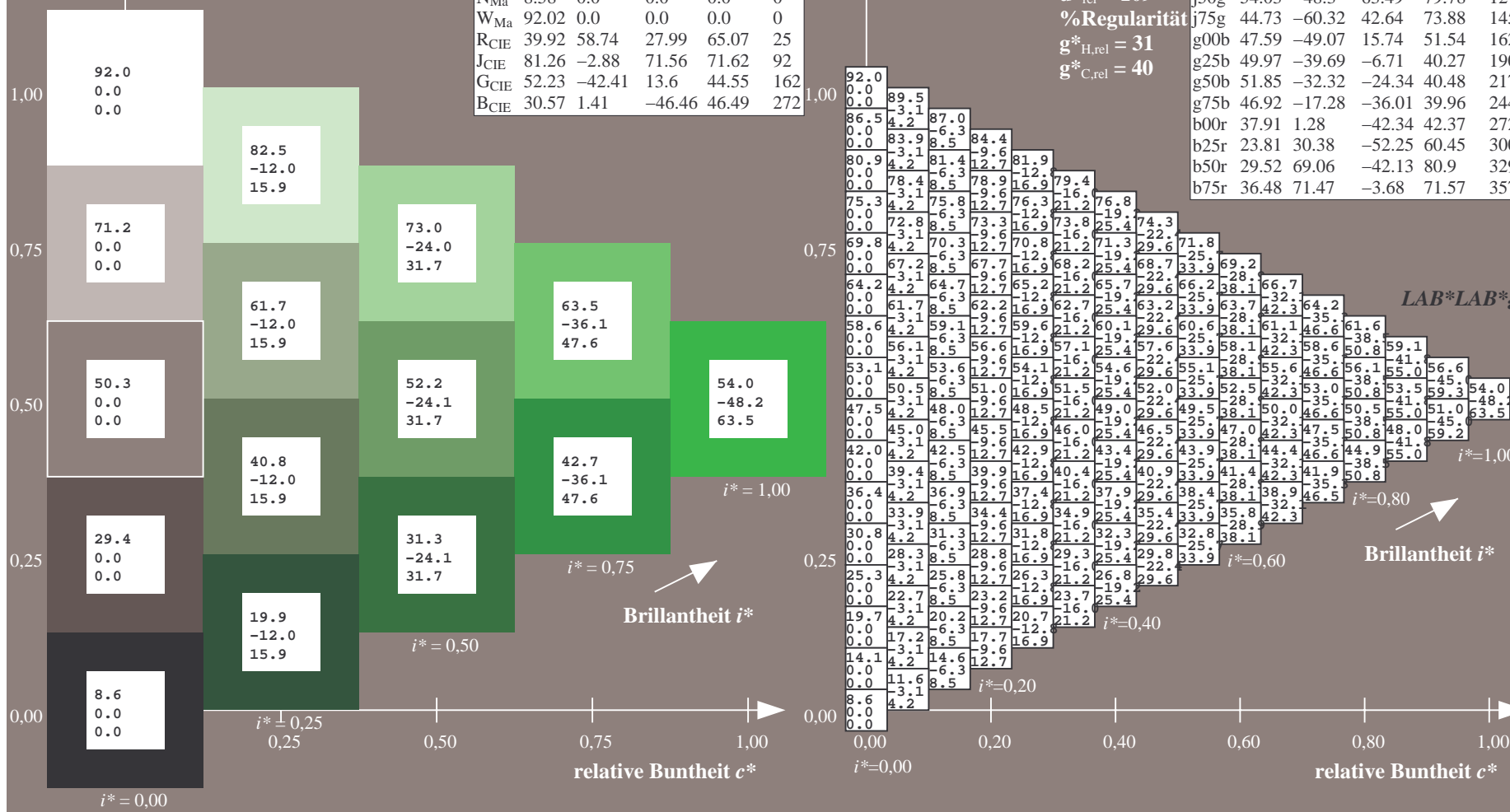
%Regularität

$g^*_{H,rel} = 31$

$g^*_{C,rel} = 40$

FRS09\_92a; adaptierte CIELAB-Daten

	$L^*=L^*_a$	$a^*_a$	$b^*_a$	$C^*_{ab,a}$	$h^*_{ab,a}$
r00j	35.47	63.32	30.17	70.15	25
r25j	39.12	54.56	49.45	73.64	42
r50j	50.64	39.15	64.89	75.79	59
r75j	64.01	21.26	82.83	85.52	76
j00g	83.18	-4.37	108.53	108.62	92
j25g	66.73	-29.88	83.06	88.28	110
j50g	54.03	-48.3	63.49	79.78	127
j75g	44.73	-60.32	42.64	73.88	145
g00b	47.59	-49.07	15.74	51.54	162
g25b	49.97	-39.69	-6.71	40.27	190
g50b	51.85	-32.32	-24.34	40.48	217
g75b	46.92	-17.28	-36.01	39.96	244
b00r	37.91	1.28	-42.34	42.37	272
b25r	23.81	30.38	-52.25	60.45	300
b50r	29.52	69.06	-42.13	80.9	329
b75r	36.48	71.47	-3.68	71.57	357





Ein und Ausgabe: Farbmetrisches Drucker-Reflektiv-System FRS09\_92a für relativen CIELAB-Buntton  $h^* = lab^*h^* = h_{ab}/360 = 145/360 = 0.402$   $u^* = j75g$

Daten für jede Farbe:

$lab^*ch^*$  und  $lab^*icu^*$

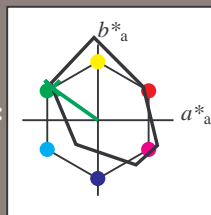
Elementar-Bunttontext:

$u^* = j75g$

Kontrastreduzierungsfaktor:

$c_R = 1.0$

Dreiecks-Helligkeit  $i^*$



FRS09\_92a; adaptierte CIELAB-Daten

	$L^*=L^*_a$	$a^*_a$	$b^*_a$	$C^*_{ab,a}$	$h^*_{ab,a}$
O <sub>Ma</sub>	35.06	60.0	44.0	74.4	36
Y <sub>Ma</sub>	83.77	-5.16	109.32	109.44	93
L <sub>Ma</sub>	44.13	-62.66	48.24	79.09	142
C <sub>Ma</sub>	52.66	-29.13	-31.98	43.27	228
V <sub>Ma</sub>	14.15	50.3	-59.03	77.57	310
M <sub>Ma</sub>	37.37	78.64	-33.49	85.48	337
N <sub>Ma</sub>	8.58	0.0	0.0	0.0	0
W <sub>Ma</sub>	92.02	0.0	0.0	0.0	0
R <sub>CIE</sub>	39.92	58.74	27.99	65.07	25
J <sub>CIE</sub>	81.26	-2.88	71.56	71.62	92
G <sub>CIE</sub>	52.23	-42.41	13.6	44.55	162
B <sub>CIE</sub>	30.57	1.41	-46.46	46.49	272

Daten für Maximalfarbe (Ma):

$LAB^*LAB^*_{Ma}$ : 45 -59 43

$LAB^*LCH^*_{Ma}$ : 45 74 145

$lab^*rgb^*_{Ma}$ : 0.25 1.0 0.0

$lab^*olv^*_{Ma}$ : 0.0 1.0 0.07

Dreiecks-Helligkeit  $i^*$

%Umfang

$u^*_{rel} = 109$

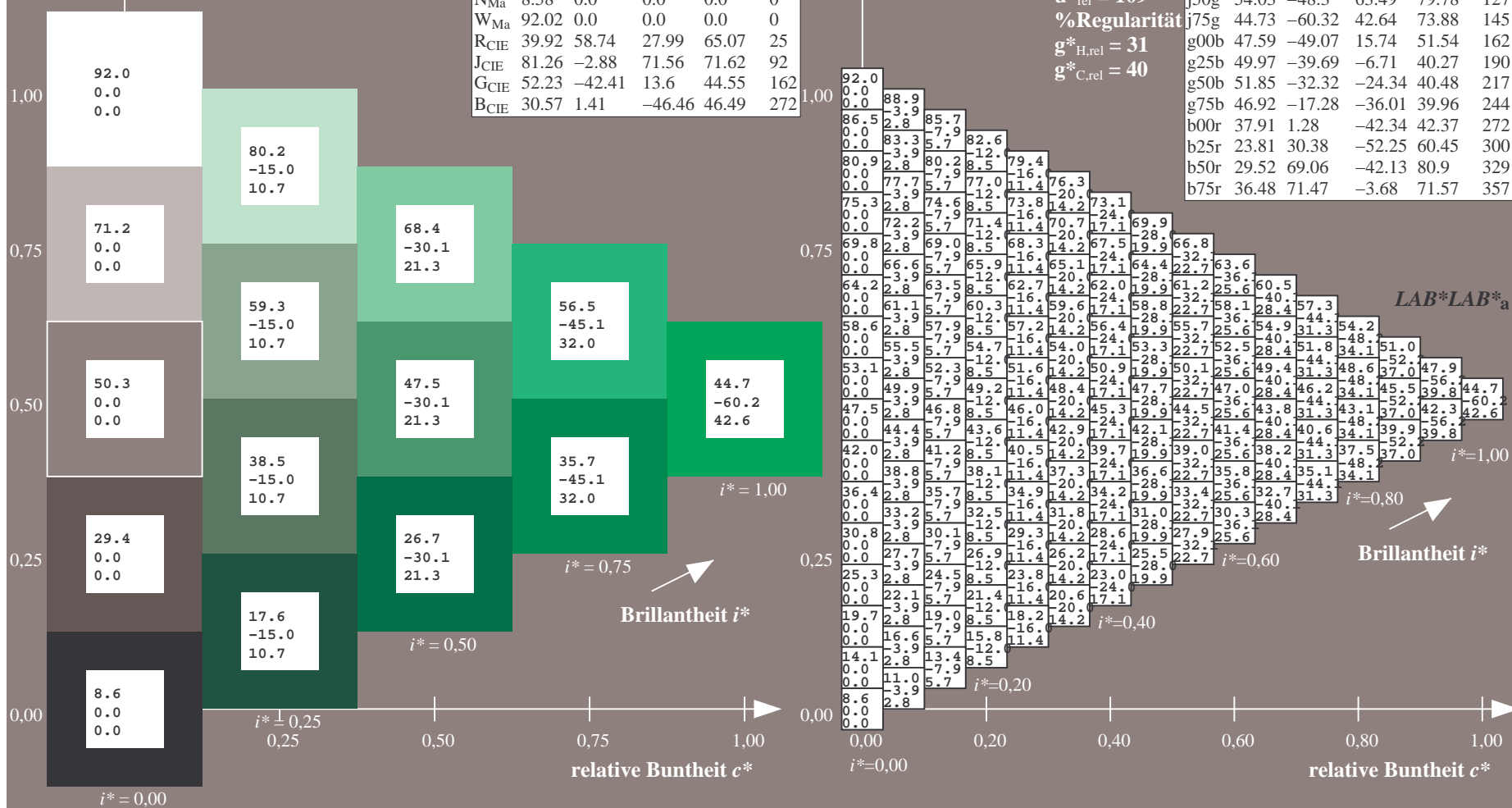
%Regularität

$g^*_{H,rel} = 31$

$g^*_{C,rel} = 40$

FRS09\_92a; adaptierte CIELAB-Daten

	$L^*=L^*_a$	$a^*_a$	$b^*_a$	$C^*_{ab,a}$	$h^*_{ab,a}$
r00j	35.47	63.32	30.17	70.15	25
r25j	39.12	54.56	49.45	73.64	42
r50j	50.64	39.15	64.89	75.79	59
r75j	64.01	21.26	82.83	85.52	76
j00g	83.18	-4.37	108.53	108.62	92
j25g	66.73	-29.88	83.06	88.28	110
j50g	54.03	-48.3	63.49	79.78	127
j75g	44.73	-60.32	42.64	73.88	145
g00b	47.59	-49.07	15.74	51.54	162
g25b	49.97	-39.69	-6.71	40.27	190
g50b	51.85	-32.32	-24.34	40.48	217
g75b	46.92	-17.28	-36.01	39.96	244
b00r	37.91	1.28	-42.34	42.37	272
b25r	23.81	30.38	-52.25	60.45	300
b50r	29.52	69.06	-42.13	80.9	329
b75r	36.48	71.47	-3.68	71.57	357





Ein und Ausgabe: Farbmetrisches Drucker-Reflektiv-System FRS09\_92a für relativen CIELAB-Buntton  $h^* = \text{lab}^*h^* = h_{ab}/360 = 162/360 = 0.451$   $u^* = g00b$

Daten für jede Farbe:

$\text{lab}^*ch^*$  und  $\text{lab}^*icu^*$

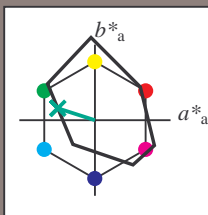
Elementar-Bunttontext:

$u^* = g00b$

Kontrastreduzierungsfaktor:

$c_R = 1.0$

Dreiecks-Helligkeit  $i^*$



FRS09\_92a; adaptierte CIELAB-Daten

	$L^*=L^*_a$	$a^*_a$	$b^*_a$	$C^*_{ab,a}$	$h^*_{ab,a}$
O <sub>Ma</sub>	35.06	60.0	44.0	74.4	36
Y <sub>Ma</sub>	83.77	-5.16	109.32	109.44	93
L <sub>Ma</sub>	44.13	-62.66	48.24	79.09	142
C <sub>Ma</sub>	52.66	-29.13	-31.98	43.27	228
V <sub>Ma</sub>	14.15	50.3	-59.03	77.57	310
M <sub>Ma</sub>	37.37	78.64	-33.49	85.48	337
N <sub>Ma</sub>	8.58	0.0	0.0	0.0	0
W <sub>Ma</sub>	92.02	0.0	0.0	0.0	0
R <sub>CIE</sub>	39.92	58.74	27.99	65.07	25
J <sub>CIE</sub>	81.26	-2.88	71.56	71.62	92
G <sub>CIE</sub>	52.23	-42.41	13.6	44.55	162
B <sub>CIE</sub>	30.57	1.41	-46.46	46.49	272

Daten für Maximalfarbe (Ma):

$\text{LAB}^*\text{LAB}^*_{\text{Ma}}$ : 48 -48 16

$\text{LAB}^*\text{LCH}^*_{\text{Ma}}$ : 48 52 162

$\text{lab}^*\text{rgb}^*_{\text{Ma}}$ : 0.0 1.0 0.0

$\text{lab}^*\text{olv}^*_{\text{Ma}}$ : 0.0 1.0 0.41

Dreiecks-Helligkeit  $i^*$

%Umfang

$u^*_{\text{rel}} = 109$

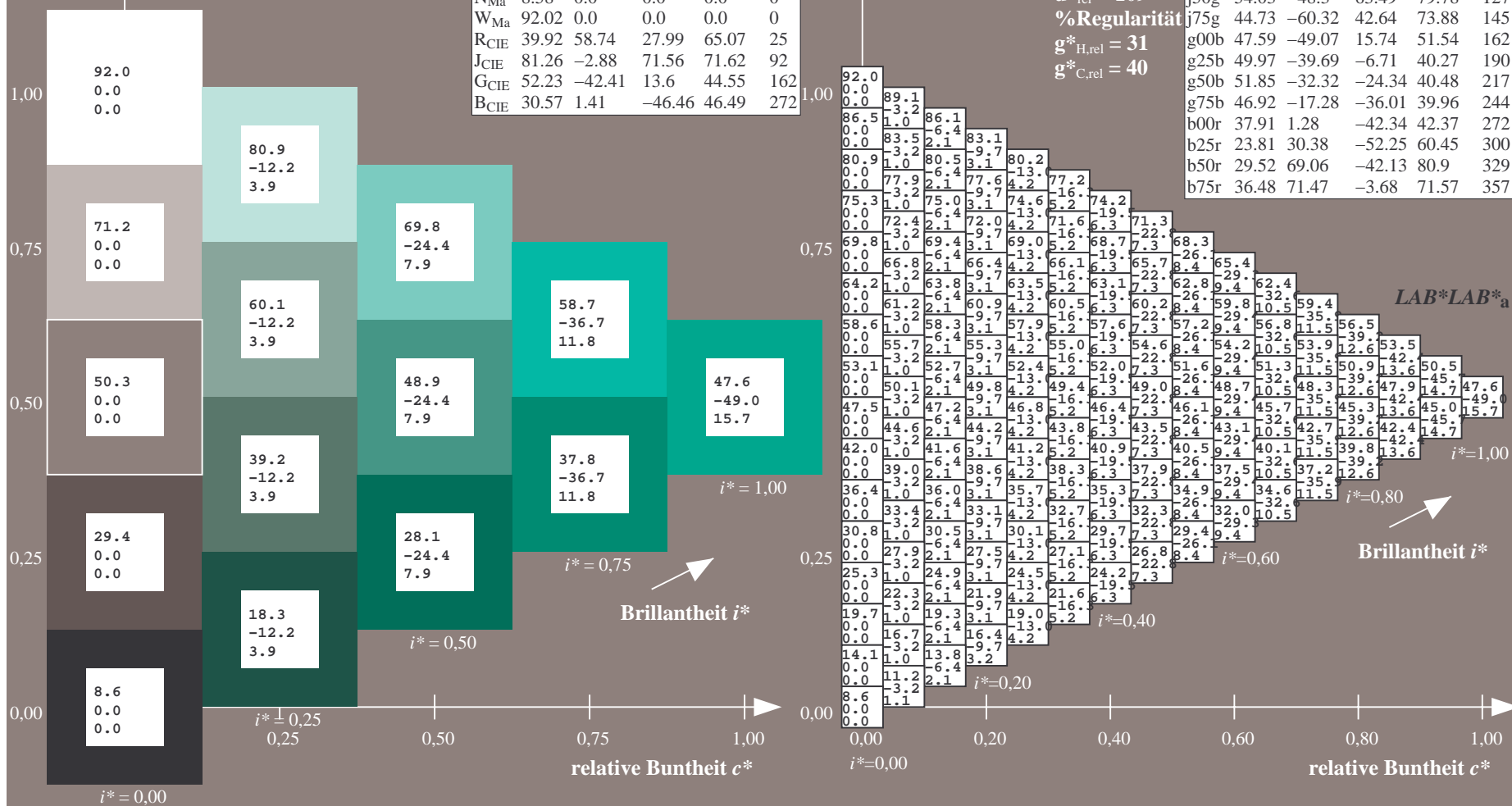
%Regularität

$g^*_{H,\text{rel}} = 31$

$g^*_{C,\text{rel}} = 40$

FRS09\_92a; adaptierte CIELAB-Daten

	$L^*=L^*_a$	$a^*_a$	$b^*_a$	$C^*_{ab,a}$	$h^*_{ab,a}$
r00j	35.47	63.32	30.17	70.15	25
r25j	39.12	54.56	49.45	73.64	42
r50j	50.64	39.15	64.89	75.79	59
r75j	64.01	21.26	82.83	85.52	76
j00g	83.18	-4.37	108.53	108.62	92
j25g	66.73	-29.88	83.06	88.28	110
j50g	54.03	-48.3	63.49	79.78	127
j75g	44.73	-60.32	42.64	73.88	145
g00b	47.59	-49.07	15.74	51.54	162
g25b	49.97	-39.69	-6.71	40.27	190
g50b	51.85	-32.32	-24.34	40.48	217
g75b	46.92	-17.28	-36.01	39.96	244
b00r	37.91	1.28	-42.34	42.37	272
b25r	23.81	30.38	-52.25	60.45	300
b50r	29.52	69.06	-42.13	80.9	329
b75r	36.48	71.47	-3.68	71.57	357



Ein und Ausgabe: Farbmetrisches Drucker-Reflektiv-System FRS09\_92a für relativen CIELAB-Buntton  $h^* = lab^*h^* = h_{ab}/360 = 190/360 = 0.527$   $u^* = g25b$

Daten für jede Farbe:

$lab^*ch^*$  und  $lab^*icu^*$

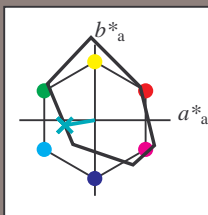
Elementar-Bunttontext:

$u^* = g25b$

Kontrastreduzierungsfaktor:

$c_R = 1.0$

Dreiecks-Helligkeit  $i^*$



FRS09\_92a; adaptierte CIELAB-Daten

	$L^*=L_a^*$	$a_a^*$	$b_a^*$	$C_{ab,a}^*$	$h_{ab,a}^*$
O <sub>Ma</sub>	35.06	60.0	44.0	74.4	36
Y <sub>Ma</sub>	83.77	-5.16	109.32	109.44	93
L <sub>Ma</sub>	44.13	-62.66	48.24	79.09	142
C <sub>Ma</sub>	52.66	-29.13	-31.98	43.27	228
V <sub>Ma</sub>	14.15	50.3	-59.03	77.57	310
M <sub>Ma</sub>	37.37	78.64	-33.49	85.48	337
N <sub>Ma</sub>	8.58	0.0	0.0	0.0	0
W <sub>Ma</sub>	92.02	0.0	0.0	0.0	0
R <sub>CIE</sub>	39.92	58.74	27.99	65.07	25
J <sub>CIE</sub>	81.26	-2.88	71.56	71.62	92
G <sub>CIE</sub>	52.23	-42.41	13.6	44.55	162
B <sub>CIE</sub>	30.57	1.41	-46.46	46.49	272

Daten für Maximalfarbe (Ma):

$LAB^*LAB^*_{Ma}$ : 50 -39 -6

$LAB^*LCH^*_{Ma}$ : 50 40 190

$lab^*rgb^*_{Ma}$ : 0.0 1.0 0.5

$lab^*olv^*_{Ma}$ : 0.0 1.0 0.69

Dreiecks-Helligkeit  $i^*$

%Umfang

$u^*_{rel} = 109$

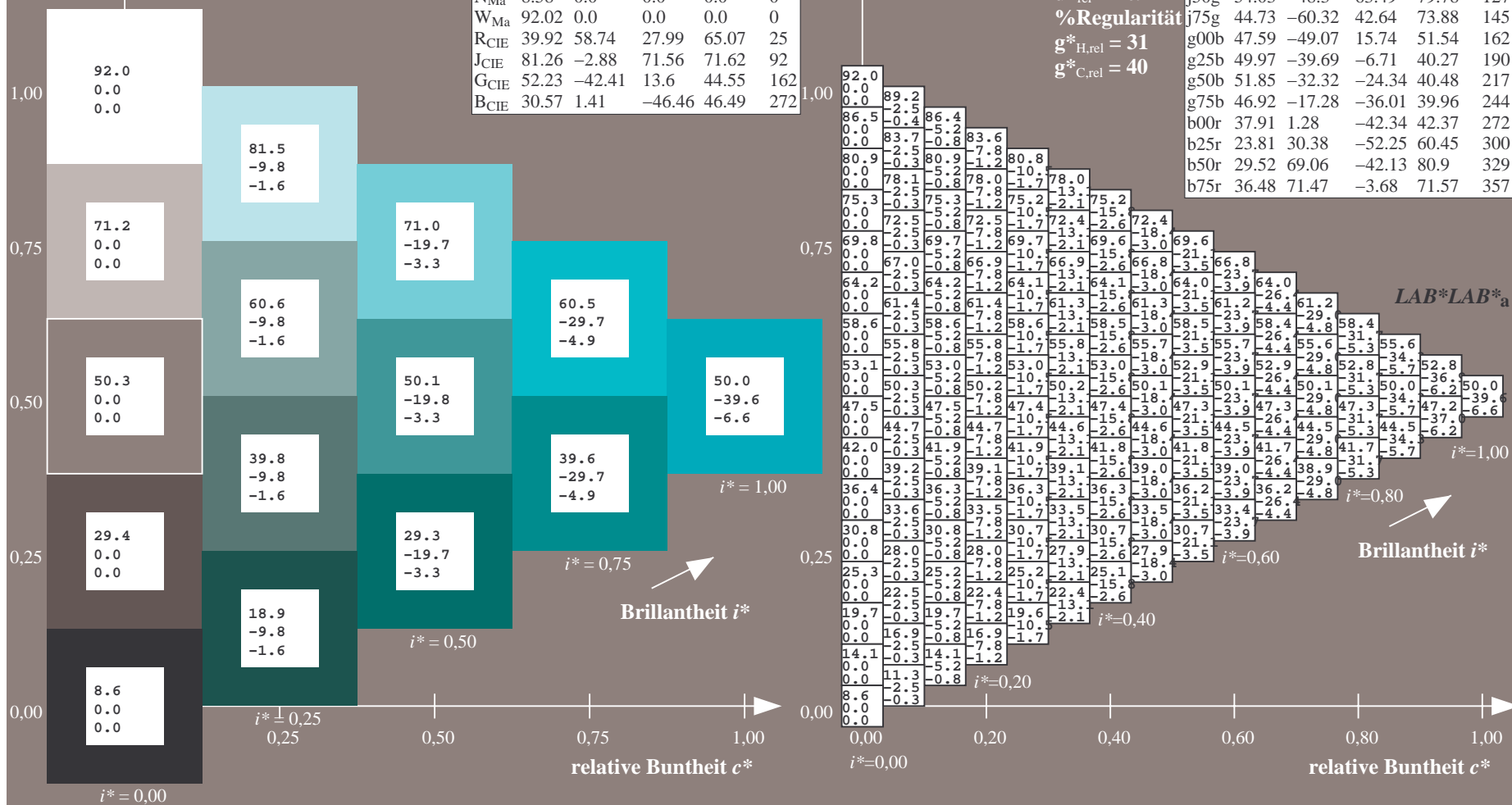
%Regularität

$g^*_{H,rel} = 31$

$g^*_{C,rel} = 40$

FRS09\_92a; adaptierte CIELAB-Daten

	$L^*=L_a^*$	$a_a^*$	$b_a^*$	$C_{ab,a}^*$	$h_{ab,a}^*$
r00j	35.47	63.32	30.17	70.15	25
r25j	39.12	54.56	49.45	73.64	42
r50j	50.64	39.15	64.89	75.79	59
r75j	64.01	21.26	82.83	85.52	76
j00g	83.18	-4.37	108.53	108.62	92
j25g	66.73	-29.88	83.06	88.28	110
j50g	54.03	-48.3	63.49	79.78	127
j75g	44.73	-60.32	42.64	73.88	145
g00b	47.59	-49.07	15.74	51.54	162
g25b	49.97	-39.69	-6.71	40.27	190
g50b	51.85	-32.32	-24.34	40.48	217
g75b	46.92	-17.28	-36.01	39.96	244
b00r	37.91	1.28	-42.34	42.37	272
b25r	23.81	30.38	-52.25	60.45	300
b50r	29.52	69.06	-42.13	80.9	329
b75r	36.48	71.47	-3.68	71.57	357



Ein und Ausgabe: Farbmetrisches Drucker-Reflektiv-System FRS09\_92a für relativen CIELAB-Buntton  $h^* = lab^*h^* = h_{ab}/360 = 217/360 = 0.603$   $u^* = g50b$

Daten für jede Farbe:

$lab^*ch^*$  und  $lab^*icu^*$

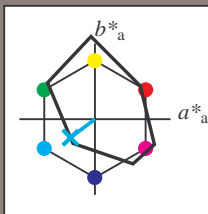
Elementar-Bunttontext:

$u^* = g50b$

Kontrastreduzierungsfaktor:

$c_R = 1.0$

Dreiecks-Helligkeit  $i^*$



FRS09\_92a; adaptierte CIELAB-Daten

	$L^*=L^*_a$	$a^*_a$	$b^*_a$	$C^*_{ab,a}$	$h^*_{ab,a}$
O <sub>Ma</sub>	35.06	60.0	44.0	74.4	36
Y <sub>Ma</sub>	83.77	-5.16	109.32	109.44	93
L <sub>Ma</sub>	44.13	-62.66	48.24	79.09	142
C <sub>Ma</sub>	52.66	-29.13	-31.98	43.27	228
V <sub>Ma</sub>	14.15	50.3	-59.03	77.57	310
M <sub>Ma</sub>	37.37	78.64	-33.49	85.48	337
N <sub>Ma</sub>	8.58	0.0	0.0	0.0	0
W <sub>Ma</sub>	92.02	0.0	0.0	0.0	0
R <sub>CIE</sub>	39.92	58.74	27.99	65.07	25
J <sub>CIE</sub>	81.26	-2.88	71.56	71.62	92
G <sub>CIE</sub>	52.23	-42.41	13.6	44.55	162
B <sub>CIE</sub>	30.57	1.41	-46.46	46.49	272

Daten für Maximalfarbe (Ma):

$LAB^*LAB^*_{Ma}$ : 52 -31 -23

$LAB^*LCH^*_{Ma}$ : 52 40 217

$lab^*rgb^*_{Ma}$ : 0.0 1.0 1.0

$lab^*olv^*_{Ma}$ : 0.0 1.0 0.9

Dreiecks-Helligkeit  $i^*$

%Umfang

$u^*_{rel} = 109$

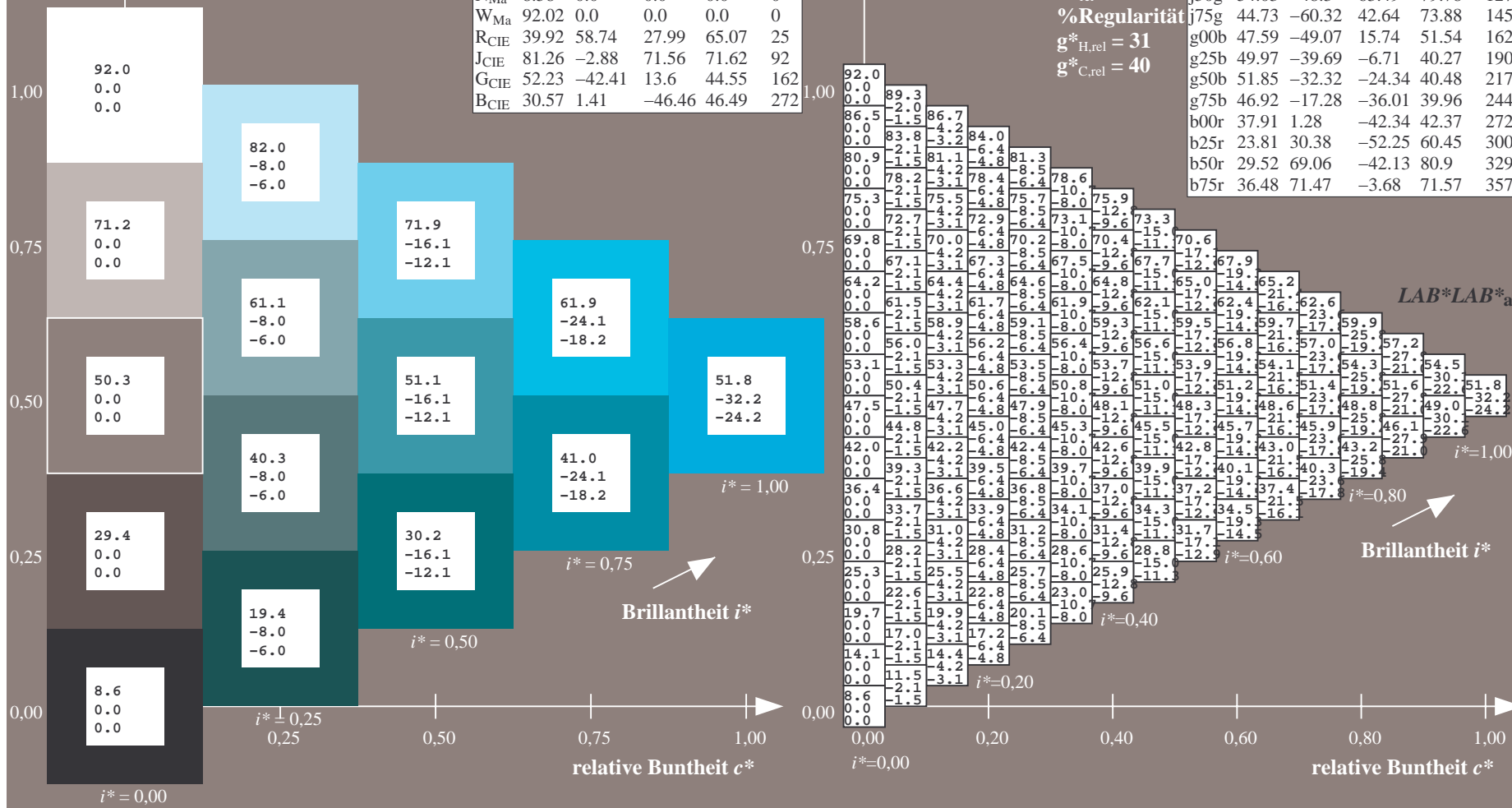
%Regularität

$g^*_{H,rel} = 31$

$g^*_{C,rel} = 40$

FRS09\_92a; adaptierte CIELAB-Daten

	$L^*=L^*_a$	$a^*_a$	$b^*_a$	$C^*_{ab,a}$	$h^*_{ab,a}$
r00j	35.47	63.32	30.17	70.15	25
r25j	39.12	54.56	49.45	73.64	42
r50j	50.64	39.15	64.89	75.79	59
r75j	64.01	21.26	82.83	85.52	76
j00g	83.18	-4.37	108.53	108.62	92
j25g	66.73	-29.88	83.06	88.28	110
j50g	54.03	-48.3	63.49	79.78	127
j75g	44.73	-60.32	42.64	73.88	145
g00b	47.59	-49.07	15.74	51.54	162
g25b	49.97	-39.69	-6.71	40.27	190
g50b	51.85	-32.32	-24.34	40.48	217
g75b	46.92	-17.28	-36.01	39.96	244
b00r	37.91	1.28	-42.34	42.37	272
b25r	23.81	30.38	-52.25	60.45	300
b50r	29.52	69.06	-42.13	80.9	329
b75r	36.48	71.47	-3.68	71.57	357



Ein und Ausgabe: Farbmetrisches Drucker-Reflektiv-System FRS09\_92a für relativen CIELAB-Buntton  $h^* = lab^*h^* = h_{ab}/360 = 244/360 = 0.679$   $u^* = g75b$

Daten für jede Farbe:

$lab^*ch^*$  und  $lab^*icu^*$

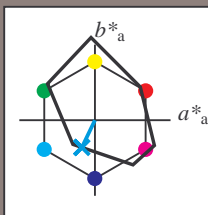
Elementar-Bunttontext:

$u^* = g75b$

Kontrastreduzierungsfaktor:

$c_R = 1.0$

Dreiecks-Helligkeit  $i^*$



FRS09_92a; adaptierte CIELAB-Daten					
	$L^*=L^*_a$	$a^*_a$	$b^*_a$	$C^*_{ab,a}$	$h^*_{ab,a}$
O <sub>Ma</sub>	35.06	60.0	44.0	74.4	36
Y <sub>Ma</sub>	83.77	-5.16	109.32	109.44	93
L <sub>Ma</sub>	44.13	-62.66	48.24	79.09	142
C <sub>Ma</sub>	52.66	-29.13	-31.98	43.27	228
V <sub>Ma</sub>	14.15	50.3	-59.03	77.57	310
M <sub>Ma</sub>	37.37	78.64	-33.49	85.48	337
N <sub>Ma</sub>	8.58	0.0	0.0	0.0	0
W <sub>Ma</sub>	92.02	0.0	0.0	0.0	0
R <sub>CIE</sub>	39.92	58.74	27.99	65.07	25
J <sub>CIE</sub>	81.26	-2.88	71.56	71.62	92
G <sub>CIE</sub>	52.23	-42.41	13.6	44.55	162
B <sub>CIE</sub>	30.57	1.41	-46.46	46.49	272

Daten für Maximalfarbe (Ma):

$LAB^*LAB^*_{Ma}$ : 47 -16 -35

$LAB^*LCH^*_{Ma}$ : 47 40 244

$lab^*rgb^*_{Ma}$ : 0.0 0.5 1.0

$lab^*olv^*_{Ma}$ : 0.0 0.85 1.0

Dreiecks-Helligkeit  $i^*$

%Umfang

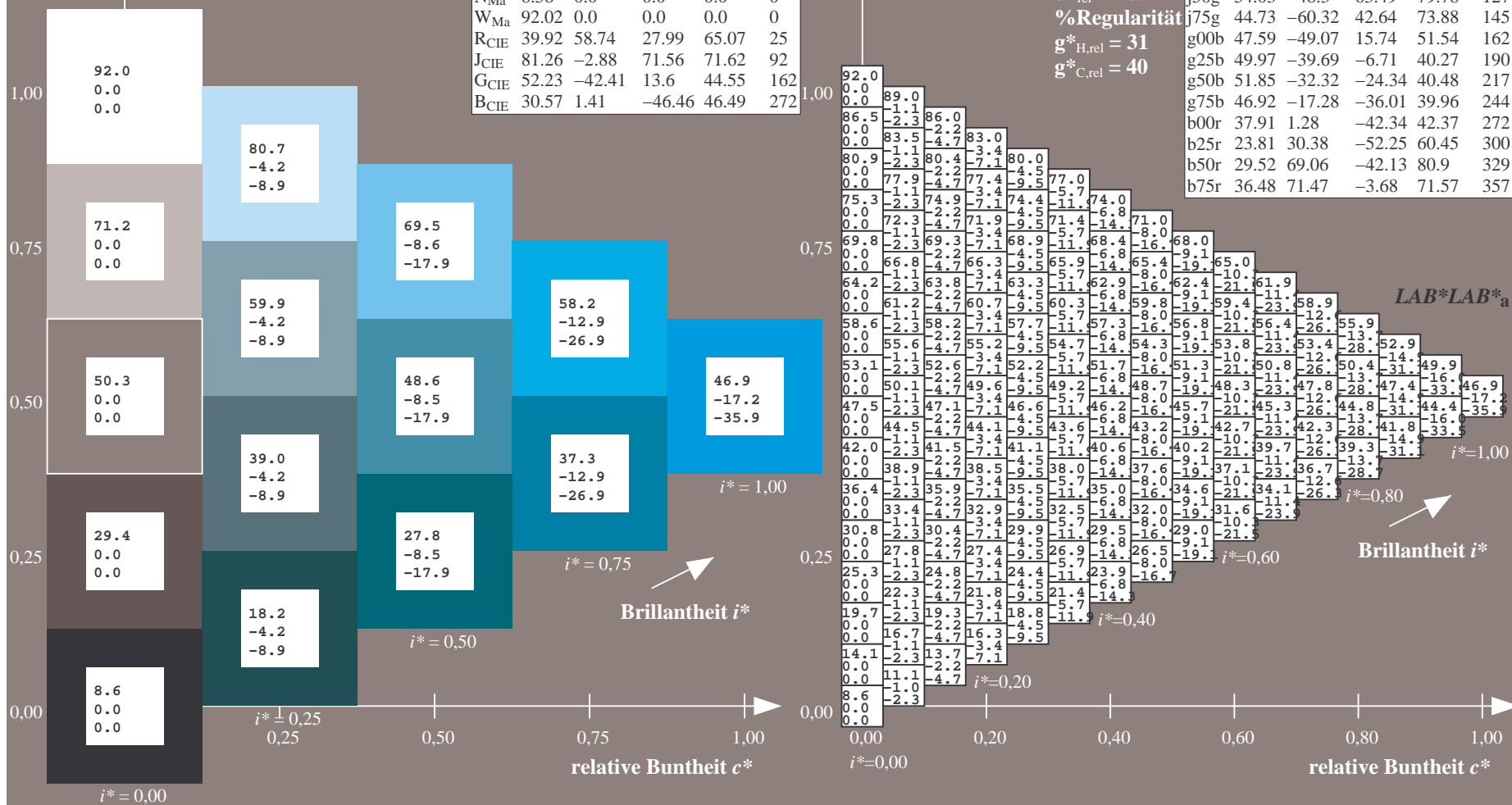
$u^*_{rel} = 109$

%Regularität

$g^*_{H,rel} = 31$

$g^*_{C,rel} = 40$

FRS09_92a; adaptierte CIELAB-Daten					
	$L^*=L^*_a$	$a^*_a$	$b^*_a$	$C^*_{ab,a}$	$h^*_{ab,a}$
r00j	35.47	63.32	30.17	70.15	25
r25j	39.12	54.56	49.45	73.64	42
r50j	50.64	39.15	64.89	75.79	59
r75j	64.01	21.26	82.83	85.52	76
j00g	83.18	-4.37	108.53	108.62	92
j25g	66.73	-29.88	83.06	88.28	110
j50g	54.03	-48.3	63.49	79.78	127
j75g	44.73	-60.32	42.64	73.88	145
g00b	47.59	-49.07	15.74	51.54	162
g25b	49.97	-39.69	-6.71	40.27	190
g50b	51.85	-32.32	-24.34	40.48	217
g75b	46.92	-17.28	-36.01	39.96	244
b00r	37.91	1.28	-42.34	42.37	272
b25r	23.81	30.38	-52.25	60.45	300
b50r	29.52	69.06	-42.13	80.9	329
b75r	36.48	71.47	-3.68	71.57	357





Ein und Ausgabe: Farbmetrisches Drucker-Reflektiv-System FRS09\_92a für relativen CIELAB-Buntton  $h^* = lab^*h^* = h_{ab}/360 = 272/360 = 0.755$   $u^* = b00r$

Daten für jede Farbe:

$lab^*ch^*$  und  $lab^*icu^*$

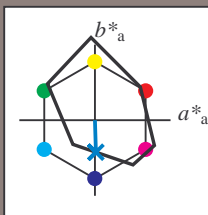
Elementar-Bunttontext:

$u^* = b00r$

Kontrastreduzierungsfaktor:

$c_R = 1.0$

Dreiecks-Helligkeit  $i^*$



FRS09_92a; adaptierte CIELAB-Daten					
	$L^*=L_a^*$	$a_a^*$	$b_a^*$	$C^*_{ab,a}$	$h^*_{ab,a}$
O <sub>Ma</sub>	35.06	60.0	44.0	74.4	36
Y <sub>Ma</sub>	83.77	-5.16	109.32	109.44	93
L <sub>Ma</sub>	44.13	-62.66	48.24	79.09	142
C <sub>Ma</sub>	52.66	-29.13	-31.98	43.27	228
V <sub>Ma</sub>	14.15	50.3	-59.03	77.57	310
M <sub>Ma</sub>	37.37	78.64	-33.49	85.48	337
N <sub>Ma</sub>	8.58	0.0	0.0	0.0	0
W <sub>Ma</sub>	92.02	0.0	0.0	0.0	0
R <sub>CIE</sub>	39.92	58.74	27.99	65.07	25
J <sub>CIE</sub>	81.26	-2.88	71.56	71.62	92
G <sub>CIE</sub>	52.23	-42.41	13.6	44.55	162
B <sub>CIE</sub>	30.57	1.41	-46.46	46.49	272

Daten für Maximalfarbe (Ma):

$LAB^*LAB^*_{Ma}$ : 38 1 -41

$LAB^*LCH^*_{Ma}$ : 38 42 272

$lab^*rgb^*_{Ma}$ : 0.0 0.0 1.0

$lab^*olv^*_{Ma}$ : 0.0 0.62 1.0

Dreiecks-Helligkeit  $i^*$

%Umfang

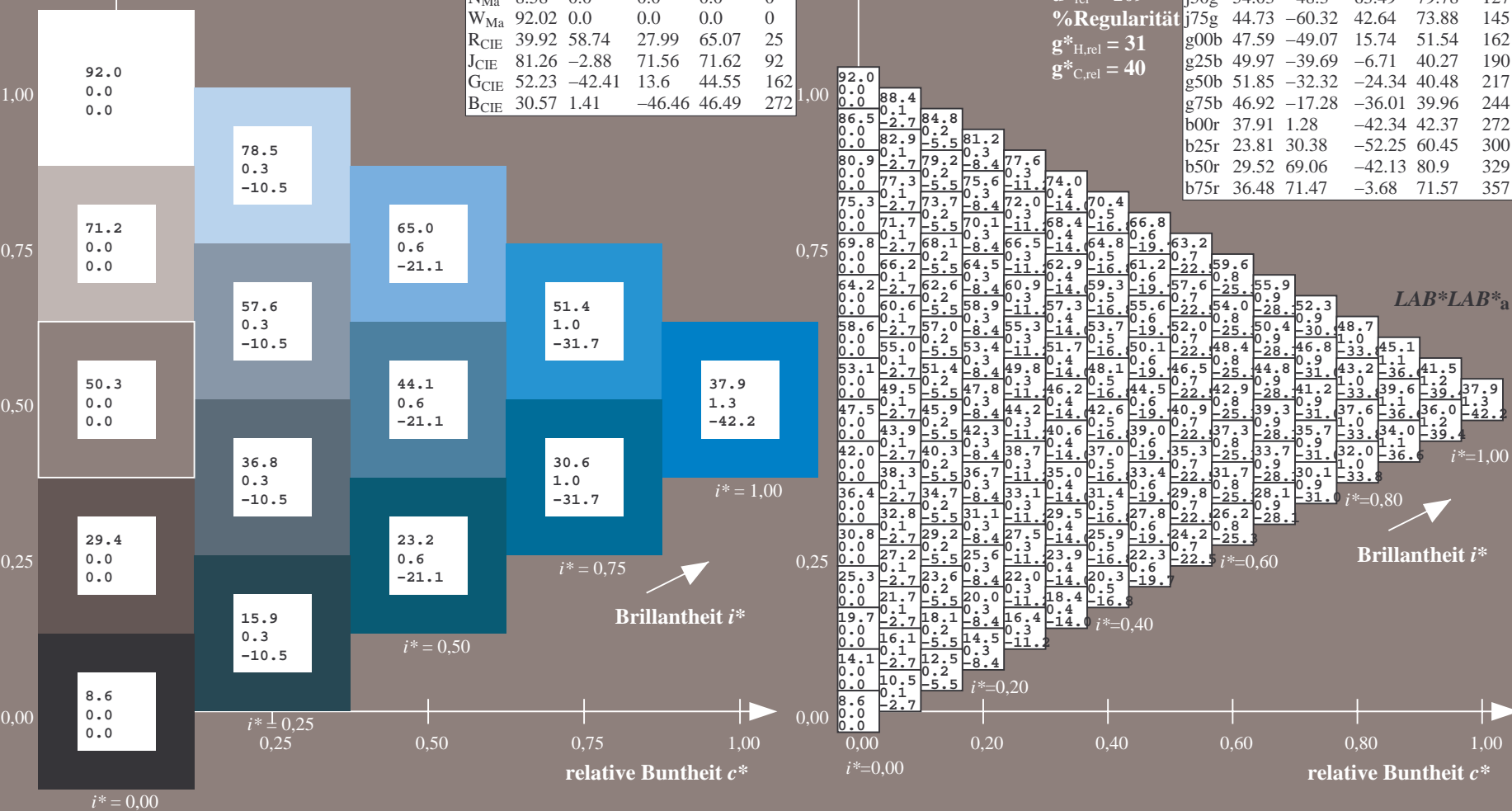
$u^*_{rel} = 109$

%Regularität

$g^*_{H,rel} = 31$

$g^*_{C,rel} = 40$

FRS09_92a; adaptierte CIELAB-Daten					
	$L^*=L_a^*$	$a_a^*$	$b_a^*$	$C^*_{ab,a}$	$h^*_{ab,a}$
r00j	35.47	63.32	30.17	70.15	25
r25j	39.12	54.56	49.45	73.64	42
r50j	50.64	39.15	64.89	75.79	59
r75j	64.01	21.26	82.83	85.52	76
j00g	83.18	-4.37	108.53	108.62	92
j25g	66.73	-29.88	83.06	88.28	110
j50g	54.03	-48.3	63.49	79.78	127
j75g	44.73	-60.32	42.64	73.88	145
g00b	47.59	-49.07	15.74	51.54	162
g25b	49.97	-39.69	-6.71	40.27	190
g50b	51.85	-32.32	-24.34	40.48	217
g75b	46.92	-17.28	-36.01	39.96	244
b00r	37.91	1.28	-42.34	42.37	272
b25r	23.81	30.38	-52.25	60.45	300
b50r	29.52	69.06	-42.13	80.9	329
b75r	36.48	71.47	-3.68	71.57	357





Ein und Ausgabe: Farbmetrisches Drucker-Reflektiv-System FRS09\_92a für relativen CIELAB-Buntton  $h^* = lab^*h^* = h_{ab}/360 = 300/360 = 0.834$   $u^* = b25r$

Daten für jede Farbe:

$lab^*ch^*$  und  $lab^*icu^*$

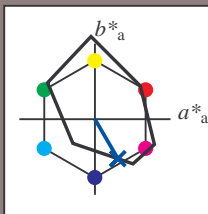
Elementar-Bunttontext:

$u^* = b25r$

Kontrastreduzierungsfaktor:

$c_R = 1.0$

Dreiecks-Helligkeit  $i^*$



FRS09\_92a; adaptierte CIELAB-Daten

	$L^*=L_a^*$	$a_a^*$	$b_a^*$	$C^*_{ab,a}$	$h^*_{ab,a}$
O <sub>Ma</sub>	35.06	60.0	44.0	74.4	36
Y <sub>Ma</sub>	83.77	-5.16	109.32	109.44	93
L <sub>Ma</sub>	44.13	-62.66	48.24	79.09	142
C <sub>Ma</sub>	52.66	-29.13	-31.98	43.27	228
V <sub>Ma</sub>	14.15	50.3	-59.03	77.57	310
M <sub>Ma</sub>	37.37	78.64	-33.49	85.48	337
N <sub>Ma</sub>	8.58	0.0	0.0	0.0	0
W <sub>Ma</sub>	92.02	0.0	0.0	0.0	0
R <sub>CIE</sub>	39.92	58.74	27.99	65.07	25
J <sub>CIE</sub>	81.26	-2.88	71.56	71.62	92
G <sub>CIE</sub>	52.23	-42.41	13.6	44.55	162
B <sub>CIE</sub>	30.57	1.41	-46.46	46.49	272

Daten für Maximalfarbe (Ma):

$LAB^*LAB^*_{Ma}$ : 24 30 -51

$LAB^*LCH^*_{Ma}$ : 24 60 300

$lab^*rgb^*_{Ma}$ : 0.5 0.0 1.0

$lab^*olv^*_{Ma}$ : 0.0 0.25 1.0

Dreiecks-Helligkeit  $i^*$

%Umfang

$u^*_{rel} = 109$

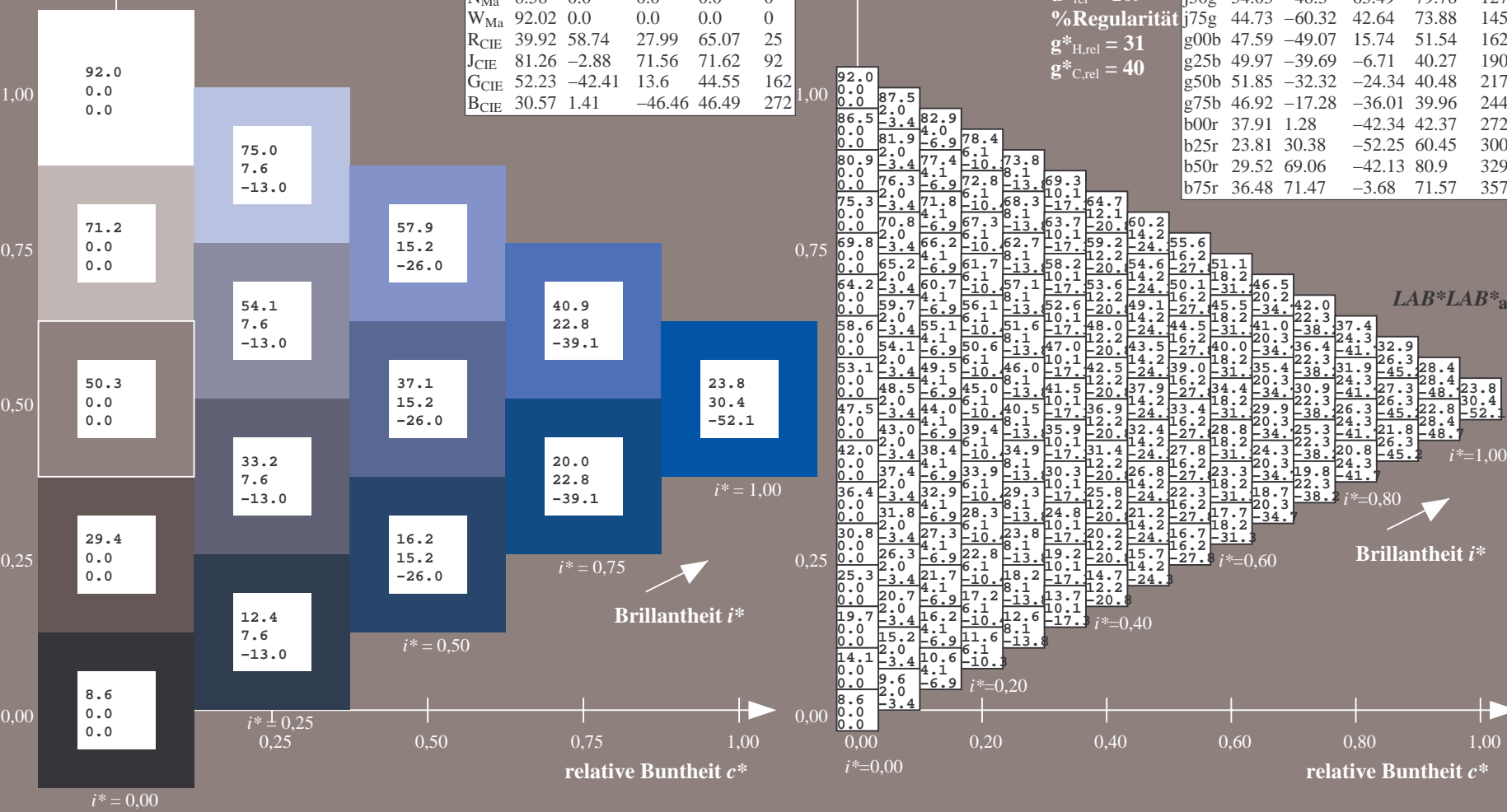
%Regularität

$g^*_{H,rel} = 31$

$g^*_{C,rel} = 40$

FRS09\_92a; adaptierte CIELAB-Daten

	$L^*=L_a^*$	$a_a^*$	$b_a^*$	$C^*_{ab,a}$	$h^*_{ab,a}$
r00j	35.47	63.32	30.17	70.15	25
r25j	39.12	54.56	49.45	73.64	42
r50j	50.64	39.15	64.89	75.79	59
r75j	64.01	21.26	82.83	85.52	76
j00g	83.18	-4.37	108.53	108.62	92
j25g	66.73	-29.88	83.06	88.28	110
j50g	54.03	-48.3	63.49	79.78	127
j75g	44.73	-60.32	42.64	73.88	145
g00b	47.59	-49.07	15.74	51.54	162
g25b	49.97	-39.69	-6.71	40.27	190
g50b	51.85	-32.32	-24.34	40.48	217
g75b	46.92	-17.28	-36.01	39.96	244
b00r	37.91	1.28	-42.34	42.37	272
b25r	23.81	30.38	-52.25	60.45	300
b50r	29.52	69.06	-42.13	80.9	329
b75r	36.48	71.47	-3.68	71.57	357



Ein und Ausgabe: Farbmetrisches Drucker-Reflektiv-System FRS09\_92a für relativen CIELAB-Buntton  $h^* = lab^*h^* = h_{ab}/360 = 329/360 = 0.913$   $u^* = b50r$

Daten für jede Farbe:

$lab^*ch^*$  und  $lab^*icu^*$

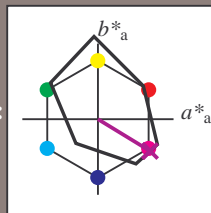
Elementar-Bunttontext:

$u^* = b50r$

Kontrastreduzierungsfaktor:

$c_R = 1.0$

Dreiecks-Helligkeit  $i^*$



FRS09\_92a; adaptierte CIELAB-Daten

	$L^*=L_a^*$	$a_a^*$	$b_a^*$	$C^*_{ab,a}$	$h^*_{ab,a}$
O <sub>Ma</sub>	35.06	60.0	44.0	74.4	36
Y <sub>Ma</sub>	83.77	-5.16	109.32	109.44	93
L <sub>Ma</sub>	44.13	-62.66	48.24	79.09	142
C <sub>Ma</sub>	52.66	-29.13	-31.98	43.27	228
V <sub>Ma</sub>	14.15	50.3	-59.03	77.57	310
M <sub>Ma</sub>	37.37	78.64	-33.49	85.48	337
N <sub>Ma</sub>	8.58	0.0	0.0	0.0	0
W <sub>Ma</sub>	92.02	0.0	0.0	0.0	0
R <sub>CIE</sub>	39.92	58.74	27.99	65.07	25
J <sub>CIE</sub>	81.26	-2.88	71.56	71.62	92
G <sub>CIE</sub>	52.23	-42.41	13.6	44.55	162
B <sub>CIE</sub>	30.57	1.41	-46.46	46.49	272

Daten für Maximalfarbe (Ma):

$LAB^*LAB^*_{Ma}$ : 30 69 -41

$LAB^*LCH^*_{Ma}$ : 30 81 329

$lab^*rgb^*_{Ma}$ : 1.0 0.0 1.0

$lab^*olv^*_{Ma}$ : 0.66 0.0 1.0

Dreiecks-Helligkeit  $i^*$

%Umfang

$u^*_{rel} = 109$

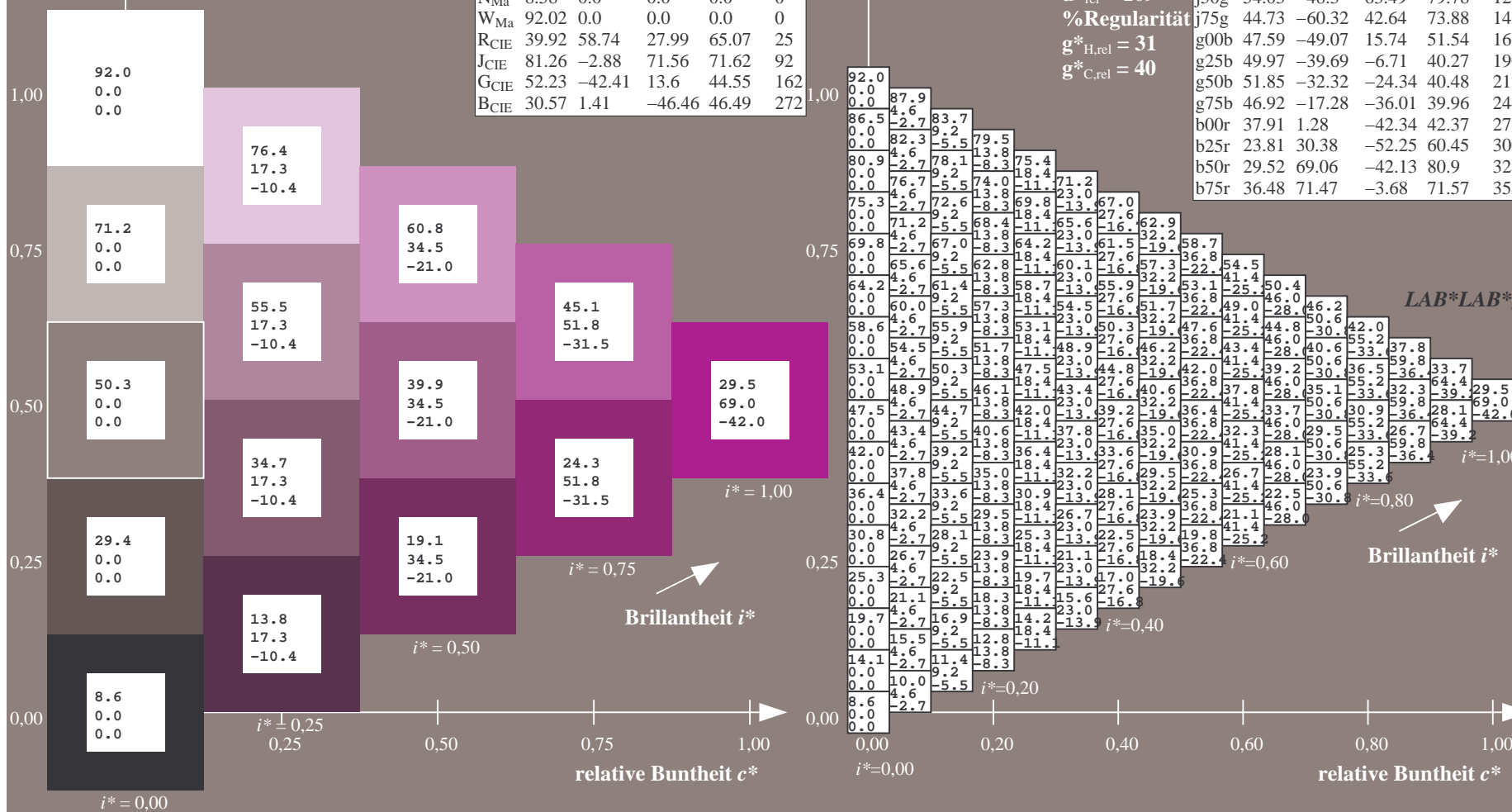
%Regularität

$g^*_{H,rel} = 31$

$g^*_{C,rel} = 40$

FRS09\_92a; adaptierte CIELAB-Daten

	$L^*=L_a^*$	$a_a^*$	$b_a^*$	$C^*_{ab,a}$	$h^*_{ab,a}$
r00j	35.47	63.32	30.17	70.15	25
r25j	39.12	54.56	49.45	73.64	42
r50j	50.64	39.15	64.89	75.79	59
r75j	64.01	21.26	82.83	85.52	76
j00g	83.18	-4.37	108.53	108.62	92
j25g	66.73	-29.88	83.06	88.28	110
j50g	54.03	-48.3	63.49	79.78	127
j75g	44.73	-60.32	42.64	73.88	145
g00b	47.59	-49.07	15.74	51.54	162
g25b	49.97	-39.69	-6.71	40.27	190
g50b	51.85	-32.32	-24.34	40.48	217
g75b	46.92	-17.28	-36.01	39.96	244
b00r	37.91	1.28	-42.34	42.37	272
b25r	23.81	30.38	-52.25	60.45	300
b50r	29.52	69.06	-42.13	80.9	329
b75r	36.48	71.47	-3.68	71.57	357



100



r00j	35.47	63.32	30.17	70.15	25
r25j	39.12	54.56	49.45	73.64	42
r50j	50.64	39.15	64.89	75.79	59
r75j	64.01	21.26	82.83	85.52	76
j00g	83.18	-4.37	108.53	108.62	92
j25g	66.73	-29.88	83.06	88.28	110
j50g	54.03	-48.3	63.49	79.78	127
j75g	44.73	-60.32	42.64	73.88	145
g00b	47.59	-49.07	15.74	51.54	162
g25b	49.97	-39.69	-6.71	40.27	190
g50b	51.85	-32.32	-24.34	40.48	217
g75b	46.92	-17.28	-36.01	39.96	244
b00r	37.91	1.28	-42.34	42.37	272
b25r	23.81	30.38	-52.25	60.45	300
b50r	29.52	69.06	-42.13	80.9	329
b75r	36.48	71.47	-3.68	71.57	357



Eingabe:  $000n / w / nnn0 / www \text{ set} \dots$

BAM-Registrierung: 20080701-Dg96/10L/L96G00NA.PS/ .TXTBAM-Material: Code=rhdata  
- Anwendung für Beurteilung und Messung von Drucker- oder Monitorsystemen

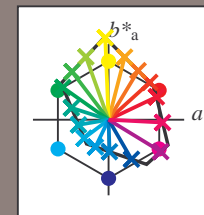
Siehe ähnliche Dateien: <http://www.ps.bam.de/Dg96/>; [www.ps.bam.de/Dg96/10L/L96G00NA.PS/.TXT](http://www.ps.bam.de/Dg96/10L/L96G00NA.PS/.TXT)  
Technische Information: <http://www.ps.bam.de/Version 2.1, io=1,1, ColSpX=0>

	A	B	C	D	E	F	G	H	I	J	K	L	M	N	O	P	Q	R	S	T	U	V	W	X	Y	Z	a	b	c	d	e	f	g	h	i	j	k	LAB*LAB*a
01	8.6	13.0	17.5	21.9	26.4	30.8	35.2	39.7	44.1	11.9	18.0	22.4	26.9	31.3	35.8	40.2	44.6	49.1	15.2	21.3	27.4	31.8	36.3	40.7	45.2	49.6	54.0	58.4	62.8	67.3	71.7	76.2	80.6	85.1	89.5	93.9	98.4	102.8
	0.0	-7.7	-15.6	-23.4	-31.2	-39.1	-46.9	-54.7	-62.6	-1.5	-8.5	-16.2	-24.0	-31.9	-39.7	-47.5	-55.4	-63.3	6.9	-1.2	-9.0	-16.9	-24.7	-32.5	-40.4	-48.2	-56.0	-63.8	-71.6	-79.5	-87.3	-95.1	-102.9	-110.7	-118.5	-126.3	-134.1	
	0.0	6.0	12.1	18.1	24.1	30.1	36.2	42.2	48.2	5.5	13.7	19.7	25.7	31.7	37.8	43.8	49.8	55.9	11.0	19.2	27.3	33.3	39.4	45.4	51.4	57.5	63.5	69.5	75.5	81.5	87.5	93.5	99.5	105.5	111.5	117.5		
02	9.3	14.1	18.5	23.0	27.4	31.9	36.3	40.8	45.2	12.2	19.0	23.5	27.9	32.3	36.8	41.2	45.7	50.1	15.5	22.3	28.4	32.9	37.3	41.7	46.2	50.6	55.0	59.4	63.8	68.2	72.6	77.0	81.4	85.8	90.2	94.6	99.0	
	6.3	-3.5	-11.4	-19.2	-27.0	-34.9	-42.7	-50.5	-58.4	0.0	-7.7	-15.6	-23.4	-31.2	-39.1	-46.9	-54.7	-62.6	7.5	-0.5	-8.4	-16.2	-24.0	-31.9	-39.7	-47.5	-55.3	-63.1	-70.9	-78.7	-86.5	-94.3	-102.1	-109.9	-117.7	-125.5		
	-7.3	-3.9	2.0	8.1	14.1	20.1	26.2	32.2	38.2	-4.1	0.0	6.0	12.0	18.1	24.1	30.2	36.2	42.2	1.3	5.5	13.7	19.7	25.7	31.8	37.8	43.8	49.8	-3.9	0.0	5.5	11.0	16.5	22.0	27.5	33.0			
03	10.0	14.8	19.6	24.0	28.5	32.9	37.3	41.8	46.3	12.9	19.7	24.5	29.0	33.4	37.9	42.3	46.7	51.2	15.8	22.6	29.4	33.9	38.4	42.8	47.2	51.7	56.1	60.5	64.9	69.3	73.7	78.1	82.5	86.9	91.3	95.7		
	12.6	2.6	-7.2	-15.0	-22.8	-30.7	-38.5	-46.3	-54.2	16.3	-3.5	-11.4	-19.2	-27.0	-34.9	-42.7	-50.5	-58.4	9.8	0.0	-7.7	-15.6	-23.4	-31.2	-39.1	-46.9	-54.7	-62.5	-70.3	-78.1	-85.9	-93.7	-101.5	-109.3	-117.1			
	-14.7	-11.3	-7.9	-1.9	4.1	10.1	16.1	22.2	28.2	-11.5	-7.3	-3.9	2.0	8.1	14.1	20.1	26.2	32.2	-8.3	-4.1	0.0	6.0	12.1	18.1	24.1	30.2	36.2	-7.9	-3.9	0.0	5.5	11.0	16.5	22.0	27.5			
04	10.7	15.5	20.3	25.1	29.6	34.0	38.4	42.9	47.3	13.6	20.4	25.2	30.0	34.5	38.9	43.4	47.8	52.2	16.5	23.3	30.1	34.9	39.4	43.8	48.3	52.7	57.2	61.6	66.0	70.4	74.8	79.2	83.6	88.0	92.4			
	18.9	8.9	-0.9	-10.8	-18.7	-26.5	-34.3	-42.2	-50.2	12.6	2.6	-7.2	-15.0	-22.9	-30.7	-38.5	-46.3	-54.2	16.1	6.3	-3.5	-11.4	-19.2	-27.0	-34.9	-42.7	-50.6	-58.4	-66.2	-74.0	-81.8	-89.6	-97.4	-105.2	-113.0			
	12.0	2.0	-7.3	-15.1	-22.9	-30.7	-38.5	-46.3	-54.1	19.2	2.4	-7.2	-15.0	-22.8	-30.6	-38.4	-46.2	-54.0	12.1	14.3	22.1	29.9	37.7	45.5	53.3	61.1	68.9	76.7	84.5	92.3	100.1	107.9	115.7	123.5	131.3			
05	11.6	16.2	21.0	25.8	30.6	35.3	39.5	44.0	48.4	14.4	21.3	26.1	30.9	35.7	40.4	44.8	49.3	53.7	17.2	24.0	30.8	35.6	40.4	45.2	50.0	54.8	59.6	64.4	69.2	74.0	78.8	83.6	88.4	93.2	98.0			
	25.1	15.2	5.3	-4.5	-14.5	-22.3	-30.1	-38.0	-45.8	27.8	18.9	8.9	-0.9	-10.8	-18.7	-26.5	-34.3	-42.2	22.2	12.6	2.6	-7.2	-15.0	-22.9	-30.7	-38.5	-46.3	-54.1	-61.9	-69.7	-77.5	-85.3	-93.1	-100.9	-108.7			
	-29.4	-26.0	-22.7	-19.3	-15.9	-9.9	-3.8	2.1	8.1	-26.2	-22.0	-18.7	-15.3	-11.9	-5.9	0.1	6.1	12.1	-23.0	-18.8	-14.6	-10.4	-6.2	-2.0	2.2	8.2	14.2	20.2	26.2	32.2	38.2	44.2	50.2	56.2	62.2			
06	12.1	16.9	21.7	26.5	31.3	36.1	40.9	45.6	49.5	15.0	21.8	26.6	31.4	36.2	41.1	45.5	49.9	54.4	17.9	24.7	31.5	36.3	41.2	46.0	50.4	54.9	59.3	63.7	68.1	72.5	76.9	81.3	85.7	90.1	94.5			
	31.4	21.5	11.6	1.7	-8.2	-18.1	-25.9	-33.8	-41.6	13.5	2.5	-15.2	-23.3	-31.2	-39.1	-46.9	-54.7	-62.5	17.8	18.9	8.9	-0.9	-10.8	-18.7	-26.5	-34.3	-42.1	-50.0	-57.8	-65.6	-73.4	-81.2	-89.0	-96.8	-104.6			
	-36.8	-33.4	-30.0	-26.7	-23.3	-19.9	-13.9	-7.8	-1.8	-33.6	-29.4	-26.0	-22.7	-19.3	-15.9	-9.9	-3.8	2.1	-30.4	-26.2	-22.0	-18.7	-15.3	-11.9	-5.9	0.1	6.1	-19.9	-15.9	-11.9	-7.9	-3.9	0.0	5.5	11.0			
07	12.8	17.6	22.4	27.2	32.0	36.8	41.6	46.5	50.5	15.7	22.5	27.3	32.1	36.9	41.7	46.6	51.0	55.4	18.6	25.4	32.2	37.0	41.9	46.7	51.5	55.9	60.3	64.7	69.1	73.5	77.9	82.3	86.7	91.1	95.5			
	27.7	27.8	17.9	7.9	-1.9	-11.8	-21.8	-29.6	-37.4	41.3	31.4	21.5	11.6	1.6	-8.2	-18.1	-25.9	-33.8	33.4	23.5	13.6	-3.5	-11.4	-19.2	-27.0	-34.9	-42.7	-50.5	-58.3	-66.1	-73.9	-81.7	-89.5	-97.3	-105.1			
	-44.2	-40.8	-37.4	-34.0	-30.7	-27.3	-23.9	-17.9	-11.8	-41.0	-36.8	-33.4	-30.0	-26.7	-23.3	-19.9	-13.9	-7.8	-37.8	-33.6	-29.4	-26.0	-22.7	-19.3	-15.9	-9.9	-3.8	-23.9	-19.9	-15.9	-11.9	-7.9	-3.9	0.0	5.5			
08	13.5	18.3	23.1	27.9	32.7	37.5	42.3	47.2	51.6	16.4	23.2	28.0	32.8	37.6	42.4	47.3	52.1	56.5	19.3	26.1	32.9	37.7	42.5	47.4	52.2	57.0	61.4	65.8	70.2	74.6	79.0	83.4	87.8	92.2	96.6			
	40.4	34.1	24.2	14.2	4.3	-5.5	-15.5	-25.4	-33.2	16.7	7.9	-1.9	-11.8	-21.8	-29.6	-37.4	-45.2	-53.0	14.3	24.5	11.6	1.6	-8.2	-18.1	-25.9	-33.7	-41.5	-49.3	-57.1	-64.9	-72.7	-80.5	-88.3	-96.1				
	-51.6	-48.2	-44.8	-41.4	-38.0	-34.6	-31.3	-27.9	-21.9	-48.4	-44.2	-40.8	-37.4	-34.0	-30.7	-27.3	-23.9	-17.9	-45.2	-41.0	-36.8	-33.4	-30.0	-26.7	-23.3	-19.9	-13.9	-7.9	-23.9	-19.9	-15.9	-11.9	-7.9	-3.9	0.0			
09	14.2	19.0	23.8	28.6	33.4	38.2	43.0	47.8	52.7	17.7	24.5	29.3	34.1	38.9	43.7	48.5	53.3	58.1	19.6	26.4	33.2	38.0	42.8	47.6	52.4	57.2	62.0	66.8	71.6	76.4	81.2	86.0	90.8	95.6				
	50.3	40.4	30.4	20.5	10.6	0.6	-9.2	-19.2	-29.3	14.8	4.0	34.1	24.1	14.2	4.3	-5.5	-15.5	-25.4	47.6	37.7	27.8	17.9	7.9	-1.9	-11.8	-21.8	-29.6	-37.4	-45.2	-53.0	-60.8	-68.6	-76.4	-84.2				
	-58.9	-55.6	-52.2	-48.8	-45.4	-42.0	-38.6	-35.3	-31.9	-25.7	-53.6	-49.4	-46.0	-42.6	-39.2	-35.8	-32.4	-29.0	-52.5	-48.3	-44.1	-40.0	-35.8	-31.6	-27.4	-23.2	-19.0	-14.8	-10.6	-6.4	-2.2	2.0	7.8	13.6				
10	14.8	19.6	24.4	29.2	34.0	38.8	43.6	48.4	53.2	18.4	25.2	30.0	34.8	39.6	44.4	49.2	54.0	58.8	19.8	26.6	33.4	38.2	43.0	47.8	52.6	57.4	62.2	67.0	71.8	76.6	81.4	86.2	91.0	95.8				
	22.5	14.8	5.8	-4.2	-14.2	-22.0	-29.8	-37.6	-45.4	13.8	2.6	-7.2	-15.0	-22.8	-30.6	-38.4	-46.2	-54.0	12.1	14.3	22.1	29.9	37.7	45.5	53.3	61.1	68.9	76.7	84.5	92.3	100.1	107.9	115.7	123.5				
	16.5	24.7	32.8	41.0	47.0	53.0	59.1	65.1	71.1	22.2	30.2	38.2	46.2	54.2	62.2	70.2	78.2	86.2	35.7	32.3	28.9	25.5	22.1	18.7	15.3	11.9	8.5	5.1	1.7	-1.7	-5.1	-9.5	-13.9					
11	18.8	25.6	31.7	37.8	42.3	46.7	51.1	55.6	60.0	22.1	28.9	35.0	41.1	47.2	53.2	59.3	65.4	71.5	25.4	32.3	38.4	44.5	50.6	56.6	61.0	65.5	69.9	74.3	7									



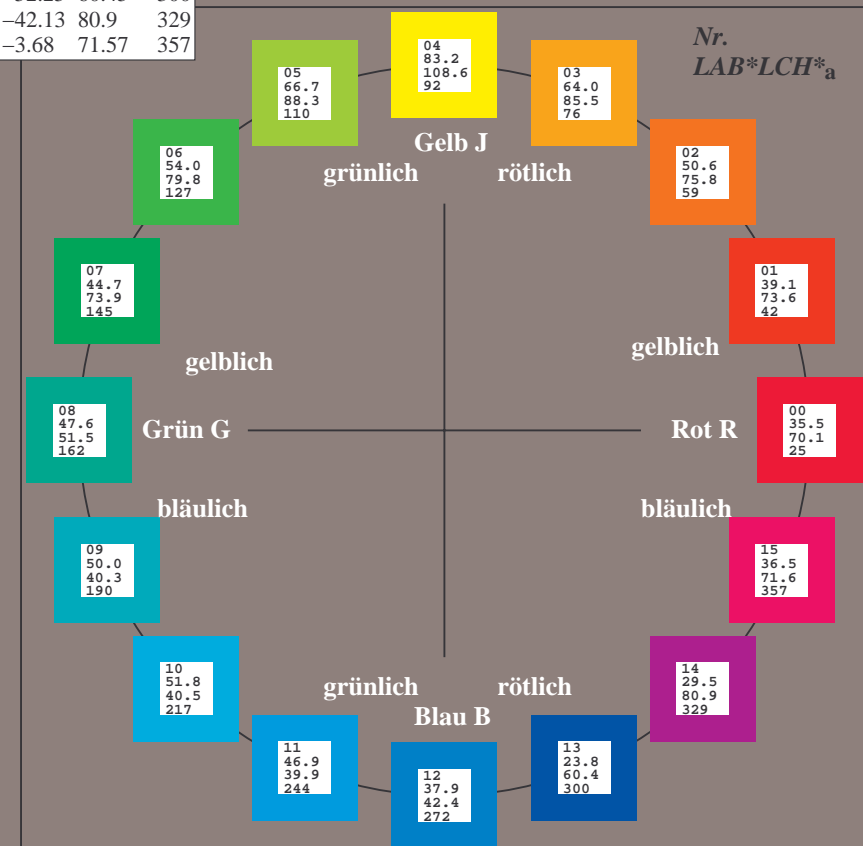
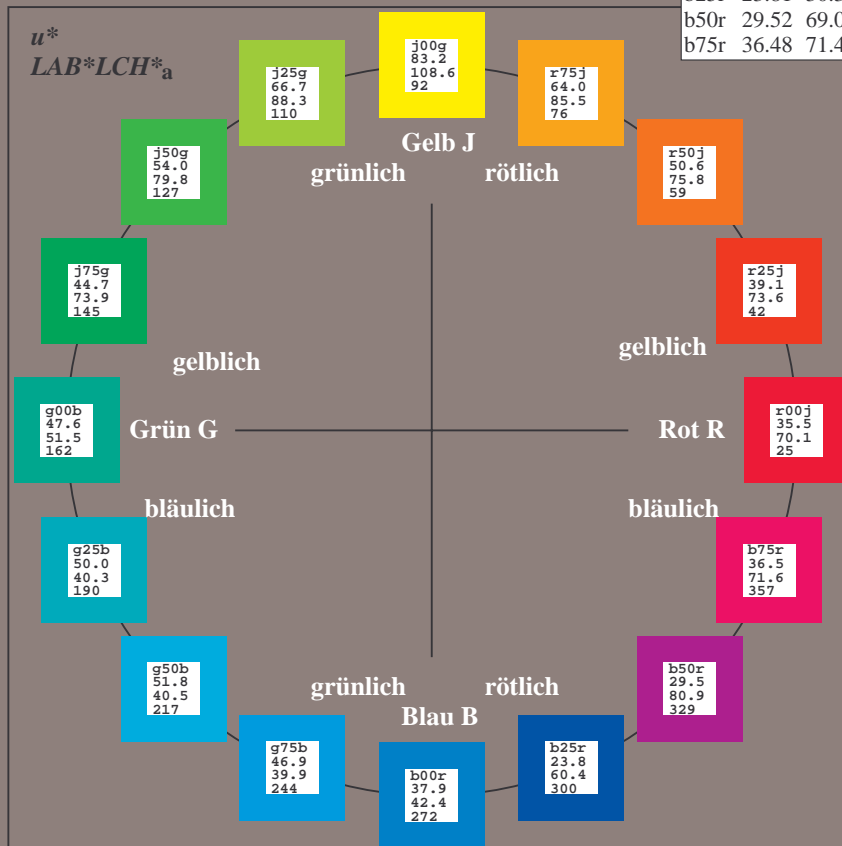
Ein und Ausgabe:  
Farbmetrisches Drucker-Reflektiv-System FRS09\_92a  
Daten für jede Farbe:  
*lab\*<sub>1</sub>ch\* und lab\*<sub>1</sub>icu\**  
Elementar-Bunttontext:  
*u\* = 16 Buntttöne r00j, r25j, ..., b75r*  
Kontrastreduzierungsfaktor:  
 $c_R = 1.0$

FRS09_92a; adaptierte CIELAB-Daten					
	$L^*=L^*_a$	$a^*_a$	$b^*_a$	$C^*_{ab,a}$	$h^*_{ab,a}$
r00j	35.47	63.32	30.17	70.15	25
r25j	39.12	54.56	49.45	73.64	42
r50j	50.64	39.15	64.89	75.79	59
r75j	64.01	21.26	82.83	85.52	76
j00g	83.18	-4.37	108.53	108.62	92
j25g	66.73	-29.88	83.06	88.28	110
j50g	54.03	-48.3	63.49	79.78	127
j75g	44.73	-60.32	42.64	73.88	145
g00b	47.59	-49.07	15.74	51.54	162
g25b	49.97	-39.69	-6.71	40.27	190
g50b	51.85	-32.32	-24.34	40.48	217
g75b	46.92	-17.28	-36.01	39.96	244
b00r	37.91	1.28	-42.34	42.37	272
b25r	23.81	30.38	-52.25	60.45	300
b50r	29.52	69.06	-42.13	80.9	329
b75r	36.48	71.47	-3.68	71.57	357



%Umfang  
 $u^*_{rel} = 109$   
%Regularität  
 $g^*_{H,rel} = 31$   
 $g^*_{C,rel} = 40$

FRS09_92a; adaptierte CIELAB-Daten					
	$L^*=L^*_a$	$a^*_a$	$b^*_a$	$C^*_{ab,a}$	$h^*_{ab,a}$
OMa	35.06	60.0	44.0	74.4	36
YMa	83.77	-5.16	109.32	109.44	93
LMa	44.13	-62.66	48.24	79.09	142
CMa	52.66	-29.13	-31.98	43.27	228
VMa	14.15	50.3	-59.03	77.57	310
MMa	37.37	78.64	-33.49	85.48	337
NMa	8.58	0.0	0.0	0.0	0
WMa	92.02	0.0	0.0	0.0	0
RCIE	39.92	58.74	27.99	65.07	25
JCIE	81.26	-2.88	71.56	71.62	92
GCIE	52.23	-42.41	13.6	44.55	162
BCIE	30.57	1.41	-46.46	46.49	272





Ein und Ausgabe: Farbmetrisches Drucker-Reflektiv-System FRS09\_92a für relativen CIELAB-Buntton  $h^* = lab^*h^* = h_{ab}/360 = 25/360 = 0.071$

Daten für jede Farbe:

$lab^*tch^*$  und  $lab^*icu^*$

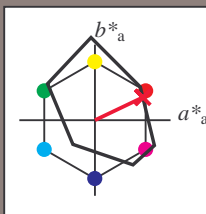
Elementar-Bunttontext:

$u^* = r00j$

Kontrastreduzierungsfaktor:

$c_R = 1.0$

Dreiecks-Helligkeit  $t^*$



FRS09\_92a; adaptierte CIELAB-Daten

	$L^*=L_a^*$	$a_a^*$	$b_a^*$	$C^*_{ab,a}$	$h^*_{ab,a}$
O <sub>Ma</sub>	35.06	60.0	44.0	74.4	36
Y <sub>Ma</sub>	83.77	-5.16	109.32	109.44	93
L <sub>Ma</sub>	44.13	-62.66	48.24	79.09	142
C <sub>Ma</sub>	52.66	-29.13	-31.98	43.27	228
V <sub>Ma</sub>	14.15	50.3	-59.03	77.57	310
M <sub>Ma</sub>	37.37	78.64	-33.49	85.48	337
N <sub>Ma</sub>	8.58	0.0	0.0	0.0	0
W <sub>Ma</sub>	92.02	0.0	0.0	0.0	0
R <sub>CIE</sub>	39.92	58.74	27.99	65.07	25
J <sub>CIE</sub>	81.26	-2.88	71.56	71.62	92
G <sub>CIE</sub>	52.23	-42.41	13.6	44.55	162
B <sub>CIE</sub>	30.57	1.41	-46.46	46.49	272

Daten für Maximalfarbe (Ma):

$LAB^*LAB^*_{Ma}$ : 35 63 30

$LAB^*LCH^*_{Ma}$ : 35 70 25

$lab^*rgb^*_{Ma}$ : 1.0 0.0 0.0

$lab^*olv^*_{Ma}$ : 1.0 0.0 0.18

Dreiecks-Helligkeit  $t^*$

%Umfang

$u^*_{rel} = 109$

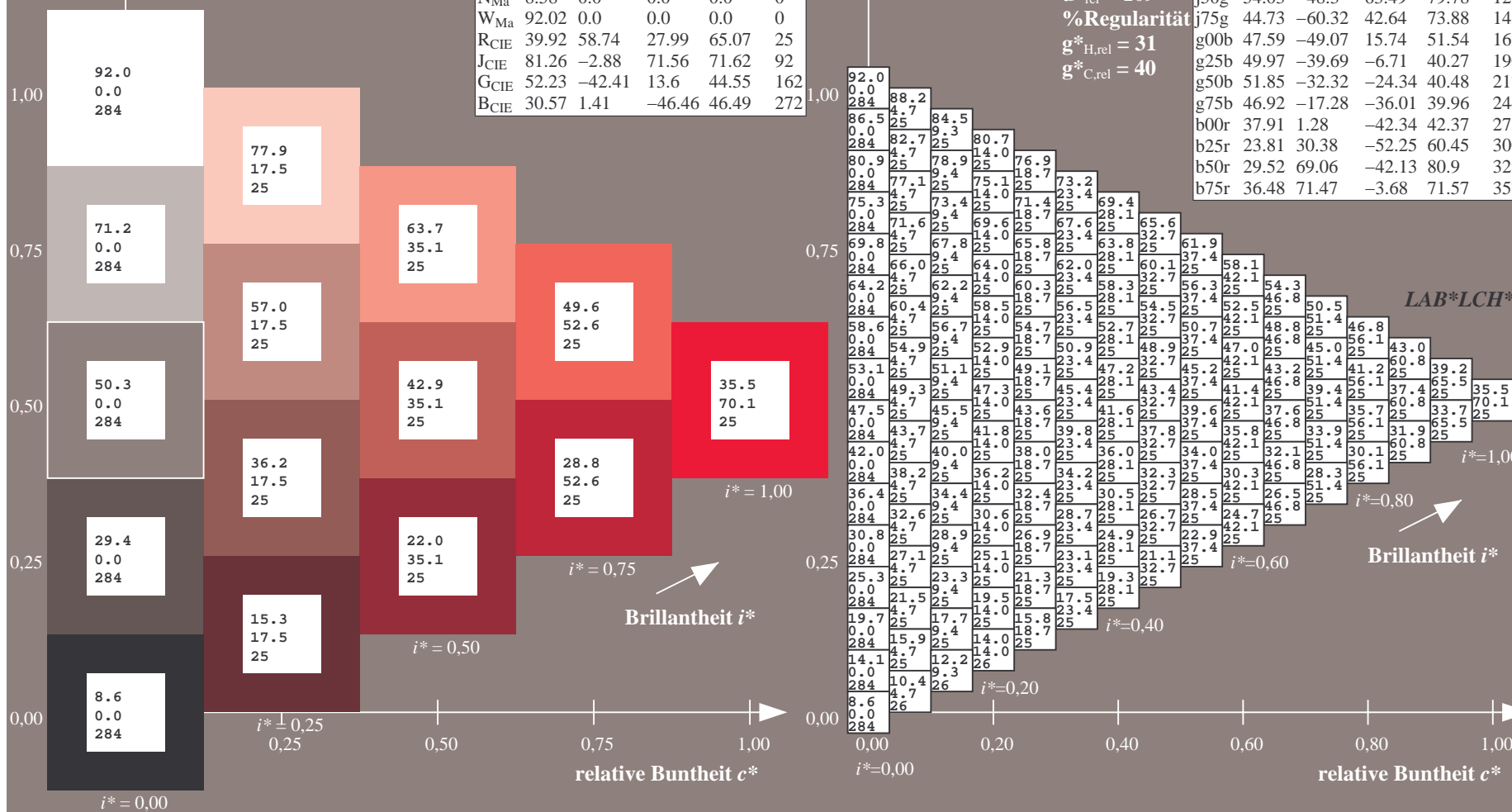
%Regularität

$g^*_{H,rel} = 31$

$g^*_{C,rel} = 40$

FRS09\_92a; adaptierte CIELAB-Daten

	$L^*=L_a^*$	$a_a^*$	$b_a^*$	$C^*_{ab,a}$	$h^*_{ab,a}$
r00j	35.47	63.32	30.17	70.15	25
r25j	39.12	54.56	49.45	73.64	42
r50j	50.64	39.15	64.89	75.79	59
r75j	64.01	21.26	82.83	85.52	76
j00g	83.18	-4.37	108.53	108.62	92
j25g	66.73	-29.88	83.06	88.28	110
j50g	54.03	-48.3	63.49	79.78	127
j75g	44.73	-60.32	42.64	73.88	145
g00b	47.59	-49.07	15.74	51.54	162
g25b	49.97	-39.69	-6.71	40.27	190
g50b	51.85	-32.32	-24.34	40.48	217
g75b	46.92	-17.28	-36.01	39.96	244
b00r	37.91	1.28	-42.34	42.37	272
b25r	23.81	30.38	-52.25	60.45	300
b50r	29.52	69.06	-42.13	80.9	329
b75r	36.48	71.47	-3.68	71.57	357



Ein und Ausgabe: Farbmetrisches Drucker-Reflektiv-System FRS09\_92a für relativen CIELAB-Buntton  $h^* = lab^*h^* = h_{ab}/360 = 42/360 = 0.117$   $u^* = r25j$

Daten für jede Farbe:

$lab^*ch^*$  und  $lab^*icu^*$

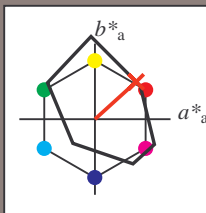
Elementar-Bunttontext:

$u^* = r25j$

Kontrastreduzierungsfaktor:

$c_R = 1.0$

Dreiecks-Helligkeit  $i^*$



FRS09\_92a; adaptierte CIELAB-Daten

	$L^*=L_a^*$	$a_a^*$	$b_a^*$	$C^*_{ab,a}$	$h^*_{ab,a}$
O <sub>Ma</sub>	35.06	60.0	44.0	74.4	36
Y <sub>Ma</sub>	83.77	-5.16	109.32	109.44	93
L <sub>Ma</sub>	44.13	-62.66	48.24	79.09	142
C <sub>Ma</sub>	52.66	-29.13	-31.98	43.27	228
V <sub>Ma</sub>	14.15	50.3	-59.03	77.57	310
M <sub>Ma</sub>	37.37	78.64	-33.49	85.48	337
N <sub>Ma</sub>	8.58	0.0	0.0	0.0	0
W <sub>Ma</sub>	92.02	0.0	0.0	0.0	0
R <sub>CIE</sub>	39.92	58.74	27.99	65.07	25
J <sub>CIE</sub>	81.26	-2.88	71.56	71.62	92
G <sub>CIE</sub>	52.23	-42.41	13.6	44.55	162
B <sub>CIE</sub>	30.57	1.41	-46.46	46.49	272

Daten für Maximalfarbe (Ma):

$LAB^*LAB^*_{Ma}$ : 39 55 49

$LAB^*LCH^*_{Ma}$ : 39 74 42

$lab^*rgb^*_{Ma}$ : 1.0 0.25 0.0

$lab^*olv^*_{Ma}$ : 1.0 0.08 0.0

Dreiecks-Helligkeit  $i^*$

%Umfang

$u^*_{rel} = 109$

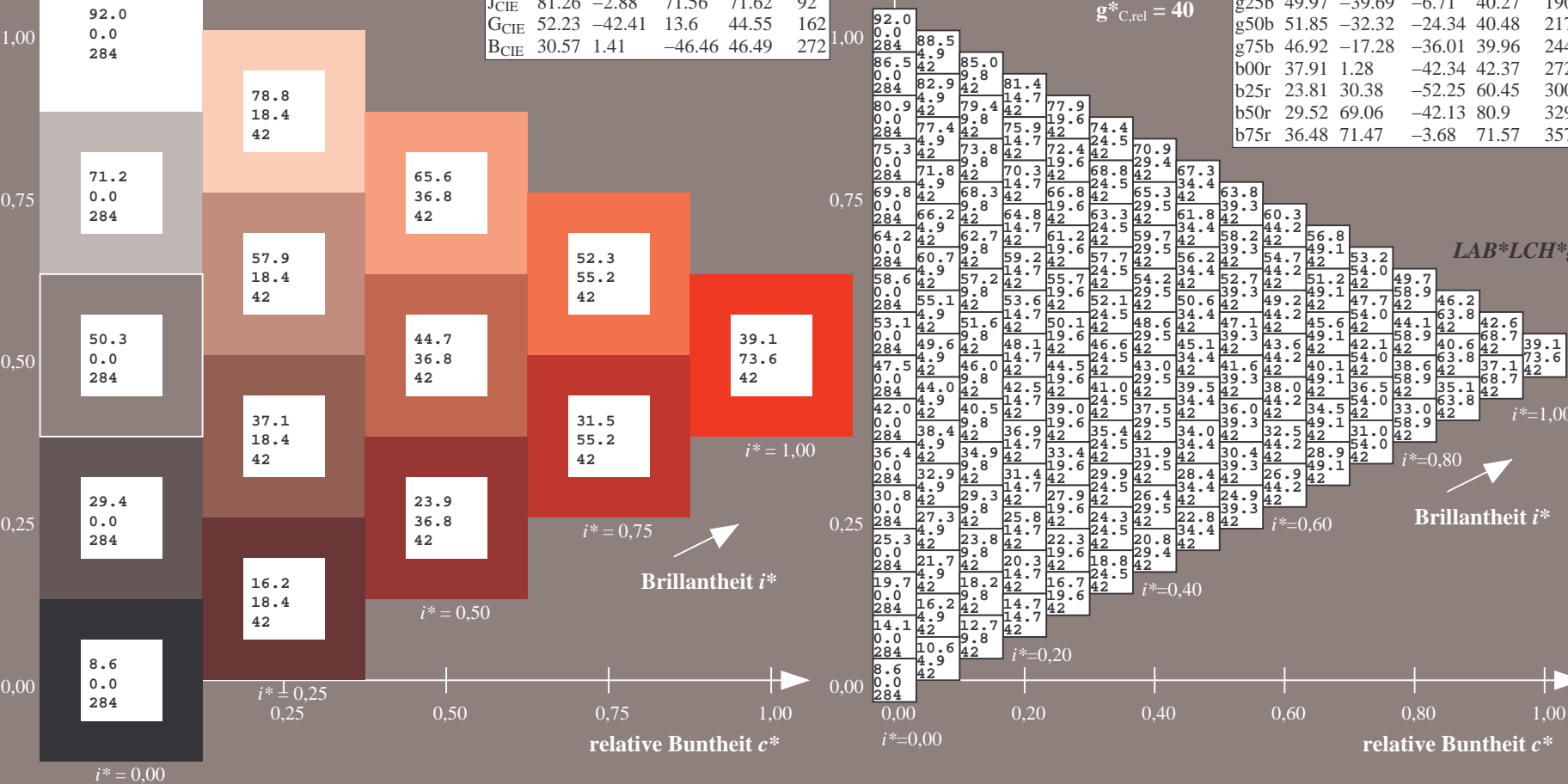
%Regularität

$g^*_{H,rel} = 31$

$g^*_{C,rel} = 40$

FRS09\_92a; adaptierte CIELAB-Daten

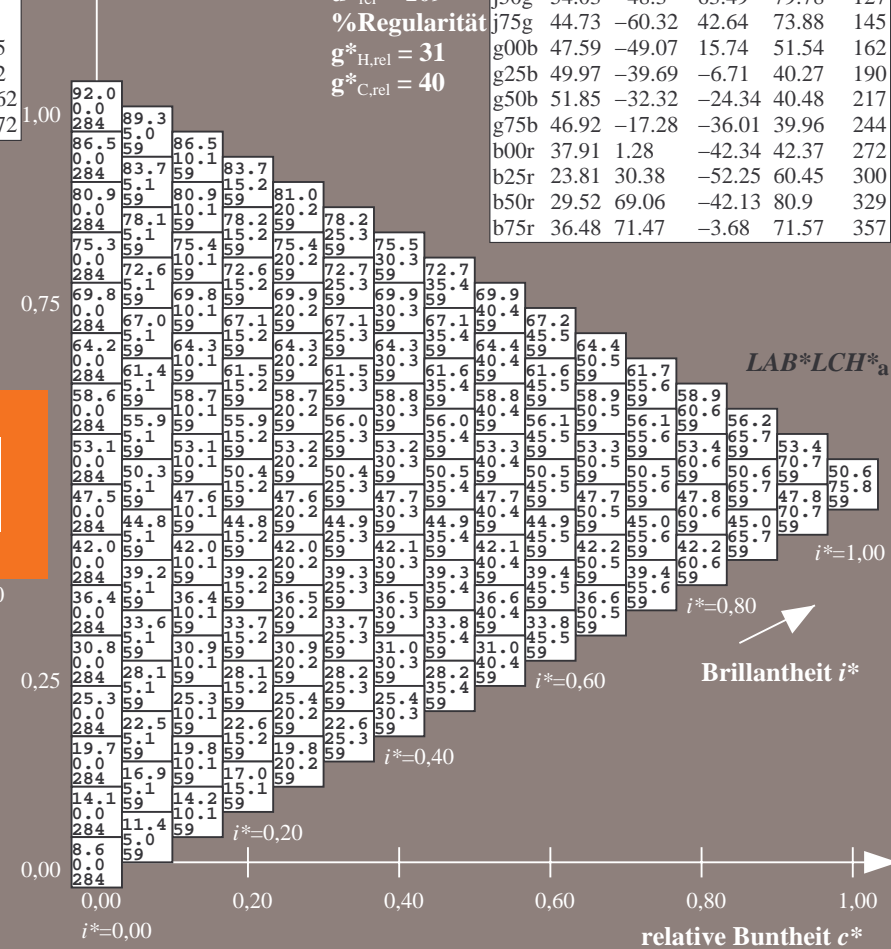
	$L^*=L_a^*$	$a_a^*$	$b_a^*$	$C^*_{ab,a}$	$h^*_{ab,a}$
r00j	35.47	63.32	30.17	70.15	25
r25j	39.12	54.56	49.45	73.64	42
r50j	50.64	39.15	64.89	75.79	59
r75j	64.01	21.26	82.83	85.52	76
j00g	83.18	-4.37	108.53	108.62	92
j25g	66.73	-29.88	83.06	88.28	110
j50g	54.03	-48.3	63.49	79.78	127
j75g	44.73	-60.32	42.64	73.88	145
g00b	47.59	-49.07	15.74	51.54	162
g25b	49.97	-39.69	-6.71	40.27	190
g50b	51.85	-32.32	-24.34	40.48	217
g75b	46.92	-17.28	-36.01	39.96	244
b00r	37.91	1.28	-42.34	42.37	272
b25r	23.81	30.38	-52.25	60.45	300
b50r	29.52	69.06	-42.13	80.9	329
b75r	36.48	71.47	-3.68	71.57	357



9



Figure 1 illustrates the relationship between relative Buntcheit  $c^*$  and Brillantheit  $i^*$ . The diagram shows a series of overlapping rectangular blocks, each representing a different color and labeled with its corresponding LAB and LCH values. The blocks are arranged in a descending staircase pattern from top-left to bottom-right. The top-left block is labeled "69.9, 40.4, 59" and "67.2, 45.5, 59". The bottom-right block is labeled "31.0, 40.4, 59" and "33.8, 45.5, 59". The blocks are labeled with "LAB\*LCH\*a" in the top right corner. A horizontal axis at the bottom is labeled "relative Buntcheit  $c^*$ " and has tick marks at 0.60, 0.80, and 1.00. An arrow points from the text "Brillantheit  $i^*$ " to the blocks, indicating the Brillantheit  $i^*$  values. The blocks are labeled with " $i^*=0.60$ ", " $i^*=0.80$ ", and " $i^*=1.00$ " at the bottom right corner.



Eingabe: 000n / w / nnn0 / www set...  
Ausgabe: ->cmyn5\* setcmykcolor

BAM-Registrierung: 20080701-Dg96/10L/L96G00NA.PS/.TXTBAM-Material: Code=rha4ta  
+ Anwendung für Beurteilung und Messung von Drucker- oder Monitorsystemen

Siehe ähnliche Dateien: <http://www.ps.bam.de/Dg96/>; [www.ps.bam.de/Dg.HTM](http://www.ps.bam.de/Dg.HTM)  
Technische Information: <http://www.ps.bam.de> Version 2.1, io=1, ColSpx=0

Ein und Ausgabe: Farbmetrisches Drucker-Reflektiv-System FRS09\_92a für relativen CIELAB-Buntton  $h^* = lab^*h^* = h_{ab}/360 = 76/360 = 0.21$

Daten für jede Farbe:

$lab^*ch^*$  und  $lab^*icu^*$

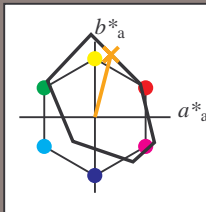
Elementar-Bunttontext:

$u^* = r75j$

Kontrastreduzierungsfaktor:

$c_R = 1.0$

Dreiecks-Helligkeit  $i^*$



FRS09\_92a; adaptierte CIELAB-Daten

	$L^*=L_a^*$	$a_a^*$	$b_a^*$	$C^*_{ab,a}$	$h^*_{ab,a}$
O <sub>Ma</sub>	35.06	60.0	44.0	74.4	36
Y <sub>Ma</sub>	83.77	-5.16	109.32	109.44	93
L <sub>Ma</sub>	44.13	-62.66	48.24	79.09	142
C <sub>Ma</sub>	52.66	-29.13	-31.98	43.27	228
V <sub>Ma</sub>	14.15	50.3	-59.03	77.57	310
M <sub>Ma</sub>	37.37	78.64	-33.49	85.48	337
N <sub>Ma</sub>	8.58	0.0	0.0	0.0	0
W <sub>Ma</sub>	92.02	0.0	0.0	0.0	0
R <sub>CIE</sub>	39.92	58.74	27.99	65.07	25
J <sub>CIE</sub>	81.26	-2.88	71.56	71.62	92
G <sub>CIE</sub>	52.23	-42.41	13.6	44.55	162
B <sub>CIE</sub>	30.57	1.41	-46.46	46.49	272

Daten für Maximalfarbe (Ma):

$LAB^*LAB^*_{Ma}$ : 64 21 83

$LAB^*LCH^*_{Ma}$ : 64 86 76

$lab^*rgb^*_{Ma}$ : 1.0 0.75 0.0

$lab^*olv^*_{Ma}$ : 1.0 0.59 0.0

Dreiecks-Helligkeit  $i^*$

%Umfang

$u^*_{rel} = 109$

%Regularität

$g^*_{H,rel} = 31$

$g^*_{C,rel} = 40$

FRS09\_92a; adaptierte CIELAB-Daten

	$L^*=L_a^*$	$a_a^*$	$b_a^*$	$C^*_{ab,a}$	$h^*_{ab,a}$
r00j	35.47	63.32	30.17	70.15	25
r25j	39.12	54.56	49.45	73.64	42
r50j	50.64	39.15	64.89	75.79	59
r75j	64.01	21.26	82.83	85.52	76
j00g	83.18	-4.37	108.53	108.62	92
j25g	66.73	-29.88	83.06	88.28	110
j50g	54.03	-48.3	63.49	79.78	127
j75g	44.73	-60.32	42.64	73.88	145
g00b	47.59	-49.07	15.74	51.54	162
g25b	49.97	-39.69	-6.71	40.27	190
g50b	51.85	-32.32	-24.34	40.48	217
g75b	46.92	-17.28	-36.01	39.96	244
b00r	37.91	1.28	-42.34	42.37	272
b25r	23.81	30.38	-52.25	60.45	300
b50r	29.52	69.06	-42.13	80.9	329
b75r	36.48	71.47	-3.68	71.57	357

$LAB^*LCH^*_{Ma}$

$i^* = 1.00$

Brillantheit  $i^*$

$i^* = 0.80$

$i^* = 0.60$

$i^* = 0.40$

$i^* = 0.20$

$i^* = 0.00$

relative Buntheit  $c^*$

relative Buntheit  $c^*$



Ein und Ausgabe: Farbmetrisches Drucker-Reflektiv-System FRS09\_92a für relativen CIELAB-Buntton  $h^* = lab^*h^* = h_{ab}/360 = 92/360 = 0.256$   $u^* = j00g$

Daten für jede Farbe:

$lab^*ch^*$  und  $lab^*icu^*$

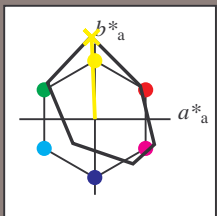
Elementar-Bunttontext:

$u^* = j00g$

Kontrastreduzierungsfaktor:

$c_R = 1.0$

Dreiecks-Helligkeit  $i^*$



FRS09\_92a; adaptierte CIELAB-Daten

	$L^*=L^*_a$	$a^*_a$	$b^*_a$	$C^*_{ab,a}$	$h^*_{ab,a}$
O <sub>Ma</sub>	35.06	60.0	44.0	74.4	36
Y <sub>Ma</sub>	83.77	-5.16	109.32	109.44	93
L <sub>Ma</sub>	44.13	-62.66	48.24	79.09	142
C <sub>Ma</sub>	52.66	-29.13	-31.98	43.27	228
V <sub>Ma</sub>	14.15	50.3	-59.03	77.57	310
M <sub>Ma</sub>	37.37	78.64	-33.49	85.48	337
N <sub>Ma</sub>	8.58	0.0	0.0	0.0	0
W <sub>Ma</sub>	92.02	0.0	0.0	0.0	0
R <sub>CIE</sub>	39.92	58.74	27.99	65.07	25
J <sub>CIE</sub>	81.26	-2.88	71.56	71.62	92
G <sub>CIE</sub>	52.23	-42.41	13.6	44.55	162
B <sub>CIE</sub>	30.57	1.41	-46.46	46.49	272

Daten für Maximalfarbe (Ma):

$LAB^*LAB^*_{Ma}$ : 83 -3 109

$LAB^*LCH^*_{Ma}$ : 83 109 92

$lab^*rgb^*_{Ma}$ : 1.0 1.0 0.0

$lab^*olv^*_{Ma}$ : 1.0 0.99 0.0

Dreiecks-Helligkeit  $i^*$

%Umfang

$u^*_{rel} = 109$

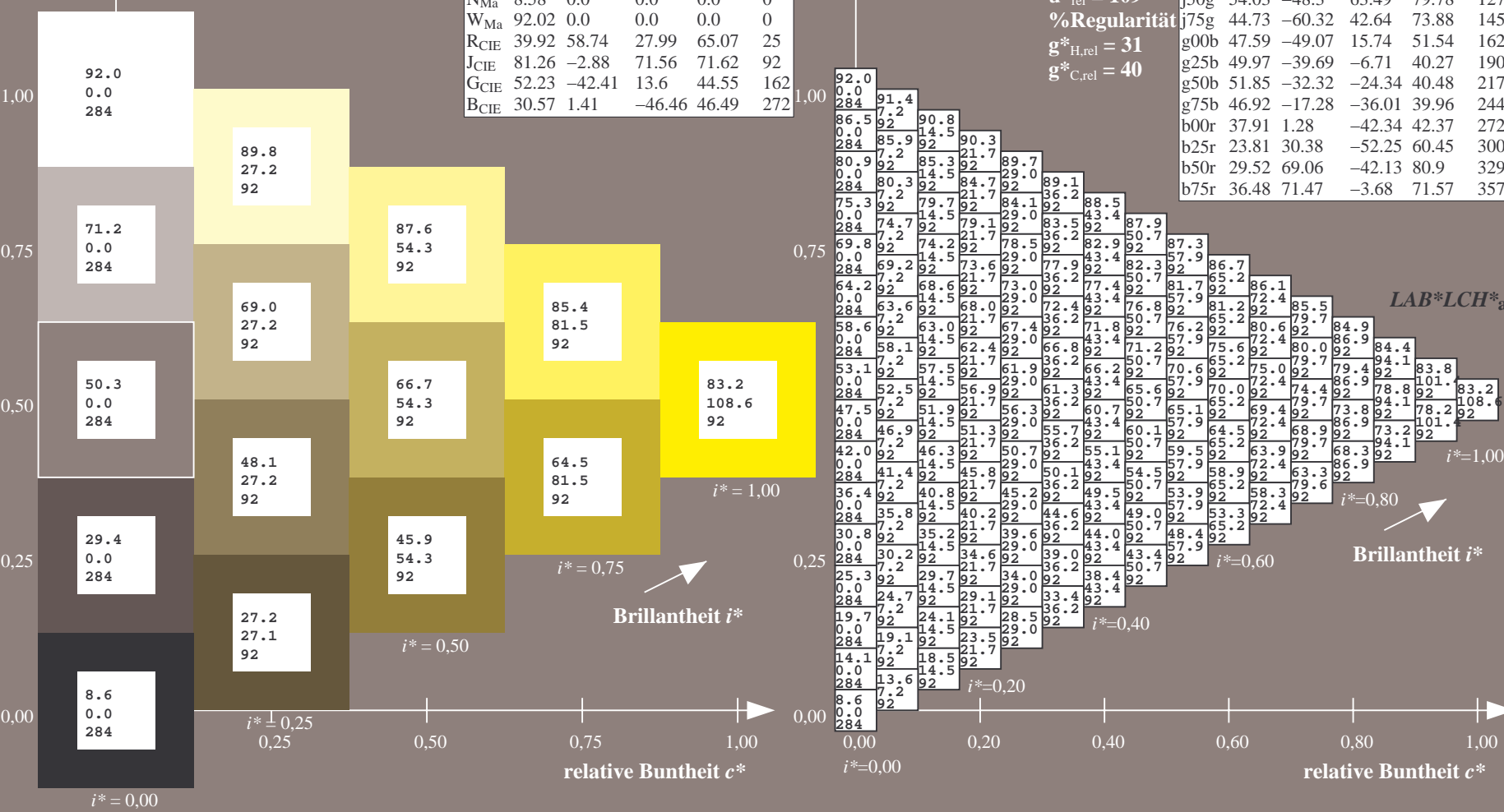
%Regularität

$g^*_{H,rel} = 31$

$g^*_{C,rel} = 40$

FRS09\_92a; adaptierte CIELAB-Daten

	$L^*=L^*_a$	$a^*_a$	$b^*_a$	$C^*_{ab,a}$	$h^*_{ab,a}$
r00j	35.47	63.32	30.17	70.15	25
r25j	39.12	54.56	49.45	73.64	42
r50j	50.64	39.15	64.89	75.79	59
r75j	64.01	21.26	82.83	85.52	76
j00g	83.18	-4.37	108.53	108.62	92
j25g	66.73	-29.88	83.06	88.28	110
j50g	54.03	-48.3	63.49	79.78	127
j75g	44.73	-60.32	42.64	73.88	145
g00b	47.59	-49.07	15.74	51.54	162
g25b	49.97	-39.69	-6.71	40.27	190
g50b	51.85	-32.32	-24.34	40.48	217
g75b	46.92	-17.28	-36.01	39.96	244
b00r	37.91	1.28	-42.34	42.37	272
b25r	23.81	30.38	-52.25	60.45	300
b50r	29.52	69.06	-42.13	80.9	329
b75r	36.48	71.47	-3.68	71.57	357





Ein und Ausgabe: Farbmetrisches Drucker-Reflektiv-System FRS09\_92a für relativen CIELAB-Buntton  $h^* = lab^*h^* = h_{ab}/360 = 110/360 = 0.305$   $u^* = j25g$

Daten für jede Farbe:

$lab^*tch^*$  und  $lab^*icu^*$

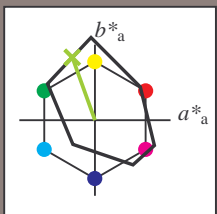
Elementar-Bunttontext:

$u^* = j25g$

Kontrastreduzierungsfaktor:

$c_R = 1.0$

Dreiecks-Helligkeit  $i^*$



FRS09\_92a; adaptierte CIELAB-Daten

	$L^*=L^*_a$	$a^*_a$	$b^*_a$	$C^*_{ab,a}$	$h^*_{ab,a}$
O <sub>Ma</sub>	35.06	60.0	44.0	74.4	36
Y <sub>Ma</sub>	83.77	-5.16	109.32	109.44	93
L <sub>Ma</sub>	44.13	-62.66	48.24	79.09	142
C <sub>Ma</sub>	52.66	-29.13	-31.98	43.27	228
V <sub>Ma</sub>	14.15	50.3	-59.03	77.57	310
M <sub>Ma</sub>	37.37	78.64	-33.49	85.48	337
N <sub>Ma</sub>	8.58	0.0	0.0	0.0	0
W <sub>Ma</sub>	92.02	0.0	0.0	0.0	0
R <sub>CIE</sub>	39.92	58.74	27.99	65.07	25
J <sub>CIE</sub>	81.26	-2.88	71.56	71.62	92
G <sub>CIE</sub>	52.23	-42.41	13.6	44.55	162
B <sub>CIE</sub>	30.57	1.41	-46.46	46.49	272

Daten für Maximalfarbe (Ma):

$LAB^*LAB^*_{Ma}$ : 67 -29 83

$LAB^*LCH^*_{Ma}$ : 67 88 110

$lab^*rgb^*_{Ma}$ : 0.75 1.0 0.0

$lab^*olv^*_{Ma}$ : 0.57 1.0 0.0

Dreiecks-Helligkeit  $i^*$

%Umfang

$u^*_{rel} = 109$

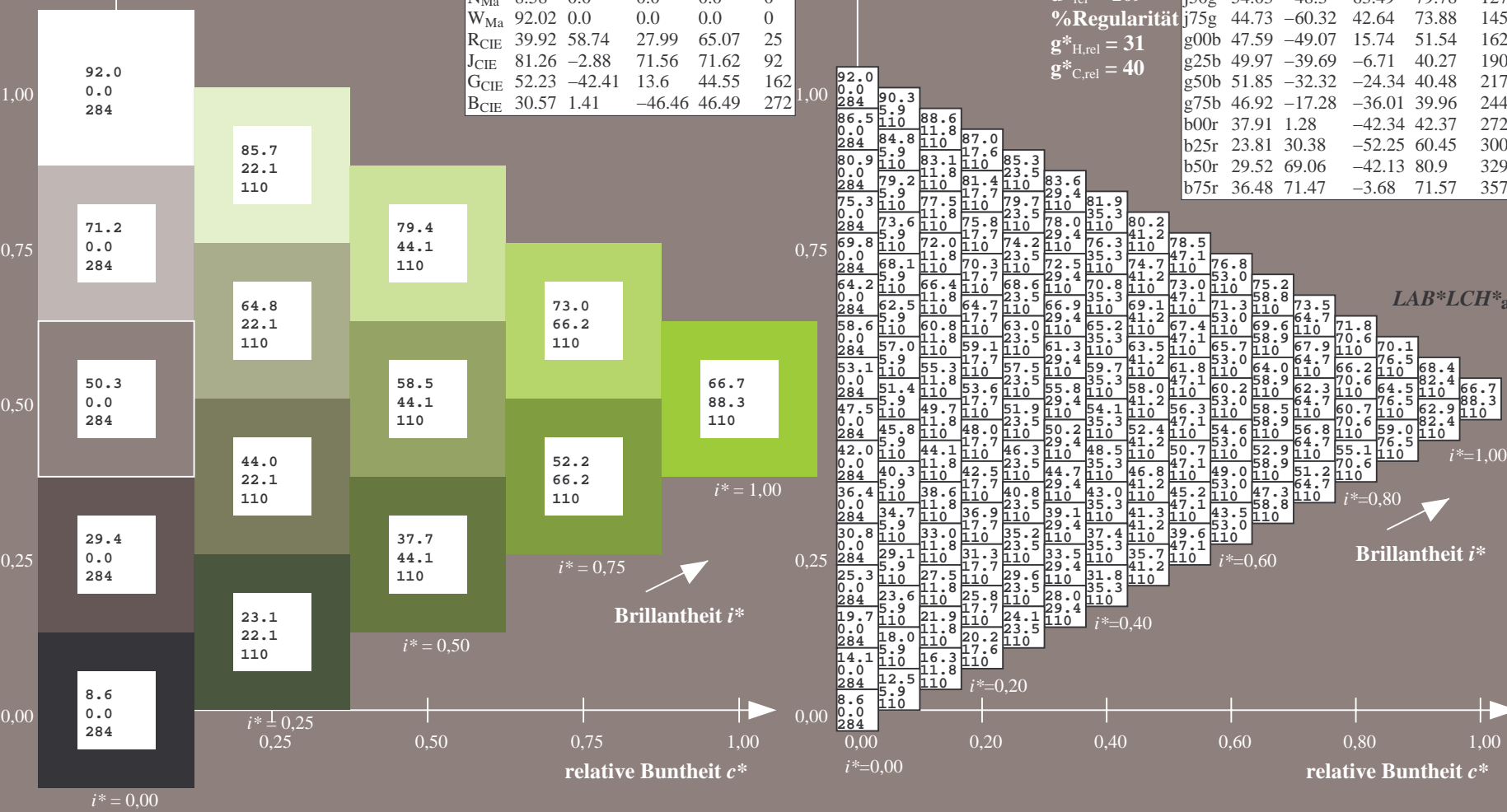
%Regularität

$g^*_{H,rel} = 31$

$g^*_{C,rel} = 40$

FRS09\_92a; adaptierte CIELAB-Daten

	$L^*=L^*_a$	$a^*_a$	$b^*_a$	$C^*_{ab,a}$	$h^*_{ab,a}$
r00j	35.47	63.32	30.17	70.15	25
r25j	39.12	54.56	49.45	73.64	42
r50j	50.64	39.15	64.89	75.79	59
r75j	64.01	21.26	82.83	85.52	76
j00g	83.18	-4.37	108.53	108.62	92
j25g	66.73	-29.88	83.06	88.28	110
j50g	54.03	-48.3	63.49	79.78	127
j75g	44.73	-60.32	42.64	73.88	145
g00b	47.59	-49.07	15.74	51.54	162
g25b	49.97	-39.69	-6.71	40.27	190
g50b	51.85	-32.32	-24.34	40.48	217
g75b	46.92	-17.28	-36.01	39.96	244
b00r	37.91	1.28	-42.34	42.37	272
b25r	23.81	30.38	-52.25	60.45	300
b50r	29.52	69.06	-42.13	80.9	329
b75r	36.48	71.47	-3.68	71.57	357



100

relative Buntheit  $c^*$ 

Ausgabe:  $\rightarrow cmyn5^* setcmykcolor$

BAM-Registrierung: 20080701-Dy96/10L/L96G00NA.PS/ .TXTBAM-Material: Code=rha4ta  
Anwendung für Beurteilung und Messung von Drucker- oder Monitorsystemen

Ein und Ausgabe: Farbmetrisches Drucker-Reflektiv-System FRS09\_92a für relativen CIELAB-Buntton  $h^* = lab^*h^* = h_{ab}/360 = 145/360 = 0.402$   $u^* = j75g$

Daten für jede Farbe:

$lab^*ch^*$  und  $lab^*icu^*$

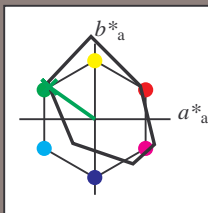
Elementar-Bunttontext:

$u^* = j75g$

Kontrastreduzierungsfaktor:

$c_R = 1.0$

Dreiecks-Helligkeit  $i^*$



FRS09\_92a; adaptierte CIELAB-Daten

	$L^*=L^*_a$	$a^*_a$	$b^*_a$	$C^*_{ab,a}$	$h^*_{ab,a}$
O <sub>Ma</sub>	35.06	60.0	44.0	74.4	36
Y <sub>Ma</sub>	83.77	-5.16	109.32	109.44	93
L <sub>Ma</sub>	44.13	-62.66	48.24	79.09	142
C <sub>Ma</sub>	52.66	-29.13	-31.98	43.27	228
V <sub>Ma</sub>	14.15	50.3	-59.03	77.57	310
M <sub>Ma</sub>	37.37	78.64	-33.49	85.48	337
N <sub>Ma</sub>	8.58	0.0	0.0	0.0	0
W <sub>Ma</sub>	92.02	0.0	0.0	0.0	0
R <sub>CIE</sub>	39.92	58.74	27.99	65.07	25
J <sub>CIE</sub>	81.26	-2.88	71.56	71.62	92
G <sub>CIE</sub>	52.23	-42.41	13.6	44.55	162
B <sub>CIE</sub>	30.57	1.41	-46.46	46.49	272

Daten für Maximalfarbe (Ma):

$LAB^*LAB^*_{Ma}$ : 45 -59 43

$LAB^*LCH^*_{Ma}$ : 45 74 145

$lab^*rgb^*_{Ma}$ : 0.25 1.0 0.0

$lab^*olv^*_{Ma}$ : 0.0 1.0 0.07

Dreiecks-Helligkeit  $i^*$

%Umfang

$u^*_{rel} = 109$

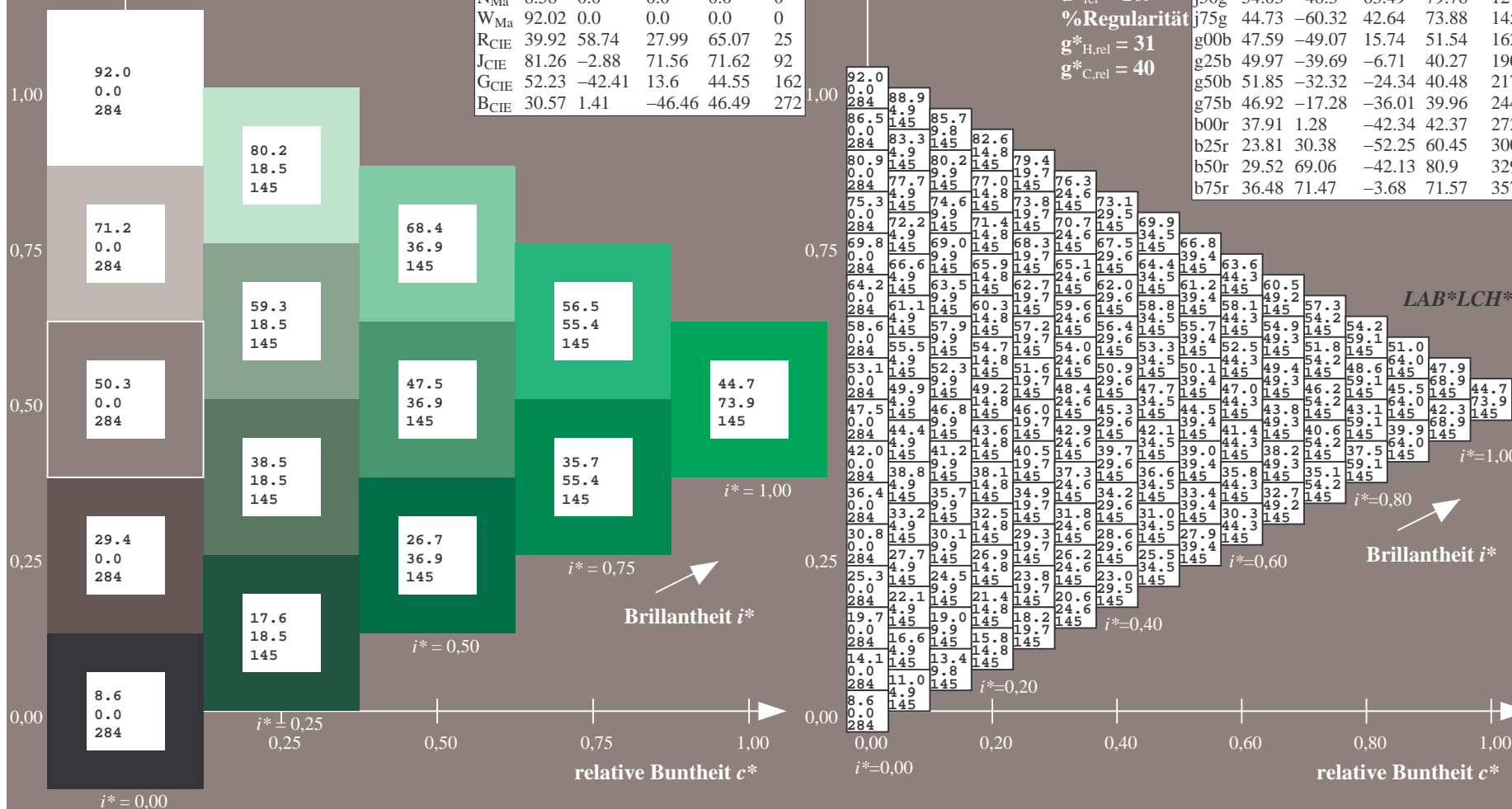
%Regularität

$g^*_{H,rel} = 31$

$g^*_{C,rel} = 40$

FRS09\_92a; adaptierte CIELAB-Daten

	$L^*=L^*_a$	$a^*_a$	$b^*_a$	$C^*_{ab,a}$	$h^*_{ab,a}$
r00j	35.47	63.32	30.17	70.15	25
r25j	39.12	54.56	49.45	73.64	42
r50j	50.64	39.15	64.89	75.79	59
r75j	64.01	21.26	82.83	85.52	76
j00g	83.18	-4.37	108.53	108.62	92
j25g	66.73	-29.88	83.06	88.28	110
j50g	54.03	-48.3	63.49	79.78	127
j75g	44.73	-60.32	42.64	73.88	145
g00b	47.59	-49.07	15.74	51.54	162
g25b	49.97	-39.69	-6.71	40.27	190
g50b	51.85	-32.32	-24.34	40.48	217
g75b	46.92	-17.28	-36.01	39.96	244
b00r	37.91	1.28	-42.34	42.37	272
b25r	23.81	30.38	-52.25	60.45	300
b50r	29.52	69.06	-42.13	80.9	329
b75r	36.48	71.47	-3.68	71.57	357



0



Figure 1 is a 3D visualization of the CIE 1964 color space, showing the relationship between colorimetric and colorimetric data. The plot displays a series of colorimetric data points (x, y, z) for various colorimetric conditions, plotted against the relative luminance (Y) and the relative chrominance (x, y). The data points are arranged in a grid, showing the relationship between the colorimetric data and the colorimetric conditions. The plot is labeled with "LAB\*LCH\*a" and "Brilliance  $i^*$ ".

Eingabe: 000n / w / nnn0 / www set...  
Ausgabe: ->cmyn5\* setcmykcolor

BAM-Registrierung: 20080701-Dg96/10L/L96G00NA.PS/ .TXTBAM-Material: Code=rha4ta  
- Anwendung für Beurteilung und Messung von Drucker- oder Monitorsystemen



9





Ein und Ausgabe: Farbmetrisches Drucker-Reflektiv-System FRS09\_92a für relativen CIELAB-Buntton  $h^* = lab^*h^* = h_{ab}/360 = 217/360 = 0.603$   $u^* = g50b$

Daten für jede Farbe:

$lab^*ch^*$  und  $lab^*icu^*$

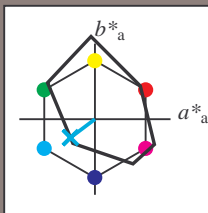
Elementar-Bunttontext:

$u^* = g50b$

Kontrastreduzierungsfaktor:

$c_R = 1.0$

Dreiecks-Helligkeit  $i^*$



FRS09\_92a; adaptierte CIELAB-Daten

	$L^*=L^*_a$	$a^*_a$	$b^*_a$	$C^*_{ab,a}$	$h^*_{ab,a}$
O <sub>Ma</sub>	35.06	60.0	44.0	74.4	36
Y <sub>Ma</sub>	83.77	-5.16	109.32	109.44	93
L <sub>Ma</sub>	44.13	-62.66	48.24	79.09	142
C <sub>Ma</sub>	52.66	-29.13	-31.98	43.27	228
V <sub>Ma</sub>	14.15	50.3	-59.03	77.57	310
M <sub>Ma</sub>	37.37	78.64	-33.49	85.48	337
N <sub>Ma</sub>	8.58	0.0	0.0	0.0	0
W <sub>Ma</sub>	92.02	0.0	0.0	0.0	0
R <sub>CIE</sub>	39.92	58.74	27.99	65.07	25
J <sub>CIE</sub>	81.26	-2.88	71.56	71.62	92
G <sub>CIE</sub>	52.23	-42.41	13.6	44.55	162
B <sub>CIE</sub>	30.57	1.41	-46.46	46.49	272

Daten für Maximalfarbe (Ma):

$LAB^*LAB^*_{Ma}$ : 52 -31 -23

$LAB^*LCH^*_{Ma}$ : 52 40 217

$lab^*rgb^*_{Ma}$ : 0.0 1.0 1.0

$lab^*olv^*_{Ma}$ : 0.0 1.0 0.9

Dreiecks-Helligkeit  $i^*$

%Umfang

$u^*_{rel} = 109$

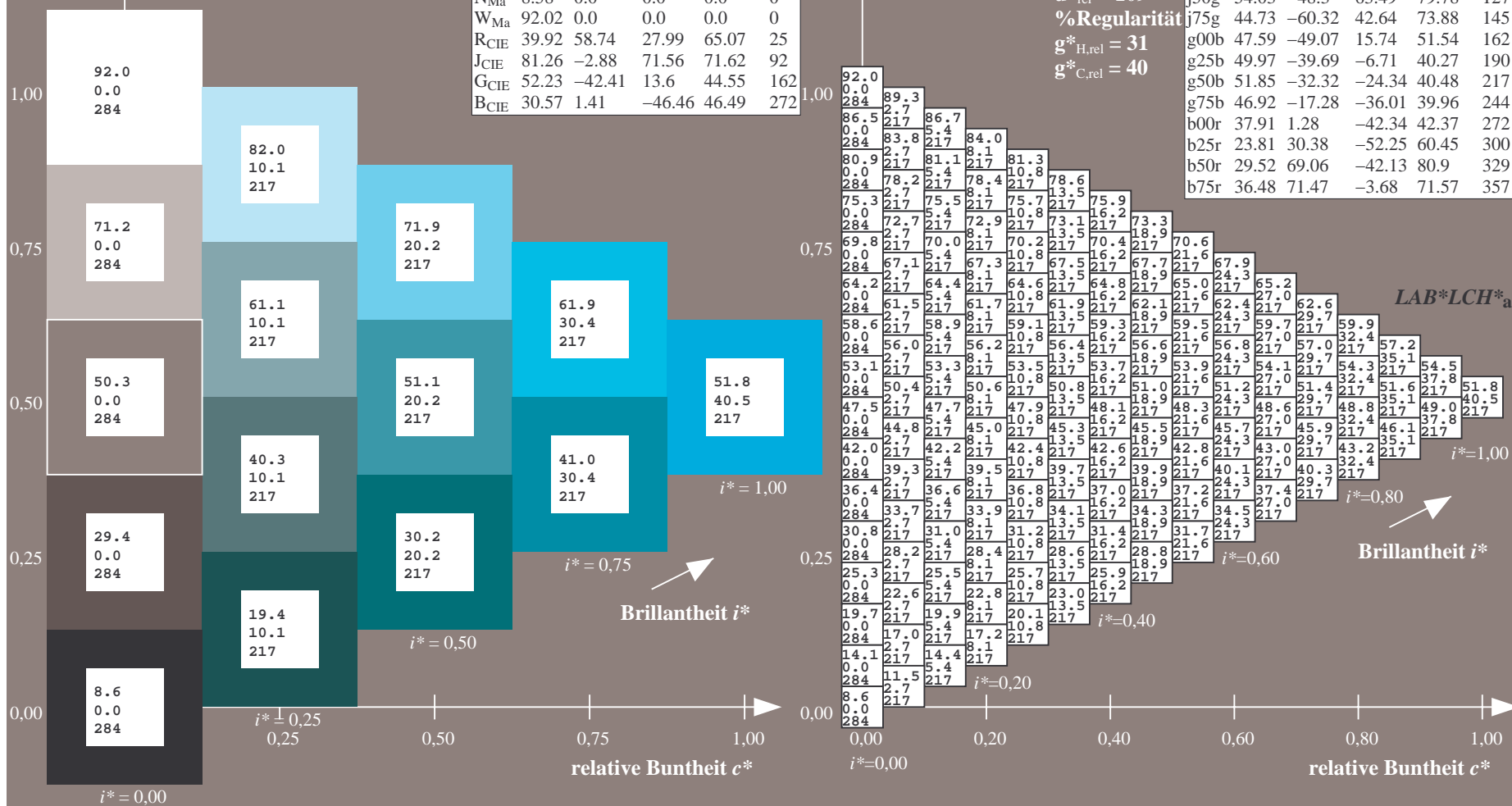
%Regularität

$g^*_{H,rel} = 31$

$g^*_{C,rel} = 40$

FRS09\_92a; adaptierte CIELAB-Daten

	$L^*=L^*_a$	$a^*_a$	$b^*_a$	$C^*_{ab,a}$	$h^*_{ab,a}$
r00j	35.47	63.32	30.17	70.15	25
r25j	39.12	54.56	49.45	73.64	42
r50j	50.64	39.15	64.89	75.79	59
r75j	64.01	21.26	82.83	85.52	76
j00g	83.18	-4.37	108.53	108.62	92
j25g	66.73	-29.88	83.06	88.28	110
j50g	54.03	-48.3	63.49	79.78	127
j75g	44.73	-60.32	42.64	73.88	145
g00b	47.59	-49.07	15.74	51.54	162
g25b	49.97	-39.69	-6.71	40.27	190
g50b	51.85	-32.32	-24.34	40.48	217
g75b	46.92	-17.28	-36.01	39.96	244
b00r	37.91	1.28	-42.34	42.37	272
b25r	23.81	30.38	-52.25	60.45	300
b50r	29.52	69.06	-42.13	80.9	329
b75r	36.48	71.47	-3.68	71.57	357



Ein und Ausgabe: Farbmetrisches Drucker-Reflektiv-System FRS09\_92a für relativen CIELAB-Buntton  $h^* = lab^*h^* = h_{ab}/360 = 244/360 = 0.679$   $u^* = g75b$

Daten für jede Farbe:

$lab^*ch^*$  und  $lab^*icu^*$

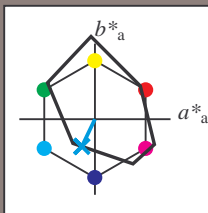
Elementar-Bunttontext:

$u^* = g75b$

Kontrastreduzierungsfaktor:

$c_R = 1.0$

Dreiecks-Helligkeit  $i^*$



FRS09\_92a; adaptierte CIELAB-Daten

	$L^*=L^*_a$	$a^*_a$	$b^*_a$	$C^*_{ab,a}$	$h^*_{ab,a}$
O <sub>Ma</sub>	35.06	60.0	44.0	74.4	36
Y <sub>Ma</sub>	83.77	-5.16	109.32	109.44	93
L <sub>Ma</sub>	44.13	-62.66	48.24	79.09	142
C <sub>Ma</sub>	52.66	-29.13	-31.98	43.27	228
V <sub>Ma</sub>	14.15	50.3	-59.03	77.57	310
M <sub>Ma</sub>	37.37	78.64	-33.49	85.48	337
N <sub>Ma</sub>	8.58	0.0	0.0	0.0	0
W <sub>Ma</sub>	92.02	0.0	0.0	0.0	0
R <sub>CIE</sub>	39.92	58.74	27.99	65.07	25
J <sub>CIE</sub>	81.26	-2.88	71.56	71.62	92
G <sub>CIE</sub>	52.23	-42.41	13.6	44.55	162
B <sub>CIE</sub>	30.57	1.41	-46.46	46.49	272

Daten für Maximalfarbe (Ma):

$LAB^*LAB^*_{Ma}$ : 47 -16 -35

$LAB^*LCH^*_{Ma}$ : 47 40 244

$lab^*rgb^*_{Ma}$ : 0.0 0.5 1.0

$lab^*olv^*_{Ma}$ : 0.0 0.85 1.0

Dreiecks-Helligkeit  $i^*$

%Umfang

$u^*_{rel} = 109$

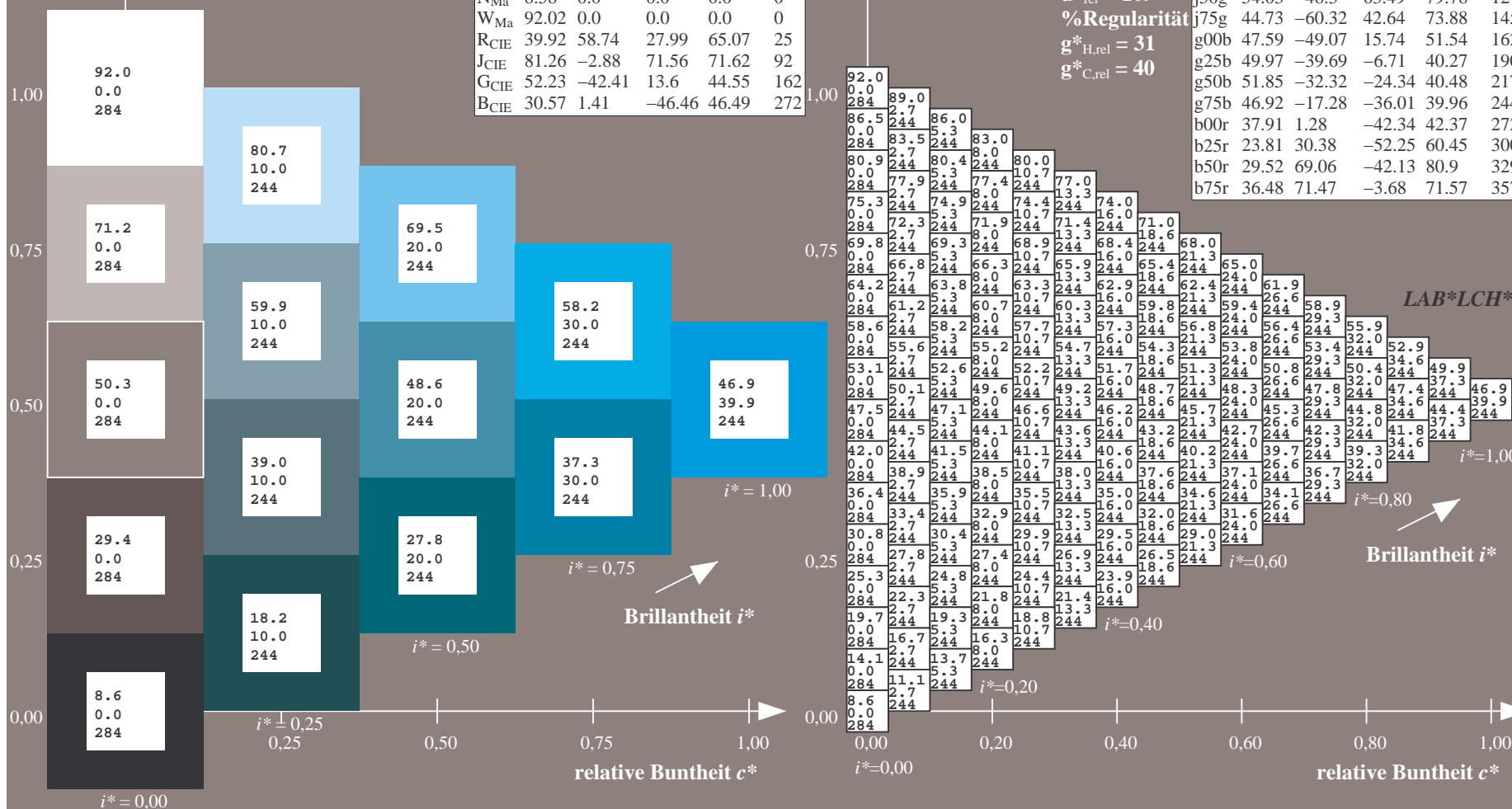
%Regularität

$g^*_{H,rel} = 31$

$g^*_{C,rel} = 40$

FRS09\_92a; adaptierte CIELAB-Daten

	$L^*=L^*_a$	$a^*_a$	$b^*_a$	$C^*_{ab,a}$	$h^*_{ab,a}$
r00j	35.47	63.32	30.17	70.15	25
r25j	39.12	54.56	49.45	73.64	42
r50j	50.64	39.15	64.89	75.79	59
r75j	64.01	21.26	82.83	85.52	76
j00g	83.18	-4.37	108.53	108.62	92
j25g	66.73	-29.88	83.06	88.28	110
j50g	54.03	-48.3	63.49	79.78	127
j75g	44.73	-60.32	42.64	73.88	145
g00b	47.59	-49.07	15.74	51.54	162
g25b	49.97	-39.69	-6.71	40.27	190
g50b	51.85	-32.32	-24.34	40.48	217
g75b	46.92	-17.28	-36.01	39.96	244
b00r	37.91	1.28	-42.34	42.37	272
b25r	23.81	30.38	-52.25	60.45	300
b50r	29.52	69.06	-42.13	80.9	329
b75r	36.48	71.47	-3.68	71.57	357



100



Eingabe: 000n / w / nnn0 / www set...  
Ausgabe: ->cmyn5\* setcmykcolor

BAM-Registrierung: 20080701-Dg96/10L/L96G00NA.PS/ .TXTBAM-Material: Code=rh4ta  
- Anwendung für Beurteilung und Messung von Drucker- oder Monitorsystemen

Ein und Ausgabe: Farbmetrisches Drucker-Reflektiv-System FRS09\_92a für relativen CIELAB-Buntton  $h^* = lab^*h^* = h_{ab}/360 = 300/360 = 0.834$   $u^* = b25r$

Daten für jede Farbe:

$lab^*ch^*$  und  $lab^*icu^*$

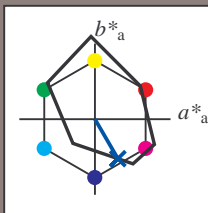
Elementar-Bunttontext:

$u^* = b25r$

Kontrastreduzierungsfaktor:

$c_R = 1.0$

Dreiecks-Helligkeit  $i^*$



FRS09\_92a; adaptierte CIELAB-Daten

	$L^*=L_a^*$	$a_a^*$	$b_a^*$	$C^*_{ab,a}$	$h^*_{ab,a}$
O <sub>Ma</sub>	35.06	60.0	44.0	74.4	36
Y <sub>Ma</sub>	83.77	-5.16	109.32	109.44	93
L <sub>Ma</sub>	44.13	-62.66	48.24	79.09	142
C <sub>Ma</sub>	52.66	-29.13	-31.98	43.27	228
V <sub>Ma</sub>	14.15	50.3	-59.03	77.57	310
M <sub>Ma</sub>	37.37	78.64	-33.49	85.48	337
N <sub>Ma</sub>	8.58	0.0	0.0	0.0	0
W <sub>Ma</sub>	92.02	0.0	0.0	0.0	0
R <sub>CIE</sub>	39.92	58.74	27.99	65.07	25
J <sub>CIE</sub>	81.26	-2.88	71.56	71.62	92
G <sub>CIE</sub>	52.23	-42.41	13.6	44.55	162
B <sub>CIE</sub>	30.57	1.41	-46.46	46.49	272

Daten für Maximalfarbe (Ma):

$LAB^*LAB^*_{Ma}$ : 24 30 -51

$LAB^*LCH^*_{Ma}$ : 24 60 300

$lab^*rgb^*_{Ma}$ : 0.5 0.0 1.0

$lab^*olv^*_{Ma}$ : 0.0 0.25 1.0

Dreiecks-Helligkeit  $i^*$

%Umfang

$u^*_{rel} = 109$

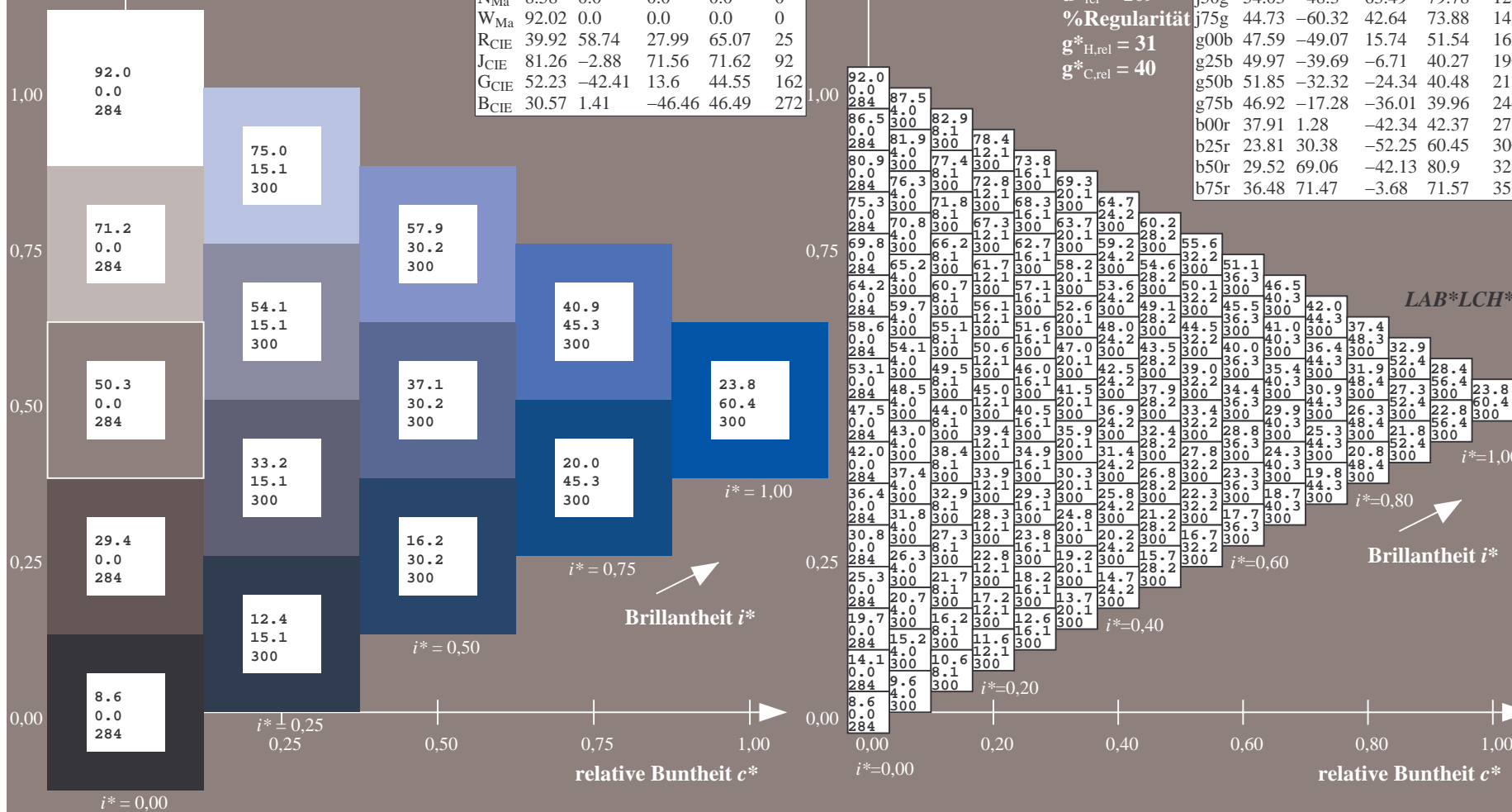
%Regularität

$g^*_{H,rel} = 31$

$g^*_{C,rel} = 40$

FRS09\_92a; adaptierte CIELAB-Daten

	$L^*=L_a^*$	$a_a^*$	$b_a^*$	$C^*_{ab,a}$	$h^*_{ab,a}$
r00j	35.47	63.32	30.17	70.15	25
r25j	39.12	54.56	49.45	73.64	42
r50j	50.64	39.15	64.89	75.79	59
r75j	64.01	21.26	82.83	85.52	76
j00g	83.18	-4.37	108.53	108.62	92
j25g	66.73	-29.88	83.06	88.28	110
j50g	54.03	-48.3	63.49	79.78	127
j75g	44.73	-60.32	42.64	73.88	145
g00b	47.59	-49.07	15.74	51.54	162
g25b	49.97	-39.69	-6.71	40.27	190
g50b	51.85	-32.32	-24.34	40.48	217
g75b	46.92	-17.28	-36.01	39.96	244
b00r	37.91	1.28	-42.34	42.37	272
b25r	23.81	30.38	-52.25	60.45	300
b50r	29.52	69.06	-42.13	80.9	329
b75r	36.48	71.47	-3.68	71.57	357





Ein und Ausgabe: Farbmetrisches Drucker-Reflektiv-System FRS09\_92a für relativen CIELAB-Buntton  $h^* = lab^*h^* = h_{ab}/360 = 329/360 = 0.913$   $u^* = b50r$

Daten für jede Farbe:

$lab^*tch^*$  und  $lab^*icu^*$

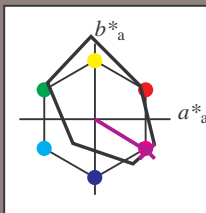
Elementar-Bunttontext:

$u^* = b50r$

Kontrastreduzierungsfaktor:

$c_R = 1.0$

Dreiecks-Helligkeit  $t^*$



FRS09\_92a; adaptierte CIELAB-Daten

	$L^*=L^*_a$	$a^*_a$	$b^*_a$	$C^*_{ab,a}$	$h^*_{ab,a}$
O <sub>Ma</sub>	35.06	60.0	44.0	74.4	36
Y <sub>Ma</sub>	83.77	-5.16	109.32	109.44	93
L <sub>Ma</sub>	44.13	-62.66	48.24	79.09	142
C <sub>Ma</sub>	52.66	-29.13	-31.98	43.27	228
V <sub>Ma</sub>	14.15	50.3	-59.03	77.57	310
M <sub>Ma</sub>	37.37	78.64	-33.49	85.48	337
N <sub>Ma</sub>	8.58	0.0	0.0	0.0	0
W <sub>Ma</sub>	92.02	0.0	0.0	0.0	0
R <sub>CIE</sub>	39.92	58.74	27.99	65.07	25
J <sub>CIE</sub>	81.26	-2.88	71.56	71.62	92
G <sub>CIE</sub>	52.23	-42.41	13.6	44.55	162
B <sub>CIE</sub>	30.57	1.41	-46.46	46.49	272

Daten für Maximalfarbe (Ma):

$LAB^*LAB^*_{Ma}$ : 30 69 -41

$LAB^*LCH^*_{Ma}$ : 30 81 329

$lab^*rgb^*_{Ma}$ : 1.0 0.0 1.0

$lab^*olv^*_{Ma}$ : 0.66 0.0 1.0

Dreiecks-Helligkeit  $t^*$

%Umfang

$u^*_{rel} = 109$

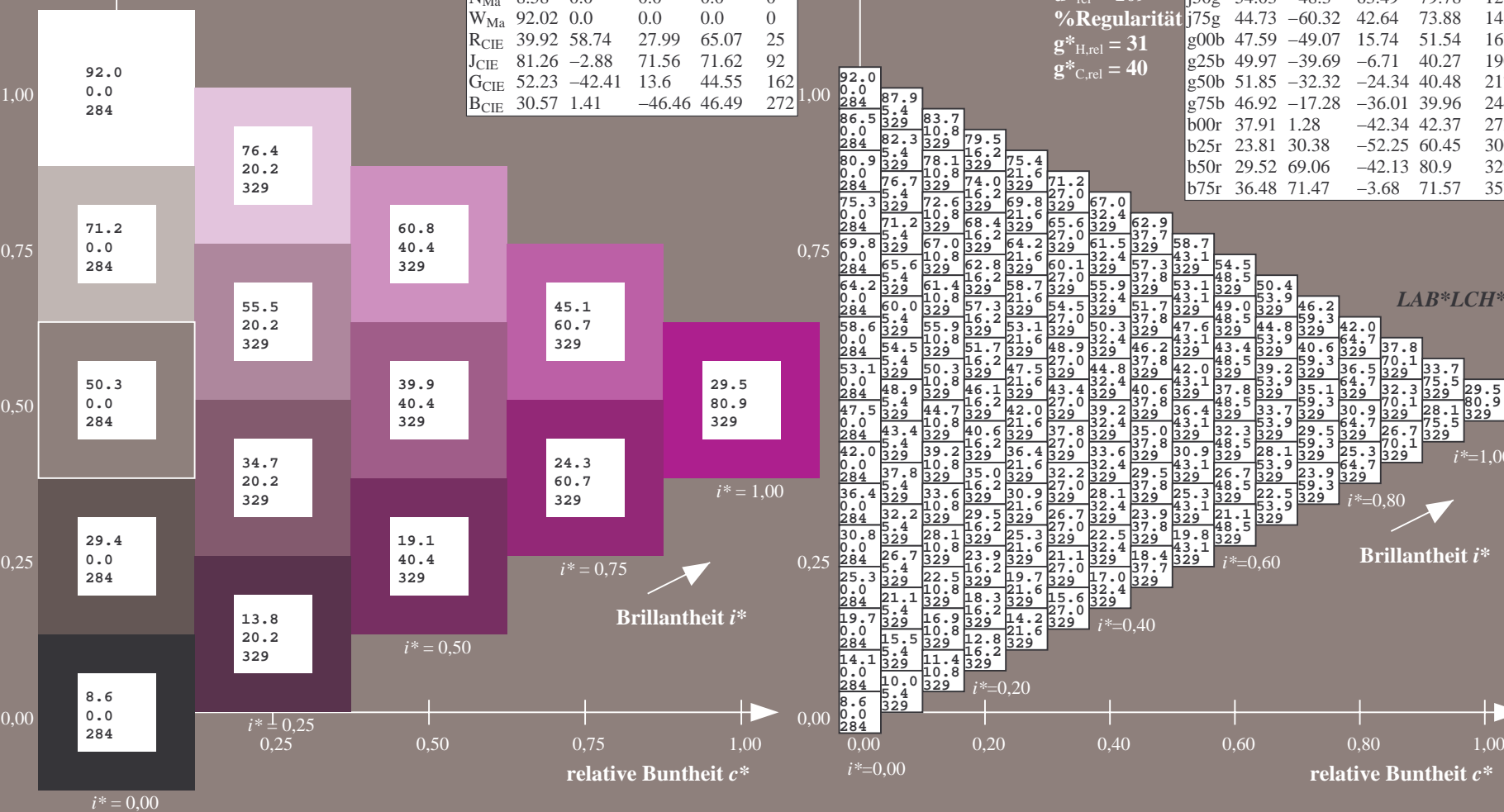
%Regularität

$g^*_{H,rel} = 31$

$g^*_{C,rel} = 40$

FRS09\_92a; adaptierte CIELAB-Daten

	$L^*=L^*_a$	$a^*_a$	$b^*_a$	$C^*_{ab,a}$	$h^*_{ab,a}$
r00j	35.47	63.32	30.17	70.15	25
r25j	39.12	54.56	49.45	73.64	42
r50j	50.64	39.15	64.89	75.79	59
r75j	64.01	21.26	82.83	85.52	76
j00g	83.18	-4.37	108.53	108.62	92
j25g	66.73	-29.88	83.06	88.28	110
j50g	54.03	-48.3	63.49	79.78	127
j75g	44.73	-60.32	42.64	73.88	145
g00b	47.59	-49.07	15.74	51.54	162
g25b	49.97	-39.69	-6.71	40.27	190
g50b	51.85	-32.32	-24.34	40.48	217
g75b	46.92	-17.28	-36.01	39.96	244
b00r	37.91	1.28	-42.34	42.37	272
b25r	23.81	30.38	-52.25	60.45	300
b50r	29.52	69.06	-42.13	80.9	329
b75r	36.48	71.47	-3.68	71.57	357

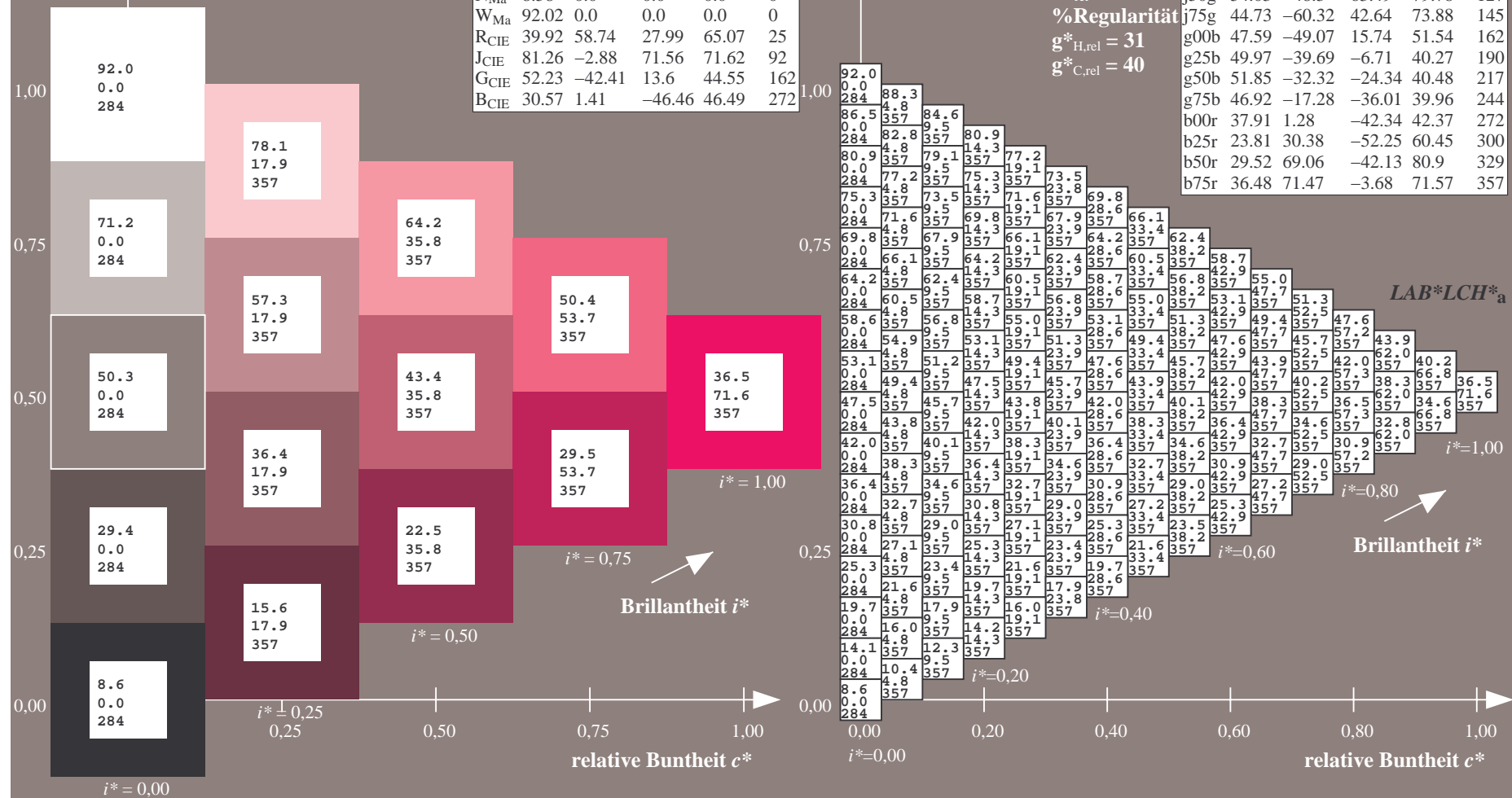




100



r00j	35.47	63.32	30.17	70.15	25
r25j	39.12	54.56	49.45	73.64	42
r50j	50.64	39.15	64.89	75.79	59
r75j	64.01	21.26	82.83	85.52	76
j00g	83.18	-4.37	108.53	108.62	92
j25g	66.73	-29.88	83.06	88.28	110
j50g	54.03	-48.3	63.49	79.78	127
j75g	44.73	-60.32	42.64	73.88	145
g00b	47.59	-49.07	15.74	51.54	162
g25b	49.97	-39.69	-6.71	40.27	190
g50b	51.85	-32.32	-24.34	40.48	217
g75b	46.92	-17.28	-36.01	39.96	244
b00r	37.91	1.28	-42.34	42.37	272
b25r	23.81	30.38	-52.25	60.45	300
b50r	29.52	69.06	-42.13	80.9	329
b75r	36.48	71.47	-3.68	71.57	357

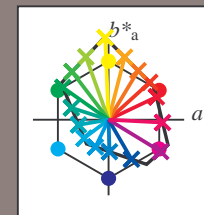


Siehe ähnliche Dateien: <http://www.ps.bam.de/Dg96/>; [www.ps.bam.de/Dg96/10L/L96G00NA.PS/.TXT](http://www.ps.bam.de/Dg96/10L/L96G00NA.PS/.TXT)  
Technische Information: [http://www.ps.bam.de/Version 2.1, io=1.1, ColSpX=0](http://www.ps.bam.de/Version%202.1,%20io=1.1,%20ColSpX=0)

	A	B	C	D	E	F	G	H	I	J	K	L	M	N	O	P	Q	R	S	T	U	V	W	X	Y	Z	a	b	c	d	e	f	g	h	i	j	k	LAB*	LCH*	a	b																																																																																																																																																																																																																																																																																																																																																																																																																																																																																																																																																																																																																																																																																																																																																																																																																																																																																																												
01	8.6	13.0	17.5	21.9	26.4	30.8	35.2	39.7	44.1	11.9	18.0	22.4	26.9	31.3	35.8	40.2	44.6	49.1	53.4	57.8	62.2	66.6	71.0	75.4	79.8	84.2	88.6	93.0	97.4	101.8	106.2	110.6	115.0	119.4	123.8	128.2	132.6	137.0	141.4	145.8	150.2	154.6	159.0	163.4	167.8	172.2	176.6	181.0	185.4	189.8	194.2	198.6	203.0	207.4	211.8	216.2	220.6	225.0	229.4	233.8	238.2	242.6	247.0	251.4	255.8	260.2	264.6	269.0	273.4	277.8	282.2	286.6	291.0	295.4	299.8	304.2	308.6	313.0	317.4	321.8	326.2	330.6	335.0	339.4	343.8	348.2	352.6	357.0	361.4	365.8	370.2	374.6	379.0	383.4	387.8	392.2	396.6	401.0	405.4	409.8	414.2	418.6	423.0	427.4	431.8	436.2	440.6	445.0	449.4	453.8	458.2	462.6	467.0	471.4	475.8	480.2	484.6	489.0	493.4	497.8	502.2	506.6	511.0	515.4	519.8	524.2	528.6	533.0	537.4	541.8	546.2	550.6	555.0	559.4	563.8	568.2	572.6	577.0	581.4	585.8	590.2	594.6	599.0	603.4	607.8	612.2	616.6	621.0	625.4	629.8	634.2	638.6	643.0	647.4	651.8	656.2	660.6	665.0	669.4	673.8	678.2	682.6	687.0	691.4	695.8	700.2	704.6	709.0	713.4	717.8	722.2	726.6	731.0	735.4	739.8	744.2	748.6	753.0	757.4	761.8	766.2	770.6	775.0	779.4	783.8	788.2	792.6	797.0	801.4	805.8	810.2	814.6	819.0	823.4	827.8	832.2	836.6	841.0	845.4	849.8	854.2	858.6	863.0	867.4	871.8	876.2	880.6	885.0	889.4	893.8	898.2	902.6	907.0	911.4	915.8	920.2	924.6	929.0	933.4	937.8	942.2	946.6	951.0	955.4	959.8	964.2	968.6	973.0	977.4	981.8	986.2	990.6	995.0	999.4	1003.8	1008.2	1012.6	1017.0	1021.4	1025.8	1030.2	1034.6	1039.0	1043.4	1047.8	1052.2	1056.6	1061.0	1065.4	1069.8	1074.2	1078.6	1083.0	1087.4	1091.8	1096.2	1100.6	1105.0	1109.4	1113.8	1118.2	1122.6	1127.0	1131.4	1135.8	1140.2	1144.6	1149.0	1153.4	1157.8	1162.2	1166.6	1171.0	1175.4	1179.8	1184.2	1188.6	1193.0	1197.4	1201.8	1206.2	1210.6	1215.0	1219.4	1223.8	1228.2	1232.6	1237.0	1241.4	1245.8	1250.2	1254.6	1259.0	1263.4	1267.8	1272.2	1276.6	1281.0	1285.4	1289.8	1294.2	1298.6	1303.0	1307.4	1311.8	1316.2	1320.6	1325.0	1329.4	1333.8	1338.2	1342.6	1347.0	1351.4	1355.8	1360.2	1364.6	1369.0	1373.4	1377.8	1382.2	1386.6	1391.0	1395.4	1399.8	1404.2	1408.6	1413.0	1417.4	1421.8	1426.2	1430.6	1435.0	1439.4	1443.8	1448.2	1452.6	1457.0	1461.4	1465.8	1470.2	1474.6	1479.0	1483.4	1487.8	1492.2	1496.6	1501.0	1505.4	1509.8	1514.2	1518.6	1523.0	1527.4	1531.8	1536.2	1540.6	1545.0	1549.4	1553.8	1558.2	1562.6	1567.0	1571.4	1575.8	1580.2	1584.6	1589.0	1593.4	1597.8	1602.2	1606.6	1611.0	1615.4	1619.8	1624.2	1628.6	1633.0	1637.4	1641.8	1646.2	1650.6	1655.0	1659.4	1663.8	1668.2	1672.6	1677.0	1681.4	1685.8	1690.2	1694.6	1699.0	1703.4	1707.8	1712.2	1716.6	1721.0	1725.4	1729.8	1734.2	1738.6	1743.0	1747.4	1751.8	1756.2	1760.6	1765.0	1769.4	1773.8	1778.2	1782.6	1787.0	1791.4	1795.8	1800.2	1804.6	1809.0	1813.4	1817.8	1822.2	1826.6	1831.0	1835.4	1839.8	1844.2	1848.6	1853.0	1857.4	1861.8	1866.2	1870.6	1875.0	1879.4	1883.8	1888.2	1892.6	1897.0	1901.4	1905.8	1910.2	1914.6	1919.0	1923.4	1927.8	1932.2	1936.6	1941.0	1945.4	1949.8	1954.2	1958.6	1963.0	1967.4	1971.8	1976.2	1980.6	1985.0	1989.4	1993.8	1998.2	2002.6	2007.0	2011.4	2015.8	2020.2	2024.6	2029.0	2033.4	2037.8	2042.2	2046.6	2051.0	2055.4	2059.8	2064.2	2068.6	2073.0	2077.4	2081.8	2086.2	2090.6	2095.0	2099.4	2103.8	2108.2	2112.6	2117.0	2121.4	2125.8	2130.2	2134.6	2139.0	2143.4	2147.8	2152.2	2156.6	2161.0	2165.4	2169.8	2174.2	2178.6	2183.0	2187.4	2191.8	2196.2	2200.6	2205.0	2209.4	2213.8	2218.2	2222.6	2227.0	2231.4	2235.8	2240.2	2244.6	2249.0	2253.4	2257.8	2262.2	2266.6	2271.0	2275.4	2279.8	2284.2	2288.6	2293.0	2297.4	2301.8	2306.2	2310.6	2315.0	2319.4	2323.8	2328.2	2332.6	2337.0	2341.4	2345.8	2350.2	2354.6	2359.0	2363.4	2367.8	2372.2	2376.6	2381.0	2385.4	2389.8	2394.2	2398.6	2403.0	2407.4	2411.8	2416.2	2420.6	2425.0	2429.4	2433.8	2438.2	2442.6	2447.0	2451.4	2455.8	2460.2	2464.6	2469.0	2473.4	2477.8	2482.2	2486.6	2491.0	2495.4	2499.8	2504.2	2508.6	2513.0	2517.4	2521.8	2526.2	2530.6	2535.0	2539.4	2543.8	2548.2	2552.6	2557.0	2561.4	2565.8	2570.2	2574.6	2579.0	2583.4	2587.8	2592.2	2596.6	2601.0	2605.4	2609.8	2614.2	2618.6	2623.0	2627.4	2631.8	2636.2	2640.6	2645.0	2649.4	2653.8	2658.2	2662.6	2667.0	2671.4	2675.8	2680.2	2684.6	2689.0	2693.4	2697.8	2702.2	2706.6	2711.0	2715.4	2719.8	2724.2	2728.6	2733.0	2737.4	2741.8	2746.2	2750.6	2755.0	2759.4	2763.8	2768.2	2772.6	2777.0	2781.4	2785.8	2790.2	2794.6	2799.0	2803.4	2807.8	2812.2	2816.6	2821.0	2825.4	2829.8	2834.2	2838.6	2843.0	2847.4	2851.8	2856.2	2860.6	2865.0	2869.4	2873.8	2878.2	2882.6	2887.0	2891.4	2895.8	2900.2	2904.6	2909.0	2913.4	2917.8	2922.2	2926.6	2931.0	2935.4	2939.8	2944.2	2948.6	2953.0	2957.4	2961.8	2966.2	2970.6	2975.0	2979.4	2983.8	2988.2	2992.6	2997.0	3001.4	3005.8	3010.2	3014.6	3019.0	3023.4	3027.8	3032.2	3036.6	3041.0	3045.4	3049.8	3054.2	3058.6	3063.0	3067.4	3071.8	3076.2	3080.6	3085.0	3089.4	3093.8	3098.2	3102.6	3107.0	3111.4	3115.8	3120.2	3124.6	3129.0	3133.4	3137.8	3142.2	3146.6	3151.0	3155.4	3159.8	3164.2	3168.6	3173.0	3177.4	3181.8	3186.2	3190.6	3195.0	3199.4	3203.8	3208.2	3212.6	3217.0	3221.4	3225.8	3230.2	3234.6	3239.0	3243.4	3247.8	3252.2	3256.6	3261.0	3265.4	3269.8	3274.2	3278.6	3283.0	3287.4	3291.8	3296.2	3300.6	3305.0	3309.4	3313.8	3318.2	3322.6	3327.0	3331.4	3335.8	3340.2	3344.6	3349.0	3353.4	3357.8	3362.2	3366.6	3371.0	3375.4	3379.8	3384.2	3388.6	3393.0	3397.4	3401.8	3406.2	3410.6	3415.0	3419.4	3423.8	3428.2	3432.6	3437.0	3441.4	3445.8	3450.2	3454.6	3459.0	3463.4	3467.8	3472.2	3476.6	3481.0	3485.4	3489.8	3494.2	3498.6	3503.0	3507.4	3511.8	3516.2	3520.6	3525.0	3529.4	3533.8	3538.2	3542.6	3547.0	3551.4	3555.8	3560.2	3564.6	3569.0	3573.4	3577.8	3582.2	3586.6	3591.0	3595.4	3599.8	3604.2	3608.6	3613.0	3617.4	3621.8	3626.2	3630.6	3635.0	3639.4	3643.8	3648.2	3652.6	3657.0	3661.4	3665.8	3670.2	3674.6	3679.0	3683.4	3687.8	3692.2	3696.6	3701.0	3705.4	3709.8	3714.2	3718.6	3723.0	3727.4	3731.8	3736.2	3740.6	3745.0	3749.4	3753.8	3758.2	3762.6	3767.0	3771.4	3775.8	3780.2	3784.6	3789.0	3793.4	3797.8	3802.2	3806.6	3811.0	3815.4	3819.8	3824.2	3828.6	3833.0	3837.4	3841.8	3846.2	3850.6	3855.0	3859.4	3863.8	3868.2	3872.6	3877.0	3881.4	3885.8	3890.2	3894.6	3899.0	3903.4	3907.8	3912.2	3916.6	3921.0	3925.4	3929.8	3934.2	3938.6	3943.0	3947.4	3951.8	3956.2	3960.6	3965.0	3969.4	3973.8	3978.2	3982.6	3987.0	3991.4	3995.8	4000.2	4004

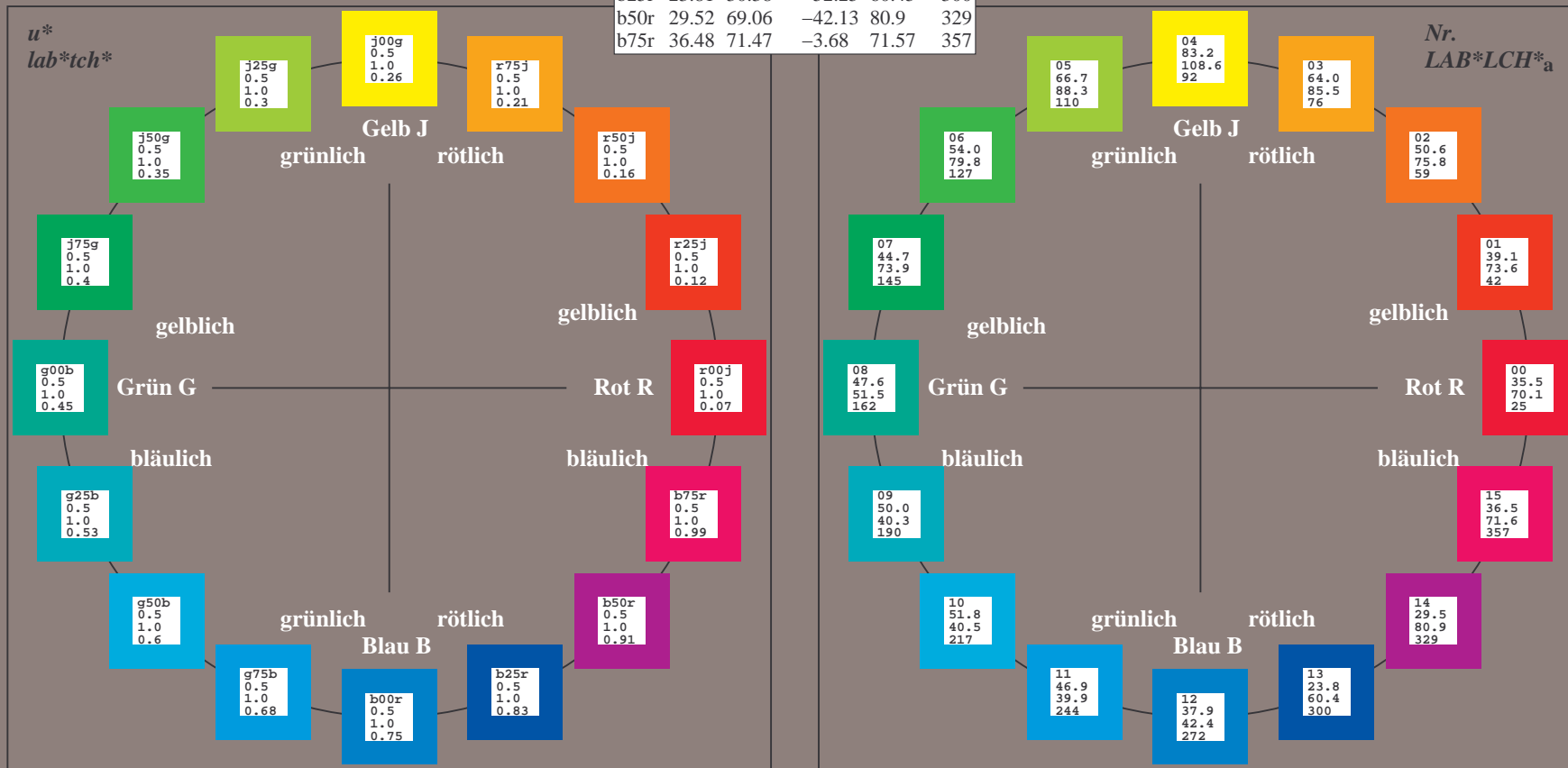
Ein und Ausgabe:  
Farbmetrisches Drucker-Reflektiv-System FRS09\_92a  
Daten für jede Farbe:  
*lab\*tch\** und *lab\*icu\**  
Elementar-Bunttontext:  
*u\** = 16 Buntttöne *r00j*, *r25j*, ..., *b75r*  
Kontrastreduzierungsfaktor:  
 $c_R = 1.0$

FRS09_92a; adaptierte CIELAB-Daten					
	$L^*=L^*_a$	$a^*_a$	$b^*_a$	$C^*_{ab,a}$	$h^*_{ab,a}$
r00j	35.47	63.32	30.17	70.15	25
r25j	39.12	54.56	49.45	73.64	42
r50j	50.64	39.15	64.89	75.79	59
r75j	64.01	21.26	82.83	85.52	76
j00g	83.18	-4.37	108.53	108.62	92
j25g	66.73	-29.88	83.06	88.28	110
j50g	54.03	-48.3	63.49	79.78	127
j75g	44.73	-60.32	42.64	73.88	145
g00b	47.59	-49.07	15.74	51.54	162
g25b	49.97	-39.69	-6.71	40.27	190
g50b	51.85	-32.32	-24.34	40.48	217
g75b	46.92	-17.28	-36.01	39.96	244
b00r	37.91	1.28	-42.34	42.37	272
b25r	23.81	30.38	-52.25	60.45	300
b50r	29.52	69.06	-42.13	80.9	329
b75r	36.48	71.47	-3.68	71.57	357



%Umfang  
 $u^*_{rel} = 109$   
%Regularität  
 $g^*_{H,rel} = 31$   
 $g^*_{C,rel} = 40$

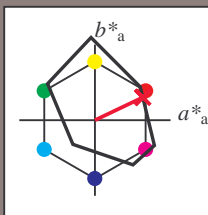
FRS09_92a; adaptierte CIELAB-Daten					
	$L^*=L^*_a$	$a^*_a$	$b^*_a$	$C^*_{ab,a}$	$h^*_{ab,a}$
OMa	35.06	60.0	44.0	74.4	36
YMa	83.77	-5.16	109.32	109.44	93
LMa	44.13	-62.66	48.24	79.09	142
CMa	52.66	-29.13	-31.98	43.27	228
VMa	14.15	50.3	-59.03	77.57	310
MMa	37.37	78.64	-33.49	85.48	337
NMa	8.58	0.0	0.0	0.0	0
WMa	92.02	0.0	0.0	0.0	0
RCIE	39.92	58.74	27.99	65.07	25
JCIE	81.26	-2.88	71.56	71.62	92
GCIE	52.23	-42.41	13.6	44.55	162
BCIE	30.57	1.41	-46.46	46.49	272



Ein und Ausgabe: Farbmetrisches Drucker-Reflektiv-System FRS09\_92a für relativen CIELAB-Buntton  $h^* = lab^*h^* = h_{ab}/360 = 25/360 = 0.071$   $u^* = r00j$   
Daten für jede Farbe:  $lab^*ch^*$  und  $lab^*icu^*$

Elementar-Bunttontext:  
 $u^* = r00j$

Kontrastreduzierungsfaktor:  
 $c_R = 1.0$   
Dreiecks-Helligkeit  $i^*$



FRS09_92a; adaptierte CIELAB-Daten					
	$L^*=L^*_a$	$a^*_a$	$b^*_a$	$C^*_{ab,a}$	$h^*_{ab,a}$
O <sub>Ma</sub>	35.06	60.0	44.0	74.4	36
Y <sub>Ma</sub>	83.77	-5.16	109.32	109.44	93
L <sub>Ma</sub>	44.13	-62.66	48.24	79.09	142
C <sub>Ma</sub>	52.66	-29.13	-31.98	43.27	228
V <sub>Ma</sub>	14.15	50.3	-59.03	77.57	310
M <sub>Ma</sub>	37.37	78.64	-33.49	85.48	337
N <sub>Ma</sub>	8.58	0.0	0.0	0.0	0
W <sub>Ma</sub>	92.02	0.0	0.0	0.0	0
R <sub>CIE</sub>	39.92	58.74	27.99	65.07	25
J <sub>CIE</sub>	81.26	-2.88	71.56	71.62	92
G <sub>CIE</sub>	52.23	-42.41	13.6	44.55	162
B <sub>CIE</sub>	30.57	1.41	-46.46	46.49	272

Daten für Maximalfarbe (Ma):

$LAB^*LAB^*_{Ma}$ : 35 63 30

$LAB^*LCH^*_{Ma}$ : 35 70 25

$lab^*rgb^*_{Ma}$ : 1.0 0.0 0.0

$lab^*olv^*_{Ma}$ : 1.0 0.0 0.18

Dreiecks-Helligkeit  $i^*$

%Umfang

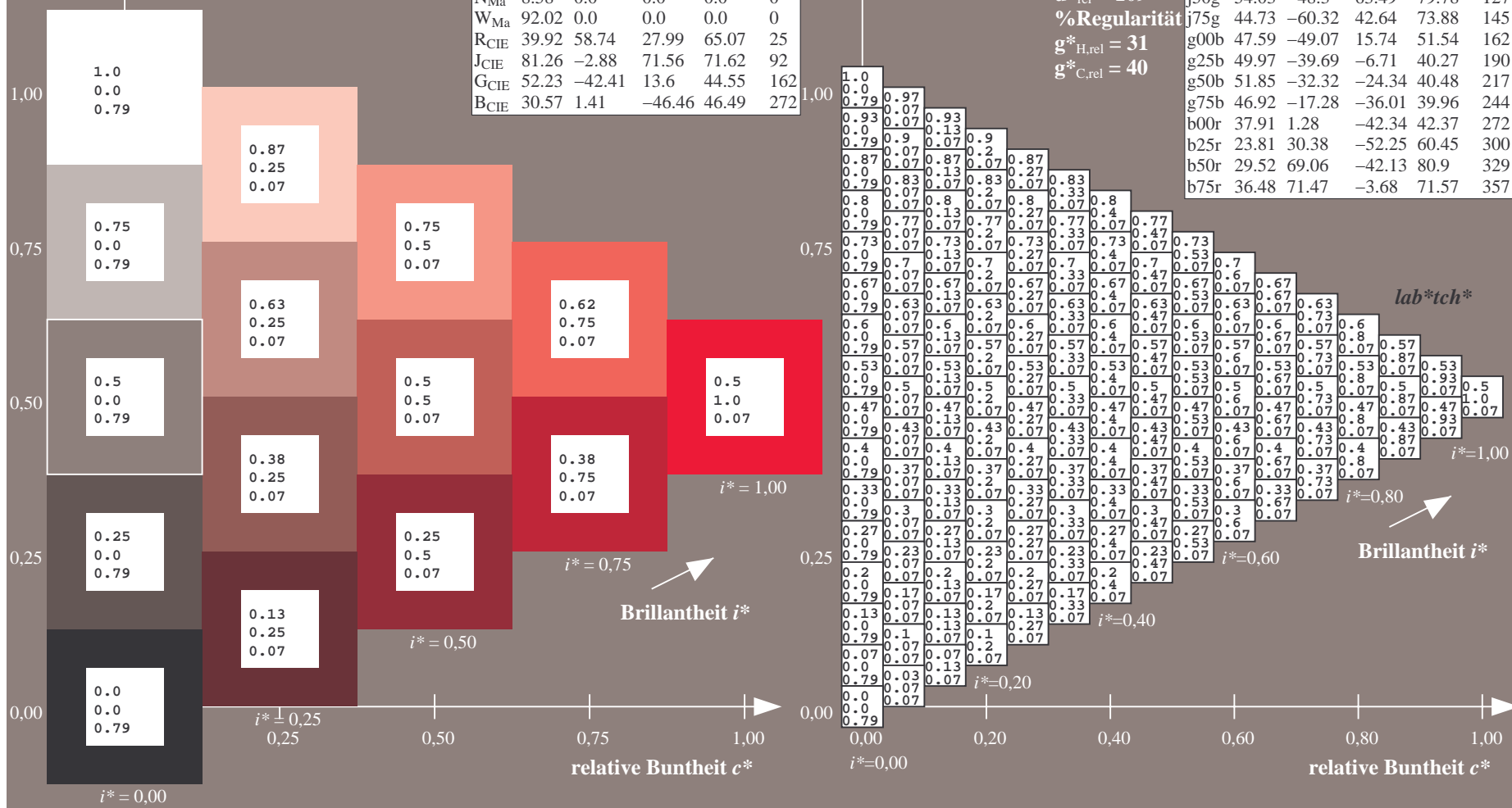
$u^*_{rel} = 109$

%Regularität

$g^*_{H,rel} = 31$

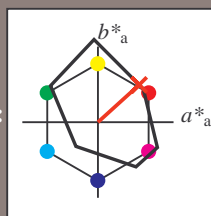
$g^*_{C,rel} = 40$

FRS09_92a; adaptierte CIELAB-Daten					
	$L^*=L^*_a$	$a^*_a$	$b^*_a$	$C^*_{ab,a}$	$h^*_{ab,a}$
r00j	35.47	63.32	30.17	70.15	25
r25j	39.12	54.56	49.45	73.64	42
r50j	50.64	39.15	64.89	75.79	59
r75j	64.01	21.26	82.83	85.52	76
j00g	83.18	-4.37	108.53	108.62	92
j25g	66.73	-29.88	83.06	88.28	110
j50g	54.03	-48.3	63.49	79.78	127
j75g	44.73	-60.32	42.64	73.88	145
g00b	47.59	-49.07	15.74	51.54	162
g25b	49.97	-39.69	-6.71	40.27	190
g50b	51.85	-32.32	-24.34	40.48	217
g75b	46.92	-17.28	-36.01	39.96	244
b00r	37.91	1.28	-42.34	42.37	272
b25r	23.81	30.38	-52.25	60.45	300
b50r	29.52	69.06	-42.13	80.9	329
b75r	36.48	71.47	-3.68	71.57	357





Ein und Ausgabe: Farbmetrisches Drucker-Reflektiv-System FRS09\_92a für relativen CIELAB-Buntton  $h^* = lab^*h^* = h_{ab}/360 = 42/360 = 0.117$   $u^* = r25j$   
Daten für jede Farbe:  
 $lab^*tch^*$  und  $lab^*icu^*$   
Elementar-Bunttontext:  
 $u^* = r25j$   
Kontrastreduzierungsfaktor:  
 $c_R = 1.0$   
Dreiecks-Helligkeit  $t^*$



FRS09_92a; adaptierte CIELAB-Daten					
	$L^*=L_a^*$	$a_a^*$	$b_a^*$	$C^*_{ab,a}$	$h^*_{ab,a}$
O <sub>Ma</sub>	35.06	60.0	44.0	74.4	36
Y <sub>Ma</sub>	83.77	-5.16	109.32	109.44	93
L <sub>Ma</sub>	44.13	-62.66	48.24	79.09	142
C <sub>Ma</sub>	52.66	-29.13	-31.98	43.27	228
V <sub>Ma</sub>	14.15	50.3	-59.03	77.57	310
M <sub>Ma</sub>	37.37	78.64	-33.49	85.48	337
N <sub>Ma</sub>	8.58	0.0	0.0	0.0	0
W <sub>Ma</sub>	92.02	0.0	0.0	0.0	0
R <sub>CIE</sub>	39.92	58.74	27.99	65.07	25
J <sub>CIE</sub>	81.26	-2.88	71.56	71.62	92
G <sub>CIE</sub>	52.23	-42.41	13.6	44.55	162
B <sub>CIE</sub>	30.57	1.41	-46.46	46.49	272

Daten für Maximalfarbe (Ma):

$LAB^*LAB^*_{Ma}$ : 39 55 49

$LAB^*LCH^*_{Ma}$ : 39 74 42

$lab^*rgb^*_{Ma}$ : 1.0 0.25 0.0

$lab^*olv^*_{Ma}$ : 1.0 0.08 0.0

Dreiecks-Helligkeit  $t^*$

%Umfang

$u^*_{rel} = 109$

%Regularität

$g^*_{H,rel} = 31$

$g^*_{C,rel} = 40$

FRS09_92a; adaptierte CIELAB-Daten					
	$L^*=L_a^*$	$a_a^*$	$b_a^*$	$C^*_{ab,a}$	$h^*_{ab,a}$
r00j	35.47	63.32	30.17	70.15	25
r25j	39.12	54.56	49.45	73.64	42
r50j	50.64	39.15	64.89	75.79	59
r75j	64.01	21.26	82.83	85.52	76
j00g	83.18	-4.37	108.53	108.62	92
j25g	66.73	-29.88	83.06	88.28	110
j50g	54.03	-48.3	63.49	79.78	127
j75g	44.73	-60.32	42.64	73.88	145
g00b	47.59	-49.07	15.74	51.54	162
g25b	49.97	-39.69	-6.71	40.27	190
g50b	51.85	-32.32	-24.34	40.48	217
g75b	46.92	-17.28	-36.01	39.96	244
b00r	37.91	1.28	-42.34	42.37	272
b25r	23.81	30.38	-52.25	60.45	300
b50r	29.52	69.06	-42.13	80.9	329
b75r	36.48	71.47	-3.68	71.57	357

$lab^*tch^*$

$i^* = 1.00$

Brillantheit  $i^*$

$i^* = 0.80$

$i^* = 0.60$

$i^* = 0.40$

$i^* = 0.20$

$i^* = 0.00$

relative Buntheit  $c^*$

relative Buntheit  $c^*$



100



Figure 1 is a 3D visualization of the color space defined by relative Buntheit  $c^*$  (x-axis, 0.00 to 1.00), Brillantheit  $i^*$  (y-axis, 0.00 to 1.00), and %Regularität (z-axis, 0.00 to 1.00). The plot shows a series of colored planes and surfaces representing different color and regularity levels. A table on the right lists the coordinates (x, y, z) for various color patches, including j75g, g00b, g25b, g50b, g75b, b00r, b25r, b50r, and b75r. The table also includes the corresponding values for %Regularität and Brillantheit  $i^*$ .

Patch	$c^*$	$i^*$	%Regularität
j75g	44.73	-60.32	42.64
g00b	47.59	-49.07	15.74
g25b	49.97	-39.69	-6.71
g50b	51.85	-32.32	-24.34
g75b	46.92	-17.28	-36.01
b00r	37.91	1.28	-42.34
b25r	23.81	30.38	-52.25
b50r	29.52	69.06	-42.13
b75r	36.48	71.47	-3.68

Eingabe: 000n / w / nnn0 / www set...  
Ausgabe: ->cmyn5\* setcmykcolor

BAM-Registrierung: 20080701-Dg96/10L/L96G00NA.PS/ .TXTBAM-Material: Code=rh4ta  
- Anwendung für Beurteilung und Messung von Drucker- oder Monitorsystemen

Ein und Ausgabe: Farbmetrisches Drucker-Reflektiv-System FRS09\_92a für relativen CIELAB-Buntton  $h^* = lab^*h^* = h_{ab}/360 = 76/360 = 0.21$

Daten für jede Farbe:

$lab^*tch^*$  und  $lab^*icu^*$

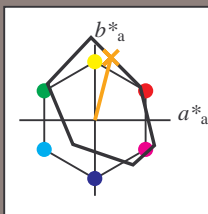
Elementar-Bunttontext:

$u^* = r75j$

Kontrastreduzierungsfaktor:

$c_R = 1.0$

Dreiecks-Helligkeit  $i^*$



FRS09\_92a; adaptierte CIELAB-Daten

	$L^*=L_a^*$	$a_a^*$	$b_a^*$	$C_{ab,a}^*$	$h_{ab,a}^*$
O <sub>Ma</sub>	35.06	60.0	44.0	74.4	36
Y <sub>Ma</sub>	83.77	-5.16	109.32	109.44	93
L <sub>Ma</sub>	44.13	-62.66	48.24	79.09	142
C <sub>Ma</sub>	52.66	-29.13	-31.98	43.27	228
V <sub>Ma</sub>	14.15	50.3	-59.03	77.57	310
M <sub>Ma</sub>	37.37	78.64	-33.49	85.48	337
N <sub>Ma</sub>	8.58	0.0	0.0	0.0	0
W <sub>Ma</sub>	92.02	0.0	0.0	0.0	0
R <sub>CIE</sub>	39.92	58.74	27.99	65.07	25
J <sub>CIE</sub>	81.26	-2.88	71.56	71.62	92
G <sub>CIE</sub>	52.23	-42.41	13.6	44.55	162
B <sub>CIE</sub>	30.57	1.41	-46.46	46.49	272

Daten für Maximalfarbe (Ma):

$LAB^*LAB^*_{Ma}$ : 64 21 83

$LAB^*LCH^*_{Ma}$ : 64 86 76

$lab^*rgb^*_{Ma}$ : 1.0 0.75 0.0

$lab^*olv^*_{Ma}$ : 1.0 0.59 0.0

Dreiecks-Helligkeit  $i^*$

%Umfang

$u^*_{rel} = 109$

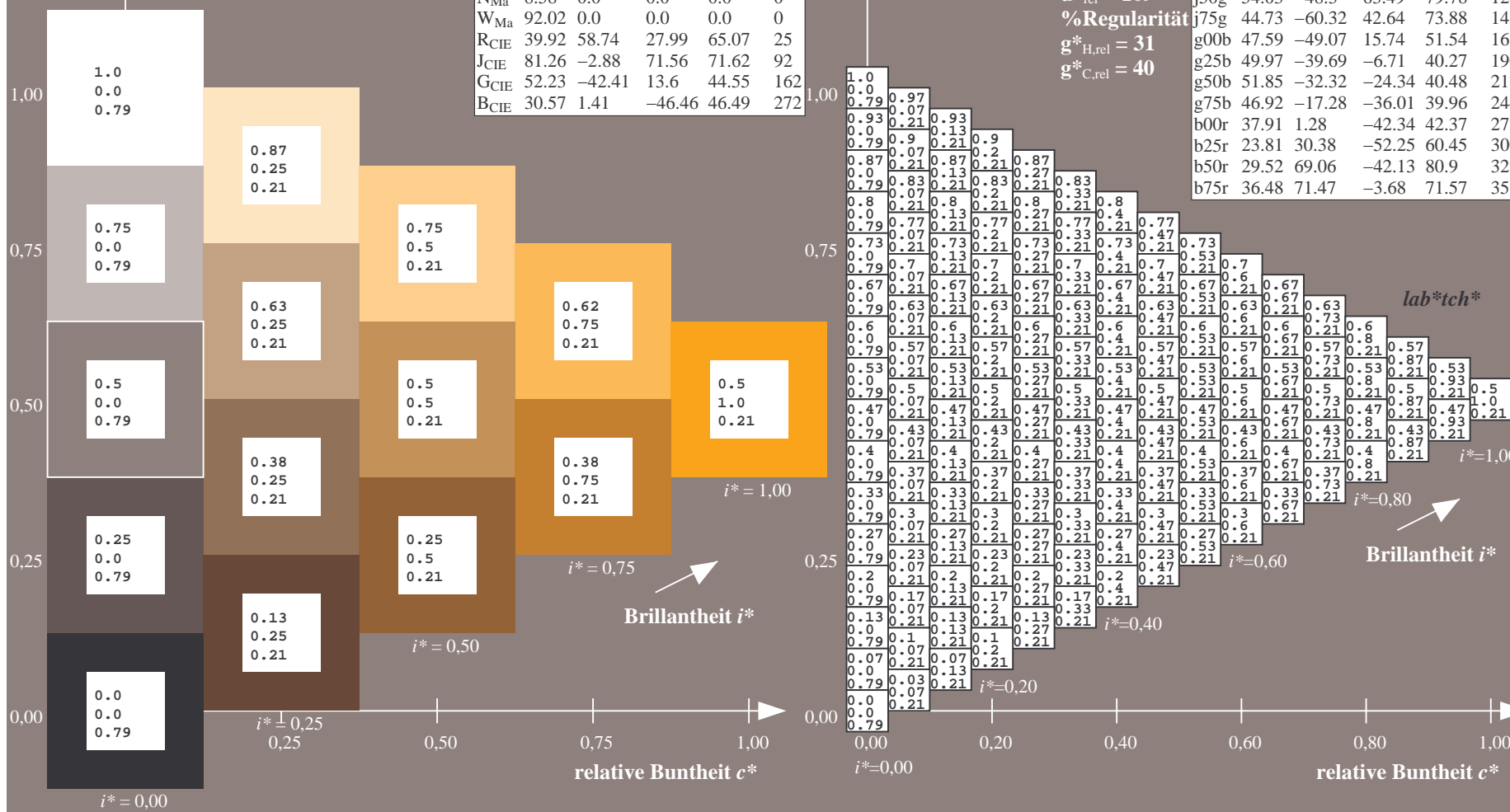
%Regularität

$g^*_{H,rel} = 31$

$g^*_{C,rel} = 40$

FRS09\_92a; adaptierte CIELAB-Daten

	$L^*=L_a^*$	$a_a^*$	$b_a^*$	$C_{ab,a}^*$	$h_{ab,a}^*$
r00j	35.47	63.32	30.17	70.15	25
r25j	39.12	54.56	49.45	73.64	42
r50j	50.64	39.15	64.89	75.79	59
r75j	64.01	21.26	82.83	85.52	76
j00g	83.18	-4.37	108.53	108.62	92
j25g	66.73	-29.88	83.06	88.28	110
j50g	54.03	-48.3	63.49	79.78	127
j75g	44.73	-60.32	42.64	73.88	145
g00b	47.59	-49.07	15.74	51.54	162
g25b	49.97	-39.69	-6.71	40.27	190
g50b	51.85	-32.32	-24.34	40.48	217
g75b	46.92	-17.28	-36.01	39.96	244
b00r	37.91	1.28	-42.34	42.37	272
b25r	23.81	30.38	-52.25	60.45	300
b50r	29.52	69.06	-42.13	80.9	329
b75r	36.48	71.47	-3.68	71.57	357



Ein und Ausgabe: Farbmetrisches Drucker-Reflektiv-System FRS09\_92a für relativen CIELAB-Buntton  $h^* = lab^*h^* = h_{ab}/360 = 92/360 = 0.256$   $u^* = j00g$   
Daten für jede Farbe:  $lab^*tch^*$  und  $lab^*icu^*$

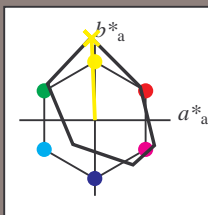
Elementar-Bunttontext:

$u^* = j00g$

Kontrastreduzierungsfaktor:

$c_R = 1.0$

Dreiecks-Helligkeit  $t^*$



FRS09_92a; adaptierte CIELAB-Daten					
	$L^*=L_a^*$	$a_a^*$	$b_a^*$	$C^*_{ab,a}$	$h^*_{ab,a}$
O <sub>Ma</sub>	35.06	60.0	44.0	74.4	36
Y <sub>Ma</sub>	83.77	-5.16	109.32	109.44	93
L <sub>Ma</sub>	44.13	-62.66	48.24	79.09	142
C <sub>Ma</sub>	52.66	-29.13	-31.98	43.27	228
V <sub>Ma</sub>	14.15	50.3	-59.03	77.57	310
M <sub>Ma</sub>	37.37	78.64	-33.49	85.48	337
N <sub>Ma</sub>	8.58	0.0	0.0	0.0	0
W <sub>Ma</sub>	92.02	0.0	0.0	0.0	0
R <sub>CIE</sub>	39.92	58.74	27.99	65.07	25
J <sub>CIE</sub>	81.26	-2.88	71.56	71.62	92
G <sub>CIE</sub>	52.23	-42.41	13.6	44.55	162
B <sub>CIE</sub>	30.57	1.41	-46.46	46.49	272

Daten für Maximalfarbe (Ma):

$LAB^*LAB^*_{Ma}$ : 83 -3 109

$LAB^*LCH^*_{Ma}$ : 83 109 92

$lab^*rgb^*_{Ma}$ : 1.0 1.0 0.0

$lab^*olv^*_{Ma}$ : 1.0 0.99 0.0

Dreiecks-Helligkeit  $t^*$

%Umfang

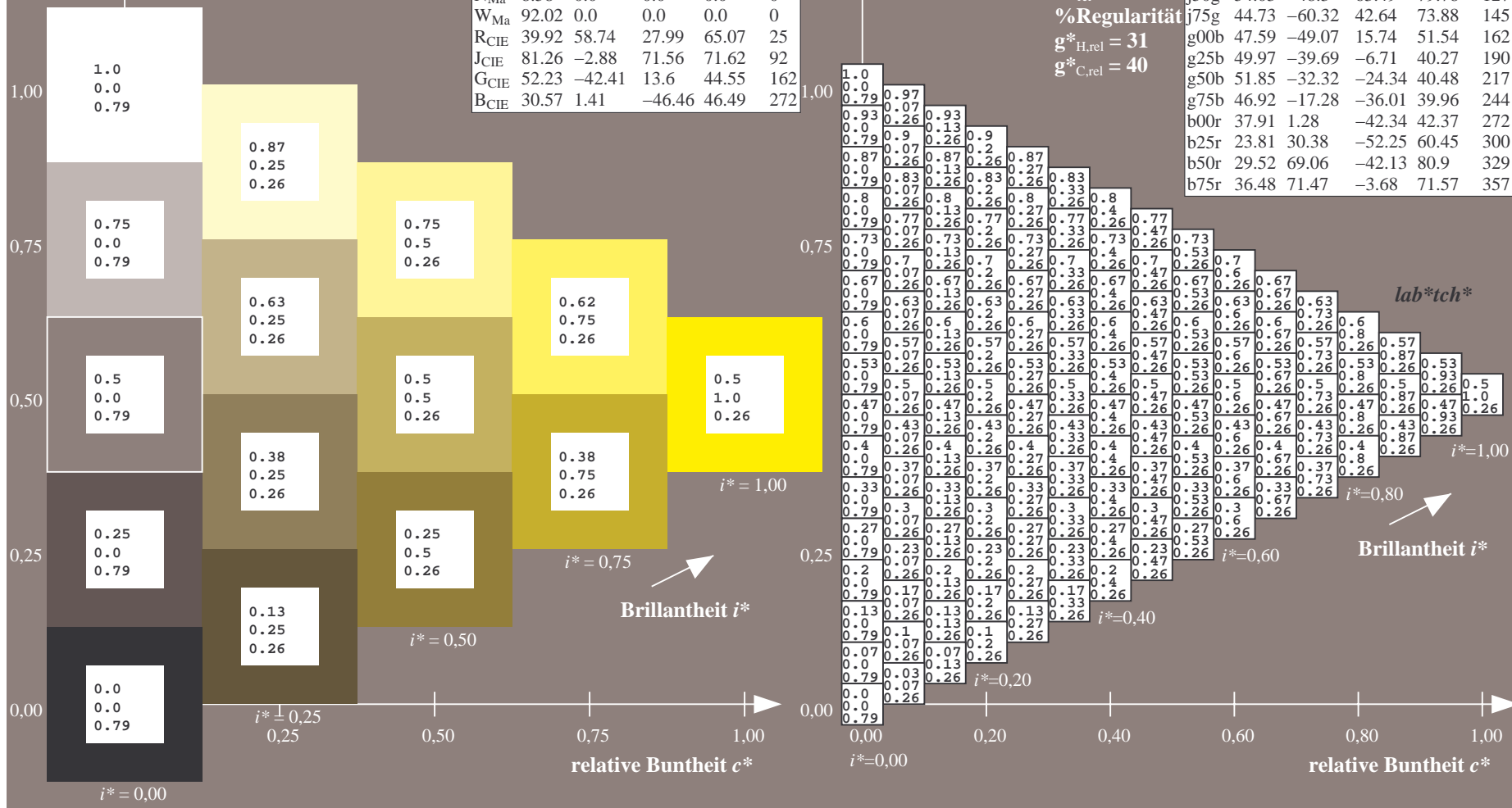
$u^*_{rel} = 109$

%Regularität

$g^*_{H,rel} = 31$

$g^*_{C,rel} = 40$

FRS09_92a; adaptierte CIELAB-Daten					
	$L^*=L_a^*$	$a_a^*$	$b_a^*$	$C^*_{ab,a}$	$h^*_{ab,a}$
r00j	35.47	63.32	30.17	70.15	25
r25j	39.12	54.56	49.45	73.64	42
r50j	50.64	39.15	64.89	75.79	59
r75j	64.01	21.26	82.83	85.52	76
j00g	83.18	-4.37	108.53	108.62	92
j25g	66.73	-29.88	83.06	88.28	110
j50g	54.03	-48.3	63.49	79.78	127
j75g	44.73	-60.32	42.64	73.88	145
g00b	47.59	-49.07	15.74	51.54	162
g25b	49.97	-39.69	-6.71	40.27	190
g50b	51.85	-32.32	-24.34	40.48	217
g75b	46.92	-17.28	-36.01	39.96	244
b00r	37.91	1.28	-42.34	42.37	272
b25r	23.81	30.38	-52.25	60.45	300
b50r	29.52	69.06	-42.13	80.9	329
b75r	36.48	71.47	-3.68	71.57	357



Ein und Ausgabe: Farbmetrisches Drucker-Reflektiv-System FRS09\_92a für relativen CIELAB-Buntton  $h^* = lab^*h^* = h_{ab}/360 = 110/360 = 0.305$   $u^* = j25g$

Daten für jede Farbe:

$lab^*tch^*$  und  $lab^*icu^*$

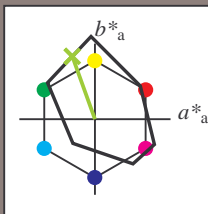
Elementar-Bunttontext:

$u^* = j25g$

Kontrastreduzierungsfaktor:

$c_R = 1.0$

Dreiecks-Helligkeit  $i^*$



FRS09\_92a; adaptierte CIELAB-Daten

	$L^*=L_a^*$	$a_a^*$	$b_a^*$	$C^*_{ab,a}$	$h^*_{ab,a}$
O <sub>Ma</sub>	35.06	60.0	44.0	74.4	36
Y <sub>Ma</sub>	83.77	-5.16	109.32	109.44	93
L <sub>Ma</sub>	44.13	-62.66	48.24	79.09	142
C <sub>Ma</sub>	52.66	-29.13	-31.98	43.27	228
V <sub>Ma</sub>	14.15	50.3	-59.03	77.57	310
M <sub>Ma</sub>	37.37	78.64	-33.49	85.48	337
N <sub>Ma</sub>	8.58	0.0	0.0	0.0	0
W <sub>Ma</sub>	92.02	0.0	0.0	0.0	0
R <sub>CIE</sub>	39.92	58.74	27.99	65.07	25
J <sub>CIE</sub>	81.26	-2.88	71.56	71.62	92
G <sub>CIE</sub>	52.23	-42.41	13.6	44.55	162
B <sub>CIE</sub>	30.57	1.41	-46.46	46.49	272

Daten für Maximalfarbe (Ma):

$LAB^*LAB^*_{Ma}$ : 67 -29 83

$LAB^*LCH^*_{Ma}$ : 67 88 110

$lab^*rgb^*_{Ma}$ : 0.75 1.0 0.0

$lab^*olv^*_{Ma}$ : 0.57 1.0 0.0

Dreiecks-Helligkeit  $i^*$

%Umfang

$u^*_{rel} = 109$

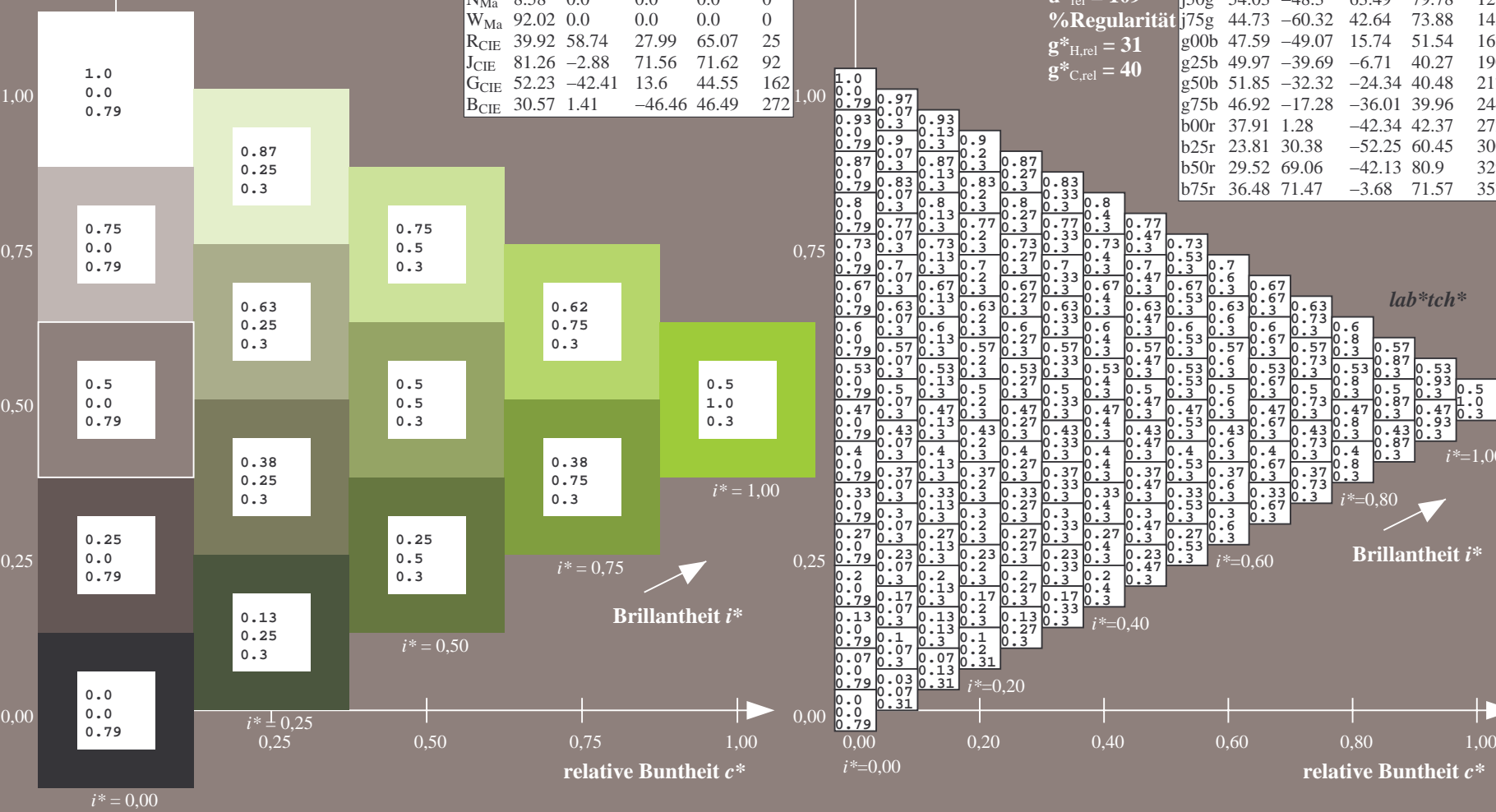
%Regularität

$g^*_{H,rel} = 31$

$g^*_{C,rel} = 40$

FRS09\_92a; adaptierte CIELAB-Daten

	$L^*=L_a^*$	$a_a^*$	$b_a^*$	$C^*_{ab,a}$	$h^*_{ab,a}$
r00j	35.47	63.32	30.17	70.15	25
r25j	39.12	54.56	49.45	73.64	42
r50j	50.64	39.15	64.89	75.79	59
r75j	64.01	21.26	82.83	85.52	76
j00g	83.18	-4.37	108.53	108.62	92
j25g	66.73	-29.88	83.06	88.28	110
j50g	54.03	-48.3	63.49	79.78	127
j75g	44.73	-60.32	42.64	73.88	145
g00b	47.59	-49.07	15.74	51.54	162
g25b	49.97	-39.69	-6.71	40.27	190
g50b	51.85	-32.32	-24.34	40.48	217
g75b	46.92	-17.28	-36.01	39.96	244
b00r	37.91	1.28	-42.34	42.37	272
b25r	23.81	30.38	-52.25	60.45	300
b50r	29.52	69.06	-42.13	80.9	329
b75r	36.48	71.47	-3.68	71.57	357





Ein und Ausgabe: Farbmetrisches Drucker-Reflektiv-System FRS09\_92a für relativen CIELAB-Buntton  $h^* = lab^*h^* = h_{ab}/360 = 127/360 = 0.354$   $u^* = j50g$

Daten für jede Farbe:

$lab^*tch^*$  und  $lab^*icu^*$

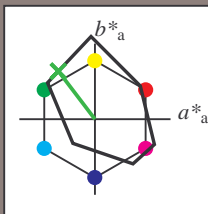
Elementar-Bunttontext:

$u^* = j50g$

Kontrastreduzierungsfaktor:

$c_R = 1.0$

Dreiecks-Helligkeit  $t^*$



FRS09\_92a; adaptierte CIELAB-Daten

	$L^*=L_a^*$	$a_a^*$	$b_a^*$	$C^*_{ab,a}$	$h^*_{ab,a}$
O <sub>Ma</sub>	35.06	60.0	44.0	74.4	36
Y <sub>Ma</sub>	83.77	-5.16	109.32	109.44	93
L <sub>Ma</sub>	44.13	-62.66	48.24	79.09	142
C <sub>Ma</sub>	52.66	-29.13	-31.98	43.27	228
V <sub>Ma</sub>	14.15	50.3	-59.03	77.57	310
M <sub>Ma</sub>	37.37	78.64	-33.49	85.48	337
N <sub>Ma</sub>	8.58	0.0	0.0	0.0	0
W <sub>Ma</sub>	92.02	0.0	0.0	0.0	0
R <sub>CIE</sub>	39.92	58.74	27.99	65.07	25
J <sub>CIE</sub>	81.26	-2.88	71.56	71.62	92
G <sub>CIE</sub>	52.23	-42.41	13.6	44.55	162
B <sub>CIE</sub>	30.57	1.41	-46.46	46.49	272

Daten für Maximalfarbe (Ma):

$LAB^*LAB^*_{Ma}$ : 54 -47 63

$LAB^*LCH^*_{Ma}$ : 54 80 127

$lab^*rgb^*_{Ma}$ : 0.5 1.0 0.0

$lab^*olv^*_{Ma}$ : 0.25 1.0 0.0

Dreiecks-Helligkeit  $t^*$

%Umfang

$u^*_{rel} = 109$

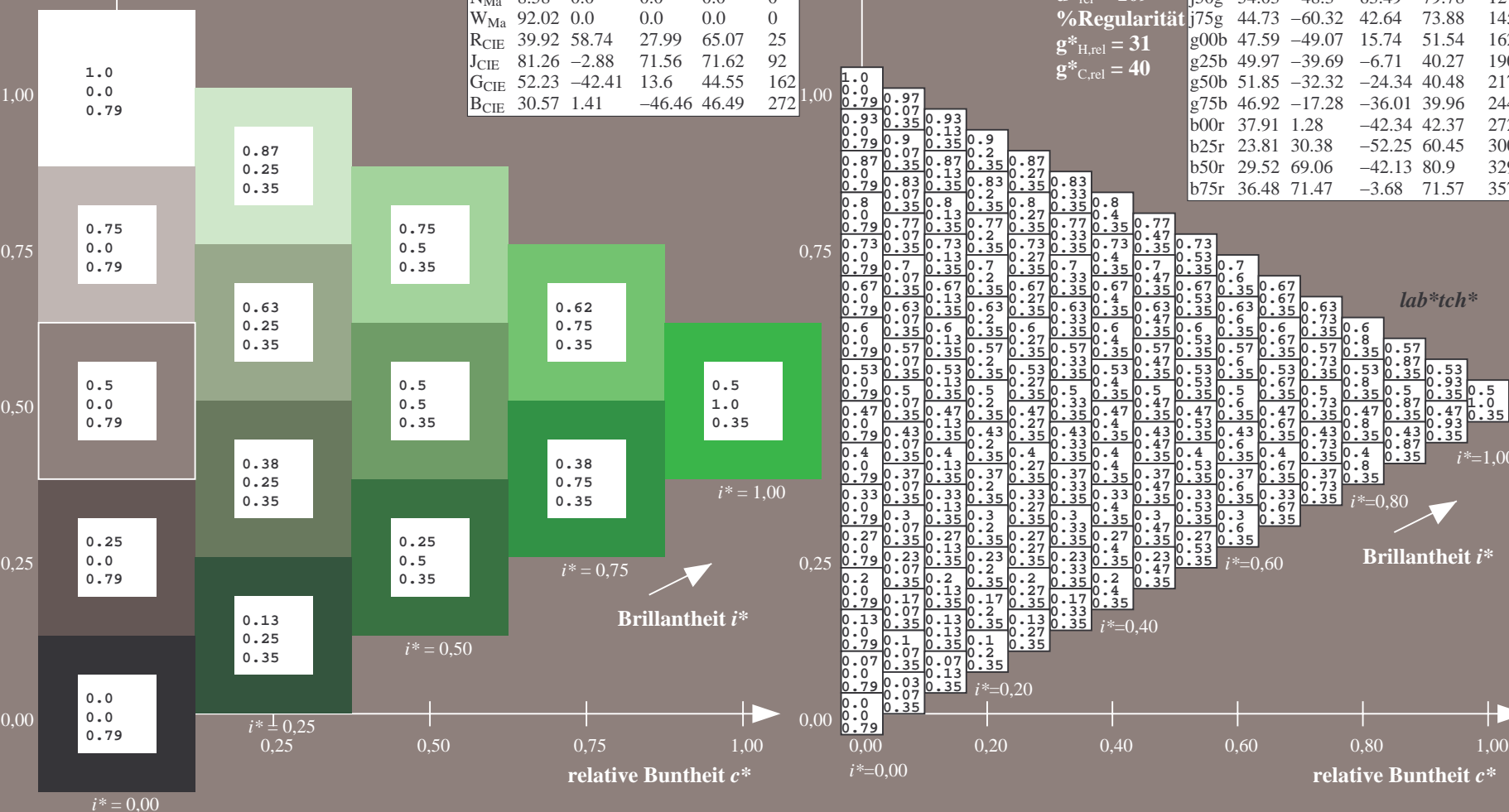
%Regularität

$g^*_{H,rel} = 31$

$g^*_{C,rel} = 40$

FRS09\_92a; adaptierte CIELAB-Daten

	$L^*=L_a^*$	$a_a^*$	$b_a^*$	$C^*_{ab,a}$	$h^*_{ab,a}$
r00j	35.47	63.32	30.17	70.15	25
r25j	39.12	54.56	49.45	73.64	42
r50j	50.64	39.15	64.89	75.79	59
r75j	64.01	21.26	82.83	85.52	76
j00g	83.18	-4.37	108.53	108.62	92
j25g	66.73	-29.88	83.06	88.28	110
j50g	54.03	-48.3	63.49	79.78	127
j75g	44.73	-60.32	42.64	73.88	145
g00b	47.59	-49.07	15.74	51.54	162
g25b	49.97	-39.69	-6.71	40.27	190
g50b	51.85	-32.32	-24.34	40.48	217
g75b	46.92	-17.28	-36.01	39.96	244
b00r	37.91	1.28	-42.34	42.37	272
b25r	23.81	30.38	-52.25	60.45	300
b50r	29.52	69.06	-42.13	80.9	329
b75r	36.48	71.47	-3.68	71.57	357





Ein und Ausgabe: Farbmetrisches Drucker-Reflektiv-System FRS09\_92a für relativen CIELAB-Buntton  $h^* = lab^*h^* = h_{ab}/360 = 145/360 = 0.402$   $u^* = j75g$

Daten für jede Farbe:

$lab^*tch^*$  und  $lab^*icu^*$

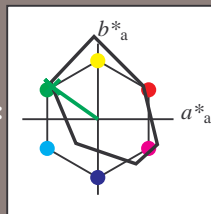
Elementar-Bunttontext:

$u^* = j75g$

Kontrastreduzierungsfaktor:

$c_R = 1.0$

Dreiecks-Helligkeit  $t^*$



FRS09\_92a; adaptierte CIELAB-Daten

	$L^*=L_a^*$	$a_a^*$	$b_a^*$	$C_{ab,a}^*$	$h_{ab,a}^*$
O <sub>Ma</sub>	35.06	60.0	44.0	74.4	36
Y <sub>Ma</sub>	83.77	-5.16	109.32	109.44	93
L <sub>Ma</sub>	44.13	-62.66	48.24	79.09	142
C <sub>Ma</sub>	52.66	-29.13	-31.98	43.27	228
V <sub>Ma</sub>	14.15	50.3	-59.03	77.57	310
M <sub>Ma</sub>	37.37	78.64	-33.49	85.48	337
N <sub>Ma</sub>	8.58	0.0	0.0	0.0	0
W <sub>Ma</sub>	92.02	0.0	0.0	0.0	0
R <sub>CIE</sub>	39.92	58.74	27.99	65.07	25
J <sub>CIE</sub>	81.26	-2.88	71.56	71.62	92
G <sub>CIE</sub>	52.23	-42.41	13.6	44.55	162
B <sub>CIE</sub>	30.57	1.41	-46.46	46.49	272

Daten für Maximalfarbe (Ma):

$LAB^*LAB^*_{Ma}$ : 45 -59 43

$LAB^*LCH^*_{Ma}$ : 45 74 145

$lab^*rgb^*_{Ma}$ : 0.25 1.0 0.0

$lab^*olv^*_{Ma}$ : 0.0 1.0 0.07

Dreiecks-Helligkeit  $t^*$

%Umfang

$u^*_{rel} = 109$

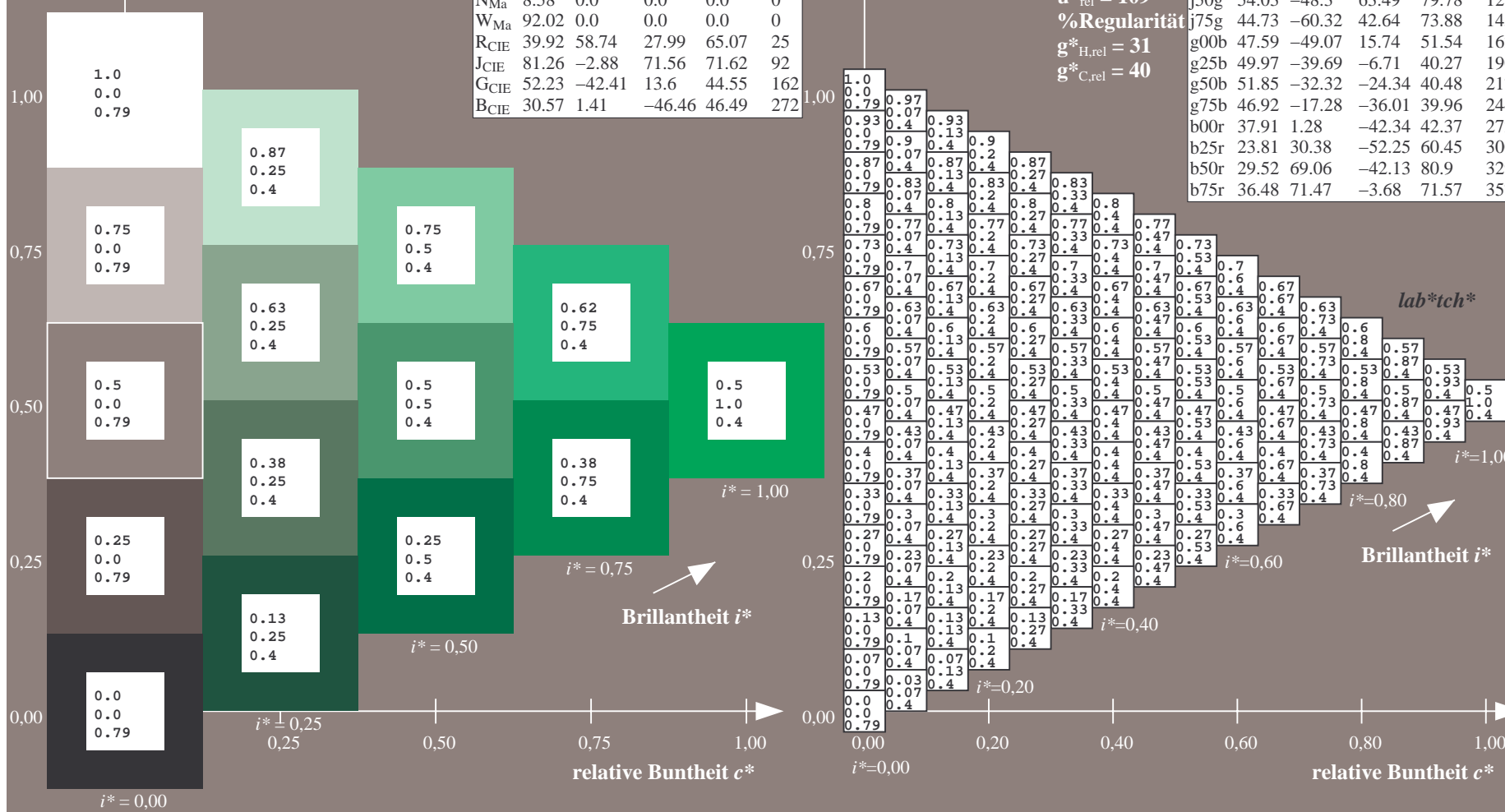
%Regularität

$g^*_{H,rel} = 31$

$g^*_{C,rel} = 40$

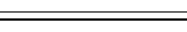
FRS09\_92a; adaptierte CIELAB-Daten

	$L^*=L_a^*$	$a_a^*$	$b_a^*$	$C_{ab,a}^*$	$h_{ab,a}^*$
r00j	35.47	63.32	30.17	70.15	25
r25j	39.12	54.56	49.45	73.64	42
r50j	50.64	39.15	64.89	75.79	59
r75j	64.01	21.26	82.83	85.52	76
j00g	83.18	-4.37	108.53	108.62	92
j25g	66.73	-29.88	83.06	88.28	110
j50g	54.03	-48.3	63.49	79.78	127
j75g	44.73	-60.32	42.64	73.88	145
g00b	47.59	-49.07	15.74	51.54	162
g25b	49.97	-39.69	-6.71	40.27	190
g50b	51.85	-32.32	-24.34	40.48	217
g75b	46.92	-17.28	-36.01	39.96	244
b00r	37.91	1.28	-42.34	42.37	272
b25r	23.81	30.38	-52.25	60.45	300
b50r	29.52	69.06	-42.13	80.9	329
b75r	36.48	71.47	-3.68	71.57	357



BAM-Registrierung: 20080701-Dg96/10L/L96G00NA.PS/.TXTBAM-Material: Code=rha4ta  
+ Anwendung für Beurteilung und Messung von Drucker- oder Monitorsystemen

100



Ausgabe:  $\rightarrow cmy\mathbf{n}5^* setcmykcolor$

BAM-Registrierung: 20080701-Dg96/10L/L96G00NA.PS/ .TXTBAM-Material: Code=rha4ta  
Anwendung für Beurteilung und Messung von Drucker- oder Monitorsystemen

Ein und Ausgabe: Farbmetrisches Drucker-Reflektiv-System FRS09\_92a für relativen CIELAB-Buntton  $h^* = lab^*h^* = h_{ab}/360 = 217/360 = 0.603$   $u^* = g50b$

Daten für jede Farbe:

$lab^*ch^*$  und  $lab^*icu^*$

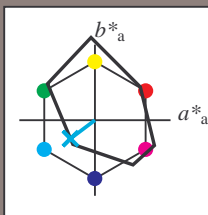
Elementar-Bunttontext:

$u^* = g50b$

Kontrastreduzierungsfaktor:

$c_R = 1.0$

Dreiecks-Helligkeit  $i^*$



FRS09_92a; adaptierte CIELAB-Daten					
	$L^*=L^*_a$	$a^*_a$	$b^*_a$	$C^*_{ab,a}$	$h^*_{ab,a}$
O <sub>Ma</sub>	35.06	60.0	44.0	74.4	36
Y <sub>Ma</sub>	83.77	-5.16	109.32	109.44	93
L <sub>Ma</sub>	44.13	-62.66	48.24	79.09	142
C <sub>Ma</sub>	52.66	-29.13	-31.98	43.27	228
V <sub>Ma</sub>	14.15	50.3	-59.03	77.57	310
M <sub>Ma</sub>	37.37	78.64	-33.49	85.48	337
N <sub>Ma</sub>	8.58	0.0	0.0	0.0	0
W <sub>Ma</sub>	92.02	0.0	0.0	0.0	0
R <sub>CIE</sub>	39.92	58.74	27.99	65.07	25
J <sub>CIE</sub>	81.26	-2.88	71.56	71.62	92
G <sub>CIE</sub>	52.23	-42.41	13.6	44.55	162
B <sub>CIE</sub>	30.57	1.41	-46.46	46.49	272

Daten für Maximalfarbe (Ma):

$LAB^*LAB^*_{Ma}$ : 52 -31 -23

$LAB^*LCH^*_{Ma}$ : 52 40 217

$lab^*rgb^*_{Ma}$ : 0.0 1.0 1.0

$lab^*olv^*_{Ma}$ : 0.0 1.0 0.9

Dreiecks-Helligkeit  $i^*$

%Umfang

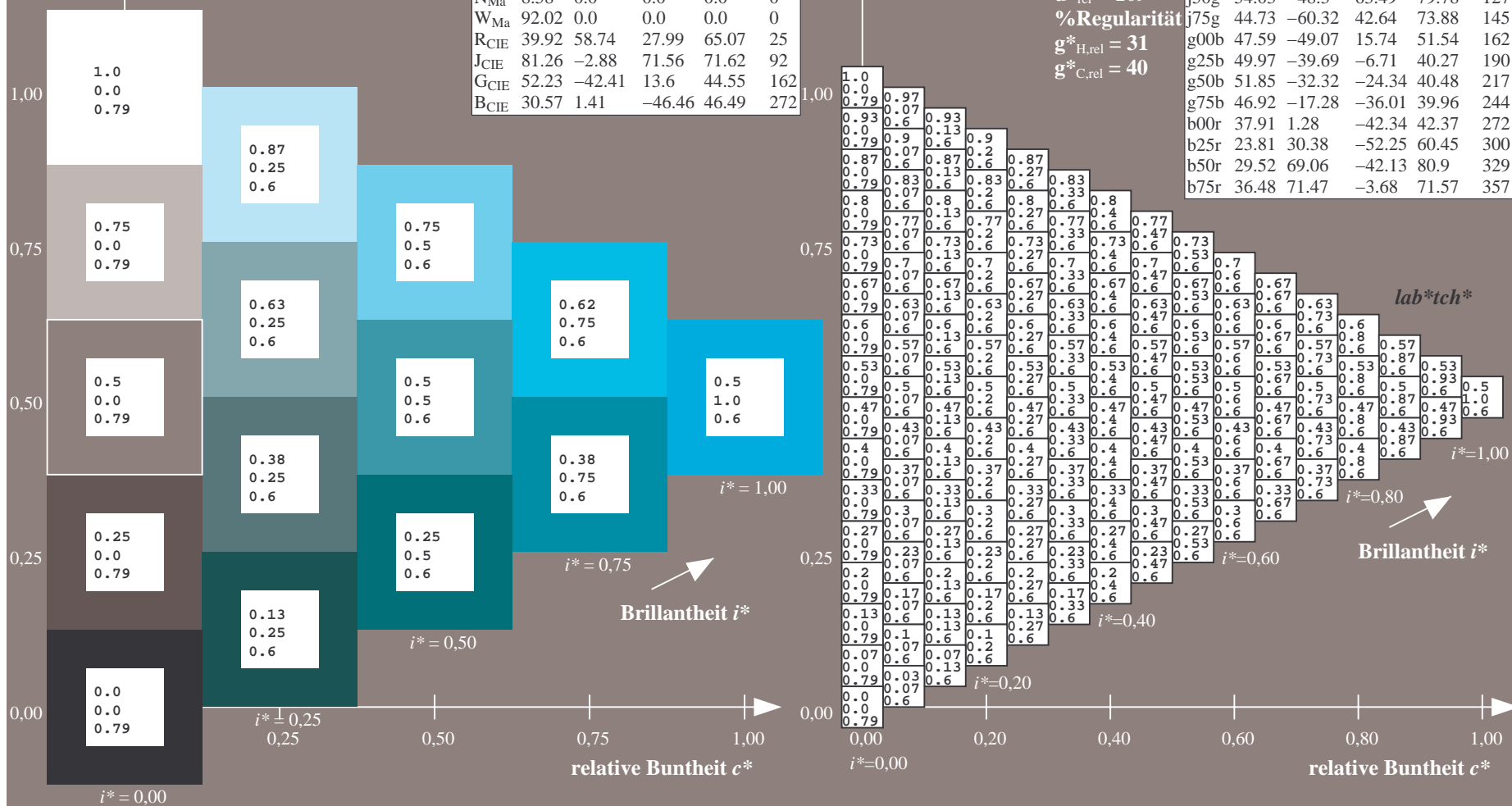
$u^*_{rel} = 109$

%Regularität

$g^*_{H,rel} = 31$

$g^*_{C,rel} = 40$

FRS09_92a; adaptierte CIELAB-Daten					
	$L^*=L^*_a$	$a^*_a$	$b^*_a$	$C^*_{ab,a}$	$h^*_{ab,a}$
r00j	35.47	63.32	30.17	70.15	25
r25j	39.12	54.56	49.45	73.64	42
r50j	50.64	39.15	64.89	75.79	59
r75j	64.01	21.26	82.83	85.52	76
j00g	83.18	-4.37	108.53	108.62	92
j25g	66.73	-29.88	83.06	88.28	110
j50g	54.03	-48.3	63.49	79.78	127
j75g	44.73	-60.32	42.64	73.88	145
g00b	47.59	-49.07	15.74	51.54	162
g25b	49.97	-39.69	-6.71	40.27	190
g50b	51.85	-32.32	-24.34	40.48	217
g75b	46.92	-17.28	-36.01	39.96	244
b00r	37.91	1.28	-42.34	42.37	272
b25r	23.81	30.38	-52.25	60.45	300
b50r	29.52	69.06	-42.13	80.9	329
b75r	36.48	71.47	-3.68	71.57	357





▲

relative Buntheit  $c^*$ relative Buntheit  $c^*$ relative Buntheit  $c^*$ 

Ausgabe:  $\rightarrow cmy\mathbf{n}5^* setcmykcolor$

BAM-Registrierung: 20080701-Dg96/10L/L96G00NA.PS/ .TXTBAM-Material: Code=rha4ta  
- Anwendung für Beurteilung und Messung von Drucker- oder Monitorsystemen



Ein und Ausgabe: Farbmetrisches Drucker-Reflektiv-System FRS09\_92a für relativen CIELAB-Buntton  $h^* = lab^*h^* = h_{ab}/360 = 272/360 = 0.755$   $u^* = b00r$

Daten für jede Farbe:

$lab^*tch^*$  und  $lab^*icu^*$

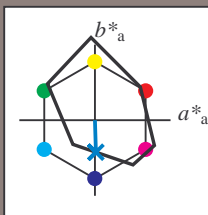
Elementar-Bunttontext:

$u^* = b00r$

Kontrastreduzierungsfaktor:

$c_R = 1.0$

Dreiecks-Helligkeit  $t^*$



FRS09\_92a; adaptierte CIELAB-Daten

	$L^*=L_a^*$	$a_a^*$	$b_a^*$	$C_{ab,a}^*$	$h_{ab,a}^*$
O <sub>Ma</sub>	35.06	60.0	44.0	74.4	36
Y <sub>Ma</sub>	83.77	-5.16	109.32	109.44	93
L <sub>Ma</sub>	44.13	-62.66	48.24	79.09	142
C <sub>Ma</sub>	52.66	-29.13	-31.98	43.27	228
V <sub>Ma</sub>	14.15	50.3	-59.03	77.57	310
M <sub>Ma</sub>	37.37	78.64	-33.49	85.48	337
N <sub>Ma</sub>	8.58	0.0	0.0	0.0	0
W <sub>Ma</sub>	92.02	0.0	0.0	0.0	0
R <sub>CIE</sub>	39.92	58.74	27.99	65.07	25
J <sub>CIE</sub>	81.26	-2.88	71.56	71.62	92
G <sub>CIE</sub>	52.23	-42.41	13.6	44.55	162
B <sub>CIE</sub>	30.57	1.41	-46.46	46.49	272

Daten für Maximalfarbe (Ma):

$LAB^*LAB^*_{Ma}$ : 38 1 -41

$LAB^*LCH^*_{Ma}$ : 38 42 272

$lab^*rgb^*_{Ma}$ : 0.0 0.0 1.0

$lab^*olv^*_{Ma}$ : 0.0 0.62 1.0

Dreiecks-Helligkeit  $t^*$

%Umfang

$u^*_{rel} = 109$

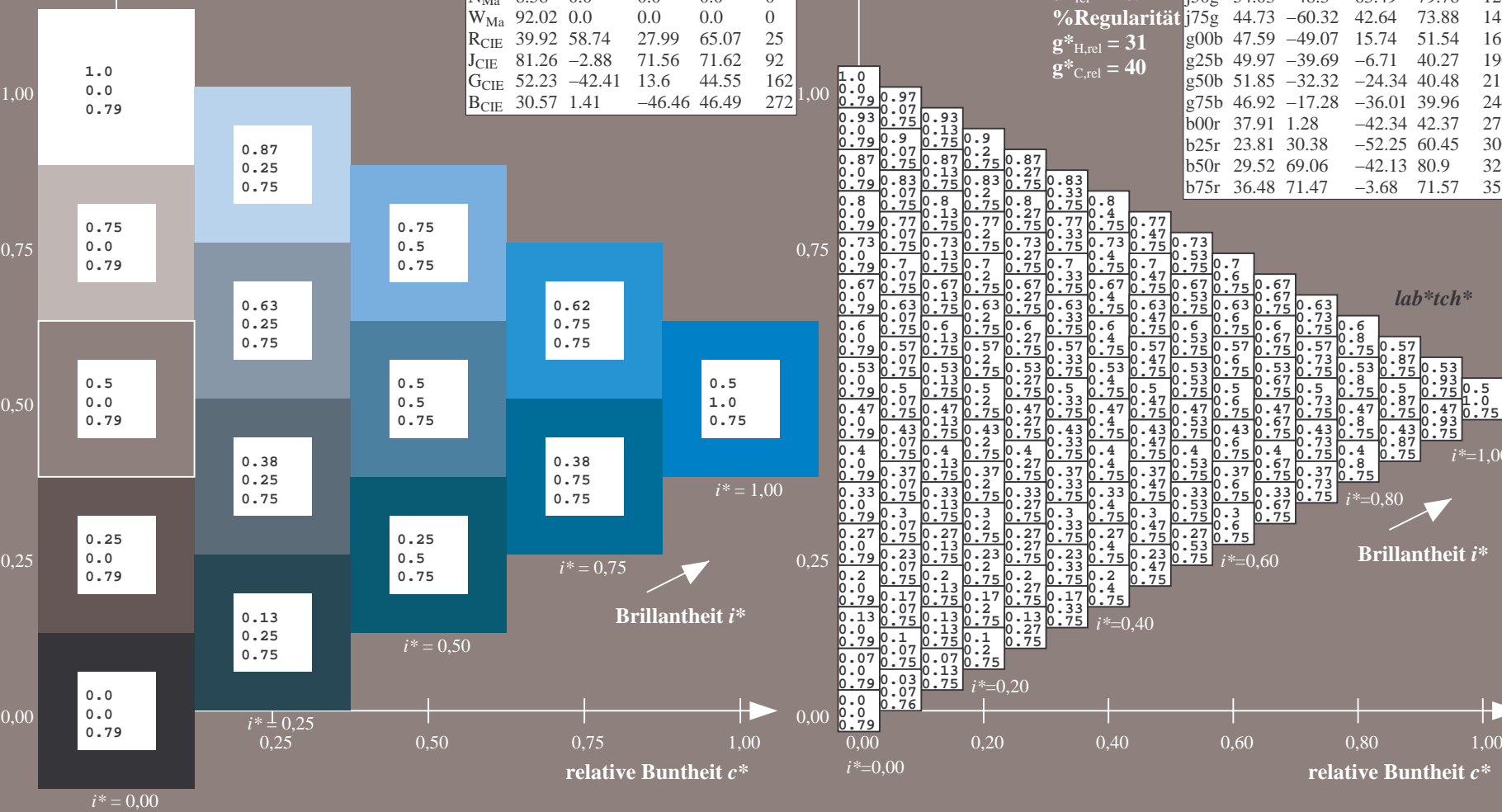
%Regularität

$g^*_{H,rel} = 31$

$g^*_{C,rel} = 40$

FRS09\_92a; adaptierte CIELAB-Daten

	$L^*=L_a^*$	$a_a^*$	$b_a^*$	$C_{ab,a}^*$	$h_{ab,a}^*$
r00j	35.47	63.32	30.17	70.15	25
r25j	39.12	54.56	49.45	73.64	42
r50j	50.64	39.15	64.89	75.79	59
r75j	64.01	21.26	82.83	85.52	76
j00g	83.18	-4.37	108.53	108.62	92
j25g	66.73	-29.88	83.06	88.28	110
j50g	54.03	-48.3	63.49	79.78	127
j75g	44.73	-60.32	42.64	73.88	145
g00b	47.59	-49.07	15.74	51.54	162
g25b	49.97	-39.69	-6.71	40.27	190
g50b	51.85	-32.32	-24.34	40.48	217
g75b	46.92	-17.28	-36.01	39.96	244
b00r	37.91	1.28	-42.34	42.37	272
b25r	23.81	30.38	-52.25	60.45	300
b50r	29.52	69.06	-42.13	80.9	329
b75r	36.48	71.47	-3.68	71.57	357



Ein und Ausgabe: Farbmimetrisches Drucker-Reflektiv-System FRS09\_92a für relativen CIELAB-Buntton  $h^* = lab^*h^* = h_{ab}/360 = 300/360 = 0.834$   $u^* = b25r$

Daten für jede Farbe:

$lab^*tch^*$  und  $lab^*icu^*$

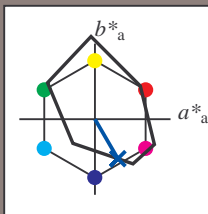
Elementar-Bunttontext:

$u^* = b25r$

Kontrastreduzierungsfaktor:

$c_R = 1.0$

Dreiecks-Helligkeit  $t^*$



FRS09\_92a; adaptierte CIELAB-Daten

	$L^*=L_a^*$	$a_a^*$	$b_a^*$	$C^*_{ab,a}$	$h^*_{ab,a}$
O <sub>Ma</sub>	35.06	60.0	44.0	74.4	36
Y <sub>Ma</sub>	83.77	-5.16	109.32	109.44	93
L <sub>Ma</sub>	44.13	-62.66	48.24	79.09	142
C <sub>Ma</sub>	52.66	-29.13	-31.98	43.27	228
V <sub>Ma</sub>	14.15	50.3	-59.03	77.57	310
M <sub>Ma</sub>	37.37	78.64	-33.49	85.48	337
N <sub>Ma</sub>	8.58	0.0	0.0	0.0	0
W <sub>Ma</sub>	92.02	0.0	0.0	0.0	0
R <sub>CIE</sub>	39.92	58.74	27.99	65.07	25
J <sub>CIE</sub>	81.26	-2.88	71.56	71.62	92
G <sub>CIE</sub>	52.23	-42.41	13.6	44.55	162
B <sub>CIE</sub>	30.57	1.41	-46.46	46.49	272

Daten für Maximalfarbe (Ma):

$LAB^*LAB^*_{Ma}$ : 24 30 -51

$LAB^*LCH^*_{Ma}$ : 24 60 300

$lab^*rgb^*_{Ma}$ : 0.5 0.0 1.0

$lab^*olv^*_{Ma}$ : 0.0 0.25 1.0

Dreiecks-Helligkeit  $t^*$

%Umfang

$u^*_{rel} = 109$

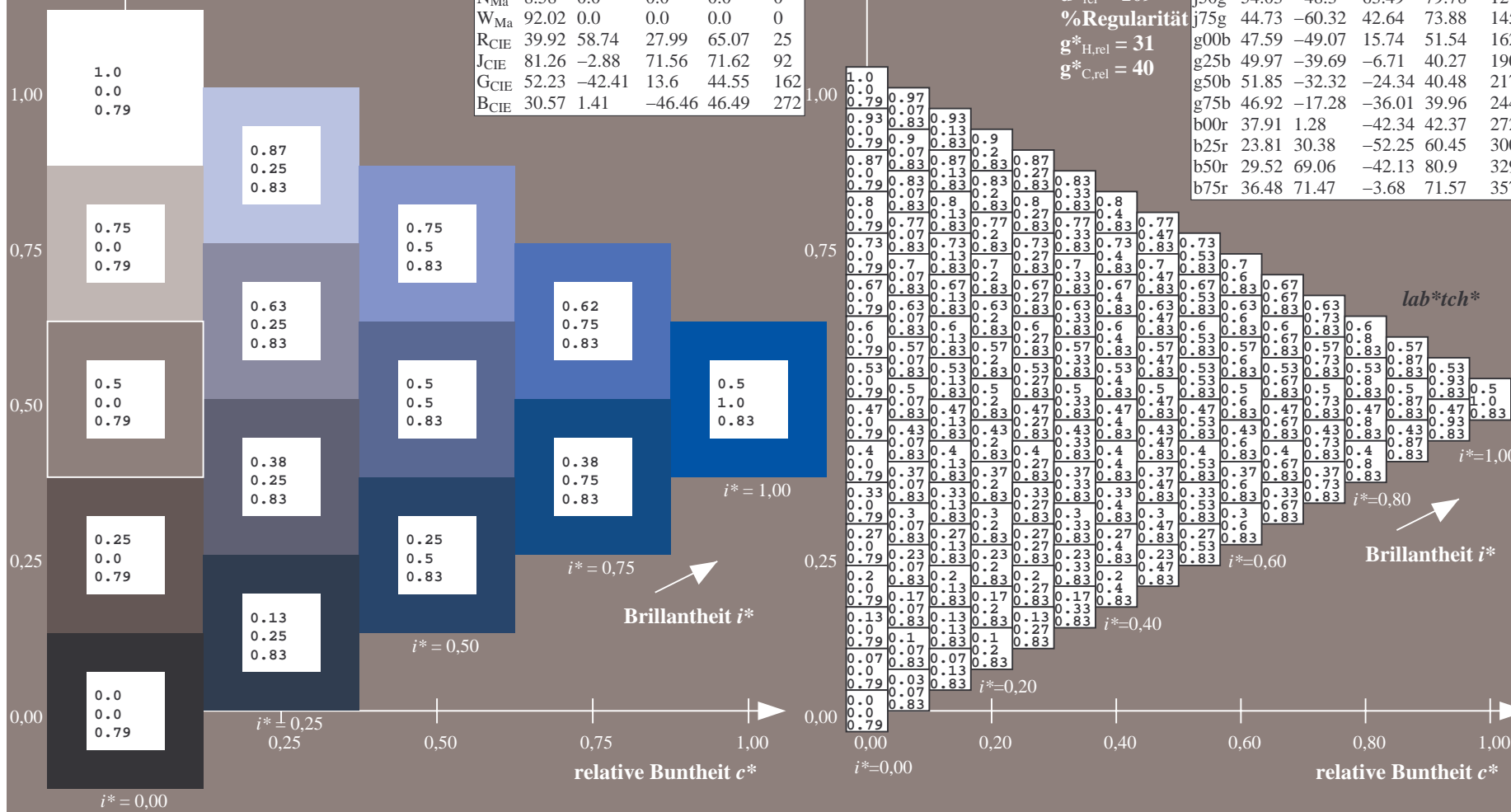
%Regularität

$g^*_{H,rel} = 31$

$g^*_{C,rel} = 40$

FRS09\_92a; adaptierte CIELAB-Daten

	$L^*=L_a^*$	$a_a^*$	$b_a^*$	$C^*_{ab,a}$	$h^*_{ab,a}$
r00j	35.47	63.32	30.17	70.15	25
r25j	39.12	54.56	49.45	73.64	42
r50j	50.64	39.15	64.89	75.79	59
r75j	64.01	21.26	82.83	85.52	76
j00g	83.18	-4.37	108.53	108.62	92
j25g	66.73	-29.88	83.06	88.28	110
j50g	54.03	-48.3	63.49	79.78	127
j75g	44.73	-60.32	42.64	73.88	145
g00b	47.59	-49.07	15.74	51.54	162
g25b	49.97	-39.69	-6.71	40.27	190
g50b	51.85	-32.32	-24.34	40.48	217
g75b	46.92	-17.28	-36.01	39.96	244
b00r	37.91	1.28	-42.34	42.37	272
b25r	23.81	30.38	-52.25	60.45	300
b50r	29.52	69.06	-42.13	80.9	329
b75r	36.48	71.47	-3.68	71.57	357



0



Figure 1 is a 3D bar chart illustrating the percentage of regularity (%Regularity) for different combinations of  $g^*_{H,rel}$  and  $g^*_{C,rel}$ . The vertical axis represents  $g^*_{H,rel}$  (ranging from 0.00 to 1.00), the horizontal axis represents  $g^*_{C,rel}$  (ranging from 0.00 to 0.40), and the depth axis represents the percentage of regularity (ranging from 0.00 to 1.00). The chart shows that the percentage of regularity increases as  $g^*_{H,rel}$  increases and as  $g^*_{C,rel}$  decreases. The highest regularity is observed for  $g^*_{H,rel} = 1.00$  and  $g^*_{C,rel} = 0.00$ , reaching 100%.

Farbreihen, 8 Datentabellen für 16 Bunttöne *r00j* bis *b75r*

Ausgabe:  $\rightarrow cmy\mathbf{n}5^* setcmy\mathbf{k}color$

BAM-Registrierung: 20080701-Dg96/10L/L96G00NA.PS/.TXTBAM-Material: Code=rha4ta  
Anwendung für Beurteilung und Messung von Drucker- oder Monitorsystemen

Ein und Ausgabe: Farbmetrisches Drucker-Reflektiv-System FRS09\_92a für relativen CIELAB-Buntton  $h^* = lab^*h^* = h_{ab}/360 = 357/360 = 0.992$   $u^* = b75r$   
Daten für jede Farbe:  
 $lab^*tch^*$  und  $lab^*icu^*$

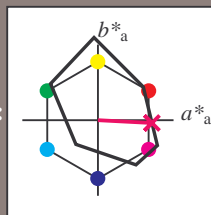
Elementar-Bunttontext:

$u^* = b75r$

Kontrastreduzierungsfaktor:

$c_R = 1.0$

Dreiecks-Helligkeit  $t^*$



FRS09_92a; adaptierte CIELAB-Daten					
	$L^*=L_a^*$	$a_a^*$	$b_a^*$	$C_{ab,a}^*$	$h_{ab,a}^*$
O <sub>Ma</sub>	35.06	60.0	44.0	74.4	36
Y <sub>Ma</sub>	83.77	-5.16	109.32	109.44	93
L <sub>Ma</sub>	44.13	-62.66	48.24	79.09	142
C <sub>Ma</sub>	52.66	-29.13	-31.98	43.27	228
V <sub>Ma</sub>	14.15	50.3	-59.03	77.57	310
M <sub>Ma</sub>	37.37	78.64	-33.49	85.48	337
N <sub>Ma</sub>	8.58	0.0	0.0	0.0	0
W <sub>Ma</sub>	92.02	0.0	0.0	0.0	0
R <sub>CIE</sub>	39.92	58.74	27.99	65.07	25
J <sub>CIE</sub>	81.26	-2.88	71.56	71.62	92
G <sub>CIE</sub>	52.23	-42.41	13.6	44.55	162
B <sub>CIE</sub>	30.57	1.41	-46.46	46.49	272

Daten für Maximalfarbe (Ma):

$LAB^*LAB^*_{Ma}$ : 36 71 -3

$LAB^*LCH^*_{Ma}$ : 36 72 357

$lab^*rgb^*_{Ma}$ : 1.0 0.0 0.5

$lab^*olv^*_{Ma}$ : 1.0 0.0 0.62

Dreiecks-Helligkeit  $t^*$

%Umfang

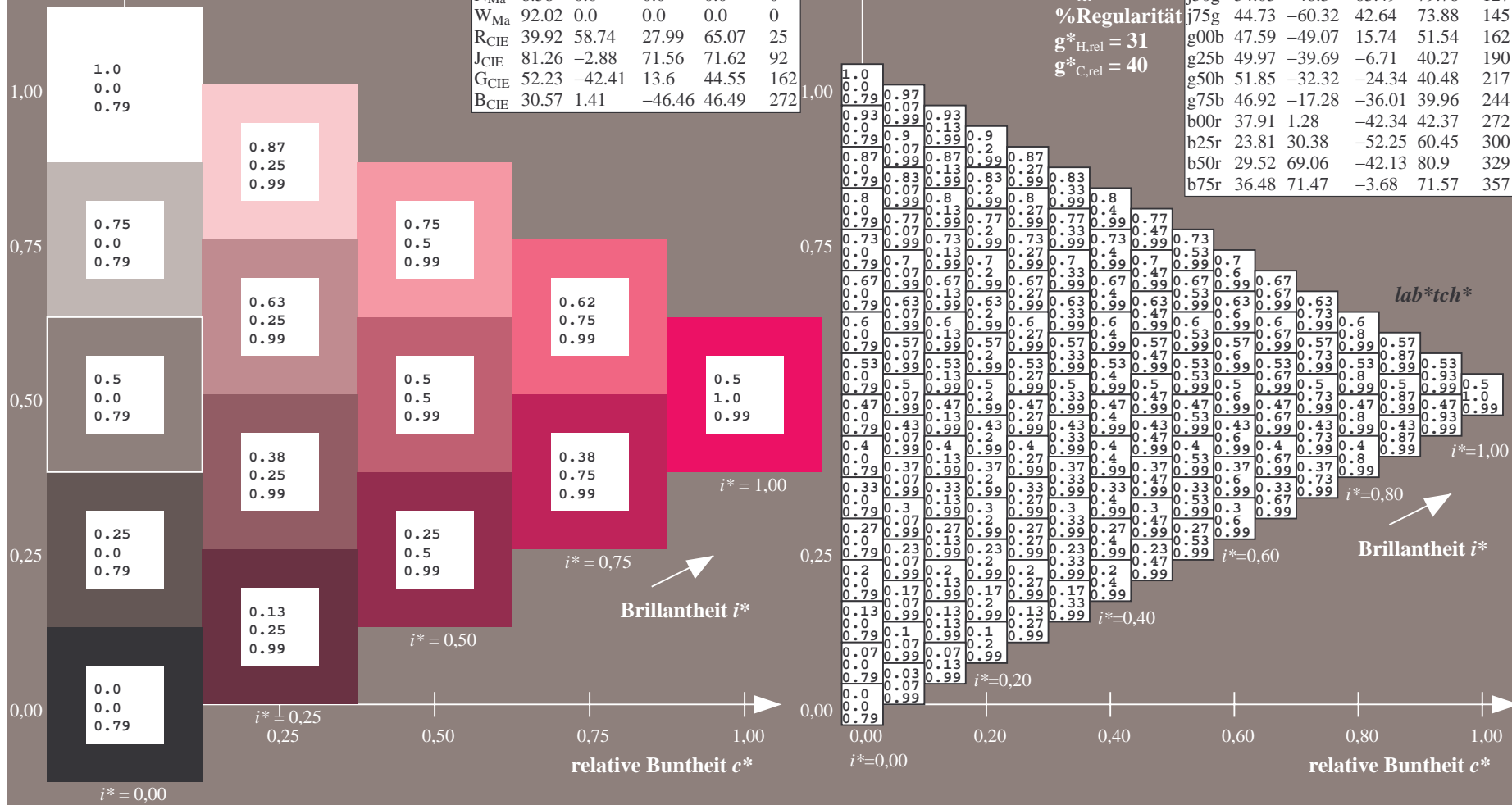
$u^*_{rel} = 109$

%Regularität

$g^*_{H,rel} = 31$

$g^*_{C,rel} = 40$

FRS09_92a; adaptierte CIELAB-Daten					
	$L^*=L_a^*$	$a_a^*$	$b_a^*$	$C_{ab,a}^*$	$h_{ab,a}^*$
r00j	35.47	63.32	30.17	70.15	25
r25j	39.12	54.56	49.45	73.64	42
r50j	50.64	39.15	64.89	75.79	59
r75j	64.01	21.26	82.83	85.52	76
j00g	83.18	-4.37	108.53	108.62	92
j25g	66.73	-29.88	83.06	88.28	110
j50g	54.03	-48.3	63.49	79.78	127
j75g	44.73	-60.32	42.64	73.88	145
g00b	47.59	-49.07	15.74	51.54	162
g25b	49.97	-39.69	-6.71	40.27	190
g50b	51.85	-32.32	-24.34	40.48	217
g75b	46.92	-17.28	-36.01	39.96	244
b00r	37.91	1.28	-42.34	42.37	272
b25r	23.81	30.38	-52.25	60.45	300
b50r	29.52	69.06	-42.13	80.9	329
b75r	36.48	71.47	-3.68	71.57	357





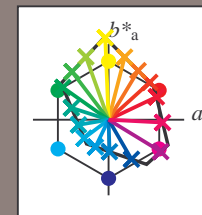
Siehe ähnliche Dateien: <http://www.ps.bam.de/Dg96/>; [www.ps.bam.de/Dg96/10L/L96G00NA.PS/.TXT](http://www.ps.bam.de/Dg96/10L/L96G00NA.PS/.TXT)  
Technische Information: <http://www.ps.bam.de/Version2.1,io=1.1,ColSpX=0>

	A	B	C	D	E	F	G	H	I	J	K	L	M	N	O	P	Q	R	S	T	U	V	W	X	Y	Z	a	b	c	d	e	f	g	h	i	j	k	lab* <i>tch*</i>								
0.0	0.06	0.13	0.19	0.25	0.31	0.38	0.44	0.5	0.06	0.06	0.13	0.19	0.25	0.31	0.38	0.44	0.5	0.13	0.13	0.13	0.19	0.25	0.31	0.38	0.44	0.5	0.13	0.38	0.44	0.5	1.0	0.94	0.87	0.81	0.75	0.69	0.62	0.56	0.5	0.0	0.0	0.0	0.0			
0.0	0.12	0.25	0.37	0.5	0.62	0.75	0.87	1.0	0.12	0.12	0.25	0.37	0.5	0.62	0.75	0.87	1.0	0.25	0.25	0.25	0.37	0.5	0.62	0.75	0.87	1.0	0.25	0.75	0.87	1.0	0.0	0.12	0.25	0.37	0.5	0.62	0.75	0.87	1.0	0.0	0.0	0.0	0.0			
0.06	0.06	0.13	0.19	0.25	0.31	0.38	0.44	0.5	0.06	0.13	0.19	0.25	0.31	0.38	0.44	0.5	0.06	0.13	0.19	0.25	0.31	0.38	0.44	0.5	0.06	0.13	0.19	0.25	0.31	0.38	0.44	0.5	0.56	0.63	0.63	0.56	0.63	0.56	0.5	0.44	0.13	0.13	0.13			
0.12	0.12	0.25	0.37	0.5	0.62	0.75	0.87	1.0	0.12	0.13	0.25	0.38	0.5	0.63	0.75	0.87	0.5	0.63	0.25	0.13	0.25	0.38	0.5	0.63	0.75	0.87	0.12	0.0	0.13	0.25	0.38	0.5	0.63	0.75	0.87	0.12	0.0	0.0	0.0	0.0	0.0	0.0				
0.86	0.63	0.47	0.44	0.42	0.42	0.41	0.41	0.41	0.94	0.79	0.4	0.4	0.4	0.4	0.4	0.4	0.4	0.01	0.1	0.26	0.31	0.34	0.35	0.36	0.37	0.37	0.37	0.63	0.79	0.1	0.1	0.1	0.1	0.1	0.1	0.1	0.1	0.1	0.1	0.1	0.79	0.79	0.79	0.79		
0.13	0.13	0.13	0.19	0.25	0.31	0.38	0.44	0.5	0.13	0.19	0.19	0.25	0.31	0.38	0.44	0.5	0.56	0.13	0.19	0.25	0.31	0.38	0.44	0.5	0.56	0.62	0.87	0.81	0.75	0.69	0.63	0.56	0.5	0.44	0.38	0.25	0.25	0.25	0.25	0.25	0.25	0.25				
0.25	0.25	0.25	0.37	0.5	0.62	0.75	0.87	1.0	0.25	0.13	0.25	0.38	0.5	0.63	0.75	0.87	0.25	0.13	0.0	0.13	0.25	0.38	0.5	0.63	0.75	0.87	0.25	0.38	0.5	0.63	0.75	0.25	0.13	0.0	0.13	0.25	0.38	0.5	0.63	0.75	0.0	0.0	0.0	0.0		
0.86	0.79	0.63	0.52	0.47	0.45	0.44	0.43	0.42	0.9	0.86	0.63	0.47	0.44	0.42	0.42	0.41	0.41	0.94	0.94	0.79	0.4	0.4	0.4	0.4	0.4	0.4	0.4	0.4	0.4	0.4	0.63	0.63	0.79	0.1	0.1	0.1	0.1	0.1	0.1	0.1	0.1	0.79	0.79	0.79	0.79	
0.19	0.19	0.19	0.19	0.25	0.31	0.38	0.44	0.5	0.19	0.25	0.25	0.31	0.38	0.44	0.5	0.56	0.19	0.25	0.31	0.38	0.44	0.5	0.56	0.62	0.81	0.75	0.69	0.63	0.56	0.5	0.44	0.38	0.31	0.25	0.19	0.13	0.06	0.0	0.0	0.0	0.0	0.0	0.0			
0.37	0.37	0.37	0.37	0.5	0.62	0.75	0.87	1.0	0.37	0.25	0.25	0.38	0.5	0.63	0.75	0.87	0.37	0.25	0.13	0.25	0.38	0.5	0.63	0.75	0.87	0.37	0.5	0.63	0.75	0.37	0.25	0.13	0.0	0.13	0.25	0.38	0.5	0.62	0.0	0.0	0.0	0.0	0.0			
0.86	0.82	0.74	0.63	0.55	0.5	0.47	0.46	0.44	0.89	0.86	0.79	0.63	0.52	0.47	0.45	0.44	0.43	0.91	0.9	0.86	0.63	0.47	0.44	0.42	0.42	0.41	0.63	0.75	0.87	0.42	0.41	0.63	0.63	0.79	0.1	0.1	0.1	0.1	0.1	0.1	0.1	0.1	0.79	0.79	0.79	0.79
0.25	0.25	0.25	0.25	0.25	0.31	0.38	0.44	0.5	0.25	0.31	0.31	0.31	0.31	0.38	0.44	0.5	0.56	0.25	0.31	0.38	0.38	0.38	0.44	0.5	0.56	0.62	0.75	0.69	0.63	0.56	0.5	0.44	0.38	0.31	0.25	0.5	0.5	0.5	0.5	0.5	0.5	0.5	0.5			
0.5	0.5	0.5	0.5	0.5	0.62	0.75	0.87	1.0	0.5	0.38	0.38	0.38	0.38	0.5	0.63	0.75	0.87	0.5	0.38	0.25	0.25	0.25	0.38	0.5	0.63	0.75	0.5	0.38	0.25	0.13	0.0	0.13	0.25	0.38	0.5	0.0	0.0	0.0	0.0	0.0	0.0	0.0	0.0	0.0		
0.86	0.83	0.79	0.71	0.63	0.57	0.52	0.49	0.47	0.88	0.86	0.82	0.74	0.63	0.55	0.5	0.47	0.46	0.9	0.89	0.86	0.79	0.63	0.52	0.47	0.45	0.44	0.63	0.63	0.63	0.63	0.63	0.79	0.1	0.1	0.1	0.1	0.1	0.1	0.1	0.1	0.79	0.79	0.79	0.79		
0.31	0.31	0.31	0.31	0.31	0.31	0.38	0.44	0.5	0.31	0.38	0.38	0.38	0.38	0.38	0.44	0.5	0.56	0.31	0.38	0.44	0.44	0.44	0.44	0.44	0.5	0.56	0.62	0.69	0.63	0.56	0.5	0.44	0.38	0.31	0.25	0.19	0.13	0.06	0.0	0.0	0.0	0.0	0.0	0.0		
0.62	0.62	0.62	0.62	0.62	0.62	0.75	0.87	1.0	0.62	0.5	0.5	0.5	0.5	0.5	0.63	0.75	0.87	0.62	0.5	0.38	0.38	0.38	0.38	0.5	0.63	0.75	0.62	0.5	0.38	0.25	0.13	0.0	0.13	0.25	0.37	0.0	0.0	0.0	0.0	0.0	0.0	0.0	0.0			
0.86	0.84	0.81	0.76	0.7	0.63	0.58	0.54	0.51	0.88	0.86	0.83	0.79	0.71	0.63	0.57	0.52	0.49	0.89	0.88	0.86	0.82	0.78	0.74	0.63	0.55	0.5	0.63	0.75	0.63	0.63	0.63	0.63	0.79	0.1	0.1	0.1	0.1	0.1	0.1	0.1	0.1	0.79	0.79	0.79	0.79	
0.38	0.38	0.38	0.38	0.38	0.38	0.38	0.44	0.5	0.38	0.44	0.44	0.44	0.44	0.44	0.44	0.5	0.56	0.38	0.44	0.5	0.5	0.5	0.5	0.5	0.5	0.5	0.56	0.62	0.62	0.56	0.5	0.44	0.38	0.31	0.25	0.19	0.13	0.06	0.0	0.0	0.0	0.0	0.0	0.0		
0.75	0.75	0.75	0.75	0.75	0.75	0.75	0.75	0.87	1.0	0.75	0.63	0.63	0.63	0.63	0.63	0.63	0.75	0.87	0.75	0.63	0.5	0.5	0.5	0.5	0.5	0.5	0.5	0.63	0.75	0.75	0.63	0.5	0.38	0.25	0.13	0.0	0.13	0.25	0.0	0.0	0.0	0.0	0.0	0.0		
0.86	0.85	0.82	0.79	0.74	0.68	0.63	0.59	0.55	0.88	0.86	0.84	0.81	0.76	0.7	0.63	0.58	0.54	0.89	0.88	0.86	0.83	0.79	0.71	0.63	0.57	0.52	0.63	0.63	0.63	0.63	0.63	0.63	0.63	0.63	0.63	0.63	0.63	0.63	0.63	0.63	0.63	0.63	0.63	0.63		
0.44	0.44	0.44	0.44	0.44	0.44	0.44	0.44	0.5	0.44	0.5	0.5	0.5	0.5	0.5	0.5	0.56	0.44	0.5	0.56	0.56	0.56	0.56	0.56	0.56	0.56	0.56	0.56	0.56	0.56	0.56	0.56	0.56	0.56	0.56	0.56	0.56	0.56	0.56	0.56	0.56	0.56	0.56	0.56	0.56		
0.87	0.87	0.87	0.87	0.87	0.87	0.87	0.87	0.87	0.87	0.87	0.87	0.87	0.87	0.87	0.87	0.87	0.87	0.87	0.87	0.87	0.87	0.87	0.87	0.87	0.87	0.87	0.87	0.87	0.87	0.87	0.87	0.87	0.87	0.87	0.87	0.87	0.87	0.87	0.87	0.87	0.87	0.87	0.87			
0.0	0.0	0.0	0.0	0.0	0.0	0.0	0.0	0.0	0.0	0.0	0.0	0.0	0.0	0.0	0.0	0.0	0.0	0.0	0.0	0.0	0.0	0.0	0.0	0.0	0.0	0.0	0.0	0.0	0.0	0.0	0.0	0.0	0.0	0.0	0.0	0.0	0.0	0.0	0.0	0.0	0.0	0.0	0.0	0.0	0.0	
0.5	0.5	0.5	0.5	0.5	0.5	0.5	0.5	0.5	0.5	0.5	0.5	0.5	0.5	0.5	0.5	0.56	0.5	0.56	0.56	0.56	0.56	0.56	0.56	0.56	0.56	0.56	0.56	0.56	0.56	0.56	0.56	0.56	0.56	0.56	0.56	0.56	0.56	0.56	0.56	0.56	0.56	0.56	0.56	0.56	0.56	
1.0	1.0	1.0	1.0	1.0	1.0	1.0	1.0	1.0	1.0	1.0	1.0	1.0	1.0	1.0	1.0	1.0	1.0	1.0	1.0	1.0	1.0	1.0	1.0	1.0	1.0	1.0	1.0	1.0	1.0	1.0	1.0	1.0	1.0	1.0	1.0	1.0	1.0	1.0	1.0	1.0	1.0	1.0	1.0	1.0	1.0	
0.86	0.85	0.83	0.81	0.79	0.75	0.71	0.67	0.63	0.87	0.8																																				



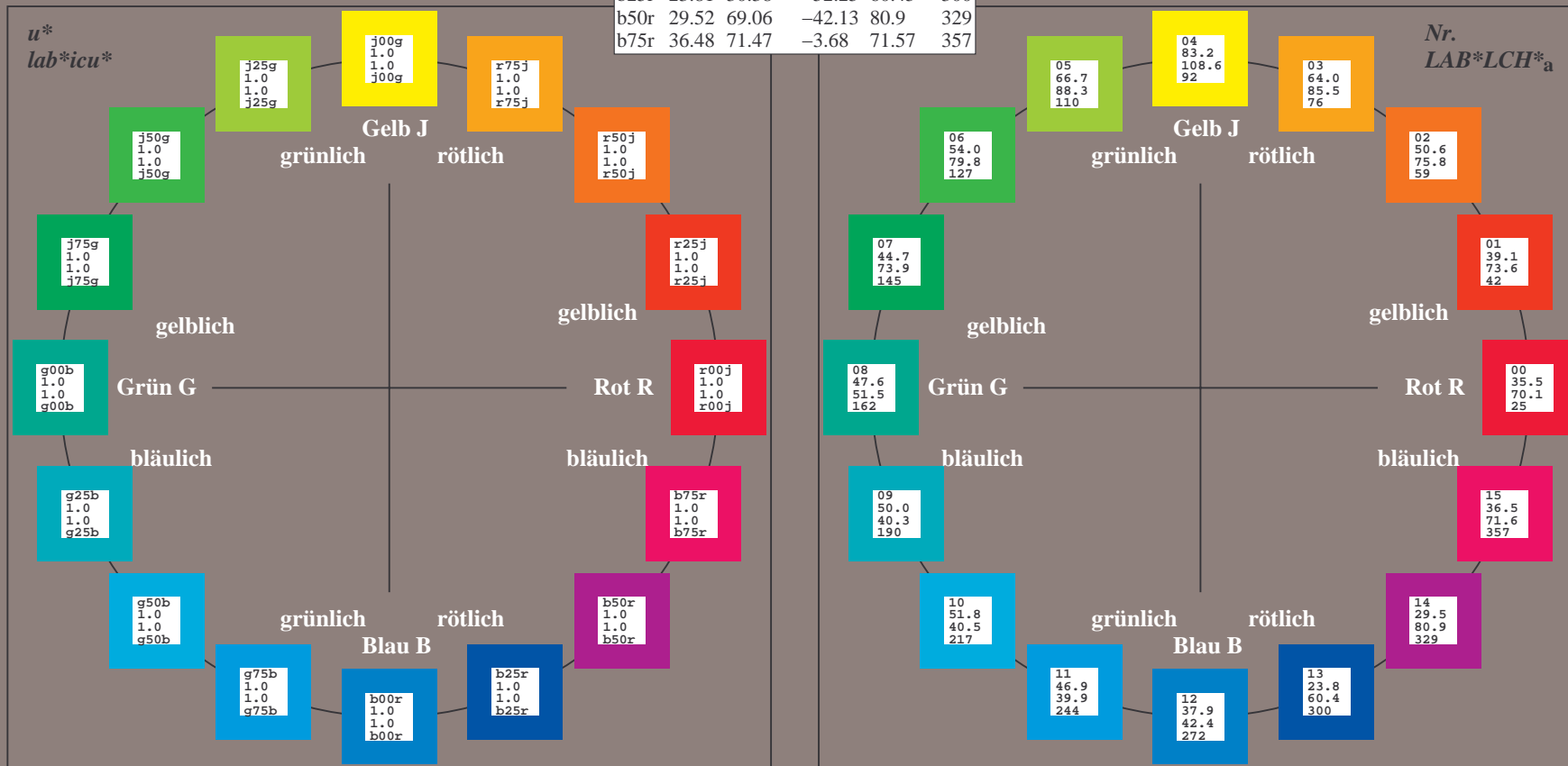
Ein und Ausgabe:  
Farbmetrisches Drucker-Reflektiv-System FRS09\_92a  
Daten für jede Farbe:  
*lab\*<sub>ich</sub>*\* und *lab\*<sub>icu</sub>*\*  
Elementar-Bunttontext:  
*u\** = 16 Bunttöne *r00j*, *r25j*, ..., *b75r*  
Kontrastreduzierungsfaktor:  
*c<sub>R</sub>* = 1.0

FRS09_92a; adaptierte CIELAB-Daten					
	<i>L*</i> = <i>L*</i> <sub>a</sub>	<i>a*</i> <sub>a</sub>	<i>b*</i> <sub>a</sub>	<i>C*</i> <sub>ab,a</sub>	<i>h*</i> <sub>ab,a</sub>
r00j	35.47	63.32	30.17	70.15	25
r25j	39.12	54.56	49.45	73.64	42
r50j	50.64	39.15	64.89	75.79	59
r75j	64.01	21.26	82.83	85.52	76
j00g	83.18	-4.37	108.53	108.62	92
j25g	66.73	-29.88	83.06	88.28	110
j50g	54.03	-48.3	63.49	79.78	127
j75g	44.73	-60.32	42.64	73.88	145
g00b	47.59	-49.07	15.74	51.54	162
g25b	49.97	-39.69	-6.71	40.27	190
g50b	51.85	-32.32	-24.34	40.48	217
g75b	46.92	-17.28	-36.01	39.96	244
b00r	37.91	1.28	-42.34	42.37	272
b25r	23.81	30.38	-52.25	60.45	300
b50r	29.52	69.06	-42.13	80.9	329
b75r	36.48	71.47	-3.68	71.57	357



%Umfang  
*u\**<sub>rel</sub> = 109  
%Regularität  
*g\**<sub>H,rel</sub> = 31  
*g\**<sub>C,rel</sub> = 40

FRS09_92a; adaptierte CIELAB-Daten					
	<i>L*</i> = <i>L*</i> <sub>a</sub>	<i>a*</i> <sub>a</sub>	<i>b*</i> <sub>a</sub>	<i>C*</i> <sub>ab,a</sub>	<i>h*</i> <sub>ab,a</sub>
OMa	35.06	60.0	44.0	74.4	36
YMa	83.77	-5.16	109.32	109.44	93
LMa	44.13	-62.66	48.24	79.09	142
CMa	52.66	-29.13	-31.98	43.27	228
VMa	14.15	50.3	-59.03	77.57	310
MMa	37.37	78.64	-33.49	85.48	337
NMa	8.58	0.0	0.0	0.0	0
WMa	92.02	0.0	0.0	0.0	0
RCIE	39.92	58.74	27.99	65.07	25
JCIE	81.26	-2.88	71.56	71.62	92
GCIE	52.23	-42.41	13.6	44.55	162
BCIE	30.57	1.41	-46.46	46.49	272



Ein und Ausgabe: Farbmetrisches Drucker-Reflektiv-System FRS09\_92a für relativen CIELAB-Buntton  $h^* = \text{lab}^*h^* = h_{ab}/360 = 25/360 = 0.071$   $u^* = r00j$

Daten für jede Farbe:

$\text{lab}^*ch^*$  und  $\text{lab}^*icu^*$

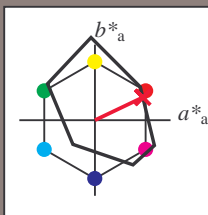
Elementar-Bunttontext:

$u^* = r00j$

Kontrastreduzierungsfaktor:

$c_R = 1.0$

Dreiecks-Helligkeit  $i^*$



FRS09_92a; adaptierte CIELAB-Daten					
	$L^*=L_a^*$	$a_a^*$	$b_a^*$	$C^*_{ab,a}$	$h^*_{ab,a}$
O <sub>Ma</sub>	35.06	60.0	44.0	74.4	36
Y <sub>Ma</sub>	83.77	-5.16	109.32	109.44	93
L <sub>Ma</sub>	44.13	-62.66	48.24	79.09	142
C <sub>Ma</sub>	52.66	-29.13	-31.98	43.27	228
V <sub>Ma</sub>	14.15	50.3	-59.03	77.57	310
M <sub>Ma</sub>	37.37	78.64	-33.49	85.48	337
N <sub>Ma</sub>	8.58	0.0	0.0	0.0	0
W <sub>Ma</sub>	92.02	0.0	0.0	0.0	0
R <sub>CIE</sub>	39.92	58.74	27.99	65.07	25
J <sub>CIE</sub>	81.26	-2.88	71.56	71.62	92
G <sub>CIE</sub>	52.23	-42.41	13.6	44.55	162
B <sub>CIE</sub>	30.57	1.41	-46.46	46.49	272

Daten für Maximalfarbe (Ma):

$\text{LAB}^*\text{LAB}^*_{Ma}$ : 35 63 30

$\text{LAB}^*\text{LCH}^*_{Ma}$ : 35 70 25

$\text{lab}^*\text{rgb}^*_{Ma}$ : 1.0 0.0 0.0

$\text{lab}^*\text{olv}^*_{Ma}$ : 1.0 0.0 0.18

Dreiecks-Helligkeit  $i^*$

%Umfang

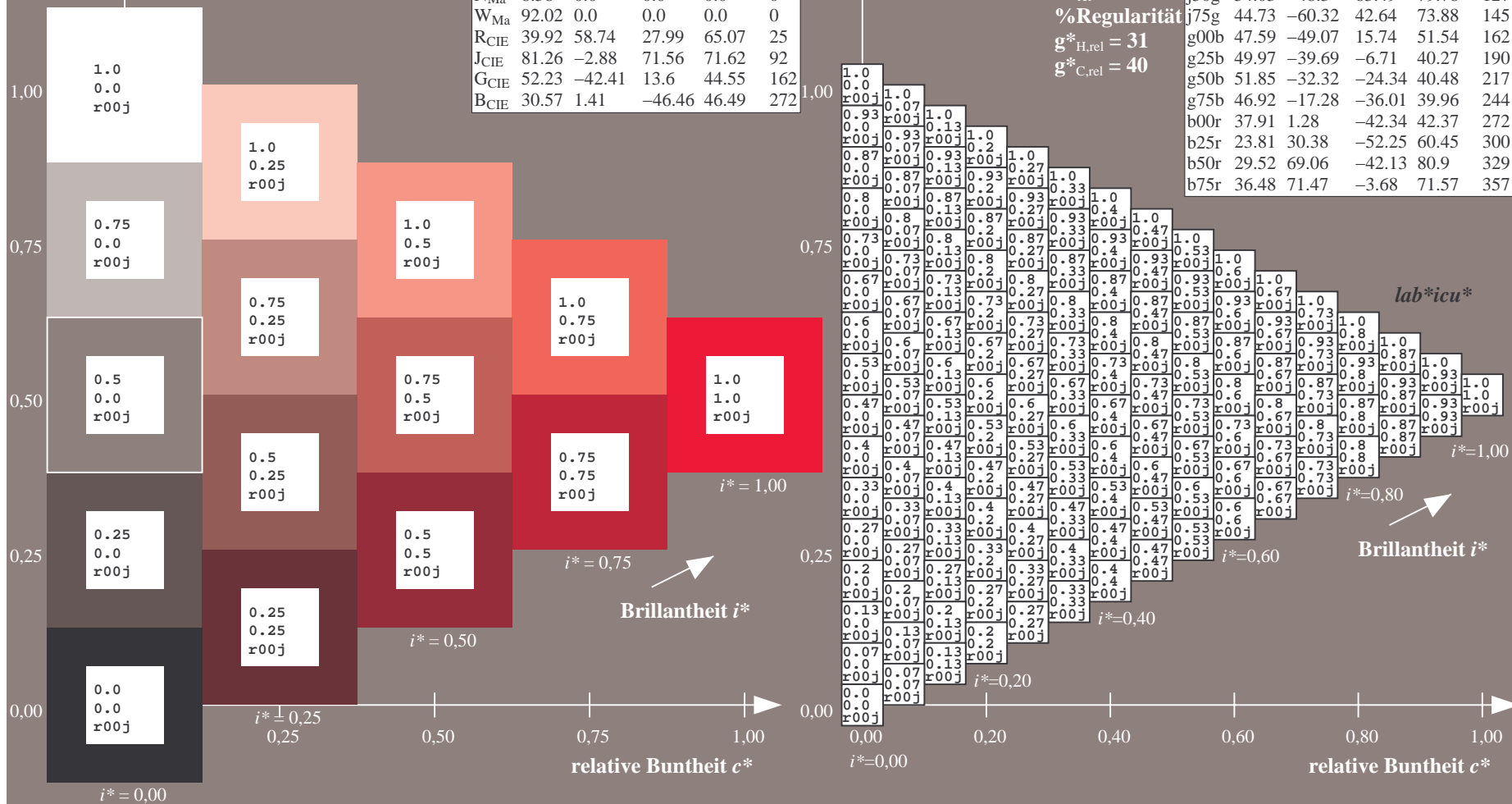
$u^*_{rel} = 109$

%Regularität

$g^*_{H,rel} = 31$

$g^*_{C,rel} = 40$

FRS09_92a; adaptierte CIELAB-Daten					
	$L^*=L_a^*$	$a_a^*$	$b_a^*$	$C^*_{ab,a}$	$h^*_{ab,a}$
r00j	35.47	63.32	30.17	70.15	25
r25j	39.12	54.56	49.45	73.64	42
r50j	50.64	39.15	64.89	75.79	59
r75j	64.01	21.26	82.83	85.52	76
j00g	83.18	-4.37	108.53	108.62	92
j25g	66.73	-29.88	83.06	88.28	110
j50g	54.03	-48.3	63.49	79.78	127
j75g	44.73	-60.32	42.64	73.88	145
g00b	47.59	-49.07	15.74	51.54	162
g25b	49.97	-39.69	-6.71	40.27	190
g50b	51.85	-32.32	-24.34	40.48	217
g75b	46.92	-17.28	-36.01	39.96	244
b00r	37.91	1.28	-42.34	42.37	272
b25r	23.81	30.38	-52.25	60.45	300
b50r	29.52	69.06	-42.13	80.9	329
b75r	36.48	71.47	-3.68	71.57	357



Ein und Ausgabe: Farbmetrisches Drucker-Reflektiv-System FRS09\_92a für relativen CIELAB-Buntton  $h^* = lab^*h^* = h_{ab}/360 = 42/360 = 0.117$   $u^* = r25j$

Daten für jede Farbe:

$lab^*ch^*$  und  $lab^*icu^*$

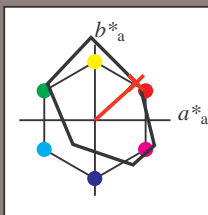
Elementar-Bunttontext:

$u^* = r25j$

Kontrastreduzierungsfaktor:

$c_R = 1.0$

Dreiecks-Helligkeit  $i^*$



FRS09_92a; adaptierte CIELAB-Daten					
	$L^*=L^*_a$	$a^*_a$	$b^*_a$	$C^*_{ab,a}$	$h^*_{ab,a}$
O <sub>Ma</sub>	35.06	60.0	44.0	74.4	36
Y <sub>Ma</sub>	83.77	-5.16	109.32	109.44	93
L <sub>Ma</sub>	44.13	-62.66	48.24	79.09	142
C <sub>Ma</sub>	52.66	-29.13	-31.98	43.27	228
V <sub>Ma</sub>	14.15	50.3	-59.03	77.57	310
M <sub>Ma</sub>	37.37	78.64	-33.49	85.48	337
N <sub>Ma</sub>	8.58	0.0	0.0	0.0	0
W <sub>Ma</sub>	92.02	0.0	0.0	0.0	0
R <sub>CIE</sub>	39.92	58.74	27.99	65.07	25
J <sub>CIE</sub>	81.26	-2.88	71.56	71.62	92
G <sub>CIE</sub>	52.23	-42.41	13.6	44.55	162
B <sub>CIE</sub>	30.57	1.41	-46.46	46.49	272

Daten für Maximalfarbe (Ma):

$LAB^*LAB^*_{Ma}$ : 39 55 49

$LAB^*LCH^*_{Ma}$ : 39 74 42

$lab^*rgb^*_{Ma}$ : 1.0 0.25 0.0

$lab^*olv^*_{Ma}$ : 1.0 0.08 0.0

Dreiecks-Helligkeit  $i^*$

%Umfang

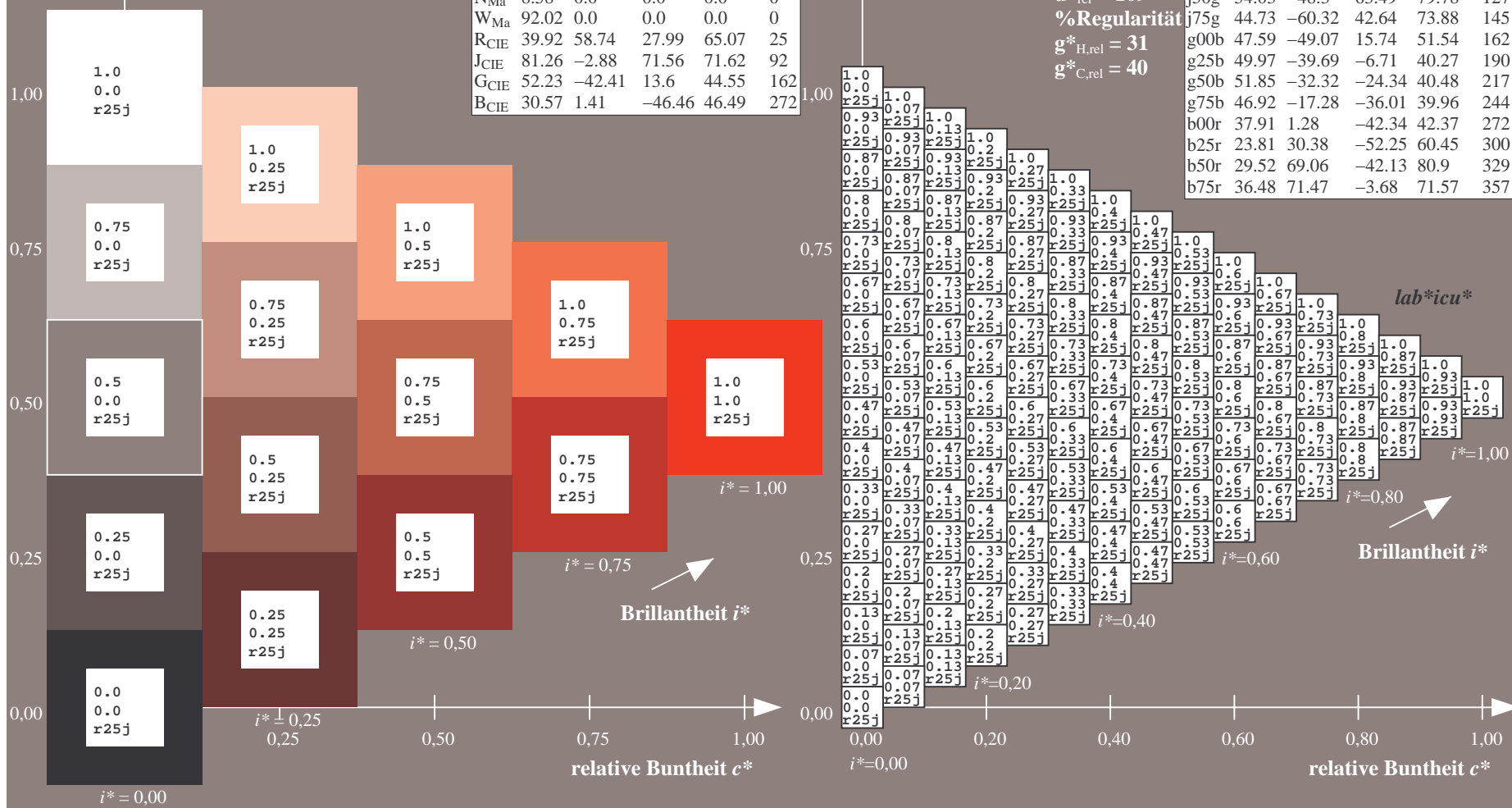
$u^*_{rel} = 109$

%Regelartigkeit

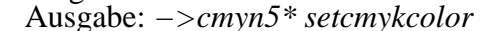
$g^*_{H,rel} = 31$

$g^*_{C,rel} = 40$

FRS09_92a; adaptierte CIELAB-Daten					
	$L^*=L^*_a$	$a^*_a$	$b^*_a$	$C^*_{ab,a}$	$h^*_{ab,a}$
r00j	35.47	63.32	30.17	70.15	25
r25j	39.12	54.56	49.45	73.64	42
r50j	50.64	39.15	64.89	75.79	59
r75j	64.01	21.26	82.83	85.52	76
j00g	83.18	-4.37	108.53	108.62	92
j25g	66.73	-29.88	83.06	88.28	110
j50g	54.03	-48.3	63.49	79.78	127
j75g	44.73	-60.32	42.64	73.88	145
g00b	47.59	-49.07	15.74	51.54	162
g25b	49.97	-39.69	-6.71	40.27	190
g50b	51.85	-32.32	-24.34	40.48	217
g75b	46.92	-17.28	-36.01	39.96	244
b00r	37.91	1.28	-42.34	42.37	272
b25r	23.81	30.38	-52.25	60.45	300
b50r	29.52	69.06	-42.13	80.9	329
b75r	36.48	71.47	-3.68	71.57	357



9



BAM-Registrierung: 20080701-Dg96/10L/L96G00NA.PS/.TXTBAM-Material: Code=rhata  
Anwendung für Beurteilung und Messung von Drucker- oder Monitorsystemen

Siehe ähnliche Dateien: <http://www.ps.bam.de/Dg96/>; [www.ps.bam.de/Dg.HTM](http://www.ps.bam.de/Dg.HTM)  
Technische Information: <http://www.ps.bam.de> Version 2.1, io=1,1, ColSp=0



Ein und Ausgabe: Farbmetrisches Drucker-Reflektiv-System FRS09\_92a für relativen CIELAB-Buntton  $h^* = \text{lab}^*h^* = h_{ab}/360 = 76/360 = 0.21$

Daten für jede Farbe:

$\text{lab}^*ch^*$  und  $\text{lab}^*icu^*$

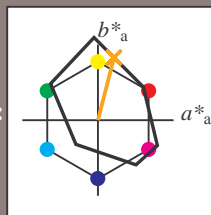
Elementar-Bunttontext:

$u^* = r75j$

Kontrastreduzierungsfaktor:

$c_R = 1.0$

Dreiecks-Helligkeit  $i^*$



FRS09\_92a; adaptierte CIELAB-Daten

	$L^*=L_a^*$	$a_a^*$	$b_a^*$	$C_{ab,a}^*$	$h_{ab,a}^*$
O <sub>Ma</sub>	35.06	60.0	44.0	74.4	36
Y <sub>Ma</sub>	83.77	-5.16	109.32	109.44	93
L <sub>Ma</sub>	44.13	-62.66	48.24	79.09	142
C <sub>Ma</sub>	52.66	-29.13	-31.98	43.27	228
V <sub>Ma</sub>	14.15	50.3	-59.03	77.57	310
M <sub>Ma</sub>	37.37	78.64	-33.49	85.48	337
N <sub>Ma</sub>	8.58	0.0	0.0	0.0	0
W <sub>Ma</sub>	92.02	0.0	0.0	0.0	0
R <sub>CIE</sub>	39.92	58.74	27.99	65.07	25
J <sub>CIE</sub>	81.26	-2.88	71.56	71.62	92
G <sub>CIE</sub>	52.23	-42.41	13.6	44.55	162
B <sub>CIE</sub>	30.57	1.41	-46.46	46.49	272

Daten für Maximalfarbe (Ma):

$\text{LAB}^*\text{LAB}^*_{\text{Ma}}$ : 64 21 83

$\text{LAB}^*\text{LCH}^*_{\text{Ma}}$ : 64 86 76

$\text{lab}^*\text{rgb}^*_{\text{Ma}}$ : 1.0 0.75 0.0

$\text{lab}^*\text{olv}^*_{\text{Ma}}$ : 1.0 0.59 0.0

Dreiecks-Helligkeit  $i^*$

%Umfang

$u^*_{\text{rel}} = 109$

%Regularität

$g^*_{H,\text{rel}} = 31$

$g^*_{C,\text{rel}} = 40$

FRS09\_92a; adaptierte CIELAB-Daten

	$L^*=L_a^*$	$a_a^*$	$b_a^*$	$C_{ab,a}^*$	$h_{ab,a}^*$
r00j	35.47	63.32	30.17	70.15	25
r25j	39.12	54.56	49.45	73.64	42
r50j	50.64	39.15	64.89	75.79	59
r75j	64.01	21.26	82.83	85.52	76
j00g	83.18	-4.37	108.53	108.62	92
j25g	66.73	-29.88	83.06	88.28	110
j50g	54.03	-48.3	63.49	79.78	127
j75g	44.73	-60.32	42.64	73.88	145
g00b	47.59	-49.07	15.74	51.54	162
g25b	49.97	-39.69	-6.71	40.27	190
g50b	51.85	-32.32	-24.34	40.48	217
g75b	46.92	-17.28	-36.01	39.96	244
b00r	37.91	1.28	-42.34	42.37	272
b25r	23.81	30.38	-52.25	60.45	300
b50r	29.52	69.06	-42.13	80.9	329
b75r	36.48	71.47	-3.68	71.57	357

$\text{lab}^*icu^*$

$i^* = 1.00$

Brillantheit  $i^*$

$i^* = 0.80$

$i^* = 0.60$

$i^* = 0.40$

$i^* = 0.20$

$i^* = 0.00$

relative Buntheit  $c^*$

relative Buntheit  $c^*$



Ein und Ausgabe: Farbmetrisches Drucker-Reflektiv-System FRS09\_92a für relativen CIELAB-Buntton  $h^* = \text{lab}^*h^* = h_{ab}/360 = 92/360 = 0.256$   $u^* = j00g$

Daten für jede Farbe:

$\text{lab}^*ch^*$  und  $\text{lab}^*icu^*$

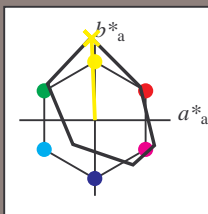
Elementar-Bunttontext:

$u^* = j00g$

Kontrastreduzierungsfaktor:

$c_R = 1.0$

Dreiecks-Helligkeit  $i^*$



FRS09_92a; adaptierte CIELAB-Daten					
	$L^*=L^*_a$	$a^*_a$	$b^*_a$	$C^*_{ab,a}$	$h^*_{ab,a}$
O <sub>Ma</sub>	35.06	60.0	44.0	74.4	36
Y <sub>Ma</sub>	83.77	-5.16	109.32	109.44	93
L <sub>Ma</sub>	44.13	-62.66	48.24	79.09	142
C <sub>Ma</sub>	52.66	-29.13	-31.98	43.27	228
V <sub>Ma</sub>	14.15	50.3	-59.03	77.57	310
M <sub>Ma</sub>	37.37	78.64	-33.49	85.48	337
N <sub>Ma</sub>	8.58	0.0	0.0	0.0	0
W <sub>Ma</sub>	92.02	0.0	0.0	0.0	0
R <sub>CIE</sub>	39.92	58.74	27.99	65.07	25
J <sub>CIE</sub>	81.26	-2.88	71.56	71.62	92
G <sub>CIE</sub>	52.23	-42.41	13.6	44.55	162
B <sub>CIE</sub>	30.57	1.41	-46.46	46.49	272

Daten für Maximalfarbe (Ma):

$\text{LAB}^*\text{LAB}^*_{\text{Ma}}$ : 83 -3 109

$\text{LAB}^*\text{LCH}^*_{\text{Ma}}$ : 83 109 92

$\text{lab}^*\text{rgb}^*_{\text{Ma}}$ : 1.0 1.0 0.0

$\text{lab}^*\text{olv}^*_{\text{Ma}}$ : 1.0 0.99 0.0

Dreiecks-Helligkeit  $i^*$

%Umfang

$u^*_{\text{rel}} = 109$

%Regularität

$g^*_{H,\text{rel}} = 31$

$g^*_{C,\text{rel}} = 40$

FRS09_92a; adaptierte CIELAB-Daten					
	$L^*=L^*_a$	$a^*_a$	$b^*_a$	$C^*_{ab,a}$	$h^*_{ab,a}$
r00j	35.47	63.32	30.17	70.15	25
r25j	39.12	54.56	49.45	73.64	42
r50j	50.64	39.15	64.89	75.79	59
r75j	64.01	21.26	82.83	85.52	76
j00g	83.18	-4.37	108.53	108.62	92
j25g	66.73	-29.88	83.06	88.28	110
j50g	54.03	-48.3	63.49	79.78	127
j75g	44.73	-60.32	42.64	73.88	145
g00b	47.59	-49.07	15.74	51.54	162
g25b	49.97	-39.69	-6.71	40.27	190
g50b	51.85	-32.32	-24.34	40.48	217
g75b	46.92	-17.28	-36.01	39.96	244
b00r	37.91	1.28	-42.34	42.37	272
b25r	23.81	30.38	-52.25	60.45	300
b50r	29.52	69.06	-42.13	80.9	329
b75r	36.48	71.47	-3.68	71.57	357

Ein und Ausgabe: Farbmetrisches Drucker-Reflektiv-System FRS09\_92a für relativen CIELAB-Buntton  $h^* = \text{lab}^*h^* = h_{ab}/360 = 110/360 = 0.305$   $u^* = j25g$

Daten für jede Farbe:

$\text{lab}^*ch^*$  und  $\text{lab}^*icu^*$

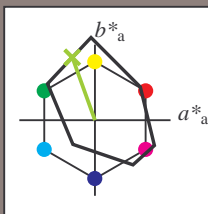
Elementar-Bunttontext:

$u^* = j25g$

Kontrastreduzierungsfaktor:

$c_R = 1.0$

Dreiecks-Helligkeit  $i^*$



FRS09_92a; adaptierte CIELAB-Daten					
	$L^*=L^*_a$	$a^*_a$	$b^*_a$	$C^*_{ab,a}$	$h^*_{ab,a}$
O <sub>Ma</sub>	35.06	60.0	44.0	74.4	36
Y <sub>Ma</sub>	83.77	-5.16	109.32	109.44	93
L <sub>Ma</sub>	44.13	-62.66	48.24	79.09	142
C <sub>Ma</sub>	52.66	-29.13	-31.98	43.27	228
V <sub>Ma</sub>	14.15	50.3	-59.03	77.57	310
M <sub>Ma</sub>	37.37	78.64	-33.49	85.48	337
N <sub>Ma</sub>	8.58	0.0	0.0	0.0	0
W <sub>Ma</sub>	92.02	0.0	0.0	0.0	0
R <sub>CIE</sub>	39.92	58.74	27.99	65.07	25
J <sub>CIE</sub>	81.26	-2.88	71.56	71.62	92
G <sub>CIE</sub>	52.23	-42.41	13.6	44.55	162
B <sub>CIE</sub>	30.57	1.41	-46.46	46.49	272

Daten für Maximalfarbe (Ma):

$\text{LAB}^*\text{LAB}^*_{Ma}$ : 67 -29 83

$\text{LAB}^*\text{LCH}^*_{Ma}$ : 67 88 110

$\text{lab}^*rgb^*_{Ma}$ : 0.75 1.0 0.0

$\text{lab}^*olv^*_{Ma}$ : 0.57 1.0 0.0

Dreiecks-Helligkeit  $i^*$

%Umfang

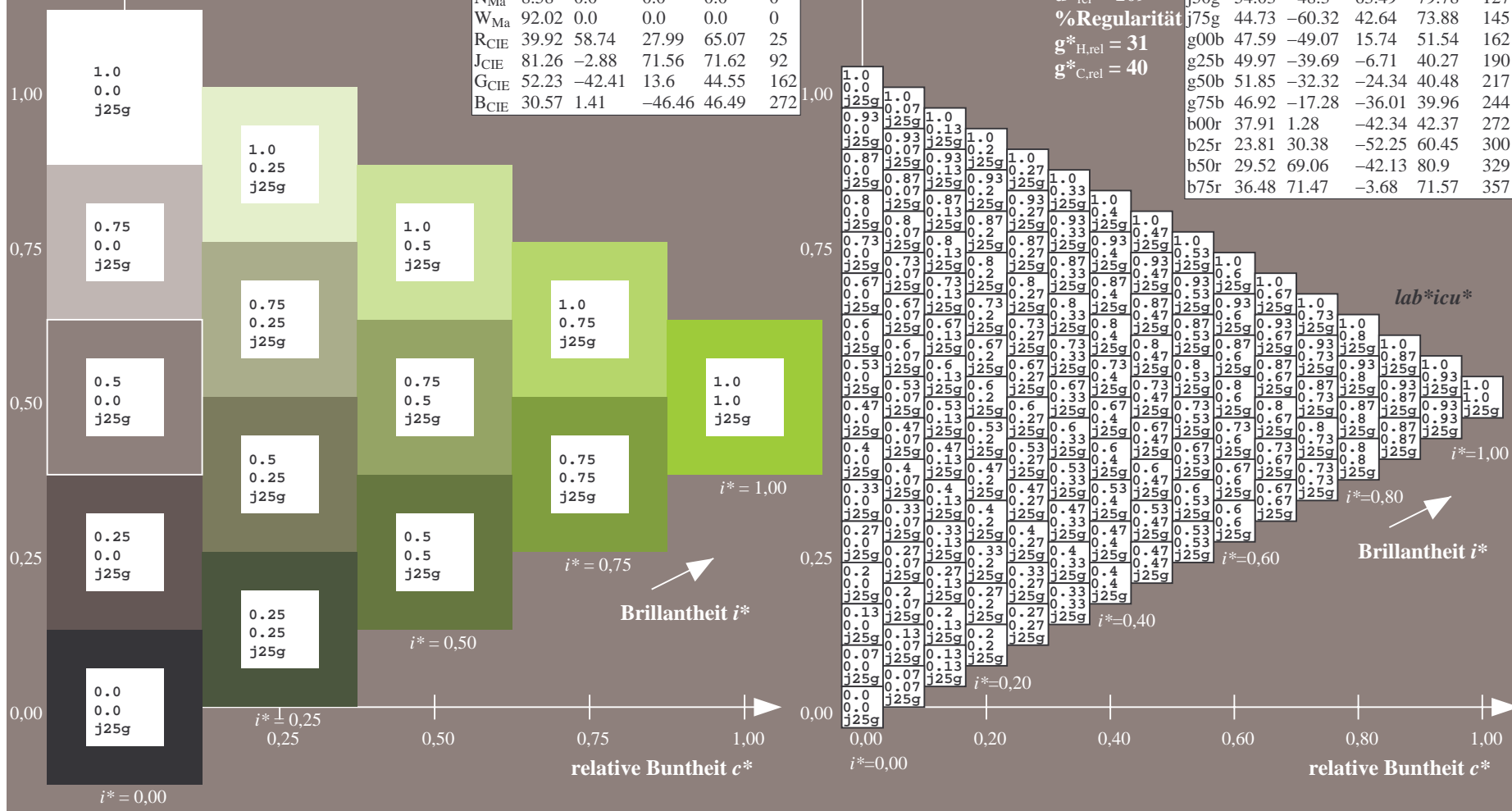
$u^*_{rel} = 109$

%Regularität

$g^*_{H,rel} = 31$

$g^*_{C,rel} = 40$

FRS09_92a; adaptierte CIELAB-Daten					
	$L^*=L^*_a$	$a^*_a$	$b^*_a$	$C^*_{ab,a}$	$h^*_{ab,a}$
r00j	35.47	63.32	30.17	70.15	25
r25j	39.12	54.56	49.45	73.64	42
r50j	50.64	39.15	64.89	75.79	59
r75j	64.01	21.26	82.83	85.52	76
j00g	83.18	-4.37	108.53	108.62	92
j25g	66.73	-29.88	83.06	88.28	110
j50g	54.03	-48.3	63.49	79.78	127
j75g	44.73	-60.32	42.64	73.88	145
g00b	47.59	-49.07	15.74	51.54	162
g25b	49.97	-39.69	-6.71	40.27	190
g50b	51.85	-32.32	-24.34	40.48	217
g75b	46.92	-17.28	-36.01	39.96	244
b00r	37.91	1.28	-42.34	42.37	272
b25r	23.81	30.38	-52.25	60.45	300
b50r	29.52	69.06	-42.13	80.9	329
b75r	36.48	71.47	-3.68	71.57	357



Ein und Ausgabe: Farbmetrisches Drucker-Reflektiv-System FRS09\_92a für relativen CIELAB-Buntton  $h^* = lab^*h^* = h_{ab}/360 = 127/360 = 0.354$   $u^* = j50g$

Daten für jede Farbe:

$lab^*ch^*$  und  $lab^*icu^*$

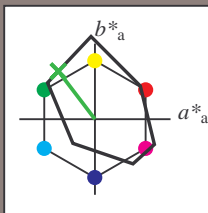
Elementar-Bunttontext:

$u^* = j50g$

Kontrastreduzierungsfaktor:

$c_R = 1.0$

Dreiecks-Helligkeit  $i^*$



FRS09\_92a; adaptierte CIELAB-Daten

	$L^*=L_a^*$	$a_a^*$	$b_a^*$	$C^*_{ab,a}$	$h^*_{ab,a}$
O <sub>Ma</sub>	35.06	60.0	44.0	74.4	36
Y <sub>Ma</sub>	83.77	-5.16	109.32	109.44	93
L <sub>Ma</sub>	44.13	-62.66	48.24	79.09	142
C <sub>Ma</sub>	52.66	-29.13	-31.98	43.27	228
V <sub>Ma</sub>	14.15	50.3	-59.03	77.57	310
M <sub>Ma</sub>	37.37	78.64	-33.49	85.48	337
N <sub>Ma</sub>	8.58	0.0	0.0	0.0	0
W <sub>Ma</sub>	92.02	0.0	0.0	0.0	0
R <sub>CIE</sub>	39.92	58.74	27.99	65.07	25
J <sub>CIE</sub>	81.26	-2.88	71.56	71.62	92
G <sub>CIE</sub>	52.23	-42.41	13.6	44.55	162
B <sub>CIE</sub>	30.57	1.41	-46.46	46.49	272

Daten für Maximalfarbe (Ma):

$LAB^*LAB^*_{Ma}$ : 54 -47 63

$LAB^*LCH^*_{Ma}$ : 54 80 127

$lab^*rgb^*_{Ma}$ : 0.5 1.0 0.0

$lab^*olv^*_{Ma}$ : 0.25 1.0 0.0

Dreiecks-Helligkeit  $i^*$

%Umfang

$u^*_{rel} = 109$

%Regularität

$g^*_{H,rel} = 31$

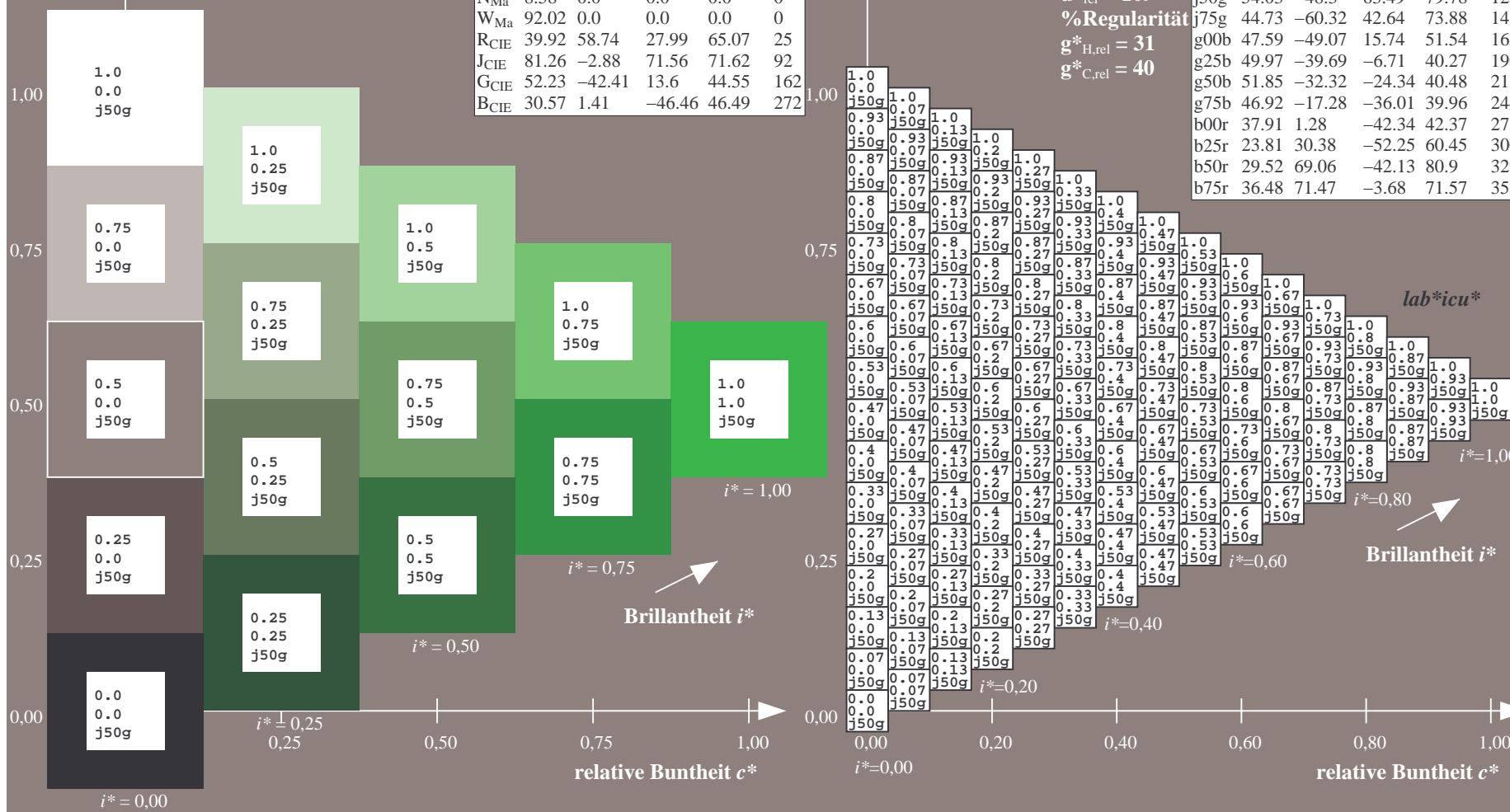
$g^*_{C,rel} = 40$

FRS09\_92a; adaptierte CIELAB-Daten

	$L^*=L_a^*$	$a_a^*$	$b_a^*$	$C^*_{ab,a}$	$h^*_{ab,a}$
r00j	35.47	63.32	30.17	70.15	25
r25j	39.12	54.56	49.45	73.64	42
r50j	50.64	39.15	64.89	75.79	59
r75j	64.01	21.26	82.83	85.52	76
j00g	83.18	-4.37	108.53	108.62	92
j25g	66.73	-29.88	83.06	88.28	110
j50g	54.03	-48.3	63.49	79.78	127
j75g	44.73	-60.32	42.64	73.88	145
g00b	47.59	-49.07	15.74	51.54	162
g25b	49.97	-39.69	-6.71	40.27	190
g50b	51.85	-32.32	-24.34	40.48	217
g75b	46.92	-17.28	-36.01	39.96	244
b00r	37.91	1.28	-42.34	42.37	272
b25r	23.81	30.38	-52.25	60.45	300
b50r	29.52	69.06	-42.13	80.9	329
b75r	36.48	71.47	-3.68	71.57	357

Siehe ähnliche Dateien: <http://www.ps.bam.de/Dg96/>; [www.ps.bam.de/Dg96/HTM](http://www.ps.bam.de/Dg96/HTM)  
Technische Information: <http://www.ps.bam.de> Version 2.1, io=1,1, ColSpx=0

BAM-Registrierung: 20080701-Dg96/10L/L96G00NA.PS/.TXTBAM-Material: Code=rh4ta  
Anwendung für Beurteilung und Messung von Drucker- oder Monitorsystemen



Ein und Ausgabe: Farbmetrisches Drucker-Reflektiv-System FRS09\_92a für relativen CIELAB-Buntton  $h^* = lab^*h^* = h_{ab}/360 = 145/360 = 0.402$   $u^* = j75g$

Daten für jede Farbe:

$lab^*ch^*$  und  $lab^*icu^*$

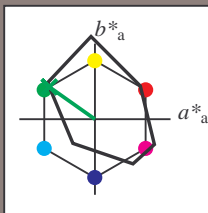
Elementar-Bunttontext:

$u^* = j75g$

Kontrastreduzierungsfaktor:

$c_R = 1.0$

Dreiecks-Helligkeit  $i^*$



FRS09\_92a; adaptierte CIELAB-Daten

	$L^*=L_a^*$	$a_a^*$	$b_a^*$	$C^*_{ab,a}$	$h^*_{ab,a}$
O <sub>Ma</sub>	35.06	60.0	44.0	74.4	36
Y <sub>Ma</sub>	83.77	-5.16	109.32	109.44	93
L <sub>Ma</sub>	44.13	-62.66	48.24	79.09	142
C <sub>Ma</sub>	52.66	-29.13	-31.98	43.27	228
V <sub>Ma</sub>	14.15	50.3	-59.03	77.57	310
M <sub>Ma</sub>	37.37	78.64	-33.49	85.48	337
N <sub>Ma</sub>	8.58	0.0	0.0	0.0	0
W <sub>Ma</sub>	92.02	0.0	0.0	0.0	0
R <sub>CIE</sub>	39.92	58.74	27.99	65.07	25
J <sub>CIE</sub>	81.26	-2.88	71.56	71.62	92
G <sub>CIE</sub>	52.23	-42.41	13.6	44.55	162
B <sub>CIE</sub>	30.57	1.41	-46.46	46.49	272

Daten für Maximalfarbe (Ma):

$LAB^*LAB^*_{Ma}$ : 45 -59 43

$LAB^*LCH^*_{Ma}$ : 45 74 145

$lab^*rgb^*_{Ma}$ : 0.25 1.0 0.0

$lab^*olv^*_{Ma}$ : 0.0 1.0 0.07

Dreiecks-Helligkeit  $i^*$

%Umfang

$u^*_{rel} = 109$

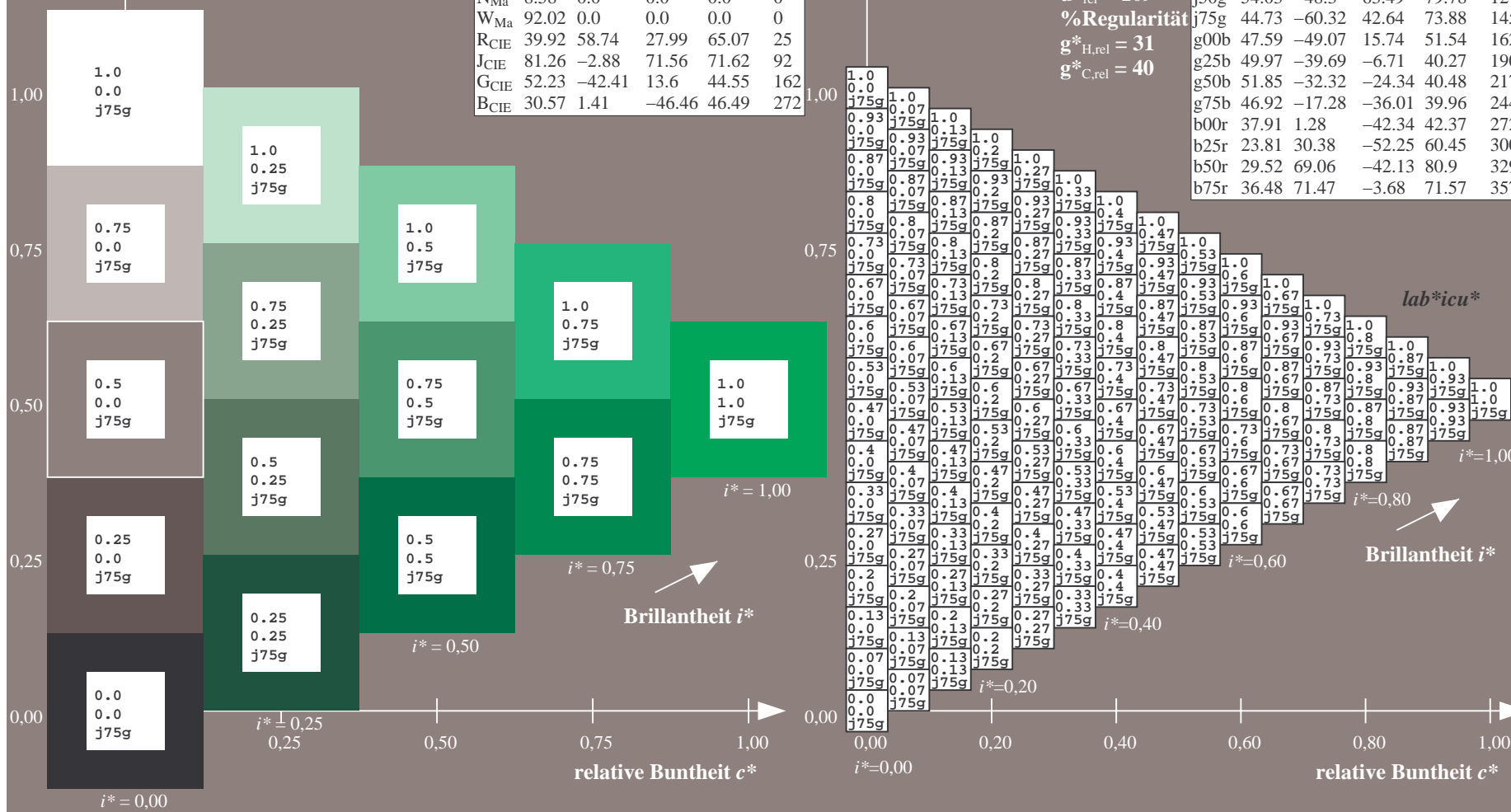
%Regularität

$g^*_{H,rel} = 31$

$g^*_{C,rel} = 40$

FRS09\_92a; adaptierte CIELAB-Daten

	$L^*=L_a^*$	$a_a^*$	$b_a^*$	$C^*_{ab,a}$	$h^*_{ab,a}$
r00j	35.47	63.32	30.17	70.15	25
r25j	39.12	54.56	49.45	73.64	42
r50j	50.64	39.15	64.89	75.79	59
r75j	64.01	21.26	82.83	85.52	76
j00g	83.18	-4.37	108.53	108.62	92
j25g	66.73	-29.88	83.06	88.28	110
j50g	54.03	-48.3	63.49	79.78	127
j75g	44.73	-60.32	42.64	73.88	145
g00b	47.59	-49.07	15.74	51.54	162
g25b	49.97	-39.69	-6.71	40.27	190
g50b	51.85	-32.32	-24.34	40.48	217
g75b	46.92	-17.28	-36.01	39.96	244
b00r	37.91	1.28	-42.34	42.37	272
b25r	23.81	30.38	-52.25	60.45	300
b50r	29.52	69.06	-42.13	80.9	329
b75r	36.48	71.47	-3.68	71.57	357





Ein und Ausgabe: Farbmetrisches Drucker-Reflektiv-System FRS09\_92a für relativen CIELAB-Buntton  $h^* = lab^*h^* = h_{ab}/360 = 162/360 = 0.451$   $u^* = g00b$   
Daten für jede Farbe:  
 $lab^*ch^*$  und  $lab^*icu^*$

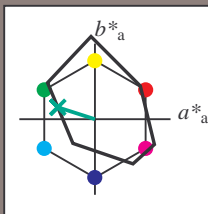
Elementar-Bunttontext:

$u^* = g00b$

Kontrastreduzierungsfaktor:

$c_R = 1.0$

Dreiecks-Helligkeit  $t^*$



FRS09_92a; adaptierte CIELAB-Daten					
	$L^*=L^*_a$	$a^*_a$	$b^*_a$	$C^*_{ab,a}$	$h^*_{ab,a}$
O <sub>Ma</sub>	35.06	60.0	44.0	74.4	36
Y <sub>Ma</sub>	83.77	-5.16	109.32	109.44	93
L <sub>Ma</sub>	44.13	-62.66	48.24	79.09	142
C <sub>Ma</sub>	52.66	-29.13	-31.98	43.27	228
V <sub>Ma</sub>	14.15	50.3	-59.03	77.57	310
M <sub>Ma</sub>	37.37	78.64	-33.49	85.48	337
N <sub>Ma</sub>	8.58	0.0	0.0	0.0	0
W <sub>Ma</sub>	92.02	0.0	0.0	0.0	0
R <sub>CIE</sub>	39.92	58.74	27.99	65.07	25
J <sub>CIE</sub>	81.26	-2.88	71.56	71.62	92
G <sub>CIE</sub>	52.23	-42.41	13.6	44.55	162
B <sub>CIE</sub>	30.57	1.41	-46.46	46.49	272

Daten für Maximalfarbe (Ma):

$LAB^*LAB^*_{Ma}$ : 48 -48 16

$LAB^*LCH^*_{Ma}$ : 48 52 162

$lab^*rgb^*_{Ma}$ : 0.0 1.0 0.0

$lab^*olv^*_{Ma}$ : 0.0 1.0 0.41

Dreiecks-Helligkeit  $t^*$

%Umfang

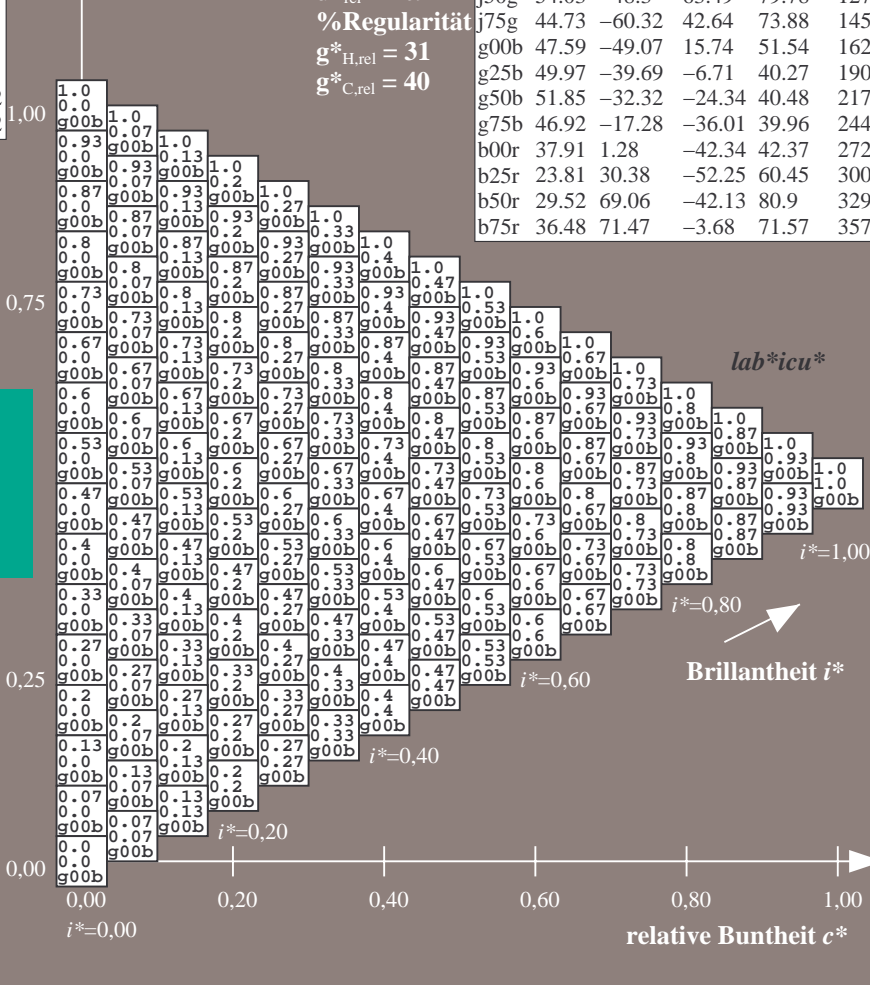
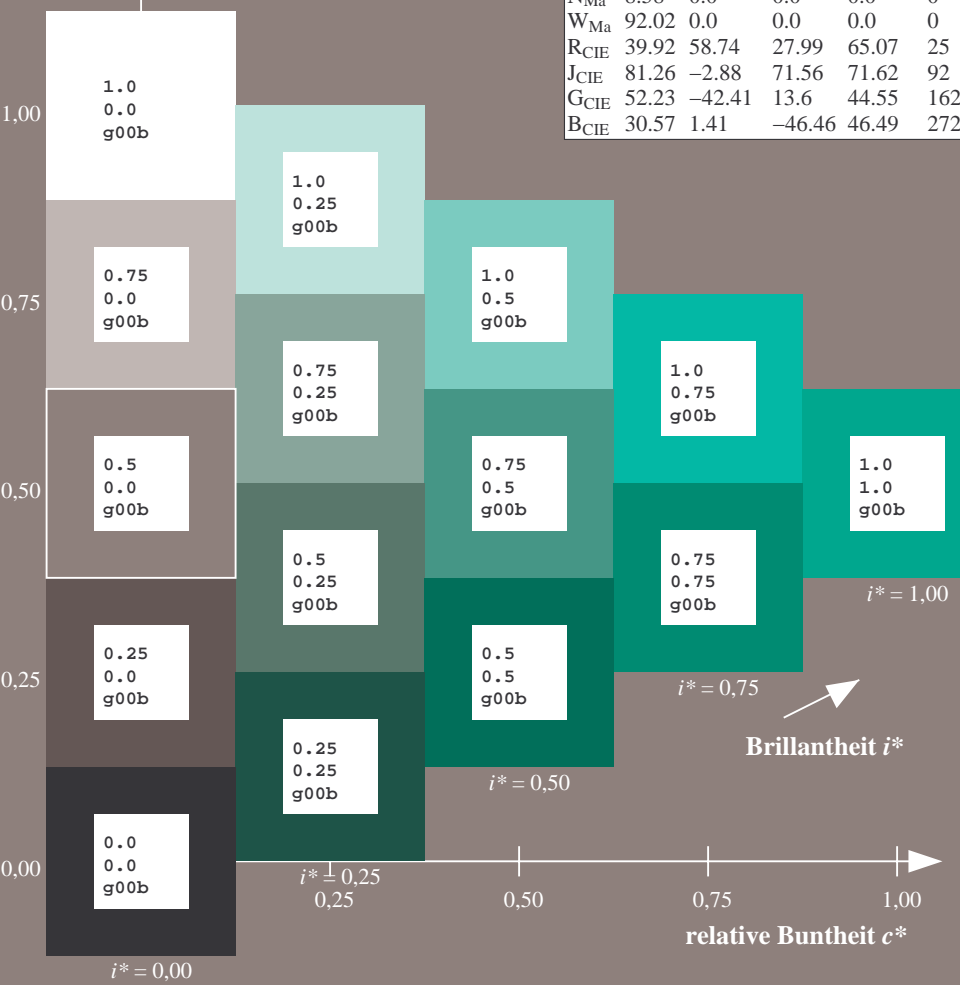
$u^*_{rel} = 109$

%Regularität

$g^*_{H,rel} = 31$

$g^*_{C,rel} = 40$

FRS09_92a; adaptierte CIELAB-Daten					
	$L^*=L^*_a$	$a^*_a$	$b^*_a$	$C^*_{ab,a}$	$h^*_{ab,a}$
r00j	35.47	63.32	30.17	70.15	25
r25j	39.12	54.56	49.45	73.64	42
r50j	50.64	39.15	64.89	75.79	59
r75j	64.01	21.26	82.83	85.52	76
j00g	83.18	-4.37	108.53	108.62	92
j25g	66.73	-29.88	83.06	88.28	110
j50g	54.03	-48.3	63.49	79.78	127
j75g	44.73	-60.32	42.64	73.88	145
g00b	47.59	-49.07	15.74	51.54	162
g25b	49.97	-39.69	-6.71	40.27	190
g50b	51.85	-32.32	-24.34	40.48	217
g75b	46.92	-17.28	-36.01	39.96	244
b00r	37.91	1.28	-42.34	42.37	272
b25r	23.81	30.38	-52.25	60.45	300
b50r	29.52	69.06	-42.13	80.9	329
b75r	36.48	71.47	-3.68	71.57	357

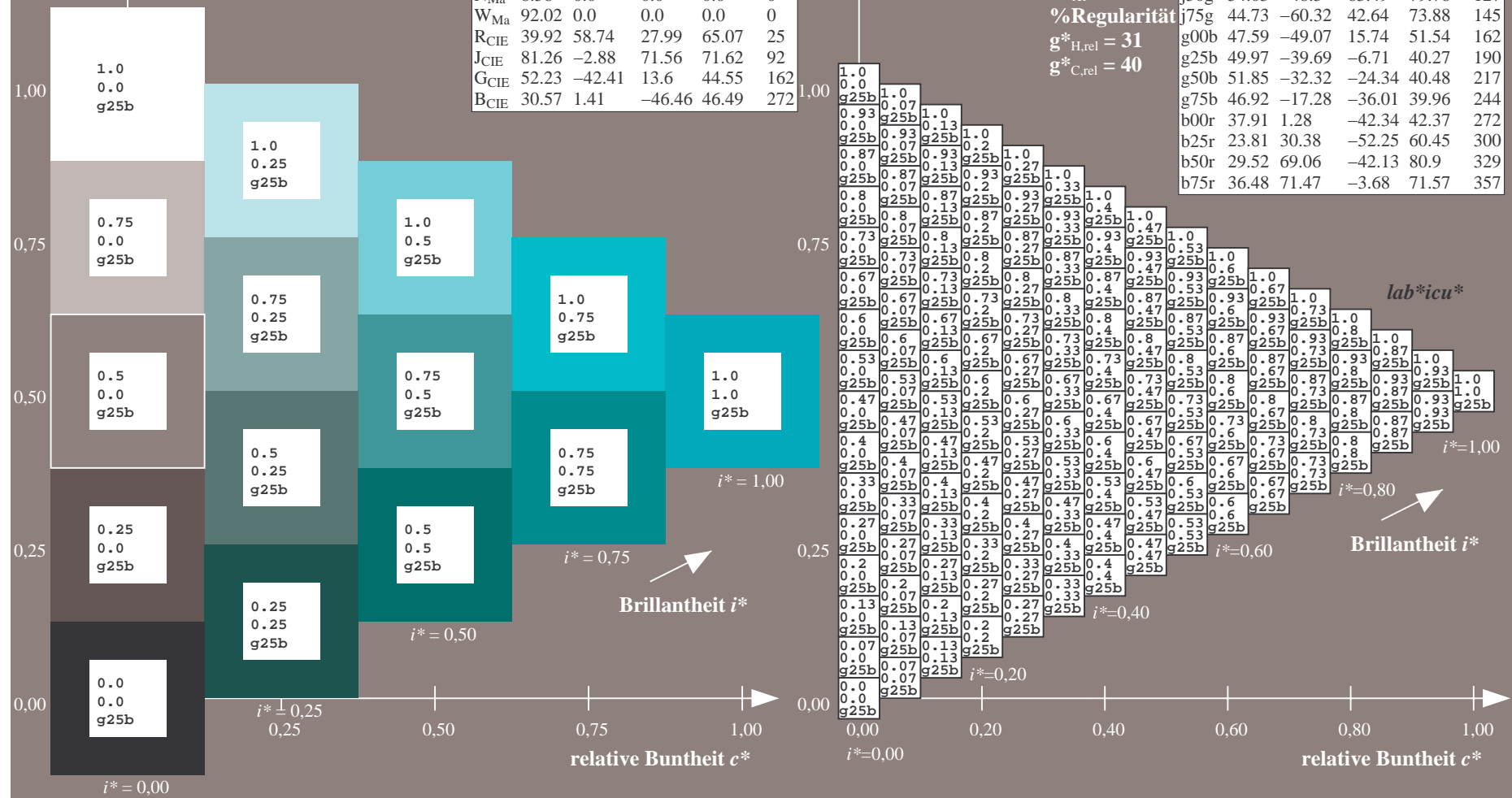




100



r00j	35.47	63.32	30.17	70.15	25
r25j	39.12	54.56	49.45	73.64	42
r50j	50.64	39.15	64.89	75.79	59
r75j	64.01	21.26	82.83	85.52	76
j00g	83.18	-4.37	108.53	108.62	92
j25g	66.73	-29.88	83.06	88.28	110
j50g	54.03	-48.3	63.49	79.78	127
j75g	44.73	-60.32	42.64	73.88	145
g00b	47.59	-49.07	15.74	51.54	162
g25b	49.97	-39.69	-6.71	40.27	190
g50b	51.85	-32.32	-24.34	40.48	217
g75b	46.92	-17.28	-36.01	39.96	244
b00r	37.91	1.28	-42.34	62.37	272
b25r	23.81	30.38	-52.25	40.45	300
b50r	29.52	69.06	-42.13	80.9	329
b75r	36.48	71.47	-3.68	71.57	357



Farbreihen, 8 Datentabellen für 16 Bunttöne *r00j* bis *b75r*

Ausgabe:  $\rightarrow cmyn5^* setcmykcolor$

Ein und Ausgabe: Farbmetrisches Drucker-Reflektiv-System FRS09\_92a für relativen CIELAB-Buntton  $h^* = lab^*h^* = h_{ab}/360 = 217/360 = 0.603$   $u^* = g50b$   $lab^*icu^*$

Daten für jede Farbe:

$lab^*ch^*$  und  $lab^*icu^*$

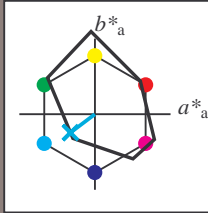
Elementar-Bunttontext:

$u^* = g50b$

Kontrastreduzierungsfaktor:

$c_R = 1.0$

Dreiecks-Helligkeit  $i^*$



FRS09\_92a; adaptierte CIELAB-Daten

	$L^*=L_a^*$	$a_a^*$	$b_a^*$	$C^*_{ab,a}$	$h^*_{ab,a}$
O <sub>Ma</sub>	35.06	60.0	44.0	74.4	36
Y <sub>Ma</sub>	83.77	-5.16	109.32	109.44	93
L <sub>Ma</sub>	44.13	-62.66	48.24	79.09	142
C <sub>Ma</sub>	52.66	-29.13	-31.98	43.27	228
V <sub>Ma</sub>	14.15	50.3	-59.03	77.57	310
M <sub>Ma</sub>	37.37	78.64	-33.49	85.48	337
N <sub>Ma</sub>	8.58	0.0	0.0	0.0	0
W <sub>Ma</sub>	92.02	0.0	0.0	0.0	0
R <sub>CIE</sub>	39.92	58.74	27.99	65.07	25
J <sub>CIE</sub>	81.26	-2.88	71.56	71.62	92
G <sub>CIE</sub>	52.23	-42.41	13.6	44.55	162
B <sub>CIE</sub>	30.57	1.41	-46.46	46.49	272

Daten für Maximalfarbe (Ma):

$LAB^*LAB^*_{Ma}$ : 52 -31 -23

$LAB^*LCH^*_{Ma}$ : 52 40 217

$lab^*rgb^*_{Ma}$ : 0.0 1.0 1.0

$lab^*olv^*_{Ma}$ : 0.0 1.0 0.9

Dreiecks-Helligkeit  $i^*$

%Umfang

$u^*_{rel} = 109$

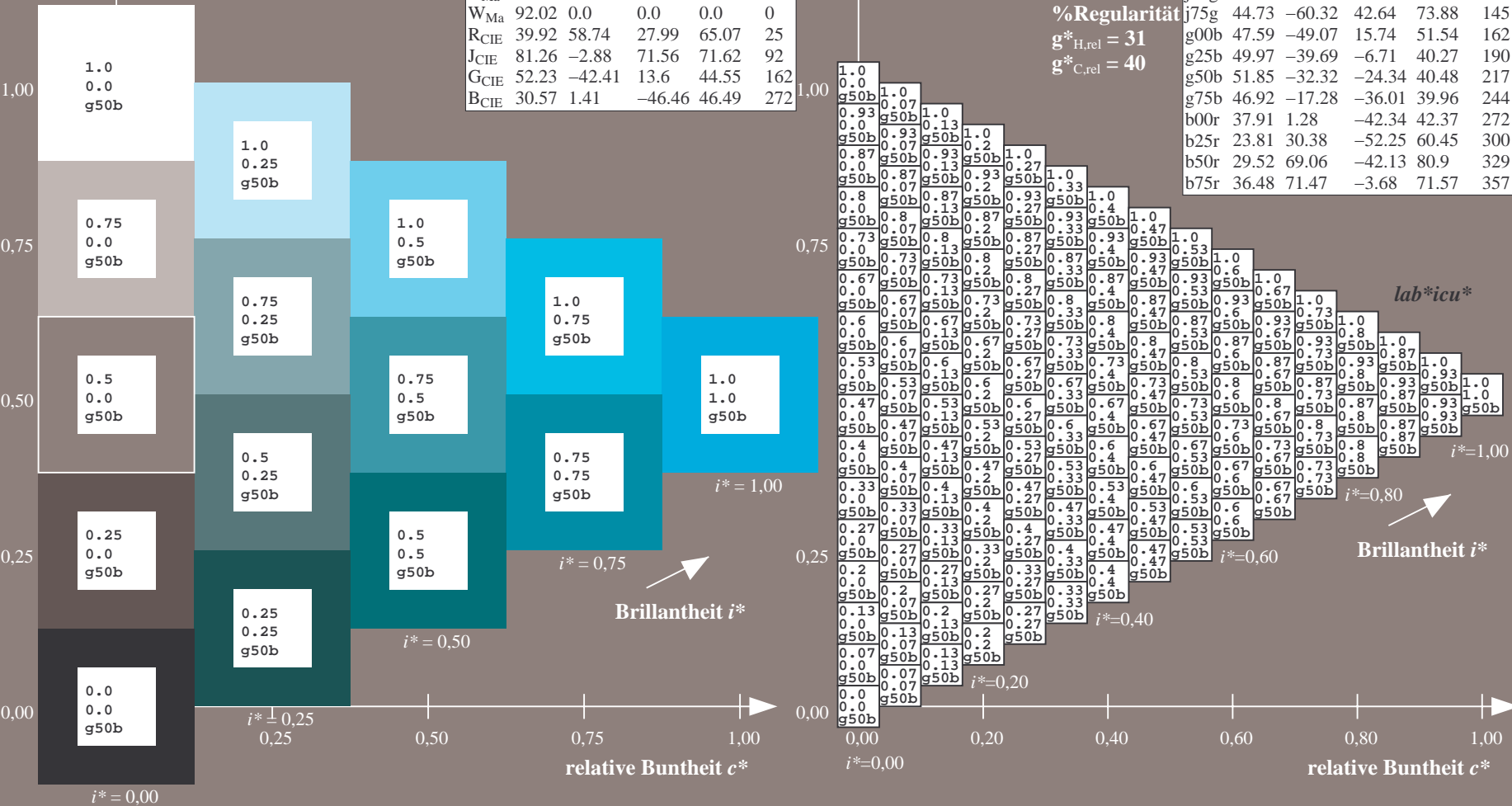
%Regularität

$g^*_{H,rel} = 31$

$g^*_{C,rel} = 40$

FRS09\_92a; adaptierte CIELAB-Daten

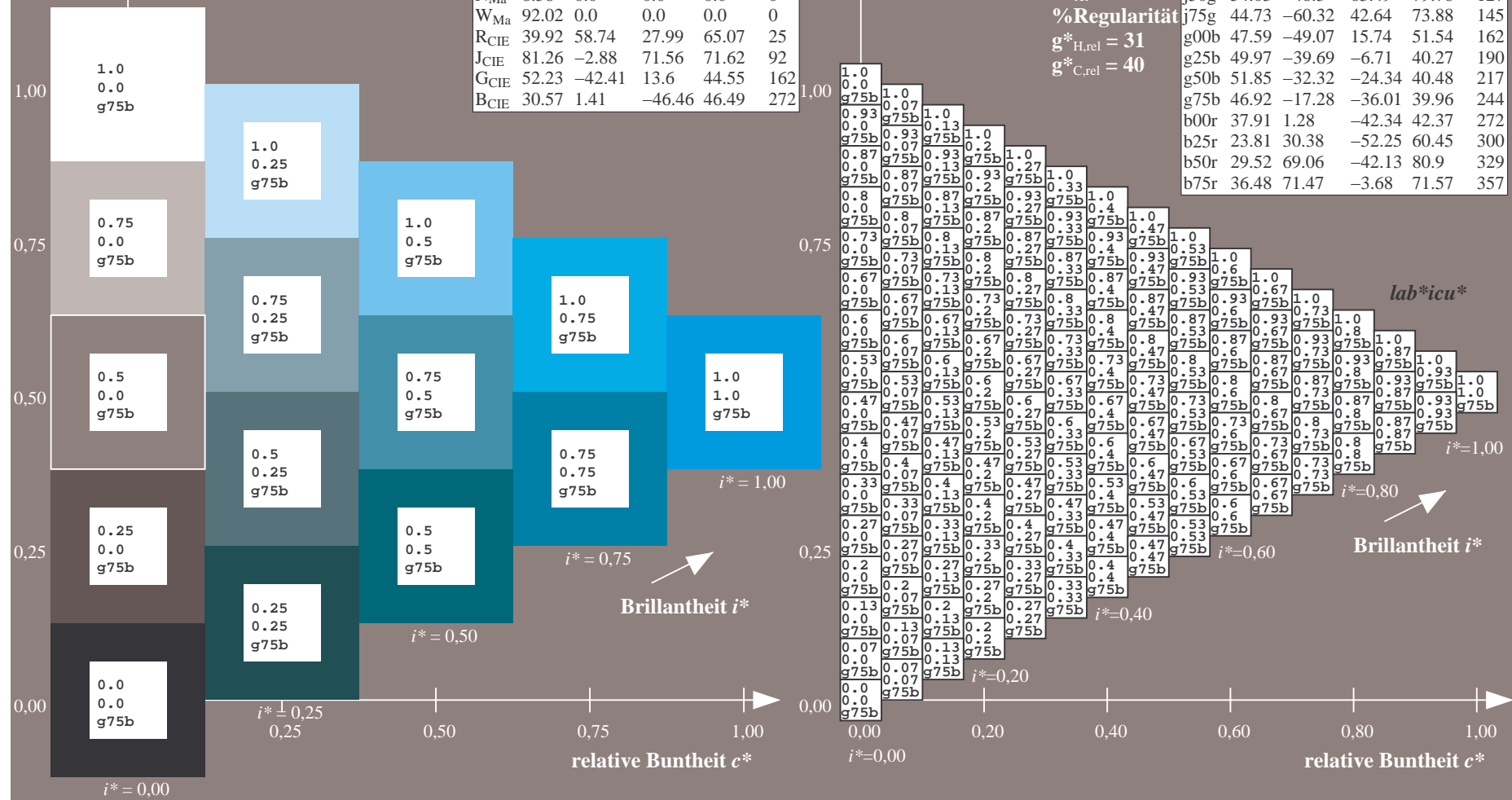
	$L^*=L_a^*$	$a_a^*$	$b_a^*$	$C^*_{ab,a}$	$h^*_{ab,a}$
r00j	35.47	63.32	30.17	70.15	25
r25j	39.12	54.56	49.45	73.64	42
r50j	50.64	39.15	64.89	75.79	59
r75j	64.01	21.26	82.83	85.52	76
j00g	83.18	-4.37	108.53	108.62	92
j25g	66.73	-29.88	83.06	88.28	110
j50g	54.03	-48.3	63.49	79.78	127
j75g	44.73	-60.32	42.64	73.88	145
g00b	47.59	-49.07	15.74	51.54	162
g25b	49.97	-39.69	-6.71	40.27	190
g50b	51.85	-32.32	-24.34	40.48	217
g75b	46.92	-17.28	-36.01	39.96	244
b00r	37.91	1.28	-42.34	42.37	272
b25r	23.81	30.38	-52.25	60.45	300
b50r	29.52	69.06	-42.13	80.9	329
b75r	36.48	71.47	-3.68	71.57	357



100



r00j	35.47	63.32	30.17	70.15	25
r25j	39.12	54.56	49.45	73.64	42
r50j	50.64	39.15	64.89	75.79	59
r75j	64.01	21.26	82.83	85.52	76
j00g	83.18	-4.37	108.53	108.62	92
j25g	66.73	-29.88	83.06	88.28	110
j50g	54.03	-48.3	63.49	79.78	127
j75g	44.73	-60.32	42.64	73.88	145
g00b	47.59	-49.07	15.74	51.54	162
g25b	49.97	-39.69	-6.71	40.27	190
g50b	51.85	-32.32	-24.34	40.48	217
g75b	46.92	-17.28	-36.01	39.96	244
b00r	37.91	1.28	-42.34	42.37	272
b25r	23.81	30.38	-52.25	60.45	300
b50r	29.52	69.06	-42.13	80.9	329
b75r	36.48	71.47	-3.68	71.57	357



Ein und Ausgabe: Farbmetrisches Drucker-Reflektiv-System FRS09\_92a für relativen CIELAB-Buntton  $h^* = lab^*h^* = h_{ab}/360 = 272/360 = 0.755$   $u^* = b00r$

Daten für jede Farbe:

$lab^*ch^*$  und  $lab^*icu^*$

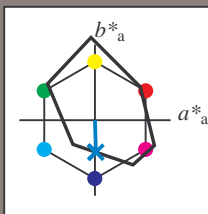
Elementar-Bunttontext:

$u^* = b00r$

Kontrastreduzierungsfaktor:

$c_R = 1.0$

Dreiecks-Helligkeit  $i^*$



FRS09_92a; adaptierte CIELAB-Daten					
	$L^*=L^*_a$	$a^*_a$	$b^*_a$	$C^*_{ab,a}$	$h^*_{ab,a}$
O <sub>Ma</sub>	35.06	60.0	44.0	74.4	36
Y <sub>Ma</sub>	83.77	-5.16	109.32	109.44	93
L <sub>Ma</sub>	44.13	-62.66	48.24	79.09	142
C <sub>Ma</sub>	52.66	-29.13	-31.98	43.27	228
V <sub>Ma</sub>	14.15	50.3	-59.03	77.57	310
M <sub>Ma</sub>	37.37	78.64	-33.49	85.48	337
N <sub>Ma</sub>	8.58	0.0	0.0	0.0	0
W <sub>Ma</sub>	92.02	0.0	0.0	0.0	0
R <sub>CIE</sub>	39.92	58.74	27.99	65.07	25
J <sub>CIE</sub>	81.26	-2.88	71.56	71.62	92
G <sub>CIE</sub>	52.23	-42.41	13.6	44.55	162
B <sub>CIE</sub>	30.57	1.41	-46.46	46.49	272

Daten für Maximalfarbe (Ma):

$LAB^*LAB^*_{Ma}$ : 38 1 -41

$LAB^*LCH^*_{Ma}$ : 38 42 272

$lab^*rgb^*_{Ma}$ : 0.0 0.0 1.0

$lab^*olv^*_{Ma}$ : 0.0 0.62 1.0

Dreiecks-Helligkeit  $i^*$

%Umfang

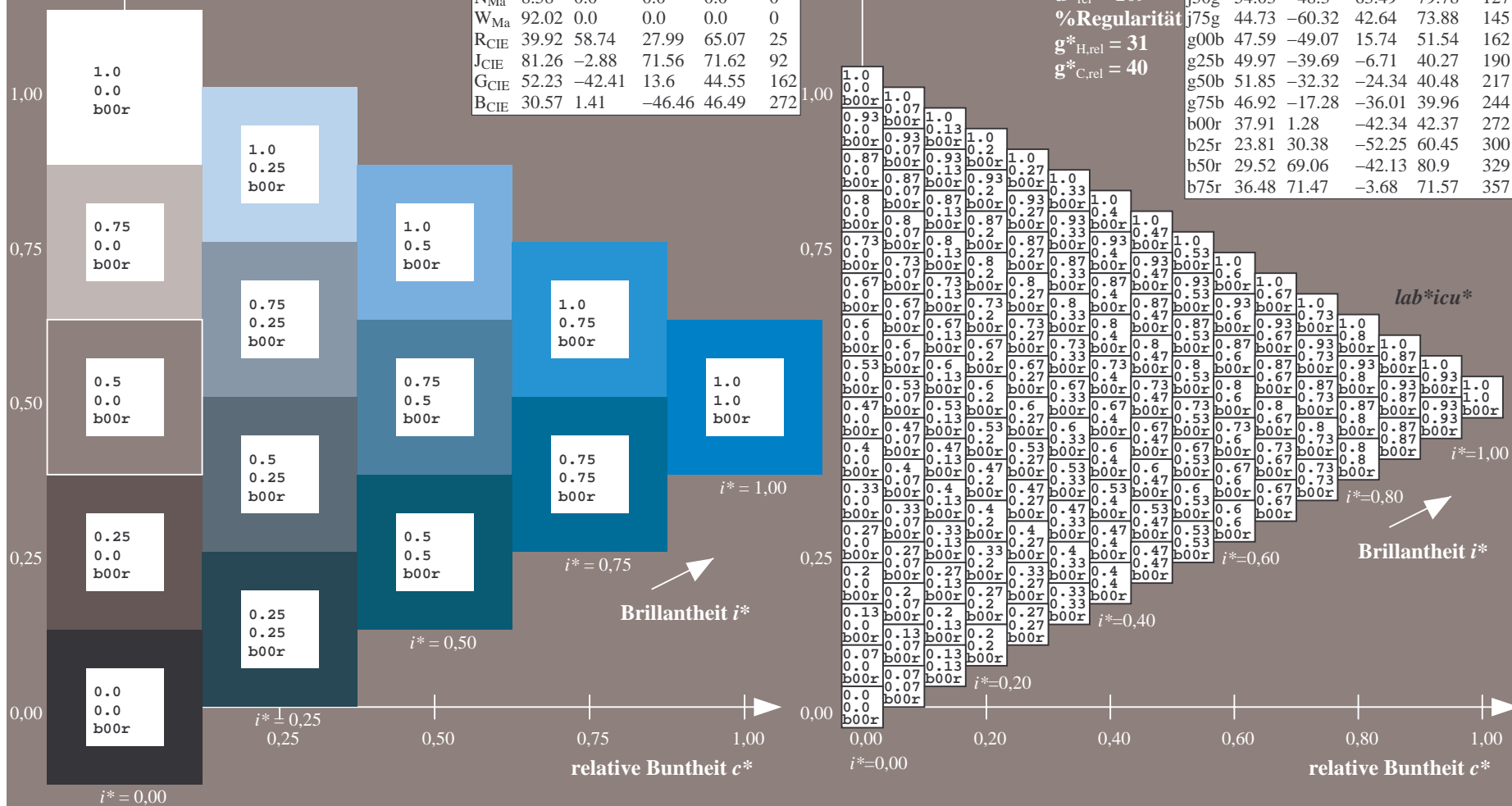
$u^*_{rel} = 109$

%Regularität

$g^*_{H,rel} = 31$

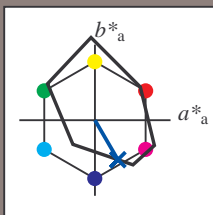
$g^*_{C,rel} = 40$

FRS09_92a; adaptierte CIELAB-Daten					
	$L^*=L^*_a$	$a^*_a$	$b^*_a$	$C^*_{ab,a}$	$h^*_{ab,a}$
r00j	35.47	63.32	30.17	70.15	25
r25j	39.12	54.56	49.45	73.64	42
r50j	50.64	39.15	64.89	75.79	59
r75j	64.01	21.26	82.83	85.52	76
j00g	83.18	-4.37	108.53	108.62	92
j25g	66.73	-29.88	83.06	88.28	110
j50g	54.03	-48.3	63.49	79.78	127
j75g	44.73	-60.32	42.64	73.88	145
g00b	47.59	-49.07	15.74	51.54	162
g25b	49.97	-39.69	-6.71	40.27	190
g50b	51.85	-32.32	-24.34	40.48	217
g75b	46.92	-17.28	-36.01	39.96	244
b00r	37.91	1.28	-42.34	42.37	272
b25r	23.81	30.38	-52.25	60.45	300
b50r	29.52	69.06	-42.13	80.9	329
b75r	36.48	71.47	-3.68	71.57	357





Ein und Ausgabe: Farbmetrisches Drucker-Reflektiv-System FRS09\_92a für relativen CIELAB-Buntton  $h^* = lab^*h^* = h_{ab}/360 = 300/360 = 0.834$   $u^* = b25r$   
Daten für jede Farbe:  
 $lab^*ch^*$  und  $lab^*icu^*$   
Elementar-Bunttontext:  
 $u^* = b25r$   
Kontrastreduzierungsfaktor:  
 $c_R = 1.0$   
Dreiecks-Helligkeit  $i^*$



FRS09_92a; adaptierte CIELAB-Daten					
	$L^*=L_a^*$	$a_a^*$	$b_a^*$	$C^*_{ab,a}$	$h^*_{ab,a}$
O <sub>Ma</sub>	35.06	60.0	44.0	74.4	36
Y <sub>Ma</sub>	83.77	-5.16	109.32	109.44	93
L <sub>Ma</sub>	44.13	-62.66	48.24	79.09	142
C <sub>Ma</sub>	52.66	-29.13	-31.98	43.27	228
V <sub>Ma</sub>	14.15	50.3	-59.03	77.57	310
M <sub>Ma</sub>	37.37	78.64	-33.49	85.48	337
N <sub>Ma</sub>	8.58	0.0	0.0	0.0	0
W <sub>Ma</sub>	92.02	0.0	0.0	0.0	0
R <sub>CIE</sub>	39.92	58.74	27.99	65.07	25
J <sub>CIE</sub>	81.26	-2.88	71.56	71.62	92
G <sub>CIE</sub>	52.23	-42.41	13.6	44.55	162
B <sub>CIE</sub>	30.57	1.41	-46.46	46.49	272

Daten für Maximalfarbe (Ma):

$LAB^*LAB^*_{Ma}$ : 24 30 -51

$LAB^*LCH^*_{Ma}$ : 24 60 300

$lab^*rgb^*_{Ma}$ : 0.5 0.0 1.0

$lab^*olv^*_{Ma}$ : 0.0 0.25 1.0

Dreiecks-Helligkeit  $i^*$

%Umfang

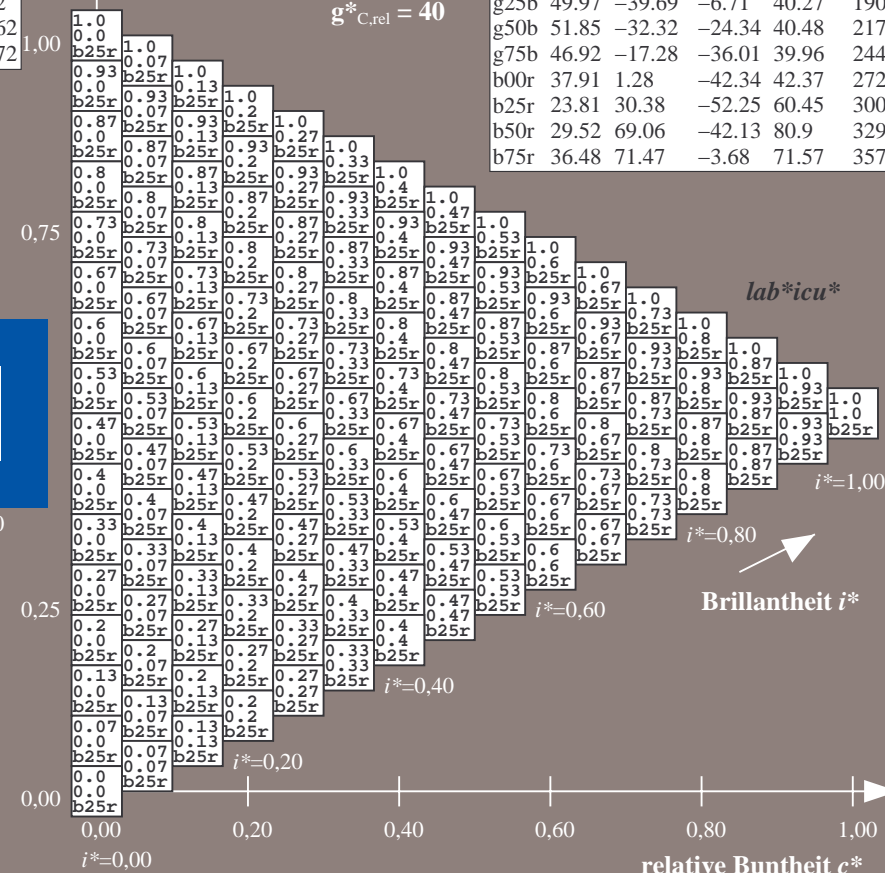
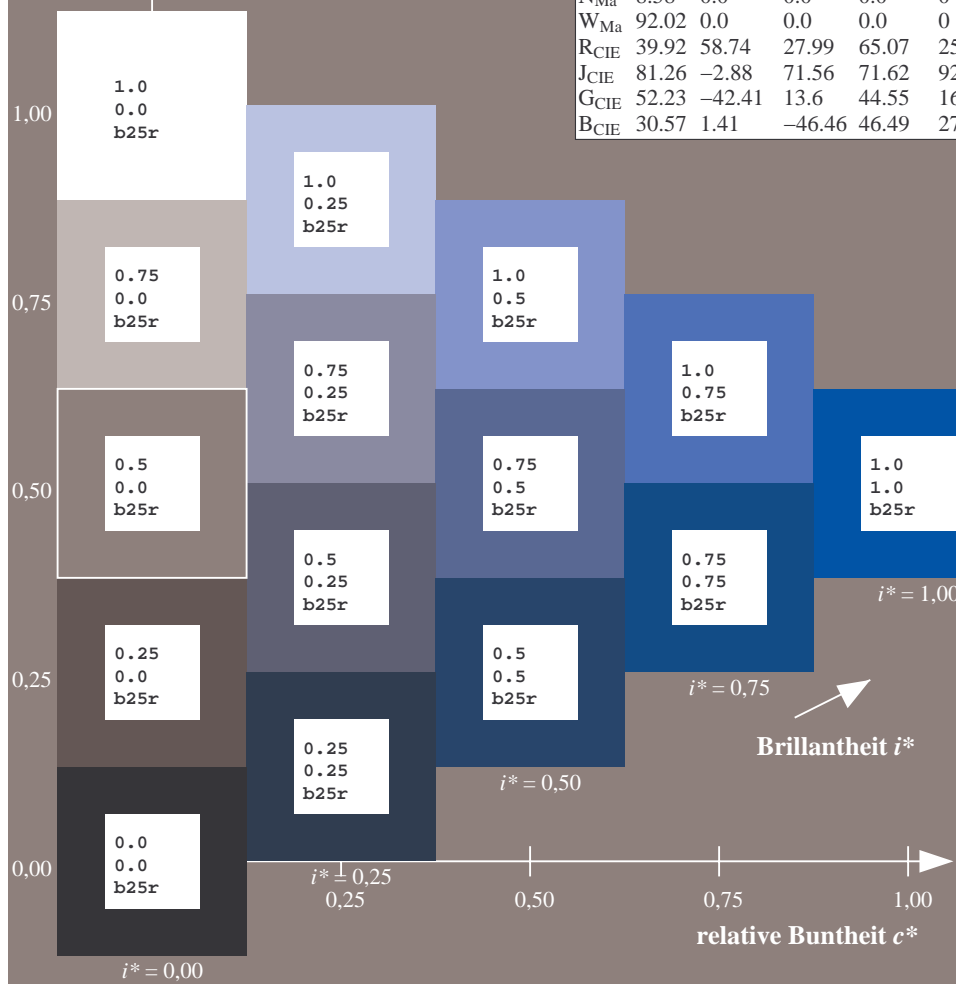
$u^*_{rel} = 109$

%Regularität

$g^*_{H,rel} = 31$

$g^*_{C,rel} = 40$

FRS09_92a; adaptierte CIELAB-Daten					
	$L^*=L_a^*$	$a_a^*$	$b_a^*$	$C^*_{ab,a}$	$h^*_{ab,a}$
r00j	35.47	63.32	30.17	70.15	25
r25j	39.12	54.56	49.45	73.64	42
r50j	50.64	39.15	64.89	75.79	59
r75j	64.01	21.26	82.83	85.52	76
j00g	83.18	-4.37	108.53	108.62	92
j25g	66.73	-29.88	83.06	88.28	110
j50g	54.03	-48.3	63.49	79.78	127
j75g	44.73	-60.32	42.64	73.88	145
g00b	47.59	-49.07	15.74	51.54	162
g25b	49.97	-39.69	-6.71	40.27	190
g50b	51.85	-32.32	-24.34	40.48	217
g75b	46.92	-17.28	-36.01	39.96	244
b00r	37.91	1.28	-42.34	42.37	272
b25r	23.81	30.38	-52.25	60.45	300
b50r	29.52	69.06	-42.13	80.9	329
b75r	36.48	71.47	-3.68	71.57	357





Ein und Ausgabe: Farbmetrisches Drucker-Reflektiv-System FRS09\_92a für relativen CIELAB-Buntton  $h^* = lab^*h^* = h_{ab}/360 = 329/360 = 0.913$   $u^* = b50r$

Daten für jede Farbe:

$lab^*ch^*$  und  $lab^*icu^*$

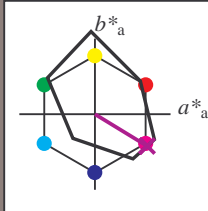
Elementar-Bunttontext:

$u^* = b50r$

Kontrastreduzierungsfaktor:

$c_R = 1.0$

Dreiecks-Helligkeit  $i^*$



FRS09\_92a; adaptierte CIELAB-Daten

	$L^*=L_a^*$	$a_a^*$	$b_a^*$	$C_{ab,a}^*$	$h_{ab,a}^*$
OMa	35.06	60.0	44.0	74.4	36
YMa	83.77	-5.16	109.32	109.44	93
LMa	44.13	-62.66	48.24	79.09	142
CMa	52.66	-29.13	-31.98	43.27	228
VMa	14.15	50.3	-59.03	77.57	310
MMa	37.37	78.64	-33.49	85.48	337
NMa	8.58	0.0	0.0	0.0	0
WMa	92.02	0.0	0.0	0.0	0
R_CIE	39.92	58.74	27.99	65.07	25
J_CIE	81.26	-2.88	71.56	71.62	92
G_CIE	52.23	-42.41	13.6	44.55	162
B_CIE	30.57	1.41	-46.46	46.49	272

Daten für Maximalfarbe (Ma):

$LAB^*LAB^*Ma$ : 30 69 -41

$LAB^*LCH^*Ma$ : 30 81 329

$lab^*rgb^*Ma$ : 1.0 0.0 1.0

$lab^*olv^*Ma$ : 0.66 0.0 1.0

Dreiecks-Helligkeit  $i^*$

%Umfang

$u^*_{rel} = 109$

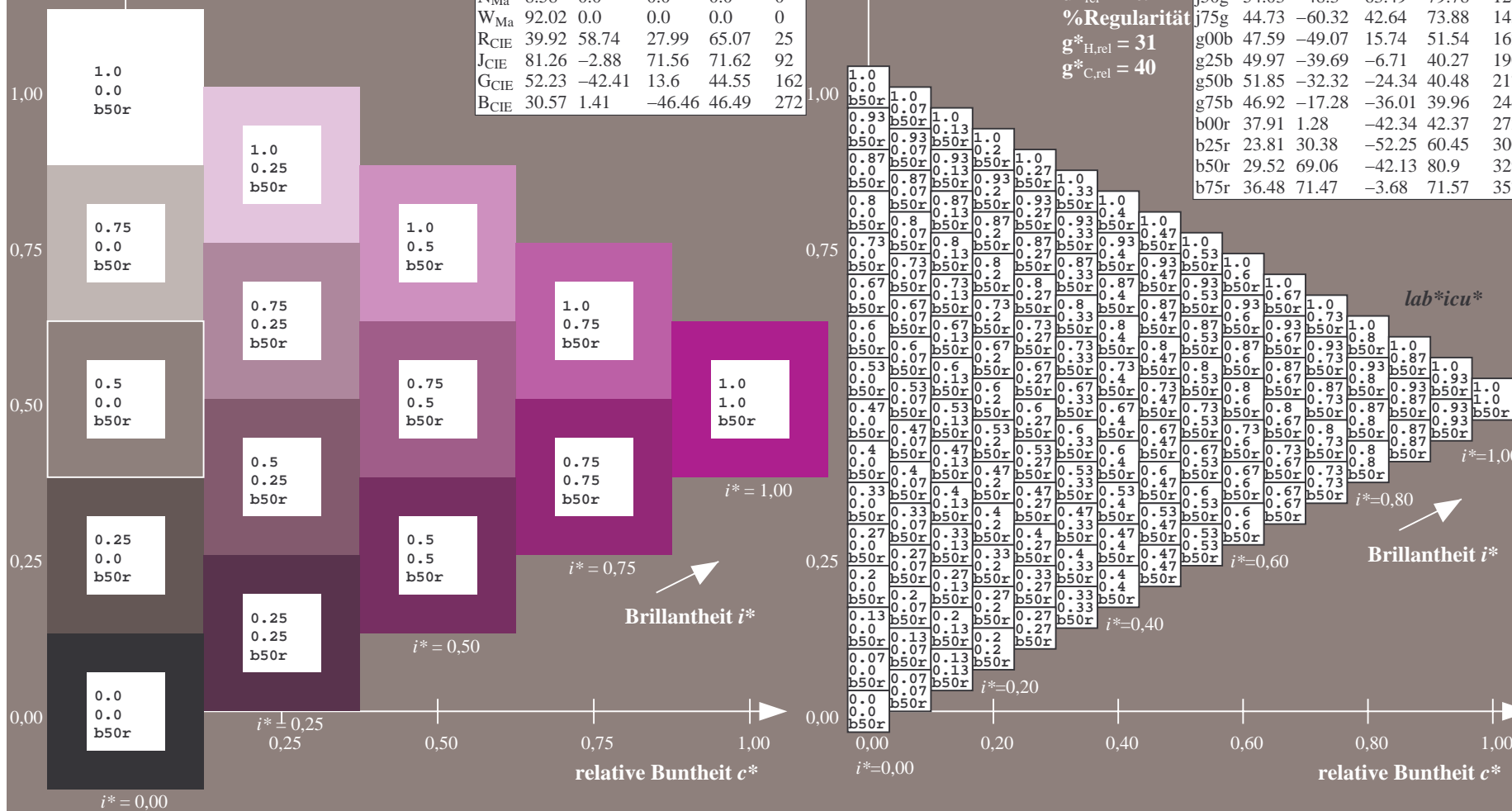
%Regelartigkeit

$g^*_{H,rel} = 31$

$g^*_{C,rel} = 40$

FRS09\_92a; adaptierte CIELAB-Daten

	$L^*=L_a^*$	$a_a^*$	$b_a^*$	$C_{ab,a}^*$	$h_{ab,a}^*$
r00j	35.47	63.32	30.17	70.15	25
r25j	39.12	54.56	49.45	73.64	42
r50j	50.64	39.15	64.89	75.79	59
r75j	64.01	21.26	82.83	85.52	76
j00g	83.18	-4.37	108.53	108.62	92
j25g	66.73	-29.88	83.06	88.28	110
j50g	54.03	-48.3	63.49	79.78	127
j75g	44.73	-60.32	42.64	73.88	145
g00b	47.59	-49.07	15.74	51.54	162
g25b	49.97	-39.69	-6.71	40.27	190
g50b	51.85	-32.32	-24.34	40.48	217
g75b	46.92	-17.28	-36.01	39.96	244
b00r	37.91	1.28	-42.34	42.37	272
b25r	23.81	30.38	-52.25	60.45	300
b50r	29.52	69.06	-42.13	80.9	329
b75r	36.48	71.47	-3.68	71.57	357



Ein und Ausgabe: Farbmetrisches Drucker-Reflektiv-System FRS09\_92a für relativen CIELAB-Buntton  $h^* = lab^*h^* = h_{ab}/360 = 357/360 = 0.992$   $u^* = b75r$   $lab^*icu^*$

Daten für jede Farbe:

$lab^*ch^*$  und  $lab^*icu^*$

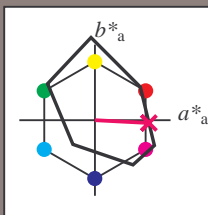
Elementar-Bunttontext:

$u^* = b75r$

Kontrastreduzierungsfaktor:

$c_R = 1.0$

Dreiecks-Helligkeit  $i^*$



FRS09_92a; adaptierte CIELAB-Daten					
	$L^*=L^*_a$	$a^*_a$	$b^*_a$	$C^*_{ab,a}$	$h^*_{ab,a}$
O <sub>Ma</sub>	35.06	60.0	44.0	74.4	36
Y <sub>Ma</sub>	83.77	-5.16	109.32	109.44	93
L <sub>Ma</sub>	44.13	-62.66	48.24	79.09	142
C <sub>Ma</sub>	52.66	-29.13	-31.98	43.27	228
V <sub>Ma</sub>	14.15	50.3	-59.03	77.57	310
M <sub>Ma</sub>	37.37	78.64	-33.49	85.48	337
N <sub>Ma</sub>	8.58	0.0	0.0	0.0	0
W <sub>Ma</sub>	92.02	0.0	0.0	0.0	0
R <sub>CIE</sub>	39.92	58.74	27.99	65.07	25
J <sub>CIE</sub>	81.26	-2.88	71.56	71.62	92
G <sub>CIE</sub>	52.23	-42.41	13.6	44.55	162
B <sub>CIE</sub>	30.57	1.41	-46.46	46.49	272

Daten für Maximalfarbe (Ma):

$LAB^*LAB^*_{Ma}$ : 36 71 -3

$LAB^*LCH^*_{Ma}$ : 36 72 357

$lab^*rgb^*_{Ma}$ : 1.0 0.0 0.5

$lab^*olv^*_{Ma}$ : 1.0 0.0 0.62

Dreiecks-Helligkeit  $i^*$

%Umfang

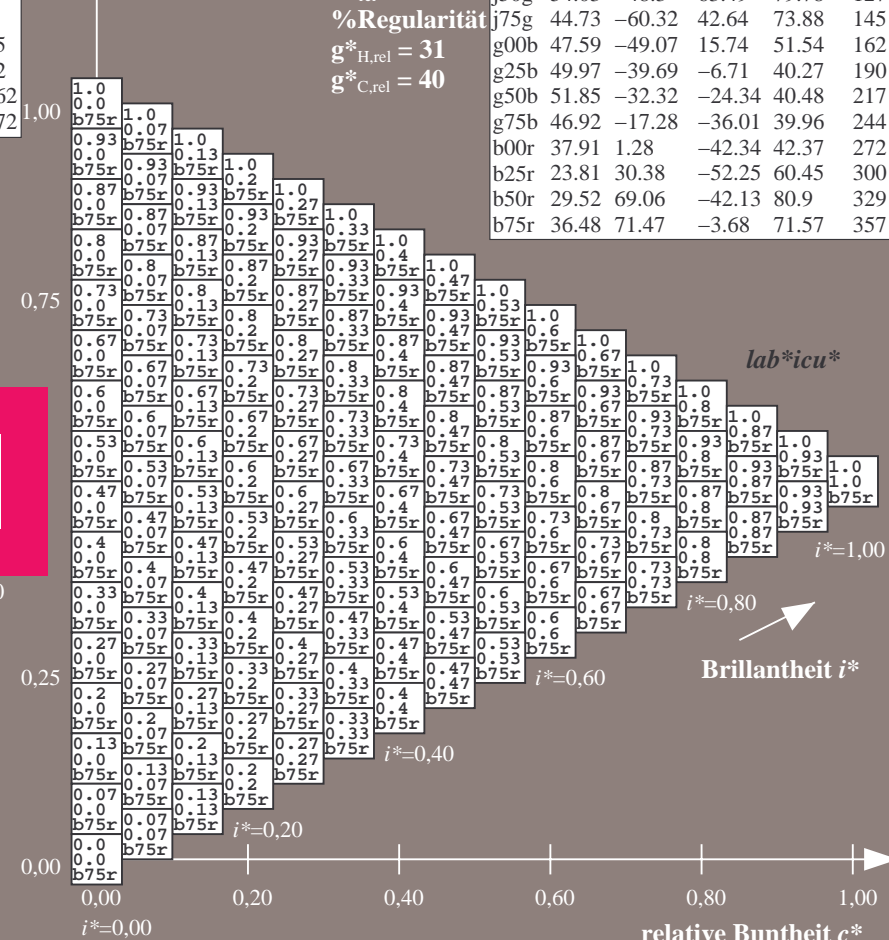
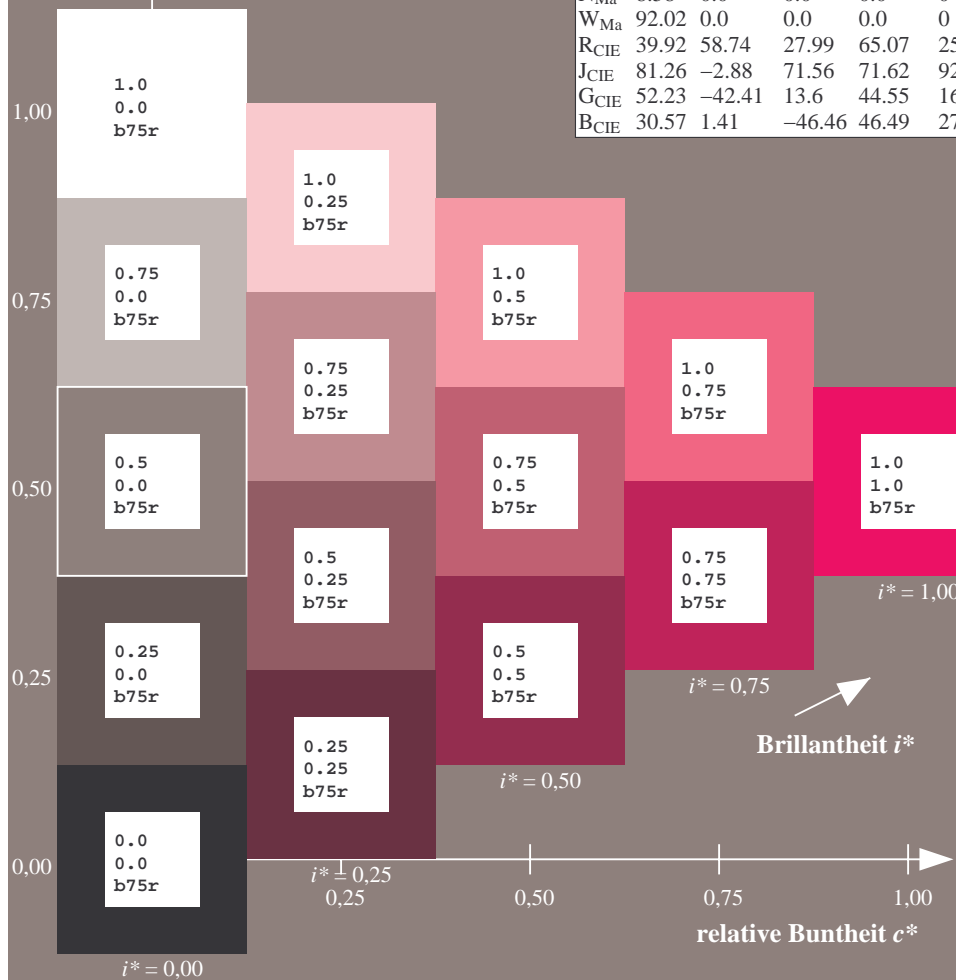
$u^*_{rel} = 109$

%Regularität

$g^*_{H,rel} = 31$

$g^*_{C,rel} = 40$

FRS09_92a; adaptierte CIELAB-Daten					
	$L^*=L^*_a$	$a^*_a$	$b^*_a$	$C^*_{ab,a}$	$h^*_{ab,a}$
r00j	35.47	63.32	30.17	70.15	25
r25j	39.12	54.56	49.45	73.64	42
r50j	50.64	39.15	64.89	75.79	59
r75j	64.01	21.26	82.83	85.52	76
j00g	83.18	-4.37	108.53	108.62	92
j25g	66.73	-29.88	83.06	88.28	110
j50g	54.03	-48.3	63.49	79.78	127
j75g	44.73	-60.32	42.64	73.88	145
g00b	47.59	-49.07	15.74	51.54	162
g25b	49.97	-39.69	-6.71	40.27	190
g50b	51.85	-32.32	-24.34	40.48	217
g75b	46.92	-17.28	-36.01	39.96	244
b00r	37.91	1.28	-42.34	42.37	272
b25r	23.81	30.38	-52.25	60.45	300
b50r	29.52	69.06	-42.13	80.9	329
b75r	36.48	71.47	-3.68	71.57	357



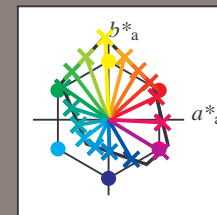
BAM-Registrierung: 20080/01-Dg96/10/L96G00NA.PS/.1X1BAM-Material  
Anwendung für Beurteilung und Messung von Drucker- oder Monitorsystemen

BAM-Prüfvorlage Dg96; Farbmimetrik-Systeme, Seite 126/180  
Farbreihen, 8 Datentabellen für 16 Bunttöne *r00j* bis *b75r*

Ausgabe:  $\rightarrow cmy\mathbf{n}5^* setcmykcolor$

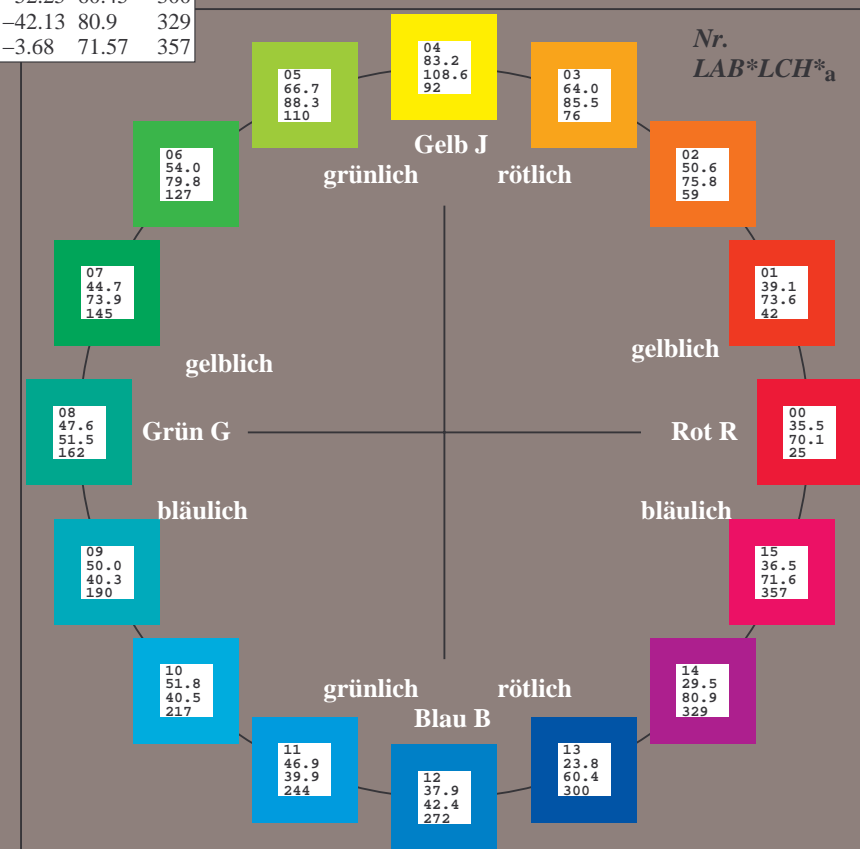
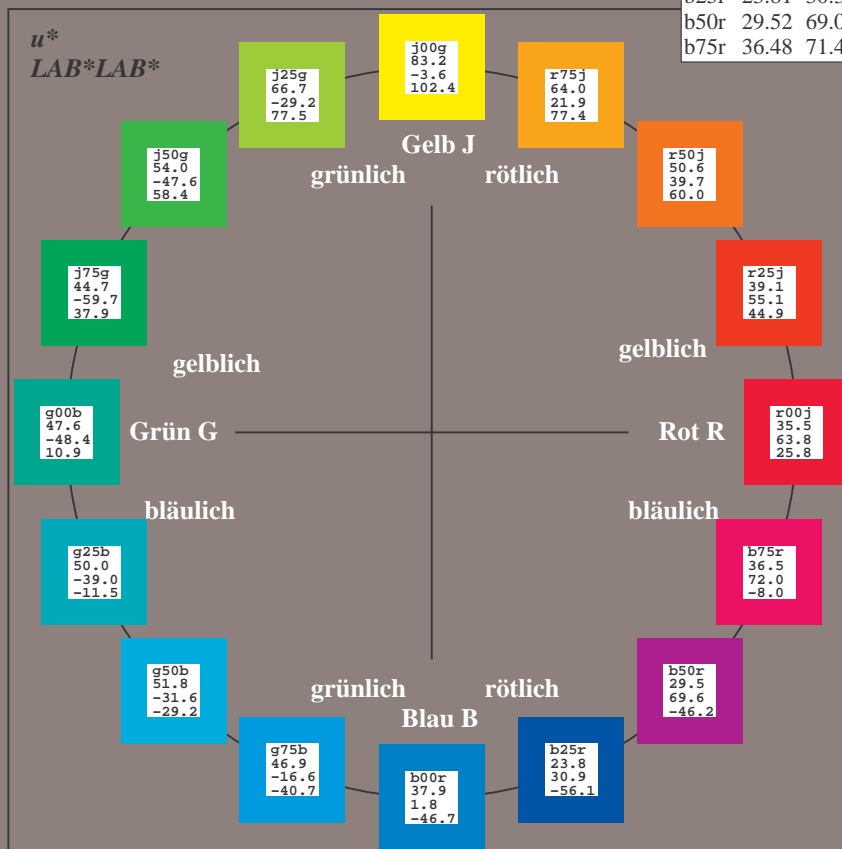
Ein und Ausgabe:  
Farbmetrisches Drucker-Reflektiv-System FRS09\_92a  
Daten für jede Farbe:  
*lab\*<sub>tch</sub>\** und *lab\*<sub>icu</sub>\**  
Elementar-Bunntontext:  
*u\** = 16 Bunttöne *r00j*, *r25j*, ..., *b75r*  
Kontrastreduzierungsfaktor:  
 $c_R = 1.0$

FRS09_92a; adaptierte CIELAB-Daten					
	$L^*=L^*_a$	$a^*_a$	$b^*_a$	$C^*_{ab,a}$	$h^*_{ab,a}$
r00j	35.47	63.32	30.17	70.15	25
r25j	39.12	54.56	49.45	73.64	42
r50j	50.64	39.15	64.89	75.79	59
r75j	64.01	21.26	82.83	85.52	76
j00g	83.18	-4.37	108.53	108.62	92
j25g	66.73	-29.88	83.06	88.28	110
j50g	54.03	-48.3	63.49	79.78	127
j75g	44.73	-60.32	42.64	73.88	145
g00b	47.59	-49.07	15.74	51.54	162
g25b	49.97	-39.69	-6.71	40.27	190
g50b	51.85	-32.32	-24.34	40.48	217
g75b	46.92	-17.28	-36.01	39.96	244
b00r	37.91	1.28	-42.34	42.37	272
b25r	23.81	30.38	-52.25	60.45	300
b50r	29.52	69.06	-42.13	80.9	329
b75r	36.48	71.47	-3.68	71.57	357



%Umfang  
 $u^*_{rel} = 109$   
%Regularität  
 $g^*_{H,rel} = 31$   
 $g^*_{C,rel} = 40$

FRS09_92; CIELAB-Daten					
	$L^*=L^*_a$	$a^*_a$	$b^*_a$	$C^*_{ab}$	$h^*_{ab}$
O <sub>M</sub>	35.06	60.53	39.66	72.37	33
Y <sub>M</sub>	83.77	-4.49	103.15	103.25	92
L <sub>M</sub>	44.13	-62.1	43.56	75.86	145
C <sub>M</sub>	52.66	-28.55	-36.98	46.73	232
V <sub>M</sub>	14.15	50.78	-62.59	80.61	309
M <sub>M</sub>	37.37	79.18	-37.92	87.8	334
N <sub>M</sub>	8.58	0.46	-3.34	3.38	278
W <sub>M</sub>	92.02	0.69	-6.47	6.52	276
R <sub>CIE</sub>	39.92	58.74	27.99	65.07	25
J <sub>CIE</sub>	81.26	-2.88	71.56	71.62	92
G <sub>CIE</sub>	52.23	-42.41	13.6	44.55	162
B <sub>CIE</sub>	30.57	1.41	-46.46	46.49	272





Ein und Ausgabe: Farbmetrisches Drucker-Reflektiv-System FRS09\_92a für relativen CIELAB-Buntton  $h^* = lab^*h^* = h_{ab}/360 = 25/360 = 0.071$

Daten für jede Farbe:

$lab^*tch^*$  und  $lab^*icu^*$

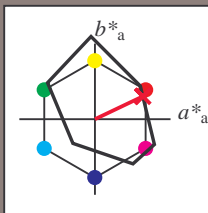
Elementar-Bunttontext:

$u^* = r00j$

Kontrastreduzierungsfaktor:

$c_R = 1.0$

Dreiecks-Helligkeit  $i^*$



FRS09\_92; CIELAB-Daten

	$L^*=L^*$	$a^*$	$b^*$	$C^*_{ab}$	$h^*_{ab}$
O <sub>M</sub>	35.06	60.53	39.66	72.37	33
Y <sub>M</sub>	83.77	-4.49	103.15	103.25	92
L <sub>M</sub>	44.13	-62.1	43.56	75.86	145
C <sub>M</sub>	52.66	-28.55	-36.98	46.73	232
V <sub>M</sub>	14.15	50.78	-62.59	80.61	309
M <sub>M</sub>	37.37	79.18	-37.92	87.8	334
N <sub>M</sub>	8.58	0.46	-3.34	3.38	278
W <sub>M</sub>	92.02	0.69	-6.47	6.52	276
R <sub>CIE</sub>	39.92	58.74	27.99	65.07	25
J <sub>CIE</sub>	81.26	-2.88	71.56	71.62	92
G <sub>CIE</sub>	52.23	-42.41	13.6	44.55	162
B <sub>CIE</sub>	30.57	1.41	-46.46	46.49	272

Daten für Maximalfarbe (Ma):

$LAB^*LAB^*_{Ma}$ : 35 63 30

$LAB^*LCH^*_{Ma}$ : 35 70 25

$lab^*rgb^*_{Ma}$ : 1.0 0.0 0.0

$lab^*olv^*_{Ma}$ : 1.0 0.0 0.18

Dreiecks-Helligkeit  $i^*$

%Umfang

$u^*_{rel} = 109$

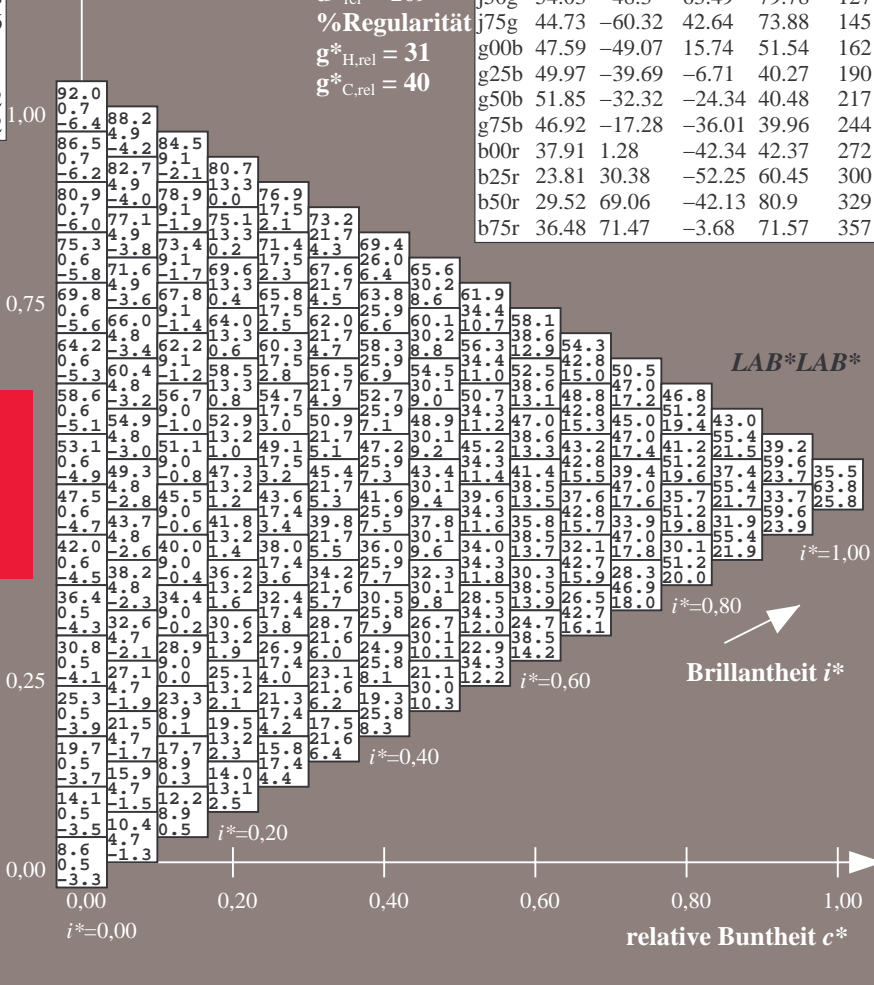
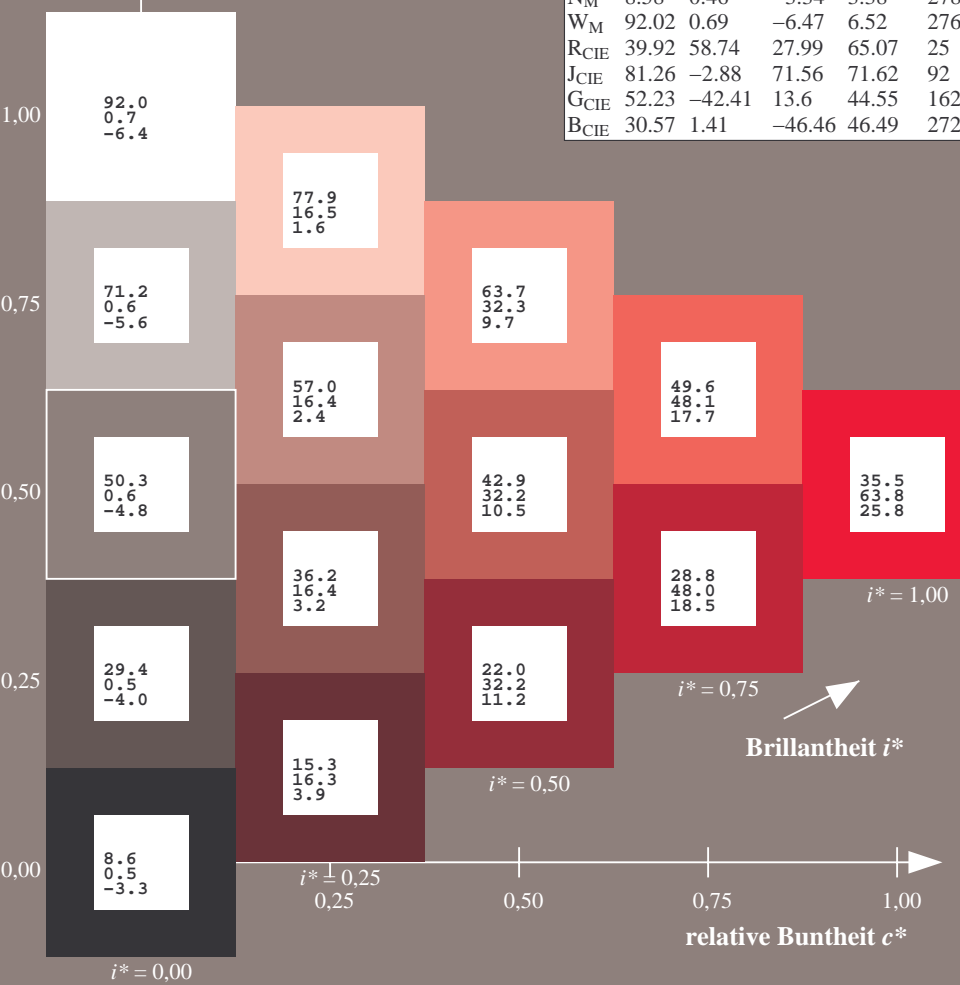
%Regularität

$g^*_{H,rel} = 31$

$g^*_{C,rel} = 40$

FRS09\_92a; adaptierte CIELAB-Daten

	$L^*=L^*_a$	$a^*_a$	$b^*_a$	$C^*_{ab,a}$	$h^*_{ab,a}$
r00j	35.47	63.32	30.17	70.15	25
r25j	39.12	54.56	49.45	73.64	42
r50j	50.64	39.15	64.89	75.79	59
r75j	64.01	21.26	82.83	85.52	76
j00g	83.18	-4.37	108.53	108.62	92
j25g	66.73	-29.88	83.06	88.28	110
j50g	54.03	-48.3	63.49	79.78	127
j75g	44.73	-60.32	42.64	73.88	145
g00b	47.59	-49.07	15.74	51.54	162
g25b	49.97	-39.69	-6.71	40.27	190
g50b	51.85	-32.32	-24.34	40.48	217
g75b	46.92	-17.28	-36.01	39.96	244
b00r	37.91	1.28	-42.34	42.37	272
b25r	23.81	30.38	-52.25	60.45	300
b50r	29.52	69.06	-42.13	80.9	329
b75r	36.48	71.47	-3.68	71.57	357





Ein und Ausgabe: Farbmimetrisches Drucker-Reflektiv-System FRS09\_92a für relativen CIELAB-Buntton  $h^* = lab^*h^* = h_{ab}/360 = 42/360 = 0.117$   $u^* = r25j$

Daten für jede Farbe:

$lab^*ch^*$  und  $lab^*icu^*$

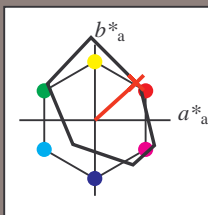
Elementar-Bunttontext:

$u^* = r25j$

Kontrastreduzierungsfaktor:

$c_R = 1.0$

Dreiecks-Helligkeit  $i^*$



FRS09\_92; CIELAB-Daten

	$L^*=L^*$	$a^*$	$b^*$	$C^*_{ab}$	$h^*_{ab}$
O <sub>M</sub>	35.06	60.53	39.66	72.37	33
Y <sub>M</sub>	83.77	-4.49	103.15	103.25	92
L <sub>M</sub>	44.13	-62.1	43.56	75.86	145
C <sub>M</sub>	52.66	-28.55	-36.98	46.73	232
V <sub>M</sub>	14.15	50.78	-62.59	80.61	309
M <sub>M</sub>	37.37	79.18	-37.92	87.8	334
N <sub>M</sub>	8.58	0.46	-3.34	3.38	278
W <sub>M</sub>	92.02	0.69	-6.47	6.52	276
R <sub>CIE</sub>	39.92	58.74	27.99	65.07	25
J <sub>CIE</sub>	81.26	-2.88	71.56	71.62	92
G <sub>CIE</sub>	52.23	-42.41	13.6	44.55	162
B <sub>CIE</sub>	30.57	1.41	-46.46	46.49	272

Daten für Maximalfarbe (Ma):

$LAB^*LAB^*_{Ma}$ : 39 55 49

$LAB^*LCH^*_{Ma}$ : 39 74 42

$lab^*rgb^*_{Ma}$ : 1.0 0.25 0.0

$lab^*olv^*_{Ma}$ : 1.0 0.08 0.0

Dreiecks-Helligkeit  $i^*$

%Umfang

$u^*_{rel} = 109$

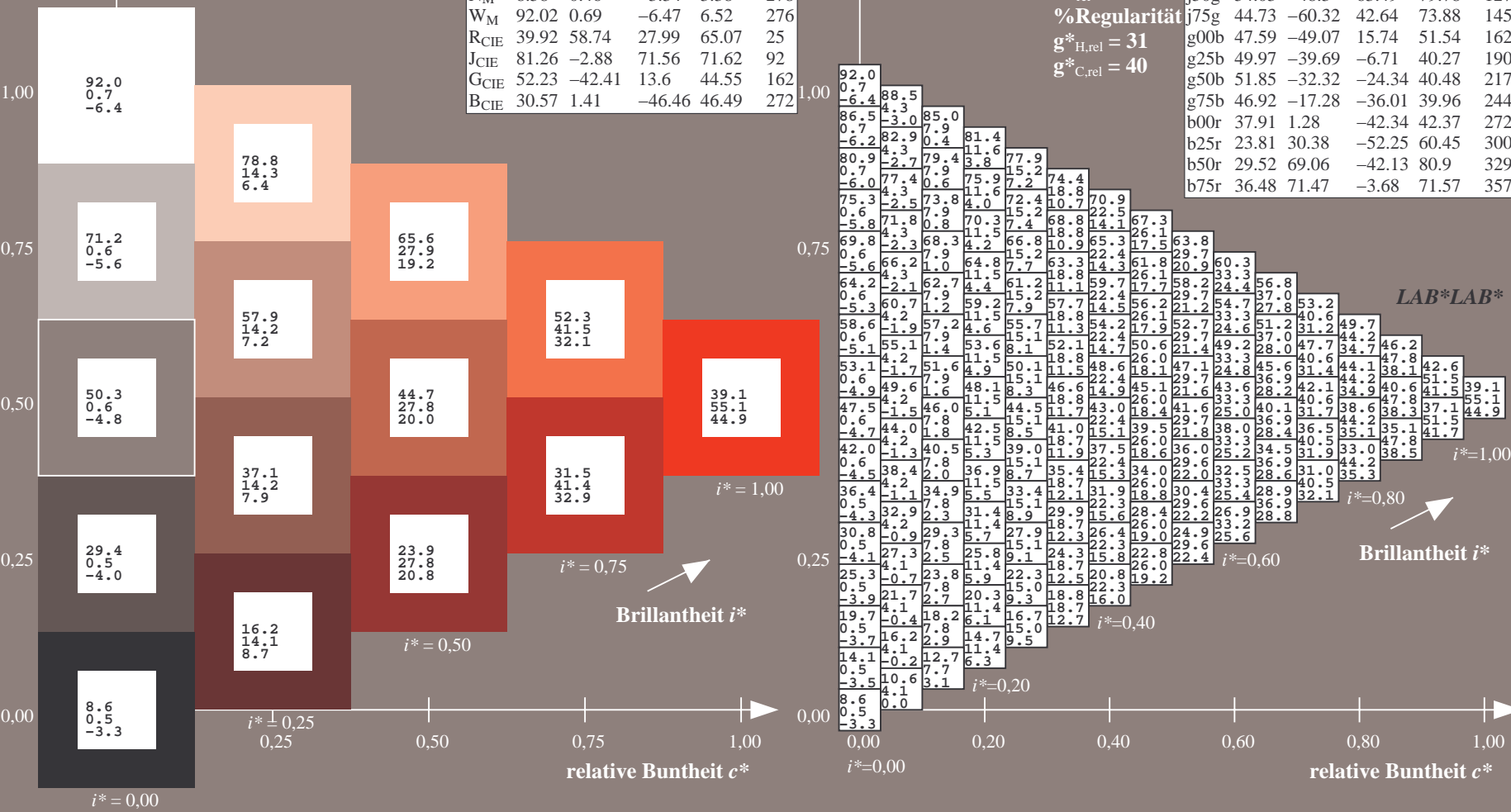
%Regularität

$g^*_{H,rel} = 31$

$g^*_{C,rel} = 40$

FRS09\_92a; adaptierte CIELAB-Daten

	$L^*=L^*_a$	$a^*_a$	$b^*_a$	$C^*_{ab,a}$	$h^*_{ab,a}$
r00j	35.47	63.32	30.17	70.15	25
r25j	39.12	54.56	49.45	73.64	42
r50j	50.64	39.15	64.89	75.79	59
r75j	64.01	21.26	82.83	85.52	76
j00g	83.18	-4.37	108.53	108.62	92
j25g	66.73	-29.88	83.06	88.28	110
j50g	54.03	-48.3	63.49	79.78	127
j75g	44.73	-60.32	42.64	73.88	145
g00b	47.59	-49.07	15.74	51.54	162
g25b	49.97	-39.69	-6.71	40.27	190
g50b	51.85	-32.32	-24.34	40.48	217
g75b	46.92	-17.28	-36.01	39.96	244
b00r	37.91	1.28	-42.34	42.37	272
b25r	23.81	30.38	-52.25	60.45	300
b50r	29.52	69.06	-42.13	80.9	329
b75r	36.48	71.47	-3.68	71.57	357



Ein und Ausgabe: Farbmetrisches Drucker-Reflektiv-System FRS09\_92a für relativen CIELAB-Buntton  $h^* = lab^*h^* = h_{ab}/360 = 59/360 = 0.164$   $u^* = r50j$

Daten für jede Farbe:

$lab^*ch^*$  und  $lab^*icu^*$

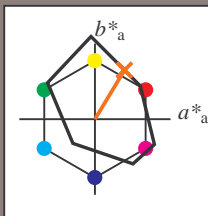
Elementar-Bunttontext:

$u^* = r50j$

Kontrastreduzierungsfaktor:

$c_R = 1.0$

Dreiecks-Helligkeit  $i^*$



FRS09\_92; CIELAB-Daten

	$L^*=L^*$	$a^*$	$b^*$	$C^*_{ab}$	$h^*_{ab}$
O <sub>M</sub>	35.06	60.53	39.66	72.37	33
Y <sub>M</sub>	83.77	-4.49	103.15	103.25	92
L <sub>M</sub>	44.13	-62.1	43.56	75.86	145
C <sub>M</sub>	52.66	-28.55	-36.98	46.73	232
V <sub>M</sub>	14.15	50.78	-62.59	80.61	309
M <sub>M</sub>	37.37	79.18	-37.92	87.8	334
N <sub>M</sub>	8.58	0.46	-3.34	3.38	278
W <sub>M</sub>	92.02	0.69	-6.47	6.52	276
R <sub>CIE</sub>	39.92	58.74	27.99	65.07	25
J <sub>CIE</sub>	81.26	-2.88	71.56	71.62	92
G <sub>CIE</sub>	52.23	-42.41	13.6	44.55	162
B <sub>CIE</sub>	30.57	1.41	-46.46	46.49	272

Daten für Maximalfarbe (Ma):

$LAB^*LAB^*_{Ma}$ : 51 39 65

$LAB^*LCH^*_{Ma}$ : 51 76 59

$lab^*rgb^*_{Ma}$ : 1.0 0.5 0.0

$lab^*olv^*_{Ma}$ : 1.0 0.32 0.0

Dreiecks-Helligkeit  $i^*$

%Umfang

$u^*_{rel} = 109$

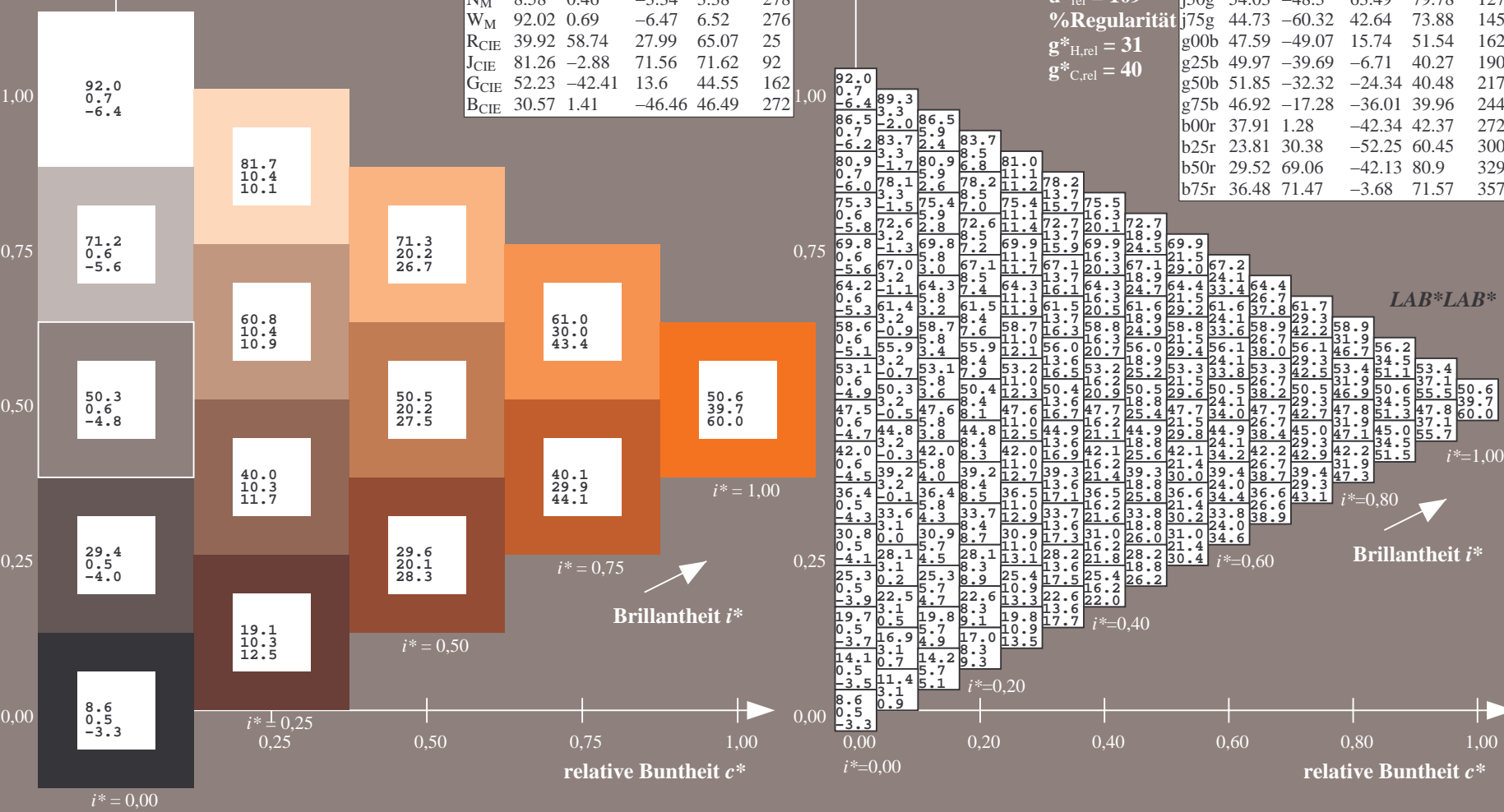
%Regularität

$g^*_{H,rel} = 31$

$g^*_{C,rel} = 40$

FRS09\_92a; adaptierte CIELAB-Daten

	$L^*=L^*_a$	$a^*_a$	$b^*_a$	$C^*_{ab,a}$	$h^*_{ab,a}$
r00j	35.47	63.32	30.17	70.15	25
r25j	39.12	54.56	49.45	73.64	42
r50j	50.64	39.15	64.89	75.79	59
r75j	64.01	21.26	82.83	85.52	76
j00g	83.18	-4.37	108.53	108.62	92
j25g	66.73	-29.88	83.06	88.28	110
j50g	54.03	-48.3	63.49	79.78	127
j75g	44.73	-60.32	42.64	73.88	145
g00b	47.59	-49.07	15.74	51.54	162
g25b	49.97	-39.69	-6.71	40.27	190
g50b	51.85	-32.32	-24.34	40.48	217
g75b	46.92	-17.28	-36.01	39.96	244
b00r	37.91	1.28	-42.34	42.37	272
b25r	23.81	30.38	-52.25	60.45	300
b50r	29.52	69.06	-42.13	80.9	329
b75r	36.48	71.47	-3.68	71.57	357



Ein und Ausgabe: Farbmetrisches Drucker-Reflektiv-System FRS09\_92a für relativen CIELAB-Buntton  $h^* = lab^*h^* = h_{ab}/360 = 76/360 = 0.21$

Daten für jede Farbe:

$lab^*ch^*$  und  $lab^*icu^*$

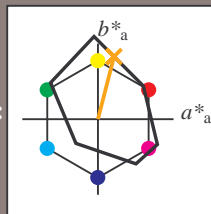
Elementar-Bunttontext:

$u^* = r75j$

Kontrastreduzierungsfaktor:

$c_R = 1.0$

Dreiecks-Helligkeit  $i^*$



FRS09\_92; CIELAB-Daten

	$L^*=L^*$	$a^*$	$b^*$	$C^*_{ab}$	$h^*_{ab}$
O <sub>M</sub>	35.06	60.53	39.66	72.37	33
Y <sub>M</sub>	83.77	-4.49	103.15	103.25	92
L <sub>M</sub>	44.13	-62.1	43.56	75.86	145
C <sub>M</sub>	52.66	-28.55	-36.98	46.73	232
V <sub>M</sub>	14.15	50.78	-62.59	80.61	309
M <sub>M</sub>	37.37	79.18	-37.92	87.8	334
N <sub>M</sub>	8.58	0.46	-3.34	3.38	278
W <sub>M</sub>	92.02	0.69	-6.47	6.52	276
R <sub>CIE</sub>	39.92	58.74	27.99	65.07	25
J <sub>CIE</sub>	81.26	-2.88	71.56	71.62	92
G <sub>CIE</sub>	52.23	-42.41	13.6	44.55	162
B <sub>CIE</sub>	30.57	1.41	-46.46	46.49	272

Daten für Maximalfarbe (Ma):

$LAB^*LAB^*_{Ma}$ : 64 21 83

$LAB^*LCH^*_{Ma}$ : 64 86 76

$lab^*rgb^*_{Ma}$ : 1.0 0.75 0.0

$lab^*olv^*_{Ma}$ : 1.0 0.59 0.0

Dreiecks-Helligkeit  $i^*$

%Umfang

$u^*_{rel} = 109$

%Regularität

$g^*_{H,rel} = 31$

$g^*_{C,rel} = 40$

FRS09\_92a; adaptierte CIELAB-Daten

	$L^*=L^*_a$	$a^*_a$	$b^*_a$	$C^*_{ab,a}$	$h^*_{ab,a}$
r00j	35.47	63.32	30.17	70.15	25
r25j	39.12	54.56	49.45	73.64	42
r50j	50.64	39.15	64.89	75.79	59
r75j	64.01	21.26	82.83	85.52	76
j00g	83.18	-4.37	108.53	108.62	92
j25g	66.73	-29.88	83.06	88.28	110
j50g	54.03	-48.3	63.49	79.78	127
j75g	44.73	-60.32	42.64	73.88	145
g00b	47.59	-49.07	15.74	51.54	162
g25b	49.97	-39.69	-6.71	40.27	190
g50b	51.85	-32.32	-24.34	40.48	217
g75b	46.92	-17.28	-36.01	39.96	244
b00r	37.91	1.28	-42.34	42.37	272
b25r	23.81	30.38	-52.25	60.45	300
b50r	29.52	69.06	-42.13	80.9	329
b75r	36.48	71.47	-3.68	71.57	357

$LAB^*LAB^*$

$i^* = 1.00$

Brillantheit  $i^*$

$i^* = 0.80$

$i^* = 0.60$

$i^* = 0.40$

$i^* = 0.20$

Ausgabe: `->cmvn5* setcmvcolor`

BAM-Registrierung: 20080701-Dg96/10L/L96G00NA.PS/ .TXTBAM-Material: Code=rha4ta  
Anwendung für Beurteilung und Messung von Drucker- oder Monitorsystemen



Ein und Ausgabe: Farbmetrisches Drucker-Reflektiv-System FRS09\_92a für relativen CIELAB-Buntton  $h^* = lab^*h^* = h_{ab}/360 = 110/360 = 0.305$   $u^* = j25g$

Daten für jede Farbe:

$lab^*ch^*$  und  $lab^*icu^*$

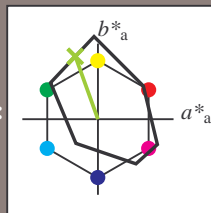
Elementar-Bunttontext:

$u^* = j25g$

Kontrastreduzierungsfaktor:

$c_R = 1.0$

Dreiecks-Helligkeit  $i^*$



FRS09\_92; CIELAB-Daten

	$L^* = L^*$	$a^*$	$b^*$	$C^*_{ab}$	$h^*_{ab}$
O <sub>M</sub>	35.06	60.53	39.66	72.37	33
Y <sub>M</sub>	83.77	-4.49	103.15	103.25	92
L <sub>M</sub>	44.13	-62.1	43.56	75.86	145
C <sub>M</sub>	52.66	-28.55	-36.98	46.73	232
V <sub>M</sub>	14.15	50.78	-62.59	80.61	309
M <sub>M</sub>	37.37	79.18	-37.92	87.8	334
N <sub>M</sub>	8.58	0.46	-3.34	3.38	278
W <sub>M</sub>	92.02	0.69	-6.47	6.52	276
R <sub>CIE</sub>	39.92	58.74	27.99	65.07	25
J <sub>CIE</sub>	81.26	-2.88	71.56	71.62	92
G <sub>CIE</sub>	52.23	-42.41	13.6	44.55	162
B <sub>CIE</sub>	30.57	1.41	-46.46	46.49	272

Daten für Maximalfarbe (Ma):

$LAB^*LAB^*_{Ma}$ : 67 -29 83

$LAB^*LCH^*_{Ma}$ : 67 88 110

$lab^*rgb^*_{Ma}$ : 0.75 1.0 0.0

$lab^*olv^*_{Ma}$ : 0.57 1.0 0.0

Dreiecks-Helligkeit  $i^*$

%Umfang

$u^*_{rel} = 109$

%Regularität

$g^*_{H,rel} = 31$

$g^*_{C,rel} = 40$

FRS09\_92a; adaptierte CIELAB-Daten

	$L^* = L^*_a$	$a^*_a$	$b^*_a$	$C^*_{ab,a}$	$h^*_{ab,a}$
r00j	35.47	63.32	30.17	70.15	25
r25j	39.12	54.56	49.45	73.64	42
r50j	50.64	39.15	64.89	75.79	59
r75j	64.01	21.26	82.83	85.52	76
j00g	83.18	-4.37	108.53	108.62	92
j25g	66.73	-29.88	83.06	88.28	110
j50g	54.03	-48.3	63.49	79.78	127
j75g	44.73	-60.32	42.64	73.88	145
g00b	47.59	-49.07	15.74	51.54	162
g25b	49.97	-39.69	-6.71	40.27	190
g50b	51.85	-32.32	-24.34	40.48	217
g75b	46.92	-17.28	-36.01	39.96	244
b00r	37.91	1.28	-42.34	42.37	272
b25r	23.81	30.38	-52.25	60.45	300
b50r	29.52	69.06	-42.13	80.9	329
b75r	36.48	71.47	-3.68	71.57	357

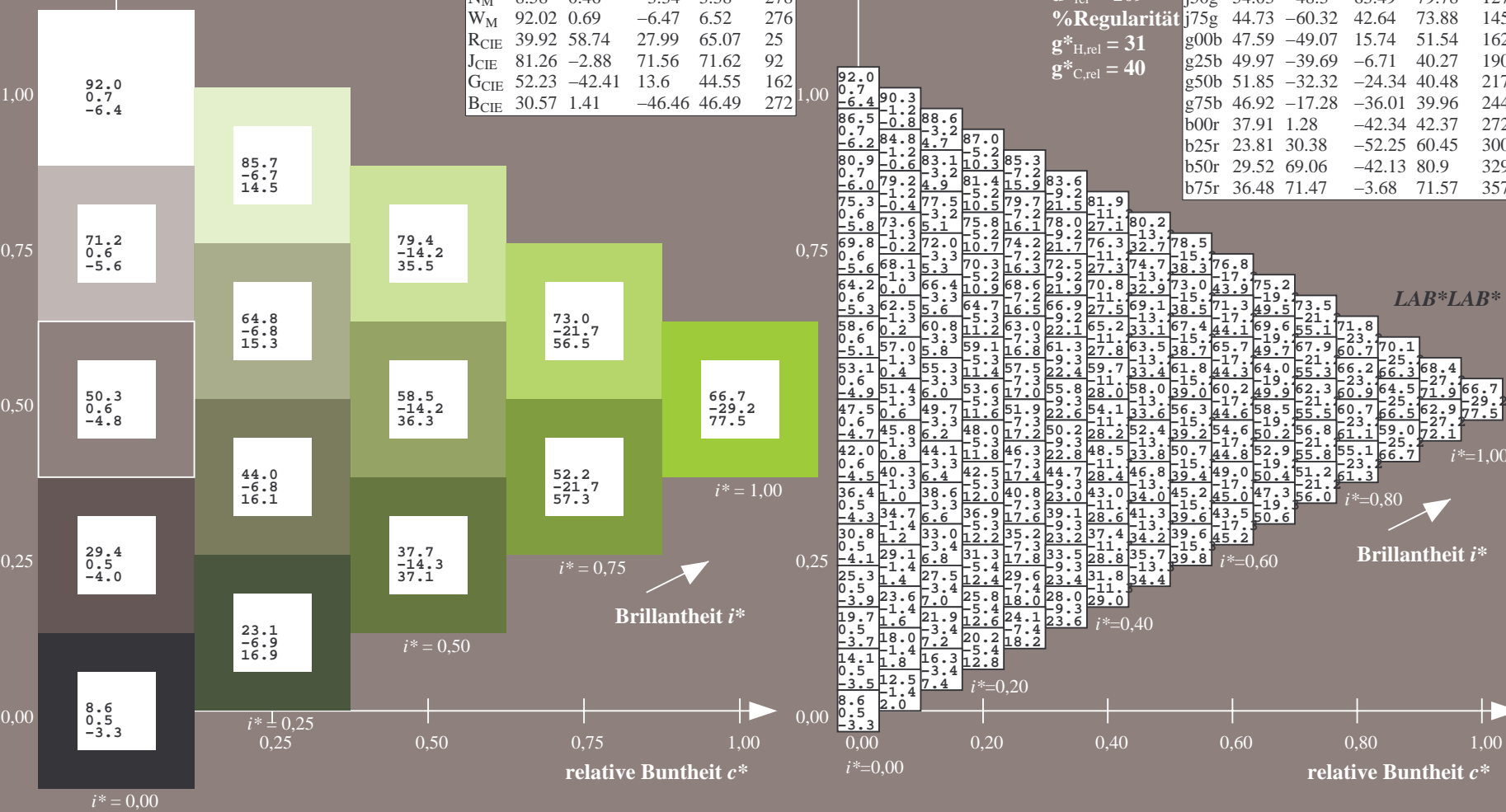




Figure 1



Siehe ähnliche Dateien: <http://www.ps.bam.de/Dg96/>; [www.ps.bam.de/Dg.HTM](http://www.ps.bam.de/Dg.HTM)  
Technische Information: <http://www.ps.bam.de> Version 2.1, io=1, ColSp=0

BAM-Registrierung: 20080701-Dg96/10L/L96G00NA.PS/ .TXTBAM-Material: Code=rh4ta  
Anwendung für Beurteilung und Messung von Drucker- oder Monitorsystemen

BAM-Prüfvorlage Dg96; Farbmimetrik-Systeme, Seite 134/180  
Farbreihen, 8 Datentabellen für 16 Bunttöne *r00j* bis *b75r*

Eingabe: 000n / w / nnn0 / www set...  
Ausgabe: ->cmyn5\* setcmykcolor

Ein und Ausgabe: Farbmetrisches Drucker-Reflektiv-System FRS09\_92a für relativen CIELAB-Buntton  $h^* = lab^*h^* = h_{ab}/360 = 145/360 = 0.402$   $u^* = j75g$

Daten für jede Farbe:

$lab^*ch^*$  und  $lab^*icu^*$

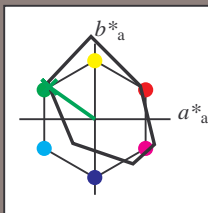
Elementar-Bunttontext:

$u^* = j75g$

Kontrastreduzierungsfaktor:

$c_R = 1.0$

Dreiecks-Helligkeit  $i^*$



FRS09\_92; CIELAB-Daten

	$L^*=L^*$	$a^*$	$b^*$	$C^*_{ab}$	$h^*_{ab}$
O <sub>M</sub>	35.06	60.53	39.66	72.37	33
Y <sub>M</sub>	83.77	-4.49	103.15	103.25	92
L <sub>M</sub>	44.13	-62.1	43.56	75.86	145
C <sub>M</sub>	52.66	-28.55	-36.98	46.73	232
V <sub>M</sub>	14.15	50.78	-62.59	80.61	309
M <sub>M</sub>	37.37	79.18	-37.92	87.8	334
N <sub>M</sub>	8.58	0.46	-3.34	3.38	278
W <sub>M</sub>	92.02	0.69	-6.47	6.52	276
R <sub>CIE</sub>	39.92	58.74	27.99	65.07	25
J <sub>CIE</sub>	81.26	-2.88	71.56	71.62	92
G <sub>CIE</sub>	52.23	-42.41	13.6	44.55	162
B <sub>CIE</sub>	30.57	1.41	-46.46	46.49	272

Daten für Maximalfarbe (Ma):

$LAB^*LAB^*_{Ma}$ : 45 -59 43

$LAB^*LCH^*_{Ma}$ : 45 74 145

$lab^*rgb^*_{Ma}$ : 0.25 1.0 0.0

$lab^*olv^*_{Ma}$ : 0.0 1.0 0.07

Dreiecks-Helligkeit  $i^*$

%Umfang

$u^*_{rel} = 109$

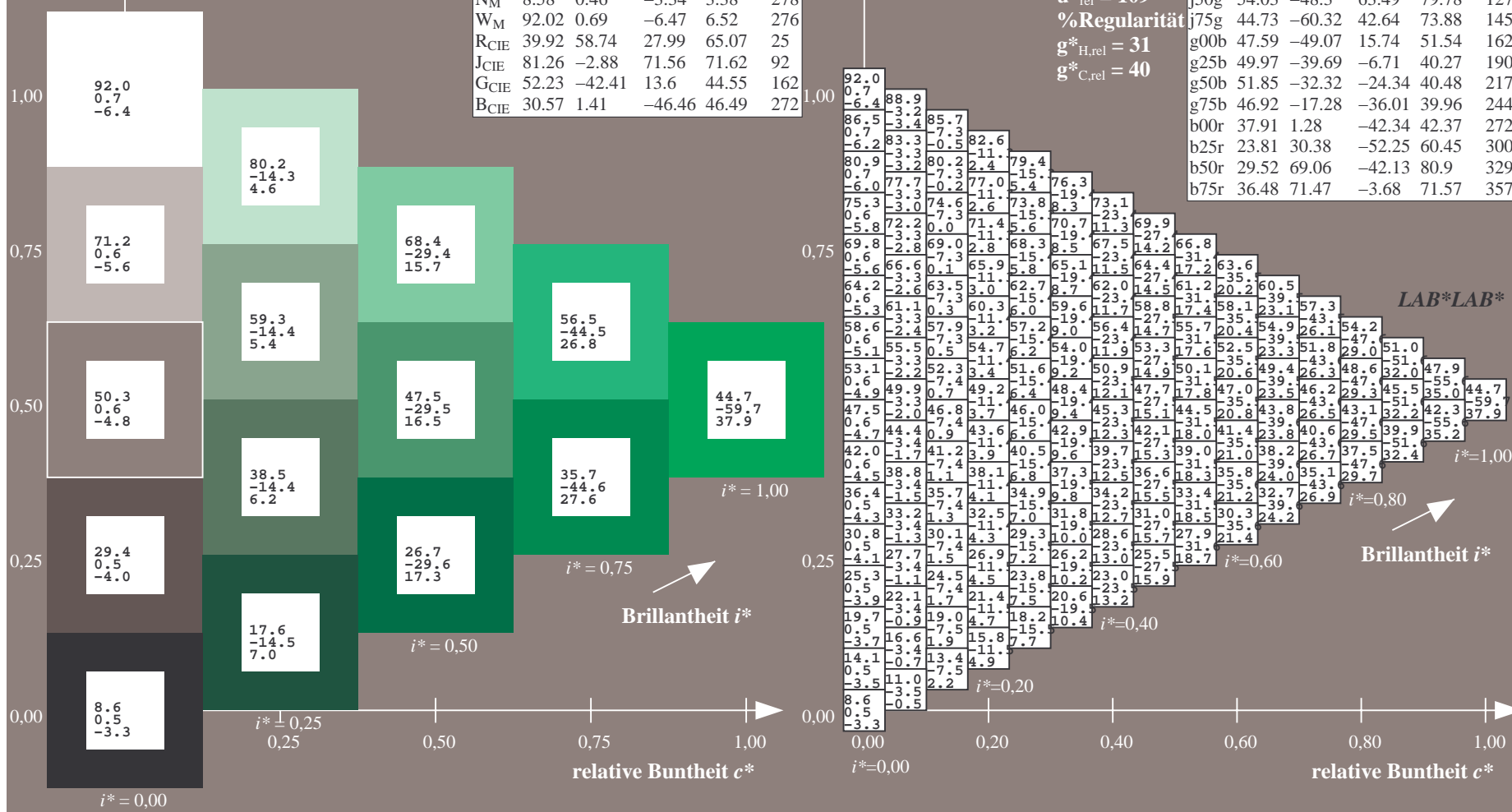
%Regularität

$g^*_{H,rel} = 31$

$g^*_{C,rel} = 40$

FRS09\_92a; adaptierte CIELAB-Daten

	$L^*=L^*_a$	$a^*_a$	$b^*_a$	$C^*_{ab,a}$	$h^*_{ab,a}$
r00j	35.47	63.32	30.17	70.15	25
r25j	39.12	54.56	49.45	73.64	42
r50j	50.64	39.15	64.89	75.79	59
r75j	64.01	21.26	82.83	85.52	76
j00g	83.18	-4.37	108.53	108.62	92
j25g	66.73	-29.88	83.06	88.28	110
j50g	54.03	-48.3	63.49	79.78	127
j75g	44.73	-60.32	42.64	73.88	145
g00b	47.59	-49.07	15.74	51.54	162
g25b	49.97	-39.69	-6.71	40.27	190
g50b	51.85	-32.32	-24.34	40.48	217
g75b	46.92	-17.28	-36.01	39.96	244
b00r	37.91	1.28	-42.34	42.37	272
b25r	23.81	30.38	-52.25	60.45	300
b50r	29.52	69.06	-42.13	80.9	329
b75r	36.48	71.47	-3.68	71.57	357



Ein und Ausgabe: Farbmetrisches Drucker-Reflektiv-System FRS09\_92a für relativen CIELAB-Buntton  $h^* = lab^*h^* = h_{ab}/360 = 162/360 = 0.451$   $u^* = g00b$

Daten für jede Farbe:

$lab^*ch^*$  und  $lab^*icu^*$

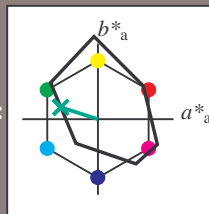
Elementar-Bunttontext:

$u^* = g00b$

Kontrastreduzierungsfaktor:

$c_R = 1.0$

Dreiecks-Helligkeit  $i^*$



FRS09\_92; CIELAB-Daten

	$L^*=L^*$	$a^*$	$b^*$	$C^*_{ab}$	$h^*_{ab}$
O <sub>M</sub>	35.06	60.53	39.66	72.37	33
Y <sub>M</sub>	83.77	-4.49	103.15	103.25	92
L <sub>M</sub>	44.13	-62.1	43.56	75.86	145
C <sub>M</sub>	52.66	-28.55	-36.98	46.73	232
V <sub>M</sub>	14.15	50.78	-62.59	80.61	309
M <sub>M</sub>	37.37	79.18	-37.92	87.8	334
N <sub>M</sub>	8.58	0.46	-3.34	3.38	278
W <sub>M</sub>	92.02	0.69	-6.47	6.52	276
R <sub>CIE</sub>	39.92	58.74	27.99	65.07	25
J <sub>CIE</sub>	81.26	-2.88	71.56	71.62	92
G <sub>CIE</sub>	52.23	-42.41	13.6	44.55	162
B <sub>CIE</sub>	30.57	1.41	-46.46	46.49	272

Daten für Maximalfarbe (Ma):

$LAB^*LAB^*_{Ma}$ : 48 -48 16

$LAB^*LCH^*_{Ma}$ : 48 52 162

$lab^*rgb^*_{Ma}$ : 0.0 1.0 0.0

$lab^*olv^*_{Ma}$ : 0.0 1.0 0.41

Dreiecks-Helligkeit  $i^*$

%Umfang

$u^*_{rel} = 109$

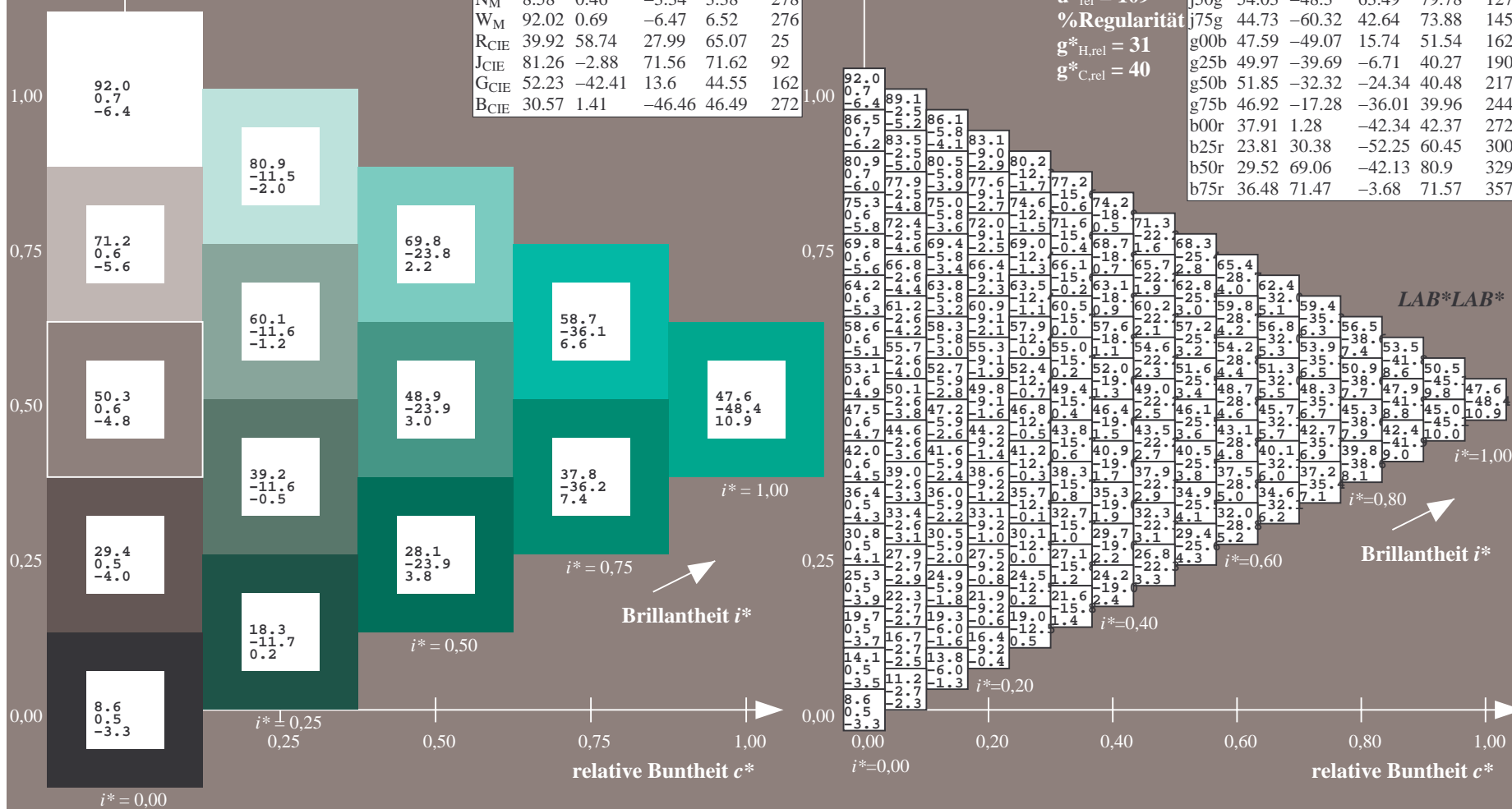
%Regularität

$g^*_{H,rel} = 31$

$g^*_{C,rel} = 40$

FRS09\_92a; adaptierte CIELAB-Daten

	$L^*=L^*_a$	$a^*_a$	$b^*_a$	$C^*_{ab,a}$	$h^*_{ab,a}$
r00j	35.47	63.32	30.17	70.15	25
r25j	39.12	54.56	49.45	73.64	42
r50j	50.64	39.15	64.89	75.79	59
r75j	64.01	21.26	82.83	85.52	76
j00g	83.18	-4.37	108.53	108.62	92
j25g	66.73	-29.88	83.06	88.28	110
j50g	54.03	-48.3	63.49	79.78	127
j75g	44.73	-60.32	42.64	73.88	145
g00b	47.59	-49.07	15.74	51.54	162
g25b	49.97	-39.69	-6.71	40.27	190
g50b	51.85	-32.32	-24.34	40.48	217
g75b	46.92	-17.28	-36.01	39.96	244
b00r	37.91	1.28	-42.34	42.37	272
b25r	23.81	30.38	-52.25	60.45	300
b50r	29.52	69.06	-42.13	80.9	329
b75r	36.48	71.47	-3.68	71.57	357



Ein und Ausgabe: Farbmetrisches Drucker-Reflektiv-System FRS09\_92a für relativen CIELAB-Buntton  $h^* = lab^*h^* = h_{ab}/360 = 190/360 = 0.527$   $u^* = g25b$

Daten für jede Farbe:

$lab^*ch^*$  und  $lab^*icu^*$

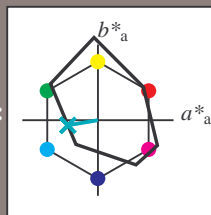
Elementar-Bunttontext:

$u^* = g25b$

Kontrastreduzierungsfaktor:

$c_R = 1.0$

Dreiecks-Helligkeit  $i^*$



FRS09\_92; CIELAB-Daten

	$L^*=L^*$	$a^*$	$b^*$	$C^*_{ab}$	$h^*_{ab}$
O <sub>M</sub>	35.06	60.53	39.66	72.37	33
Y <sub>M</sub>	83.77	-4.49	103.15	103.25	92
L <sub>M</sub>	44.13	-62.1	43.56	75.86	145
C <sub>M</sub>	52.66	-28.55	-36.98	46.73	232
V <sub>M</sub>	14.15	50.78	-62.59	80.61	309
M <sub>M</sub>	37.37	79.18	-37.92	87.8	334
N <sub>M</sub>	8.58	0.46	-3.34	3.38	278
W <sub>M</sub>	92.02	0.69	-6.47	6.52	276
R <sub>CIE</sub>	39.92	58.74	27.99	65.07	25
J <sub>CIE</sub>	81.26	-2.88	71.56	71.62	92
G <sub>CIE</sub>	52.23	-42.41	13.6	44.55	162
B <sub>CIE</sub>	30.57	1.41	-46.46	46.49	272

Daten für Maximalfarbe (Ma):

$LAB^*LAB^*_{Ma}$ : 50 -39 -6

$LAB^*LCH^*_{Ma}$ : 50 40 190

$lab^*rgb^*_{Ma}$ : 0.0 1.0 0.5

$lab^*olv^*_{Ma}$ : 0.0 1.0 0.69

Dreiecks-Helligkeit  $i^*$

%Umfang

$u^*_{rel} = 109$

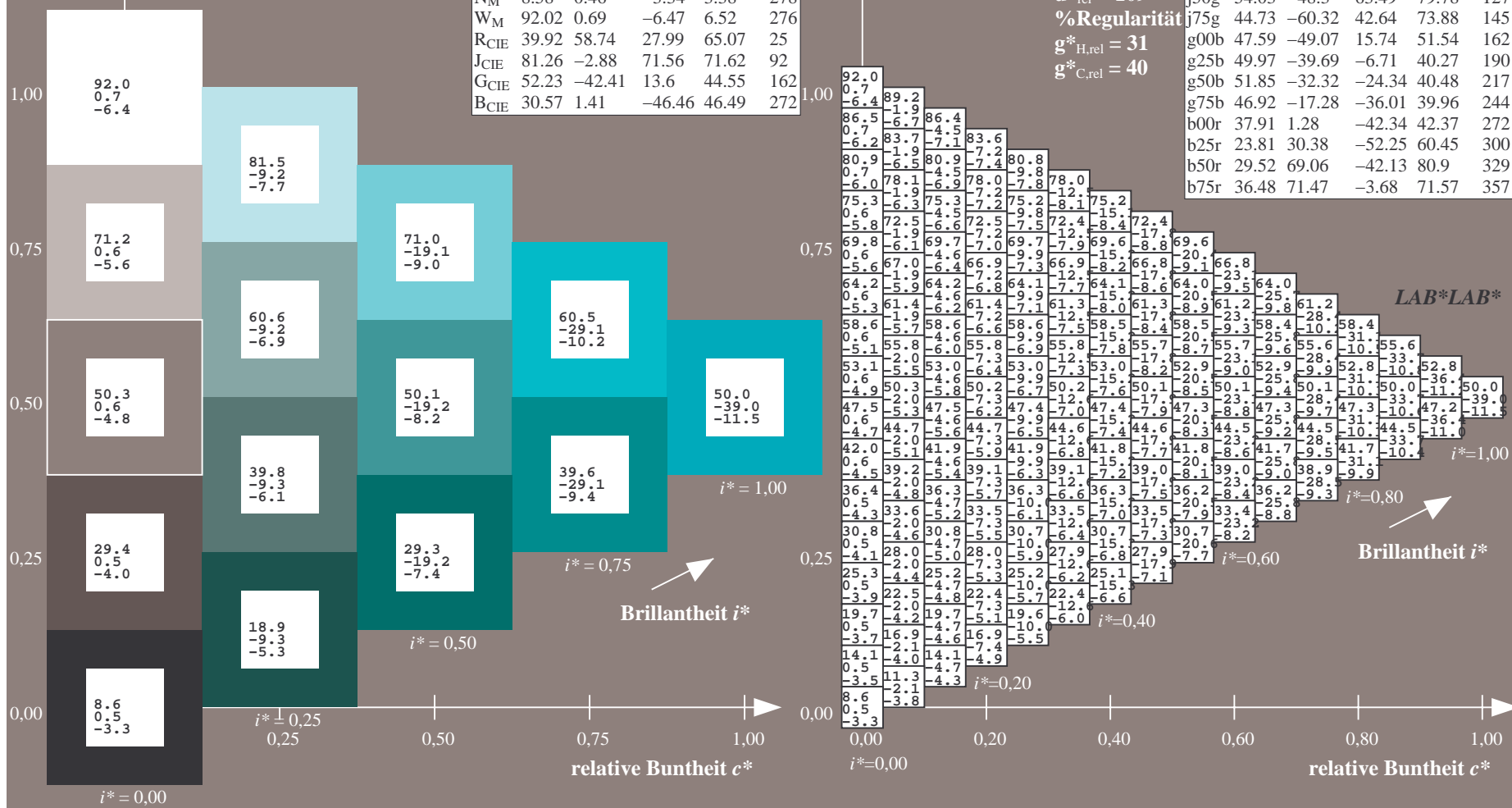
%Regularität

$g^*_{H,rel} = 31$

$g^*_{C,rel} = 40$

FRS09\_92a; adaptierte CIELAB-Daten

	$L^*=L^*_a$	$a^*_a$	$b^*_a$	$C^*_{ab,a}$	$h^*_{ab,a}$
r00j	35.47	63.32	30.17	70.15	25
r25j	39.12	54.56	49.45	73.64	42
r50j	50.64	39.15	64.89	75.79	59
r75j	64.01	21.26	82.83	85.52	76
j00g	83.18	-4.37	108.53	108.62	92
j25g	66.73	-29.88	83.06	88.28	110
j50g	54.03	-48.3	63.49	79.78	127
j75g	44.73	-60.32	42.64	73.88	145
g00b	47.59	-49.07	15.74	51.54	162
g25b	49.97	-39.69	-6.71	40.27	190
g50b	51.85	-32.32	-24.34	40.48	217
g75b	46.92	-17.28	-36.01	39.96	244
b00r	37.91	1.28	-42.34	42.37	272
b25r	23.81	30.38	-52.25	60.45	300
b50r	29.52	69.06	-42.13	80.9	329
b75r	36.48	71.47	-3.68	71.57	357





Ein und Ausgabe: Farbmimetrisches Drucker-Reflektiv-System FRS09\_92a für relativen CIELAB-Buntton  $h^* = lab^*h^* = h_{ab}/360 = 217/360 = 0.603$   $u^* = g50b$

Daten für jede Farbe:

$lab^*ch^*$  und  $lab^*icu^*$

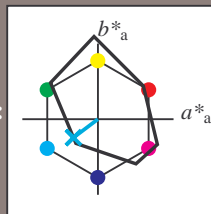
Elementar-Bunttontext:

$u^* = g50b$

Kontrastreduzierungsfaktor:

$c_R = 1.0$

Dreiecks-Helligkeit  $i^*$



FRS09\_92; CIELAB-Daten

	$L^*=L^*$	$a^*$	$b^*$	$C^*_{ab}$	$h^*_{ab}$
O <sub>M</sub>	35.06	60.53	39.66	72.37	33
Y <sub>M</sub>	83.77	-4.49	103.15	103.25	92
L <sub>M</sub>	44.13	-62.1	43.56	75.86	145
C <sub>M</sub>	52.66	-28.55	-36.98	46.73	232
V <sub>M</sub>	14.15	50.78	-62.59	80.61	309
M <sub>M</sub>	37.37	79.18	-37.92	87.8	334
N <sub>M</sub>	8.58	0.46	-3.34	3.38	278
W <sub>M</sub>	92.02	0.69	-6.47	6.52	276
R <sub>CIE</sub>	39.92	58.74	27.99	65.07	25
J <sub>CIE</sub>	81.26	-2.88	71.56	71.62	92
G <sub>CIE</sub>	52.23	-42.41	13.6	44.55	162
B <sub>CIE</sub>	30.57	1.41	-46.46	46.49	272

Daten für Maximalfarbe (Ma):

$LAB^*LAB^*_{Ma}$ : 52 -31 -23

$LAB^*LCH^*_{Ma}$ : 52 40 217

$lab^*rgb^*_{Ma}$ : 0.0 1.0 1.0

$lab^*olv^*_{Ma}$ : 0.0 1.0 0.9

Dreiecks-Helligkeit  $i^*$

%Umfang

$u^*_{rel} = 109$

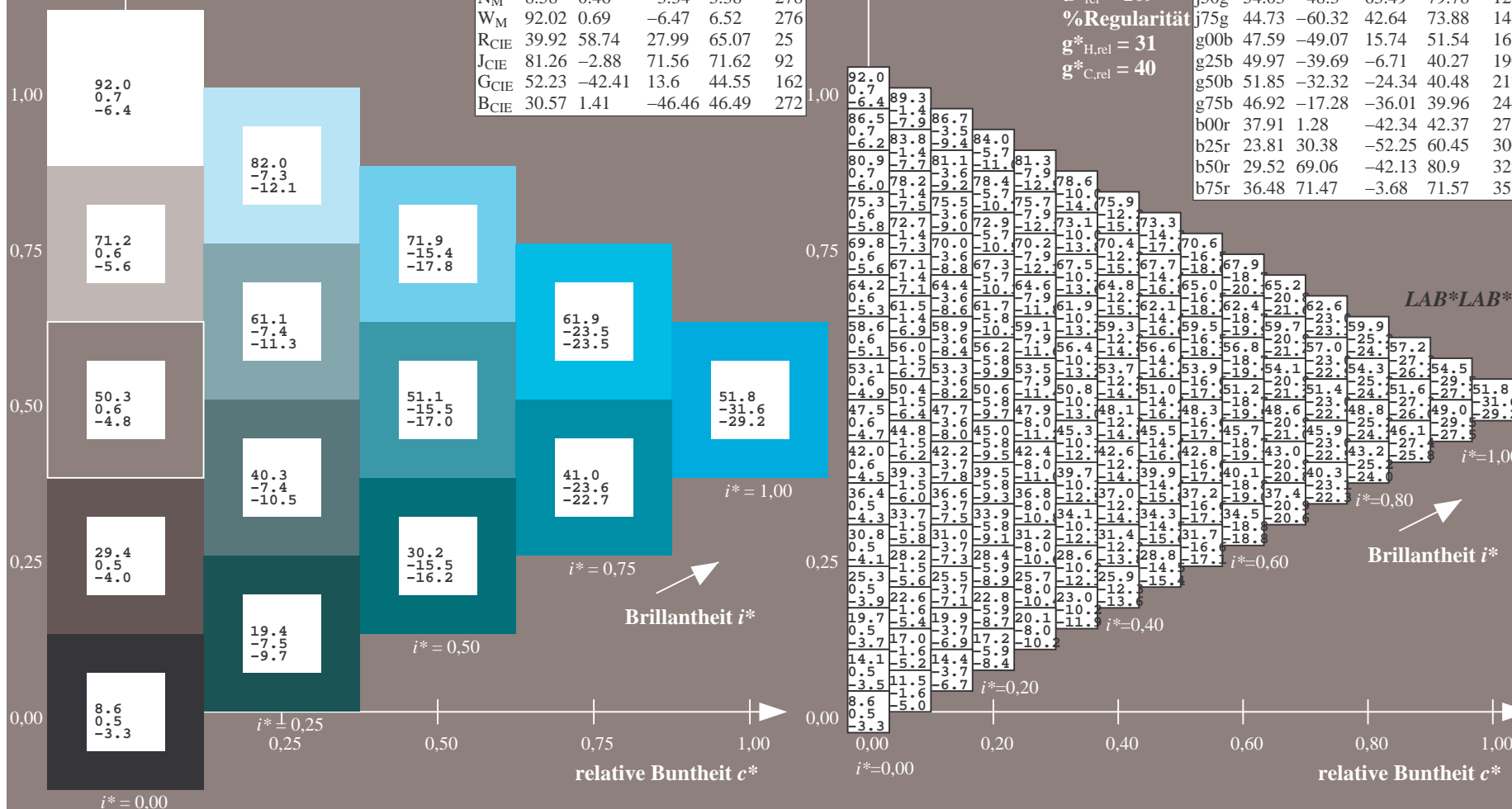
%Regularität

$g^*_{H,rel} = 31$

$g^*_{C,rel} = 40$

FRS09\_92a; adaptierte CIELAB-Daten

	$L^*=L^*_a$	$a^*_a$	$b^*_a$	$C^*_{ab,a}$	$h^*_{ab,a}$
r00j	35.47	63.32	30.17	70.15	25
r25j	39.12	54.56	49.45	73.64	42
r50j	50.64	39.15	64.89	75.79	59
r75j	64.01	21.26	82.83	85.52	76
j00g	83.18	-4.37	108.53	108.62	92
j25g	66.73	-29.88	83.06	88.28	110
j50g	54.03	-48.3	63.49	79.78	127
j75g	44.73	-60.32	42.64	73.88	145
g00b	47.59	-49.07	15.74	51.54	162
g25b	49.97	-39.69	-6.71	40.27	190
g50b	51.85	-32.32	-24.34	40.48	217
g75b	46.92	-17.28	-36.01	39.96	244
b00r	37.91	1.28	-42.34	42.37	272
b25r	23.81	30.38	-52.25	60.45	300
b50r	29.52	69.06	-42.13	80.9	329
b75r	36.48	71.47	-3.68	71.57	357



Ein und Ausgabe: Farbmetrisches Drucker-Reflektiv-System FRS09\_92a für relativen CIELAB-Buntton  $h^* = \text{lab}^*h^* = h_{ab}/360 = 244/360 = 0.679$   $u^* = g75b$

Daten für jede Farbe:

$\text{lab}^*ch^*$  und  $\text{lab}^*icu^*$

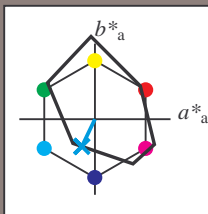
Elementar-Bunttontext:

$u^* = g75b$

Kontrastreduzierungsfaktor:

$c_R = 1.0$

Dreiecks-Helligkeit  $i^*$



FRS09\_92; CIELAB-Daten

	$L^*=L^*$	$a^*$	$b^*$	$C^*_{ab}$	$h^*_{ab}$
O <sub>M</sub>	35.06	60.53	39.66	72.37	33
Y <sub>M</sub>	83.77	-4.49	103.15	103.25	92
L <sub>M</sub>	44.13	-62.1	43.56	75.86	145
C <sub>M</sub>	52.66	-28.55	-36.98	46.73	232
V <sub>M</sub>	14.15	50.78	-62.59	80.61	309
M <sub>M</sub>	37.37	79.18	-37.92	87.8	334
N <sub>M</sub>	8.58	0.46	-3.34	3.38	278
W <sub>M</sub>	92.02	0.69	-6.47	6.52	276
R <sub>CIE</sub>	39.92	58.74	27.99	65.07	25
J <sub>CIE</sub>	81.26	-2.88	71.56	71.62	92
G <sub>CIE</sub>	52.23	-42.41	13.6	44.55	162
B <sub>CIE</sub>	30.57	1.41	-46.46	46.49	272

Daten für Maximalfarbe (Ma):

$\text{LAB}^*\text{LAB}^*_{\text{Ma}}$ : 47 -16 -35

$\text{LAB}^*\text{LCH}^*_{\text{Ma}}$ : 47 40 244

$\text{lab}^*\text{rgb}^*_{\text{Ma}}$ : 0.0 0.5 1.0

$\text{lab}^*\text{olv}^*_{\text{Ma}}$ : 0.0 0.85 1.0

Dreiecks-Helligkeit  $i^*$

%Umfang

$u^*_{\text{rel}} = 109$

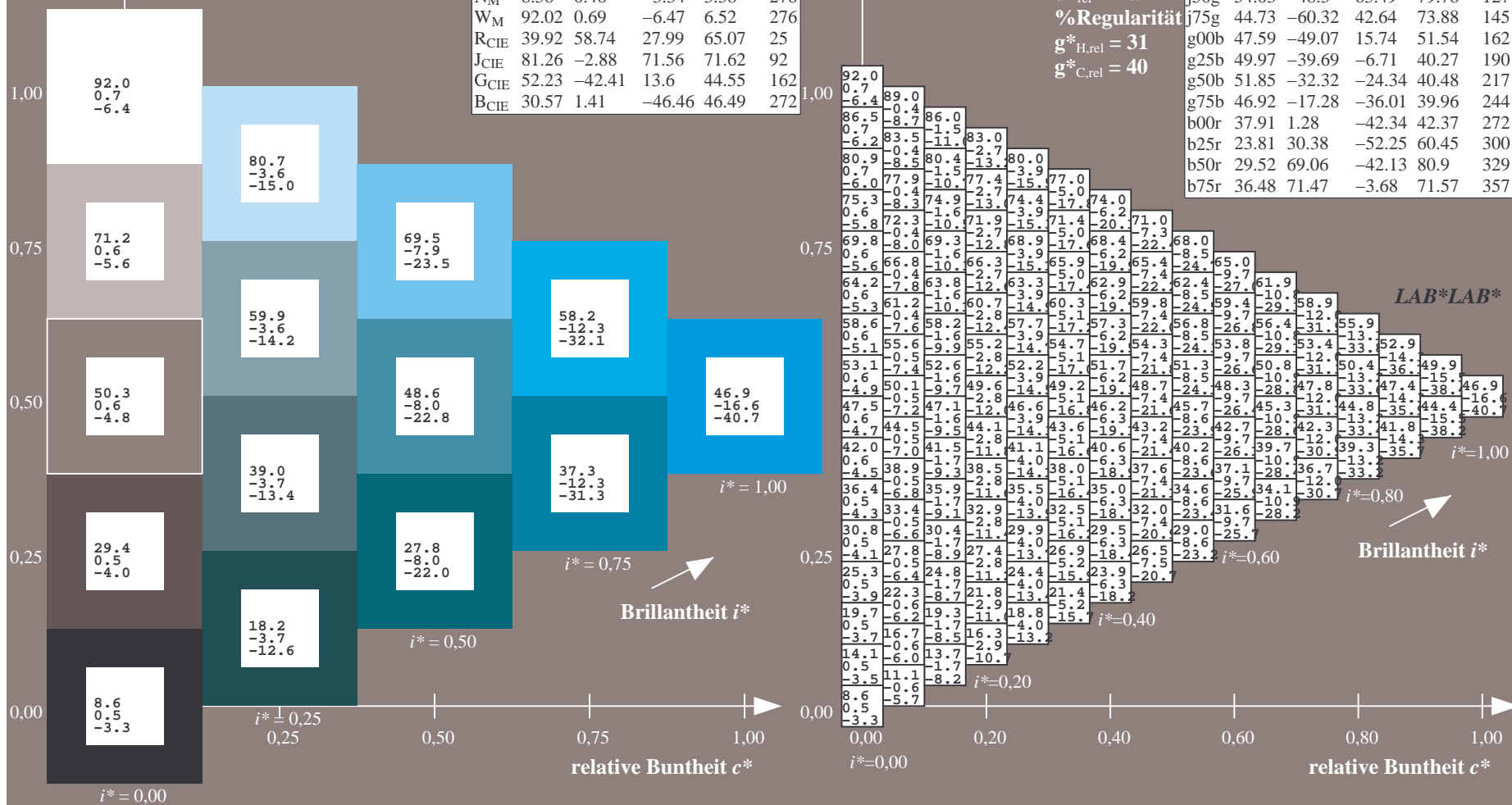
%Regularität

$g^*_{H,\text{rel}} = 31$

$g^*_{C,\text{rel}} = 40$

FRS09\_92a; adaptierte CIELAB-Daten

	$L^*=L^*_a$	$a^*_a$	$b^*_a$	$C^*_{ab,a}$	$h^*_{ab,a}$
r00j	35.47	63.32	30.17	70.15	25
r25j	39.12	54.56	49.45	73.64	42
r50j	50.64	39.15	64.89	75.79	59
r75j	64.01	21.26	82.83	85.52	76
j00g	83.18	-4.37	108.53	108.62	92
j25g	66.73	-29.88	83.06	88.28	110
j50g	54.03	-48.3	63.49	79.78	127
j75g	44.73	-60.32	42.64	73.88	145
g00b	47.59	-49.07	15.74	51.54	162
g25b	49.97	-39.69	-6.71	40.27	190
g50b	51.85	-32.32	-24.34	40.48	217
g75b	46.92	-17.28	-36.01	39.96	244
b00r	37.91	1.28	-42.34	42.37	272
b25r	23.81	30.38	-52.25	60.45	300
b50r	29.52	69.06	-42.13	80.9	329
b75r	36.48	71.47	-3.68	71.57	357



Ein und Ausgabe: Farbmetrisches Drucker-Reflektiv-System FRS09\_92a für relativen CIELAB-Buntton  $h^* = lab^*h^* = h_{ab}/360 = 272/360 = 0.755$   $u^* = b00r$

Daten für jede Farbe:

$lab^*ch^*$  und  $lab^*icu^*$

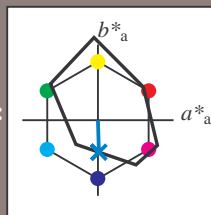
Elementar-Bunttontext:

$u^* = b00r$

Kontrastreduzierungsfaktor:

$c_R = 1.0$

Dreiecks-Helligkeit  $i^*$



FRS09\_92; CIELAB-Daten

	$L^*=L^*$	$a^*$	$b^*$	$C^*_{ab}$	$h^*_{ab}$
O <sub>M</sub>	35.06	60.53	39.66	72.37	33
Y <sub>M</sub>	83.77	-4.49	103.15	103.25	92
L <sub>M</sub>	44.13	-62.1	43.56	75.86	145
C <sub>M</sub>	52.66	-28.55	-36.98	46.73	232
V <sub>M</sub>	14.15	50.78	-62.59	80.61	309
M <sub>M</sub>	37.37	79.18	-37.92	87.8	334
N <sub>M</sub>	8.58	0.46	-3.34	3.38	278
W <sub>M</sub>	92.02	0.69	-6.47	6.52	276
R <sub>CIE</sub>	39.92	58.74	27.99	65.07	25
J <sub>CIE</sub>	81.26	-2.88	71.56	71.62	92
G <sub>CIE</sub>	52.23	-42.41	13.6	44.55	162
B <sub>CIE</sub>	30.57	1.41	-46.46	46.49	272

Daten für Maximalfarbe (Ma):

$LAB^*LAB^*_{Ma}$ : 38 1 -41

$LAB^*LCH^*_{Ma}$ : 38 42 272

$lab^*rgb^*_{Ma}$ : 0.0 0.0 1.0

$lab^*olv^*_{Ma}$ : 0.0 0.62 1.0

Dreiecks-Helligkeit  $i^*$

%Umfang

$u^*_{rel} = 109$

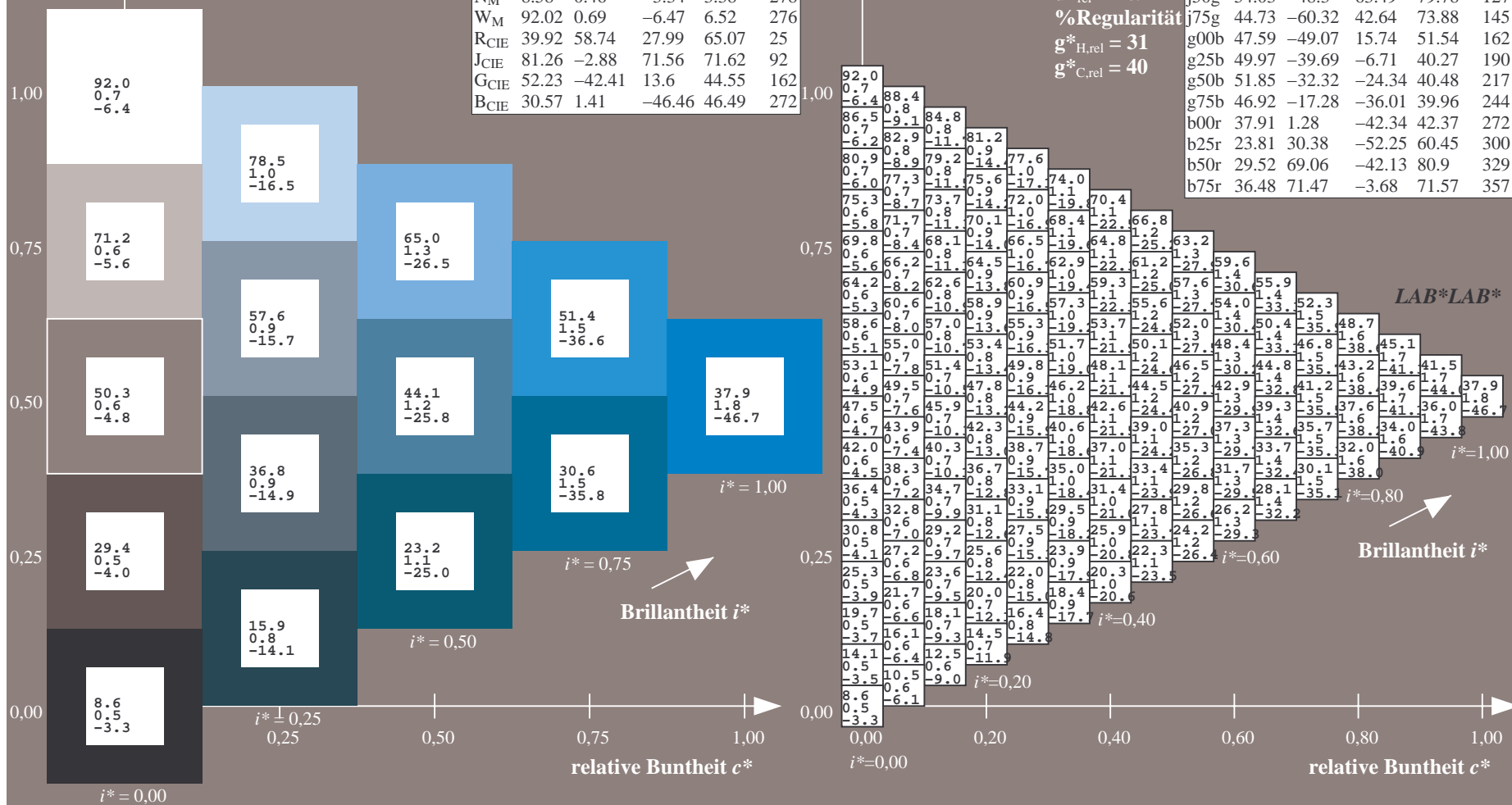
%Regularität

$g^*_{H,rel} = 31$

$g^*_{C,rel} = 40$

FRS09\_92a; adaptierte CIELAB-Daten

	$L^*=L^*_a$	$a^*_a$	$b^*_a$	$C^*_{ab,a}$	$h^*_{ab,a}$
r00j	35.47	63.32	30.17	70.15	25
r25j	39.12	54.56	49.45	73.64	42
r50j	50.64	39.15	64.89	75.79	59
r75j	64.01	21.26	82.83	85.52	76
j00g	83.18	-4.37	108.53	108.62	92
j25g	66.73	-29.88	83.06	88.28	110
j50g	54.03	-48.3	63.49	79.78	127
j75g	44.73	-60.32	42.64	73.88	145
g00b	47.59	-49.07	15.74	51.54	162
g25b	49.97	-39.69	-6.71	40.27	190
g50b	51.85	-32.32	-24.34	40.48	217
g75b	46.92	-17.28	-36.01	39.96	244
b00r	37.91	1.28	-42.34	42.37	272
b25r	23.81	30.38	-52.25	60.45	300
b50r	29.52	69.06	-42.13	80.9	329
b75r	36.48	71.47	-3.68	71.57	357



Ein und Ausgabe: Farbmimetrisches Drucker-Reflektiv-System FRS09\_92a für relativen CIELAB-Buntton  $h^* = lab^*h^* = h_{ab}/360 = 300/360 = 0.834$   $u^* = b25r$

Daten für jede Farbe:

$lab^*ch^*$  und  $lab^*icu^*$

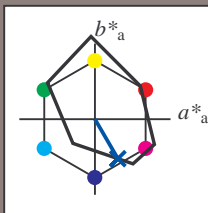
Elementar-Bunttontext:

$u^* = b25r$

Kontrastreduzierungsfaktor:

$c_R = 1.0$

Dreiecks-Helligkeit  $i^*$



FRS09\_92; CIELAB-Daten

	$L^* = L^*$	$a^*$	$b^*$	$C^*_{ab}$	$h^*_{ab}$
O <sub>M</sub>	35.06	60.53	39.66	72.37	33
Y <sub>M</sub>	83.77	-4.49	103.15	103.25	92
L <sub>M</sub>	44.13	-62.1	43.56	75.86	145
C <sub>M</sub>	52.66	-28.55	-36.98	46.73	232
V <sub>M</sub>	14.15	50.78	-62.59	80.61	309
M <sub>M</sub>	37.37	79.18	-37.92	87.8	334
N <sub>M</sub>	8.58	0.46	-3.34	3.38	278
W <sub>M</sub>	92.02	0.69	-6.47	6.52	276
R <sub>CIE</sub>	39.92	58.74	27.99	65.07	25
J <sub>CIE</sub>	81.26	-2.88	71.56	71.62	92
G <sub>CIE</sub>	52.23	-42.41	13.6	44.55	162
B <sub>CIE</sub>	30.57	1.41	-46.46	46.49	272

Daten für Maximalfarbe (Ma):

$LAB^*LAB^*Ma$ : 24 30 -51

$LAB^*LCH^*Ma$ : 24 60 300

$lab^*rgb^*Ma$ : 0.5 0.0 1.0

$lab^*olv^*Ma$ : 0.0 0.25 1.0

Dreiecks-Helligkeit  $i^*$

%Umfang

$u^*_{rel} = 109$

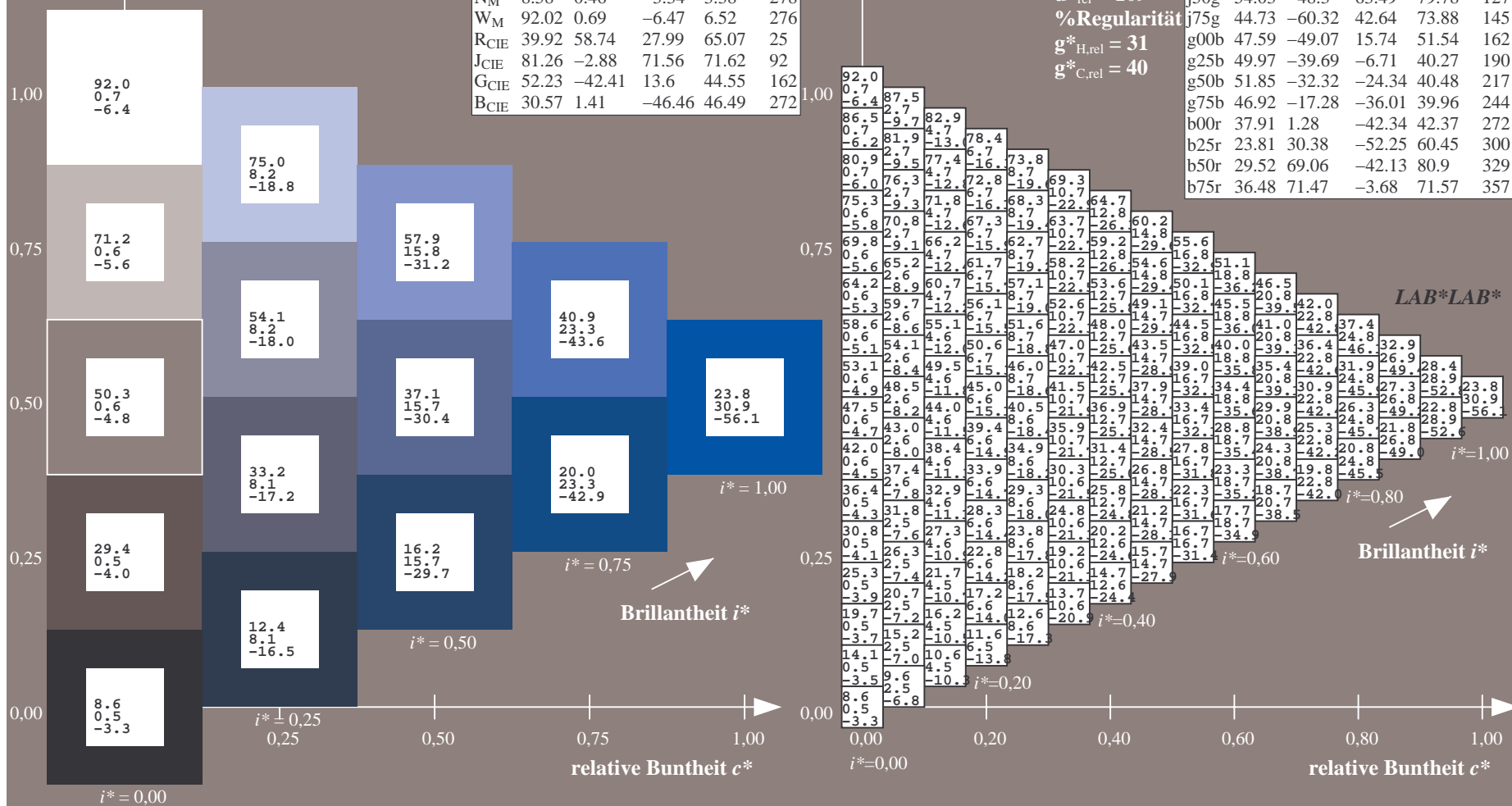
%Regularität

$g^*_{H,rel} = 31$

$g^*_{C,rel} = 40$

FRS09\_92a; adaptierte CIELAB-Daten

	$L^* = L^*_a$	$a^*_a$	$b^*_a$	$C^*_{ab,a}$	$h^*_{ab,a}$
r00j	35.47	63.32	30.17	70.15	25
r25j	39.12	54.56	49.45	73.64	42
r50j	50.64	39.15	64.89	75.79	59
r75j	64.01	21.26	82.83	85.52	76
j00g	83.18	-4.37	108.53	108.62	92
j25g	66.73	-29.88	83.06	88.28	110
j50g	54.03	-48.3	63.49	79.78	127
j75g	44.73	-60.32	42.64	73.88	145
g00b	47.59	-49.07	15.74	51.54	162
g25b	49.97	-39.69	-6.71	40.27	190
g50b	51.85	-32.32	-24.34	40.48	217
g75b	46.92	-17.28	-36.01	39.96	244
b00r	37.91	1.28	-42.34	42.37	272
b25r	23.81	30.38	-52.25	60.45	300
b50r	29.52	69.06	-42.13	80.9	329
b75r	36.48	71.47	-3.68	71.57	357





Ein und Ausgabe: Farbmetrisches Drucker-Reflektiv-System FRS09\_92a für relativen CIELAB-Buntton  $h^* = lab^*h^* = h_{ab}/360 = 329/360 = 0.913$   $u^* = b50r$

Daten für jede Farbe:

$lab^*ch^*$  und  $lab^*icu^*$

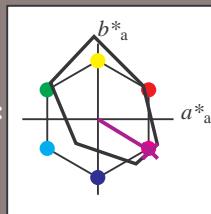
Elementar-Bunttontext:

$u^* = b50r$

Kontrastreduzierungsfaktor:

$c_R = 1.0$

Dreiecks-Helligkeit  $i^*$



FRS09\_92; CIELAB-Daten

	$L^*=L^*$	$a^*$	$b^*$	$C^*_{ab}$	$h^*_{ab}$
O <sub>M</sub>	35.06	60.53	39.66	72.37	33
Y <sub>M</sub>	83.77	-4.49	103.15	103.25	92
L <sub>M</sub>	44.13	-62.1	43.56	75.86	145
C <sub>M</sub>	52.66	-28.55	-36.98	46.73	232
V <sub>M</sub>	14.15	50.78	-62.59	80.61	309
M <sub>M</sub>	37.37	79.18	-37.92	87.8	334
N <sub>M</sub>	8.58	0.46	-3.34	3.38	278
W <sub>M</sub>	92.02	0.69	-6.47	6.52	276
R <sub>CIE</sub>	39.92	58.74	27.99	65.07	25
J <sub>CIE</sub>	81.26	-2.88	71.56	71.62	92
G <sub>CIE</sub>	52.23	-42.41	13.6	44.55	162
B <sub>CIE</sub>	30.57	1.41	-46.46	46.49	272

Daten für Maximalfarbe (Ma):

$LAB^*LAB^*_{Ma}$ : 30 69 -41

$LAB^*LCH^*_{Ma}$ : 30 81 329

$lab^*rgb^*_{Ma}$ : 1.0 0.0 1.0

$lab^*olv^*_{Ma}$ : 0.66 0.0 1.0

Dreiecks-Helligkeit  $i^*$

%Umfang

$u^*_{rel} = 109$

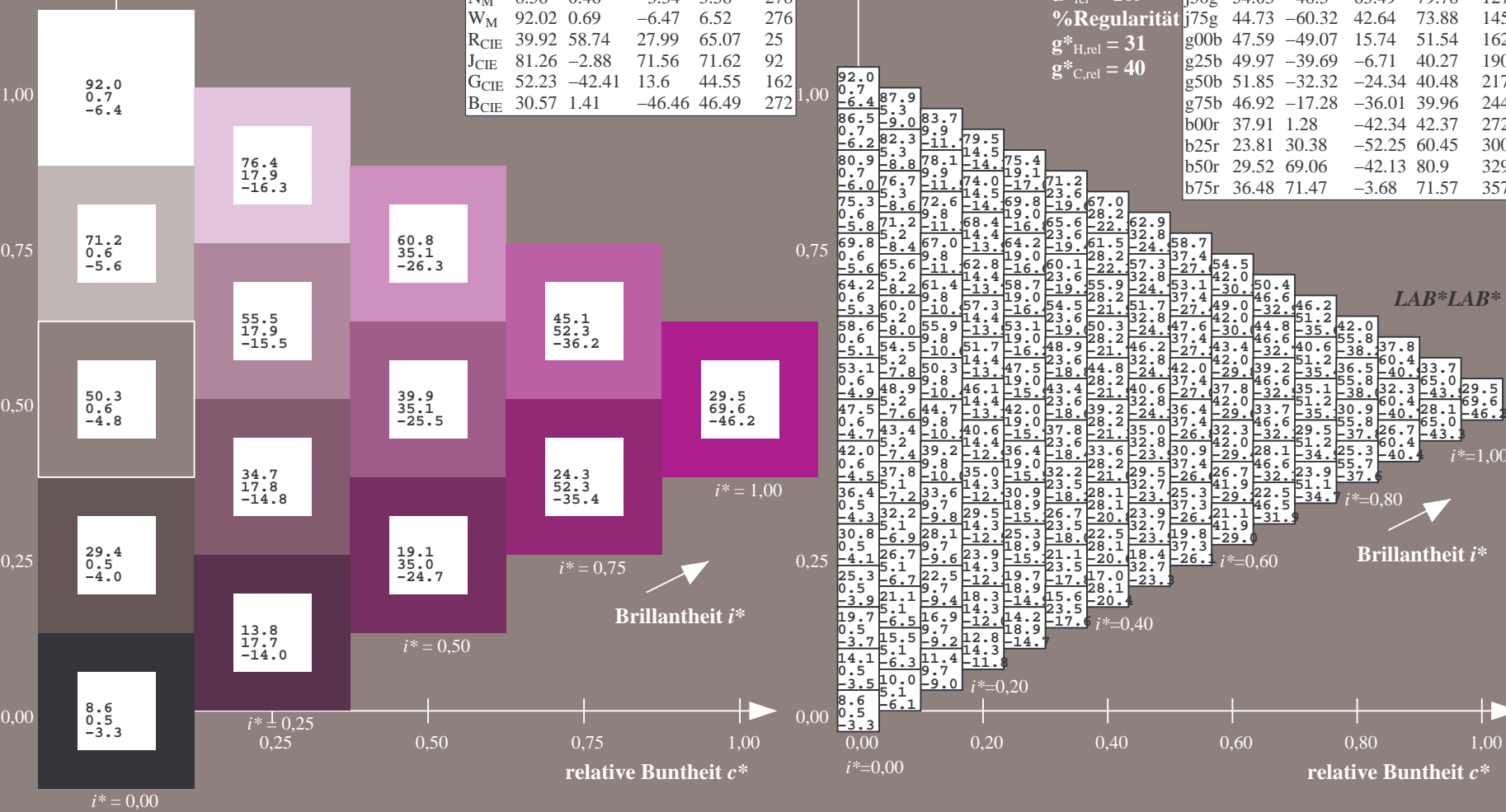
%Regularität

$g^*_{H,rel} = 31$

$g^*_{C,rel} = 40$

FRS09\_92a; adaptierte CIELAB-Daten

	$L^*=L^*_a$	$a^*_a$	$b^*_a$	$C^*_{ab,a}$	$h^*_{ab,a}$
r00j	35.47	63.32	30.17	70.15	25
r25j	39.12	54.56	49.45	73.64	42
r50j	50.64	39.15	64.89	75.79	59
r75j	64.01	21.26	82.83	85.52	76
j00g	83.18	-4.37	108.53	108.62	92
j25g	66.73	-29.88	83.06	88.28	110
j50g	54.03	-48.3	63.49	79.78	127
j75g	44.73	-60.32	42.64	73.88	145
g00b	47.59	-49.07	15.74	51.54	162
g25b	49.97	-39.69	-6.71	40.27	190
g50b	51.85	-32.32	-24.34	40.48	217
g75b	46.92	-17.28	-36.01	39.96	244
b00r	37.91	1.28	-42.34	42.37	272
b25r	23.81	30.38	-52.25	60.45	300
b50r	29.52	69.06	-42.13	80.9	329
b75r	36.48	71.47	-3.68	71.57	357



Ein und Ausgabe: Farbmetrisches Drucker-Reflektiv-System FRS09\_92a für relativen CIELAB-Buntton  $h^* = lab^*h^* = h_{ab}/360 = 357/360 = 0.992$   $u^* = b75r$

Daten für jede Farbe:

$lab^*ch^*$  und  $lab^*icu^*$

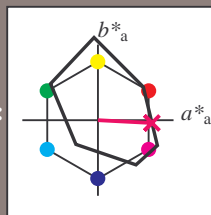
Elementar-Bunttontext:

$u^* = b75r$

Kontrastreduzierungsfaktor:

$c_R = 1.0$

Dreiecks-Helligkeit  $i^*$



FRS09_92; CIELAB-Daten					
	$L^*=L^*$	$a^*$	$b^*$	$C^*_{ab}$	$h^*_{ab}$
O <sub>M</sub>	35.06	60.53	39.66	72.37	33
Y <sub>M</sub>	83.77	-4.49	103.15	103.25	92
L <sub>M</sub>	44.13	-62.1	43.56	75.86	145
C <sub>M</sub>	52.66	-28.55	-36.98	46.73	232
V <sub>M</sub>	14.15	50.78	-62.59	80.61	309
M <sub>M</sub>	37.37	79.18	-37.92	87.8	334
N <sub>M</sub>	8.58	0.46	-3.34	3.38	278
W <sub>M</sub>	92.02	0.69	-6.47	6.52	276
R <sub>CIE</sub>	39.92	58.74	27.99	65.07	25
J <sub>CIE</sub>	81.26	-2.88	71.56	71.62	92
G <sub>CIE</sub>	52.23	-42.41	13.6	44.55	162
B <sub>CIE</sub>	30.57	1.41	-46.46	46.49	272

Daten für Maximalfarbe (Ma):

$LAB^*LAB^*_{Ma}$ : 36 71 -3

$LAB^*LCH^*_{Ma}$ : 36 72 357

$lab^*rgb^*_{Ma}$ : 1.0 0.0 0.5

$lab^*olv^*_{Ma}$ : 1.0 0.0 0.62

Dreiecks-Helligkeit  $i^*$

%Umfang

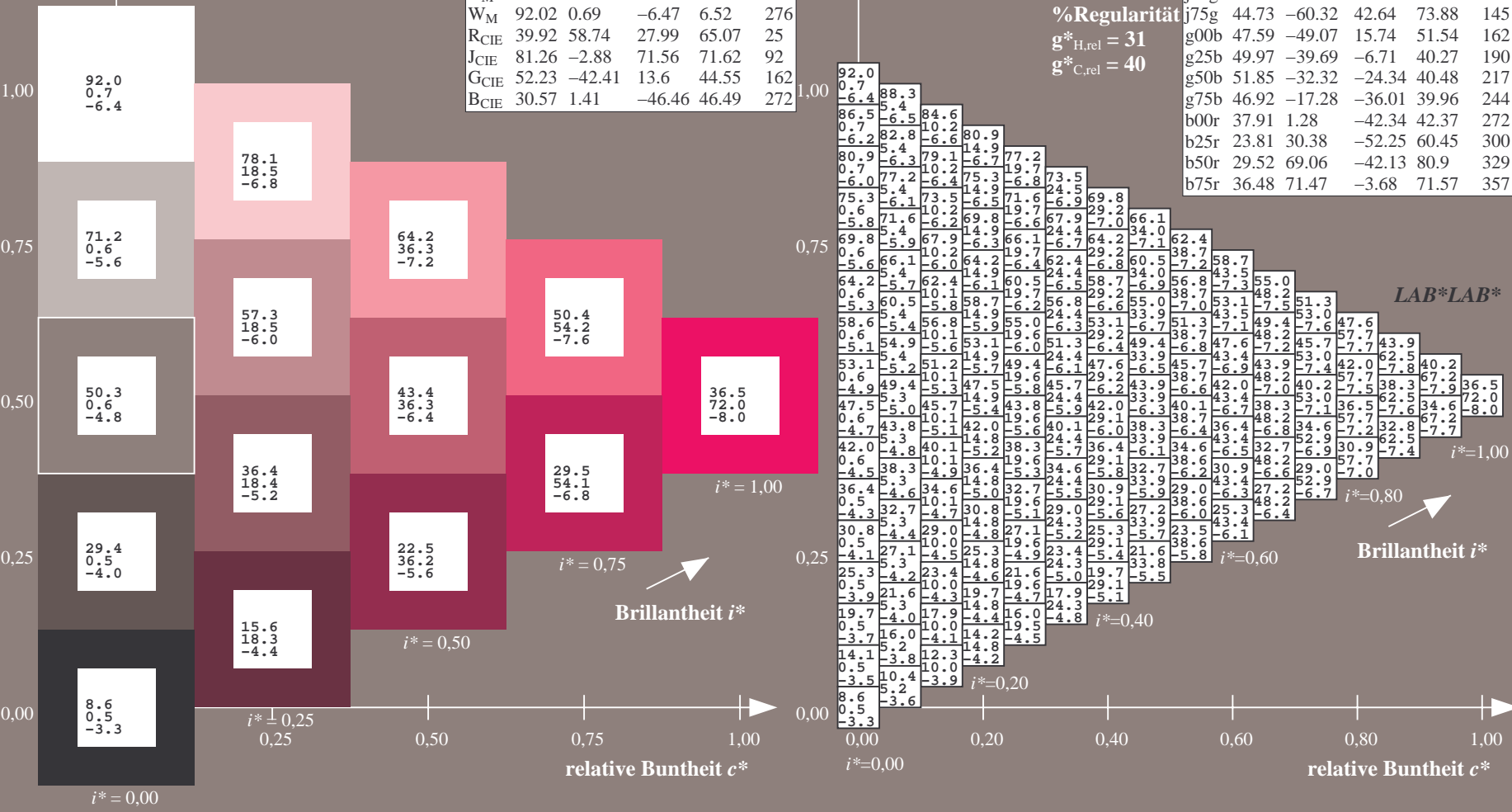
$u^*_{rel} = 109$

%Regularität

$g^*_{H,rel} = 31$

$g^*_{C,rel} = 40$

FRS09_92a; adaptierte CIELAB-Daten					
	$L^*=L^*_a$	$a^*_a$	$b^*_a$	$C^*_{ab,a}$	$h^*_{ab,a}$
r00j	35.47	63.32	30.17	70.15	25
r25j	39.12	54.56	49.45	73.64	42
r50j	50.64	39.15	64.89	75.79	59
r75j	64.01	21.26	82.83	85.52	76
j00g	83.18	-4.37	108.53	108.62	92
j25g	66.73	-29.88	83.06	88.28	110
j50g	54.03	-48.3	63.49	79.78	127
j75g	44.73	-60.32	42.64	73.88	145
g00b	47.59	-49.07	15.74	51.54	162
g25b	49.97	-39.69	-6.71	40.27	190
g50b	51.85	-32.32	-24.34	40.48	217
g75b	46.92	-17.28	-36.01	39.96	244
b00r	37.91	1.28	-42.34	42.37	272
b25r	23.81	30.38	-52.25	60.45	300
b50r	29.52	69.06	-42.13	80.9	329
b75r	36.48	71.47	-3.68	71.57	357

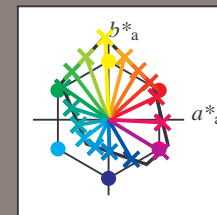


Siehe ähnliche Dateien: <http://www.ps.bam.de/Dg96/>; [www.ps.bam.de/Dg96/10L/L96G00NA.PS/.TXT](http://www.ps.bam.de/Dg96/10L/L96G00NA.PS/.TXT)  
Technische Information: <http://www.ps.bam.de/Version 2.1, io=1,1, ColSpX=0>

	A	B	C	D	E	F	G	H	I	J	K	L	M	N	O	P	Q	R	S	T	U	V	W	X	Y	Z	a	b	c	d	e	f	g	h	i	j	k	LAB*	LAB*		
01	8.6	13.0	17.5	21.9	26.4	30.8	35.2	39.7	44.1	11.9	18.0	22.4	26.9	31.3	35.8	40.2	44.6	49.1	15.2	21.3	27.4	31.8	36.3	40.7	45.2	49.6	54.0	92.0	84.9	77.8	70.7	63.5	56.4	49.3	42.2	35.1	8.6	8.6	8.6	8.6	
	0.5	-7.3	-15.1	-22.9	-30.7	-38.5	-46.4	-54.2	-62.0	0.8	-0.1	-7.9	-15.7	-23.5	-31.3	-39.2	-47.0	-54.8	15.5	7.3	-0.7	-8.5	-16.3	-24.1	-32.0	-39.8	-47.6	7.0	8.2	15.6	23.1	30.6	38.1	45.6	53.0	60.5	0.5	0.5	0.5	0.5	
	-3.3	2.5	8.4	14.2	20.1	26.0	31.8	37.7	43.6	2.0	10.0	15.8	21.7	27.5	33.4	39.3	45.1	51.0	7.4	15.3	-23.3	29.1	35.0	40.9	46.7	52.6	58.4	-6.4	-0.6	5.1	10.8	16.6	22.4	28.3	34.1	39.9	-7.3	-3.3	-3.3	-3.3	
02	9.3	14.1	18.5	23.0	27.4	31.9	36.3	40.8	45.2	12.2	19.0	23.5	27.9	32.3	36.8	41.2	45.7	50.1	15.5	22.3	28.4	32.9	37.3	41.7	46.2	50.6	55.1	87.1	81.6	74.5	67.4	60.2	53.1	46.0	38.9	31.8	19.0	19.0	19.0	19.0	
	6.7	-3.1	-10.9	-18.7	-26.5	-34.3	-42.2	-50.0	-57.8	10.3	0.5	-7.2	-15.1	-22.9	-30.7	-38.5	-46.3	-54.1	27.8	8.0	0.0	-7.9	-15.7	-23.5	-31.3	-39.1	-47.0	-2.9	0.7	8.1	15.6	23.1	30.6	38.1	45.5	53.0	0.5	0.5	0.5	0.5	
	-10.7	7.5	-1.6	4.2	10.0	15.9	21.8	27.6	33.5	-7.6	-3.7	2.1	8.0	13.9	19.7	25.6	31.4	37.3	-2.2	1.6	9.6	15.4	21.3	27.2	33.0	38.9	44.7	-10.2	-6.0	-0.2	5.4	11.2	17.0	22.7	28.5	34.3	-3.7	-3.7	-3.7	-3.7	
03	10.0	14.8	19.6	24.0	28.5	32.9	37.3	41.8	46.3	12.9	19.7	24.5	29.0	33.4	37.9	42.3	46.7	51.2	15.8	22.6	29.4	33.9	38.3	42.8	47.2	51.7	56.1	82.2	76.7	71.2	64.0	56.9	49.8	42.7	35.6	28.4	29.4	29.4	29.4	29.4	
	13.0	3.1	-6.7	-14.5	-22.3	-30.2	-38.0	-45.8	-53.6	6.8	0.0	-3.0	-10.9	-18.7	-26.5	-34.3	-42.1	-50.0	20.1	10.3	0.5	-7.2	-15.0	-22.8	-30.7	-38.5	-46.3	-6.5	-2.9	0.6	8.1	15.6	23.1	30.6	38.0	45.5	0.5	0.5	0.5	0.5	
	-18.1	-14.9	-11.7	-8.5	0.0	5.8	11.7	17.6	23.4	-15.0	-11.0	-7.8	-2.0	3.8	9.6	15.5	21.4	27.2	-11.9	-8.0	-4.0	-1.7	1.6	13.5	19.3	25.2	31.0	-14.0	-9.8	-5.6	0.1	5.8	11.6	17.4	23.1	28.9	-4.0	-4.0	-4.0	-4.0	
04	10.7	15.5	20.3	25.1	29.6	34.0	38.4	42.9	47.3	13.6	20.4	25.2	30.0	34.4	38.9	43.3	47.8	52.2	16.5	23.3	30.1	34.6	39.4	43.8	48.3	52.7	57.2	77.3	71.8	66.2	60.7	53.6	46.5	39.4	32.3	25.1	39.9	39.9	39.9	39.9	
	19.3	9.4	-0.4	-10.3	-18.1	-26.0	-33.8	-41.6	-49.4	12.2	19.0	23.5	27.9	32.3	36.8	41.2	45.7	50.1	15.5	22.3	28.4	32.9	37.3	41.7	46.2	50.6	55.1	87.1	81.6	74.5	67.4	60.2	53.1	46.0	38.9	31.8	19.0	19.0	19.0	19.0	
	-25.5	-20.2	-14.9	-9.6	-4.3	1.0	6.7	12.5	18.3	-22.4	-18.3	-14.2	-10.1	-5.8	-1.5	2.8	8.5	14.2	-12.2	-7.9	-3.7	-2.4	1.8	8.2	14.1	20.0	25.9	-10.2	-6.0	-1.8	2.9	8.6	14.5	20.4	26.3	32.2	38.1	44.0	49.9	55.8	61.7
05	11.1	16.2	21.0	25.8	30.6	35.3	39.9	44.6	49.3	14.0	20.8	25.6	30.4	35.1	39.8	44.5	49.2	53.9	17.2	24.0	30.8	35.6	40.3	45.0	49.7	54.4	59.1	82.2	76.7	71.2	64.0	56.9	49.8	42.7	35.6	28.4	29.4	29.4	29.4	29.4	
	25.6	15.7	5.8	4.0	-13.9	-21.8	-29.6	-37.4	-45.2	22.9	19.4	9.4	-0.4	-10.3	-18.1	-25.9	-33.8	-41.6	27.2	22.9	13.1	3.2	-6.6	-14.5	-22.3	-30.1	-37.9	-13.8	10.2	-6.6	-0.0	0.6	8.1	15.5	23.0	30.5	0.6	0.6	0.6	0.6	
	-32.9	-29.7	-26.5	-23.3	-20.1	-14.2	-8.3	-2.5	3.3	-29.8	-25.9	-22.7	-19.5	-16.3	-10.4	-4.5	1.2	7.1	-26.7	-22.8	-18.8	-15.6	-12.4	-6.6	-0.7	5.0	10.9	-21.6	-17.4	-13.2	-9.0	-4.8	0.9	6.6	12.4	18.2	-4.8	-4.8	-4.8	-4.8	
06	12.1	16.9	21.7	26.5	31.3	36.1	40.6	45.0	49.5	15.0	21.8	26.6	31.4	36.2	41.1	45.5	49.9	54.4	17.9	24.7	31.5	36.3	41.2	46.0	50.4	54.9	59.3	67.4	61.9	56.4	50.9	45.4	39.9	32.8	25.6	18.5	60.7	60.7	60.7	60.7	
	31.9	22.0	12.1	2.2	-7.7	-17.6	-25.4	-33.2	-41.0	35.5	15.7	5.8	-4.0	-13.9	-21.7	-29.6	-37.4	-45.2	22.9	19.4	9.5	-0.3	-10.3	-18.1	-25.9	-33.7	-41.5	-13.9	10.2	-6.6	-3.0	0.5	8.0	15.5	23.0	0.6	0.6	0.6	0.6		
	-40.3	-37.1	-33.9	-30.7	-27.5	-24.3	-21.0	-17.8	-12.5	-6.7	-37.2	-33.0	-29.1	-26.9	-23.7	-20.5	-14.6	-8.7	-2.9	-34.1	-30.2	-26.3	-23.1	-19.8	-16.6	-10.8	-4.9	-8.8	-25.4	-21.2	-17.0	-12.8	-8.6	-4.4	1.2	7.0	12.8	-5.2	-5.2	-5.2	-5.2
07	12.8	17.6	22.4	27.2	32.0	36.8	41.6	46.1	50.5	15.7	22.5	27.3	32.1	36.9	41.7	46.6	51.0	55.4	18.6	25.4	32.2	37.0	41.9	46.7	51.5	55.9	60.4	62.5	57.0	51.5	46.0	40.5	34.9	29.4	22.3	15.2	71.2	71.2	71.2	71.2	
	28.2	28.3	18.4	8.5	-1.4	-11.3	-21.2	-29.0	-36.8	14.7	31.9	22.0	12.1	2.2	-7.6	-17.5	-25.4	-33.2	35.5	25.7	15.8	5.8	-4.0	-13.9	-21.7	-29.5	-37.3	-45.1	-13.9	10.2	-6.6	-3.0	0.5	8.0	15.5	0.6	0.6	0.6	0.6		
	-47.7	-44.5	-41.3	-38.1	-34.9	-31.7	-28.5	-22.6	-16.8	-44.6	-40.7	-37.5	-34.3	-31.1	-27.9	-24.7	-18.8	-12.9	-41.5	-37.6	-33.7	-30.5	-27.3	-24.1	-20.9	-15.0	-9.1	-29.3	-25.1	-20.9	-16.6	-12.4	-8.2	-4.0	1.6	7.4	-5.6	-5.6	-5.6	-5.6	
08	13.5	18.3	23.1	27.9	32.7	37.5	42.3	47.2	51.6	16.4	23.2	28.0	32.8	37.6	42.4	47.3	52.1	56.5	19.3	26.1	32.9	37.7	42.5	47.4	52.2	57.0	61.4	57.6	52.1	46.6	41.1	35.5	30.0	24.5	19.0	11.9	81.6	81.6	81.6	81.6	
	44.5	34.6	24.7	14.7	4.8	-5.0	-14.9	-24.8	-32.6	18.8	38.2	28.3	18.4	8.5	-1.3	-11.3	-21.2	-29.0	35.1	6.1	18.1	32.0	12.1	2.2	-7.6	-17.5	-25.4	-33.2	-41.0	-21.7	-15.3	-10.3	-6.7	-3.0	0.5	8.0	0.7	0.7	0.7	0.7	
	-55.1	-51.9	-48.7	-45.5	-42.3	-39.1	-35.9	-32.7	-26.8	-52.0	-48.2	-44.9	-41.7	-38.5	-35.3	-32.1	-28.9	-23.0	-48.9	-45.0	-41.1	-37.9	-34.7	-31.5	-28.3	-25.1	-21.9	-33.1	-28.9	-24.7	-20.5	-16.3	-12.1	-7.8	-3.7	2.0	-6.0	-6.0	-6.0	-6.0	
09	14.2	19.0	23.8	28.6	33.4	38.2	43.0	47.8	52.7	17.1	23.9	28.7	33.5	38.3	43.1	48.0	52.8	57.6	20.0	26.8	33.6	38.4	43.2	48.1	52.9	57.7	62.5	52.7	47.2	41.6	36.1	30.6	25.1	19.6	14.1	8.6	92.0	92.0	92.0	92.0	
	50.8	40.9	30.9	21.0	11.1	1.2	-8.6	-18.5	-28.5	34.3	44.5	34.6	24.7	14.8	4.8	-5.0	-14.9	-24.8	35.7	49.1	33.6	28.3	18.4	8.5	-1.3	-11.2	-21.1	-28.5	-44.8	-21.2	-17.6	-13.9	-10.7	-6.7	-3.1	0.5	0.7	0.7	0.7	0.7	
	-62.5	-59.3	-56.1	-52.9	-49.7	-46.5	-43.3	-40.1	-36.9	-59.4	-55.5	-52.3	-49.1	-45.9	-42.7	-39.5	-36.3	-33.1	-56.3	-52.4	-48.5	-45.3	-42.1	-38.9	-35.7	-32.5	-29.3	-36.9	-32.7	-28.5	-24.3	-20.1	-15.9	-11.7	-7.5	-3.3	-6.4	-6.4	-6.4	-6.4	
10	18.5	24.9	30.7	36.8	41.2	45.7	50.1	54.6	59.0	21.8	27.9																														

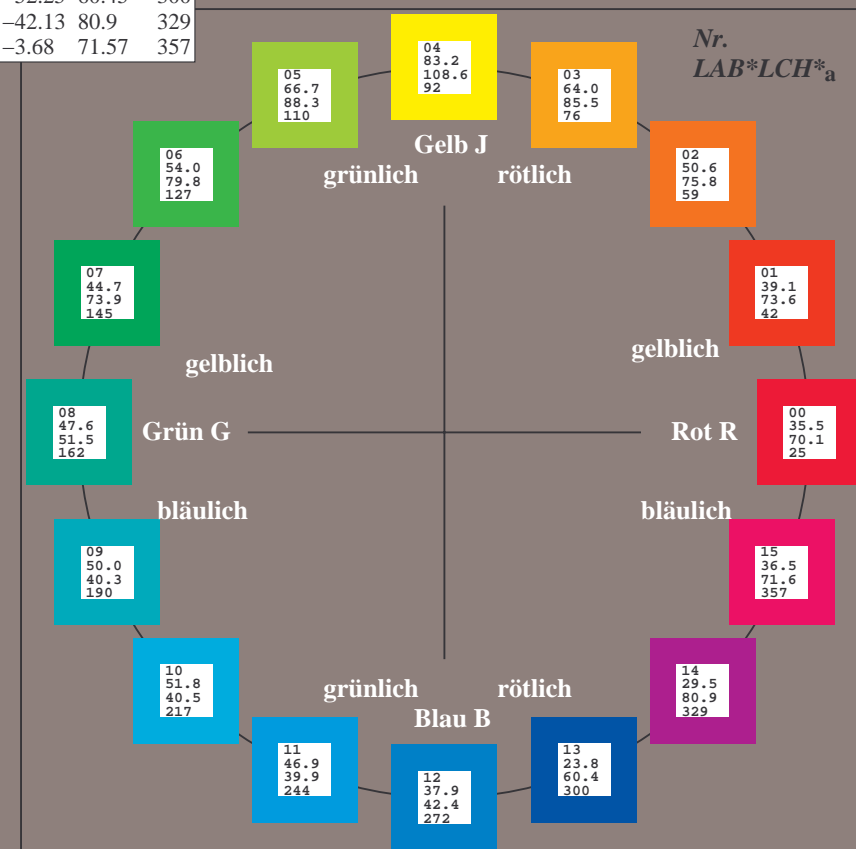
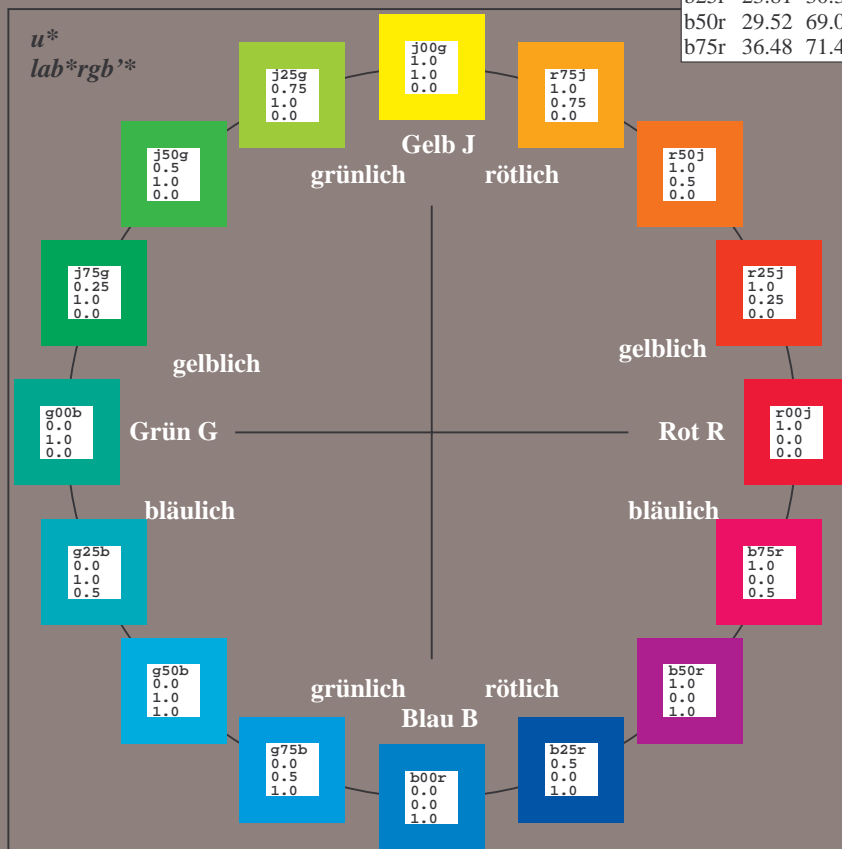
Ein und Ausgabe:  
Farbmetrisches Drucker-Reflektiv-System FRS09\_92a  
Daten für jede Farbe:  
*lab\*<sub>trch</sub>\** und *lab\*<sub>trcu</sub>\**  
Elementar-Bunntontext:  
*u\** = 16 Bunttöne *r00j*, *r25j*, ..., *b75r*  
Kontrastreduzierungsfaktor:  
*c<sub>R</sub>* = 1.0

FRS09_92a; adaptierte CIELAB-Daten					
	<i>L*</i> = <i>L*</i> <sub>a</sub>	<i>a*</i> <sub>a</sub>	<i>b*</i> <sub>a</sub>	<i>C*</i> <sub>ab,a</sub>	<i>h*</i> <sub>ab,a</sub>
r00j	35.47	63.32	30.17	70.15	25
r25j	39.12	54.56	49.45	73.64	42
r50j	50.64	39.15	64.89	75.79	59
r75j	64.01	21.26	82.83	85.52	76
j00g	83.18	-4.37	108.53	108.62	92
j25g	66.73	-29.88	83.06	88.28	110
j50g	54.03	-48.3	63.49	79.78	127
j75g	44.73	-60.32	42.64	73.88	145
g00b	47.59	-49.07	15.74	51.54	162
g25b	49.97	-39.69	-6.71	40.27	190
g50b	51.85	-32.32	-24.34	40.48	217
g75b	46.92	-17.28	-36.01	39.96	244
b00r	37.91	1.28	-42.34	42.37	272
b25r	23.81	30.38	-52.25	60.45	300
b50r	29.52	69.06	-42.13	80.9	329
b75r	36.48	71.47	-3.68	71.57	357



%Umfang  
*u\**<sub>rel</sub> = 109  
%Regularität  
*g\**<sub>H,rel</sub> = 31  
*g\**<sub>C,rel</sub> = 40

FRS09_92a; CIELAB-Daten					
	<i>L*</i> = <i>L*</i>	<i>a*</i>	<i>b*</i>	<i>C*</i> <sub>ab</sub>	<i>h*</i> <sub>ab</sub>
O <sub>M</sub>	35.06	60.53	39.66	72.37	33
Y <sub>M</sub>	83.77	-4.49	103.15	103.25	92
L <sub>M</sub>	44.13	-62.1	43.56	75.86	145
C <sub>M</sub>	52.66	-28.55	-36.98	46.73	232
V <sub>M</sub>	14.15	50.78	-62.59	80.61	309
M <sub>M</sub>	37.37	79.18	-37.92	87.8	334
N <sub>M</sub>	8.58	0.46	-3.34	3.38	278
W <sub>M</sub>	92.02	0.69	-6.47	6.52	276
R <sub>CIE</sub>	39.92	58.74	27.99	65.07	25
J <sub>CIE</sub>	81.26	-2.88	71.56	71.62	92
G <sub>CIE</sub>	52.23	-42.41	13.6	44.55	162
B <sub>CIE</sub>	30.57	1.41	-46.46	46.49	272





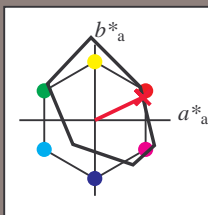
Ein und Ausgabe: Farbmetrisches Drucker-Reflektiv-System FRS09\_92a für relativen CIELAB-Buntton  $h^* = lab^*h^* = h_{ab}/360 = 25/360 = 0.071$   $u^* = r00j$

Daten für jede Farbe:  
 $lab^*ch^*$  und  $lab^*icu^*$

Elementar-Bunttontext:  
 $u^* = r00j$

Kontrastreduzierungsfaktor:  
 $c_R = 1.0$

Dreiecks-Helligkeit  $i^*$



FRS09_92a; CIELAB-Daten					
	$L^*=L^*$	$a^*$	$b^*$	$C^*_{ab}$	$h^*_{ab}$
O <sub>M</sub>	35.06	60.53	39.66	72.37	33
Y <sub>M</sub>	83.77	-4.49	103.15	103.25	92
L <sub>M</sub>	44.13	-62.1	43.56	75.86	145
C <sub>M</sub>	52.66	-28.55	-36.98	46.73	232
V <sub>M</sub>	14.15	50.78	-62.59	80.61	309
M <sub>M</sub>	37.37	79.18	-37.92	87.8	334
N <sub>M</sub>	8.58	0.46	-3.34	3.38	278
W <sub>M</sub>	92.02	0.69	-6.47	6.52	276
R <sub>CIE</sub>	39.92	58.74	27.99	65.07	25
J <sub>CIE</sub>	81.26	-2.88	71.56	71.62	92
G <sub>CIE</sub>	52.23	-42.41	13.6	44.55	162
B <sub>CIE</sub>	30.57	1.41	-46.46	46.49	272

Daten für Maximalfarbe (Ma):

$LAB^*LAB^*_{Ma}$ : 35 63 30

$LAB^*LCH^*_{Ma}$ : 35 70 25

$lab^*rgb^*_{Ma}$ : 1.0 0.0 0.0

$lab^*olv^*_{Ma}$ : 1.0 0.0 0.18

Dreiecks-Helligkeit  $i^*$

%Umfang

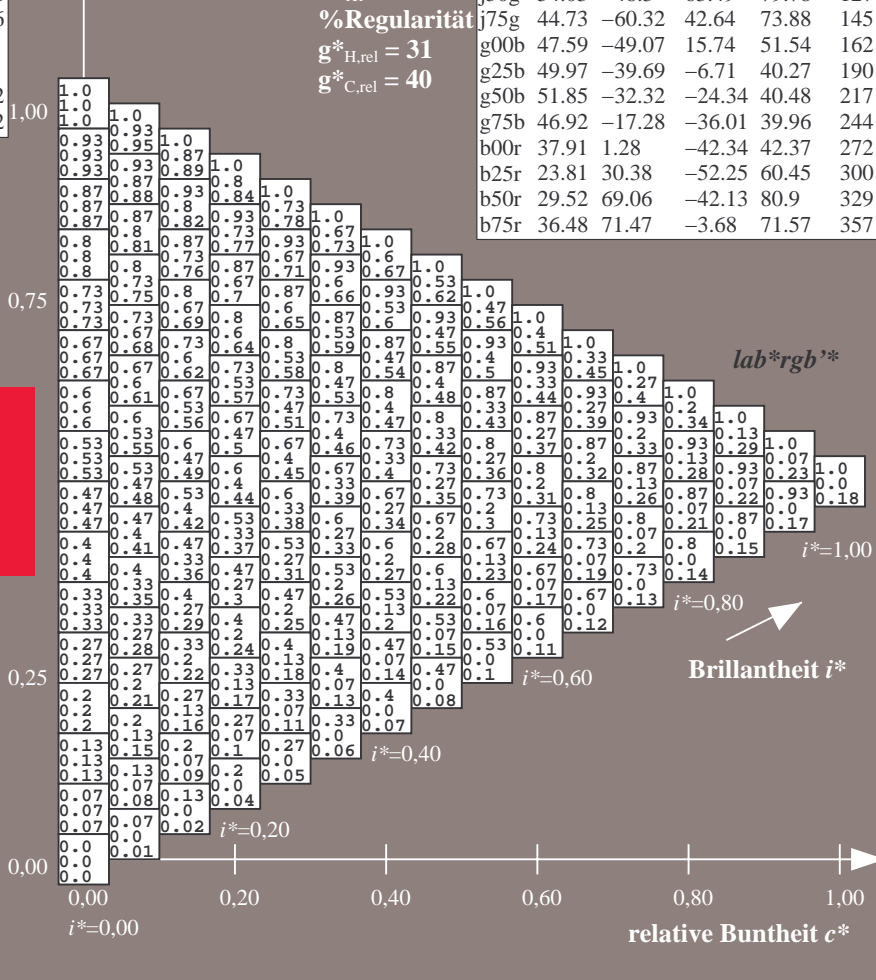
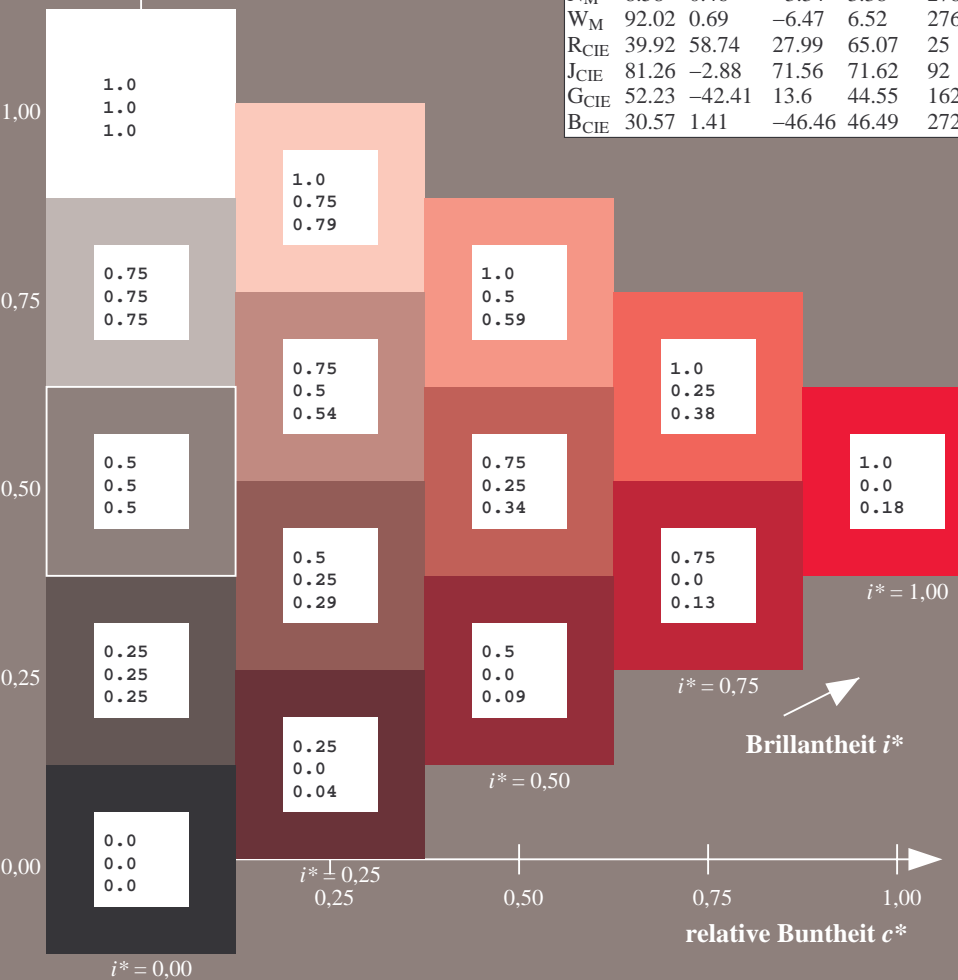
$u^*_{rel} = 109$

%Regularität

$g^*_{H,rel} = 31$

$g^*_{C,rel} = 40$

FRS09_92a; adaptierte CIELAB-Daten					
	$L^*=L^*_a$	$a^*_a$	$b^*_a$	$C^*_{ab,a}$	$h^*_{ab,a}$
r00j	35.47	63.32	30.17	70.15	25
r25j	39.12	54.56	49.45	73.64	42
r50j	50.64	39.15	64.89	75.79	59
r75j	64.01	21.26	82.83	85.52	76
j00g	83.18	-4.37	108.53	108.62	92
j25g	66.73	-29.88	83.06	88.28	110
j50g	54.03	-48.3	63.49	79.78	127
j75g	44.73	-60.32	42.64	73.88	145
g00b	47.59	-49.07	15.74	51.54	162
g25b	49.97	-39.69	-6.71	40.27	190
g50b	51.85	-32.32	-24.34	40.48	217
g75b	46.92	-17.28	-36.01	39.96	244
b00r	37.91	1.28	-42.34	42.37	272
b25r	23.81	30.38	-52.25	60.45	300
b50r	29.52	69.06	-42.13	80.9	329
b75r	36.48	71.47	-3.68	71.57	357



Ein und Ausgabe: Farbmimetrisches Drucker-Reflektiv-System FRS09\_92a für relativen CIELAB-Buntton  $h^* = \text{lab}^*h^* = h_{ab}/360 = 42/360 = 0.117$   $u^* = r25j$

Daten für jede Farbe:

$\text{lab}^*ch^*$  und  $\text{lab}^*icu^*$

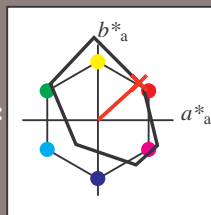
Elementar-Bunttonstext:

$u^* = r25j$

Kontrastreduzierungsfaktor:

$c_R = 1.0$

Dreiecks-Helligkeit  $i^*$



FRS09\_92a; CIELAB-Daten

	$L^*=L^*$	$a^*$	$b^*$	$C^*_{ab}$	$h^*_{ab}$
O <sub>M</sub>	35.06	60.53	39.66	72.37	33
Y <sub>M</sub>	83.77	-4.49	103.15	103.25	92
L <sub>M</sub>	44.13	-62.1	43.56	75.86	145
C <sub>M</sub>	52.66	-28.55	-36.98	46.73	232
V <sub>M</sub>	14.15	50.78	-62.59	80.61	309
M <sub>M</sub>	37.37	79.18	-37.92	87.8	334
N <sub>M</sub>	8.58	0.46	-3.34	3.38	278
W <sub>M</sub>	92.02	0.69	-6.47	6.52	276
R <sub>CIE</sub>	39.92	58.74	27.99	65.07	25
J <sub>CIE</sub>	81.26	-2.88	71.56	71.62	92
G <sub>CIE</sub>	52.23	-42.41	13.6	44.55	162
B <sub>CIE</sub>	30.57	1.41	-46.46	46.49	272

Daten für Maximalfarbe (Ma):

$\text{LAB}^*\text{LAB}^*_{\text{Ma}}$ : 39 55 49

$\text{LAB}^*\text{LCH}^*_{\text{Ma}}$ : 39 74 42

$\text{lab}^*\text{rgb}^*_{\text{Ma}}$ : 1.0 0.25 0.0

$\text{lab}^*\text{olv}^*_{\text{Ma}}$ : 1.0 0.08 0.0

Dreiecks-Helligkeit  $i^*$

%Umfang

$u^*_{\text{rel}} = 109$

%Regularität

$g^*_{H,\text{rel}} = 31$

$g^*_{C,\text{rel}} = 40$

FRS09\_92a; adaptierte CIELAB-Daten

	$L^*=L^*_a$	$a^*_a$	$b^*_a$	$C^*_{ab,a}$	$h^*_{ab,a}$
r00j	35.47	63.32	30.17	70.15	25
r25j	39.12	54.56	49.45	73.64	42
r50j	50.64	39.15	64.89	75.79	59
r75j	64.01	21.26	82.83	85.52	76
j00g	83.18	-4.37	108.53	108.62	92
j25g	66.73	-29.88	83.06	88.28	110
j50g	54.03	-48.3	63.49	79.78	127
j75g	44.73	-60.32	42.64	73.88	145
g00b	47.59	-49.07	15.74	51.54	162
g25b	49.97	-39.69	-6.71	40.27	190
g50b	51.85	-32.32	-24.34	40.48	217
g75b	46.92	-17.28	-36.01	39.96	244
b00r	37.91	1.28	-42.34	42.37	272
b25r	23.81	30.38	-52.25	60.45	300
b50r	29.52	69.06	-42.13	80.9	329
b75r	36.48	71.47	-3.68	71.57	357

$\text{lab}^*\text{rgb}^*$

	$i^*$	$u^*$	$v^*$	$w^*$	$x^*$	$y^*$	$z^*$	$t^*$
r00j	1.0	0.93	0.94	0.93	0.87	0.87	0.87	0.87
r25j	0.93	0.87	0.87	0.87	0.81	0.81	0.81	0.81
r50j	0.87	0.81	0.81	0.81	0.75	0.75	0.75	0.75
r75j	0.81	0.75	0.75	0.75	0.69	0.69	0.69	0.69
j00g	0.75	0.69	0.69	0.69	0.63	0.63	0.63	0.63
j25g	0.69	0.63	0.63	0.63	0.57	0.57	0.57	0.57
j50g	0.63	0.57	0.57	0.57	0.51	0.51	0.51	0.51
j75g	0.57	0.51	0.51	0.51	0.45	0.45	0.45	0.45
g00b	0.51	0.45	0.45	0.45	0.39	0.39	0.39	0.39
g25b	0.45	0.39	0.39	0.39	0.33	0.33	0.33	0.33
g50b	0.39	0.33	0.33	0.33	0.27	0.27	0.27	0.27
g75b	0.33	0.27	0.27	0.27	0.21	0.21	0.21	0.21
b00r	0.27	0.21	0.21	0.21	0.15	0.15	0.15	0.15
b25r	0.21	0.15	0.15	0.15	0.09	0.09	0.09	0.09
b50r	0.15	0.09	0.09	0.09	0.03	0.03	0.03	0.03
b75r	0.09	0.03	0.03	0.03	0.00	0.00	0.00	0.00

$i^* = 1.00$

$i^* = 0.80$

$i^* = 0.60$

$i^* = 0.40$

$i^* = 0.20$

$i^* = 0.00$

Brillantheit  $i^*$

Ein und Ausgabe: Farbmetrisches Drucker-Reflektiv-System FRS09\_92a für relativen CIELAB-Buntton  $h^* = lab^*h^* = h_{ab}/360 = 59/360 = 0.164$   $u^* = r50j$

Daten für jede Farbe:

$lab^*ch^*$  und  $lab^*icu^*$

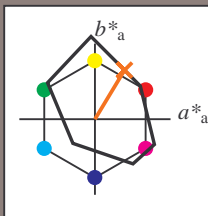
Elementar-Bunttontext:

$u^* = r50j$

Kontrastreduzierungsfaktor:

$c_R = 1.0$

Dreiecks-Helligkeit  $i^*$



FRS09_92a; CIELAB-Daten					
	$L^*=L^*$	$a^*$	$b^*$	$C^*_{ab}$	$h^*_{ab}$
O <sub>M</sub>	35.06	60.53	39.66	72.37	33
Y <sub>M</sub>	83.77	-4.49	103.15	103.25	92
L <sub>M</sub>	44.13	-62.1	43.56	75.86	145
C <sub>M</sub>	52.66	-28.55	-36.98	46.73	232
V <sub>M</sub>	14.15	50.78	-62.59	80.61	309
M <sub>M</sub>	37.37	79.18	-37.92	87.8	334
N <sub>M</sub>	8.58	0.46	-3.34	3.38	278
W <sub>M</sub>	92.02	0.69	-6.47	6.52	276
R <sub>CIE</sub>	39.92	58.74	27.99	65.07	25
J <sub>CIE</sub>	81.26	-2.88	71.56	71.62	92
G <sub>CIE</sub>	52.23	-42.41	13.6	44.55	162
B <sub>CIE</sub>	30.57	1.41	-46.46	46.49	272

Daten für Maximalfarbe (Ma):

$LAB^*LAB^*_{Ma}$ : 51 39 65

$LAB^*LCH^*_{Ma}$ : 51 76 59

$lab^*rgb^*_{Ma}$ : 1.0 0.5 0.0

$lab^*olv^*_{Ma}$ : 1.0 0.32 0.0

Dreiecks-Helligkeit  $i^*$

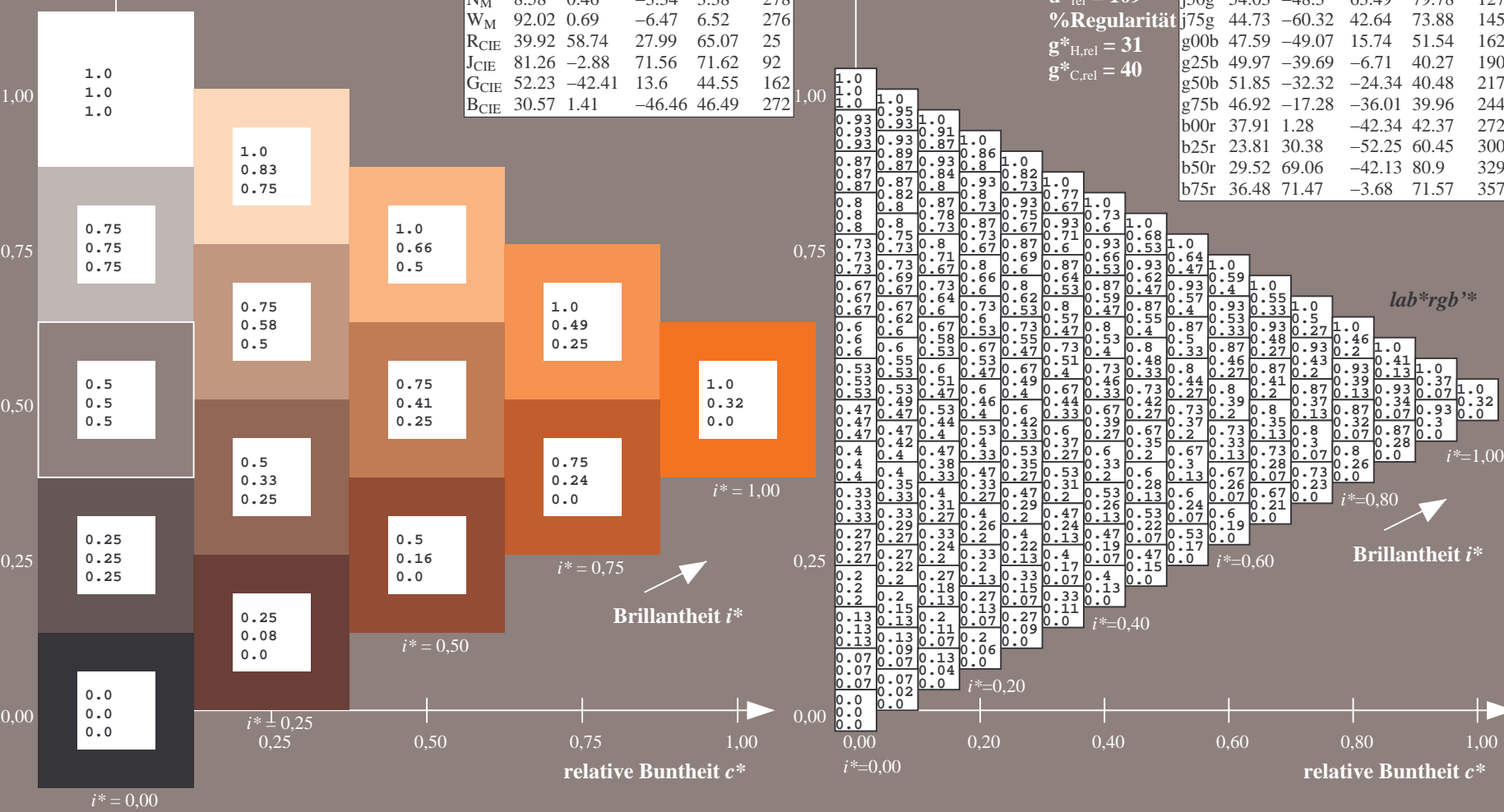
%Umfang

$u^*_{rel} = 109$

%Regularität

$g^*_{H,rel} = 31$

$g^*_{C,rel} = 40$



Ein und Ausgabe: Farbmetrisches Drucker-Reflektiv-System FRS09\_92a für relativen CIELAB-Buntton  $h^* = lab^*h^* = h_{ab}/360 = 76/360 = 0.21$

Daten für jede Farbe:

$lab^*ch^*$  und  $lab^*icu^*$

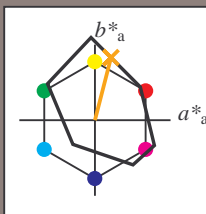
Elementar-Bunttontext:

$u^* = r75j$

Kontrastreduzierungsfaktor:

$c_R = 1.0$

Dreiecks-Helligkeit  $t^*$



FRS09\_92a; CIELAB-Daten

	$L^*=L^*$	$a^*$	$b^*$	$C^*_{ab}$	$h^*_{ab}$
O <sub>M</sub>	35.06	60.53	39.66	72.37	33
Y <sub>M</sub>	83.77	-4.49	103.15	103.25	92
L <sub>M</sub>	44.13	-62.1	43.56	75.86	145
C <sub>M</sub>	52.66	-28.55	-36.98	46.73	232
V <sub>M</sub>	14.15	50.78	-62.59	80.61	309
M <sub>M</sub>	37.37	79.18	-37.92	87.8	334
N <sub>M</sub>	8.58	0.46	-3.34	3.38	278
W <sub>M</sub>	92.02	0.69	-6.47	6.52	276
R <sub>CIE</sub>	39.92	58.74	27.99	65.07	25
J <sub>CIE</sub>	81.26	-2.88	71.56	71.62	92
G <sub>CIE</sub>	52.23	-42.41	13.6	44.55	162
B <sub>CIE</sub>	30.57	1.41	-46.46	46.49	272

Daten für Maximalfarbe (Ma):

$LAB^*LAB^*_{Ma}$ : 64 21 83

$LAB^*LCH^*_{Ma}$ : 64 86 76

$lab^*rgb^*_{Ma}$ : 1.0 0.75 0.0

$lab^*olv^*_{Ma}$ : 1.0 0.59 0.0

Dreiecks-Helligkeit  $t^*$

%Umfang

$u^*_{rel} = 109$

%Regularität

$g^*_{H,rel} = 31$

$g^*_{C,rel} = 40$

FRS09\_92a; adaptierte CIELAB-Daten

	$L^*=L^*_a$	$a^*_a$	$b^*_a$	$C^*_{ab,a}$	$h^*_{ab,a}$
r00j	35.47	63.32	30.17	70.15	25
r25j	39.12	54.56	49.45	73.64	42
r50j	50.64	39.15	64.89	75.79	59
r75j	64.01	21.26	82.83	85.52	76
j00g	83.18	-4.37	108.53	108.62	92
j25g	66.73	-29.88	83.06	88.28	110
j50g	54.03	-48.3	63.49	79.78	127
j75g	44.73	-60.32	42.64	73.88	145
g00b	47.59	-49.07	15.74	51.54	162
g25b	49.97	-39.69	-6.71	40.27	190
g50b	51.85	-32.32	-24.34	40.48	217
g75b	46.92	-17.28	-36.01	39.96	244
b00r	37.91	1.28	-42.34	42.37	272
b25r	23.81	30.38	-52.25	60.45	300
b50r	29.52	69.06	-42.13	80.9	329
b75r	36.48	71.47	-3.68	71.57	357

$lab^*rgb^*$

$i^* = 1.00$

Brillantheit  $i^*$

$i^* = 0.80$

$i^* = 0.60$

$i^* = 0.40$

$i^* = 0.20$

$i^* = 0.00$



Ein und Ausgabe: Farbmetrisches Drucker-Reflektiv-System FRS09\_92a für relativen CIELAB-Buntton  $h^* = lab^*h^* = h_{ab}/360 = 92/360 = 0.256$   $u^* = j00g$

Daten für jede Farbe:

$lab^*ch^*$  und  $lab^*icu^*$

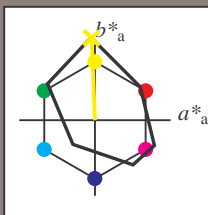
Elementar-Bunttontext:

$u^* = j00g$

Kontrastreduzierungsfaktor:

$c_R = 1.0$

Dreiecks-Helligkeit  $i^*$



FRS09_92a; CIELAB-Daten					
	$L^*=L^*$	$a^*$	$b^*$	$C^*_{ab}$	$h^*_{ab}$
O <sub>M</sub>	35.06	60.53	39.66	72.37	33
Y <sub>M</sub>	83.77	-4.49	103.15	103.25	92
L <sub>M</sub>	44.13	-62.1	43.56	75.86	145
C <sub>M</sub>	52.66	-28.55	-36.98	46.73	232
V <sub>M</sub>	14.15	50.78	-62.59	80.61	309
M <sub>M</sub>	37.37	79.18	-37.92	87.8	334
N <sub>M</sub>	8.58	0.46	-3.34	3.38	278
W <sub>M</sub>	92.02	0.69	-6.47	6.52	276
R <sub>CIE</sub>	39.92	58.74	27.99	65.07	25
J <sub>CIE</sub>	81.26	-2.88	71.56	71.62	92
G <sub>CIE</sub>	52.23	-42.41	13.6	44.55	162
B <sub>CIE</sub>	30.57	1.41	-46.46	46.49	272

Daten für Maximalfarbe (Ma):

$LAB^*LAB^*_{Ma}$ : 83 -3 109

$LAB^*LCH^*_{Ma}$ : 83 109 92

$lab^*rgb^*_{Ma}$ : 1.0 1.0 0.0

$lab^*olv^*_{Ma}$ : 1.0 0.99 0.0

Dreiecks-Helligkeit  $i^*$

%Umfang

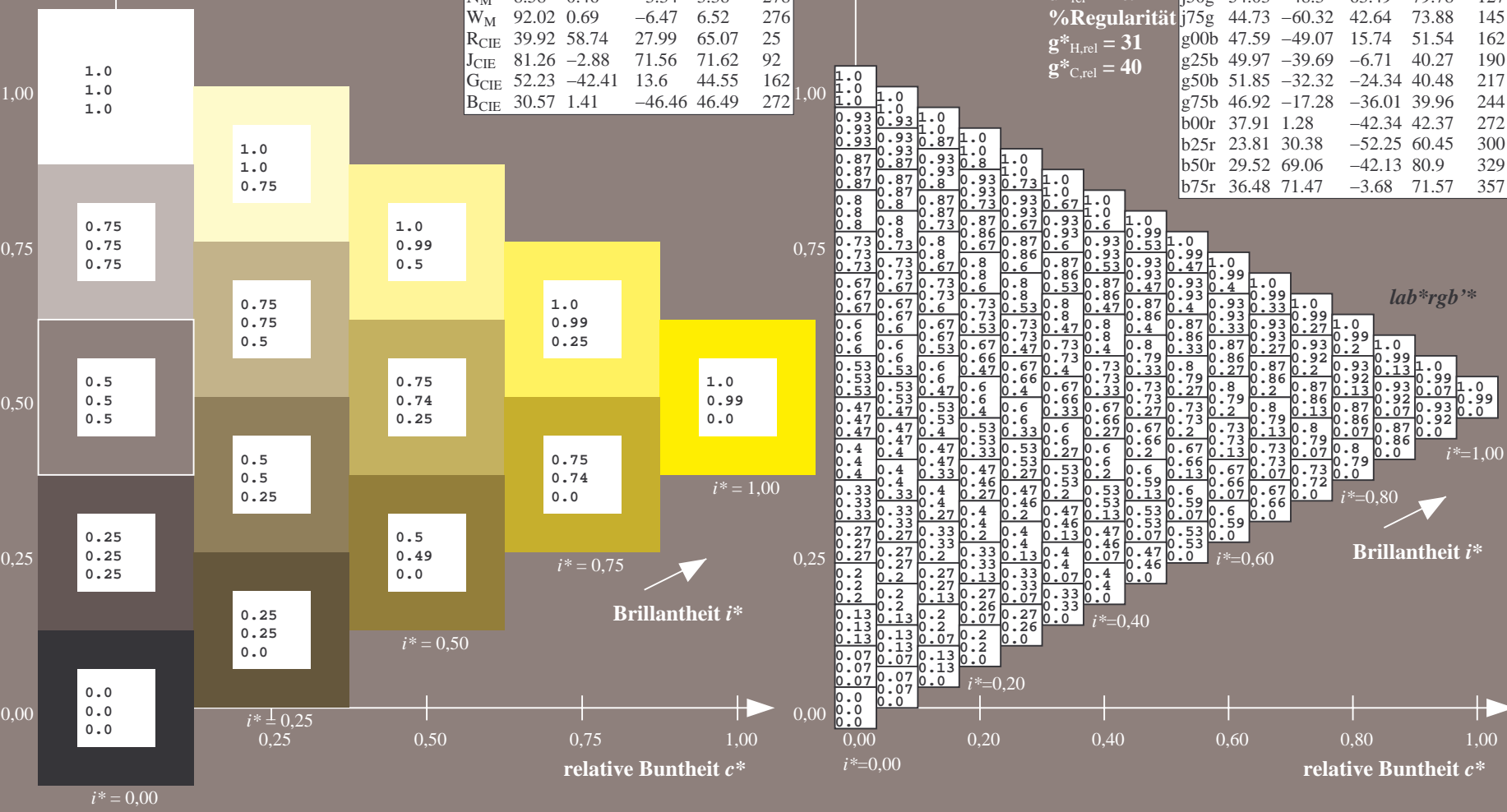
$u^*_{rel} = 109$

%Regularität

$g^*_{H,rel} = 31$

$g^*_{C,rel} = 40$

FRS09_92a; adaptierte CIELAB-Daten					
	$L^*=L^*_a$	$a^*_a$	$b^*_a$	$C^*_{ab,a}$	$h^*_{ab,a}$
r00j	35.47	63.32	30.17	70.15	25
r25j	39.12	54.56	49.45	73.64	42
r50j	50.64	39.15	64.89	75.79	59
r75j	64.01	21.26	82.83	85.52	76
j00g	83.18	-4.37	108.53	108.62	92
j25g	66.73	-29.88	83.06	88.28	110
j50g	54.03	-48.3	63.49	79.78	127
j75g	44.73	-60.32	42.64	73.88	145
g00b	47.59	-49.07	15.74	51.54	162
g25b	49.97	-39.69	-6.71	40.27	190
g50b	51.85	-32.32	-24.34	40.48	217
g75b	46.92	-17.28	-36.01	39.96	244
b00r	37.91	1.28	-42.34	42.37	272
b25r	23.81	30.38	-52.25	60.45	300
b50r	29.52	69.06	-42.13	80.9	329
b75r	36.48	71.47	-3.68	71.57	357



Ein und Ausgabe: Farbmetrisches Drucker-Reflektiv-System FRS09\_92a für relativen CIELAB-Buntton  $h^* = lab^*h^* = h_{ab}/360 = 110/360 = 0.305$   $u^* = j25g$

Daten für jede Farbe:

$lab^*ch^*$  und  $lab^*icu^*$

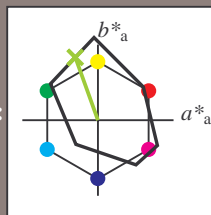
Elementar-Bunttontext:

$u^* = j25g$

Kontrastreduzierungsfaktor:

$c_R = 1.0$

Dreiecks-Helligkeit  $i^*$



FRS09\_92a; CIELAB-Daten

	$L^*=L^*$	$a^*$	$b^*$	$C^*_{ab}$	$h^*_{ab}$
O <sub>M</sub>	35.06	60.53	39.66	72.37	33
Y <sub>M</sub>	83.77	-4.49	103.15	103.25	92
L <sub>M</sub>	44.13	-62.1	43.56	75.86	145
C <sub>M</sub>	52.66	-28.55	-36.98	46.73	232
V <sub>M</sub>	14.15	50.78	-62.59	80.61	309
M <sub>M</sub>	37.37	79.18	-37.92	87.8	334
N <sub>M</sub>	8.58	0.46	-3.34	3.38	278
W <sub>M</sub>	92.02	0.69	-6.47	6.52	276
R <sub>CIE</sub>	39.92	58.74	27.99	65.07	25
J <sub>CIE</sub>	81.26	-2.88	71.56	71.62	92
G <sub>CIE</sub>	52.23	-42.41	13.6	44.55	162
B <sub>CIE</sub>	30.57	1.41	-46.46	46.49	272

Daten für Maximalfarbe (Ma):

$LAB^*LAB^*_{Ma}$ : 67 -29 83

$LAB^*LCH^*_{Ma}$ : 67 88 110

$lab^*rgb^*_{Ma}$ : 0.75 1.0 0.0

$lab^*olv^*_{Ma}$ : 0.57 1.0 0.0

Dreiecks-Helligkeit  $i^*$

%Umfang

$u^*_{rel} = 109$

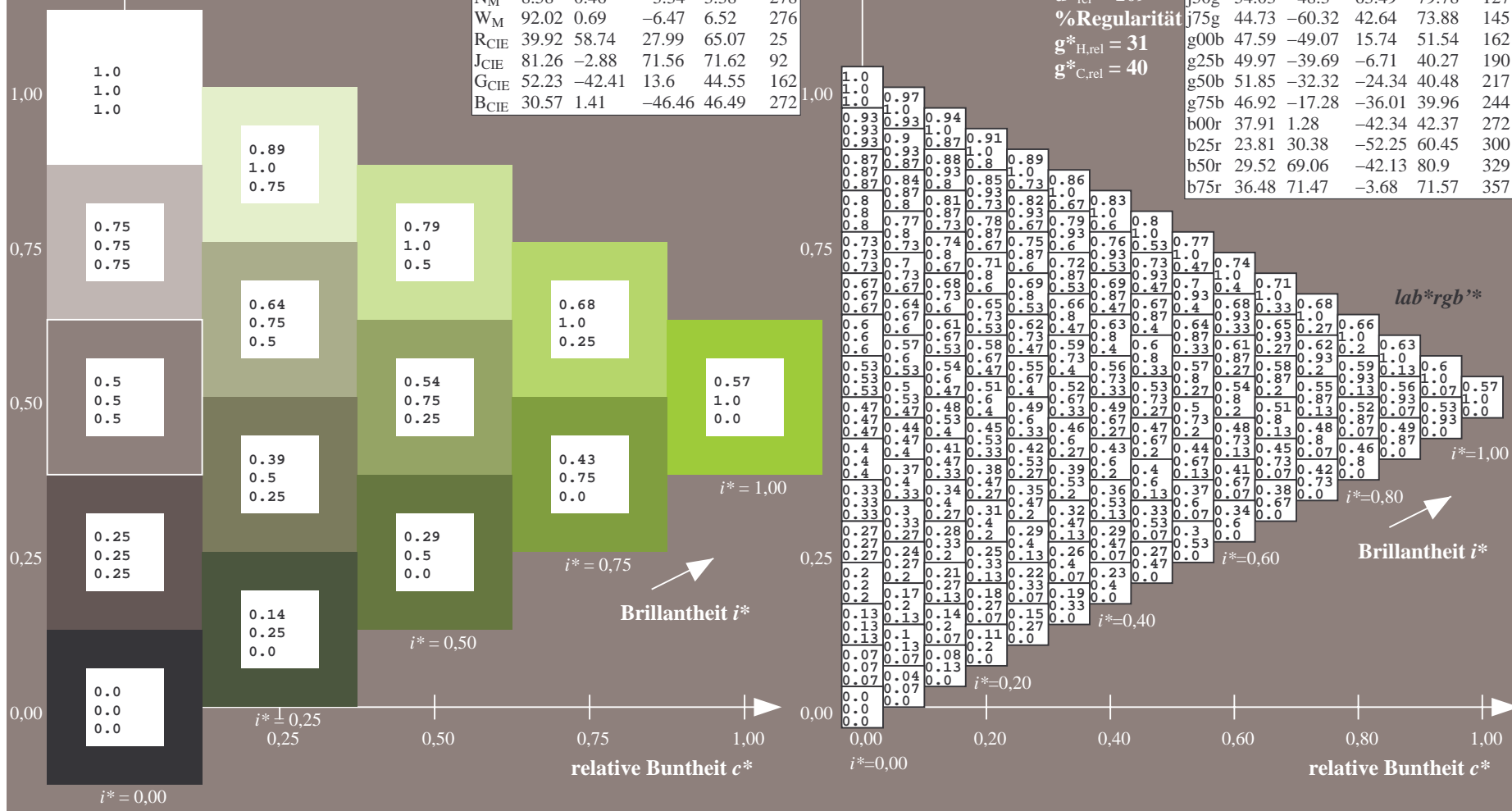
%Regularität

$g^*_{H,rel} = 31$

$g^*_{C,rel} = 40$

FRS09\_92a; adaptierte CIELAB-Daten

	$L^*=L^*_a$	$a^*_a$	$b^*_a$	$C^*_{ab,a}$	$h^*_{ab,a}$
r00j	35.47	63.32	30.17	70.15	25
r25j	39.12	54.56	49.45	73.64	42
r50j	50.64	39.15	64.89	75.79	59
r75j	64.01	21.26	82.83	85.52	76
j00g	83.18	-4.37	108.53	108.62	92
j25g	66.73	-29.88	83.06	88.28	110
j50g	54.03	-48.3	63.49	79.78	127
j75g	44.73	-60.32	42.64	73.88	145
g00b	47.59	-49.07	15.74	51.54	162
g25b	49.97	-39.69	-6.71	40.27	190
g50b	51.85	-32.32	-24.34	40.48	217
g75b	46.92	-17.28	-36.01	39.96	244
b00r	37.91	1.28	-42.34	42.37	272
b25r	23.81	30.38	-52.25	60.45	300
b50r	29.52	69.06	-42.13	80.9	329
b75r	36.48	71.47	-3.68	71.57	357



Ein und Ausgabe: Farbmetrisches Drucker-Reflektiv-System FRS09\_92a für relativen CIELAB-Buntton  $h^* = lab^*h^* = h_{ab}/360 = 127/360 = 0.354$   $u^* = j50g$

Daten für jede Farbe:

$lab^*ch^*$  und  $lab^*icu^*$

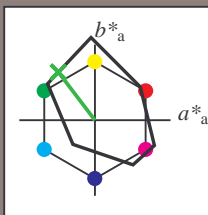
Elementar-Bunttontext:

$u^* = j50g$

Kontrastreduzierungsfaktor:

$c_R = 1.0$

Dreiecks-Helligkeit  $i^*$



FRS09\_92a; CIELAB-Daten

	$L^*=L^*$	$a^*$	$b^*$	$C^*_{ab}$	$h^*_{ab}$
O <sub>M</sub>	35.06	60.53	39.66	72.37	33
Y <sub>M</sub>	83.77	-4.49	103.15	103.25	92
L <sub>M</sub>	44.13	-62.1	43.56	75.86	145
C <sub>M</sub>	52.66	-28.55	-36.98	46.73	232
V <sub>M</sub>	14.15	50.78	-62.59	80.61	309
M <sub>M</sub>	37.37	79.18	-37.92	87.8	334
N <sub>M</sub>	8.58	0.46	-3.34	3.38	278
W <sub>M</sub>	92.02	0.69	-6.47	6.52	276
R <sub>CIE</sub>	39.92	58.74	27.99	65.07	25
J <sub>CIE</sub>	81.26	-2.88	71.56	71.62	92
G <sub>CIE</sub>	52.23	-42.41	13.6	44.55	162
B <sub>CIE</sub>	30.57	1.41	-46.46	46.49	272

Daten für Maximalfarbe (Ma):

$LAB^*LAB^*_{Ma}$ : 54 -47 63

$LAB^*LCH^*_{Ma}$ : 54 80 127

$lab^*rgb^*_{Ma}$ : 0.5 1.0 0.0

$lab^*olv^*_{Ma}$ : 0.25 1.0 0.0

Dreiecks-Helligkeit  $i^*$

%Umfang

$u^*_{rel} = 109$

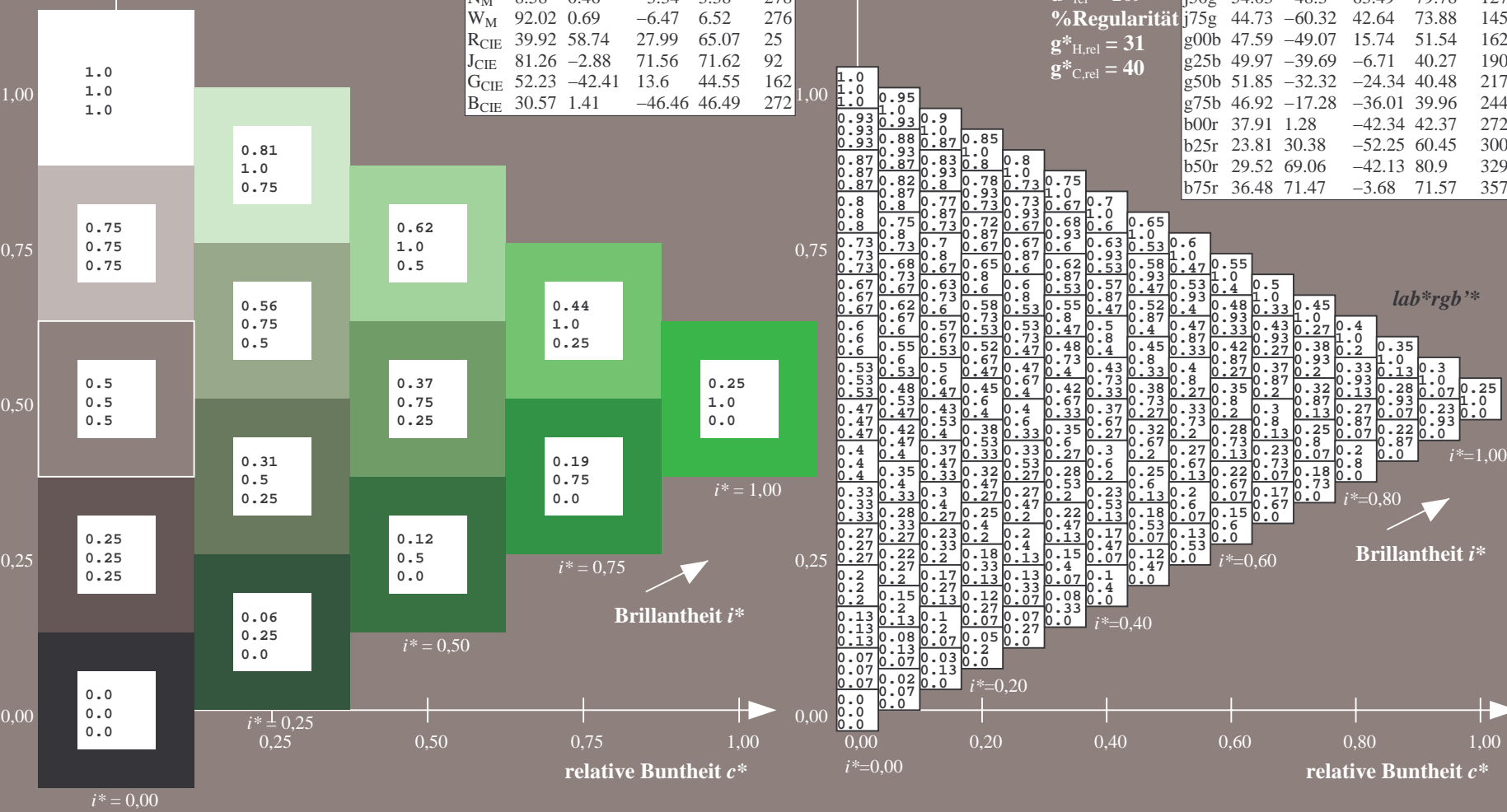
%Regularität

$g^*_{H,rel} = 31$

$g^*_{C,rel} = 40$

FRS09\_92a; adaptierte CIELAB-Daten

	$L^*=L^*_a$	$a^*_a$	$b^*_a$	$C^*_{ab,a}$	$h^*_{ab,a}$
r00j	35.47	63.32	30.17	70.15	25
r25j	39.12	54.56	49.45	73.64	42
r50j	50.64	39.15	64.89	75.79	59
r75j	64.01	21.26	82.83	85.52	76
j00g	83.18	-4.37	108.53	108.62	92
j25g	66.73	-29.88	83.06	88.28	110
j50g	54.03	-48.3	63.49	79.78	127
j75g	44.73	-60.32	42.64	73.88	145
g00b	47.59	-49.07	15.74	51.54	162
g25b	49.97	-39.69	-6.71	40.27	190
g50b	51.85	-32.32	-24.34	40.48	217
g75b	46.92	-17.28	-36.01	39.96	244
b00r	37.91	1.28	-42.34	42.37	272
b25r	23.81	30.38	-52.25	60.45	300
b50r	29.52	69.06	-42.13	80.9	329
b75r	36.48	71.47	-3.68	71.57	357



Ein und Ausgabe: Farbmetrisches Drucker-Reflektiv-System FRS09\_92a für relativen CIELAB-Buntton  $h^* = lab^*h^* = h_{ab}/360 = 145/360 = 0.402$   $u^* = j75g$

Daten für jede Farbe:

$lab^*ch^*$  und  $lab^*icu^*$

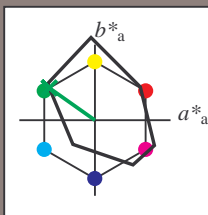
Elementar-Bunttontext:

$u^* = j75g$

Kontrastreduzierungsfaktor:

$c_R = 1.0$

Dreiecks-Helligkeit  $i^*$



FRS09\_92a; CIELAB-Daten

	$L^*=L^*$	$a^*$	$b^*$	$C^*_{ab}$	$h^*_{ab}$
O <sub>M</sub>	35.06	60.53	39.66	72.37	33
Y <sub>M</sub>	83.77	-4.49	103.15	103.25	92
L <sub>M</sub>	44.13	-62.1	43.56	75.86	145
C <sub>M</sub>	52.66	-28.55	-36.98	46.73	232
V <sub>M</sub>	14.15	50.78	-62.59	80.61	309
M <sub>M</sub>	37.37	79.18	-37.92	87.8	334
N <sub>M</sub>	8.58	0.46	-3.34	3.38	278
W <sub>M</sub>	92.02	0.69	-6.47	6.52	276
R <sub>CIE</sub>	39.92	58.74	27.99	65.07	25
J <sub>CIE</sub>	81.26	-2.88	71.56	71.62	92
G <sub>CIE</sub>	52.23	-42.41	13.6	44.55	162
B <sub>CIE</sub>	30.57	1.41	-46.46	46.49	272

Daten für Maximalfarbe (Ma):

$LAB^*LAB^*_{Ma}$ : 45 -59 43

$LAB^*LCH^*_{Ma}$ : 45 74 145

$lab^*rgb^*_{Ma}$ : 0.25 1.0 0.0

$lab^*olv^*_{Ma}$ : 0.0 1.0 0.07

Dreiecks-Helligkeit  $i^*$

%Umfang

$u^*_{rel} = 109$

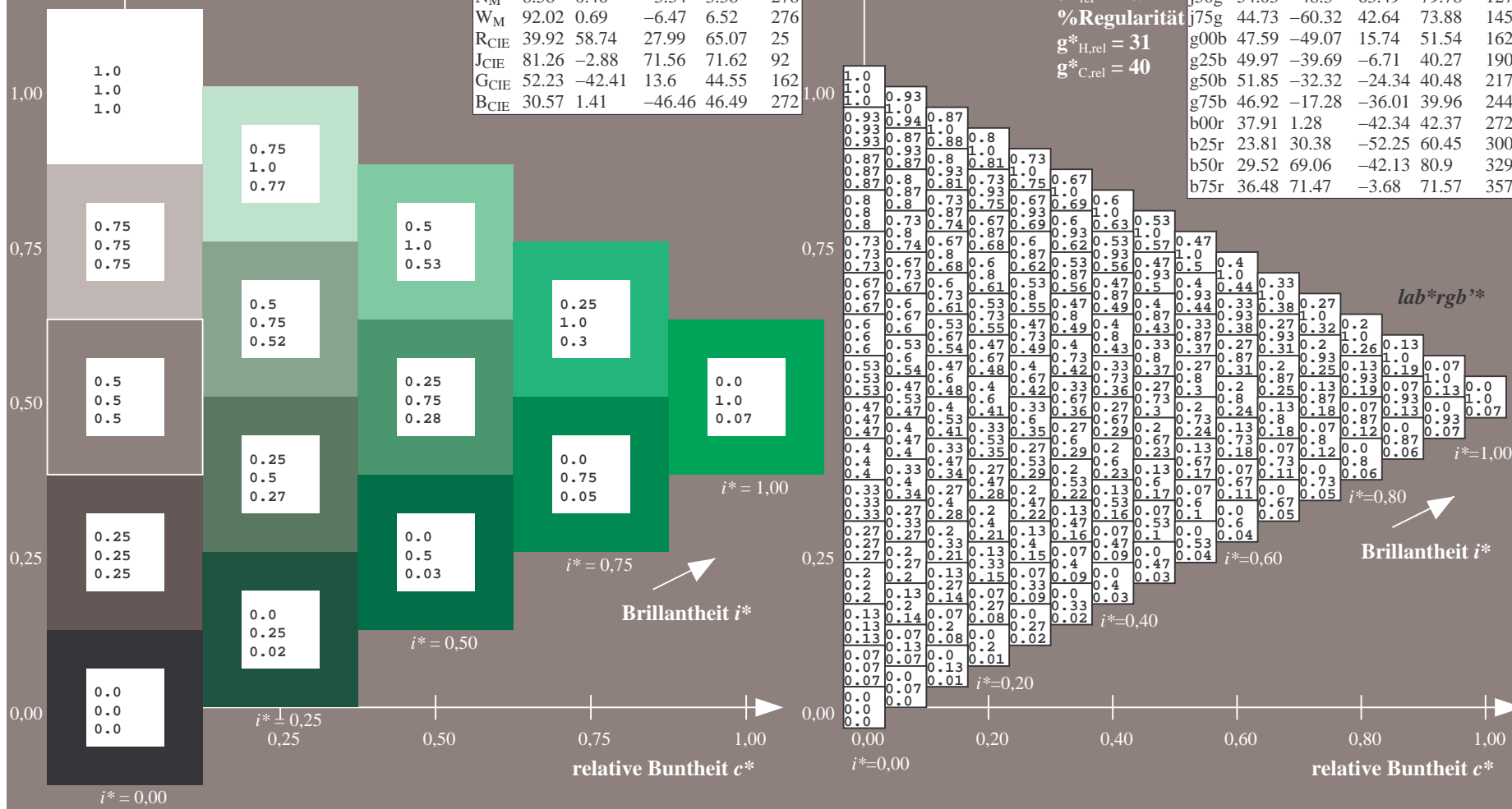
%Regularität

$g^*_{H,rel} = 31$

$g^*_{C,rel} = 40$

FRS09\_92a; adaptierte CIELAB-Daten

	$L^*=L^*_a$	$a^*_a$	$b^*_a$	$C^*_{ab,a}$	$h^*_{ab,a}$
r00j	35.47	63.32	30.17	70.15	25
r25j	39.12	54.56	49.45	73.64	42
r50j	50.64	39.15	64.89	75.79	59
r75j	64.01	21.26	82.83	85.52	76
j00g	83.18	-4.37	108.53	108.62	92
j25g	66.73	-29.88	83.06	88.28	110
j50g	54.03	-48.3	63.49	79.78	127
j75g	44.73	-60.32	42.64	73.88	145
g00b	47.59	-49.07	15.74	51.54	162
g25b	49.97	-39.69	-6.71	40.27	190
g50b	51.85	-32.32	-24.34	40.48	217
g75b	46.92	-17.28	-36.01	39.96	244
b00r	37.91	1.28	-42.34	42.37	272
b25r	23.81	30.38	-52.25	60.45	300
b50r	29.52	69.06	-42.13	80.9	329
b75r	36.48	71.47	-3.68	71.57	357





Ein und Ausgabe: Farbmetrisches Drucker-Reflektiv-System FRS09\_92a für relativen CIELAB-Buntton  $h^* = lab^*h^* = h_{ab}/360 = 162/360 = 0.451$   $u^* = g00b$

Daten für jede Farbe:

$lab^*ch^*$  und  $lab^*icu^*$

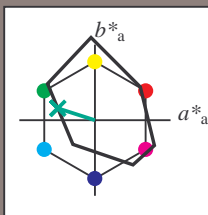
Elementar-Bunttontext:

$u^* = g00b$

Kontrastreduzierungsfaktor:

$c_R = 1.0$

Dreiecks-Helligkeit  $i^*$



FRS09\_92a; CIELAB-Daten

	$L^*=L^*$	$a^*$	$b^*$	$C^*_{ab}$	$h^*_{ab}$
O <sub>M</sub>	35.06	60.53	39.66	72.37	33
Y <sub>M</sub>	83.77	-4.49	103.15	103.25	92
L <sub>M</sub>	44.13	-62.1	43.56	75.86	145
C <sub>M</sub>	52.66	-28.55	-36.98	46.73	232
V <sub>M</sub>	14.15	50.78	-62.59	80.61	309
M <sub>M</sub>	37.37	79.18	-37.92	87.8	334
N <sub>M</sub>	8.58	0.46	-3.34	3.38	278
W <sub>M</sub>	92.02	0.69	-6.47	6.52	276
R <sub>CIE</sub>	39.92	58.74	27.99	65.07	25
J <sub>CIE</sub>	81.26	-2.88	71.56	71.62	92
G <sub>CIE</sub>	52.23	-42.41	13.6	44.55	162
B <sub>CIE</sub>	30.57	1.41	-46.46	46.49	272

Daten für Maximalfarbe (Ma):

$LAB^*LAB^*_{Ma}$ : 48 -48 16

$LAB^*LCH^*_{Ma}$ : 48 52 162

$lab^*rgb^*_{Ma}$ : 0.0 1.0 0.0

$lab^*olv^*_{Ma}$ : 0.0 1.0 0.41

Dreiecks-Helligkeit  $i^*$

%Umfang

$u^*_{rel} = 109$

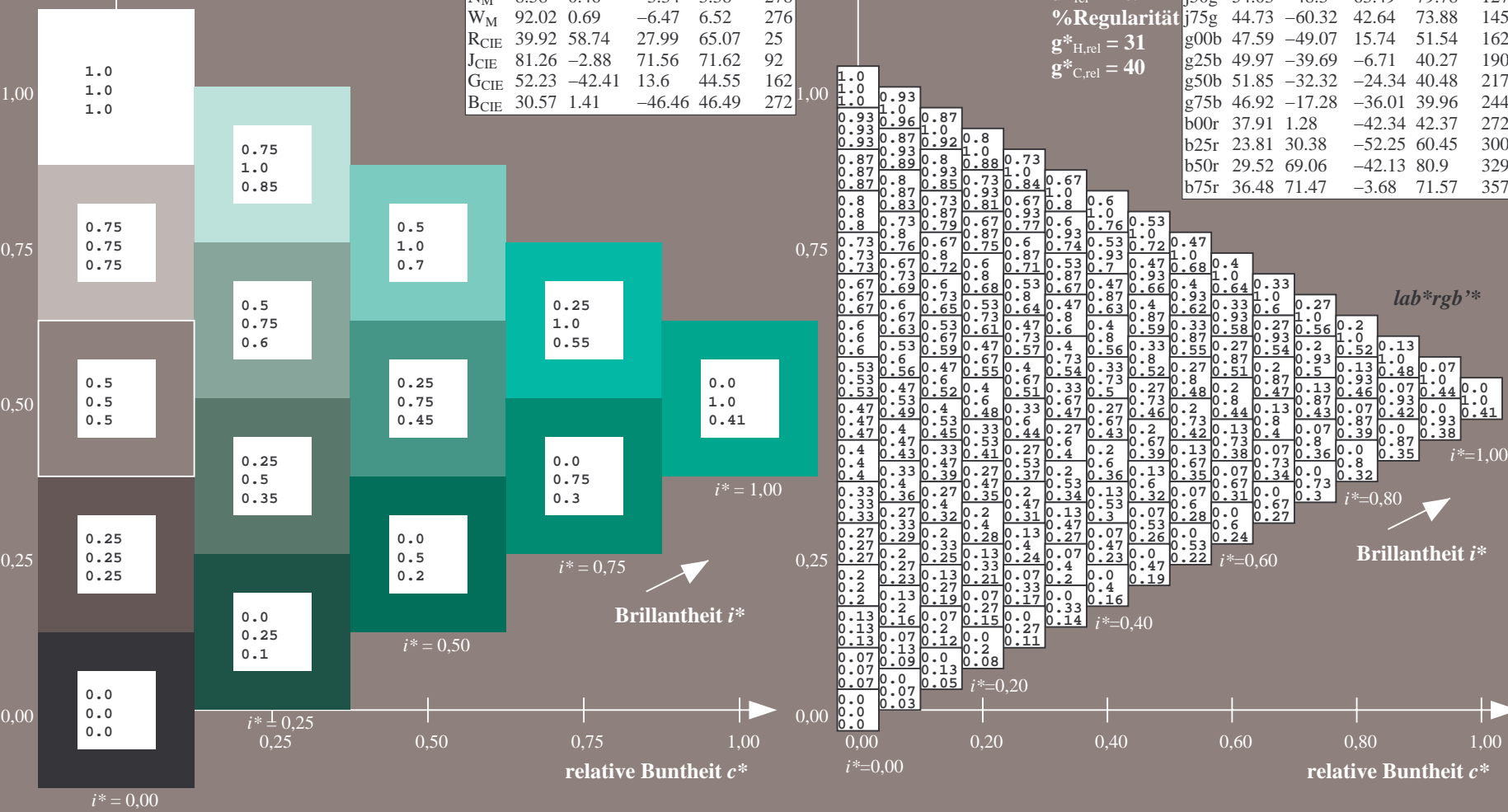
%Regularität

$g^*_{H,rel} = 31$

$g^*_{C,rel} = 40$

FRS09\_92a; adaptierte CIELAB-Daten

	$L^*=L^*_a$	$a^*_a$	$b^*_a$	$C^*_{ab,a}$	$h^*_{ab,a}$
r00j	35.47	63.32	30.17	70.15	25
r25j	39.12	54.56	49.45	73.64	42
r50j	50.64	39.15	64.89	75.79	59
r75j	64.01	21.26	82.83	85.52	76
j00g	83.18	-4.37	108.53	108.62	92
j25g	66.73	-29.88	83.06	88.28	110
j50g	54.03	-48.3	63.49	79.78	127
j75g	44.73	-60.32	42.64	73.88	145
g00b	47.59	-49.07	15.74	51.54	162
g25b	49.97	-39.69	-6.71	40.27	190
g50b	51.85	-32.32	-24.34	40.48	217
g75b	46.92	-17.28	-36.01	39.96	244
b00r	37.91	1.28	-42.34	42.37	272
b25r	23.81	30.38	-52.25	60.45	300
b50r	29.52	69.06	-42.13	80.9	329
b75r	36.48	71.47	-3.68	71.57	357



Ein und Ausgabe: Farbmetrisches Drucker-Reflektiv-System FRS09\_92a für relativen CIELAB-Buntton  $h^* = lab^*h^* = h_{ab}/360 = 190/360 = 0.527$   $u^* = g25b$

Daten für jede Farbe:

$lab^*ch^*$  und  $lab^*icu^*$

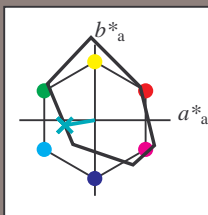
Elementar-Bunttontext:

$u^* = g25b$

Kontrastreduzierungsfaktor:

$c_R = 1.0$

Dreiecks-Helligkeit  $i^*$



FRS09\_92a; CIELAB-Daten

	$L^*=L^*$	$a^*$	$b^*$	$C^*_{ab}$	$h^*_{ab}$
O <sub>M</sub>	35.06	60.53	39.66	72.37	33
Y <sub>M</sub>	83.77	-4.49	103.15	103.25	92
L <sub>M</sub>	44.13	-62.1	43.56	75.86	145
C <sub>M</sub>	52.66	-28.55	-36.98	46.73	232
V <sub>M</sub>	14.15	50.78	-62.59	80.61	309
M <sub>M</sub>	37.37	79.18	-37.92	87.8	334
N <sub>M</sub>	8.58	0.46	-3.34	3.38	278
W <sub>M</sub>	92.02	0.69	-6.47	6.52	276
R <sub>CIE</sub>	39.92	58.74	27.99	65.07	25
J <sub>CIE</sub>	81.26	-2.88	71.56	71.62	92
G <sub>CIE</sub>	52.23	-42.41	13.6	44.55	162
B <sub>CIE</sub>	30.57	1.41	-46.46	46.49	272

Daten für Maximalfarbe (Ma):

$LAB^*LAB^*_{Ma}$ : 50 -39 -6

$LAB^*LCH^*_{Ma}$ : 50 40 190

$lab^*rgb^*_{Ma}$ : 0.0 1.0 0.5

$lab^*olv^*_{Ma}$ : 0.0 1.0 0.69

Dreiecks-Helligkeit  $i^*$

%Umfang

$u^*_{rel} = 109$

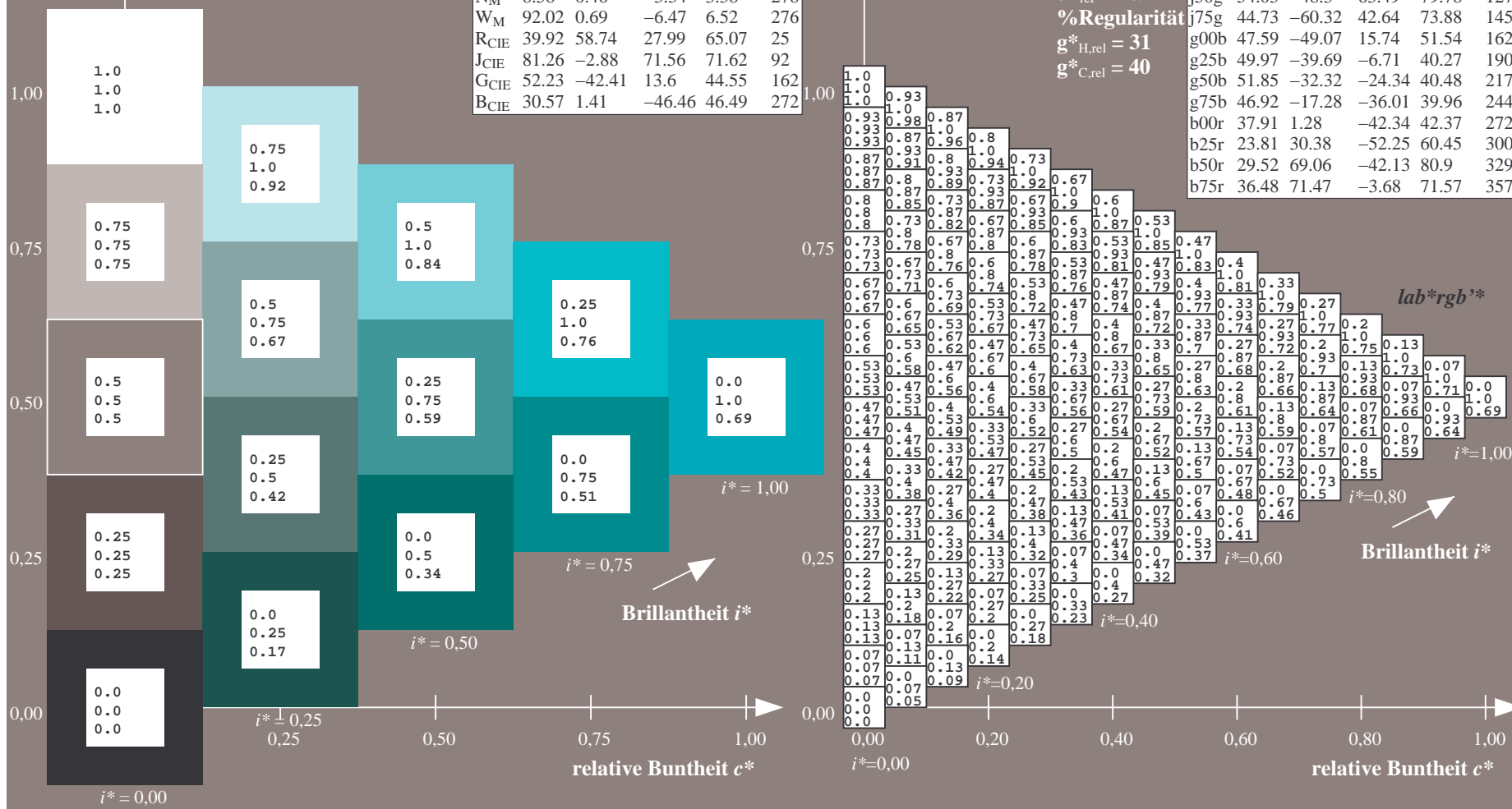
%Regularität

$g^*_{H,rel} = 31$

$g^*_{C,rel} = 40$

FRS09\_92a; adaptierte CIELAB-Daten

	$L^*=L^*_a$	$a^*_a$	$b^*_a$	$C^*_{ab,a}$	$h^*_{ab,a}$
r00j	35.47	63.32	30.17	70.15	25
r25j	39.12	54.56	49.45	73.64	42
r50j	50.64	39.15	64.89	75.79	59
r75j	64.01	21.26	82.83	85.52	76
j00g	83.18	-4.37	108.53	108.62	92
j25g	66.73	-29.88	83.06	88.28	110
j50g	54.03	-48.3	63.49	79.78	127
j75g	44.73	-60.32	42.64	73.88	145
g00b	47.59	-49.07	15.74	51.54	162
g25b	49.97	-39.69	-6.71	40.27	190
g50b	51.85	-32.32	-24.34	40.48	217
g75b	46.92	-17.28	-36.01	39.96	244
b00r	37.91	1.28	-42.34	42.37	272
b25r	23.81	30.38	-52.25	60.45	300
b50r	29.52	69.06	-42.13	80.9	329
b75r	36.48	71.47	-3.68	71.57	357



Ein und Ausgabe: Farbmetrisches Drucker-Reflektiv-System FRS09\_92a für relativen CIELAB-Buntton  $h^* = \text{lab}^*h^* = h_{ab}/360 = 217/360 = 0.603$   $u^* = g50b$

Daten für jede Farbe:

$\text{lab}^*ch^*$  und  $\text{lab}^*icu^*$

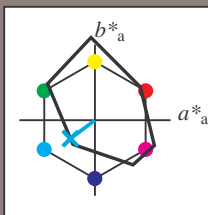
Elementar-Bunttontext:

$u^* = g50b$

Kontrastreduzierungsfaktor:

$c_R = 1.0$

Dreiecks-Helligkeit  $i^*$



FRS09_92a; CIELAB-Daten					
	$L^*=L^*$	$a^*$	$b^*$	$C^*_{ab}$	$h^*_{ab}$
O <sub>M</sub>	35.06	60.53	39.66	72.37	33
Y <sub>M</sub>	83.77	-4.49	103.15	103.25	92
L <sub>M</sub>	44.13	-62.1	43.56	75.86	145
C <sub>M</sub>	52.66	-28.55	-36.98	46.73	232
V <sub>M</sub>	14.15	50.78	-62.59	80.61	309
M <sub>M</sub>	37.37	79.18	-37.92	87.8	334
N <sub>M</sub>	8.58	0.46	-3.34	3.38	278
W <sub>M</sub>	92.02	0.69	-6.47	6.52	276
R <sub>CIE</sub>	39.92	58.74	27.99	65.07	25
J <sub>CIE</sub>	81.26	-2.88	71.56	71.62	92
G <sub>CIE</sub>	52.23	-42.41	13.6	44.55	162
B <sub>CIE</sub>	30.57	1.41	-46.46	46.49	272

Daten für Maximalfarbe (Ma):

$\text{LAB}^*\text{LAB}^*_{\text{Ma}}$ : 52 -31 -23

$\text{LAB}^*\text{LCH}^*_{\text{Ma}}$ : 52 40 217

$\text{lab}^*\text{rgb}^*_{\text{Ma}}$ : 0.0 1.0 1.0

$\text{lab}^*\text{olv}^*_{\text{Ma}}$ : 0.0 1.0 0.9

Dreiecks-Helligkeit  $i^*$

%Umfang

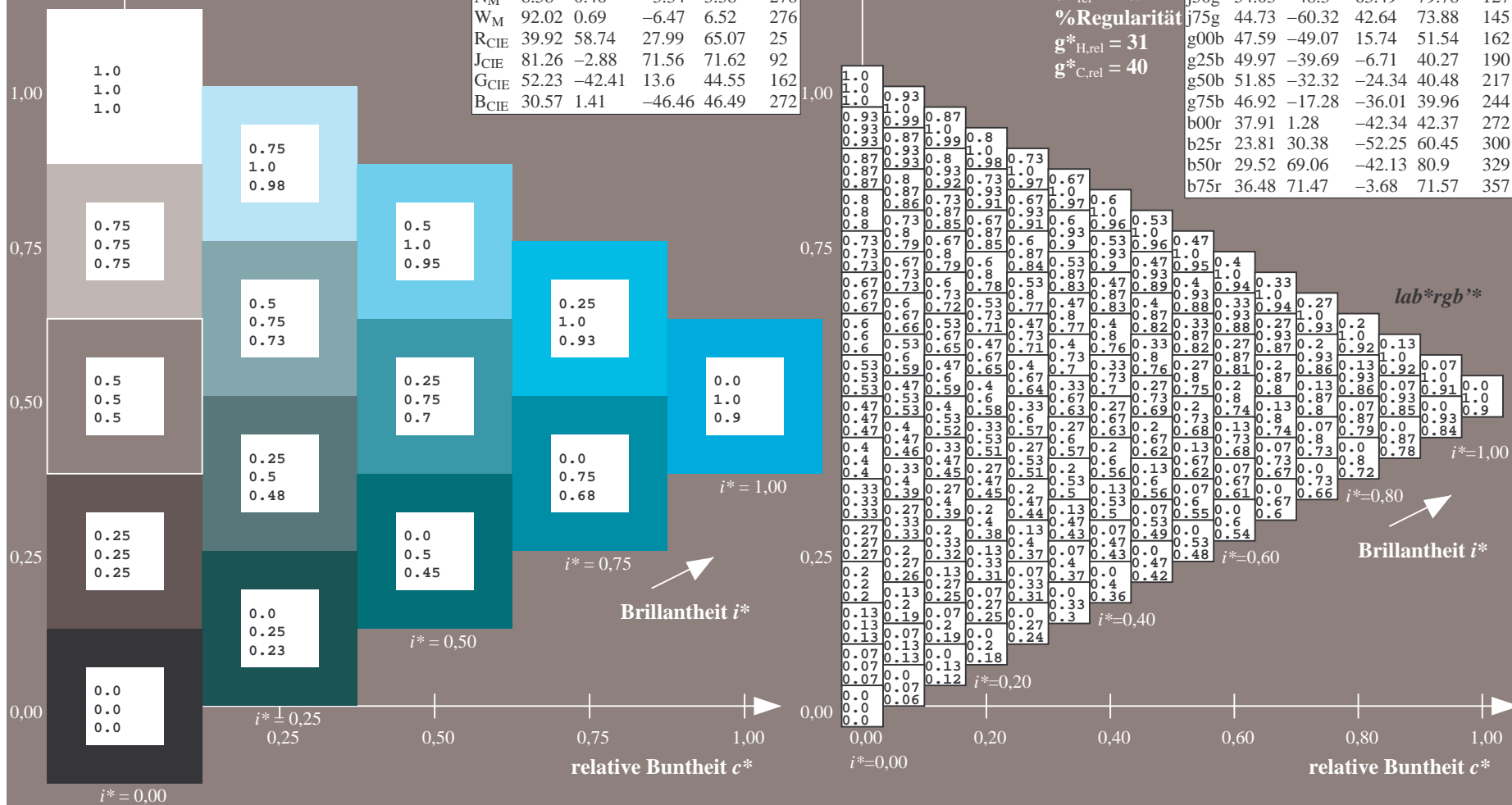
$u^*_{\text{rel}} = 109$

%Regularität

$g^*_{H,\text{rel}} = 31$

$g^*_{C,\text{rel}} = 40$

FRS09_92a; adaptierte CIELAB-Daten					
	$L^*=L^*_a$	$a^*_a$	$b^*_a$	$C^*_{ab,a}$	$h^*_{ab,a}$
r00j	35.47	63.32	30.17	70.15	25
r25j	39.12	54.56	49.45	73.64	42
r50j	50.64	39.15	64.89	75.79	59
r75j	64.01	21.26	82.83	85.52	76
j00g	83.18	-4.37	108.53	108.62	92
j25g	66.73	-29.88	83.06	88.28	110
j50g	54.03	-48.3	63.49	79.78	127
j75g	44.73	-60.32	42.64	73.88	145
g00b	47.59	-49.07	15.74	51.54	162
g25b	49.97	-39.69	-6.71	40.27	190
g50b	51.85	-32.32	-24.34	40.48	217
g75b	46.92	-17.28	-36.01	39.96	244
b00r	37.91	1.28	-42.34	42.37	272
b25r	23.81	30.38	-52.25	60.45	300
b50r	29.52	69.06	-42.13	80.9	329
b75r	36.48	71.47	-3.68	71.57	357



Ein und Ausgabe: Farbmetrisches Drucker-Reflektiv-System FRS09\_92a für relativen CIELAB-Buntton  $h^* = lab^*h^* = h_{ab}/360 = 244/360 = 0.679$   $u^* = g75b$

Daten für jede Farbe:

$lab^*ch^*$  und  $lab^*icu^*$

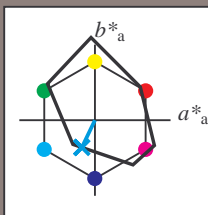
Elementar-Bunttontext:

$u^* = g75b$

Kontrastreduzierungsfaktor:

$c_R = 1.0$

Dreiecks-Helligkeit  $i^*$



FRS09\_92a; CIELAB-Daten

	$L^*=L^*$	$a^*$	$b^*$	$C^*_{ab}$	$h^*_{ab}$
O <sub>M</sub>	35.06	60.53	39.66	72.37	33
Y <sub>M</sub>	83.77	-4.49	103.15	103.25	92
L <sub>M</sub>	44.13	-62.1	43.56	75.86	145
C <sub>M</sub>	52.66	-28.55	-36.98	46.73	232
V <sub>M</sub>	14.15	50.78	-62.59	80.61	309
M <sub>M</sub>	37.37	79.18	-37.92	87.8	334
N <sub>M</sub>	8.58	0.46	-3.34	3.38	278
W <sub>M</sub>	92.02	0.69	-6.47	6.52	276
R <sub>CIE</sub>	39.92	58.74	27.99	65.07	25
J <sub>CIE</sub>	81.26	-2.88	71.56	71.62	92
G <sub>CIE</sub>	52.23	-42.41	13.6	44.55	162
B <sub>CIE</sub>	30.57	1.41	-46.46	46.49	272

Daten für Maximalfarbe (Ma):

$LAB^*LAB^*_{Ma}$ : 47 -16 -35

$LAB^*LCH^*_{Ma}$ : 47 40 244

$lab^*rgb^*_{Ma}$ : 0.0 0.5 1.0

$lab^*olv^*_{Ma}$ : 0.0 0.85 1.0

Dreiecks-Helligkeit  $i^*$

%Umfang

$u^*_{rel} = 109$

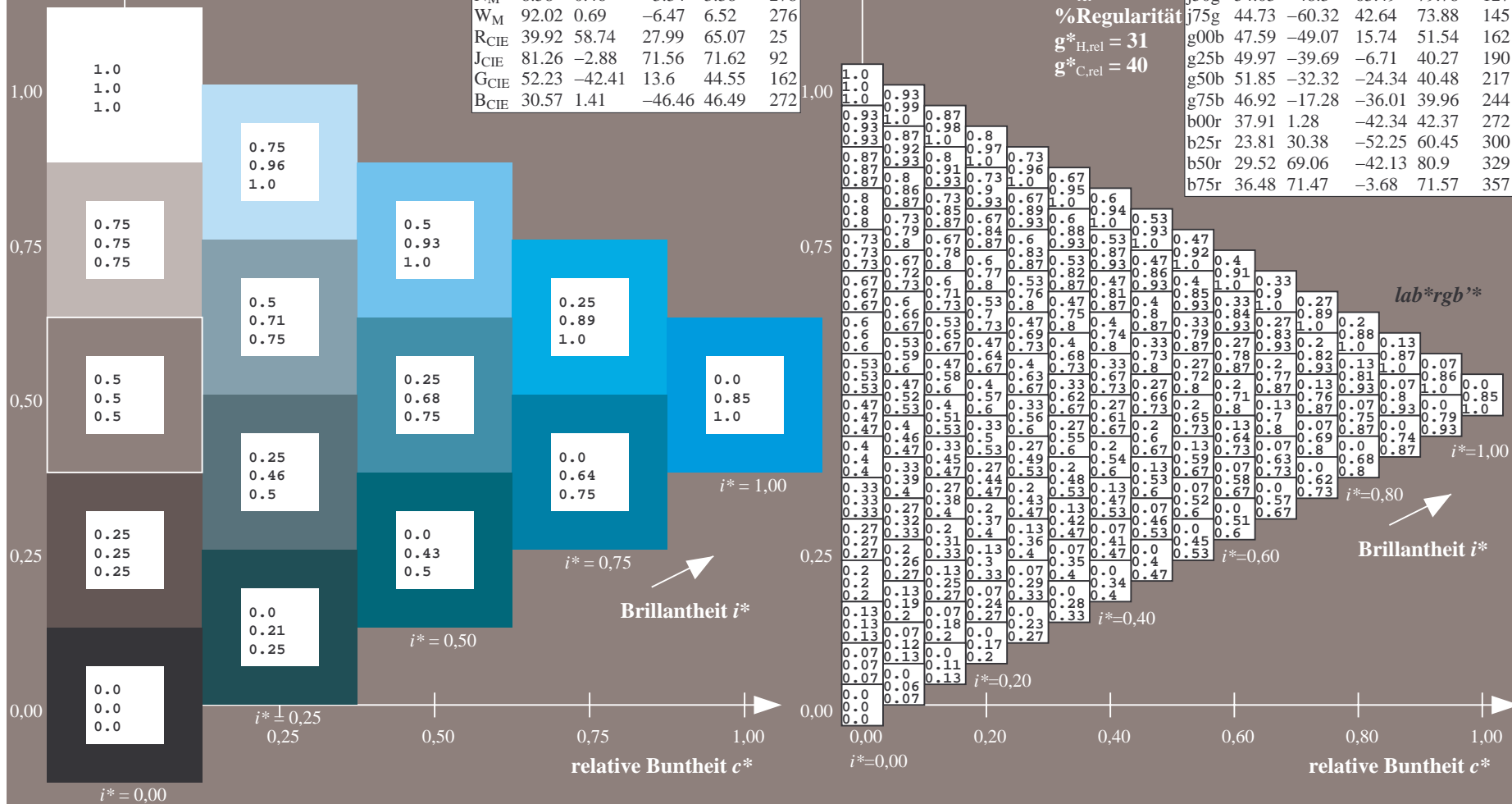
%Regularität

$g^*_{H,rel} = 31$

$g^*_{C,rel} = 40$

FRS09\_92a; adaptierte CIELAB-Daten

	$L^*=L^*_a$	$a^*_a$	$b^*_a$	$C^*_{ab,a}$	$h^*_{ab,a}$
r00j	35.47	63.32	30.17	70.15	25
r25j	39.12	54.56	49.45	73.64	42
r50j	50.64	39.15	64.89	75.79	59
r75j	64.01	21.26	82.83	85.52	76
j00g	83.18	-4.37	108.53	108.62	92
j25g	66.73	-29.88	83.06	88.28	110
j50g	54.03	-48.3	63.49	79.78	127
j75g	44.73	-60.32	42.64	73.88	145
g00b	47.59	-49.07	15.74	51.54	162
g25b	49.97	-39.69	-6.71	40.27	190
g50b	51.85	-32.32	-24.34	40.48	217
g75b	46.92	-17.28	-36.01	39.96	244
b00r	37.91	1.28	-42.34	42.37	272
b25r	23.81	30.38	-52.25	60.45	300
b50r	29.52	69.06	-42.13	80.9	329
b75r	36.48	71.47	-3.68	71.57	357





Ein und Ausgabe: Farbmimetrisches Drucker-Reflektiv-System FRS09\_92a für relativen CIELAB-Buntton  $h^* = lab^*h^* = h_{ab}/360 = 272/360 = 0.755$   $u^* = b00r$

Daten für jede Farbe:

$lab^*ch^*$  und  $lab^*icu^*$

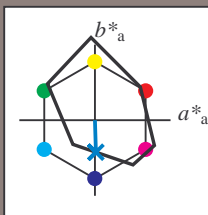
Elementar-Bunttontext:

$u^* = b00r$

Kontrastreduzierungsfaktor:

$c_R = 1.0$

Dreiecks-Helligkeit  $i^*$



FRS09\_92a; CIELAB-Daten

	$L^*=L^*$	$a^*$	$b^*$	$C^*_{ab}$	$h^*_{ab}$
O <sub>M</sub>	35.06	60.53	39.66	72.37	33
Y <sub>M</sub>	83.77	-4.49	103.15	103.25	92
L <sub>M</sub>	44.13	-62.1	43.56	75.86	145
C <sub>M</sub>	52.66	-28.55	-36.98	46.73	232
V <sub>M</sub>	14.15	50.78	-62.59	80.61	309
M <sub>M</sub>	37.37	79.18	-37.92	87.8	334
N <sub>M</sub>	8.58	0.46	-3.34	3.38	278
W <sub>M</sub>	92.02	0.69	-6.47	6.52	276
R <sub>CIE</sub>	39.92	58.74	27.99	65.07	25
J <sub>CIE</sub>	81.26	-2.88	71.56	71.62	92
G <sub>CIE</sub>	52.23	-42.41	13.6	44.55	162
B <sub>CIE</sub>	30.57	1.41	-46.46	46.49	272

Daten für Maximalfarbe (Ma):

$LAB^*LAB^*_{Ma}$ : 38 1 -41

$LAB^*LCH^*_{Ma}$ : 38 42 272

$lab^*rgb^*_{Ma}$ : 0.0 0.0 1.0

$lab^*olv^*_{Ma}$ : 0.0 0.62 1.0

Dreiecks-Helligkeit  $i^*$

%Umfang

$u^*_{rel} = 109$

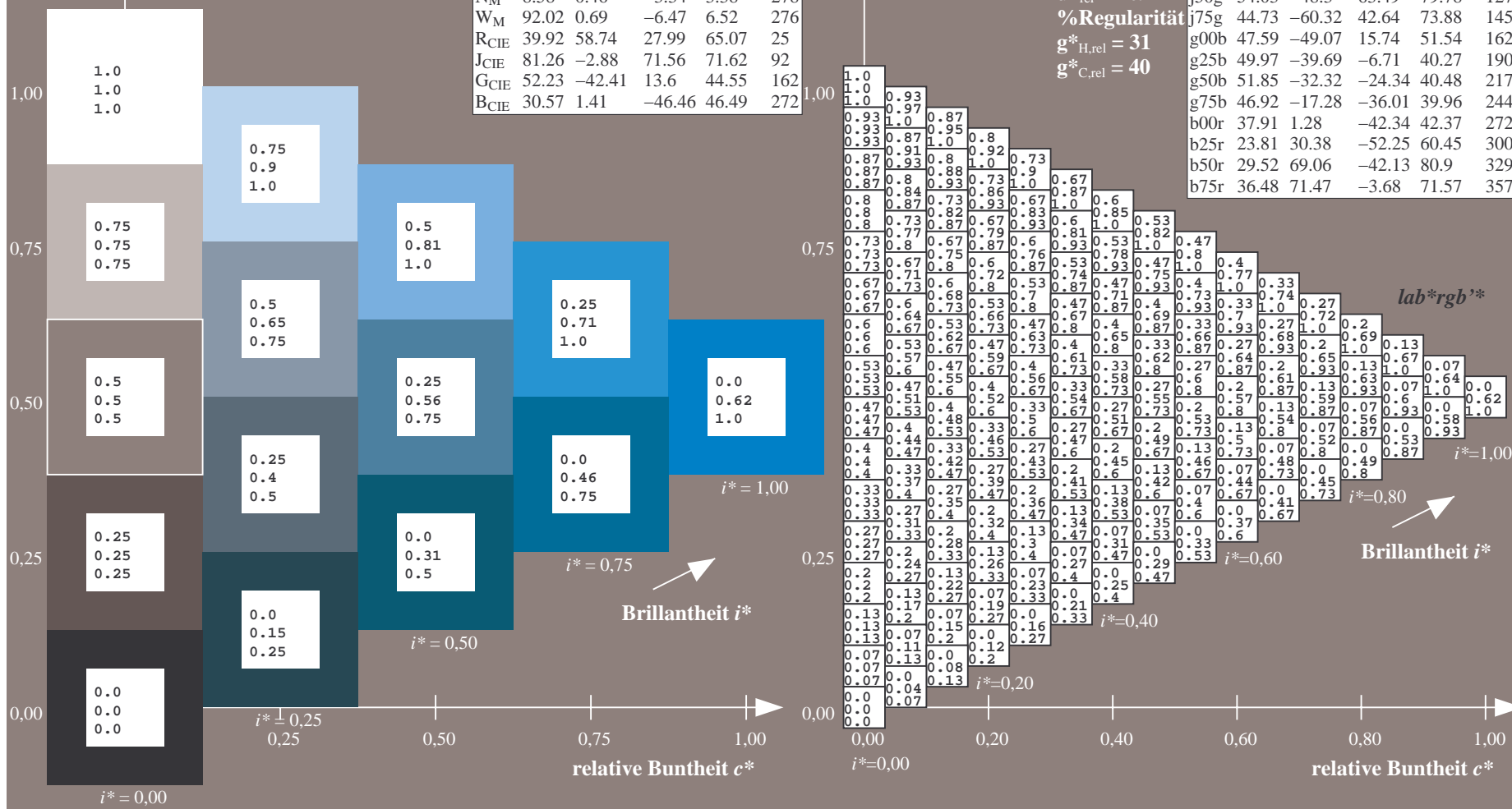
%Regularität

$g^*_{H,rel} = 31$

$g^*_{C,rel} = 40$

FRS09\_92a; adaptierte CIELAB-Daten

	$L^*=L^*_a$	$a^*_a$	$b^*_a$	$C^*_{ab,a}$	$h^*_{ab,a}$
r00j	35.47	63.32	30.17	70.15	25
r25j	39.12	54.56	49.45	73.64	42
r50j	50.64	39.15	64.89	75.79	59
r75j	64.01	21.26	82.83	85.52	76
j00g	83.18	-4.37	108.53	108.62	92
j25g	66.73	-29.88	83.06	88.28	110
j50g	54.03	-48.3	63.49	79.78	127
j75g	44.73	-60.32	42.64	73.88	145
g00b	47.59	-49.07	15.74	51.54	162
g25b	49.97	-39.69	-6.71	40.27	190
g50b	51.85	-32.32	-24.34	40.48	217
g75b	46.92	-17.28	-36.01	39.96	244
b00r	37.91	1.28	-42.34	42.37	272
b25r	23.81	30.38	-52.25	60.45	300
b50r	29.52	69.06	-42.13	80.9	329
b75r	36.48	71.47	-3.68	71.57	357



Ein und Ausgabe: Farbmetrisches Drucker-Reflektiv-System FRS09\_92a für relativen CIELAB-Buntton  $h^* = lab^*h^* = h_{ab}/360 = 300/360 = 0.834$   $u^* = b25r$

Daten für jede Farbe:

$lab^*ch^*$  und  $lab^*icu^*$

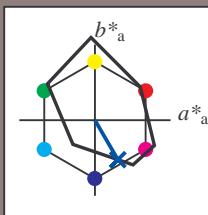
Elementar-Bunttontext:

$u^* = b25r$

Kontrastreduzierungsfaktor:

$c_R = 1.0$

Dreiecks-Helligkeit  $i^*$



FRS09\_92a; CIELAB-Daten

	$L^*=L^*$	$a^*$	$b^*$	$C^*_{ab}$	$h^*_{ab}$
O <sub>M</sub>	35.06	60.53	39.66	72.37	33
Y <sub>M</sub>	83.77	-4.49	103.15	103.25	92
L <sub>M</sub>	44.13	-62.1	43.56	75.86	145
C <sub>M</sub>	52.66	-28.55	-36.98	46.73	232
V <sub>M</sub>	14.15	50.78	-62.59	80.61	309
M <sub>M</sub>	37.37	79.18	-37.92	87.8	334
N <sub>M</sub>	8.58	0.46	-3.34	3.38	278
W <sub>M</sub>	92.02	0.69	-6.47	6.52	276
R <sub>CIE</sub>	39.92	58.74	27.99	65.07	25
J <sub>CIE</sub>	81.26	-2.88	71.56	71.62	92
G <sub>CIE</sub>	52.23	-42.41	13.6	44.55	162
B <sub>CIE</sub>	30.57	1.41	-46.46	46.49	272

Daten für Maximalfarbe (Ma):

$LAB^*LAB^*_{Ma}$ : 24 30 -51

$LAB^*LCH^*_{Ma}$ : 24 60 300

$lab^*rgb^*_{Ma}$ : 0.5 0.0 1.0

$lab^*olv^*_{Ma}$ : 0.0 0.25 1.0

Dreiecks-Helligkeit  $i^*$

%Umfang

$u^*_{rel} = 109$

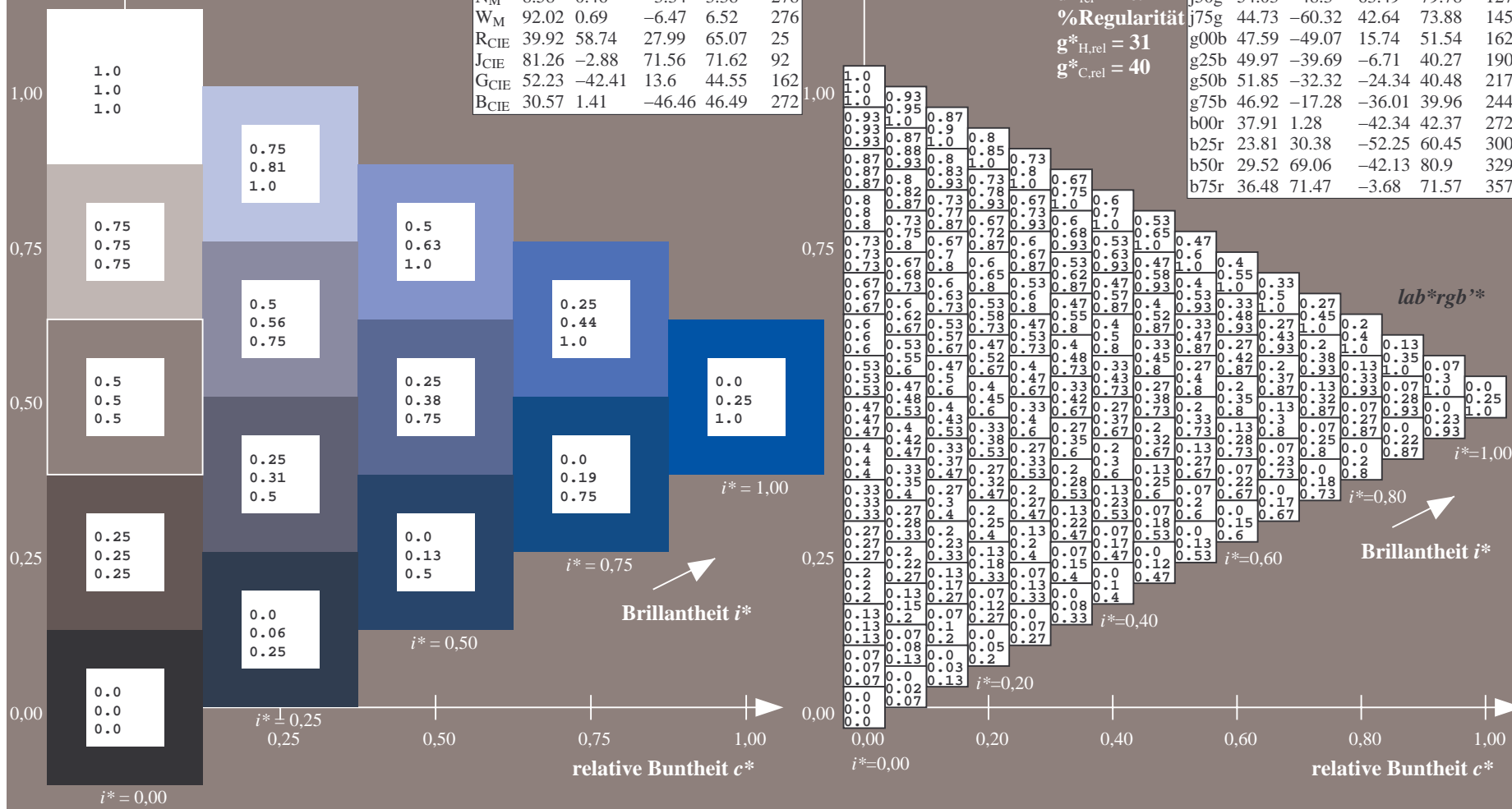
%Regularität

$g^*_{H,rel} = 31$

$g^*_{C,rel} = 40$

FRS09\_92a; adaptierte CIELAB-Daten

	$L^*=L^*_a$	$a^*_a$	$b^*_a$	$C^*_{ab,a}$	$h^*_{ab,a}$
r00j	35.47	63.32	30.17	70.15	25
r25j	39.12	54.56	49.45	73.64	42
r50j	50.64	39.15	64.89	75.79	59
r75j	64.01	21.26	82.83	85.52	76
j00g	83.18	-4.37	108.53	108.62	92
j25g	66.73	-29.88	83.06	88.28	110
j50g	54.03	-48.3	63.49	79.78	127
j75g	44.73	-60.32	42.64	73.88	145
g00b	47.59	-49.07	15.74	51.54	162
g25b	49.97	-39.69	-6.71	40.27	190
g50b	51.85	-32.32	-24.34	40.48	217
g75b	46.92	-17.28	-36.01	39.96	244
b00r	37.91	1.28	-42.34	42.37	272
b25r	23.81	30.38	-52.25	60.45	300
b50r	29.52	69.06	-42.13	80.9	329
b75r	36.48	71.47	-3.68	71.57	357



Ein und Ausgabe: Farbmetrisches Drucker-Reflektiv-System FRS09\_92a für relativen CIELAB-Buntton  $h^* = lab^*h^* = h_{ab}/360 = 329/360 = 0.913$   $u^* = b50r$

Daten für jede Farbe:

$lab^*ch^*$  und  $lab^*icu^*$

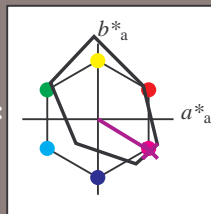
Elementar-Bunttontext:

$u^* = b50r$

Kontrastreduzierungsfaktor:

$c_R = 1.0$

Dreiecks-Helligkeit  $i^*$



FRS09\_92a; CIELAB-Daten

	$L^*=L^*$	$a^*$	$b^*$	$C^*_{ab}$	$h^*_{ab}$
O <sub>M</sub>	35.06	60.53	39.66	72.37	33
Y <sub>M</sub>	83.77	-4.49	103.15	103.25	92
L <sub>M</sub>	44.13	-62.1	43.56	75.86	145
C <sub>M</sub>	52.66	-28.55	-36.98	46.73	232
V <sub>M</sub>	14.15	50.78	-62.59	80.61	309
M <sub>M</sub>	37.37	79.18	-37.92	87.8	334
N <sub>M</sub>	8.58	0.46	-3.34	3.38	278
W <sub>M</sub>	92.02	0.69	-6.47	6.52	276
R <sub>CIE</sub>	39.92	58.74	27.99	65.07	25
J <sub>CIE</sub>	81.26	-2.88	71.56	71.62	92
G <sub>CIE</sub>	52.23	-42.41	13.6	44.55	162
B <sub>CIE</sub>	30.57	1.41	-46.46	46.49	272

Daten für Maximalfarbe (Ma):

$LAB^*LAB^*_{Ma}$ : 30 69 -41

$LAB^*LCH^*_{Ma}$ : 30 81 329

$lab^*rgb^*_{Ma}$ : 1.0 0.0 1.0

$lab^*olv^*_{Ma}$ : 0.66 0.0 1.0

Dreiecks-Helligkeit  $i^*$

%Umfang

$u^*_{rel} = 109$

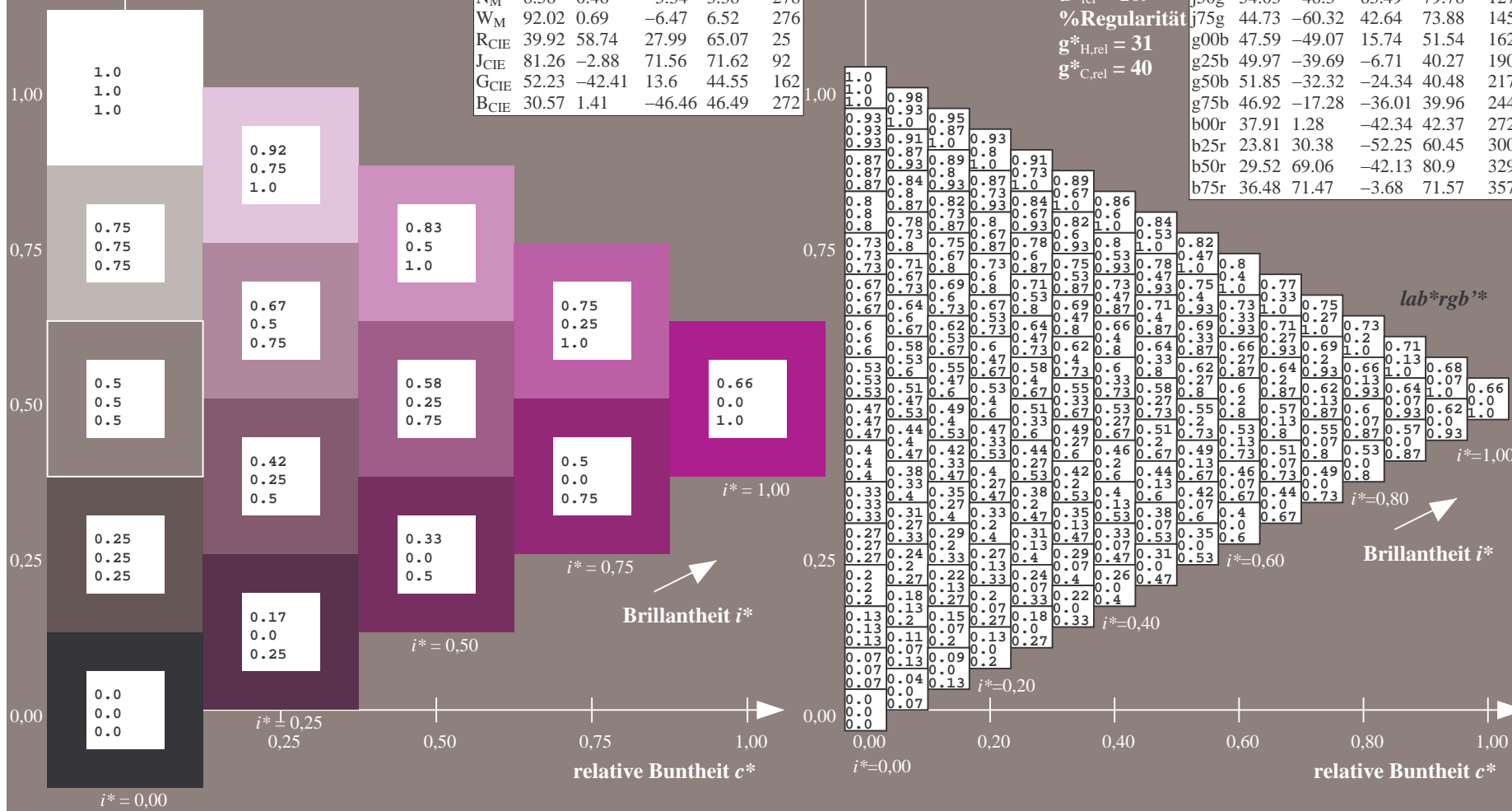
%Regularität

$g^*_{H,rel} = 31$

$g^*_{C,rel} = 40$

FRS09\_92a; adaptierte CIELAB-Daten

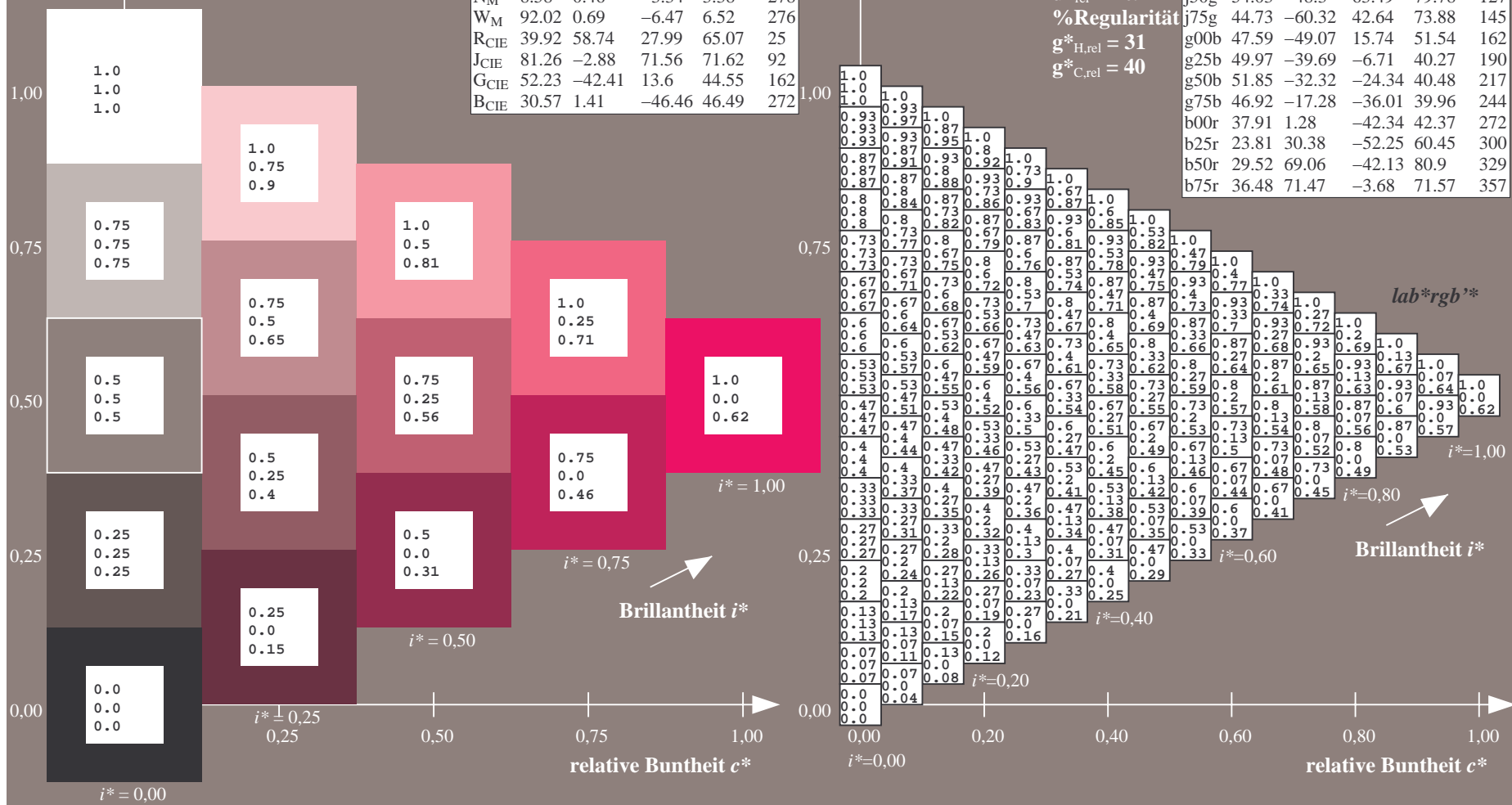
	$L^*=L^*_a$	$a^*_a$	$b^*_a$	$C^*_{ab,a}$	$h^*_{ab,a}$
r00j	35.47	63.32	30.17	70.15	25
r25j	39.12	54.56	49.45	73.64	42
r50j	50.64	39.15	64.89	75.79	59
r75j	64.01	21.26	82.83	85.52	76
j00g	83.18	-4.37	108.53	108.62	92
j25g	66.73	-29.88	83.06	88.28	110
j50g	54.03	-48.3	63.49	79.78	127
j75g	44.73	-60.32	42.64	73.88	145
g00b	47.59	-49.07	15.74	51.54	162
g25b	49.97	-39.69	-6.71	40.27	190
g50b	51.85	-32.32	-24.34	40.48	217
g75b	46.92	-17.28	-36.01	39.96	244
b00r	37.91	1.28	-42.34	42.37	272
b25r	23.81	30.38	-52.25	60.45	300
b50r	29.52	69.06	-42.13	80.9	329
b75r	36.48	71.47	-3.68	71.57	357



0



r00j	35.47	63.32	30.17	70.15	25
r25j	39.12	54.56	49.45	73.64	42
r50j	50.64	39.15	64.89	75.79	59
r75j	64.01	21.26	82.83	85.52	76
j00g	83.18	-4.37	108.53	108.62	92
j25g	66.73	-29.88	83.06	88.28	110
j50g	54.03	-48.3	63.49	79.78	127
j75g	44.73	-60.32	42.64	73.88	145
g00b	47.59	-49.07	15.74	51.54	162
g25b	49.97	-39.69	-6.71	40.27	190
g50b	51.85	-32.32	-24.34	40.48	217
g75b	46.92	-17.28	-36.01	39.96	244
b00r	37.91	1.28	-42.34	42.37	272
b25r	23.81	30.38	-52.25	60.45	300
b50r	29.52	69.06	-42.13	80.9	329
b75r	36.48	71.47	-3.68	71.57	357





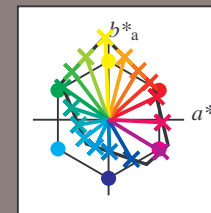
Siehe ähnliche Dateien: <http://www.ps.bam.de/Dg96/>; [www.ps.bam.de/Dg96/](http://www.ps.bam.de/Dg96/Version 2.1, io=1,1, ColSpX=0); [www.ps.bam.de/Dg96/](http://www.ps.bam.de/Dg96/Version 2.1, io=1,1, ColSpX=0)  
Technische Information: <http://www.ps.bam.de/Version 2.1, io=1,1, ColSpX=0>

	A	B	C	D	E	F	G	H	I	J	K	L	M	N	O	P	Q	R	S	T	U	V	W	X	Y	Z	a	b	c	d	e	f	g	h	i	j	k	lab*rgb*			
01	0.0	0.0	0.0	0.0	0.0	0.0	0.0	0.0	0.0	0.0	0.13	0.13	0.13	0.13	0.13	0.13	0.13	0.13	0.25	0.25	0.25	0.25	0.25	0.25	0.25	0.25	0.25	0.25	1.0	1.0	1.0	1.0	1.0	1.0	1.0	1.0	1.0	1.0	0.0	0.0	
	0.0	0.13	0.25	0.38	0.5	0.63	0.75	0.88	1.0	0.0	0.13	0.25	0.38	0.5	0.63	0.75	0.88	1.0	0.0	0.13	0.25	0.38	0.5	0.63	0.75	0.88	1.0	1.0	0.88	0.75	0.63	0.5	0.38	0.25	0.13	0.0	0.0	0.0	0.0	0.0	
	0.0	0.0	0.0	0.0	0.0	0.0	0.0	0.0	0.0	0.0	0.0	0.0	0.0	0.0	0.0	0.0	0.0	0.0	0.0	0.0	0.0	0.0	0.0	0.0	0.0	0.0	0.0	1.0	0.88	0.75	0.63	0.5	0.38	0.25	0.13	0.0	0.0	0.0	0.0	0.0	
02	0.0	0.0	0.0	0.0	0.0	0.0	0.0	0.0	0.0	0.0	0.13	0.13	0.13	0.13	0.13	0.13	0.13	0.13	0.25	0.25	0.25	0.25	0.25	0.25	0.25	0.25	0.25	0.88	0.88	0.88	0.88	0.88	0.88	0.88	0.88	0.88	0.88	0.13	0.13	0.13	0.13
	0.0	0.13	0.25	0.38	0.5	0.63	0.75	0.88	1.0	0.0	0.13	0.25	0.38	0.5	0.63	0.75	0.88	1.0	0.0	0.13	0.25	0.38	0.5	0.63	0.75	0.88	1.0	1.0	0.88	0.75	0.63	0.5	0.38	0.25	0.13	0.0	0.13	0.13	0.13	0.13	
	0.13	0.13	0.13	0.13	0.13	0.13	0.13	0.13	0.13	0.13	0.13	0.13	0.13	0.13	0.13	0.13	0.13	0.13	0.13	0.13	0.13	0.13	0.13	0.13	0.13	0.13	0.13	1.0	0.88	0.75	0.63	0.5	0.38	0.25	0.13	0.0	0.13	0.13	0.13	0.13	
03	0.0	0.0	0.0	0.0	0.0	0.0	0.0	0.0	0.0	0.0	0.13	0.13	0.13	0.13	0.13	0.13	0.13	0.13	0.25	0.25	0.25	0.25	0.25	0.25	0.25	0.25	0.25	0.75	0.75	0.75	0.75	0.75	0.75	0.75	0.75	0.75	0.75	0.25	0.25	0.25	0.25
	0.0	0.13	0.25	0.38	0.5	0.63	0.75	0.88	1.0	0.0	0.13	0.25	0.38	0.5	0.63	0.75	0.88	1.0	0.0	0.13	0.25	0.38	0.5	0.63	0.75	0.88	1.0	1.0	0.88	0.75	0.63	0.5	0.38	0.25	0.13	0.0	0.25	0.25	0.25	0.25	
	0.25	0.25	0.25	0.25	0.25	0.25	0.25	0.25	0.25	0.25	0.25	0.25	0.25	0.25	0.25	0.25	0.25	0.25	0.25	0.25	0.25	0.25	0.25	0.25	0.25	0.25	1.0	0.88	0.75	0.63	0.5	0.38	0.25	0.13	0.0	0.25	0.25	0.25	0.25		
04	0.0	0.0	0.0	0.0	0.0	0.0	0.0	0.0	0.0	0.0	0.13	0.13	0.13	0.13	0.13	0.13	0.13	0.13	0.25	0.25	0.25	0.25	0.25	0.25	0.25	0.25	0.25	0.63	0.63	0.63	0.63	0.63	0.63	0.63	0.63	0.63	0.63	0.38	0.38	0.38	0.38
	0.0	0.13	0.25	0.38	0.5	0.63	0.75	0.88	1.0	0.0	0.13	0.25	0.38	0.5	0.63	0.75	0.88	1.0	0.0	0.13	0.25	0.38	0.5	0.63	0.75	0.88	1.0	1.0	0.88	0.75	0.63	0.5	0.38	0.25	0.13	0.0	0.38	0.38	0.38	0.38	
	0.38	0.38	0.38	0.38	0.38	0.38	0.38	0.38	0.38	0.38	0.38	0.38	0.38	0.38	0.38	0.38	0.38	0.38	0.38	0.38	0.38	0.38	0.38	0.38	0.38	0.38	0.38	1.0	0.88	0.75	0.63	0.5	0.38	0.25	0.13	0.0	0.38	0.38	0.38	0.38	
05	0.0	0.0	0.0	0.0	0.0	0.0	0.0	0.0	0.0	0.0	0.13	0.13	0.13	0.13	0.13	0.13	0.13	0.13	0.25	0.25	0.25	0.25	0.25	0.25	0.25	0.25	0.25	0.5	0.5	0.5	0.5	0.5	0.5	0.5	0.5	0.5	0.5	0.5	0.5	0.5	0.5
	0.0	0.13	0.25	0.38	0.5	0.63	0.75	0.88	1.0	0.0	0.13	0.25	0.38	0.5	0.63	0.75	0.88	1.0	0.0	0.13	0.25	0.38	0.5	0.63	0.75	0.88	1.0	1.0	0.88	0.75	0.63	0.5	0.38	0.25	0.13	0.0	0.5	0.5	0.5	0.5	
	0.5	0.5	0.5	0.5	0.5	0.5	0.5	0.5	0.5	0.5	0.5	0.5	0.5	0.5	0.5	0.5	0.5	0.5	0.5	0.5	0.5	0.5	0.5	0.5	0.5	0.5	0.5	1.0	0.88	0.75	0.63	0.5	0.38	0.25	0.13	0.0	0.5	0.5	0.5	0.5	
06	0.0	0.0	0.0	0.0	0.0	0.0	0.0	0.0	0.0	0.0	0.13	0.13	0.13	0.13	0.13	0.13	0.13	0.13	0.25	0.25	0.25	0.25	0.25	0.25	0.25	0.25	0.25	0.38	0.38	0.38	0.38	0.38	0.38	0.38	0.38	0.38	0.38	0.63	0.63	0.63	0.63
	0.0	0.13	0.25	0.38	0.5	0.63	0.75	0.88	1.0	0.0	0.13	0.25	0.38	0.5	0.63	0.75	0.88	1.0	0.0	0.13	0.25	0.38	0.5	0.63	0.75	0.88	1.0	1.0	0.88	0.75	0.63	0.5	0.38	0.25	0.13	0.0	0.63	0.63	0.63	0.63	
	0.63	0.63	0.63	0.63	0.63	0.63	0.63	0.63	0.63	0.63	0.63	0.63	0.63	0.63	0.63	0.63	0.63	0.63	0.63	0.63	0.63	0.63	0.63	0.63	0.63	0.63	0.63	1.0	0.88	0.75	0.63	0.5	0.38	0.25	0.13	0.0	0.63	0.63	0.63	0.63	
07	0.0	0.0	0.0	0.0	0.0	0.0	0.0	0.0	0.0	0.0	0.13	0.13	0.13	0.13	0.13	0.13	0.13	0.13	0.25	0.25	0.25	0.25	0.25	0.25	0.25	0.25	0.25	0.25	0.25	0.25	0.25	0.25	0.25	0.25	0.25	0.25	0.25	0.75	0.75	0.75	0.75
	0.0	0.13	0.25	0.38	0.5	0.63	0.75	0.88	1.0	0.0	0.13	0.25	0.38	0.5	0.63	0.75	0.88	1.0	0.0	0.13	0.25	0.38	0.5	0.63	0.75	0.88	1.0	1.0	0.88	0.75	0.63	0.5	0.38	0.25	0.13	0.0	0.75	0.75	0.75	0.75	
	0.75	0.75	0.75	0.75	0.75	0.75	0.75	0.75	0.75	0.75	0.75	0.75	0.75	0.75	0.75	0.75	0.75	0.75	0.75	0.75	0.75	0.75	0.75	0.75	0.75	0.75	0.75	1.0	0.88	0.75	0.63	0.5	0.38	0.25	0.13	0.0	0.75	0.75	0.75	0.75	
08	0.0	0.0	0.0	0.0	0.0	0.0	0.0	0.0	0.0	0.0	0.13	0.13	0.13	0.13	0.13	0.13	0.13	0.13	0.25	0.25	0.25	0.25	0.25	0.25	0.25	0.25	0.25	0.13	0.13	0.13	0.13	0.13	0.13	0.13	0.13	0.13	0.13	0.88	0.88	0.88	0.88
	0.0	0.13	0.25	0.38	0.5	0.63	0.75	0.88	1.0	0.0	0.13	0.25	0.38	0.5	0.63	0.75	0.88	1.0	0.0	0.13	0.25	0.38	0.5	0.63	0.75	0.88	1.0	1.0	0.88	0.75	0.63	0.5	0.38	0.25	0.13	0.0	0.88	0.88	0.88	0.88	
	0.88	0.88	0.88	0.88	0.88	0.88	0.88	0.88	0.88	0.88	0.88	0.88	0.88	0.88	0.88	0.88	0.88	0.88	0.88	0.88	0.88	0.88	0.88	0.88	0.88	0.88	0.88	1.0	0.88	0.75	0.63	0.5	0.38	0.25	0.13	0.0	0.88	0.88	0.88	0.88	
09	0.0	0.0	0.0	0.0	0.0	0.0	0.0	0.0	0.0	0.0	0.13	0.13	0.13	0.13	0.13	0.13	0.13	0.13	0.25	0.25	0.25	0.25	0.25	0.25	0.25	0.25	0.25	0.0	0.0	0.0	0.0	0.0	0.0	0.0	0.0	0.0	0.0	1.0	1.0	1.0	1.0
	0.0	0.13	0.25	0.38	0.5	0.63	0.75	0.88	1.0	0.0	0.13	0.25	0.38	0.5	0.63	0.75	0.88	1.0	0.0	0.13	0.25	0.38	0.5	0.63	0.75	0.88	1.0	1.0	0.88	0.75	0.63	0.5	0.38	0.25	0.13	0.0	1.0	1.0	1.0	1.0	
	0.0	0.0	0.0	0.0	0.0	0.0	0.0	0.0	0.0	0.0	0.0	0.0	0.0	0.0	0.0	0.0	0.0	0.0	0.0	0.0	0.0	0.0	0.0	0.0	0.0	0.0	0.0	1.0	0.88	0.75	0.63	0.5	0.38	0.25	0.13	0.0	1.0	1.0	1.0	1.0	
10	0.38	0.38	0.38	0.38	0.38	0.38	0.38	0.38	0.38	0.38	0.5	0.5	0.5	0.5	0.5	0.5	0.5	0.5	0.63	0.63	0.63	0.63	0.63	0.63	0.63	0.63	0.63	1.0	1.0	1.0	1.0	1.0	1.0	1.0	1.0	1.0	1.0	0.0	0.0	0.0	0.0
	0.0	0.13	0.25	0.38	0.5	0.63	0.75	0.88	1.0	0.0	0.13	0.25	0.38	0.5	0.63	0.75	0.88	1.0	0.0	0.13	0.25	0.38	0.5	0.63	0.75	0.88	1.0	1.0	0.88	0.75	0.63	0.5	0.38	0.25	0.13	0.0	0.0	0.0	0.0	0.0	0.0
	0.38	0.38	0.38	0.38	0.38	0.38	0.38	0.38	0.38	0.38	0.5	0.5	0.5	0.5	0.5	0.5	0.5	0.5	0.63	0.63	0.63	0.63	0.63	0.63	0.63	0.63	0.63	0.88	0.88	0.88	0.88	0.88	0.88	0.88	0.88	0.88	0.88	0.07	0.07	0.07	0.07
11	0.0	0.13	0.25	0.38	0.5	0.63	0.75	0.88	1.0	0.0	0.13	0.25	0.38	0.5	0.63	0.75	0.88	1.0	0.0	0.13	0.25	0.38	0.5	0.63	0.75	0.88	1.0	0.88	0.88	0.88	0.88	0.88	0.88	0.88	0.88	0.88	0.07	0.07	0.07	0.07	
	0.13	0.13	0.13	0.13	0.13	0.13	0.13	0.13	0.13	0.13	0.13	0.13	0.13	0.13	0.13	0.13	0.13	0.13	0.13	0.13	0.13	0.13	0.13	0.13	0.13	0.13	1.0	0.88	0.75	0.63	0.5	0.38	0.25	0.13	0.0	0.07	0.07	0.07	0.07		
12	0.38	0.38	0.38	0.38	0.38	0.38	0.38	0.38	0.38	0.38	0.5	0.5	0.5	0.5	0.5	0.5	0.5	0.5	0.63	0.63	0.63	0.63	0.63	0.63	0.63	0.63	0.63	0.75	0.75	0.75	0.75	0.75	0.75	0.75	0.75	0.75	0.75	0.13	0.13	0.13	0.13
	0.0	0.13	0.25	0.38	0.5	0.63	0.75	0.88	1.0	0.0	0.13	0.25	0.38	0.5	0.63	0.75	0.88	1.0	0.0	0.13	0.25	0.38	0.5	0.63	0.75	0.88	1.0	1.0	0.75	0.75	0.75	0.75	0.75	0.75	0.75	0.75	0.13	0.13	0.		

BAM-Registrierung: 20080701-Dg96/10L/L96G00NA.PS/.TXTBAM-Material: Code=th4ta  
Anwendung für Beurteilung und Messung von Drucker- oder Monitorsystemen

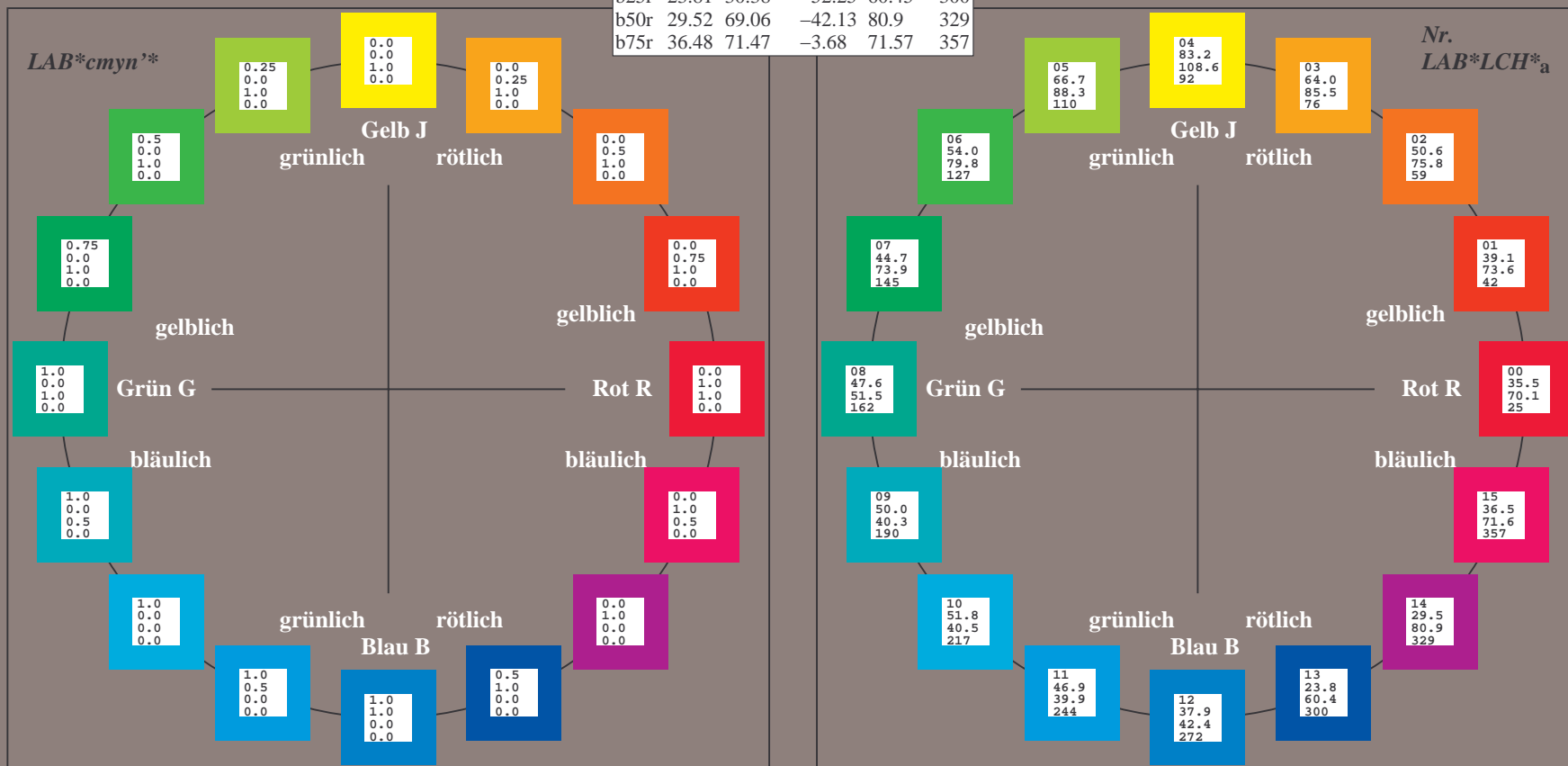
Ein und Ausgabe:  
Farbmetrisches Drucker-Reflektiv-System FRS09\_92a  
Daten für jede Farbe:  
*lab\*<sub>rch</sub>\** und *lab\*<sub>icu</sub>\**  
Elementar-Bunttontext:  
*u\** = 16 Buntttöne *r00j*, *r25j*, ..., *b75r*  
Kontrastreduzierungsfaktor:  
 $c_R = 1.0$

FRS09_92a; adaptierte CIELAB-Daten					
	$L^*=L^*_a$	$a^*_a$	$b^*_a$	$C^*_{ab,a}$	$h^*_{ab,a}$
r00j	35.47	63.32	30.17	70.15	25
r25j	39.12	54.56	49.45	73.64	42
r50j	50.64	39.15	64.89	75.79	59
r75j	64.01	21.26	82.83	85.52	76
j00g	83.18	-4.37	108.53	108.62	92
j25g	66.73	-29.88	83.06	88.28	110
j50g	54.03	-48.3	63.49	79.78	127
j75g	44.73	-60.32	42.64	73.88	145
g00b	47.59	-49.07	15.74	51.54	162
g25b	49.97	-39.69	-6.71	40.27	190
g50b	51.85	-32.32	-24.34	40.48	217
g75b	46.92	-17.28	-36.01	39.96	244
b00r	37.91	1.28	-42.34	42.37	272
b25r	23.81	30.38	-52.25	60.45	300
b50r	29.52	69.06	-42.13	80.9	329
b75r	36.48	71.47	-3.68	71.57	357



%Umfang  
 $u^*_{rel} = 109$   
%Regularität  
 $g^*_{H,rel} = 31$   
 $g^*_{C,rel} = 40$

FRS09_92a; CIELAB-Daten					
	$L^*=L^*$	$a^*$	$b^*$	$C^*_{ab}$	$h^*_{ab}$
O <sub>M</sub>	35.06	60.53	39.66	72.37	33
Y <sub>M</sub>	83.77	-4.49	103.15	103.25	92
L <sub>M</sub>	44.13	-62.1	43.56	75.86	145
C <sub>M</sub>	52.66	-28.55	-36.98	46.73	232
V <sub>M</sub>	14.15	50.78	-62.59	80.61	309
M <sub>M</sub>	37.37	79.18	-37.92	87.8	334
N <sub>M</sub>	8.58	0.46	-3.34	3.38	278
W <sub>M</sub>	92.02	0.69	-6.47	6.52	276
R <sub>CIE</sub>	39.92	58.74	27.99	65.07	25
J <sub>CIE</sub>	81.26	-2.88	71.56	71.62	92
G <sub>CIE</sub>	52.23	-42.41	13.6	44.55	162
B <sub>CIE</sub>	30.57	1.41	-46.46	46.49	272



Ein und Ausgabe: Farbmetrisches Drucker-Reflektiv-System FRS09\_92a für relativen CIELAB-Buntton  $h^* = lab^*h^* = h_{ab}/360 = 25/360 = 0.071$   $u^* = r00j$

Daten für jede Farbe:

$lab^*ch^*$  und  $lab^*icu^*$

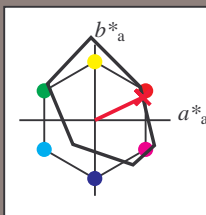
Elementar-Bunttontext:

$u^* = r00j$

Kontrastreduzierungsfaktor:

$c_R = 1.0$

Dreiecks-Helligkeit  $i^*$



FRS09_92a; CIELAB-Daten					
	$L^*=L^*$	$a^*$	$b^*$	$C^*_{ab}$	$h^*_{ab}$
O <sub>M</sub>	35.06	60.53	39.66	72.37	33
Y <sub>M</sub>	83.77	-4.49	103.15	103.25	92
L <sub>M</sub>	44.13	-62.1	43.56	75.86	145
C <sub>M</sub>	52.66	-28.55	-36.98	46.73	232
V <sub>M</sub>	14.15	50.78	-62.59	80.61	309
M <sub>M</sub>	37.37	79.18	-37.92	87.8	334
N <sub>M</sub>	8.58	0.46	-3.34	3.38	278
W <sub>M</sub>	92.02	0.69	-6.47	6.52	276
R <sub>CIE</sub>	39.92	58.74	27.99	65.07	25
J <sub>CIE</sub>	81.26	-2.88	71.56	71.62	92
G <sub>CIE</sub>	52.23	-42.41	13.6	44.55	162
B <sub>CIE</sub>	30.57	1.41	-46.46	46.49	272

Daten für Maximalfarbe (Ma):

$LAB^*LAB^*_{Ma}$ : 35 63 30

$LAB^*LCH^*_{Ma}$ : 35 70 25

$lab^*rgb^*_{Ma}$ : 1.0 0.0 0.0

$lab^*olv^*_{Ma}$ : 1.0 0.0 0.18

Dreiecks-Helligkeit  $i^*$

%Umfang

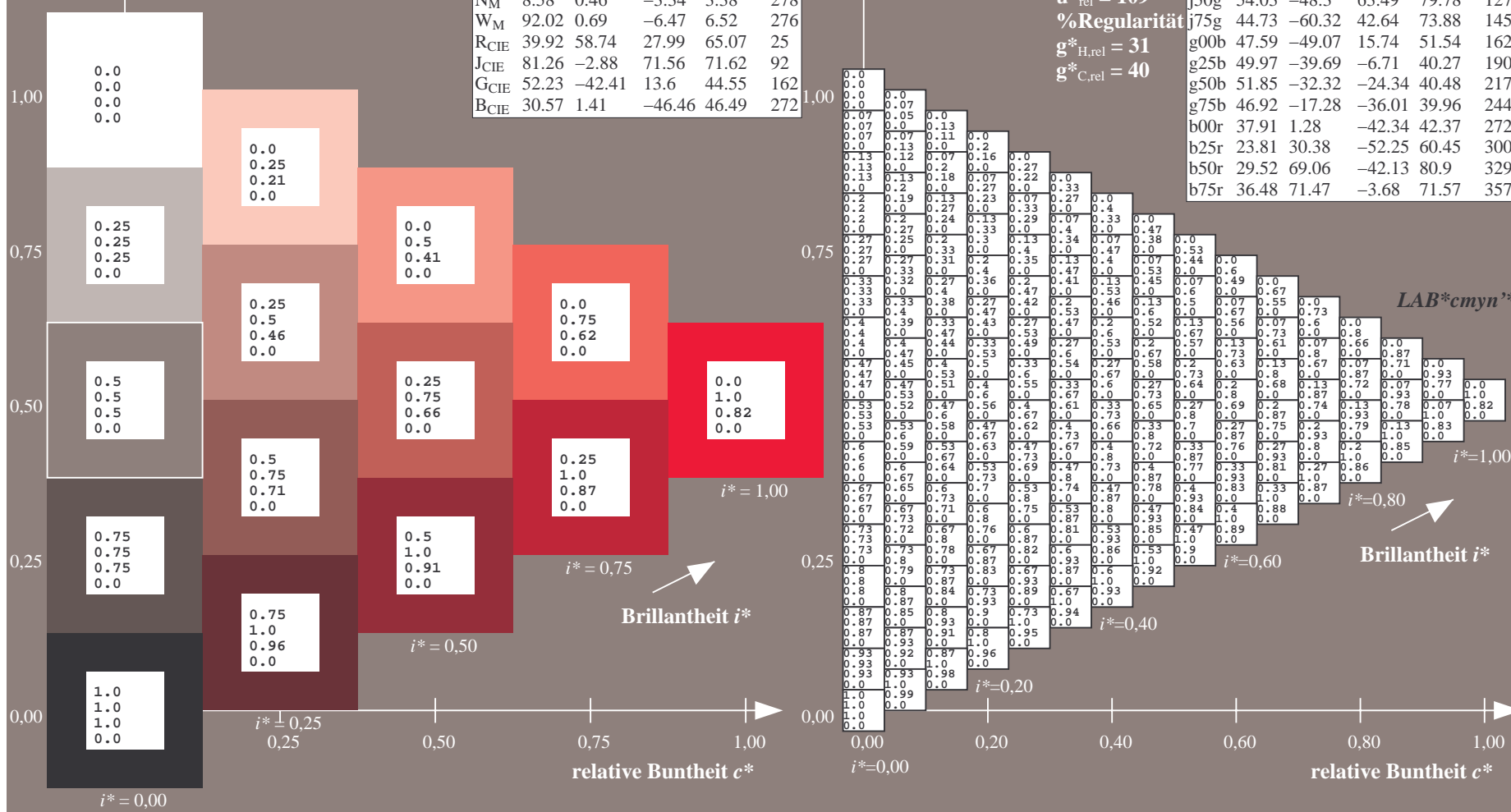
$u^*_{rel} = 109$

%Regularität

$g^*_{H,rel} = 31$

$g^*_{C,rel} = 40$

FRS09_92a; adaptierte CIELAB-Daten					
	$L^*=L^*_a$	$a^*_a$	$b^*_a$	$C^*_{ab,a}$	$h^*_{ab,a}$
r00j	35.47	63.32	30.17	70.15	25
r25j	39.12	54.56	49.45	73.64	42
r50j	50.64	39.15	64.89	75.79	59
r75j	64.01	21.26	82.83	85.52	76
j00g	83.18	-4.37	108.53	108.62	92
j25g	66.73	-29.88	83.06	88.28	110
j50g	54.03	-48.3	63.49	79.78	127
j75g	44.73	-60.32	42.64	73.88	145
g00b	47.59	-49.07	15.74	51.54	162
g25b	49.97	-39.69	-6.71	40.27	190
g50b	51.85	-32.32	-24.34	40.48	217
g75b	46.92	-17.28	-36.01	39.96	244
b00r	37.91	1.28	-42.34	42.37	272
b25r	23.81	30.38	-52.25	60.45	300
b50r	29.52	69.06	-42.13	80.9	329
b75r	36.48	71.47	-3.68	71.57	357



Ein und Ausgabe: Farbmetrisches Drucker-Reflektiv-System FRS09\_92a für relativen CIELAB-Buntton  $h^* = lab^*h^* = h_{ab}/360 = 42/360 = 0.117$   $u^* = r25j$

Daten für jede Farbe:

$lab^*ch^*$  und  $lab^*icu^*$

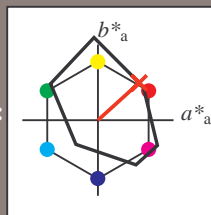
Elementar-Bunttontext:

$u^* = r25j$

Kontrastreduzierungsfaktor:

$c_R = 1.0$

Dreiecks-Helligkeit  $i^*$



FRS09_92a; CIELAB-Daten					
	$L^*=L^*$	$a^*$	$b^*$	$C^*_{ab}$	$h^*_{ab}$
O <sub>M</sub>	35.06	60.53	39.66	72.37	33
Y <sub>M</sub>	83.77	-4.49	103.15	103.25	92
L <sub>M</sub>	44.13	-62.1	43.56	75.86	145
C <sub>M</sub>	52.66	-28.55	-36.98	46.73	232
V <sub>M</sub>	14.15	50.78	-62.59	80.61	309
M <sub>M</sub>	37.37	79.18	-37.92	87.8	334
W <sub>M</sub>	8.58	0.46	-3.34	3.38	278
N <sub>M</sub>	92.02	0.69	-6.47	6.52	276
R <sub>CIE</sub>	39.92	58.74	27.99	65.07	25
J <sub>CIE</sub>	81.26	-2.88	71.56	71.62	92
G <sub>CIE</sub>	52.23	-42.41	13.6	44.55	162
B <sub>CIE</sub>	30.57	1.41	-46.46	46.49	272

Daten für Maximalfarbe (Ma):

$LAB^*LAB^*_{Ma}$ : 39 55 49

$LAB^*LCH^*_{Ma}$ : 39 74 42

$lab^*rgb^*_{Ma}$ : 1.0 0.25 0.0

$lab^*olv^*_{Ma}$ : 1.0 0.08 0.0

Dreiecks-Helligkeit  $i^*$

%Umfang

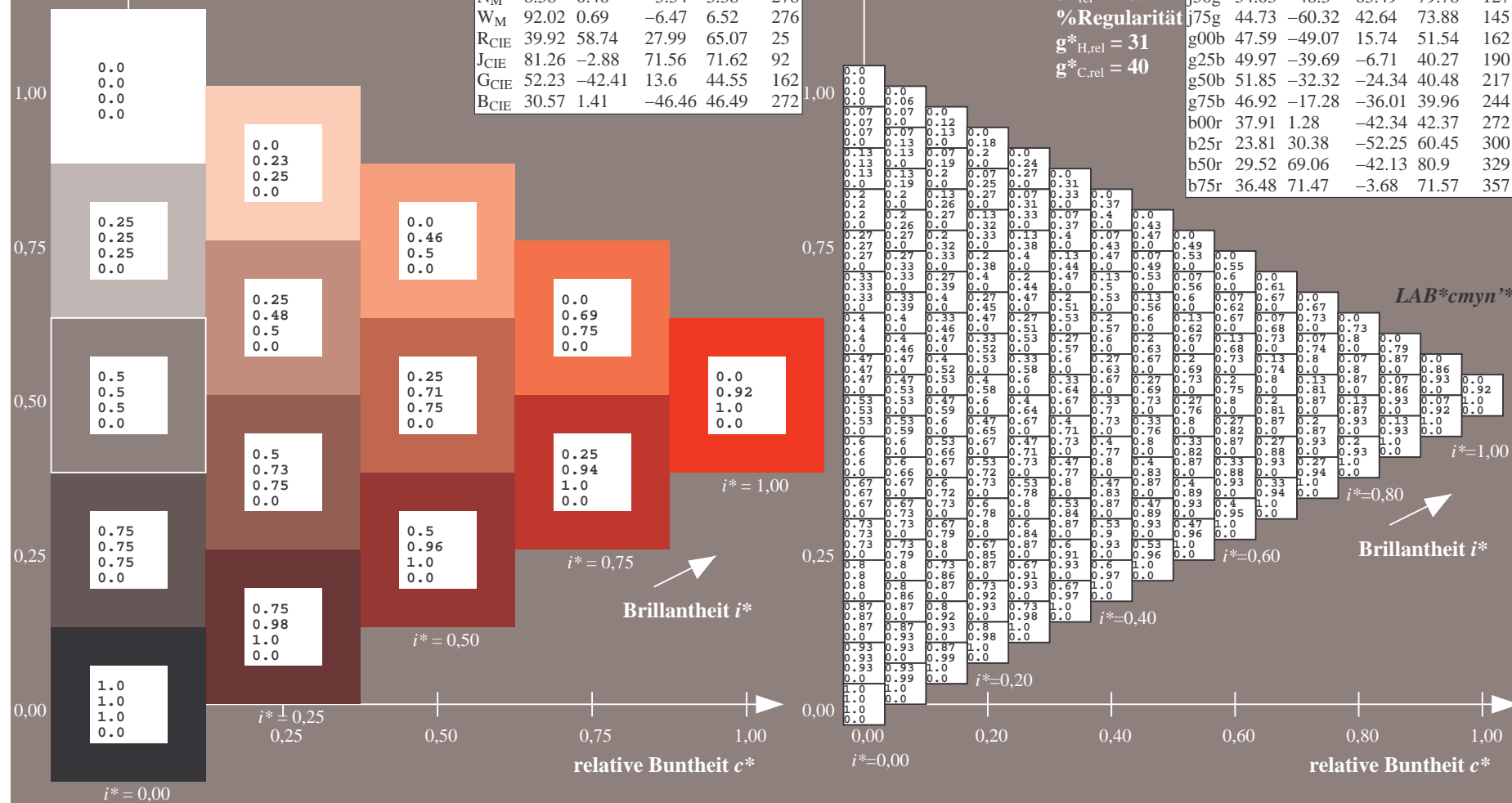
$u^*_{rel} = 109$

%Regularität

$g^*_{H,rel} = 31$

$g^*_{C,rel} = 40$

FRS09_92a; adaptierte CIELAB-Daten					
	$L^*=L^*_a$	$a^*_a$	$b^*_a$	$C^*_{ab,a}$	$h^*_{ab,a}$
r00j	35.47	63.32	30.17	70.15	25
r25j	39.12	54.56	49.45	73.64	42
r50j	50.64	39.15	64.89	75.79	59
r75j	64.01	21.26	82.83	85.52	76
j00g	83.18	-4.37	108.53	108.62	92
j25g	66.73	-29.88	83.06	88.28	110
j50g	54.03	-48.3	63.49	79.78	127
j75g	44.73	-60.32	42.64	73.88	145
g00b	47.59	-49.07	15.74	51.54	162
g25b	49.97	-39.69	-6.71	40.27	190
g50b	51.85	-32.32	-24.34	40.48	217
g75b	46.92	-17.28	-36.01	39.96	244
b00r	37.91	1.28	-42.34	42.37	272
b25r	23.81	30.38	-52.25	60.45	300
b50r	29.52	69.06	-42.13	80.9	329
b75r	36.48	71.47	-3.68	71.57	357





Ein und Ausgabe: Farbmetrisches Drucker-Reflektiv-System FRS09\_92a für relativen CIELAB-Buntton  $h^* = lab^*h^* = h_{ab}/360 = 59/360 = 0.164$

Daten für jede Farbe:

$lab^*ch^*$  und  $lab^*icu^*$

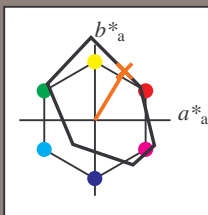
Elementar-Bunttontext:

$u^* = r50j$

Kontrastreduzierungsfaktor:

$c_R = 1.0$

Dreiecks-Helligkeit  $i^*$



FRS09_92a; CIELAB-Daten					
	$L^*=L^*$	$a^*$	$b^*$	$C^*_{ab}$	$h^*_{ab}$
O <sub>M</sub>	35.06	60.53	39.66	72.37	33
Y <sub>M</sub>	83.77	-4.49	103.15	103.25	92
L <sub>M</sub>	44.13	-62.1	43.56	75.86	145
C <sub>M</sub>	52.66	-28.55	-36.98	46.73	232
V <sub>M</sub>	14.15	50.78	-62.59	80.61	309
M <sub>M</sub>	37.37	79.18	-37.92	87.8	334
N <sub>M</sub>	8.58	0.46	-3.34	3.38	278
W <sub>M</sub>	92.02	0.69	-6.47	6.52	276
R <sub>CIE</sub>	39.92	58.74	27.99	65.07	25
J <sub>CIE</sub>	81.26	-2.88	71.56	71.62	92
G <sub>CIE</sub>	52.23	-42.41	13.6	44.55	162
B <sub>CIE</sub>	30.57	1.41	-46.46	46.49	272

Daten für Maximalfarbe (Ma):

$LAB^*LAB^*_{Ma}$ : 51 39 65

$LAB^*LCH^*_{Ma}$ : 51 76 59

$lab^*rgb^*_{Ma}$ : 1.0 0.5 0.0

$lab^*olv^*_{Ma}$ : 1.0 0.32 0.0

Dreiecks-Helligkeit  $i^*$

%Umfang

$u^*_{rel} = 109$

%Regularität

$g^*_{H,rel} = 31$

$g^*_{C,rel} = 40$

FRS09_92a; adaptierte CIELAB-Daten					
	$L^*=L^*_a$	$a^*_a$	$b^*_a$	$C^*_{ab,a}$	$h^*_{ab,a}$
r00j	35.47	63.32	30.17	70.15	25
r25j	39.12	54.56	49.45	73.64	42
r50j	50.64	39.15	64.89	75.79	59
r75j	64.01	21.26	82.83	85.52	76
j00g	83.18	-4.37	108.53	108.62	92
j25g	66.73	-29.88	83.06	88.28	110
j50g	54.03	-48.3	63.49	79.78	127
j75g	44.73	-60.32	42.64	73.88	145
g00b	47.59	-49.07	15.74	51.54	162
g25b	49.97	-39.69	-6.71	40.27	190
g50b	51.85	-32.32	-24.34	40.48	217
g75b	46.92	-17.28	-36.01	39.96	244
b00r	37.91	1.28	-42.34	42.37	272
b25r	23.81	30.38	-52.25	60.45	300
b50r	29.52	69.06	-42.13	80.9	329
b75r	36.48	71.47	-3.68	71.57	357

$LAB^*cmyn^*$

$i^* = 1.00$

$i^* = 0.80$

Brillantheit  $i^*$

$i^* = 0.60$

$i^* = 0.40$

$i^* = 0.20$

$i^* = 0.00$

relative Buntheit  $c^*$

relative Buntheit  $c^*$

$i^* = 0.00$

$i^* = 0.25$

$i^* = 0.50$

$i^* = 0.75$

$i^* = 1.00$

Ein und Ausgabe: Farbmetrisches Drucker-Reflektiv-System FRS09\_92a für relativen CIELAB-Buntton  $h^* = \text{lab}^*h^* = h_{ab}/360 = 76/360 = 0.21$

Daten für jede Farbe:

$\text{lab}^*tch^*$  und  $\text{lab}^*icu^*$

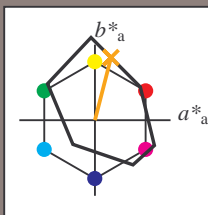
Elementar-Bunttontext:

$u^* = r75j$

Kontrastreduzierungsfaktor:

$c_R = 1.0$

Dreiecks-Helligkeit  $i^*$



FRS09\_92a; CIELAB-Daten

	$L^*=L^*$	$a^*$	$b^*$	$C^*_{ab}$	$h^*_{ab}$
O <sub>M</sub>	35.06	60.53	39.66	72.37	33
Y <sub>M</sub>	83.77	-4.49	103.15	103.25	92
L <sub>M</sub>	44.13	-62.1	43.56	75.86	145
C <sub>M</sub>	52.66	-28.55	-36.98	46.73	232
V <sub>M</sub>	14.15	50.78	-62.59	80.61	309
M <sub>M</sub>	37.37	79.18	-37.92	87.8	334
N <sub>M</sub>	8.58	0.46	-3.34	3.38	278
W <sub>M</sub>	92.02	0.69	-6.47	6.52	276
R <sub>CIE</sub>	39.92	58.74	27.99	65.07	25
J <sub>CIE</sub>	81.26	-2.88	71.56	71.62	92
G <sub>CIE</sub>	52.23	-42.41	13.6	44.55	162
B <sub>CIE</sub>	30.57	1.41	-46.46	46.49	272

Daten für Maximalfarbe (Ma):

$\text{LAB}^*\text{LAB}^*_{\text{Ma}}$ : 64 21 83

$\text{LAB}^*\text{LCH}^*_{\text{Ma}}$ : 64 86 76

$\text{lab}^*\text{rgb}^*_{\text{Ma}}$ : 1.0 0.75 0.0

$\text{lab}^*\text{olv}^*_{\text{Ma}}$ : 1.0 0.59 0.0

Dreiecks-Helligkeit  $i^*$

%Umfang

$u^*_{\text{rel}} = 109$

%Regularität

$g^*_{H,\text{rel}} = 31$

$g^*_{C,\text{rel}} = 40$

FRS09\_92a; adaptierte CIELAB-Daten

	$L^*=L^*_a$	$a^*_a$	$b^*_a$	$C^*_{ab,a}$	$h^*_{ab,a}$
r00j	35.47	63.32	30.17	70.15	25
r25j	39.12	54.56	49.45	73.64	42
r50j	50.64	39.15	64.89	75.79	59
r75j	64.01	21.26	82.83	85.52	76
j00g	83.18	-4.37	108.53	108.62	92
j25g	66.73	-29.88	83.06	88.28	110
j50g	54.03	-48.3	63.49	79.78	127
j75g	44.73	-60.32	42.64	73.88	145
g00b	47.59	-49.07	15.74	51.54	162
g25b	49.97	-39.69	-6.71	40.27	190
g50b	51.85	-32.32	-24.34	40.48	217
g75b	46.92	-17.28	-36.01	39.96	244
b00r	37.91	1.28	-42.34	42.37	272
b25r	23.81	30.38	-52.25	60.45	300
b50r	29.52	69.06	-42.13	80.9	329
b75r	36.48	71.47	-3.68	71.57	357

$\text{LAB}^*\text{cmyn}^*$

$i^* = 1.00$

Brillantheit  $i^*$

$i^* = 0.80$

$i^* = 0.60$

$i^* = 0.40$

$i^* = 0.20$

$i^* = 0.00$

relative Buntheit  $c^*$

relative Buntheit  $c^*$

Ein und Ausgabe: Farbmetrisches Drucker-Reflektiv-System FRS09\_92a für relativen CIELAB-Buntton  $h^* = lab^*h^* = h_{ab}/360 = 92/360 = 0.256$   $u^* = j00g$

Daten für jede Farbe:

$lab^*ch^*$  und  $lab^*icu^*$

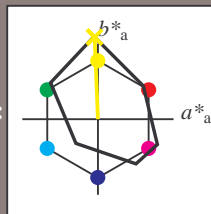
Elementar-Bunttontext:

$u^* = j00g$

Kontrastreduzierungsfaktor:

$c_R = 1.0$

Dreiecks-Helligkeit  $i^*$



FRS09\_92a; CIELAB-Daten

	$L^*=L^*$	$a^*$	$b^*$	$C^*_{ab}$	$h^*_{ab}$
O <sub>M</sub>	35.06	60.53	39.66	72.37	33
Y <sub>M</sub>	83.77	-4.49	103.15	103.25	92
L <sub>M</sub>	44.13	-62.1	43.56	75.86	145
C <sub>M</sub>	52.66	-28.55	-36.98	46.73	232
V <sub>M</sub>	14.15	50.78	-62.59	80.61	309
M <sub>M</sub>	37.37	79.18	-37.92	87.8	334
W <sub>M</sub>	8.58	0.46	-3.34	3.38	278
N <sub>M</sub>	92.02	0.69	-6.47	6.52	276
R <sub>CIE</sub>	39.92	58.74	27.99	65.07	25
J <sub>CIE</sub>	81.26	-2.88	71.56	71.62	92
G <sub>CIE</sub>	52.23	-42.41	13.6	44.55	162
B <sub>CIE</sub>	30.57	1.41	-46.46	46.49	272

Daten für Maximalfarbe (Ma):

$LAB^*LAB^*_{Ma}$ : 83 -3 109

$LAB^*LCH^*_{Ma}$ : 83 109 92

$lab^*rgb^*_{Ma}$ : 1.0 1.0 0.0

$lab^*olv^*_{Ma}$ : 1.0 0.99 0.0

Dreiecks-Helligkeit  $i^*$

%Umfang

$u^*_{rel} = 109$

%Regularität

$g^*_{H,rel} = 31$

$g^*_{C,rel} = 40$

FRS09\_92a; adaptierte CIELAB-Daten

	$L^*=L^*_a$	$a^*_a$	$b^*_a$	$C^*_{ab,a}$	$h^*_{ab,a}$
r00j	35.47	63.32	30.17	70.15	25
r25j	39.12	54.56	49.45	73.64	42
r50j	50.64	39.15	64.89	75.79	59
r75j	64.01	21.26	82.83	85.52	76
j00g	83.18	-4.37	108.53	108.62	92
j25g	66.73	-29.88	83.06	88.28	110
j50g	54.03	-48.3	63.49	79.78	127
j75g	44.73	-60.32	42.64	73.88	145
g00b	47.59	-49.07	15.74	51.54	162
g25b	49.97	-39.69	-6.71	40.27	190
g50b	51.85	-32.32	-24.34	40.48	217
g75b	46.92	-17.28	-36.01	39.96	244
b00r	37.91	1.28	-42.34	42.37	272
b25r	23.81	30.38	-52.25	60.45	300
b50r	29.52	69.06	-42.13	80.9	329
b75r	36.48	71.47	-3.68	71.57	357

$LAB^*cmyn^*$

$i^* = 1.00$

Brillantheit  $i^*$

$i^* = 0.80$

$i^* = 0.60$

$i^* = 0.40$

$i^* = 0.20$

$i^* = 0.00$

relative Buntheit  $c^*$

relative Buntheit  $c^*$

Ein und Ausgabe: Farbmetrisches Drucker-Reflektiv-System FRS09\_92a für relativen CIELAB-Buntton  $h^* = lab^*h^* = h_{ab}/360 = 110/360 = 0.305$   $u^* = j25g$

Daten für jede Farbe:

$lab^*ch^*$  und  $lab^*icu^*$

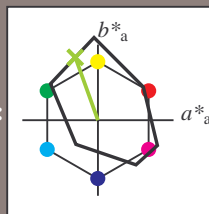
Elementar-Bunttontext:

$u^* = j25g$

Kontrastreduzierungsfaktor:

$c_R = 1.0$

Dreiecks-Helligkeit  $i^*$



FRS09\_92a; CIELAB-Daten

	$L^*=L^*$	$a^*$	$b^*$	$C^*_{ab}$	$h^*_{ab}$
O <sub>M</sub>	35.06	60.53	39.66	72.37	33
Y <sub>M</sub>	83.77	-4.49	103.15	103.25	92
L <sub>M</sub>	44.13	-62.1	43.56	75.86	145
C <sub>M</sub>	52.66	-28.55	-36.98	46.73	232
V <sub>M</sub>	14.15	50.78	-62.59	80.61	309
M <sub>M</sub>	37.37	79.18	-37.92	87.8	334
N <sub>M</sub>	8.58	0.46	-3.34	3.38	278
W <sub>M</sub>	92.02	0.69	-6.47	6.52	276
R <sub>CIE</sub>	39.92	58.74	27.99	65.07	25
J <sub>CIE</sub>	81.26	-2.88	71.56	71.62	92
G <sub>CIE</sub>	52.23	-42.41	13.6	44.55	162
B <sub>CIE</sub>	30.57	1.41	-46.46	46.49	272

Daten für Maximalfarbe (Ma):

$LAB^*LAB^*_{Ma}$ : 67 -29 83

$LAB^*LCH^*_{Ma}$ : 67 88 110

$lab^*rgb^*_{Ma}$ : 0.75 1.0 0.0

$lab^*olv^*_{Ma}$ : 0.57 1.0 0.0

Dreiecks-Helligkeit  $i^*$

%Umfang

$u^*_{rel} = 109$

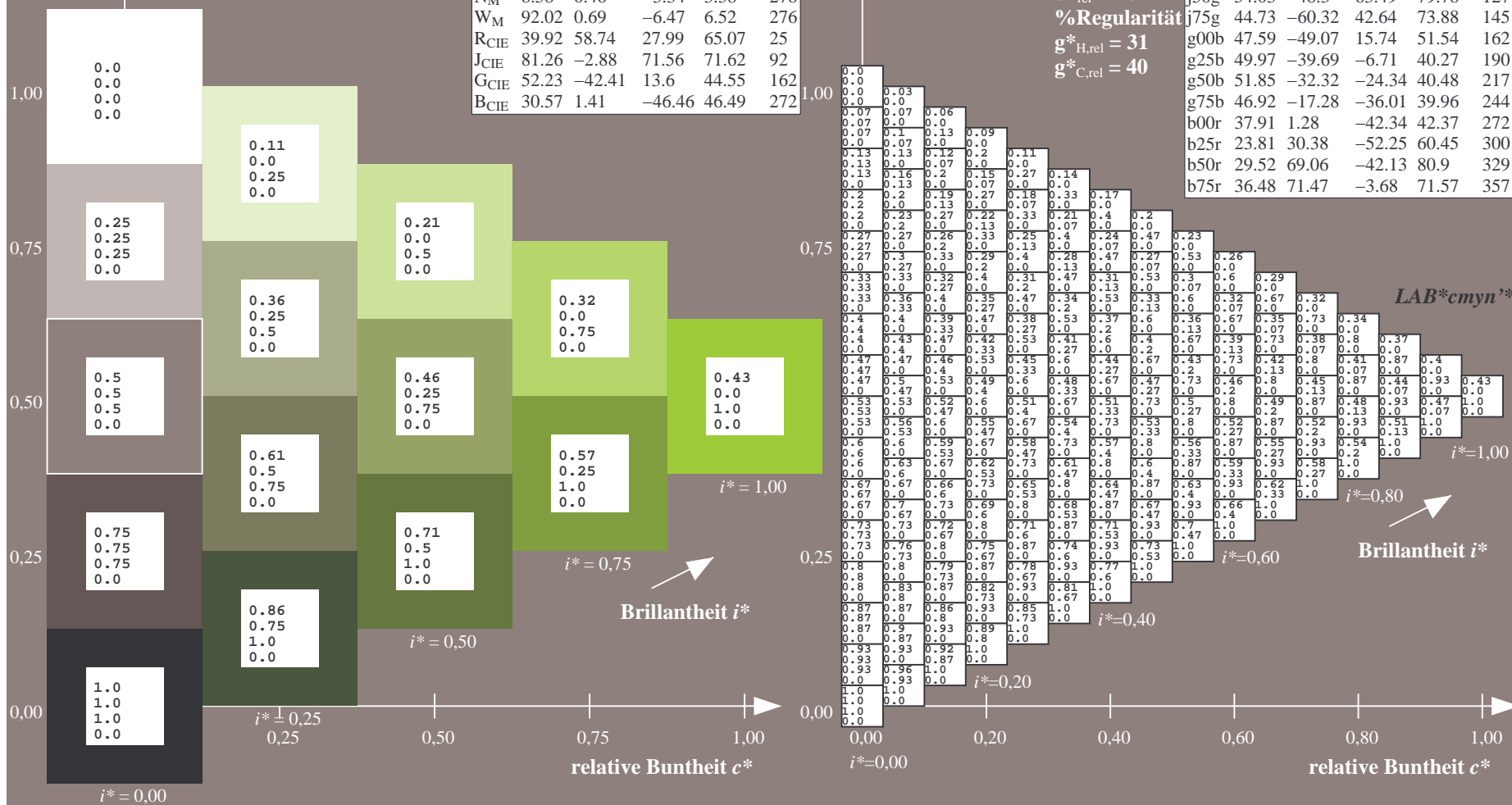
%Regularität

$g^*_{H,rel} = 31$

$g^*_{C,rel} = 40$

FRS09\_92a; adaptierte CIELAB-Daten

	$L^*=L^*_a$	$a^*_a$	$b^*_a$	$C^*_{ab,a}$	$h^*_{ab,a}$
r00j	35.47	63.32	30.17	70.15	25
r25j	39.12	54.56	49.45	73.64	42
r50j	50.64	39.15	64.89	75.79	59
r75j	64.01	21.26	82.83	85.52	76
j00g	83.18	-4.37	108.53	108.62	92
j25g	66.73	-29.88	83.06	88.28	110
j50g	54.03	-48.3	63.49	79.78	127
j75g	44.73	-60.32	42.64	73.88	145
g00b	47.59	-49.07	15.74	51.54	162
g25b	49.97	-39.69	-6.71	40.27	190
g50b	51.85	-32.32	-24.34	40.48	217
g75b	46.92	-17.28	-36.01	39.96	244
b00r	37.91	1.28	-42.34	42.37	272
b25r	23.81	30.38	-52.25	60.45	300
b50r	29.52	69.06	-42.13	80.9	329
b75r	36.48	71.47	-3.68	71.57	357





Ein und Ausgabe: Farbmetrisches Drucker-Reflektiv-System FRS09\_92a für relativen CIELAB-Buntton  $h^* = lab^*h^* = h_{ab}/360 = 127/360 = 0.354$   $u^* = j50g$

Daten für jede Farbe:

$lab^*ch^*$  und  $lab^*icu^*$

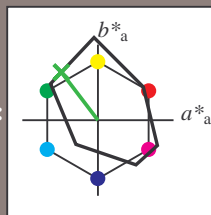
Elementar-Bunttontext:

$u^* = j50g$

Kontrastreduzierungsfaktor:

$c_R = 1.0$

Dreiecks-Helligkeit  $i^*$



FRS09_92a; CIELAB-Daten					
	$L^*=L^*$	$a^*$	$b^*$	$C^*_{ab}$	$h^*_{ab}$
O <sub>M</sub>	35.06	60.53	39.66	72.37	33
Y <sub>M</sub>	83.77	-4.49	103.15	103.25	92
L <sub>M</sub>	44.13	-62.1	43.56	75.86	145
C <sub>M</sub>	52.66	-28.55	-36.98	46.73	232
V <sub>M</sub>	14.15	50.78	-62.59	80.61	309
M <sub>M</sub>	37.37	79.18	-37.92	87.8	334
N <sub>M</sub>	8.58	0.46	-3.34	3.38	278
W <sub>M</sub>	92.02	0.69	-6.47	6.52	276
R <sub>CIE</sub>	39.92	58.74	27.99	65.07	25
J <sub>CIE</sub>	81.26	-2.88	71.56	71.62	92
G <sub>CIE</sub>	52.23	-42.41	13.6	44.55	162
B <sub>CIE</sub>	30.57	1.41	-46.46	46.49	272

Daten für Maximalfarbe (Ma):

$LAB^*LAB^*_{Ma}$ : 54 -47 63

$LAB^*LCH^*_{Ma}$ : 54 80 127

$lab^*rgb^*_{Ma}$ : 0.5 1.0 0.0

$lab^*olv^*_{Ma}$ : 0.25 1.0 0.0

Dreiecks-Helligkeit  $i^*$

%Umfang

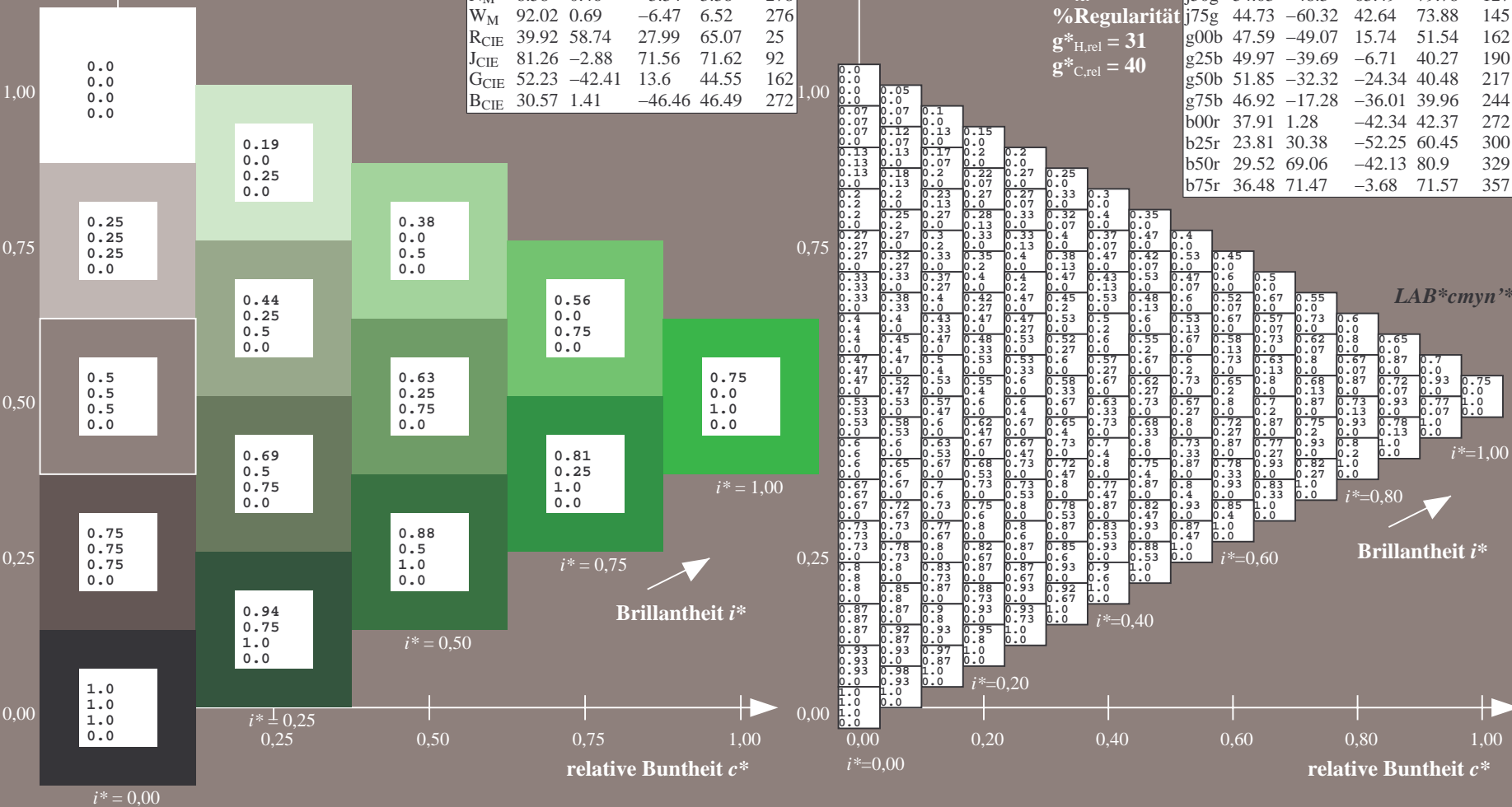
$u^*_{rel} = 109$

%Regularität

$g^*_{H,rel} = 31$

$g^*_{C,rel} = 40$

FRS09_92a; adaptierte CIELAB-Daten					
	$L^*=L^*_a$	$a^*_a$	$b^*_a$	$C^*_{ab,a}$	$h^*_{ab,a}$
r00j	35.47	63.32	30.17	70.15	25
r25j	39.12	54.56	49.45	73.64	42
r50j	50.64	39.15	64.89	75.79	59
r75j	64.01	21.26	82.83	85.52	76
j00g	83.18	-4.37	108.53	108.62	92
j25g	66.73	-29.88	83.06	88.28	110
j50g	54.03	-48.3	63.49	79.78	127
j75g	44.73	-60.32	42.64	73.88	145
g00b	47.59	-49.07	15.74	51.54	162
g25b	49.97	-39.69	-6.71	40.27	190
g50b	51.85	-32.32	-24.34	40.48	217
g75b	46.92	-17.28	-36.01	39.96	244
b00r	37.91	1.28	-42.34	42.37	272
b25r	23.81	30.38	-52.25	60.45	300
b50r	29.52	69.06	-42.13	80.9	329
b75r	36.48	71.47	-3.68	71.57	357



Ein und Ausgabe: Farbmetrisches Drucker-Reflektiv-System FRS09\_92a für relativen CIELAB-Buntton  $h^* = lab^*h^* = h_{ab}/360 = 145/360 = 0.402$   $u^* = j75g$

Daten für jede Farbe:

$lab^*ch^*$  und  $lab^*icu^*$

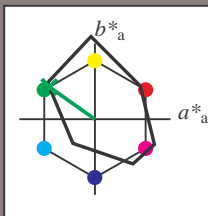
Elementar-Bunttontext:

$u^* = j75g$

Kontrastreduzierungsfaktor:

$c_R = 1.0$

Dreiecks-Helligkeit  $i^*$



FRS09\_92a; CIELAB-Daten

	$L^*=L^*$	$a^*$	$b^*$	$C^*_{ab}$	$h^*_{ab}$
O <sub>M</sub>	35.06	60.53	39.66	72.37	33
Y <sub>M</sub>	83.77	-4.49	103.15	103.25	92
L <sub>M</sub>	44.13	-62.1	43.56	75.86	145
C <sub>M</sub>	52.66	-28.55	-36.98	46.73	232
V <sub>M</sub>	14.15	50.78	-62.59	80.61	309
M <sub>M</sub>	37.37	79.18	-37.92	87.8	334
N <sub>M</sub>	8.58	0.46	-3.34	3.38	278
W <sub>M</sub>	92.02	0.69	-6.47	6.52	276
R <sub>CIE</sub>	39.92	58.74	27.99	65.07	25
J <sub>CIE</sub>	81.26	-2.88	71.56	71.62	92
G <sub>CIE</sub>	52.23	-42.41	13.6	44.55	162
B <sub>CIE</sub>	30.57	1.41	-46.46	46.49	272

Daten für Maximalfarbe (Ma):

$LAB^*LAB^*_{Ma}$ : 45 -59 43

$LAB^*LCH^*_{Ma}$ : 45 74 145

$lab^*rgb^*_{Ma}$ : 0.25 1.0 0.0

$lab^*olv^*_{Ma}$ : 0.0 1.0 0.07

Dreiecks-Helligkeit  $i^*$

%Umfang

$u^*_{rel} = 109$

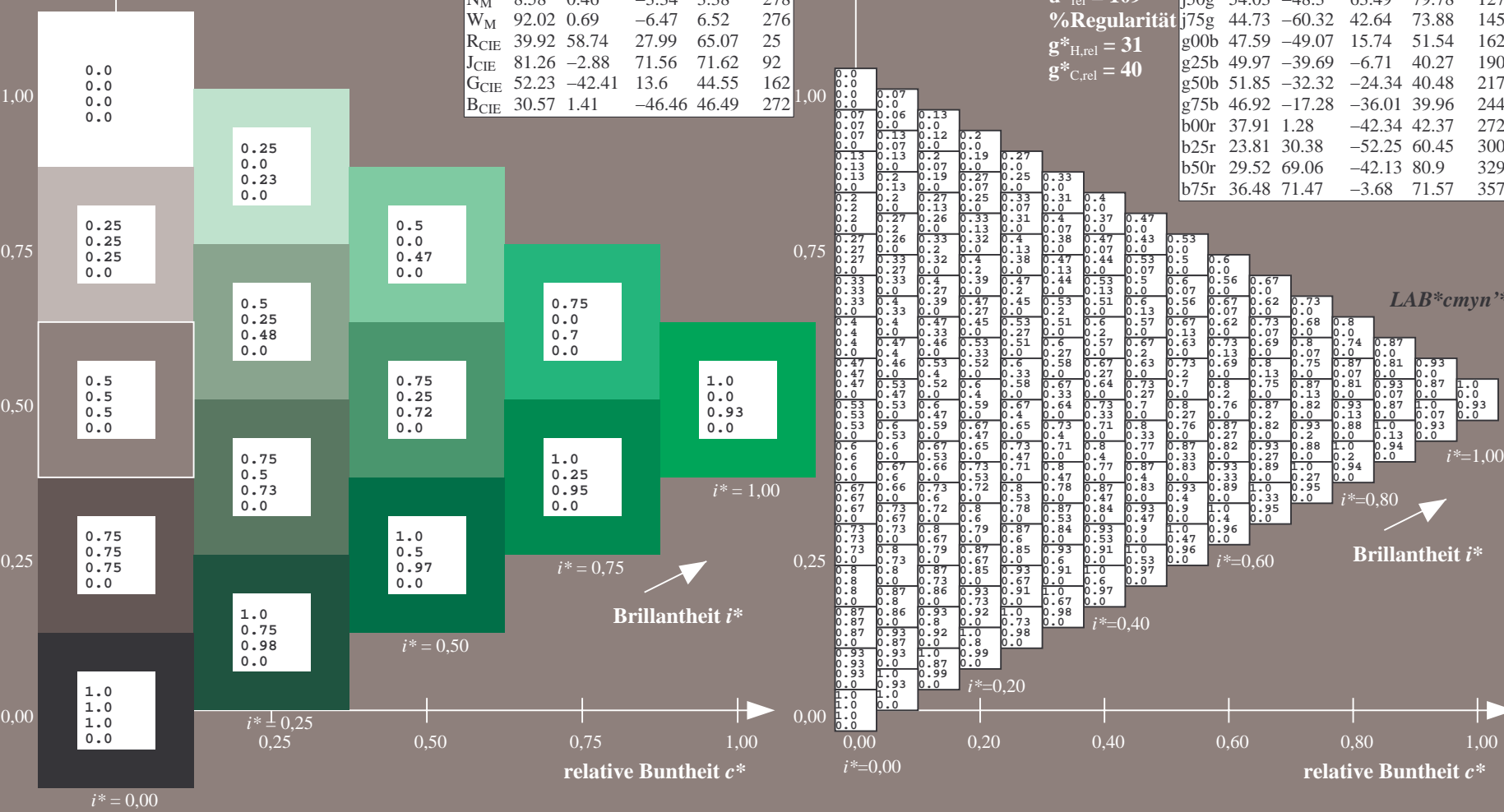
%Regularität

$g^*_{H,rel} = 31$

$g^*_{C,rel} = 40$

FRS09\_92a; adaptierte CIELAB-Daten

	$L^*=L^*_a$	$a^*_a$	$b^*_a$	$C^*_{ab,a}$	$h^*_{ab,a}$
r00j	35.47	63.32	30.17	70.15	25
r25j	39.12	54.56	49.45	73.64	42
r50j	50.64	39.15	64.89	75.79	59
r75j	64.01	21.26	82.83	85.52	76
j00g	83.18	-4.37	108.53	108.62	92
j25g	66.73	-29.88	83.06	88.28	110
j50g	54.03	-48.3	63.49	79.78	127
j75g	44.73	-60.32	42.64	73.88	145
g00b	47.59	-49.07	15.74	51.54	162
g25b	49.97	-39.69	-6.71	40.27	190
g50b	51.85	-32.32	-24.34	40.48	217
g75b	46.92	-17.28	-36.01	39.96	244
b00r	37.91	1.28	-42.34	42.37	272
b25r	23.81	30.38	-52.25	60.45	300
b50r	29.52	69.06	-42.13	80.9	329
b75r	36.48	71.47	-3.68	71.57	357



Ein und Ausgabe: Farbmetrisches Drucker-Reflektiv-System FRS09\_92a für relativen CIELAB-Buntton  $h^* = lab^*h^* = h_{ab}/360 = 162/360 = 0.451$   $u^* = g00b$

Daten für jede Farbe:

$lab^*ch^*$  und  $lab^*icu^*$

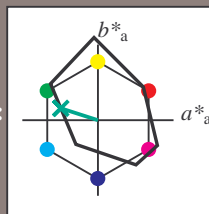
Elementar-Bunttontext:

$u^* = g00b$

Kontrastreduzierungsfaktor:

$c_R = 1.0$

Dreiecks-Helligkeit  $i^*$



FRS09\_92a; CIELAB-Daten

	$L^*=L^*$	$a^*$	$b^*$	$C^*_{ab}$	$h^*_{ab}$
O <sub>M</sub>	35.06	60.53	39.66	72.37	33
Y <sub>M</sub>	83.77	-4.49	103.15	103.25	92
L <sub>M</sub>	44.13	-62.1	43.56	75.86	145
C <sub>M</sub>	52.66	-28.55	-36.98	46.73	232
V <sub>M</sub>	14.15	50.78	-62.59	80.61	309
M <sub>M</sub>	37.37	79.18	-37.92	87.8	334
N <sub>M</sub>	8.58	0.46	-3.34	3.38	278
W <sub>M</sub>	92.02	0.69	-6.47	6.52	276
R <sub>CIE</sub>	39.92	58.74	27.99	65.07	25
J <sub>CIE</sub>	81.26	-2.88	71.56	71.62	92
G <sub>CIE</sub>	52.23	-42.41	13.6	44.55	162
B <sub>CIE</sub>	30.57	1.41	-46.46	46.49	272

Daten für Maximalfarbe (Ma):

$LAB^*LAB^*_{Ma}$ : 48 -48 16

$LAB^*LCH^*_{Ma}$ : 48 52 162

$lab^*rgb^*_{Ma}$ : 0.0 1.0 0.0

$lab^*olv^*_{Ma}$ : 0.0 1.0 0.41

Dreiecks-Helligkeit  $i^*$

%Umfang

$u^*_{rel} = 109$

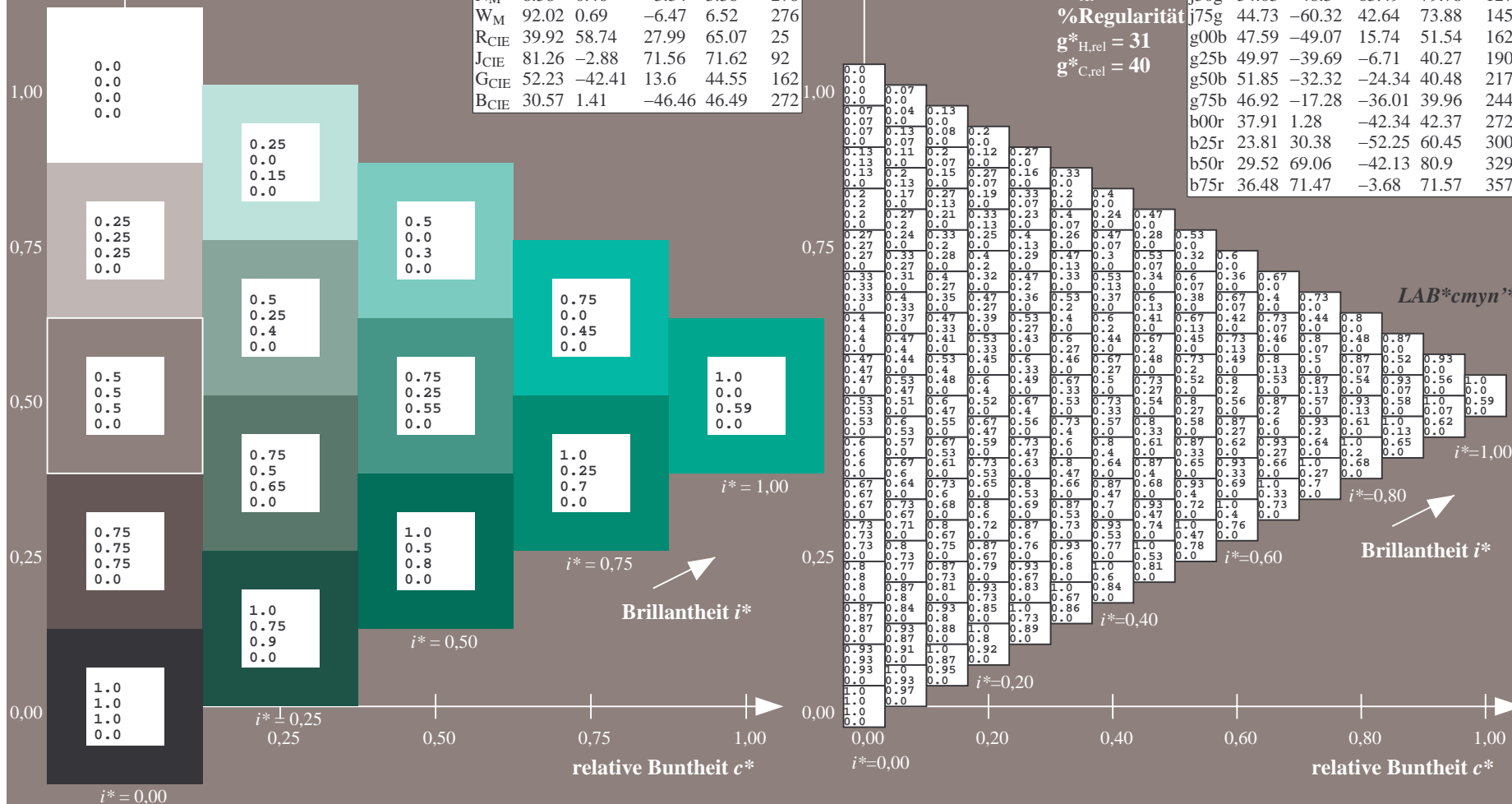
%Regularität

$g^*_{H,rel} = 31$

$g^*_{C,rel} = 40$

FRS09\_92a; adaptierte CIELAB-Daten

	$L^*=L^*_a$	$a^*_a$	$b^*_a$	$C^*_{ab,a}$	$h^*_{ab,a}$
r00j	35.47	63.32	30.17	70.15	25
r25j	39.12	54.56	49.45	73.64	42
r50j	50.64	39.15	64.89	75.79	59
r75j	64.01	21.26	82.83	85.52	76
j00g	83.18	-4.37	108.53	108.62	92
j25g	66.73	-29.88	83.06	88.28	110
j50g	54.03	-48.3	63.49	79.78	127
j75g	44.73	-60.32	42.64	73.88	145
g00b	47.59	-49.07	15.74	51.54	162
g25b	49.97	-39.69	-6.71	40.27	190
g50b	51.85	-32.32	-24.34	40.48	217
g75b	46.92	-17.28	-36.01	39.96	244
b00r	37.91	1.28	-42.34	42.37	272
b25r	23.81	30.38	-52.25	60.45	300
b50r	29.52	69.06	-42.13	80.9	329
b75r	36.48	71.47	-3.68	71.57	357



Ein und Ausgabe: Farbmetrisches Drucker-Reflektiv-System FRS09\_92a für relativen CIELAB-Buntton  $h^* = lab^*h^* = h_{ab}/360 = 190/360 = 0.527$   $u^* = g25b$

Daten für jede Farbe:

$lab^*ch^*$  und  $lab^*icu^*$

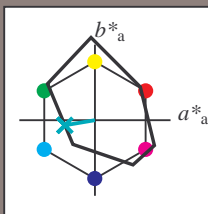
Elementar-Bunttontext:

$u^* = g25b$

Kontrastreduzierungsfaktor:

$c_R = 1.0$

Dreiecks-Helligkeit  $i^*$



FRS09_92a; CIELAB-Daten					
	$L^*=L^*$	$a^*$	$b^*$	$C^*_{ab}$	$h^*_{ab}$
O <sub>M</sub>	35.06	60.53	39.66	72.37	33
Y <sub>M</sub>	83.77	-4.49	103.15	103.25	92
L <sub>M</sub>	44.13	-62.1	43.56	75.86	145
C <sub>M</sub>	52.66	-28.55	-36.98	46.73	232
V <sub>M</sub>	14.15	50.78	-62.59	80.61	309
M <sub>M</sub>	37.37	79.18	-37.92	87.8	334
N <sub>M</sub>	8.58	0.46	-3.34	3.38	278
W <sub>M</sub>	92.02	0.69	-6.47	6.52	276
R <sub>CIE</sub>	39.92	58.74	27.99	65.07	25
J <sub>CIE</sub>	81.26	-2.88	71.56	71.62	92
G <sub>CIE</sub>	52.23	-42.41	13.6	44.55	162
B <sub>CIE</sub>	30.57	1.41	-46.46	46.49	272

Daten für Maximalfarbe (Ma):

$LAB^*LAB^*_{Ma}$ : 50 -39 -6

$LAB^*LCH^*_{Ma}$ : 50 40 190

$lab^*rgb^*_{Ma}$ : 0.0 1.0 0.5

$lab^*olv^*_{Ma}$ : 0.0 1.0 0.69

Dreiecks-Helligkeit  $i^*$

%Umfang

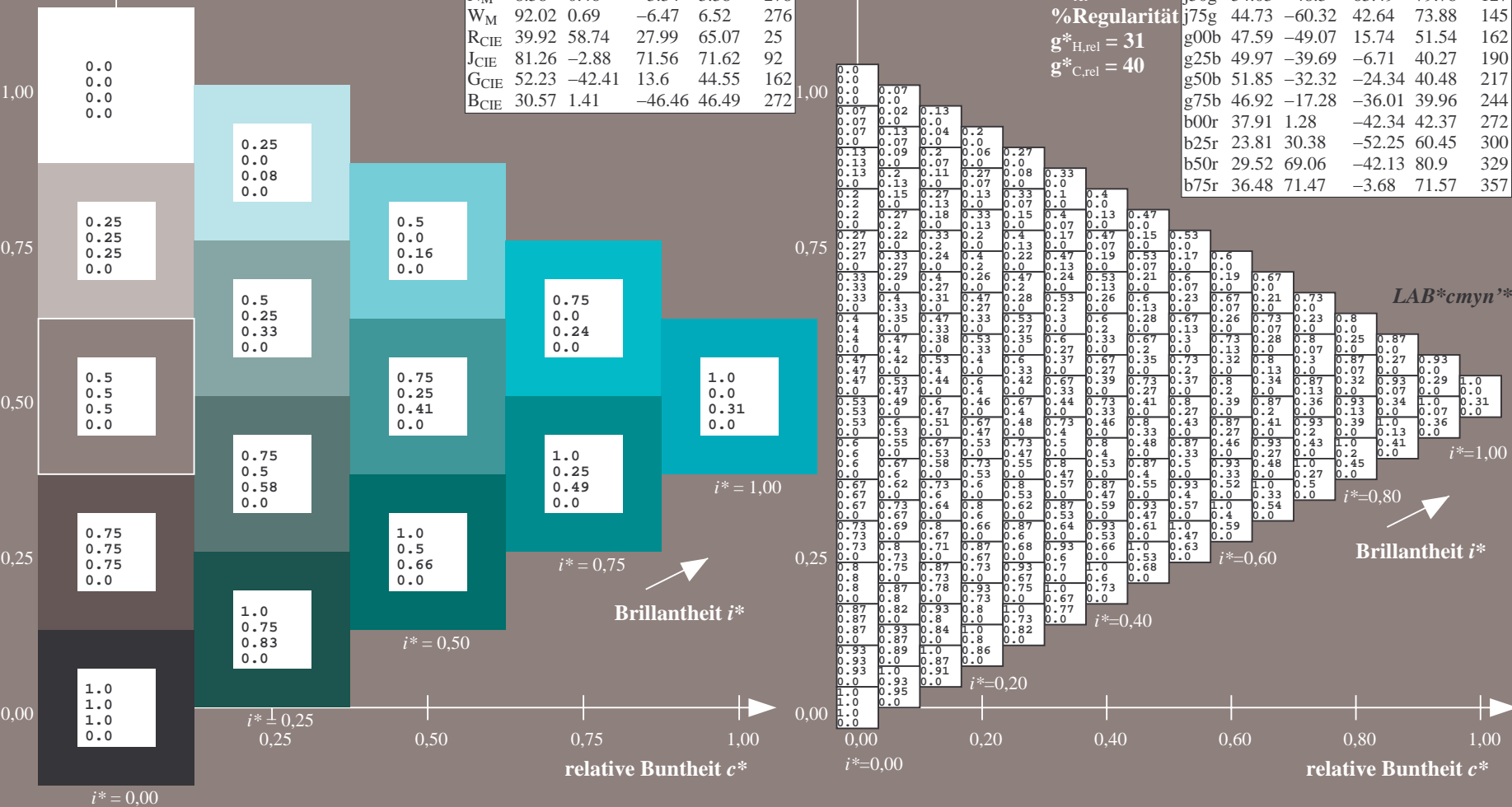
$u^*_{rel} = 109$

%Regularität

$g^*_{H,rel} = 31$

$g^*_{C,rel} = 40$

FRS09_92a; adaptierte CIELAB-Daten					
	$L^*=L^*_a$	$a^*_a$	$b^*_a$	$C^*_{ab,a}$	$h^*_{ab,a}$
r00j	35.47	63.32	30.17	70.15	25
r25j	39.12	54.56	49.45	73.64	42
r50j	50.64	39.15	64.89	75.79	59
r75j	64.01	21.26	82.83	85.52	76
j00g	83.18	-4.37	108.53	108.62	92
j25g	66.73	-29.88	83.06	88.28	110
j50g	54.03	-48.3	63.49	79.78	127
j75g	44.73	-60.32	42.64	73.88	145
g00b	47.59	-49.07	15.74	51.54	162
g25b	49.97	-39.69	-6.71	40.27	190
g50b	51.85	-32.32	-24.34	40.48	217
g75b	46.92	-17.28	-36.01	39.96	244
b00r	37.91	1.28	-42.34	42.37	272
b25r	23.81	30.38	-52.25	60.45	300
b50r	29.52	69.06	-42.13	80.9	329
b75r	36.48	71.47	-3.68	71.57	357





Ein und Ausgabe: Farbmetrisches Drucker-Reflektiv-System FRS09\_92a für relativen CIELAB-Buntton  $h^* = lab^*h^* = h_{ab}/360 = 217/360 = 0.603$   $u^* = g50b$

Daten für jede Farbe:

$lab^*ch^*$  und  $lab^*icu^*$

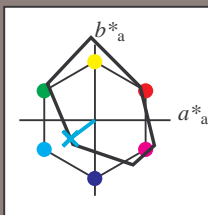
Elementar-Bunttontext:

$u^* = g50b$

Kontrastreduzierungsfaktor:

$c_R = 1.0$

Dreiecks-Helligkeit  $i^*$



FRS09_92a; CIELAB-Daten					
	$L^*=L^*$	$a^*$	$b^*$	$C^*_{ab}$	$h^*_{ab}$
O <sub>M</sub>	35.06	60.53	39.66	72.37	33
Y <sub>M</sub>	83.77	-4.49	103.15	103.25	92
L <sub>M</sub>	44.13	-62.1	43.56	75.86	145
C <sub>M</sub>	52.66	-28.55	-36.98	46.73	232
V <sub>M</sub>	14.15	50.78	-62.59	80.61	309
M <sub>M</sub>	37.37	79.18	-37.92	87.8	334
N <sub>M</sub>	8.58	0.46	-3.34	3.38	278
W <sub>M</sub>	92.02	0.69	-6.47	6.52	276
R <sub>CIE</sub>	39.92	58.74	27.99	65.07	25
J <sub>CIE</sub>	81.26	-2.88	71.56	71.62	92
G <sub>CIE</sub>	52.23	-42.41	13.6	44.55	162
B <sub>CIE</sub>	30.57	1.41	-46.46	46.49	272

Daten für Maximalfarbe (Ma):

$LAB^*LAB^*_{Ma}$ : 52 -31 -23

$LAB^*LCH^*_{Ma}$ : 52 40 217

$lab^*rgb^*_{Ma}$ : 0.0 1.0 1.0

$lab^*olv^*_{Ma}$ : 0.0 1.0 0.9

Dreiecks-Helligkeit  $i^*$

%Umfang

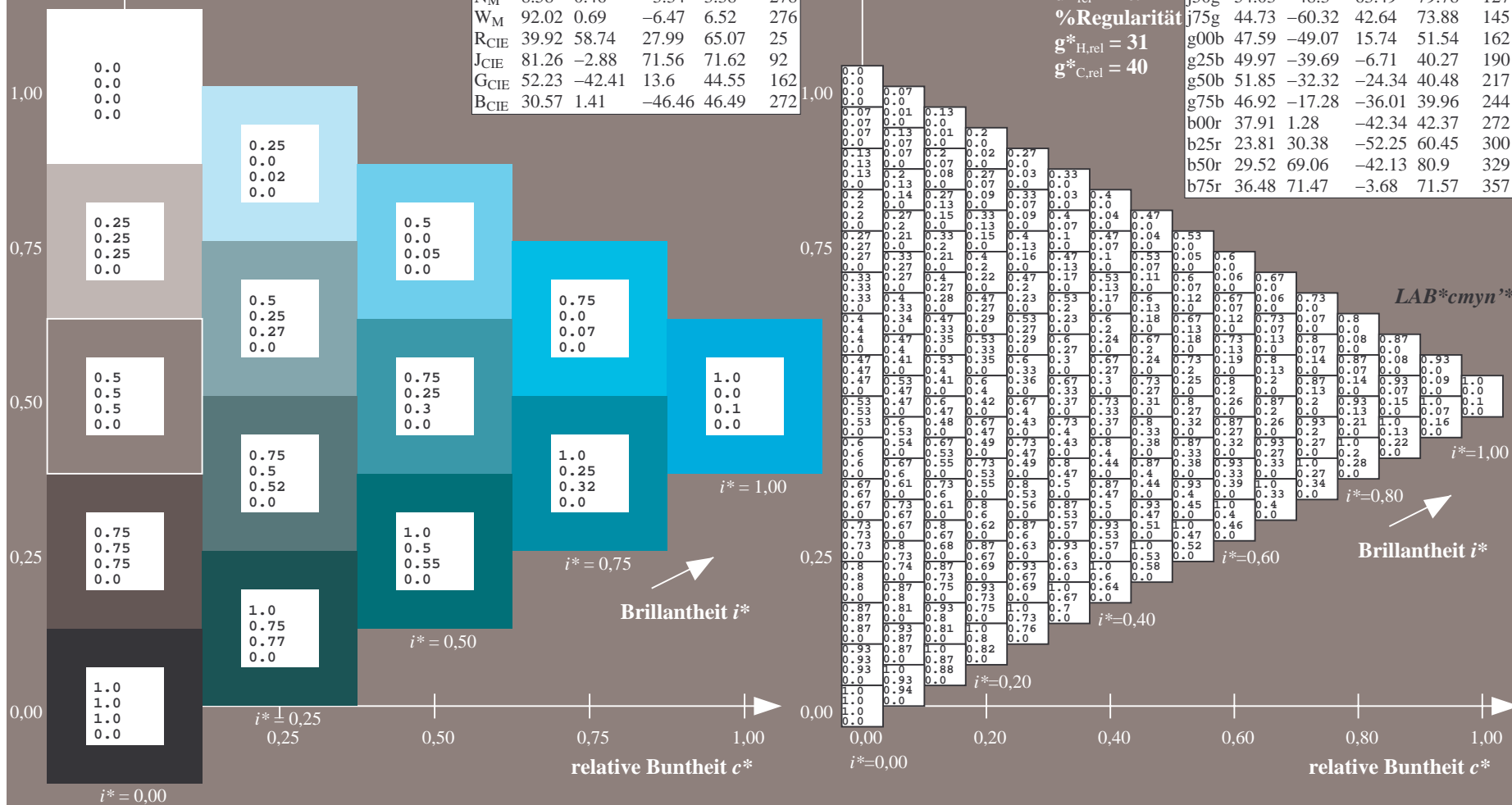
$u^*_{rel} = 109$

%Regularität

$g^*_{H,rel} = 31$

$g^*_{C,rel} = 40$

FRS09_92a; adaptierte CIELAB-Daten					
	$L^*=L^*_a$	$a^*_a$	$b^*_a$	$C^*_{ab,a}$	$h^*_{ab,a}$
r00j	35.47	63.32	30.17	70.15	25
r25j	39.12	54.56	49.45	73.64	42
r50j	50.64	39.15	64.89	75.79	59
r75j	64.01	21.26	82.83	85.52	76
j00g	83.18	-4.37	108.53	108.62	92
j25g	66.73	-29.88	83.06	88.28	110
j50g	54.03	-48.3	63.49	79.78	127
j75g	44.73	-60.32	42.64	73.88	145
g00b	47.59	-49.07	15.74	51.54	162
g25b	49.97	-39.69	-6.71	40.27	190
g50b	51.85	-32.32	-24.34	40.48	217
g75b	46.92	-17.28	-36.01	39.96	244
b00r	37.91	1.28	-42.34	42.37	272
b25r	23.81	30.38	-52.25	60.45	300
b50r	29.52	69.06	-42.13	80.9	329
b75r	36.48	71.47	-3.68	71.57	357



Ein und Ausgabe: Farbmétrisches Drucker-Reflektiv-System FRS09\_92a für relativen CIELAB-Buntton  $h^* = lab^*h^* = h_{ab}/360 = 244/360 = 0.679$

### Daten für jede Farbe:

*lab\*tch\** und *lab\*icu\**

### Elementar-Bunttontext:

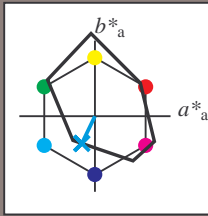
$u^* = g75b$   
Kontrastreduzierungsfaktor:

### Kontrastreduzierungsfaktor:

$$c_R = 1.0$$

### Dreiecks-Helligkeit $t^*$

► **Dr. Robert M. Anderson**, MD, PhD, is a professor of medicine and director of the Center for Health Systems Research and Analysis, University of Maryland School of Medicine, Baltimore, MD.



FRS09_92a; CIELAB-Daten					
	$L^* = L^*$	$a^*$	$b^*$	$C^*_{ab}$	$h^*_{ab}$
O <sub>M</sub>	35.06	60.53	39.66	72.37	33
Y <sub>M</sub>	83.77	-4.49	103.15	103.25	92
L <sub>M</sub>	44.13	-62.1	43.56	75.86	145
C <sub>M</sub>	52.66	-28.55	-36.98	46.73	232
V <sub>M</sub>	14.15	50.78	-62.59	80.61	309
M <sub>M</sub>	37.37	79.18	-37.92	87.8	334
N <sub>M</sub>	8.58	0.46	-3.34	3.38	278
W <sub>M</sub>	92.02	0.69	-6.47	6.52	276
R <sub>CIE</sub>	39.92	58.74	27.99	65.07	25
J <sub>CIE</sub>	81.26	-2.88	71.56	71.62	92
G <sub>CIE</sub>	52.23	-42.41	13.6	44.55	162
B <sub>CIE</sub>	30.57	1.41	-46.46	46.49	272

### Daten für Maximalfarbe (Ma):

**LAB\*LAB\* $M_2$ : 47 -16 -35**

*LAP\*LCH\** : 47-40-244

**LAB<sup>+</sup>LCH<sup>-</sup>Ma:** 47 40 24  
16 18 19 20 21 22 23 24 25 26 27 28 29 30 31 32 33 34 35 36 37 38 39 40 41 42 43 44 45 46 47 48 49 50 51 52 53 54 55 56 57 58 59 60 61 62 63 64 65 66 67 68 69 70 71 72 73 74 75 76 77 78 79 80 81 82 83 84 85 86 87 88 89 90 91 92 93 94 95 96 97 98 99 100

*lab\*rgb\*\_Ma: 0.0 0.5 1.0*

*lab\*olv\**<sub>Ma</sub>: 0.0 0.85 1.0

### Dreiecks-Helligkeit $t^*$

► **Systems thinking:**

**%Umfang**

$$\mathbf{u}_{\text{rel}}^* = 109$$

**%Regular:**

$$g^*_{H,rel} = 31$$
$$g^*_{C,rel} = 40$$

FRS09_92a; adaptierte CIELAB-Daten						
	$L^*_a$	$a^*_a$	$b^*_a$	$C^*_{ab,a}$	$h^*_{ab,a}$	
r00j	35.47	63.32	30.17	70.15	25	
r25j	39.12	54.56	49.45	73.64	42	
r50j	50.64	39.15	64.89	75.79	59	
r75j	64.01	21.26	82.83	85.52	76	
j00g	83.18	-4.37	108.53	108.62	92	
j25g	66.73	-29.88	83.06	88.28	110	
j50g	54.03	-48.3	63.49	79.78	127	
j75g	44.73	-60.32	42.64	73.88	145	
g00b	47.59	-49.07	15.74	51.54	162	
g25b	49.97	-39.69	-6.71	40.27	190	
g50b	51.85	-32.32	-24.34	40.48	217	
g75b	46.92	-17.28	-36.01	39.96	244	
b00r	37.91	1.28	-42.34	42.37	272	
b25r	23.81	30.38	-52.25	60.45	300	
b50r	29.52	69.06	-42.13	80.9	329	
b75r	36.48	71.47	-3.68	71.57	357	

*LAB\*cmyn'*\*

$$i^*=1,00$$

## Brillantheit $i^*$

0,80 1,00

relative Buntheit  $c^*$ 

### Executive Summary

\_\_\_\_\_



\_\_\_\_\_

\_\_\_\_\_

\_\_\_\_\_

BAM-Prüfvorlage Dg96; Farbmeter-Systeme, Seite 175/180  
Farbreihen, 8 Datentabellen für 16 Bunttöne *r00j* bis *b75r*

Eingabe:  $000n / w / nnn0 / www\ set...$

Ausgabe:  $\rightarrow \text{cmvn5}^* \text{setcmvcolor}$

Ein und Ausgabe: Farbmetrisches Drucker-Reflektiv-System FRS09\_92a für relativen CIELAB-Buntton  $h^* = lab^*h^* = h_{ab}/360 = 272/360 = 0.755$   $u^* = b00r$

Daten für jede Farbe:

$lab^*ch^*$  und  $lab^*icu^*$

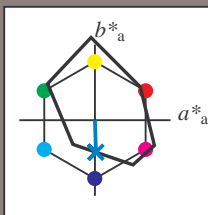
Elementar-Bunttontext:

$u^* = b00r$

Kontrastreduzierungsfaktor:

$c_R = 1.0$

Dreiecks-Helligkeit  $i^*$



FRS09\_92a; CIELAB-Daten

	$L^*=L^*$	$a^*$	$b^*$	$C^*_{ab}$	$h^*_{ab}$
O <sub>M</sub>	35.06	60.53	39.66	72.37	33
Y <sub>M</sub>	83.77	-4.49	103.15	103.25	92
L <sub>M</sub>	44.13	-62.1	43.56	75.86	145
C <sub>M</sub>	52.66	-28.55	-36.98	46.73	232
V <sub>M</sub>	14.15	50.78	-62.59	80.61	309
M <sub>M</sub>	37.37	79.18	-37.92	87.8	334
W <sub>M</sub>	8.58	0.46	-3.34	3.38	278
N <sub>M</sub>	92.02	0.69	-6.47	6.52	276
R <sub>CIE</sub>	39.92	58.74	27.99	65.07	25
J <sub>CIE</sub>	81.26	-2.88	71.56	71.62	92
G <sub>CIE</sub>	52.23	-42.41	13.6	44.55	162
B <sub>CIE</sub>	30.57	1.41	-46.46	46.49	272

Daten für Maximalfarbe (Ma):

$LAB^*LAB^*_{Ma}$ : 38 1 -41

$LAB^*LCH^*_{Ma}$ : 38 42 272

$lab^*rgb^*_{Ma}$ : 0.0 0.0 1.0

$lab^*olv^*_{Ma}$ : 0.0 0.62 1.0

Dreiecks-Helligkeit  $i^*$

%Umfang

$u^*_{rel} = 109$

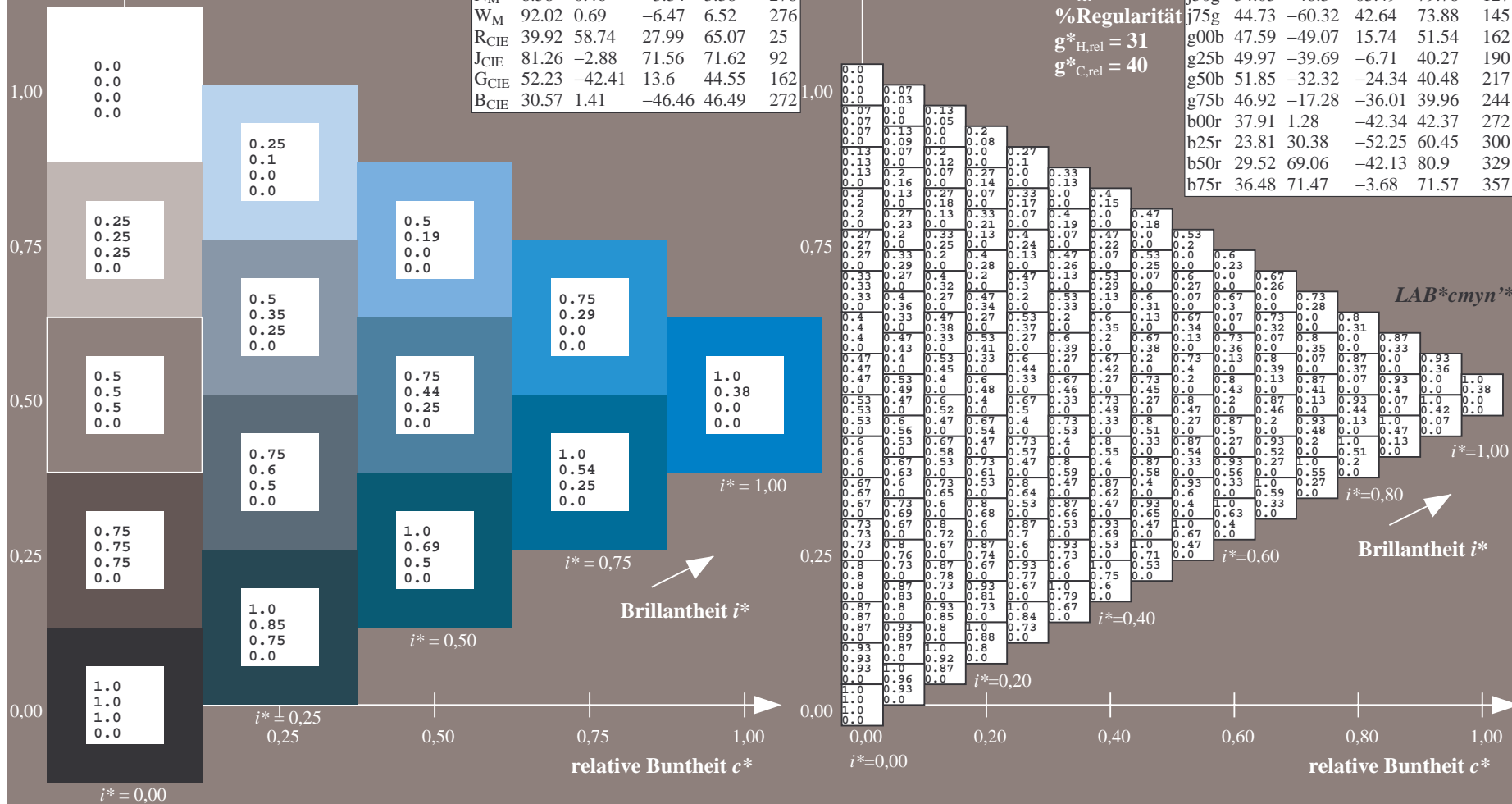
%Regularität

$g^*_{H,rel} = 31$

$g^*_{C,rel} = 40$

FRS09\_92a; adaptierte CIELAB-Daten

	$L^*=L^*_a$	$a^*_a$	$b^*_a$	$C^*_{ab,a}$	$h^*_{ab,a}$
r00j	35.47	63.32	30.17	70.15	25
r25j	39.12	54.56	49.45	73.64	42
r50j	50.64	39.15	64.89	75.79	59
r75j	64.01	21.26	82.83	85.52	76
j00g	83.18	-4.37	108.53	108.62	92
j25g	66.73	-29.88	83.06	88.28	110
j50g	54.03	-48.3	63.49	79.78	127
j75g	44.73	-60.32	42.64	73.88	145
g00b	47.59	-49.07	15.74	51.54	162
g25b	49.97	-39.69	-6.71	40.27	190
g50b	51.85	-32.32	-24.34	40.48	217
g75b	46.92	-17.28	-36.01	39.96	244
b00r	37.91	1.28	-42.34	42.37	272
b25r	23.81	30.38	-52.25	60.45	300
b50r	29.52	69.06	-42.13	80.9	329
b75r	36.48	71.47	-3.68	71.57	357







Ein und Ausgabe: Farbmetrisches Drucker-Reflektiv-System FRS09\_92a für relativen CIELAB-Buntton  $h^* = lab^*h^* = h_{ab}/360 = 329/360 = 0.913$   $u^* = b50r$

Daten für jede Farbe:

$lab^*tch^*$  und  $lab^*icu^*$

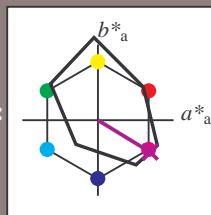
Elementar-Bunttontext:

$u^* = b50r$

Kontrastreduzierungsfaktor:

$c_R = 1.0$

Dreiecks-Helligkeit  $i^*$



FRS09_92a; CIELAB-Daten					
	$L^*=L^*$	$a^*$	$b^*$	$C^*_{ab}$	$h^*_{ab}$
O <sub>M</sub>	35.06	60.53	39.66	72.37	33
Y <sub>M</sub>	83.77	-4.49	103.15	103.25	92
L <sub>M</sub>	44.13	-62.1	43.56	75.86	145
C <sub>M</sub>	52.66	-28.55	-36.98	46.73	232
V <sub>M</sub>	14.15	50.78	-62.59	80.61	309
M <sub>M</sub>	37.37	79.18	-37.92	87.8	334
N <sub>M</sub>	8.58	0.46	-3.34	3.38	278
W <sub>M</sub>	92.02	0.69	-6.47	6.52	276
R <sub>CIE</sub>	39.92	58.74	27.99	65.07	25
J <sub>CIE</sub>	81.26	-2.88	71.56	71.62	92
G <sub>CIE</sub>	52.23	-42.41	13.6	44.55	162
B <sub>CIE</sub>	30.57	1.41	-46.46	46.49	272

Daten für Maximalfarbe (Ma):

$LAB^*LAB^*_{Ma}$ : 30 69 -41

$LAB^*LCH^*_{Ma}$ : 30 81 329

$lab^*rgb^*_{Ma}$ : 1.0 0.0 1.0

$lab^*olv^*_{Ma}$ : 0.66 0.0 1.0

Dreiecks-Helligkeit  $i^*$

%Umfang

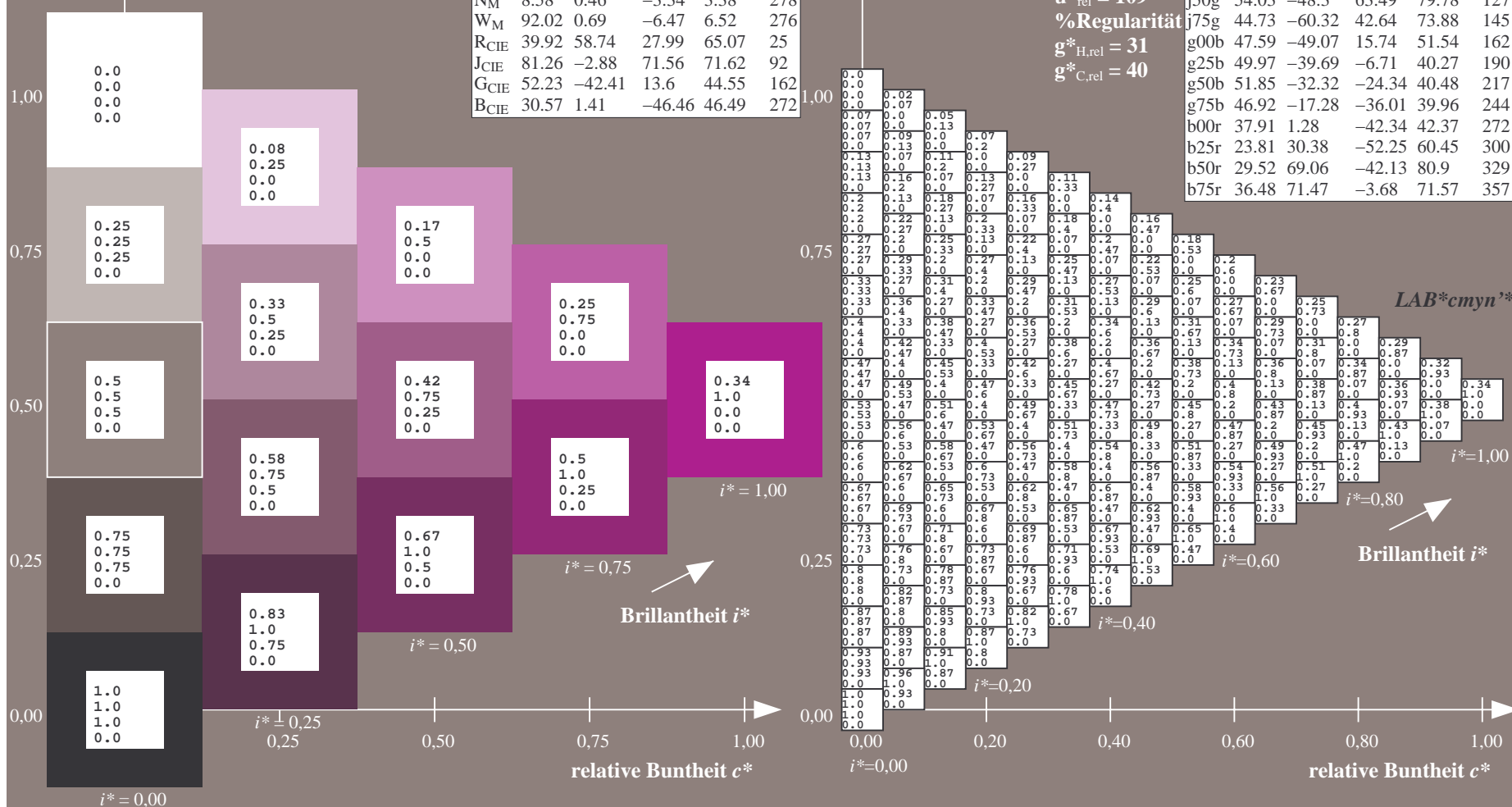
$u^*_{rel} = 109$

%Regularität

$g^*_{H,rel} = 31$

$g^*_{C,rel} = 40$

FRS09_92a; adaptierte CIELAB-Daten					
	$L^*=L^*_a$	$a^*_a$	$b^*_a$	$C^*_{ab,a}$	$h^*_{ab,a}$
r00j	35.47	63.32	30.17	70.15	25
r25j	39.12	54.56	49.45	73.64	42
r50j	50.64	39.15	64.89	75.79	59
r75j	64.01	21.26	82.83	85.52	76
j00g	83.18	-4.37	108.53	108.62	92
j25g	66.73	-29.88	83.06	88.28	110
j50g	54.03	-48.3	63.49	79.78	127
j75g	44.73	-60.32	42.64	73.88	145
g00b	47.59	-49.07	15.74	51.54	162
g25b	49.97	-39.69	-6.71	40.27	190
g50b	51.85	-32.32	-24.34	40.48	217
g75b	46.92	-17.28	-36.01	39.96	244
b00r	37.91	1.28	-42.34	42.37	272
b25r	23.81	30.38	-52.25	60.45	300
b50r	29.52	69.06	-42.13	80.9	329
b75r	36.48	71.47	-3.68	71.57	357



Ein und Ausgabe: Farbmetrisches Drucker-Reflektiv-System FRS09\_92a für relativen CIELAB-Buntton  $h^* = lab^*h^* = h_{ab}/360 = 357/360 = 0.992$   $u^* = b75r$

Daten für jede Farbe:

$lab^*ch^*$  und  $lab^*icu^*$

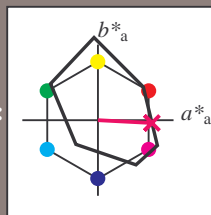
Elementar-Bunttontext:

$u^* = b75r$

Kontrastreduzierungsfaktor:

$c_R = 1.0$

Dreiecks-Helligkeit  $i^*$



FRS09\_92a; CIELAB-Daten

	$L^*=L^*$	$a^*$	$b^*$	$C^*_{ab}$	$h^*_{ab}$
O <sub>M</sub>	35.06	60.53	39.66	72.37	33
Y <sub>M</sub>	83.77	-4.49	103.15	103.25	92
L <sub>M</sub>	44.13	-62.1	43.56	75.86	145
C <sub>M</sub>	52.66	-28.55	-36.98	46.73	232
V <sub>M</sub>	14.15	50.78	-62.59	80.61	309
M <sub>M</sub>	37.37	79.18	-37.92	87.8	334
N <sub>M</sub>	8.58	0.46	-3.34	3.38	278
W <sub>M</sub>	92.02	0.69	-6.47	6.52	276
R <sub>CIE</sub>	39.92	58.74	27.99	65.07	25
J <sub>CIE</sub>	81.26	-2.88	71.56	71.62	92
G <sub>CIE</sub>	52.23	-42.41	13.6	44.55	162
B <sub>CIE</sub>	30.57	1.41	-46.46	46.49	272

Daten für Maximalfarbe (Ma):

$LAB^*LAB^*_{Ma}$ : 36 71 -3

$LAB^*LCH^*_{Ma}$ : 36 72 357

$lab^*rgb^*_{Ma}$ : 1.0 0.0 0.5

$lab^*olv^*_{Ma}$ : 1.0 0.0 0.62

Dreiecks-Helligkeit  $i^*$

%Umfang

$u^*_{rel} = 109$

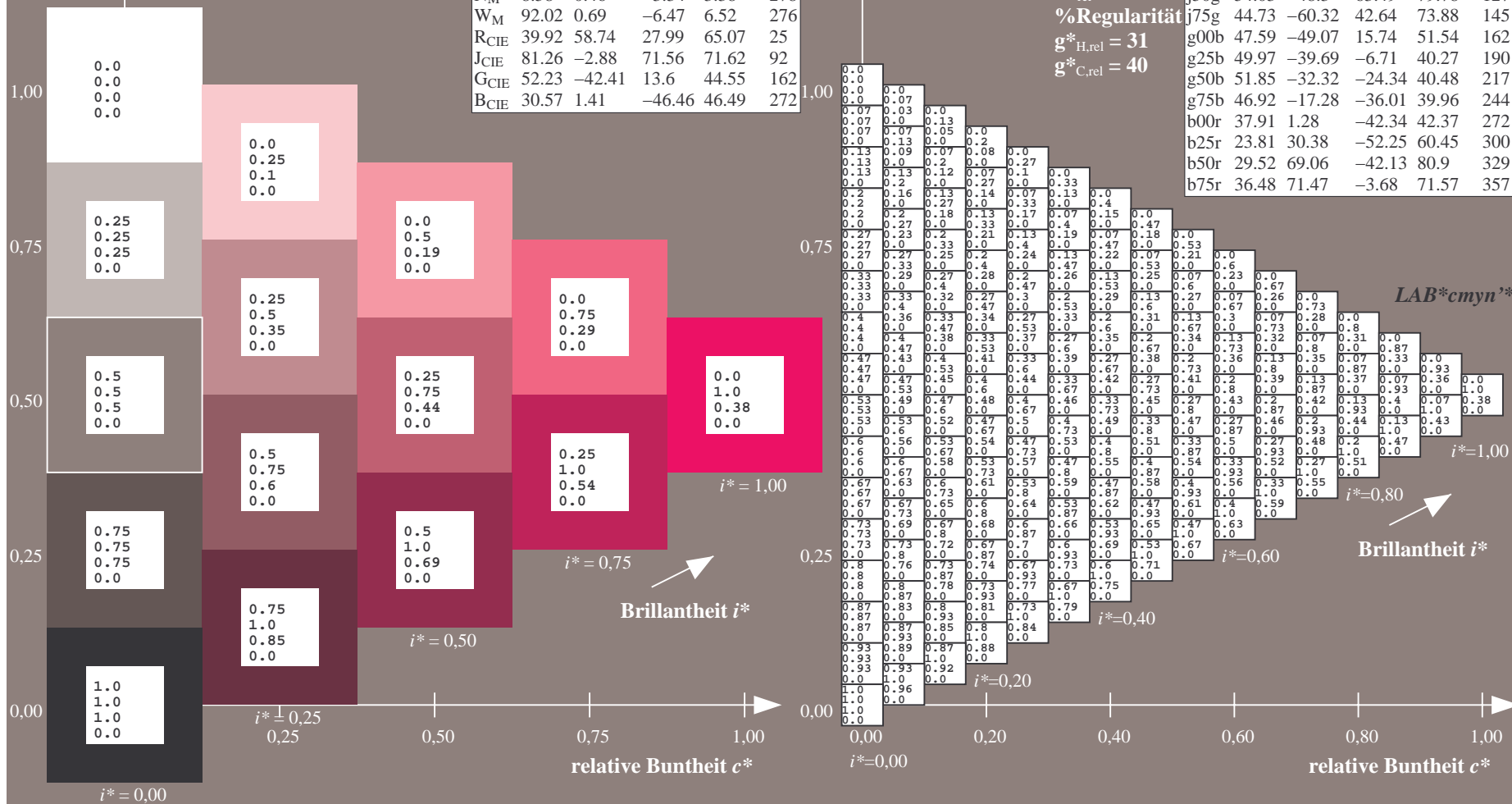
%Regularität

$g^*_{H,rel} = 31$

$g^*_{C,rel} = 40$

FRS09\_92a; adaptierte CIELAB-Daten

	$L^*=L^*_a$	$a^*_a$	$b^*_a$	$C^*_{ab,a}$	$h^*_{ab,a}$
r00j	35.47	63.32	30.17	70.15	25
r25j	39.12	54.56	49.45	73.64	42
r50j	50.64	39.15	64.89	75.79	59
r75j	64.01	21.26	82.83	85.52	76
j00g	83.18	-4.37	108.53	108.62	92
j25g	66.73	-29.88	83.06	88.28	110
j50g	54.03	-48.3	63.49	79.78	127
j75g	44.73	-60.32	42.64	73.88	145
g00b	47.59	-49.07	15.74	51.54	162
g25b	49.97	-39.69	-6.71	40.27	190
g50b	51.85	-32.32	-24.34	40.48	217
g75b	46.92	-17.28	-36.01	39.96	244
b00r	37.91	1.28	-42.34	42.37	272
b25r	23.81	30.38	-52.25	60.45	300
b50r	29.52	69.06	-42.13	80.9	329
b75r	36.48	71.47	-3.68	71.57	357



[illegible]